

NATURHAUPTPOTENTIALKARTEN
BEZIRK DEUTSCHLANDSBERG
GEOLOGIE, HYDROLOGIE, SONSTOFFE
ERLÄUTERUNGEN

ERLÄUTERUNGEN
ZU DEN
GEOGENEN NATURRAUMPOTENTIALKARTEN
DES
BEZIRKES DEUTSCHLANDSBERG

von

J. FLACK, M. PÖSCHL, G. SUETTE & TH. UNTERSWEGL

Mit Beiträgen von

I. CZERNY, F. EBNER & H. ZETINIGG

PROJEKTTRÄGER:
FORSCHUNGSGESELLSCHAFT JOANNEUM

PROJEKTLITUNG:
UNIV. DOZ. DR. W. GRAF

GRAZ, 1983

Das Projekt

"Erstellung und Darstellung des Naturraumpotentials komplexer Landschaftstypen - Erstellung von Naturraumpotentialkarten für den Verwaltungsbezirk Deutschlandsberg"

(Teilbereiche Geologie, Rohstoffgeologie, Hydrogeologie / Hydrologie, Schutz- und Schongebiete) *)

wurde in Kooperation zwischen dem Bund und dem Bundesland Steiermark beschlossen und vom Land Steiermark finanziert

(Proj.Nr. St C 8b)

*) Unter derselben Projektnummer wurde die Bearbeitung des Fachbereiches Klima / Mittleres Murtal beauftragt. Hierüber wird ein gesonderter Bericht vorgelegt.

INHALTSVERZEICHNIS

| | Seite |
|---|-----------|
| 1. VORWORT | 1 |
| 2. GEOLOGIE (Beilage 1 und 2) | 5 |
| 2.1 Das Kristallin der Koralpe (M. Föschl) | 7 |
| 2.1.1 Geologischer Überblick | 7 |
| 2.1.2 Seriengliederung | 9 |
| 2.1.2.1 Wolfsberger Serie | 11 |
| 2.1.2.2 Marmoraerie | 11 |
| 2.1.2.3 Koralpen-Plattengneis-Serie | 11 |
| 2.1.2.4 Schwanberger Serie | 12 |
| 2.1.2.5 Glimmerschieferaerie | 13 |
| 2.1.2.6 Plankogelserie | 13 |
| 2.1.2.7 Gradsner Serie | 13 |
| 2.1.3 Der tektonische Bau | 14 |
| 2.1.4 Geomorphologische Erscheinungen | 17 |
| 2.1.4.1 Niveausysteme | 17 |
| 2.1.4.2 Ofenbildungen | 18 |
| 2.1.5 Literatur | 19 |
| 2.2 Das Paläozoikum des Reinschigg-Poßruck-Zuges (G. Suetta) | 21 |
| 2.2.1 Lithologische Einheiten | 21 |
| 2.2.2 Der tektonische Bau | 21 |
| 2.2.3 Literatur | 23 |
| 2.3 Die jungtertiären Ablagerungen des Weststeirischen Beckens (G. Suetta) | 24 |
| 2.3.1 Radl-Blockschutt und Basisschichten des Radl-Blockschuttes - Ottnang | 24 |
| 2.3.2 Untere Eibiswalder Schichten - Ottnang | 24 |
| 2.3.3 Höhere (=Mittlere und Obere) Eibiswalder Schichten - Karpat | 26 |
| 2.3.4 Florianer Schichten - Baden | 29 |
| 2.3.4.1 Übergangszone | 32 |
| 2.3.4.2 Basisgrabsand | 32 |
| 2.3.4.3 Pölser Mergel und hangender Tuff | 33 |
| 2.3.4.4 Zweiter Grabsandhorizont | 41 |
| 2.3.4.5 Zone der Wechsellagerung | 44 |
| 2.3.4.6 Hangendsand | 48 |
| 2.3.5 Die Sedimente des westlichen Grundgebirgsrandes | 49 |
| 2.3.5.1 Schwanberger Blockschutt | 49 |
| 2.3.5.2 Dunkelgrüne bis gelbe Sande | 50 |
| 2.3.5.3 Verlandungssedimente | 50 |
| 2.3.6 Literatur | 54 |
| 2.4 Die quartären Sedimente (Th. Untersweg) | 56 |
| 2.4.1 Die glazialen Ablagerungen auf der Koralpe | 57 |
| 2.4.2 Die periglazialen Ablagerungen im Vorland | 58 |
| 2.4.2.1 Höhere Terrassenreste (Präris) | 59 |
| 2.4.2.2 Die Hochterrasse (Helfbrunner Terrasse-Riß) | 65 |
| 2.4.2.3 Die "Niederterrasse" (7Wurm) | 72 |
| 2.4.2.4 Die Aulandeschaften | 74 |
| 2.4.3 Literatur | 90 |

| | |
|---|-----|
| 3. DIE HYDROGEOLOGISCHEN VERHÄLTNISSE (Beilage 1 und 2) | |
| (Th. Untersweg, mit Beiträgen von I. Czerny und H. Zetinigg) | 92 |
| 3.1 Der Bereich der Koralpe (H. Zetinigg) | 92 |
| 3.2 Die jungtertiären Ablagerungen des weststeirischen Beckens | 102 |
| 3.2.1 Die arteaischen Brunnen | 104 |
| 3.3 Die quartären Talfüllungen | 107 |
| 3.3.1 Grundwasserbeobachtung im Leibnitztal und Sulmtal (I. Czerny) | 111 |
| 3.4 Heil- und Mineralquellen (H. Zetinigg) | 128 |
| 3.5 Das Gütebild der Fließgewässer | 134 |
| 3.6 Literatur | 137 |
| 4. RISIKOFAKTOREN (Beilage 3) | |
| (G. Suetter und Th. Untersweg) | 138 |
| 4.1 Die Baugrundverhältnisse | 138 |
| 4.2 Risikofaktoren | 139 |
| 4.3 Literatur | 139 |
| 5. RÖHSTOFFE (Beilage 4) | |
| (G. Suetter, mit einem Beitrag von F. Ebner) | 141 |
| 5.1 Energierohstoffe | 143 |
| 5.1.1 Kohle | 143 |
| 5.1.1.1 Das Bibiswalder Revier | 150 |
| 5.1.1.1.1 Die Schürfe der Bibiswalder Umgebung | 151 |
| 5.1.1.1.2 Bibiswald-Feisternitz | 154 |
| 5.1.1.1.3 Stammeregg | 156 |
| 5.1.1.2 Das Vordersdorfer Revier | 157 |
| 5.1.1.2.1 Vordersdorf | 158 |
| 5.1.1.2.2 Unterpersen-Wernersdorf | 161 |
| 5.1.1.3 Das Wieser Revier | 162 |
| 5.1.1.3.1 Pölfing-Bergla | 164 |
| 5.1.1.3.2 Steyeregg | 166 |
| 5.1.1.3.3 Kalkgrub-Limberg | 168 |
| 5.1.1.3.4 Schwanberg | 171 |
| 5.1.1.3.5 Aug-Schönegg | 172 |
| 5.1.1.3.6 St.Ulrich | 175 |
| 5.1.1.3.7 Tombach-Pitschgauegg | 177 |
| 5.1.1.3.8 Gaisseregg | 179 |
| 5.1.2 Uran | 180 |
| 5.2 Industriemineralien, Steine und Erden | 183 |
| 5.2.1 Diabase | 183 |
| 5.2.2 Feldspat | 185 |
| 5.2.3 Glimmer | 185 |
| 5.2.4 Kaolin | 187 |
| 5.2.5 Pegmatit, Pegmatoid, Pegmatitgneis | 188 |
| 5.2.6 Quarz | 190 |
| 5.2.7 Quarzsand | 190 |
| 5.2.8 Vulkanische Tuffe, Bentonit (F. Ebner) | 192 |
| 5.3 Erze | 194 |
| 5.3.1 Scheelit | 194 |
| 5.4 Massenrohstoffe | 197 |
| 5.4.1 Amphibolit, Eklogitamphibolit, Gabbro, Metagabbro | 197 |

| | Seite |
|---|------------|
| 5.4.2 Gneise | 197 |
| 5.4.3 Gneise und Glimmerschiefer | 198 |
| 5.4.4 Kalk(marmor) | 199 |
| 5.4.5 Marmore und Kalksilikatgesteine | 199 |
| 5.4.6 Plättengneis | 201 |
| 5.4.7 Quarzit | 202 |
| 5.4.8 Schutt | 202 |
| 5.4.9 Torf | 203 |
| 5.4.10 Konglomerate, Schotter, Sandsteine, Sande | 203 |
| 5.4.10.1 Eibiswalder Schichten | 203 |
| 5.4.10.2 Florianer Schichten | 217 |
| 5.4.10.3 Schwanberger Blockschutt | 252 |
| 5.4.10.4 Quartär | 252 |
| 5.4.11 Tone, Schiefertone, Tonmergel, Lehme | 254 |
| 5.4.11.1 Eibiswalder Schichten | 254 |
| 5.4.11.2 Florianer Schichten | 254 |
| 5.4.11.3 Quartär | 256 |
| 5.5 Literatur | 265 |
| 6. SCHUTZ- UND SCHONGEBIETE (Beilage 5) | 269 |
| (J. Flack) | |
| 6.1 Schutz- und Schongebiete für Natur und Landschaft | 270 |
| 6.1.1 Naturschutzgebiete | 282 |
| 6.1.2 Landschaftsschutzgebiete nach § 6 NaschG 1976 | 287 |
| 6.1.3 Naturdenkmäler nach § 10 NaschG 1976 | 287 |
| 6.1.4 Geschützte Landschaftsteile nach § 11 NaschG 1976 | 299 |
| 6.2 Schutz- und Schongebiete für kommunale Wasserver- sorgungsanlagen und Heilquellen nach dem Wasser- rechtegesetz | 306 |
| 7. ALPHABETISCHE LISTE DER FACHAUSDRÜCKE MIT ERLÄUTERUNGEN | 308 |
| 8. VERZEICHNIS DER ABBILDUNGEN | 315 |
| 9. VERZEICHNIS DER TABELLEN | 320 |
| 10. VERZEICHNIS DER BEILÄGEN | 323 |

1. VORWORT

Die hier vorgelegte geowissenschaftliche Bearbeitung des Bezirkes Deutschlandsberg setzt die gezielte Erfassung des Naturraumpotentials der Steiermark fort, die im Jahre 1979 über Auftrag des Bundesministeriums für Wissenschaft und Forschung und des Landes Steiermark in Angriff genommen und seither von der Forschungsgesellschaft Joanneum, Institut für Umweltgeologie und Angewandte Geographie, durchgeführt wird.

Als erster Teil im Rahmen eines mittelfristigen Programmes wurde im Jahre 1982 die Bearbeitung des Bezirkes Radkersburg abgeschlossen.

Folgende Sachbereiche wurden bearbeitet, in Karten, Profilen und Tabellen dokumentiert und textlich erläutert (Maßstab 1:25.000):

- | | |
|---------------------------|---|
| Geologie: | <ul style="list-style-type: none">- Geologische Grundkarte- Geologische Profile- Bohrpunktkarte- Karte des Tertiärreliefs- Karte der Quartärmächtigkeit- Karte der Kies-Sand-Mächtigkeit- Karte der Kies-, Sand- und Lehmgruben und der Steinbrüche- Böschungswinkelkarte- Baurisikokarte |
| Hydrologie/Hydrogeologie: | <ul style="list-style-type: none">- Gewässergütekarte- Grundwasserkarten (Grundwasserschichtenlinien, Grundwasserstände, Grundwasserüberdeckung)- Artesische Brunnen |
| Bodenkunde: | <ul style="list-style-type: none">- Angewandte Bodenkarten (Boden Typ, Bodenschwere, Wasser Verhältnisse, Erosion)- Bodenwertkarte |
| Naturschutz i.w.S.: | <ul style="list-style-type: none">- Karte der Schutzgebiete |
| Klima: | <ul style="list-style-type: none">- Kaltluftkarte- Temperaturmaximakarte- Temperaturgunstzonenkarte- Besonnungskarte- Sonnenscheindauer- Schneeverhältnisse- Niederschlagsverhältnisse- Windverhältnisse- Nebelverhältnisse |

- Vegetation: - Vegetationskarte
- Auwaldkartierung

In den Bezirken Graz und Graz-Umgebung wurden 1981/82 folgende Teilprojekte fertiggestellt (Maßstab 1:50.000):

- Geologische Grundkarte
- Lagerstättenkarte
- Hydrogeologisch-hydrologische Karten
- Bodenkundliche Karten
- Vegetationskarte

Noch in Arbeit sind die Fachbereiche Klima und Schon-Schutzgebiete.

Im Bezirk Leibnitz konnten 1982/83 die geowissenschaftlichen und bodenkundlichen Teilprojekte abgeschlossen werden. Folgende Karten (Maßstab 1:25.000 mit Erläuterungsband) liegen vor:

- Geologie: - Geologische Grundkarte
- Geologische Profile
- Bohrprofilkarte
- Karte des präklastischen Untergrundes
- Karte der Quartärmächtigkeit
- Mächtigkeit des Sand-Kies-Körpers
- Karte der Kies-, Sand- und Lehmgruben und der Steinbrüche
- Böschungswinkelkarte
- Risikofaktorenkarte

- Hydrologie: - Grundwasserschichtlinien (bei hohem und niederen Grundwasserstand)
- Grundwasserstände (höchste und niedrigste Werte)
- Grundwassermächtigkeit
- Grundwasserüberdeckung

- Naturschutz i.w.S.:
- Karte der Schutzgebiete

- Bodenkunde: - Angewandte Bodenkarten (Bodenart, Bodenschwere, Wasserverhältnisse, Erosion, Bodengüte)

Der Abschluß der Vegetationskarten ist für Ende des Jahres 1983 vorgesehen.

1982 bzw. 1983 wurde die geowissenschaftliche Bearbeitung des Bezirkes Voitsberg und die Erstellung einer Rohstoffsicherungskarte für den Bezirk Murzusatz in Angriff genommen.

Ferner begann auf der Datenbasis des Bezirkes Radkersburg im Jahre 1981 ein mehrjähriges Arbeitsvorhaben zur digitalen Erfassung, Speicherung und Bearbeitung ortsbegrenzter Daten (DESBOD), dessen erste zwei Stufen abgeschlossen sind. Das Projekt wird vom

Institut für digitale Bildverarbeitung und Graphik am Forschungszentrum Graz durchgeführt.

Schließlich hat der im Rahmen der Österreichischen Raumordnungskonferenz (ÖROK) im Jahre 1980 zusammengetretene Arbeitskreis "Naturraumpotentialkarten" seinen Auftrag "das Vorhaben Erstellung von Naturraumpotentialkarten hinsichtlich methodischer, organisatorischer und finanzieller Fragen zu beraten und in enger Zusammenarbeit mit der Geologischen Bundesanstalt und anderen fachlich zuständigen Institutionen entsprechende Vorschläge auszuarbeiten" im Jahre 1982 zunächst mit der ersten Arbeitsschufe erfüllt. Es ist dies eine Dokumentation der österreichweiten kartenmäßigen Darstellung von Naturraumpotentialfaktoren der nachstehenden Fachgebiete:

1. Geologie und Geodynamik
2. Geomorphologie und Landschaftsökologie; Speleologie
3. Bodenkunde
4. Klimatologie, Luftgüte; Erdbeben
5. Hydrologie und Wassergüte
6. Vegetation und Biotope

Die Endberichte der jeweiligen Sachbearbeiter enthalten einen kurzen erläuternden Textteil sowie eine umfangreiche Dokumentation auf Formblättern für das EDV-System "GEOKART" der Geologischen Bundesanstalt.

So viel zu einer kurzen Skizzierung des aktuellen Standes bei der Erstellung von Naturraumpotentialkarten in der Steiermark.

Abschließend gilt es all jenen zu danken, die durch ihre stete Kooperationsbereitschaft unsere Arbeit nun schon seit Jahren unterstützen bzw. durch die Bereitstellung von Daten z.T. überhaupt erst ermöglichen. Im Falle der Erhebungen für den Bezirk Deutschlandsberg waren dies vor allem:

- Landwirtschaftlich-chemische Bundesversuchsanstalt, Bodenkartierung und Bodenwirtschaft
- Universitätsinstitute für Geographie und Geologie, Graz

- Amt der Steiermarkischen Landesregierung
Rechtsabteilung 6, Fachstelle Naturschutz
Fachabteilungsgruppe Landesbaudirektion
 - FA Ia, Referat für Gewässergüteaufsicht und Gewässerschutz
 - FA Ib, Regionalplanung und örtliche Raumplanung
 - FA IIc, zentrale Boden- und Materialprüfstelle
 - FA IIIa, Flussbau und Hydrographie
 - Referat für wasserwirtschaftliche Rahmenplanung
- Landesmuseum Joanneum
Mineralogisch-geologischer Landesdienst
Abteilung für Geologie, Paläontologie und Bergbau
- Forschungszentrum Graz
Institut für Geothermie und Hydrogeologie
- Geologische Bundesanstalt, Wien
- Firma Großschädl, Graz

Unser persönlicher Dank für wertvolle Diskussionsbeiträge, Anregungen und Hilfe gilt Frau AR W. BURRI, Frau ROBR Dr. T. CZERNY, Frau Dr. M. HEINRICH, den Herren Hofrat Dr. P. BECK-MAÑNAGETTA, w.Hofrat Dipl.-Ing. Dr. L. BERNHART, Doz.Dr. P. EBNER, Dr. M. EISMHUT, w.Hofrat Dipl.-Ing. H. ERTL, ROBR Dr. E. FABIANI, Dr. H. PESSLER, w.Hofrat Dr. O. ROMANN, Mag. P. KÖBERL, Dr. H.P. LEDITZKY und ROBR Dr. H. ZETIMIGG.

W. Gräß

2. GEOLOGIE (Beilage 1 und 2)

Die Umrahmung des weststeirischen Tertiärbeckens setzt sich aus kristallinen und paläozoischen Gesteinen bzw. deren oberkretärischer Bedeckung im Gosaubecken von Kainach und im Poßnitz zusammen.

Den Südrand bildet das Rennsteig-Poßnitz-Gebirge, das sich aus einem kristallinen Sockel mit paläozoischer Decke aufbaut. Am Westrand taucht das Kristallin der Koralpe auf und im NW und W bilden Teile des Grazer Paläozoikums und der Kainscher Gosau die Begrenzung.

Das Miocän beginnt über einer Rotlehmserie mit dem limnisch-fluviatilen Radl-Wildbachschotter, der dem Ottnang zugeordnet wird. Darüber folgen die in Untere (Ottnang) und Höhere (Mittlere und Obere, Karpat) gegliederten Eibiswalder Schichten, von denen besonders die Mittleren wegen ihrer Kohleführung eine große wirtschaftliche Bedeutung besaßen. Im Zusammenhang mit der Steirischen Faltungsphase kam es im Baden zu mehreren Ingressionen der Paratethys in die älteren limnisch-fluviatilen Senkungsfelder des Weststeirischen Beckens, wobei diese marinen Einbrüche niemals die gesamte Mittelsteirische Schwelle überfluteten, sondern durch Lücken in das Becken eindrangen. Dadurch entstanden mehrere Teilbuchten, nämlich die Florianer Bucht, die Gamitzer Bucht und die Flamberger Bucht (FLÜGEL & HERITSCH 1968).

Die Florianer Bucht ist durch eine zweimalige Ingression, unterbrochen von einer Regression des Meeres, charakterisiert. Der erste Vorstoß erfolgte zu Beginn des Baden durch die Lafnitzsenke bei Preding und erreichte noch im tiefen Baden seinen Höhepunkt. Während des höheren Unterbaden erfolgte die zweite Überflutung.

Die während dieser Zeit abgelagerten marinen Sedimente gehen in Grundgebirgsnähe in fluviatile Sande über. Gegen W und S zeigt sich eine deutliche Korngrößenzunahme dieser Sedimente, die sich in der Folge mit Blockschuttablagerungen aus dem Grundge-

birge verzähnen (BECK-MANAGETTA 1947).

Ab dem höheren Mittelbaden kam es zu einer erneuten Regression und damit verbünden zur Trockenlegung der Florianer Bucht. Während des Karpat und des Baden wurden Tuffe abgelagert, deren Liefergebiet im Gleichenberger Vulkangebiet zu suchen ist. Diese Tuffe (Bentonite, Glastuffe, Kristalltuffe, Tuffite) treten dabei in sämtlichen Faziesbereichen, vom Festland bis ins Hochmarin, auf (EBNER & GRÄF 1982).

2.1 Das Kristallin der Koralpe (M. Pöschl)

Gut die Hälfte des Bezirkes Deutschlandsberg wird flächenmäßig vom Kristallin des Koralpenzuges eingenommen. Dieser Bereich konnte durch vorhandene geologische Karten abgedeckt werden. Durch die unterschiedliche Feinheit der Karten bedingt und um die Lesbarkeit sowie vor allem die Verwendbarkeit für praktische Zwecke zu gewährleisten, mussten bei der Kompilierung die Ausscheidungen der einzelnen Karten aufeinander abgestimmt werden. Dies führte in einzelnen Bereichen zu einer Vereinfachung der Karteninhalte. Die für die Auszeichnung der geologischen Grundkarte verwendeten Unterlagen werden auf einem Kartenspiegel dargestellt.

Im einzelnen wurden für den Bereich das Kristallins folgende Karten bzw. Erläuterungen verwendet:

BECK-MANNAGETTA 1941, 1945, 1970, 1975, 1980; CLOSS 1927; HOMANN 1962; KIESLINGER 1926, 1927, 1928, 1929; KLEINSCHMIDT & RITTER 1976; TOLLMANN 1977.

2.1.1 Geologischer Überblick

Das südliche Teilstück des steirischen Randgebirges stellt das Massiv der Koralpe dar. Es erstreckt sich in N-S-Richtung vom Packssattel zum Drautal. Den W-Rand bildet die Lavanttalere Störungszone mit einer heute nachweisbaren Sprunghöhe von 1500 m. Nach BECK-MANNAGETTA ist dieser Abbruch Teil eines Bruches, der über 4500 m Sprunghöhe unter Einbeziehung aller jüngeren Schichten haben dürfte. Dieser Abbruch verdeutlicht die pultförmige Verstellung des Kristallinblockes der Koralpe. Nach E dacht das Massiv allmählich ab und sinkt unter das Tertiär der Grazer Bucht.

Der Koralpenzug besteht aus hochmetamorphem Kristallin kazonaler bis mesozonaler Prägung; nach TOLLMANN 1977 zum Mittelostalpin gehörend, repräsentiert es den "Koriden" Typus des ostalpinen Kristallins und stellt die bedeutendste voralpidische (variszische) Decke in den Ostalpen dar. Zusammen mit der Sau-

alpendecke ist sie rund 45 km weit über das mesozonale Muralpen-Kristallin vom Typus "Gleinalm" überschoben worden. TOLLMANN 1977 führt als Beweis dafür das Amering-Halbfenster und mehrere Fenster in der Sau- und Koralpe an, besonders jedoch das Wolfsberger Fenster, in dem die schwächer metamorphen Serien des Muralpen-Kristallins als Inhalt breit zutage treten.

2.1.2 Seriengliederung

In einer Zusammenschau der über die Koralpe erschienenen Arbeiten lässt sich folgende Serienabfolge aufzeigen.

Hangend - Gradener Serie

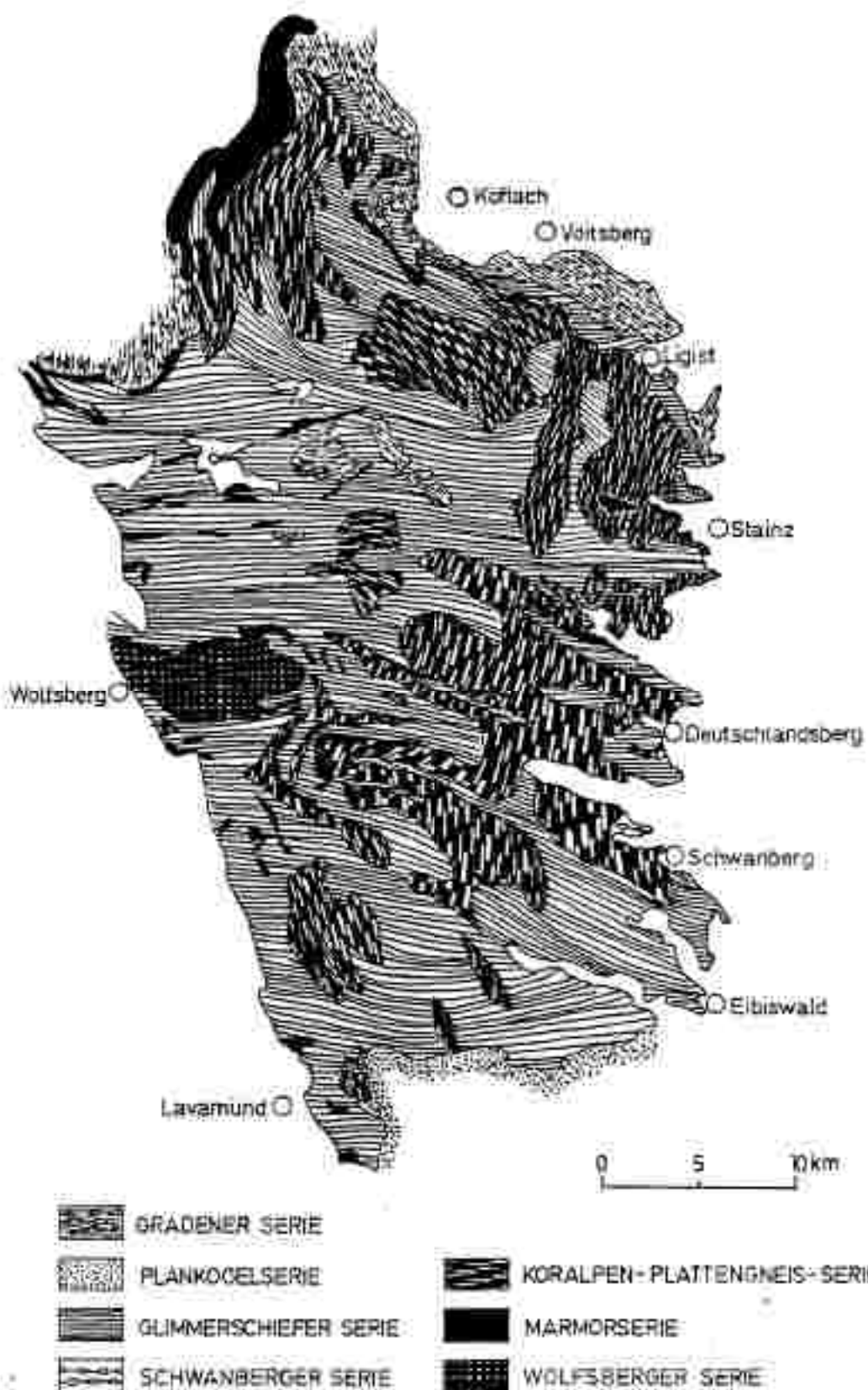
- Plankogaiserie
- Glimmerschieferserie
 - obere oder Schwanberger Serie
- Zentrale Serie
- - untere oder Koralpen-Plattengneis-Serie
- Marmorserie
 - obere

Liegend - Wolfsberger Serie

- untere

Über die räumliche Verbreitung der einzelnen Serien soll das folgende Kärtchen Aufschluß geben (Abb. 1).

Abb. 1:
Verbreitung der Serien in der Koralpe



Tab. I: Serienvergleich und Lagerungsverhältnisse im Kristallin der östlichen Zentralalpen (BECK-MÄNNAGETTA 1980).

| Serienvergleich im KRISTALLIN der | | |
|--|---|---|
| SAALPES | KORALPE | STUBALPE - GLENALPE |
| I SODDICHEN GRAUWACKENZONE GURKTALER DECKE | GRAZER PALAEOZÖUM Grau - Metavolken Prola. Grauwackenzone | |
| • Gneiss- und Marmore, Ober-Gneisskette "Sexten" vergraben | Gneissketten: Skalico- Metavolken-Metavolkenzone Ober-Gneisskettenzone (vergraben) | |
| II | | Trileptite |
| • Ober-Gneisskettenzone Metavolken-Metavolkenzone (Skalico) Metavolken: Skalico Metavolken-Metavolkenzone (Metavolken, Mantel) Untere Gneisskettenzone | | |
| • Plagioklastzone | Plagioklastzone | |
| III STAUFLIN | • Ober-Gneisskettenzone Metavolken-Schichtgängen Anorthite Sillite, Kalkmetavolken Metavolken-Metavolkenzone EKLOGIT-Zone-Metavolkenzone Kalkmetavolkenzone | Trileptite |
| IV | PLATTENZONE | |
| V | MARMORZONE | Albitasbeste Metavolken-Pegmatite Gneiss |
| VI | Zonenbergzone | |
| VII | Marmore | |
| VIII | Plagioklast-Schicht- EKLOGIT-Marmore | |
| IX | Marmore | |
| X | Untere Gneisskettenzone Metavolkenzone | |
| XI | Wolfsbergerzone | |
| XII | Dolomitschichten Metavolken-Metavolkenzone Anorthite | |
| XIII | Wolfsberger Gneis- zonenketten WOLFSBERGER GNEIS- MARMOR-Marmore | |
| XIV | | |
| | | • GEOKAUF-KRISTALLIN MÜGLI-PHENFELDGRANIT Riedholzgrau, Krotzholz |

2.1.2.1 Wolfsberger Serie

Mit dem Begriff "Wolfsberger Serie" (KIESLINGER 1928, BECK-MANNAGETTA 1951) wird der tektonische Untergrund des Koralpen-Stockwerkes bezeichnet. Aufgeschlossen ist diese Serie im Bereich der Koralpe nur im Wolfsberger Fenster. Alle weiteren Aufschlüsse liegen bereits in der Saualpe und in der Packalpe. Den Kern des Wolfsberger Fensters bildet die untere Wolfsberger Serie, bestehend aus Granitgneis und Augengneis. Die obere Wolfsberger Serie enthält Granatglimmerschiefer, Granatbiotitgneis und Amphibolit.

2.1.2.2 Marmorserie

Im Hangenden der Wolfsberger Serie folgt die Marmorserie. Sie besteht aus Bändermarmoren (überwiegend Kalzitmarmore) mit Amphibolitbändern, Eklogit-Amphiboliten, Hornblendegneisen, Glimmergneisen, Pegmatit-Aplitgneisen und Granatquarziten (BECK-MANNAGETTA 1980).

2.1.2.3 Koralpen-Plattengneis-Serie

Die "Koralpenserie", nach KIESLINGER 1928 "Koralpengruppe" benannt, entspricht gemeinsam mit der Plattengneisserie dem unteren Teil der "Zentralen Serie" von BECK-MANNAGETTA. Der Gesteinsbestand der Koralpenserie wandelt sich von W nach E. Sind im W Disthangneise, Andalusit-Paramorphose-Schiefer und Gneisquarzite bestimmend, ist es im E der Stainzer Plattengneis, der vorherrscht. Im N geht der Stainzer Plattengneis in den Disthenflasergneis, den Hirschegger Gneis der Pack, über. Die Koralpenserie entspricht der Teigitschserie des Stub-Gleinalpen-Gebietes und den Disthenflasergneisen der Eklogitserie der Saualpe.

Unter dem Begriff Plattengneis werden in der Koralpe Bundscheckgneis, Lagengneis, Paragneis mit Aplit, etc. zusammengefaßt.

Pegmatite und pegmatoid durchtränkte Zonen treten häufig auf. Eklogite und Marmore sind selten bzw. fehlen in den Plattengneisen vollkommen.

BECK-MANNAGETTA 1970 unterteilt die Plattengneissserie von unten nach oben in die

Gneis-Glimmerschiefer mit Pegmatoiden
zentrale Serie mit kataklastischen Gneis-
quarziten
eigentlichen Plattengneise

Die Plattengneise sind durch die lagenförmige Quarz-Feldspat-Durchtränkung und den Feldspataugengehalt sowie durch lagenweise Anordnung von Gneis- und Pegmatitzonen gekennzeichnet. Dieses und eine starke Auswalzung, die auch eine streifenförmige Lineation bewirkte, betont besonders das parallel plattige Gefüge.

Der Mineralbestand der dunklen, stark durchbewegten Lagen des Plattengneises setzt sich aus Granat, Biotit, Muskowit, Disthen und Plagioklas mit Periklin und Albitzwillingsslamellen zusammen. Die hellen pegmatoiden Lagen enthalten Quarz, Kalinatronfeldspäte und Plagioklas. In den pegmatitischen Lagen sind Turmalin, Beryll und almandinreicher Granat vertreten.

2.1.2.4 Schwanberger Serie

Die Schwanberger Serie, nach KIESLINGER 1928 "Brettsteingruppe", entspricht dem oberen Teil der zentralen Serie von BECK-MANNAGETTA 1951.

Diese Serie ist lithologisch heterogener zusammengesetzt als die liegenden Einheiten. Den Hauptanteil machen Glimmerschiefer (Injektionsglimmerschiefer = "Schwanberger Gneis") bis Schiefergneise aus, die teilweise Disthen führend sind. Weiters prägen Einlagerungen von Karbonatgesteinen, wie Marmore und Kalksilikat-Schiefer in den tieferen Lagen, Pegmatite und metamorph umgewandelte ehemalige basische Magmatite, wie Eklogite, Eklogit-amphibolite, Metagabbro (HERITSCH 1973) und Amphibolite in den

höheren Lagen, diese Serie.

2.1.2.5 Glimmerschieferserie

Zum Hangenden hin geht die Schwanberger Serie in die sogenannte Serie der "venitischen" Glimmerschiefer (BECK-MANNAGETTA 1951 und HOMANN 1962) über. Diese umfasst Glimmerschiefer mit Anteicherung heller Quarz- und Feldspatlagen, Pegmatite, Spidotamphibolite und Marmore.

2.1.2.6 Plankogelserie

Die Plankogelserie, aus der Saualpe bekannt, konnte von KLEINSCHMIDT 1975 auch am Südrand der Koralpe S von Soboth und St. Lorenzen erfaßt werden.

Diese Serie setzt sich aus Granatglimmerschiefer, Schiefergneis, Marmor, Kalk-Silikat-Schiefer, Amphibolit, Meta-Ultrabasit, besonders Serpentinit und den charakteristischen Manganquarziten zusammen.

2.1.2.7 Gradener Serie

Diese für den Raum Ligist bestimmende Gesteinsfolge wurde von HERITSCH und CEERMAK 1923 mit "Gradener Serie" bezeichnet. Sie wird aus Staurolith, Diäthen und Chloritoid führenden Granatglimmerschiefern sowie Gneisen, Marmor- und Amphibolitlinsen gebildet (HOMANN 1962). Als sekundäres Charakteristikum wird für diese Serie eine Diaphthorese angenommen. Deshalb wird sie auch mit der Diaphthoritzone des Südrandes der Koralpe gleichgestellt. Aus diesem Grund vergleichen KLEINSCHMIDT und RITTER 1976 die Gesteine der Gradener Serie mit denen der Plankogelserie der Saualpe.

2.1.3 Der tektonische Bau (Überwiegend nach TOLLMANN 1977)

1. Die ältere Epoche der tektonischen Entwicklungsgeschichte der Koralpe ist im einzelnen noch nicht geklärt. Im Vergleich mit der unten erwähnten, wesentlich jüngeren, ebenfalls noch voralpidischen großtektonischen Formung gehört sie aller Wahrscheinlichkeit nach in die vorvariszische, vielleicht kaledonische Ära. BECK-MANNAGETTA 1945, 1947, 1949, 1949a hat zwei Hauptphasen der Orogenese in dieser älteren Epoche angenommen:
 - a) Als ältesten Akt eine Prägung der ESE-streichenden Achsen durch eine Faltung, die syngenetisch mit der ersten Regionalmetamorphose gewesen sei. In dieser Zeit sei der nordvergente Falten- und Gleitbretterbau erfolgt.
 - b) Als zweiten Akt die Prägung der im Hauptabschnitt der Koralpe gegen NNE (nur im S gegen SE) verlaufenden Lineation im Plattengneis durch eine gegen W gerichtete selbständige Faltung.

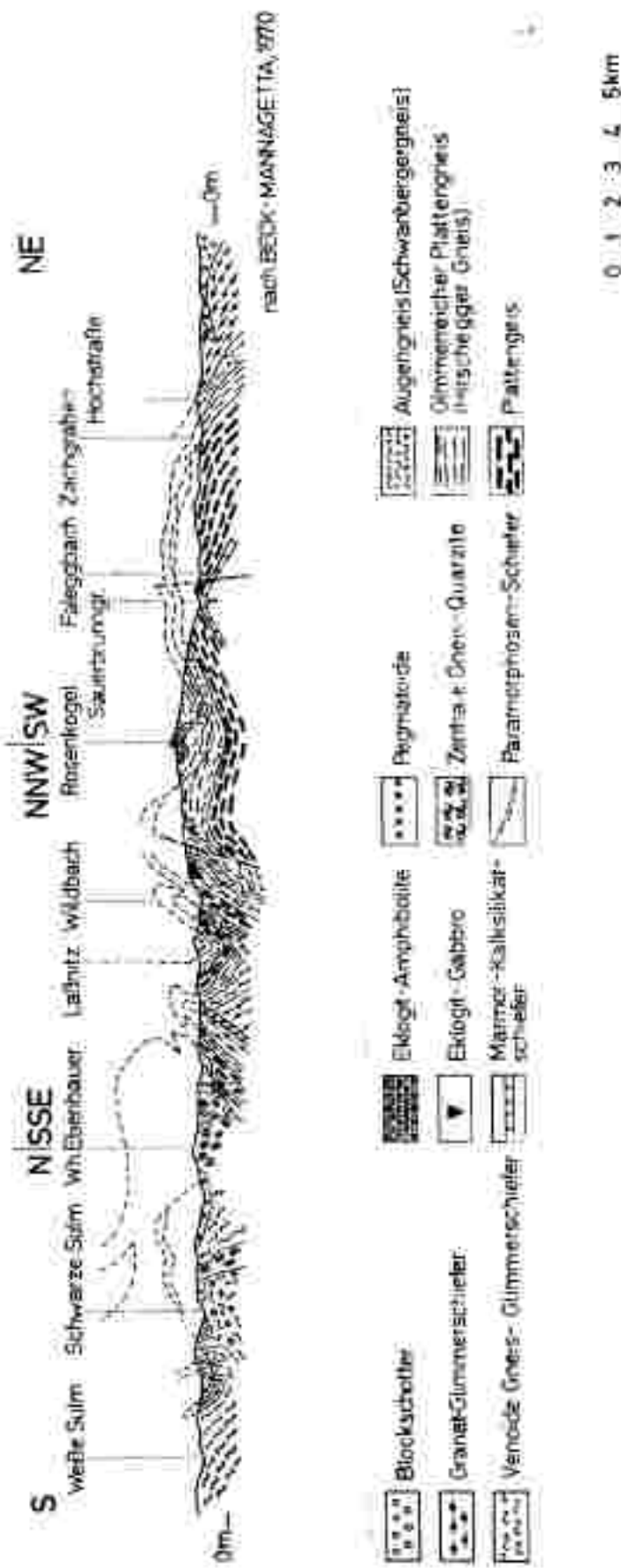
HOMANN 1962 und BECKER 1976 betrachten die Faltung mit etwa W-E verlaufenden Achsen und die senkrecht darauf stehende Lineation als Ergebnis einer und derselben nordvergenten Beanspruchung, da sich die Lineation als eine Längung senkrecht zu den B-Achsen erwiesen hat.

Im Hinblick auf das Alter der ersten metamorphen Prägung käme aus dem Vergleich mit dem übrigen mittelostalpinen Kristallin der Ostalpen am ehesten die kaledonische Ära in Frage, für das Alter der zuvor erwähnten Tektonik aus abendiesem Vergleich etwa die altvariszische Ära.

2. Der ebenfalls noch voralpidische nächstjüngere tektonische Hauptakt ist die große nordvergente Überschiebung der hochmetamorphen Serien des Koralmkristallins als Bestandteil der Saualpdecke über die schwächer metamorphe, ursprünglich nördlicher gelegene Stubalpdecke. Diese Überschiebung, die aller Wahrscheinlichkeit nach jungvariszischen Alters ist, zeigt auf Grund der in neuerer Zeit entdeckten Fenster eine Schubweite von mehr als 45 km. Durch diese Großüberschiebung nach der ersten Regionalmetamorphosephase kam es zu ausgedehnten Diaphthorase-Erscheinungen besonders in der Randzone zwischen Wolfsberger Kristallin und Koralmkristallin. Wie die Kristallin-Deckscholle am Koralpengipfel anzeigt, scheint ein zusätzlicher interner Schuppen- und Deckenbau in dieser Hauptüberschiebungsphase zur Ausbildung gelangt zu sein.
3. Der nächstjüngere Zyklus, der alpidische Deckenbau, hat zweifellos die umfassende Diaphthorase in der Gradener Zone und in den höheren Teilen der Koralpe im S bewirkt, außerdem in jüngerer Phase eine großwellige Faltung des Raumes mit W-E- bis WNW-ESE-Achsen verursacht (u.a. die Wolfsberger Antiklinale zwischen Wolfsberg und Schwanberg). In einer jüngeren Phase dieses Zyklus soll die Querfaltung im Wolfsberger Raum gegen W hin zu stellen sein. In das Miosän schließlich fällt die krustogene Tektonik der alpidischen Spätzeit, in der die Koralpe an Flexuren und kleineren Brüchen im E und S herausgehoben wurde und sich im W das gewaltige Bruchsystem der Lavanttal-Störung mit einer Sprunghöhe von 4000+5000 m herausbildete.

Über die regionalen Verhältnisse der geologischen Züge im Ostteil des Gebirgsstocks gibt das Profil von BECK-MANNAGETTA 1970 ein anschauliches Bild (Abb. 2). Von NE bei Ligist gegen SW bei St. Georgen i.L. reihen sich fünf Komplexe von teilweise WNW-ESE hinziehenden Plattengneis-Arealen aneinander, die in Aufwölbungszonen an die Oberfläche gelangen. Dazwischen sind Gneis-Glimmerschieferzüge der Schwanberger Serie einge-

Abb. 2:
Profil durch die östliche Koralpe



sankt. Die Plattengneisschilde sind im NE (Ligist, Stainz, Gams) und im SW (E St. Georgen) nur sehr schwach herausgehobelt und liegen eher flach. Dazwischen kam es durch eine stärkere Einengung zur Ausbildung ESE-streichender Falten, die teils steilstehen, teils sogar gegen N überkippt sind. Die Großstruktur mit dem symmetrischen Abtauchen unter das Oberostalpin des Grazer Paläozoikums im N und jenes südlich der Brau im S wird durch die Erhaltung der obersten Serie, der Gradener Serie, entlang dieser Grenzzone markiert.

2.1.4 Geomorphologische Erscheinungen

Mit der jungmiozänen Emporwölbung des Koralpenblocks und der gleichzeitigen Absenkung des steirischen Beckens begann auch die Ausbildung der heutigen Landoberfläche. Wie schon oben erwähnt, hob sich der Westteil der Koralpe entlang der Lavanttal-Störung besonders stark heraus. Im S und E wurde infolge der Kippung eine ältere Abwölbung durch staufelförmiges Absinken an Brüchen und Flexuren (FLÜGEL 1963) verstärkt herausgearbeitet.

2.1.4.1 Niveausysteme

Am Ostabfall der Koralpe kam es durch die phasenhafte Gebirgshebung zur Ausbildung von Niveausystemen, die sich z.T. in Resten zwischen den jungen Erosionsgräben der nach E entwässernden Bäche und Flüsse erhalten haben. Es lassen sich fünf Hauptstockwerke unterscheiden:

1. das Kor-Niveau zwischen 1700 und 2000 m (z.B. Weberkogel, Handalpe, Hühnerstütze, Großer Speikkogel, Frauenkogel);
2. das Wolscheneck-Niveau zwischen 1500 und 1700 m (z.B. Hebalpe, Stoffkogel, Kumpfkogel, Moschkogel, Wolscheneck);
3. das Glashütten-Niveau zwischen 1100 und 1400 m (z.B. Schwaigkogel, Mitteregger Kogel, Glashütten, Fuchskogel-Garanas);

Gregormichl Alm, Schichler Alm, Pöschlkogel, Osterwitz, Lenzkogel);

4. das Trahütten-Niveau zwischen 900 und 1000 m (z.B. Klugbauer, Trahütten, Salzgerkogel).
5. das Hochstraden-Niveau (Gebirgsrandflur) um 700 m (z.B. Mausegg, Freiland, St.Wolfgang, St.Oswald ob Eibiswald).

2.1.4.2 Ofenbildungen

Eine morphologisch auffallende Erscheinung im Bereich der Koralpe stellen die sogenannten Öfen dar. Nach BECK-MANNAGETTA 1941, der sich wiederum auf KIESLINGER 1926-28 bezieht, werden als Öfen isolierte Felsgebilde der Koralpe bezeichnet, die ihre Entstehung Holozäner Ausblasung verdanken und als Zeugenberge aufzufassen sein sollen.

PASCHINGER 1974 jedoch meint, daß es sich auf Grund ihrer Verbreitung auf den alten Landoberflächen, ihrer Zerstörung und der Tatsache keiner neuen Formenbildung um jungtertiäre Erscheinungen handelt. Wahrscheinlich sind es Reste einer fossilen subtropischen Eindehnungsfläche. Sie entsprechen der Verwitterungsbasis einer doppelten Eindehnungsfläche mit Schildinselbergen, worauf auch Reste tiefer Verwitterung mit Kaolin hinweisen. Es ist daher mit einem jungmiozän-altpliozänen Alter der Öfen und einer späteren Herausschälung aus den Verwitterungsschichten zu rechnen.

Nach KIESLINGER 1927 bauen einzig Plattengneise und Hirschegger Gneise Öfen auf. BECK-MANNAGETTA 1941 untersuchte eine größere Anzahl und stellte fest, daß die Verwitterung nicht nur beim horizontal gelagerten Plattengneis und dem leicht verfalteten Hirschegger Gneis, sondern auch beim Injektionsglimmerschiefer (unabhängig von den Lagerungsverhältnissen) Öfen bildet. Auffallend ist bei letzterem Gesteinstyp eine große Schuttanhäufung rund um die Öfen. Bei reinen Pegmatiten ist die Ofenbildung selten. Im Falle der Eklogit-Amphibolite begünstigt eine flache Lagerung derartige Bildungen. Eine Gebundenheit an eine gewisse Seehöhe ist nicht gegeben.

2.1.5 Literatur

BECK, H., KIESLINGER, A. et al.: Geologische Spezialkarte der Republik Österreich 1:75 000, Blatt 5354, Unterdrauburg, Geol.B.-A., Wien 1929.

BUCKER, L.P.: Gefügetektonische Studien an pegmatoiden Gneisen mit Plattengneistextur aus dem Gebiet östlich des Wölker Kogels (Stubalm, Steiermark). - Mitt.naturw. Ver.Smk., 106, Graz 1976.

BECK-MANNAGETTA, P.: Die Geologie des Einzugsgebietes der Laßnitz (Weststeiermark). - Mitt.Alpenländ.Ver. (Mitt. Geol.Ges.Wien), 34, Wien 1941.

- Die Tertiärgrenze von Stainz bis Wildbach in Weststeiermark. - Verh.Geol.B.-A., Wien 1945.
- Zur Tektonik des Stainzer- und Ganser Plattengneises in der Koralpe (Steiermark). - Jb.Geol.B.-A., 90, Wien 1947.
- Zur Morphotektonik des Koralpenostrandes. - Mitt. Geol.Ges.Wien, 90, Wien 1948.
- Die wurzellose, venitische Metamorphose des Koralpenkristallins. - Anz.Österr.Akad.Wiss., math.-naturw. Kl., 1, Wien 1949.
- Bau und Metamorphose der Koralpe (vorläufiger Bericht). - Anz.Österr.Akad.Wiss., math.-naturw.Kl., Wien 1949a.
- Auflösung der Mechanik der Wolfsberger Serie, Koralpe, Kärnten. - Jb.Geol.B.-A., Festband 94, Wien 1949/51.
- Über den geologischen Aufbau der Koralpe. - Verh.Geol. B.-A., 3, Wien 1970.
- Grundlagen für wasserwirtschaftliche Planungen in der Steiermark. Teil 2: Geologie - Der geologische Aufbau des steirischen Anteiles der Koralpe. - Bar.WWR, 31, Graz 1979.
- Die Koralpe. In: Der Geologische Aufbau Österreichs. - Geol.B.-A., Wien 1980.
- Geologische Karte der Republik Österreich 1:50 000, Blatt 188 Wolfsberg. - Geol.B.-A., Wien 1980.

CLOSS, A.: Das Kammgebiet der Koralpe. - Mitt.naturw.Ver.Smk., 63, Graz 1927.

FLÜGEL, H.: Das Steirische Randgebirge. - Sammlung Geol.Führer, 42, Gebrüder Bornträger, Berlin 1963.

- HERITSCH, F. & CZERMAK, F.: Geologie des Stubalpen Gebietes. - Verlag Ulrich Moser Graz, 1923.
- HERITSCH, H.: Die Bildungsbedingungen von alpinotypem Eklogit-amphibolit und Metagabbro, erläutert an Gesteinen der Koralpe, Steiermark. - TMPM, 19, Wien 1973.
- HOMANN, O.: Das kristalline Gebirge im Raum Pack-Ligist. - Mitt. mineral. Abt., Landesmus. Joanneum, 2, Graz 1962.
- KIESLINGER, A.: Geologie und Petrographie der Koralpe I, II. - Sitz. Ber. Akad. Wiss., math.-naturw. Kl., Abt. I, 135, Wien 1926.
- Geologie und Petrographie der Koralpe III, IV. - Sitz. Ber. Akad. Wiss., math.-naturw. Kl., Abt. I, 136, Wien 1927.
 - Geologie und Petrographie der Koralpe V, VI. - Sitz. Ber. Akad. Wiss., math.-naturw. Kl., Abt. I, 137, Wien 1928.
- KLEINSCHMIDT, G.: Die Plankogelserie in der Koralpe unter besonderer Berücksichtigung von Manganquarziten. - Verh. Geol. B.-A., Wien 1975.
- KLEINSCHMIDT, G. & RITTER, U.: Geologisch-petrographischer Aufbau des Koralpenkristallins südlich von Soboth/Stmk.-Kärnten (Raum Hühnerkogel - Laaken). - Carinthia II, 166/86, Klagenfurt 1976.
- PASCHINGER, H.: Steiermark - Steirisches Randgebirge, Grazer Bucht, Steirisches Riedelland. - Sammlung Geographischer Führer, 10, Gebrüder Bornträger, Berlin 1974.
- TIEDTKE, H.: Montangeologische Untersuchungen der Pegmatite und Pegmatoide im steirischen Mittelteil der Koralpe. - Univ. Diplomarbeit, Montanuniv. Leoben, 1982.
- TOLLMANN, A.: Geologie von Österreich, Bd. 1. - Deuticke Verlag Wien, 1977.
- WINKLER-HERMADEN, A.: Geologisches Kräftespiel und Landformung. - Springer Verlag Wien, 1957.

2.2 Das Paläozoikum des Remschnigg-Poßruck-Zuges (G. Suetta)

2.2.1 Lithologische Einheiten

Die paläozoische Schichtfolge besteht aus ± phyllitischen Schiefern, die nach EBNER 1982 (cum lit.) dem Zeitraum vom Oberen Ordovicium bis zum Devon zuzurechnen sind.

Es treten folgende Großeinheiten auf:

Dunkle Phyllite: diese treten meist an der Basis der oberostalpinen Paläozoikumsschubmasse auf;

Tonschiefer: verschiedenfarbig, teilweise phyllitisch überprägt und teilweise mit Grünschieferereinschlüsseungen;

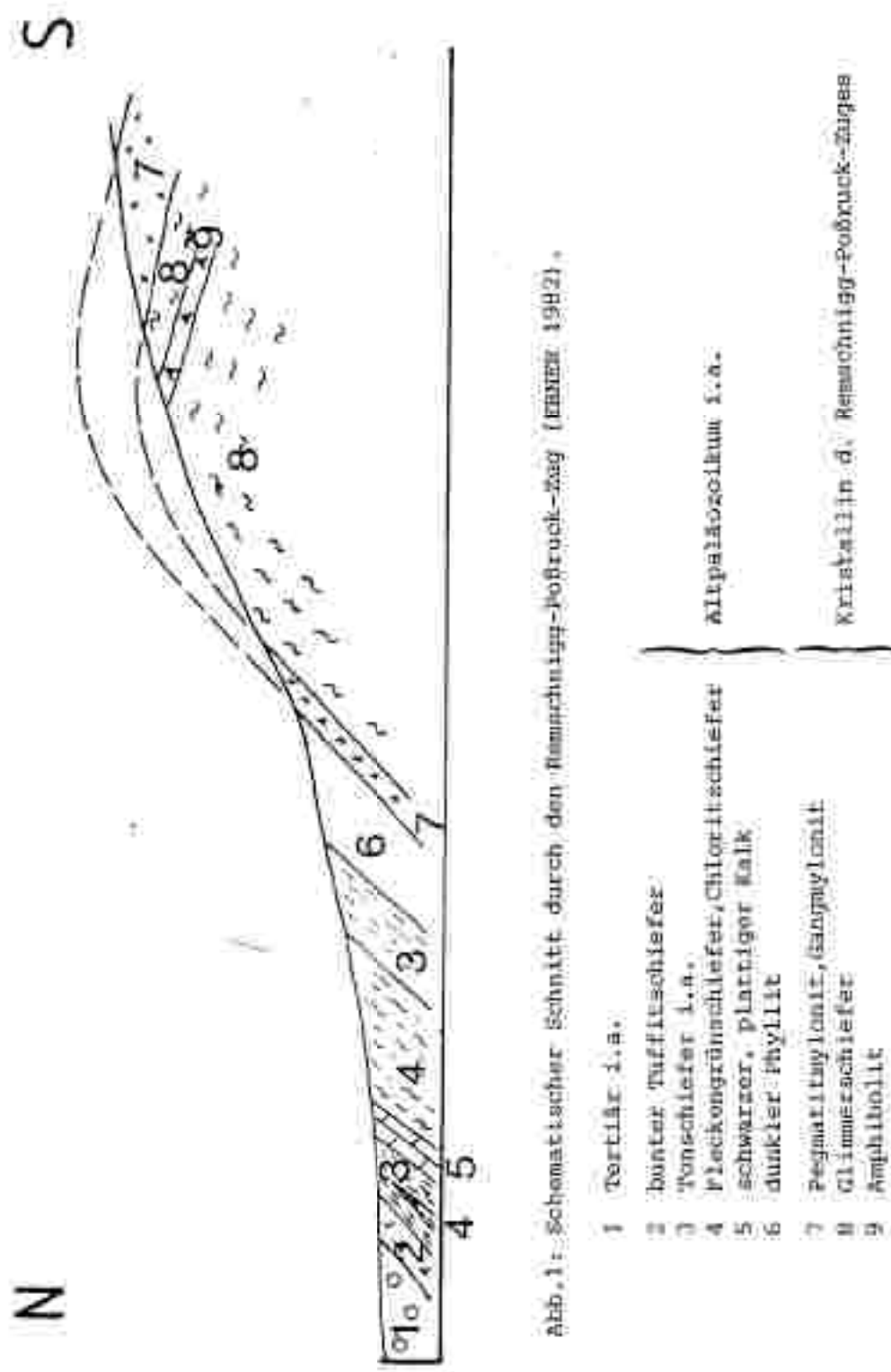
Fleckengrünschiefer, Chloritschiefer: dunkelgrün-fleckige bis violettröt-grüne schiefrige Gesteine. Sie werden von EBNER 1982 als Tuffe bzw. Tuffite gedeutet und dem Silur zugerechnet.

Sanderkalke, kristalline Kalke.

2.2.2 Der tektonische Bau

Das Paläozoikum des Remschnigg-Poßruck-Zuges bildet einen Teil der oberostalpinen Decke, die dem mittelostalpinen Kristallin auflagert. Großräumig weist das Gebirge Antiklinalstrukturen mit annähernd horizontal liegenden, WNW-ESE streichenden Achsen auf.

Die mittelostalpinen kristallinen Gesteine bilden den Kern der Antiklinale. Über diesen liegt, durch einen durch Mylonite und Diaphthorite markierten Bewegungshorizont getrennt, das Paläozoikum. Auffallend sind NW-SE bzw. N-S verlaufende Störungen. Abb. 1 zeigt schematisch den Bau des Remschnigg-Poßruck-Zuges.



2.2.3 Literatur

EBNER, F.: Das vortertiäre Grundgebirge im Bezirk Leibnitz.
In: Pöschl, M., G. Soette u. Th. Untersweg: Erläuterungen zu den geogenen Naturräumspotentialkarten des Bezirkes Leibnitz. - Univ.Ber., Graz 1982.

2.3 Die jungtertiären Ablagerungen des Weststeirischen Beckens (G. Suetta)

2.3.1 Radl-Blockschutt und Basisschichten des Radl-Blockschutt - Ottnang

Das Radl-Gebirge, welches hier das Grundgebirge darstellt, wird an seiner Nordabdachung von bis maximal 1000 m mächtigem Radl-Blockschutt (WINKLER 1929), der gegen E rasch auskeilt, überlagert. Aufgebaut wird der Radl-Blockschutt aus einem kantengerundeten bis eckigen Blockwerk kristalliner Gesteine. Gegen N entwickeln sich aus ursprünglich richtungslosem Blockwerk Blockschuttbänke, die mit Konglomeraten und Feinsanden wechseltlagern. Im allgemeinen beträgt ihr Einfallen zwischen 50° und 60° nach HNW bis NNE. Ausgangsmaterial für den Radl-Blockschutt sowie für die Konglomerate sind Gneise, Glimmerschiefer, Granatglimmerschiefer, Pegmatite, Amphibolite, Phyllite, Quarzite, Bändermarmore, u.a.m.. Im Bereich der Südgrenze des Radl-Blockschuttet treten die "Basisschichten des Radlschuttet" (WINKLER 1929) auf. Es sind dies Schotter und Konglomerate (mit sandigen Zwischenlagen) fluviatiler Entstehung. Für das richtungslose Blockwerk und Riesenblockwerk fordern HIESSEITNER 1926 und WINKLER 1929 eine sehr hohe Transportkraft wildbachähnlicher Gewässer, deren Einzugsgebiet im Koralpengebiet zu suchen ist, und die das Material in die "Radlschottersenke" (WINKLER-HERMADEN 1939) eingebracht haben (Abb. 1). Diese Senke ist nach Meinung von WINKLER-HERMADEN 1939 durch die savische Faltung aus ihrer ursprünglichen Lage gebracht worden, was durch Schiefer- und Kalkbergsturzmassen, die nahe der Grenze zwischen Radlschotter und Bibiswalder Schichten eingeschaltet sind, bewiesen sein soll.

2.3.2 Untere Bibiswalder Schichten - Ottnang

Über dem Radl-Blockschutt folgt eine, nach HIESSEITNER 1926 1500-1600 m, nach WINKLER 1929 und WINKLER-HERMADEN 1939 bis 1500 m, und nach FLÜGEL & HERITSCH 1968 300-400 m mächtige Folge von limnisch-fluviatilen Sedimenten, die eine lithologische

Dreigliederung erkennen lassen.

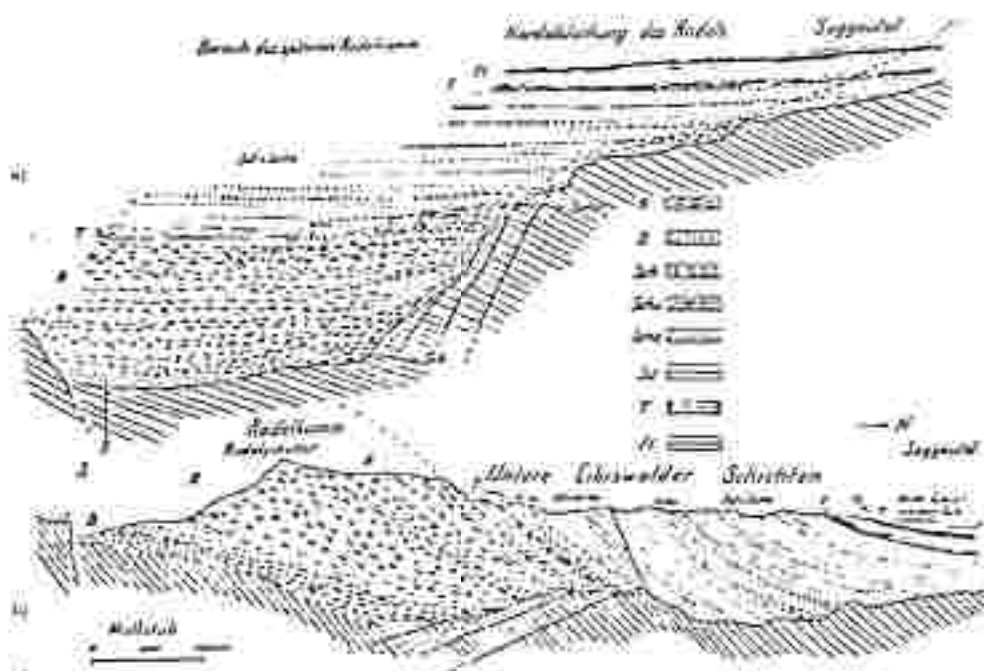


Abb. 1: (WINKLER - HERMANN 1929)

- a) Schema der altmiozänen Ablagerungen in der Radelsenke.
- b) Profil durch das Radlgebirge.
- R = Radlwildbachschotter
- B = Basissschichten des Radlschotters
- Sch = Eckige Schuttfaeze des Radlschotters
- Schu = Eckige Schuttbildungen in den unteren Eibiswalder Schichten
- Scho = Schotterbinke in den unteren Eibiswalder Schichten
- Sd = Sande in den unteren Eibiswalder Schichten
- T = Tone und sandige Tone in den Eibiswalder Schichten
- F1 = Kohlenflöz

Bei den Untereren Eibiswalder Schichten handelt es sich um mittelsteil bis steil nach NW bis NNW fallende Wechsellagerungen von glimmerreichen Sänden und Schottern und teilweise Konglomeraten. Die auftretenden Komponenten sind Gneise, Turmalinpegmatite, Granatglimmerschiefer, Amphibolite und Marmor, welche alle als Liefergebiet das Koralpengebiet andeuten.

Im basalen Anteil der Untereren Eibiswalder Schichten sind häufig Murenschotterbildungen zu beobachten, die teilweise bis zu 1 m große Gerölle führen.

In untergeordneter Stellung sind tonige Partien vorhanden. Lokal kam es zur Entstehung eines Flözes, des Stammeregger Flözes, welches sich nach Angaben von HIESSELEITNER 1926 aus 13 Flözchen

mit einer Mächtigkeit von je 0,2-0,3 m zusammensetzt. Im Hangenbereich der Unteren Eibiswalder Schichten ist eine Dominanz feinsandig-toniger Lagen gegenüber größerklastischen Sedimenten zu beobachten. HIESSLEITNER 1926 deutet die Unteren Eibiswalder Schichten auf Grund ihrer guten Schichtung und des raschen Sedimentationswechsels mit z.T. schon gut gerundeten Kleingeröllan als Bildungen schwach bewegter Gewässer.

2.3.3 Höhere (= Mittlere und Obere) Eibiswalder Schichten - Karpat

Unter der Bezeichnung Höhere Eibiswalder Schichten fasst WINKLER-HERMADEN 1939 die Mittleren und Oberen Eibiswalder Schichten im Sinne von HIESSLEITNER 1926 zusammen.

Der Übergang aus den größeren Unteren Eibiswalder Schichten in die vorwiegend feinsandig-tonigen Süßwasserablagerungen ("produktiv", WINKLER-HERMADEN 1939) der Mittleren Eibiswalder Schichten erfolgt kontinuierlich und ohne scharfe Grenze, wobei sie eine Mächtigkeit von 600-800 m (WINKLER-HERMADEN 1939) erreichen.

Eine Ausnahme in dem eher eintönigen, feinkörnigen Sedimentationsbild stellt das "Pitschgau-Konglomerat" dar, das aus mesozoischen und paläozoischen Kalkgeröllen zusammengesetzt ist (WINKLER 1927) und sich in zwei, jeweils ca. 3 m mächtige Teilbänke gliedert. Beide Bänke fallen mit etwa 20° nach NE ein.

Dieses Konglomerat wird im Liegenden durch das Eibiswalder Hauptflöz und sein Hangenflöz, und im Hangenbereich durch das Wieser Flöz-Niveau begrenzt. Die in diesen Horizonten auftretende reiche Vertebratenfauna wurde von THENIUS 1956, MOTTL 1961, u.a. bearbeitet und erlaubte die stratigraphische Einstufung in das Karpat. Vereinzelt ist an der Basis der Höheren Eibiswalder Schichten (am Kontakt der Höheren Eibiswalder Schichten mit dem Grundgebirge) ein geringmächtiges Basiskonglomerat zu beobachten.

RADIMSKY 1875 erwähnt solche Konglomerate in Steyregg (Dismastollen) und Schwanberg (Limberger Maschinenschacht), PETRASCHECK 1915 vom Burgstallrücken, HIESSLEITNER 1926 vom Cäciliastollen in Steyregg. Den Beginn der Mittleren Eibiswalder Schichten setzt HIESSLEITNER 1926 an die Basis des Eibiswalder Hauptflözes,

die Hangendgrenze der Mittleren Eibiswalder Schichten wird mit dem hangendsten Flöz des Wieser Reviers angenommen. Die Zwischenschichten innerhalb der flözführenden Schichtgruppen des Eibiswalder und Wieser Flözes sind durch eine rhythmische Aufeinanderfolge von sandigen und sandig-tonigen bis tonigen Schichten charakterisiert, wobei Mächtigkeiten von 1-5 m selten überschritten werden. Die Hangendschichten über dem Hangendflöz des Eibiswalder Flözes sind überwiegend sandig.

Die Mittleren Eibiswalder Schichten werden von HIESSLEITNER 1926 als landnahe, feinkörnige bis dichte Sedimente eines seichten Süßwassersesses, der in ständigem Absinken begriffen war, gedeutet. Auf das Hangendflöz des Wieser Reviers folgen die flöslearen Oberen Eibiswalder Schichten mit einer sehr flach gelagerten Schichtfolge, die denselben feinkörnigen Sedimenttyp zeigt. Als Charakteristikum sieht HIESSLEITNER 1926 eine Verlangsamung der Sedimentationsrhythmik, in der tonige und sandige Schichten aufeinanderfolgen. So erreichen in diesem Abschnitt die tonigen Sedimente Mächtigkeiten von 10-20 m, während die glimmerreichen, sandigen Tone und Sande nur 2-5 m mächtig werden. Von Bergla in Richtung NW bis gegen Hollenegg ist eine Zunahme der Zahl und der Korngröße von Schotterhorizonten, die zusammen mit kreuzgeschichteten Grobsanden auftreten, zu beobachten.



Abb. 2: Profil über Rettenberg gegen Eckfastl (W Hollenegg), überhöht. Obere Eibiswalder Schichten (o.E.) mit Hangendblockschutt (H.).
(HIESSLEITNER 1926)

Im Bereich der Kapelle NW Rettenberg folgen auf Schotterlagen sandige Schotter, die sich weiter gegen NW zu den mächtigen Blockschuttlagen des Hangendblockschattes entwickeln.

Im allgemeinen sind die Oberen Eibiswalder Schichten flözleer, es wurden jedoch bei Kresbach/Laibenfeld sechs Kohlenschiefertänke erbohrt. Weiters wurde SW des Schlosses Hollenegg eine wenige cm mächtige Kohlenschicht auf 170 m stollenmäßig verfolgt (HIESSELTNER 1926).

Nach FLUGEL & MAURIN 1959 treten, unmittelbar hangend zum Eibiswalder Glanzkohlenflöz, 9 m mächtige Schieferfone mit 31-10 cm mächtigen Tufflagen auf.

EBNER & GRÄF 1982 erwähnen aus dem ehemaligen Grubengelände von Steyregg reine weiße Halloysitzone (teilweise gefrittet), die in ziegelroten, harten, splittrig brechenden, pflanzenführenden Schiefern (thermisch beeinflußte sandige Tone) auftreten.

Nach sedimentologischen und mineralogischen Untersuchungen gliedert NEBERT 1980 die Unterer und Höheren Eibiswalder Schichten in 4 Sedimentationszyklen, die zumindest im Bereich zwischen Salm und Saggau anzutreffen sind, wobei jeder aus einer fluviatilen, einer limnisch-telematischen sowie einer limnischen Phase besteht. In jedem dieser Zyklen stellt NEBERT 1980 eine Korngrößenabnahme vom Liegenden gegen das Hangende und die Kohle als integriertes Faciesglied in der limnisch-telematischen Phase fest (Abb. 3).

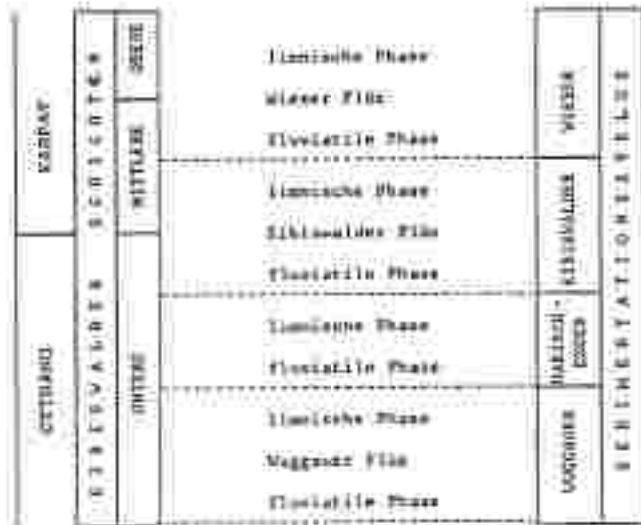


Abb. 3: Sedimentationszyklen und Phasenablauf in den Eibiswalder Schichten.
(NEBERT 1980)

2.3.4 Florianer Schichten ~ Baden

ROLLE 1856 zählt die Sedimente des Florianer Beckens seiner "Sand-Ton-Mergel-Formation" zu und stellt diese der "Meeresformation" der Leithakalke altertümlich gleich. Nach STUR 1871 gehören die Sedimente dieses Raumes den "Tegeln und Tegelschiefern" an. KOPETZKY 1957 stellt alle hier auftratenden Sedimente in den von ihm "Klastischer Ablagerungsbereich" genannten Faziesraum. Die Entwicklung des Baden im Bereich der Florianer Bucht ist durch eine zweimalige Ingression, unterbrochen von einer Regressionsphase des Meeres charakterisiert (Abb. 4). Die erste Ingression erfolgte zu Beginn des Baden durch die Laßnitz-Senke bei Preidling und erreichte noch im Unteren Baden seine größte Ausdehnung. Im höheren Unterbaden (höhere Lageniden-Zone) setzte die Regression ein, die noch im höchsten Unterbaden von der zweiten Ingression, die eine weitgehende Überflutung der Florianer Bucht bewirkte, abgelöst wurde. Die endgültige Verlandung beginnt während des höheren Mittelbaden (Bolivina-Zone).

Die Florianer Schichten sind im gesamten Raum nahezu ungestört. DILLER 1957 stellt zwei deutlich ausgeprägte Kluftsysteme fest, die in den Hauptrichtungen N-S und E-W verlaufen. JENTISCH 1955 beobachtet eine konstante horizontale Lagerung, nur im W., gegen die Kristallin-Grenze, stellt er ein etwas stärker gegen das Zentrum des Florianer Beckens gerichtetes Einfallen fest.

Die Schichtfolge in diesem Raum ist aus Tab. 1 ersichtlich. Im Text werden im allgemeinen die Bezeichnungen von FLÜGEL & HERITSCH 1968 herangezogen.



Abb. 4 : Die paläogeographische Entwicklung im West- und Mittel-Salzachischen Becken während des Torton (= Baden).
A: Untere Lageniden-Zone (Unter-Torton); Pfeile deuten die Trans- bzw. Regressionsrichtungen an.
B: Mittlere Lageniden-Zone (Unter-Torton).
C: Obere Lageniden-Zone (Unter-Torton).
D: Sandschalen-Zone (Mittel-Torton).
E: Bulimina-Bolivina-Zone (Mittel-Torton).

(FLÜGEL & HERITSCH 1968)

Tab.1 : Die Schichtfolge im plorianer Becken,
zusammengestellt nach Angaben von DILLER 1957, PFÜGEL u., HERTITSCH 1958,
KOPETZKY 1957 und WALTER 1951.

| DILLER 1957 Schwanberger Blockschutt | | PFÜGEL u., HERTITSCH 1958 Schwanberger Blockschutt | | KOPETZKY 1955 JENISCH 1957 WALTER 1951 | | WALTER 1957 Schwanberger Blockschutt | |
|---|----|---|----|--|---------------------------|---|---|
| N | S | N | S | A | B | C | D |
| 5 | 4 | 5 | 4 | Handendstand | Handendstand | Zone der Wechsel-Lagerung | Zone der Wechsel-Lagerung |
| 6 | 5 | 6 | 5 | Verlängerte Handendstande | Tuff | 2. Grobsandhorizont | 2. Grobsandhorizont |
| 7 | 6 | 7 | 6 | Wechsel-Lagerung | tone der Wechsel-Lagerung | karbonathalt., Tons und Sand-einschaltung | karbonathalt., Tons und Sand-einschaltung |
| 8 | 7 | 8 | 7 | Grobsand- | hängenden Tuff | Kerzelzone | Kerzelzone |
| 9 | 8 | 9 | 8 | horizont | polser Mergel mit | Untere Florianer Tegel | Untere Florianer Tegel |
| 10 | 9 | 10 | 9 | Unterer Sand | Basitrogsand | Kreuzbergersand | Kreuzbergersand |
| 11 | 10 | 11 | 10 | | | Übergangsszone | Übergangsszone |

2.3.4.1 Übergangszone - U-Baden

Die Schichtfolge beginnt mit ca. 10 m mächtigen graublauen Feinsanden, die mäßig verfestigt sind. Im Hangenden dieser Sande schalten sich bis zu 10 cm mächtige Sandbänder mit eingestreuten Kiesen von 5-10 mm Durchmesser ein. Neben Quarz fallen in dieser Schichtfolge auch bis zu 2 mm große Muskowitblättchen auf. Kreuzschichtung ist in diesem Abschnitt der Schichtfolge nach Angaben von KOPETZKY 1957 leicht angedeutet.

Im Gebiet von Kleinpreding treten in den höheren Grobsandbändern dieser Serie Makrofossilien in Steinkernerhaltung (Pecten, Cardium) auf. Die Mikrofauna weist auf brackisches Milieu hin. Fauna und Lithologie zeigen deutlich den Wechsel von limnisch-fluviatilen zu marinen Verhältnissen, der durch das Auftreten einer Feinkieseinschreitung und der typischen Foraminiferenfauna angezeigt wird (KOPETZKY 1957).

2.3.4.2 Basisgrobsand - U-Baden

Diese Grobsandentwicklung, die vor allem im östlichen und südlichen Teil der Florianer Bucht auftritt, wird von WALTER 1951 "Kreuzbergsand", von DILLER 1957 "Unterer Sand", von KOPETZKY 1957 und FLÜGEL & HERITSCH 1968 "Basisgrobsand" genannt.

Sie stellt eine marine Bildung dar. Ihre Mächtigkeit erreicht nach DILLER 1957 etwa 15 m, nach KOPETZKY 1957 20-25 m und nach WALTER 1951 10 m (SE) bis 30 m (W).

Die lithologische Ausbildung ist wechselhaft; so reicht das Spektrum von Psammiten (Durchmesser 0,02-2 mm) bis zu Psephiten (Durchmesser > 2 mm), wobei diese Korngrößenunterschiede sowohl vertikal als auch lateral variieren. Im Bereich des Kainachtals tritt innerhalb dieser Folge ein Feinkonglomerat auf, das sich zu 50 % aus kalkalgen-Bryozoen-Mollusken-Detritus und zu 50 % aus großem, glimmerreichem Quarzsand zusammensetzt (KOPETZKY 1957). Die sandigen Anteile weisen eine überwiegende Quarz- und Glimmerkomponente auf.

KOPETZKY 1957 deutet diese Entwicklung als Schwellenfazies; DILLER 1957 nimmt im W ein marin-brackisches und im E ein fluviatiles Milieu an, was er durch den Fossilinhalt im Aufschluß

Basreith (Foraminiferen) und das Fehlen dieses sowie mit Hilfe der Sedimentstrukturen in den anderen Aufschlüssen begründet (Abb. 5 - 8).

Im NE-Teil der Florianer Bucht, zwischen Kainach und Laßnitz, ist gute Kreuzschichtung ein Charakteristikum der Basisgrobssande. Durch Fossilfunde (Ostreen, Unio) und Korngrößenanalysen sieht sich KOPETZKY 1957 veranlaßt, diese Folge als sehr küstennahes, z.T. rein fluviatiles Sediment zu deuten.

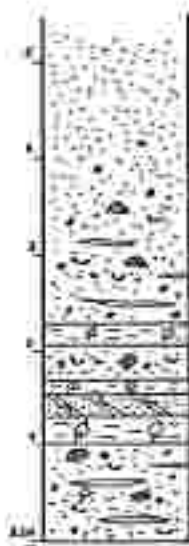
WALTER 1951 bezeichnet alle Sande, die an der Basis der Unteren Florianer Tegel auftreten, als "Kreuzbergsande"; dies erfolgt nur unter der Annahme der Gleichaltrigkeit mit den "Kreuzbergschottern" im Sinne von WINKLER-HERMADEN 1943. Er weist aber gleichzeitig auf Korngrößenunterschiede (wesentlich geringere Korngröße als die Kreuzbergschotter am Locus typicus) hin. Nach den Untersuchungen von WALTER 1951 erstrecken sich die Sande über den gesamten Raum zwischen Stainz- und Gleinzbach, wobei die Mächtigkeit von SE (<10 m) gegen W (ca. 30 m) zunimmt. Gleichzeitig mit dieser Mächtigkeitszunahme von E nach W nimmt WALTER 1951 an, daß die "Kreuzbergsande" östlich des Saubaches und unter Bergla mit den "Unteren Florianer Tegeln" wechsellagern und westlich davon diese sogar vertreten. Weiters erkennt er eine Wechsellagerung mit den "Oberen Florianer Tegeln" im Raum Freidorfer Gleinz und des Voheragrabens, sowie westlich des Gamsgrabens eine rein sandige Entwicklung für den gesamten Florianer Schichtkomplex.

Lithologie

Die Sande sind im SE der zentralen Florianer Bucht feinkörnig und ohne Kreuzschichtung ausgebildet. Diese Entwicklung hält bis etwa zur Linie Gröbden-Wohlsdorf an. Westlich davon treten als Charakteristika Kreuzschichtung und Schotterbänke auf. In den Schotterbänken sind Quarzgerölle vorherrschend.

2.3.4.3 Röller Mergel und hangender Tuff - U-Baden

Diesem entsprechen die "Unteren Florianer Tegel" sensu WALTER 1951 und JENISCH 1955, sowie die "Mergelzone" und "erster Tuff-

Aufschluß Basalteith

Basiszone östlich der vom Diabortal nach Basalteith führenden Straße beim Haase. Vorausichtlich wahrscheinlich handelt es sich um den schon von DILLER (1957) beschriebenen Aufschluß.

Unterkante bei 320 m

Aufschlußhöhe ca. 5 m

Charakteristika:

Hochschichtlageung, lichtes Diamantkörner mit grauen, sandigen Tonen.

Lithologie der Sande:

Sand und Kiese mit Raspelkornpartikeln Ostarr. und Muskovit um 1 cm Ø. Kiese bis 20 mm Ø. Einstreifung von hellen Kalkeinschlüssen und kristallinen Schieferkomponenten. Unregelmäßig verteilte dunkle Konkretionen bis 10 cm d. Konglomeratische Verfestigung des Sedimentes mit kalkigem Bindemittel.

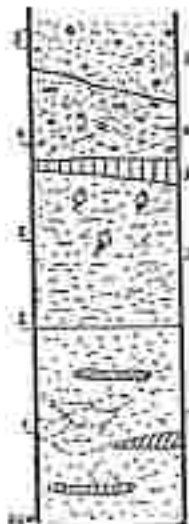
Fossillführungen:

Stark verwittertes Makrofossilienrest. Netze transversal, teilweise konkretionsart. mit den Sedimenten verwachsen.

Beschreibung der lithologischen Aufeinanderfolgen:

- 1) Sand und Kiese grau, mit dunkelbraunen Konkretionen, halbrige Konglomeratbildung, Tonflächen gegen das Hängende.
- 2) rot, grau, grober geschichtet mit Pflanzenknollen und Blattabdrücken, Einlagen von feinstem Glimmersand.
- 3) Sand mit röver Kiesestreifung und schrämkornartigen Tonblättern.
- 4) Kiesel 2, jedoch sehr viel Glimmer.
- 5) Sand und Kiese graubraun, mit Austernkalken und Fossilifères, Makrofossilienreste teilweise konkretionär im Sediment.
- 6) rot, graugrün, fein geschichtet mit viel Glimmer, Pflanzenführung wie 2.
- 7) sandig rot braun, Kiesestreifungen, sogenannte Makroknollen, dunkelbraune Konkretionen, dünne tonige Fissuren, Kreuzschichtung gegen das Hängende abwechselnd.

Abb. 5: Profil im Aufschluß Basalteith (DILLER 1957).
(Geographische Lage siehe Abb. 17)

Aufschluß Sulzhofer

Lithologie des Grobsandes:

Grobsand mit gut gerundeten Quarzkörnern und hellen verwitterten Kristallinkomponenten.

Lithologie des Feinsandes:

Bräune und bläuliche Feinsande mit politischen Material.

Fossillführungen:

Keine, aber pflanzlichen Resten.

Beschreibung der lithologischen Aufeinanderfolge:

- 1) Feinsand, graubraun mit flachen Sandsteinkonkretionen.
- 2) Tonige Feinsande, braun, sehr glimmerreich, mit Blattabdrücken.
- 3) rotliche Verwitterungsabsicht von 1.
- 4) Sande und Kiese dunkelbraun, mit wenigen eingestrauten hellen verwitterten Kristallinkomponenten.
- 5) Feinsand, graubraun, glimmerreich mit etwas Feinkies.

Abb. 6: Profil im Aufschluß Sulzhofer (DILLER 1957).
(Geographische Lage siehe Abb. 17)

Aufschliff Fantsch

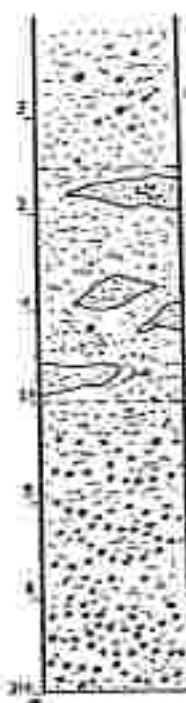
teilweise verwitterte Sandgrube ca. 1 km östlich von Fantsch.
an einem markanten Straßenrand der Straße Finkenstein -
St. Peter im Westen befindet sich ein Teich.

Unterkante bei 317 m

Aufschlighthöhe ca. 10 m

Charakteristik:

Flinschiefer Kreuzschichtung von Sand mit Feinsanddilatoren.

Lithologie des Sandes:

Brausebrosche Grünsande mit starken Ver-
rostungsscheinungen. Hauptmineralbesteile
Quarz und Muskovit, geringe Einstreung
heller Kalikörper und Glimmerschiefer.
Im Zuge der Kreuzschichtung eingelagerte
Kiesel bis 10 mm d. Konglomeratische Ver-
festigung nur in Verbindung mit starker
Verrostung zu beobachten. Kreuzschichtung
und Korngröße gegen das Hangende abnehmend.

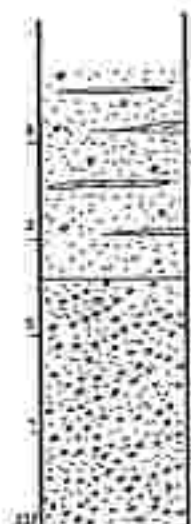
Fossilienfund:

Keinen und etwas Pflanzenspuren.

Beschreibung des lithologischen Aufbaus:

- 1) Sand und Grobsand mit Kies, dunkel-
braun, besonders an den Schichtflächen
der Kreuzschichtung, die im Liegenden
sichtbar. Sehr starke politische Verun-
reinigung des Sedimentes.
- 2) Grisch I, jedoch gelbbraun und unregelmäßig
sandig Sand, Linsenförmige Feinsandin-
schaltungen mit etwas inkohlen pfleg-
lichen Resten und kaum Glimmergehalt.
- 3) Feinsanddilatoren mit Nohldränen von
Unten, weiterhin unregelmäßig.
- 4) Sand und Feinsand, gelbgrün, wenig
Glimmer, jedoch stark politisch durch-
setzt; schwache Kreuzschichtung.

Abb.7: Profil im Aufschluß Fantsch (DILLER 1957)
(Geographische Lage siehe Abb. 17)

Aufschliff Klein Neudorf:

Sandgrube ca. 250 m nordwestlich von
Klein Neudorf an einem markanten Talschl-
schnitt südlich des Sachen.

Unterkante ca. 100 m

Aufschlighthöhe ca. 8 m

Charakteristik:

Verstollslagerung brauner und grauer Sande
mit Tonmineralen.

Lithologie der Sande:

Sand und Kies, tonig verunreinigt, vor-
wiegend Quarz und Glimmer, graue,
glimmerige Schieferkomponenten vorhanden.
Konglomeratische Verfestigung durch Fe-
nschluff. Keine Konkretionsbildung.

Lithologie der Tone:

feinsandige Tonsteine horizontal eingelagerte graue Tonminerale.

Fossilienfund:

Keinen.

Beschreibung des lithologischen Aufbaus:

- 1) Sand und Grobsand dunkelbraun mit Kies bis 20 mm d. Ausge-
prägte Kreuzschichtung, stark verrostet.
- 2) Sand mit Kies, grau, horizontal eingelagerte graue Tonminerale.

Abb.8: Profil im Aufschluß Klein Neudorf (DILLER 1957)
(Geographische Lage siehe Abb. 17)

"horizont" sensu KOPETZKY 1957 und der "Mergelhorizont" sensu DILLER 1957.

Die Schichtfolge setzt sich aus glimmerigen, kalkreichen, tonigen, gegen das Hangende zunehmend tonigeren Feinsanden, einer Mergelbank von etwa 1-3 m Mächtigkeit mit zahlreichen Makrofossilien und Glanzkohleschmitzen, einem weiteren Glimmersandhorizont, dem Tuffhorizont und hangenden Feinsanden zusammen.

Im folgenden werden der Reihe nach die Verhältnisse von den südlichen bis zu den nördlichen Teilen der Florianer Bucht behandelt.

Der Raum zwischen Schwarzer Sulm und Gleinzbach

Die Liegendantateile sind überwiegend feinsandig, außerdem ist eine Korngrößenzunahme gegen S zu beobachten. Für den hier auftretenden Mergelhorizont sind Glanzkohleschmitzen, die im Bereich von Sulberegg und Höfern auftreten, charakteristisch (DILLER 1957). DILLER 1957 deutet den Ablagerungsraum als ein marin-brackisches Milieu, belegt durch die Rotalienfauna, wobei das Biotop litoral und stark terrestrisch beeinflußt ist.

Im Aufschluß Fantsch (Abb. 7) stehen fossilführende sandige Mergel an, die vom "Grobsandhorizont" des Oberbaden überlagert werden. Von DILLER 1957 wird das Gestein als Seichtwasserablageung gedeutet und in das Untere Baden eingestuft.

Die fazielle Ausbildung weist nur noch auf geringe marine Einflüsse hin; sie repräsentiert vielmehr das Mündungsgebiet von Süßwasser (DILLER 1957).

Aufschluss Stangl:

Der Aufschluss liegt ca. 1.2 km NW vom Letztemannitz und 250 m N von der Gehöftgruppe Stangl, wo der Quellgraben oberflächig zur Gleina entwässert. Die Basis liegt bei 330 m. Die Aufschlusshöhenlage erreicht ca. 10 m, stellt also nur einen Abschnitt aus dem Marcellhorizont dar.

Die lithologischen Merkmale:

- 1) Mergel, glimmerreich, etwas sandig, orangefarben mit Schalenresten.
- 2) Tonmergel, sehr glimmerreich, grau, Metrische von Cardium, pflanzenführend.
- 3) Tonmergel, grau, sehr feinkörnig, glimmerreich, Schalenreste.
- 4) Graub. s. sandig mit gut erhaltenem, vorwiegend Bivalvenkalk (u.a. Arva, Cardium, Tellina).
- 5) Tonmergel, glimmerreich, graugrün.
- 6) Mergel, sandig, graublaue, wenig Glimmer, Schalenreste und Pflanzen.
- 7) Feinkiesel, gelblich, graublaue, mit gut gerollten Kiesen bis 3 mm Ø, Schalenreste.
- 8) Feinsand, gelblich mit Blattabdrücken.
- 9) Mergel, sandig, graublaue, wenig Glimmer, schlecht erhaltenes Makrofossilienreste (Cardium und Meristina), Zahn- und Bruchstücke.
- 10) Feinkiesel, tanig, graublaue, sehr glimmerreich, Blattabdrücke.

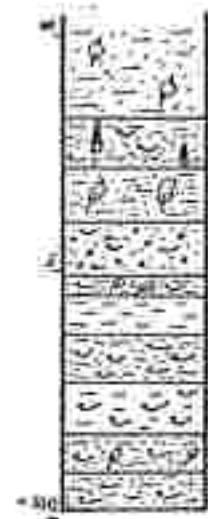


Abb. 9: Profil im Aufschluß Stangl.
(DILLER 1957)

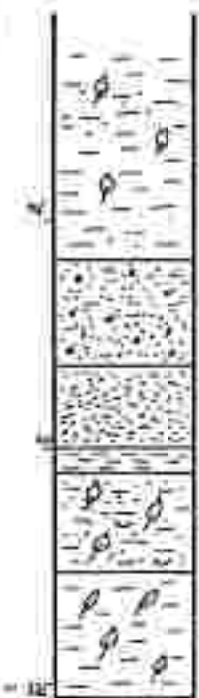
Geogr. Lage siehe Abb. 17.

Abb. 9: Profil im Aufschluß Stangl.
(DILLER 1957)

Geogr. Lage siehe Abb. 17.

Aufschluss Fantsch:

Der Aufschluss Fantsch des Marcellhorizontes liegt ca. 600-700 m N des schon durch den "Unteren Sand" bekannten, markanten Nitratsteinen (IV/3). In dem stellen, nach N zu den Thünen entwassenden Quellgraben stehen hangend zum "Unteren Sand" nähr- und nitrofossiliereiche sandige Mergel an, die vom marcellartigen Großsandhorizont überlagert werden. Die Unterkante dieses Aufschlusses liegt bei 335-340 m. Der Übergang in den liegenden Sand ist hier infolge Lehm- und Humusbildung der glimmerschiefer Abnahme des Gehaltes gegen die Talsohle nicht aufgeschlossen. Alle Proben dieses Aufschlusses sind durch Feinsand und Komponenten von Schiefergestein (sie nahm Paläosolium des Saual sehr reichlich).



Unterkante ca. 335-340 m

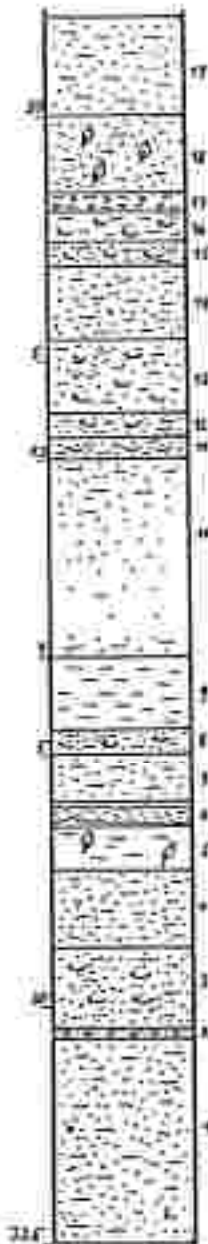
Aufschlusshöhe ca. 12 m

Charakteristika:

seichwasserzähliger, fast ständig als holozäne Unterarten belegt.

Die lithologische Folge im Sediment:

- 1) Tonmergel; glimmerig, bröcklig, Pflanzenreste.
- 2) Tonmergel, große Glimmer, etwas Sand, deutliche Schieferkongenitete, Makrofossilien, Pflanzenreste.
- 3) Tonmergel, hellgrün, sehr feinkörnig, wenig Glimmer, vermisste Schalenresten.
- 4) Feinsand, graublaue, wenig aber grobe Glimmer.
- 5) Sand und Feinsand, tanig, grau, reicher Gehalt an Serizitschistof.
- 6) Tonmergel, graublaue, sehr glimmerreich, feingeschichtet, etwas pflanzliche Reste.

Aufschluss TraglLithologie und Charakteristik:

Politische bis feinklastische Sandsteinschichtungen.

Fossilienreichtum:

Obwohl vorin beeinflusst, konnte im Bereich dieses Anfertigungssees nur eine mehr oder weniger bestehende Fossilienförderung festgestellt werden. Die Fossiliförderung der einzelnen lithologischen Einheiten wurde in nachfolgender Tabelle zusammengefaßt, so weit es sich um Formenreichen handelt; die Vorkommen wurden innerhalb der lithologischen Horizonte erwähnt. Unter den Fossilienarten dominiert eindeutig *Spirifer beccarii*.

Lithologische Folge der Sedimente:

- 1) Sand, politisch, grau.
- 2) Trifit, etwas sandig.
- 3) Politischer Sand, etwas feinklast., etwas austauschfähig.
- 4) Mergel, sandig, graubraun.
- 5) Mergel, feinklastisch, wenig aber grobe Glimmer, pflanzenführend, sehr hart.
- 6) Sandstein, grau, glimmerführend.
- 7) Sand, politisch, wenig Glimmer, grau, Makrotrachaloparida.
- 8) Feinklastiger Dolit mit wenig Glimmer (Cerithium und Merithrum).
- 9) Feinklastischer Dolit, wenig Glimmer.
- 10) Gleich 8, sandig.
- 11) Sand, politisch, grau, glimmerreich, mit Cerithium.
- 12) Mergel, sandig, grau, Schalenreste.
- 13) Dolit, sandig, weich, glimmerreich, austauschfähig.
- 14) Feinsand, politisch, grau, große Glimmer.
- 15) Gleich 14, mit kleinen Tellinen.
- 16) Mergel, grau, mit großen Muskovittafeln, Schalenreste.
- 17) Dolit, feinklastisch, hellgrau, etwas kalktief, wenig (Bestäubmittel).
- 18) Feinsand, politisch, mit sehr großen Glimmerschuppen, gelblich, Blattdrücke.
- 19) Sand, etwas politisch, glimmerreich.

Abb. 11: Profil im Aufschluss Tragl (BILLER 1957).

Geogr. Lage siehe Abb. 17.

Der Raum zwischen Stainz- und Gleinzbach

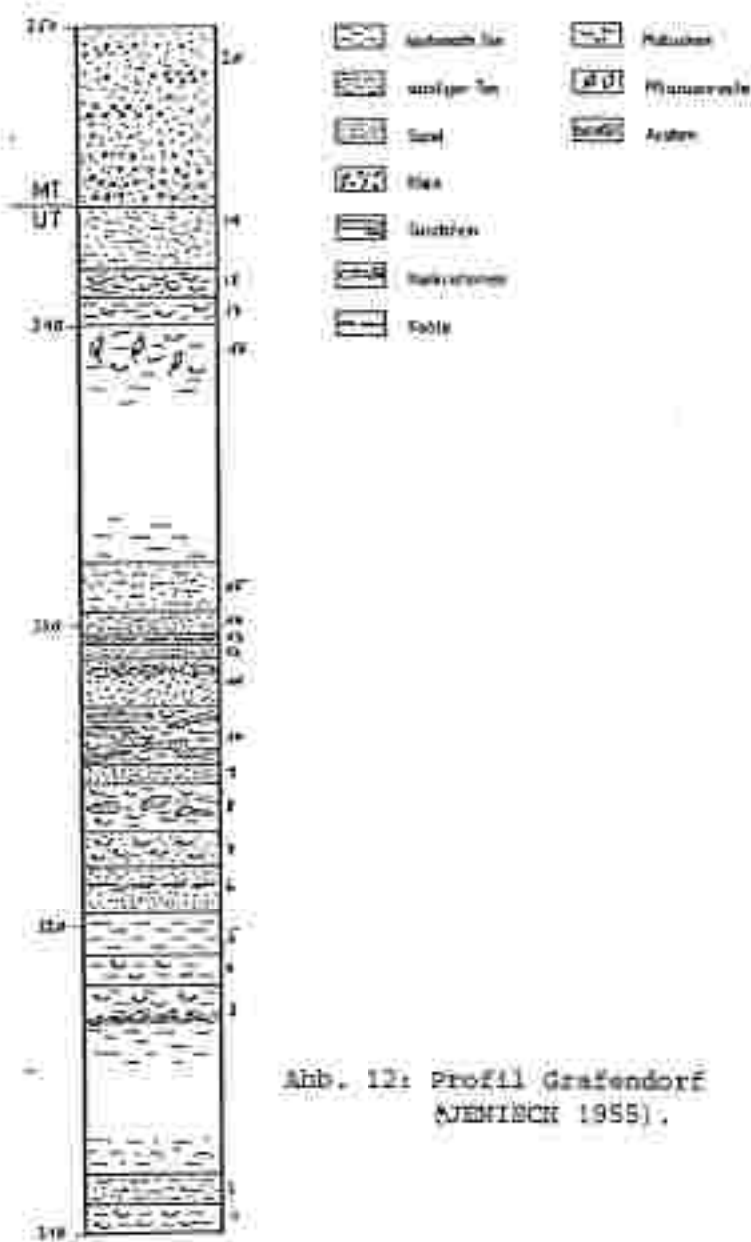
Das von WALTER 1951 als "Untere Florianer Tegel" bezeichnete Schichtglied ist im E an der Basis und im W durchgehend stark sandig entwickelt. Die hängende, mergelige Entwicklung östlich Michelgleinz wird von WALTER 1951 als mariner Charakter des Sediments gedeutet. In diesem Abschnitt treten Kohleschmitzen auf, so bei Lassenberg, Giglitz und Nassau.

Auf Grund der Fossilführung wird innerhalb des "Unteren Florianer Tegels" eine brackische von einer vorwiegend marinen Zone abgetrennt.

Der Raum zwischen Stainzbach, Laßnitz und Kainach

Im östlichen Abschnitt tritt im Liegenden eine Folge von 10-15 m mächtigen Glimmersanden auf. Die Glimmer erreichen Durchmesser von 1-4 mm, der Tonanteil beträgt etwa 10-15 %. Die Komponenten setzen sich aus Quarz, Muskowit, Pegmatit und Gneis zusammen, dagegen sind paläozoische Anteile selten.

Im westlichen Anteil bestehen die Sedimente vorwiegend aus pelatischem Material (Durchmesser <0,02 mm), wobei einige Sandlagen den Aufbau dieser Folge unterbrechen. Auf Grund von Foraminiferen stuft JENISCH 1955 diese Folge in das höhere Unterbaden ein und verweist auch auf die gute Vergleichbarkeit mit den Sedimenten im östlich anschließenden von KOPETZKY 1957 bearbeiteten Gebiet. Abb. 12 zeigt das typische Profil für die Sedimentation im westlichen Abschnitt dieses Gebietes.



Amb. 12: Profil Grafendorf
AEMISCH 1955.

Als nächsthöheres Schichtglied folgt eine 1-3 m mächtige Mergelbank, die zahlreiche Makrofossilien führt. Diese Mergelbank wird schon von HILBER 1877 als "Pölser Mergel" bezeichnet. Sie ist nach Angaben von KOPETZKY 1957 im gesamten Bereich der Florianer Bucht entwickelt, wobei sie in vielen Quellgräben im unteren Drittel des Gehänges eine Stellstufe und einen ausgeprägten Schichtquellhorizont bildet.

Innerhalb der Makrofauna treten örtlich faziell bedingte Unterschiede auf; so bilden etwa um Pöls Turritellen, um Tobisegg-Wetzeisdorfberg Cerithien und am Schaberberg Ostreen das vor-

herrschende Faunenelement. Hangend zu den "Pölsler Mergeln" tritt, durch Glimmersand getrennt, ein Tuffhorizont auf, der bei Pöls, im Braunergraben und in Linsen bei Stallhof bei Stainz aufgeschlossen ist. Sowohl JENISCH 1955 als auch KOPETZKY 1957 betrachten diesen als guten Leithorizont, da der Tuffit, der mineralogisch als Ca-Bentonit definiert wird (KOPETZKY 1957), immer an der Oberkante des Unterbaden auftritt. FLÜGEL & HERITSCH 1968 stellen aber im Gegensatz zur Auffassung von KOPETZKY 1957 und partim JENISCH 1955 auch noch den zweiten Grobsandhorizont und die Zone der Wechsellagerung im Unterbaden. Gegen den Westrand des Beckens werden die Bentonitlinsen immer seltener; es tritt nur mehr bei Stallhof bei Stainz ein größeres Vorkommen auf (JENISCH 1955).

Nach KOPETZKY 1957 werden die Bentonite noch von einem etwa 5-10 m mächtigen Feinsandhorizont überlagert, der der "Konzentrationszone" zugerechnet wird.

Generell kann auf Grund der von JENISCH 1955, DILLER 1957, KOPETZKY 1957 und WALTER 1951 durchgeführten Untersuchungen gesagt werden, daß im S der Florianer Bucht eine stark süßwasserbeeinflußte, flachmarine Fazies besteht, während in den nördlichen Anteilen ein Übergang vom marinen Milieu im S über einen brackischen Streifen bis zu rein fluviatilen Bedingungen im N beobachtet werden kann.

JENISCH 1955 sieht das Unterbaden als eine Zeit ruhiger Entwicklung, die sich in der Feinkörnigkeit der Sedimente, dem kontinuierlichen Anwachsen der Foraminiferenzahl und den Sedimentstrukturen widerspiegelt.

2.3.4.4 Zweiter Grobsandhorizont

(U-Baden nach FLÜGEL & HERITSCH 1968, WALTER 1951)

M-Baden nach DILLER 1957, JENISCH 1955, KOPETZKY 1957)

Die Sedimente dieses 2. Grobsandhorizontes (FLÜGEL & HERITSCH 1968, KOPETZKY 1957) werden von STUR 1871 und HILBER 1879 als "Obere Sande", von WALTER 1951 als "Spielfelder Sand" und von DILLER 1957 als "Grobsandhorizont" bezeichnet.

Der Raum zwischen Schwarzer Salm und Gleinzbach

Der 2. Grobsandhorizont ist in diesem Raum, nach Angaben von DILLER 1957, ein über weite Gebiete verfolgbarer, fossilreicher Horizont, dessen Mächtigkeit gegen S und W zunimmt. DILLER 1957 beschreibt aus demselben Raum den Übergang vom Grobsandhorizont zu den Unteren Sanden als eine Art von Wechsellagerung mit einem Margalhorizont, sodaß eine klare Abtrennung nicht eindeutig durchgeführt werden kann. Die Mächtigkeit dieses Komplexes, der eine für die gesamte Florianar Bucht charakteristische dunkelbraune Färbung hat, beträgt 5-15 m.

Lithologie

In den östlichen Teilen ist ein höherer Anteil abgerollter paläozoischer Schiefergerölle mit Längen bis zu 50 mm zu beobachten (Abb. 13). Im Südabschnitt treten zusätzlich Gneisgerölle mit einem Durchmesser von 70-80 mm auf. Gegen W ist eine allgemeine Zunahme der Kristallinkomponenten zu beobachten. Die Pariez des Grobsandes ist fluviatil.

Wachstumsfaktoren:
direkte Fortsetzung des Monolithenmodells,
die Basis liegt bei 167-170 €.
Aufschlussmöglichkeit für

Chattahoochee

Gratification: finding the right balance between success and failure.

Die lithologische (o. relativ bestimmte) Aufschlusslage ist wenig unterschiedlich. Es werden zwei lithologischen Horizonte abgrenzt, die sich hauptsächlich in der Sonnengruben unterscheiden.

- 1) Band und Kies, glimmerführend, Holz an
grau-schwarzen, schwärzlich geblätterten und
geflächigem Sägesperrholzsperrholz. Das
ca. 30 cm. Das Verhältnis lange zu Brei-
te bzw. Breite zu durchmessendem Trä-
ger gestaltete und korrodierte Querschlüssel
bis 30 cm Ø sind mit solchen gedrehten
Kantenschrägen verkleidet.

2) Bleisch 1. seines Größenstiles und durchdrin-
ge Formen.

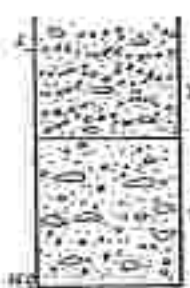


Abb. 13: Profil im Aufschluß Fantsch (DILLER 1957).

Im Bereich Lichtenegg stehen braune, kreuzgeschichtete, von dunklen Fe-Mn-Bindern durchzogene Sande und Grobsande an. Stratigraphisch sind die Sedimente durch Tuffhorizonte, die dem Unterbaden zugerechnet werden, deutlich markiert.

Der Raum zwischen Gleinz- und Stainzbach

WALTER 1951 vergleicht diese Grobsande, die im Hangenden der "Unteren Florianer Tegel" auftreten, mit den "Spielfelder Sanden" sensu WINKLER-HERMADEN 1943.

Im E tritt dieser 20 m Mächtigkeit nie überschreitende Horizont nur in vereinzelten Sandlinsen innerhalb der "Florianer Tegel" (= "Pöller Mergel") auf. Diese Linsen sind aber höhenkonstant und außerdem in ihrer Lithologie von gleichem Habitus. Gegen W werden sie immer häufiger und treten ab der Linie Kraubath-Michligleinz als geschlossener Horizont auf.

Nach Meinung von WALTER 1951 scheint die Mächtigkeitszunahme nach W zu einem großen Teil auf Kosten der Unteren Florianer Tegel zu gehen. Im Raum Raßach und Freidorfer Gleinz sind sie bereits durch eine Wechsellagerungszone über die Unteren Florianer Tegel mit den "Kreuzbergsanden" im Sinne von WALTER 1951 verbunden. Südlich der Laßnitz, von Großeden gegen W, zeigen die Sande Kreuzschichtung und Einstreuung von Schottern. Nördlich der Laßnitz treten fein- bis grobkörnige Sande mit hohem Quarzgehalt auf.

Kalkige Fossilreste finden sich im Raum westlich von Raßach, Nassau und bei Kraubath.

Der Raum zwischen Stainzbach, Laßnitz und Kainach

Die Feinsande der "Konzentrationszone" werden von dem etwa 10 m mächtigen Grobsandhorizont überlagert (= "2. Grobsandhorizont" im Sinne von KOPETZKY 1957). Dieser Grobsand besteht zu etwa 60 % aus Quarz, die restlichen 40 % setzen sich aus Muskowit, Pegmatit, Gneis- und Amphibolitkörnern zusammen. Die Korngrößen erreichen vereinzelt 20 mm Durchmesser.

Örtlich zeigen die Sande Schichtverbiegungen, die KOPETZKY 1957 als subaquatische Rutschungen, ausgelöst durch erhöhte Wasserturbulenzen, deutet. Weitere Hinweise auf Sedimentationsbedingungen in lebhaft bewegtem Wasser sind Sand-Ton-Gerölle bis 2 m Durch-

messer und Deltaschichtung.

Vereinzelt ist in den Sanden eine geringmächtige Schicht mit einer Makrofauna, vor allem Lamellibranchiaten, entwickelt.

KOPETZKY 1957 deutet diesen "2. Grobsandhorizont" als Ausdruck verstärkten terrestrischen Einflusses, der vermutlich durch Bewegungen im kristallinen Rahmen ausgelöst wurde und sich in der gesamten Florianer Bucht auswirkte, wodurch auch die Leithakalk-sedimentation im Wildoner Raum völlig unterbrochen wurde.

2.3.4.5 Zone der Wechsellagerung

(U-Baden nach FLÜGEL & HERITSCH 1968; M-Baden nach DILLER 1957, JENISCH 1955, KOPETZKY 1957, WALTER 1951)

Die Sedimente dieses Zeitabschnittes werden von DILLER 1957 und JENISCH 1955 als "Wechsellagerung", und von FLÜGEL & HERITSCH 1968 und KOPETZKY 1957 als "Zone der Wechsellagerung" bezeichnet. Im allgemeinen handelt es sich um mittelkörnige Glimmersande mit Korngrößen von 0,2-0,4 mm, in die bis zu 15 pelitische Feinsandlagen eingeschaltet sind.

Der Raum zwischen Schwarzer Sulm und Gleinzbach

Im E treten sandige, glimmerreiche Pelite auf, die mit Sand, Grobsand und Feinkieslagen wechsellagern. Im W ist eine sandig-schotterige Entwicklung vorherrschend, Pelite treten zurück. Gegen W ist sowohl eine Zunahme der Korngrößen als auch der Kristallinkomponenten zu beobachten. Die Sande sind durchwegs kreuzgeschichtet. Im Gebiet westlich von Fantsch ist eine unregelmäßige Wechsellagerung ohne Kreuzschichtung von Fein- und Grobsand mit Schotter und Sandsteinen zu beobachten. Südlich des Gehöftes Gimpei (bei Otternitz) sind in einem Weganschnitt Sande, Tonmergel und Tuffite aufgeschlossen (Abb. 14 u. 15).

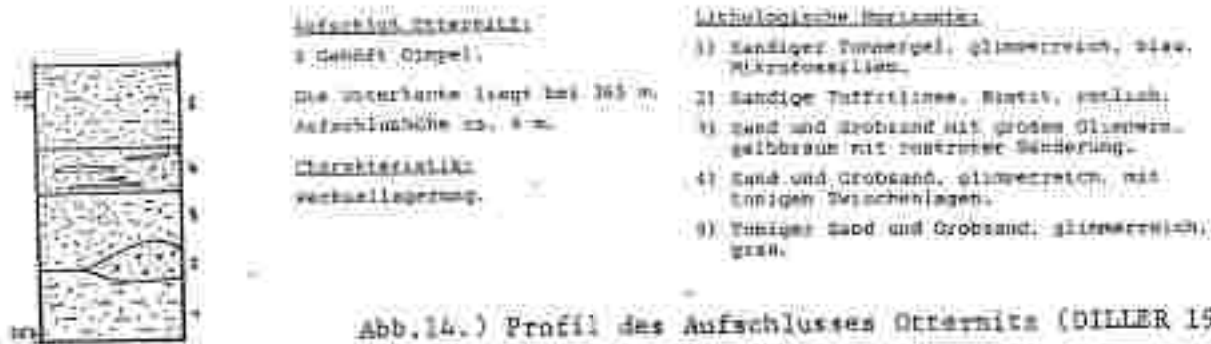


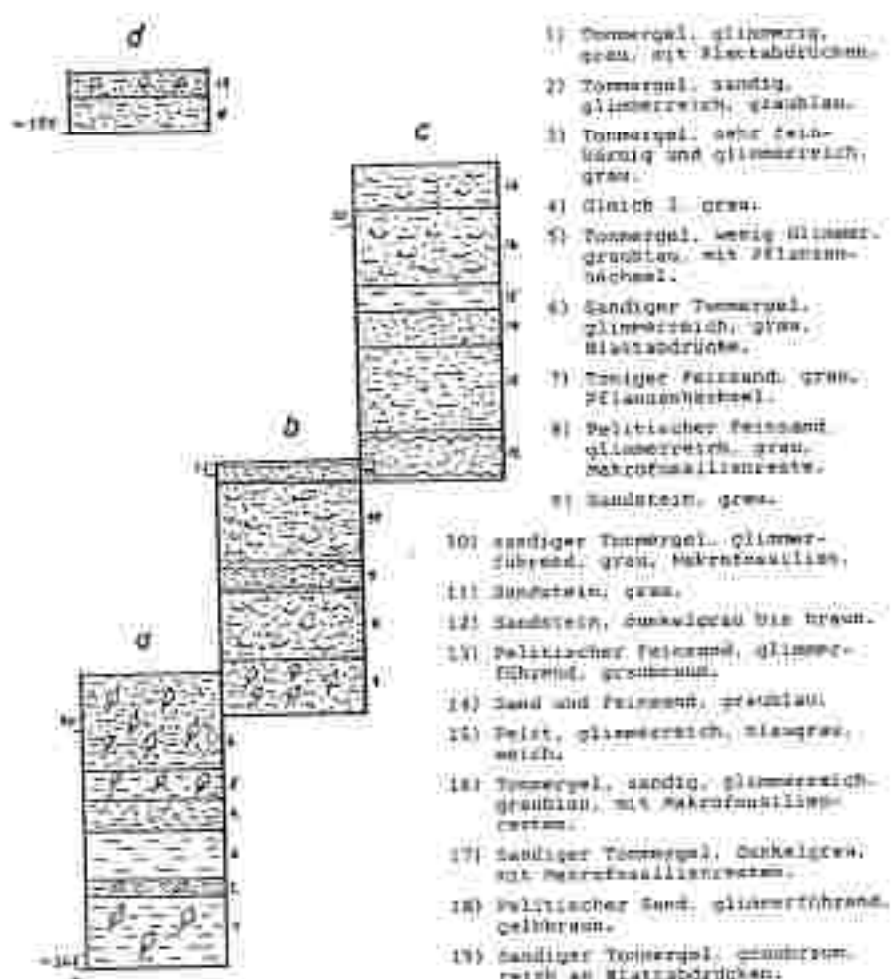
Abb. 14.) Profil des Aufschlusses Ottensitz (DILLER 1957)

Abb. 15 zeigt die Profile der Aufschlußgruppe im Bereich von Hasreith.

Hasreith:

Der Liegenschaftsteil (längt bei 365 m, Auftiefe 17 m)
Allgemeine Charakteristika: Verkieselung.

Abb. 15.) Sammelprofil aus dem Raum Hasreith (DILLER 1957)

Die lithologischen Merkmale:

Etwa östlich der Linie Fantsch N-S und um Hasreith treten Makro- und Mikrofossilien etwas häufiger auf, während man in den übrigen Bereichen nur mehr selten, und dann meist schlecht erhaltene Fossilien antrifft.

Stratigraphisch werden diese Sedimente der Wechsellagerung von DILLER 1957 auf Grund eines Tuffhorizontes, der bei Otternitz, Hasreith und Hollenegg aufgeschlossen ist, ins Mittlere Baden gestellt.

Der Raum zwischen Gleinz- und Stainzbach

Die Sedimente der "Wechsellagerung" werden in diesem Gebiet von WALTER 1951 als "obere Florianer Tegel" bezeichnet.

Sie sind östlich der Linie Hasreith-Gamsgraben über das gesamte Gebiet verbreitet. Lediglich im Bereich von Zehndorf und Wohlsdorf-Schönaich dürften sie der Erosion zum Opfer gefallen sein. Westlich der zuvor genannten Linie wird das Material sandiger, und die Tegel gehen südlich der Laßnitz in die dort stratigraphisch tief absinkenden "Pölser Sande" (sensu WALTER 1951, = Hangendsand sensu FLÜGEL & HERITSCH 1968) über.

Lithologie

Die "oberen Florianer Tegel" (= Zone der Wechsellagerung) sind schwach sandig (= Pölser Mergel) und in den Hangendlagen oft feinstgeschichtet.

Die Fossilführung ist auf den SE-Bereich (Nassau, Guglitz) der zentralen Florianer Bucht beschränkt. Die auftretende Fauna weist auf brackisches Milieu hin.

Der Raum zwischen Stainzbach, Laßnitz und Kainach

Die Grobsande des "2. Grobsandhorizontes" gehen allmählich in mittelkörnige Glimmersande mit Korngrößen von 0,1-0,4 mm über, in die bis zu 15 pelitische Feinsandlagen mit einer Mächtigkeit von 0,3-0,6 m eingeschaltet sind. JENISCH 1955 erklärt die Wechsellagerung von Sanden und Tonen mit einem starken Wechsel der Strömungsintensität im Flachwasserbereich des Sedimentationsbeckens.

Charakteristisch für die Feinsande ist die große Zahl der Blattabdrücke und die im hangenden Bereich nochmals auflebende Fauna mit Mollusken (Gastropoden, Lamellibranchiaten) und Foraminiferen, die von JENISCH 1955 als letzter Ausdruck marin-brackischer Beeinflussung, die jedoch nach kurzer Zeit wieder abklingt, gedeutet wird.

Häufig bilden kalkige Konkretionen, die schon STUR 1871 festgestellt und RAUPACH 1952 als Stabilitätsstörungen der Lösungen im Litoral durch einmündende Flüsse gedeutet hat, den Abschluß der Wechselleagerung. Diese Konkretionen werden in einer konstanten Höhe von etwa 400 m ü.NN angetroffen. Gegen den fluviatilen Bereich treten sie etwas unregelmäßiger und auch in tieferen Horizonten auf. Während sich als Abschluß der Schichtfolge fluviatile Sande einstellen, beschreibt JENISCH 1955 im E ein nochmaliges Auftreten küstennaher Sedimente, wobei ihm die Tendenz zur Bildung von Sandsteinbänken, die er als Strandwall oder "Steinriff" zu erklären versucht, als Indiz für dieses Milieu erscheint.

Eine solche Sandsteinbank erreicht am Puggaberg 1,5 m Mächtigkeit, wo die Sandsteinbank fehlt, treten an ihrer Stelle Strandmolluskenführende Sande auf, so z.B. am Kogelberg.

Auf Grund der in den Ostanteilen dieser Wechselleagerung auftretenden Toneisenkonkretionen und Eisenhydroxydbänder in Verbindung mit Rippelmarken deutet KOPETZKY 1957 diese als Schwellenfazies. Innerhalb dieser "Zone der Wechselleagerung" tritt im Bereich des Spiegel Berges, am Stainzer Schloßberg, bei Schloß Schönegg und bei Ettendorf ein Tuffhorizont auf. Dieser Tuffit ist ein Ca-Bentonit und unterscheidet sich vom tieferen Tuffhorizont durch ein häufigeres Auftreten von Biotit.

Fazies

JENISCH 1955 stellt zu Beginn des M-Baden eine Verflachung in der "Florianer Bucht" fest. In diese Zeit fällt die Sedimentation des fluviatilen "Grobsandhorizontes" (= "Spielfelder Sande" i.S. von WALTER 1951, = "Grobsand" i.S. von DILLER 1957). Während des M-Baden erfolgt eine neuerliche Ingression des Meeres, die ein verstärktes Auftreten mariner Organismen bedingt.

Diese marin beeinflußten Gebiete erstrecken sich von E bis maximal etwa zur Linie Stainz-Lannach (im N-Baden), westlich davon erfolgt fluviatile Sedimentation. Während des O-Baden setzt nach einem Zurückweichen des Meeres wieder eine über den gesamten Bereich ausgreifende fluviatile Sedimentation ein.

2.3.4.6 Hangendsand - M-Baden

Die "Zone der Wechsellagerung" wird von hellen Sanden überlagert, die von STUR 1871 als "Oberer Sand", von DILLER 1957, FLÜGEL & HERITSCH 1968, KOPETZKY 1957 als "Hangendsand", von JENISCH 1955 als "Sand und Sandstein" und von WALTER 1951 als "Pölser Sand" bezeichnet werden.

Zumeist treten die Hangendsande auf den höchsten morphologischen Erhebungen, und zwar meist über 400 m ü.NN., auf.

Der Hangendsand ist ein glimmerreicher, heller Sand, dessen Korngröße gegen das Hangende abnimmt. Teilweise beginnt die Folge der Hangendsande mit Feinkieslagen, die bis zu 1 m mächtig werden. Vielfach ist eine intensive Kreuzschichtung vorhanden. Gleichzeitig tritt ein spezifisches Schwermineralspektrum auf, das in Verbindung mit der Fossillosigkeit von WALTER 1951 als Hinweis auf fluviatile Entstehung angesehen wird.

Diese Feinkiese sind bei Tobisegg, Birkaberg, Burgstallberg, Netzelsdorfberg, Glaserkogel, St. Josef und Pöls aufgeschlossen. Die Korngröße liegt meist bei 5 mm, kann aber bis 30 mm betragen, wobei generell eine Korngrößenzunahme mit einem gleichzeitigen Ansteigen der Kristallinkomponenten gegen W zu beobachten ist. An mehreren Stellen sind die Feinkiese durch karbonatisches Bindemittel verfestigt und beinhalten zahlreiche Mollusken in Steinkernerhaltung. Zeitweise ist diese Fossilanhäufung so groß, daß die Schotter ganz zurücktreten und durch Bruchschillbänke vertreten werden. Aufgeschlossen ist dieser Bruchschill am Hierzenbüchel und am Höhenrücken von Tobisegg.

Das Hangende setzt sich aus Feinkiesen, mittelkörnigen Sanden und pelitischen Feinsanden zusammen, die in bunter Folge wechsel-lagern. Dabei zeigen sich alle Merkmale lebhaft bewegten Wassers, wie Strandhaldenschichtung und lokal ausgebildete Rutschungen.

Auf die pelitischen Feinsandlagen beschränkt treten in größerem Ausmaß Blattabdrücke und Pflanzenhäcksel auf. Im Gebiet von Hasreith findet man als Besonderheit horizontal verlaufende, wenige cm mächtige Kalkbänder. Östlich von Hasreith beschränkt sich der Hangendsand auf den Bereich einer Kuppe nordöstlich Trolitsch (HILBER 1879, LEITMEIER 1908).

Das Vorkommen Zelkoberg unterscheidet sich vom erstgenannten durch seine dunkle Färbung und die ausgeprägte Kreuzschichtung, welche von DILLER 1957 als eindeutiges Merkmal fluviatiler Genese gedeutet wird.

Im übrigen Westbereich weisen diese Sande eine ähnliche Ausbildung wie bei Trolitsch auf.

2.3.5 Die Sedimente des westlichen Grundgebirgsrandes

2.3.5.1 Schwanberger Blockschutt

Diese Sedimente, deren Korngrößenspektrum von Sanden bis zu Blockschutt reicht, bauen die Höhenrücken von Hollenegg, Rettenberg und den östlichen Ausläufer des Gressenberges auf. Nördlich des Stullneqgtales und südlich davon tritt zur Sand-Grobsand-Schotter-Sedimentation noch Blockwerk von dm- bis m-Größe hinzu.

Diese Grobsedimentbildung wird erstmals von WINKLER 1926 als "Schwanberger Schutt" bezeichnet, HIESSLEITNER 1926 bezeichnet sie als "Hangendblockschutt". BECK-MANNAGETTA 1945 weist die Ausbildung dieser Grobsedimente am gesamten Koralpenostrand nach, wodurch DILLER 1957 angeregt ist, die Bezeichnung dieses Sedimentes nicht nur auf den Locus typicus einzusengen, sondern als "kristallinen Randschutt" zu bezeichnen (Abb. 16).

Im allgemeinen sind die Blockschuttmassen an Rinnen gebunden, die von der Koralpe zum Beckenrand ziehen, wie z.B. die Rinne vom Gressenberg nach Schwanberg oder die vom Kreuzkogel gegen Wernersdorf (HIESSLEITNER 1926).

Nach DILLER 1957 zeigen sich zwei deutlich unterscheidbare Faziesarten:

- fluviatile Fazies: diese weist überwiegend kantengerundete Gneisgerölle auf;
- Gehängeschutt: durch Verwitterung entstanden, die Gerölle sind kaum gerundet und treten immer im Zusammenhang mit Lehmgebildungen auf; dieser Typ ist an die Hangendpartien, meist in unmittelbarer Nähe zum anstehenden Fels, gebunden.

Was die Entstehungsbedingungen des "Schwanberger Blockschuttes" betrifft, so vermutet HIESSLEITNER 1926 die seitenerosive Tätigkeit gefüllsamer, aber sehr wasserreicher Wildbäche mit grundsätzlich ähnlicher Transportrichtung wie zur Zeit der "Radl-Blockschuttbildung", aber mit einer wesentlich weiteren Erstreckung des Ablagerungsgebietes. WALTER 1951 denkt eher an Oberlaufablagerungen von Wildbächen, wobei die starke Erosionsaktivität (bis hausgroße Blöcke!) mit einer orogenen Phase ("steirische Phase", WINKLER-HERMADEN 1943) in Zusammenhang gebracht wird.

2.3.5.2 Dunkelgrüne bis gelbe Sande

In den grundgebirgsnahen, westlichen Teilen der Florianer Bucht wird das gesamte Profil der Florianer Schichten durch dunkelgrüne bis gelbe, kiesige, kreuzgeschichtete Sande mit vereinzelt schwarzen Mergellagen vertreten.
Die größte Mächtigkeit erreichen sie bei Wildbachberg-Furth. Die Sande verzähnen sich mit dem Blockschutt.

2.3.5.3 Verlandungssedimente

Auf den höchsten Erhebungen der östlichen und nordöstlichen Florianer Bucht (über 400 m ü.NN), so am Burgstallberg, am Glaserkogel, im Bereich von Tobisegg und am Hierzenbüchel, treten Grobsedimente in Form von Schotterbänken auf. Markant sind Eisenhydroxyd- und Manganoxydanreicherungen, welche durch die Färbung die Strandhaldenschichtung deutlich hervorheben.

PROFILE DES WESTLICHEN GRUNDGEBIRGSRAUMES

SI: Aufschlusszug: SI: Hollenegg; C: Haderberg -
Hattenberg; D: Oehlschlagel.

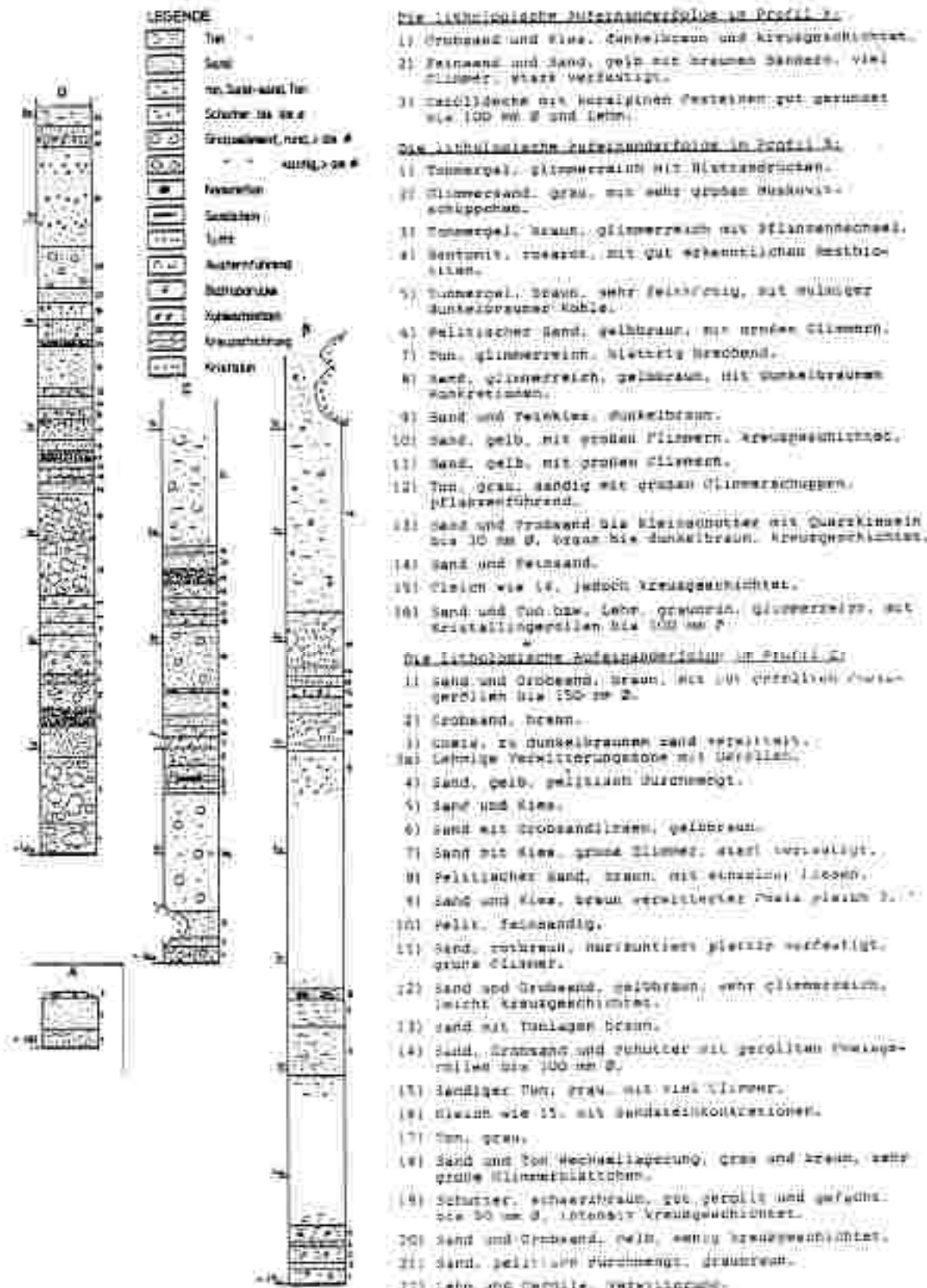


Abb. 16) Profile im Bereich des westlichen Grundgebirgsraumes (DILLER 1957)

Die lithostratigraphischen Aufschlussfazies im Modell (1)

- 11) Sand und Grobsand, glimmerspeckt, mit schwachen Fein- und
Bend, grobe Kalkblöcke bis 1/2 = Ø, Blattabdrücke.
- 12) Glimmersand, grau, mit eckigen und verundeten Gneiss-
gefüllten 1/2-1/4 = Ø.
- 13) Sand und Grobsand mit großen Glimmern, gelbgrau,
körnigkeitsgeschichtet, Blattabdrücke.
- 14) Grobschotter, gut gekohlt bis 15 cm Ø.
- 15) Sand, braun, mit gut umrollten Gneisflocken bis 10 cm Ø.
- 16) Gneisflocke, nicht kantengerundet bis 10 cm Ø.
- 17) Sand, Grobsand und Schotter, gelb.
- 18) Kalk, politisch, rot, mit großen Glimmern.
- 19) Glimmersand, grau, und Kies.
- 20) Sand und Feinsand mit verzweigten Glimmerconeige-
fällen.
- 21) Sand und Feinsand mit runden Gneissflocken bis 10 cm Ø.
- 22) Sand und Feinsand, braun, mit gut gefundeten Schot-
tern bis 10 cm Ø und kantige Einschlüsse bis 1/2 = Ø
- 23) Sand und Grobsand braun, Kies, Kantengeschichtete Gne-
isse von 10-10 cm Ø.
- 24) Sand und Feinsand, gelb und grau.
- 25) Detritales Blockwerk bis zu 1/2 = Ø.
- 26) Gneis wie 14.
- 27) Schotter bis 10 cm Ø.
- 28) Sand und Feinsand mit Kies, Kreuzgeschichtet.
- 29) Grobsand und Schotter, Formenansetzung lbs. Hangende.
- 30) Grobsand und Schotter,
- 31) Sand, braun.
- 32) Sand, braun, und Kies.
- 33) Sand, politisch vermengt, grau, sehr glimmersreich,
geschichtet.
- 34) Konglomerat, dicht gelagert, mit Gneisen bis 10 cm Ø
- 35) Sand und Grobsand mit gerolltem Schotter.
- 36) Glimmersand, grau, hangend Grobsand und Schotter.
- 37) Sand und Feinkies, Kreuzgeschichtet.
- 38) Grobsand mit eingesagerten Gneisflocken am Grunde.
- 39) Sand und toniger Sand, grau und braun, mit Schotter-
lagen,
- 40) Grobschotter bis 10 cm Ø.
- 41) Sand und Kies, kreuzgeschichtet.
- 42) Sand und Feinsand, politisch durchmischt.



Abb. 17: Geographische Lage der Profile 5-11 und 13-16.

2.3.6 Literatur

- BECK, H., KIESLINGER, A. et al.: Geologische Spezialkarte der Republik Österreich 1:75 000, Blatt 5354 Unterdrauburg. - Geol.B.-A., Wien 1929.
- BECK-MANNAGETTA, P.: Die Tertiärgrenze von Stainz bis Wildbach im Weststeiermark. - Verh.Geol.B.-A., Wien 1945.
- Bericht 1946 über Aufnahmen auf Blatt Deutschlandsberg-Wolfaberg (5254). - Verh.Geol.B.-A., Wien 1947.
- DILLER, W.: Der miozäne Sedimentationsraum zwischen Gleinzbach und Schwarzer Sulm in der Südweststeiermark. - Univ. Diss., Phil.Fak. Univ.Graz, 1957.
- EBNER, F. & GRÄF, W.: Bentonit- und Glastuffvorkommen der Steiermark. - Steir.Bericht. zur Rohstoff- und Energieforsch., 1, Graz 1981.
- FLÜGEL, H.W. & HERITSCH, H.: Geologischer Führer durch das steirische Tertiärbecken. - 196 S., 27 Abb., 8 Taf., 6 Beil., darunter 1 geol.Karte 1:300 000, Berlin 1968.
- FLÜGEL, H.W. & MAURIN, V.: Ein Vorkommen vulkanischer Tuffe bei Eibiswald (Südweststeiermark). - Sitz.Ber. Akad. Wiss., math.-naturw. Kl., 168, Wien 1959.
- HIESSELEITNER, G.: Das Wieser Revier. - Berg-u.Hüttenm.Jb., 74, 2, Wien 1926.
- HILBER, V.: Die Miocänschichten von Gamlitz bei Ehrenhausen. - Jb.Geol.R.-A., Wien 1877.
- Die Miocinablagerungen um das Schiefergebirge zwischen den Flüssen Kainach und Sulm in Steiermark. - Jb.k.k R.-A., 1879, 3, Wien 1879.
- JENISCH, O.: Das Miozän zwischen Kainach und Stainzbach in Südweststeiermark. - Univ.Diss., Phil.Fak. Univ.Graz, Graz 1955.
- KOPETZKY, G.: Das Miozän zwischen Kainach und Laßnitz in der Südweststeiermark. - Mitt.Mus.Bergb.,Geol. u. Techn. Landesmus. Joanneum, 18, Graz 1957.
- LEITMEIER, H.: Geologie der Umgebung von Kainberg im Sausal. - Mitt.naturwiss.Ver.Simk., 1907, Graz 1908.
- MEZNERICS, I.: Die Schlierbildung des steirischen Beckens. - Mitt.naturw.Ver.Simk., 73, Graz 1936.
- MÖTTL, M.: Neue Säugetierfunde aus dem Jungtertiär der Steiermark. VI. Neues Säugetierfund aus dem Glanzkohlenbergbau von Fohnsdorf. - Mitt.Mus.Bergb.,Geol.u.Technik, Landesmus.Joanneum, Graz 1961.

- NEBERT, K.: Die Ergebnisse der kohlengeologischen Untersuchungen in dem zwischen der Saalgau und Sulm gelegenen Tertiärgebiet Südweststeiermarks. - Univ.Ber., Graz 1980.
- PETRASCHECK, W.: Die miocene Schichtfolge am Ostfuße der Alpen. - Verh. Geol.R.-A., Wien 1915.
- RADIMSKY, V.: Das Wieser Bergrevier. - Zeitschr. berg-u.hüttenm. Ver.f.Kärnten, Klagenfurt 1875.
- RAUPACH, F.: Die rezente Sedimentation im Schwarzen Meer, im Kaspi und im Aral und ihre Gesetzmäßigkeiten. - Geologie, 1-2, Berlin 1952.
- NOLLE, P.: Die tertiären und diluvialen Ablagerungen in der Gegend zwischen Gratz, Köflach, Schwanberg und Ehrenhausen in Steiermark. - Jb.Geol.R.A., 7, Wien 1856.
- Geologische Untersuchungen in der Gegend zwischen Ehrenhausen, Schwanberg-Windisch-Felstritz und Windisch-Grätz in Steiermark. - Jb.Geol.R.A., Wien 1857.
- STUR, D.: Die Geologie der Steiermark. - Graz 1871.
- THENTIUS, E.: Die Suiden und Tayasuiden des steirischen Tertiärs. Beitr. zur Kenntnis der Säugetierreste des steirischen Tertiärs VIII. - Sitz.Ber.Akad.Wiss., math.-naturw. Kl., Abt. 1, 165, Wien 1956.
- WALTER, E.: Das Miozän zwischen Stainz- und Gleinzbach. - Univ. Diss., Phil.Fak. Univ.Graz, 1951.
- WINKLER, A.: Das Abbild der jungen Krustenbewegungen im Talnetz des Steirischen Tertiärbeckens. - F.d.geol.Ges., 78, Wien 1926.
- Das südweststeirische Tertiärbecken im Älteren Miozän. - Denkschr. Akad.Wiss., math.-naturw. Kl., Abt. 1, 101, Wien 1927.
 - Der Bau des "Kadelgebirges" in Südweststeiermark. - Jb.Geol.R.-A., 79, 3,4, Wien 1929.
- WINKLER-HEMMDEN, A.: Geologischer Führer durch das Tertiär- und Vulkanland des steirischen Beckens. - Samml. Geol. Führer, 36, 209 S., 27 Abb., 3 Taf., Berlin 1939.
- Die tertiäre Schichtfolge am Alpenostabfall und ihre Beziehungen zu jener des pannonischen Beckens. - Mitt. R.A. Bodenf., Zwsgt. Wien, 6, 1940.

2.4 Die quartären Sedimente (Th. Untarsweg)

Im folgenden wird der Versuch unternommen, mit Hilfe von teilweise publizierten Unterlagen, Luftbildinterpretation und stichprobenartigen Geländeaufnahmen ein Bild von den quartären Sedimenten im Bereich des Bezirkes Deutschlandsberg zu entwerfen.

Angaben über die glazialen Ablagerungen und Formengruppen auf der Koralpe finden sich bei BECK-MANNAGETTA 1953, auf der Geologischen Karte der Republik Österreich, Blatt 188 Wolfsberg von BECK-MANNAGETTA 1980 sowie bei FABIANI 1972.

Für den periglazialen Bereich des Vorlandes konnte auf Ergebnisse mehrerer Autoren (EISENHUT 1965 und 1973, PESSLER 1978, WINKLER-HERMADEN 1926, 1940 und 1955, YAMAC 1973), vor allem aber auf ebenfalls teilweise veröffentlichte Ergebnisse der Österreichischen Bodenkartierung zurückgegriffen werden (Kartierungsbereich Deutschlandsberg 1975, Kartierungsbereich Bibiswald - unv., Kartierungsbereich Stainz - unv.).

Die auf Blatt 189 Süd dargestellten quartären Ablagerungen wurden freundlicherweise von Dr. Max EISENHUT durchgesehen und nach seinen eigenen Kartierungsergebnissen ergänzt.

Mit Hilfe der stereoskopischen Auswertung von Luftbildern, die zum größten Teil vom Amt der Steiermärkischen Landesregierung zur Verfügung gestellt, zum kleineren Teil beim Bundesamt für Eich- und Vermessungswesen in Wien beschafft wurden, konnte die Verbreitung von Terrassen und der Verlauf von Altarmen genau festgelegt werden. Zusätzlich waren an fraglichen Punkten im Bereich der flussnahen Terrassen, aber besonders für die Kartierung von quartären Sedimentresten auf den Riedeln des Weststeirischen Hügellandes Begehungen im Gelände erforderlich.

Es muß betont werden, daß in vielen Fällen auf der Karte bei den älteren Terrassenresten nur ihre minimale Verbreitung angegeben werden konnte. Das betrifft vor allem diejenigen höheren quartären Terrassensedimente, die im Zuge der Bodenkartierung aufgenommen wurden, da nur landwirtschaftliche Nutzflächen kartiert wurden.

2.4.1 Die glazialen Ablagerungen auf der Koralpe

Die eiszeitliche Vergletscherung der Koralpe beschränkte sich auf die höchsten Anteile, wobei auf der steirischen Seite zwei bedeutendere Karre, nämlich das Bärentalkar und das Seekar, zur Ausbildung kamen. Auf dem Höhepunkt der Würmkaltzeit erreichten die Gletscher 2,5 bzw. 3,5 km Länge. Sie hinterließen Moränen, die im Bärental bis ca. 1350 m Sh., im Seetal bis etwa 1300 m Sh. herabreichen. Mehrere Moränenwälle des Würm-Hochstandes bzw. der Rückzugsstadien sind erhalten geblieben (BECK-MANNAGETTA 1953 u. 1980, FABIANI 1972).

Im Bärental endete der hochwürmzeitliche Gletscher bei etwa 1400 m Sh. und hinterließ einen deutlichen Moränenbogen. Die rechte Seitenmoräne lässt sich nach FABIANI 1972 bis über 1500 m Sh. verfolgen. Jüngere Vorstöße hinterließen Endmoränenwälle bei 1480 m und 1500 m Sh.. Der Karboden des Bärentalkares liegt bei etwa 1700 m Sh. und wird nach NE hin durch zwei spätglaziale Moränenwälle ("innere" und "äußere" Moräne nach FABIANI 1972) in 1650 und 1700 m Sh. begrenzt. Die Talschanzen hinter den Moränenwällen weisen häufig Versumpfungen und Moorbildungen auf.

Auch im Seetalgebiet lassen sich mehrere Generationen von Moränenwällen unterscheiden, von denen der tiefste nach BECK-MANNAGETTA 1980 im Talgrund östlich der Pongratzhütte bei 1360 m Sh. anzutreffen ist und sich an den Hängen bis über 1400 m verfolgen lässt. Eine kleinere Wallform liegt nahe der Pongratzhütte bei 1400 m Sh.. Diese Ablagerungen kennzeichnen die größte Verbreitung des würmzeitlichen Gletschers. Spätkaltzeitliches Moränenmaterial, das teilweise in zusammenhängenden Wallformen vorliegt, tritt ab etwa 1650 m, in 1700-1720 m (N Ochsenstein) und um 1820 m Sh. um den Speiksee auf. Hinter den Moränenwällen liegen häufig größere Sumpf- bzw. Moorflächen. Im Westteil des Speikseekares prägen neben Moränen grobblockige postglaziale Bergsturzmassen und Schuttkegel das Bild.

Kleinflächigere, teilweise wallartige Moränenreste um 1500 m Sh. finden sich nach BECK-MANNAGETTA 1980 noch im obersten Glitztal und im Weinebengebiet.

2.4.2 Die periglazialen Ablagerungen im Vorland

Abgesehen von diesen wenigen Gebieten mit glazialen Sedimenten gehörte der Bezirk Deutschlandsberg in den eiszeitlich periglazialen Bereich. Nach PASCHINGER 1974 lag die kaltzeitliche Waldgrenze bei 500 m oder zeitweise noch tiefer, sodaß der gesamte Randgebirgsbereich einer intensiven Frostverwitterung und Schuttbildung unterlag.

Die in das Vorland austretenden Flüsse schütteten vor allem zu Beginn feuchtkühler Kaltzeiten in den sommerlichen Fauperioden ausgedehnte Schotterflächen auf, die beim Abschmelzen der Gletscher zu Beginn der darauf folgenden Warmzeit infolge des großen Wasserangebotes wieder zerschnitten wurden. Auf diese Weise konnte im Laufe des Eiszeitalters (Pleistozän) eine Abfolge von ineinander geschachtelten Terrassen entstehen.

Aus den breiten Schotterterrassen der Kaltzeiten wurden die Feinanteile ausgeweitet und auf den Schottern der vorangegangenen Kaltzeiten bzw. im Hügelland abgelagert. Diese Staublehmtrifft man heute in zum Teil mächtigen Resten auf den Terrassenfluren, die die Vorlandbäche begleiten, als pseudovergleyte Decklehme an.

Im Gegensatz zum Murtal (Grazer- und Leibnitzer Feld) schnitten sich die Flüsse in die wärmezeitlichen Sedimente zumindest in den Unterlaufabschnitten nicht mehr ein, sodaß die tiefsten ausgeprägten Terrassenflächen der rißzeitlichen Helfbrunner Terrasse entsprechen, deren Decklehme der Würmezeit zugeschrieben werden (FINK 1959, 1961). Die Würmschotter liegen unter den rezenten Flußbauen. Ausnahmen dürften morphologisch wenig hervortretende, aber bodenkundlich nachweisbare Flächen darstellen, die vor allem im Stainzbach- und Laßnitztal sowie im Tal der Schwarzen Sulm auftreten. Es sind Flächen, die höhenmäßig nur wenig von der Au abgesetzt sind, jedoch keine Aulehme tragen, sondern Braunerden, wie sie sich über Schottern und Sanden entwickeln. Ein weiteres

auffälliges Merkmal dieser Fluren ist ihre auf Grund der guten Böden intensive landwirtschaftliche Nutzung. Besonders im Laßnitztal, im Abschnitt zwischen Deutschlandsberg und Groß St. Florian, liegen die meisten Ortschaften auf dieser "höheren Austrufe". Es dürfte sich dabei nach Dr. M. EISENHUT (frdl. Mitteilung) um weitgedehnte würmzeitliche Schotterkegel handeln, die nach dem Austritt der Flüsse aus dem Bergland aufgeschüttet wurden. Sie tauchen jedoch talabwärts bald unter die Aulehme ein. Diese Flächen wurden auf der Geologischen Grundkarte als "Niederterrassen" ausgeschieden.

2.4.2.1 Höhere Terrassenreste (Präßiß)

Die älterpleistozänen Ablagerungen wurden auf der Karte zusammengefaßt, da genauere Untersuchungen fehlen und eine Gliederung ausschließlich nach den jeweiligen Höhenlagen unzweckmäßig erscheint. Nach WINKLER-HERMADEN 1955 entsprechen diese Sedimente der Oberen- und Mittleren Terrassengruppe, wobei die höchstgelegenen Vorkommen als pliozän-ältestpleistozäne Bildungen aufzufassen sind.

Die Mittlere Terrassengruppe, der Rosenberg- und Schweinsbachwaldterrasse des unteren Murtales entsprechend, tritt bereits großflächiger in Erscheinung, obwohl sie sich im morphologischen Gesamtbild von den tieferen Terrassen durch eine wesentlich weiter fortgeschrittenen Zerschneidung unterscheidet. Nach den spärlichen Angaben in der Literatur besitzen sie eine geringmächtige Schotterbasis (Kies und Sand) und lehmige Deckschichten (pseudovergleyte Staublehme).

Im Kainachtal ist ein höherer Terrassenrest bei Hötschdorf - Sajach um 335 m Sh. verbreitet, wobei aus Mangel an Aufschlüssen keine Angaben über den Schotterkörper gemacht werden können. Zwei seichte Baugruben in Hötschdorf zeigten lediglich teilweise sandige, marmorierte Decklehme mit prismatischem Gefüge.

Im unteren Stainzbachtal treten derartige Terrassenkörper nur auf der nördlichen Talseite um 330-340 m Sh. N Mettersdorf, um Petzelsdorf, Tobis und Preding verbreitet in Erscheinung. Die Terrassenflächen liegen etwa 30-35 m über der Au und ca. 15-20 m über den relativ einheitlichen Flächen der tieferen (Riß-)Terrasse. Bei Preding dürften die Decklehme eine Mächtigkeit von 2-3 m nicht übersteigen. Die höchstgelegenen pleistozänen Sedimentreste treten bis über 400 m Sh. auf.

Auch im Laßnitztal beschränken sich die Vorkommen höherer Terrassenreste im wesentlichen auf die nördliche Talseite: um Oberbergla, Petzelsdorf und nördlich von Gussendorf; hier im Zwickel zwischen Stainzbach- und Laßnitztal ebenfalls in Höhen von 330-340 m Sh..

Größere Flächen in ähnlichen Höhenlagen trifft man im Bereich des unteren Gleinzbachtales im Raum zwischen Mönichgleinz und Zehndorf. In der Umgebung von Michlgleinz liegen auf den Verflachungen mindestens 3 m mächtige, manchmal feinstsandige Schlufflehme mit typischer Marmorierung und prismatischem Gefüge.

Südlich von Deutschlandsberg stellt das Leibenfeld einen Rest einer älterpleistozänen Talfüllung um 400 m Sh. dar. Bohrungen, die für den Bau der Landesstraße 619 abgeteuft wurden, ergaben einen 5-6 m mächtigen, zum Teil stark sandigen Schotterkörper ohne wesentliche Lehmbedeckung. Nach WINKLER-HERMÄDEN 1955 dürfte es sich um einen verlassenen Talboden der Laßnitz handeln, die nach S zu in das heutige Sulmtal floss. Die sanfte Neigung nach SE wird mit einer nachträglichen tektonischen Schräglagestellung erklärt. Bei Kresbach und der Haltestelle Hollenegg scheinen die älteren Terrassensedimente von jüngerpleistozänen Solifluktionsmaterial bzw. Schwemmfächern bedeckt zu sein.

Dieses Gebiet wird heute zur Schwarzen Sulm hin entwässert. Ein kleiner Rest einer höheren Terrasse ist westlich des Bahnhofes Schwanberg auf einem aus Tertiärmaterial aufgebautem Hügel erhalten geblieben. Die Oberfläche des Tertiärsockels liegt ca. 5 m über

der angrenzenden Auzone. Über den jungtertiären, teilweise leicht verfestigten Mittel- bis Grobsanden folgt der Terrassenkörper, der sich aus einem 2-3 m mächtigen Schotterkörper und einer wohl stärker abgetragenen Lehmdcke von 0,5-1,0 m Mächtigkeit zusammensetzt. Die Schotter sind stark verwittert, mit vielen Gesteinsleichen und bestehen aus Plättengneisen, Gneisen, Glimmerschiefern, Pegmatiten und Quarzen. Die durchschnittlichen Durchmesser der Komponenten liegen bei 5-10 cm, die maximalen Korngrößen bei 15-20 cm. Die Gerölle sind stark kantengerundet bis gut gerundet. In einem Hohlwegaufschluß wurden im Hangenden des Schotterkörpers 30 cm graubrauner, stark glimmeriger Feinsand beobachtet. Der Decklehmm zeigt die typische Marmorierung (braun-grau gefleckt).

Größere Verbreitung finden höhere Fluren auf der nördlichen Talseite erst wieder in der Gegend des Hartwaldes, wo sie wenig zerschnitten um 345 m Sh. bergwärts ansetzen. Der gesamte Bereich des Hartwaldes steigt ziemlich gleichmäßig von S nach N an. Auf Grund der Höhenlage dürfte es sich um Reste des Rosenberg-Schweinsbachwald-Niveaus handeln, deren Abfälle solifluidal stark abgeflacht worden sind. Eine in ca. 350 m Sh. angesetzte Bohrung (siehe Bohrprofilkarte, Beilage 2) erreichte in 4 m Tiefe den Schotterkörper nicht und blieb im Decklehmm stecken.

Nordwestlich von Gleinstätten wird derzeit für die Ziegelherstellung der Decklehmm abgebaut. Die Lehmmaube ist großflächig bis ca. 4 m Höhe aufgeschlossen, ohne daß der Schotterkörper angefahren worden wäre. Im Nordteil der Grube ist die Lehmmaube durch einen ca. 30 cm mächtigen, dunkel gefärbten Paläoboden gegliedert, der ca. 1 m unter der Geländeoberkante durchzieht (Abb. 1). Im südlichen Teil der Grube fehlt dieser Horizont, wohl aber zeigen die prismatisch-blockig brechenden Lehme die typische Marmorierung und schwarze Bestiege an den Kluftflächen.

Auf der südlichen Talfanke treten älterquartäre Sedimentdecken vor allem bei St. Peter im Sulmtal, Hausleiten und Oberbergla auf.

Große Verbreitung besitzen höhere Terrassen aber im Zwickel zwischen Schwarzer und Weißer Sulm, etwa im Dreieck W. Unterbergla - Gasseldorf - N. Wies. Die höchsten Reste, die sich auch morpho-



Abb.1: Durch einen fossilen Bodenhorizont
gegliederte Lehmmaube auf einer
höheren Terrasse NW Gleinstätten
im Sulmtal.

logisch deutlich von den tieferen Fluren abheben, sind zwischen 380 m und etwa 400 m Sh. verbreitet (Staderegg-Oberhart, Unterbühlwald). Auf Grund dieser Höhenlage können sie den ältest-quartären Terrassenniveaus zugeordnet werden. Sie liegen 60-65 m über den Talböden.

Große flächenhafte Verbreitung weisen Fluren um 150-165 m Sh. zwischen Unterbergla, Gasseisdorf und Brunn auf. Die Überhöhung zu den Talböden von 30-35 m und die Lage zur tieferen Hafbrunner Flur lassen eine Zuordnung als Äquivalente der Rosenberg-Schweinsbachwaldterrassen zu.

Südöstlich vom Schloß Weisberg werden derzeit die 4-5 m mächtigen Decklehme dieser Terrasse abgebaut. Das Aussehen der Lehme entspricht dem der typischen Staublehme in anderen Gebieten. Paläobodenhorizonte konnten visuell nicht festgestellt werden. An der Basis der Lehmhaube kommt der analog zu anderen Gebieten nur geringmächtige (ca. 2 m) Schotterkörper zum Vorschein, der aus durchwegs gerundeten Komponenten aller Korngrößen vom Grobsand bis zu Geröllen mit 12 cm Durchmesser aufgebaut wird. Die meisten Gerölle sind bereits zu Gesteinsleichen verwittert; häufig erscheinen schwarze Konkretionen bzw. Geröllüberzüge.

Nordwestlich von Brunn zeigt ein Aufschluß südlich des Gehöftes Harthauer die gleichen Verhältnisse. Die Oberkante des aus Feinsanden aufgebauten Tertiärsockels liegt 5-6 m über der Grabensohle, die Gesamtmaßigkeit der quartären Terrassensedimente beträgt 6-7 m.

Im Saggatal sind höhere Terrassanreste fast ausschließlich auf der Südseite verbreitet. Südlich von Bibiswald, Feisternitz sowie auf dem Lateinberg treten Sporne mit Quartärsedimenten zwischen 380 und 400 m Sh. auf. Tiefare, flächenhafter entwickelte Fluren liegen bei 340-360 m Sh., mit einer Talbodenüberhöhung zwischen 15 und 25 m.

In Tab. 1 wurden für die einzelnen Tallandschaften lediglich die in verschiedenen Höhenlagen auftretenden Flurenreste von unten nach oben der Reihe nach festgehalten. Eine Zuordnung der einzelnen Stufen über die Wasserscheiden hinweg wurde nicht vorgenommen.

ANSWER: HOW CAN I GET THE MOST OUT OF MY INVESTMENT IN THESE INNOVATIONS?

2.4.2.2 Die Hochterrasse (Helfbrunner Terrasse - Riß)

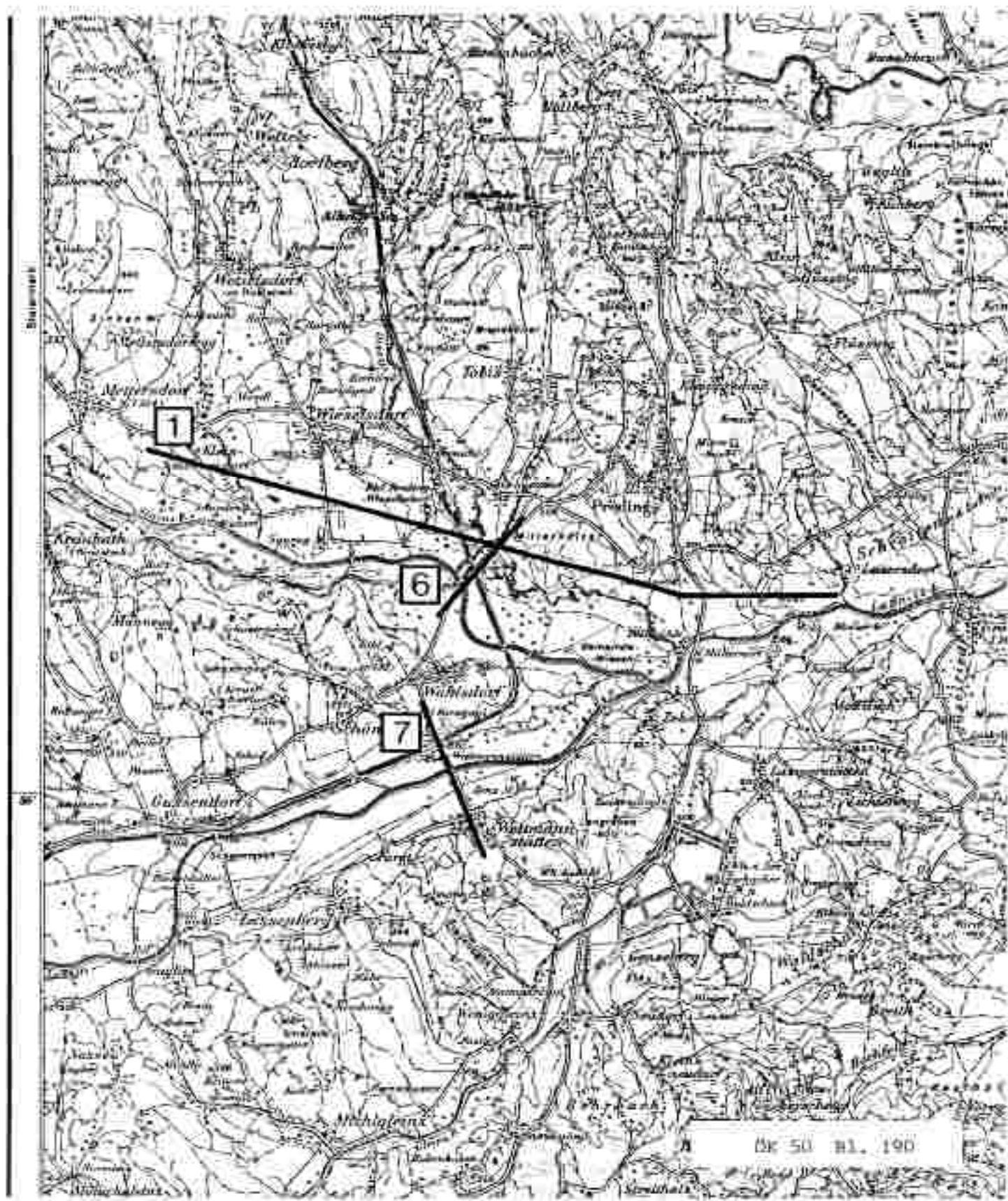
Die tiefsten, gut ausgeprägten Terrassenfluren der weststeirischen Täler entsprechen genetisch der Hochterrasse des Murtales. Eine Niederterrasse im morphologischen Sinne fehlt zum größten Teil deshalb, weil sich die Flüsse in die würmzeitlichen Aufschotterungen postglazial kaum mehr eingraben konnten. Auch vom Aufbau - Schotterbasis mit (Staub-)lehmauflage - sowie vom morphologischen Gesamtbild her entsprechen diese Akkumulationen der sogenannten Helfbrunner Terrasse des Murtales. Die Flächen zeigen eine verhältnismäßig starke Auflösung durch Dellen und Gräben.

Insgesamt lässt sich die Hochterrasse in den größeren weststeirischen Tälern gut verfolgen, wobei sowohl die absoluten Höhenlagen der Flächen als auch die relativen Höhen über den jeweiligen Talböden zur Korrelation herangezogen werden. Es zeigt sich, daß die relativen Höhen talabwärts größer werden, das heißt, daß im Bereich des Arbeitsgebietes eine leichte Divergenz zu den Talböden vorliegt. Leider sind Bohraufschlüsse sehr selten, sodaß kaum Aussagen über die Mächtigkeiten des Schotter- bzw. Lehmkörpers gemacht werden können. Einen Hinweis gibt das RAG-Profil am Nordrand des Stainzbach- bzw. Laßnitztales. Wie aus Fig. 1 zu entnehmen ist, weist die Hochterrasse wie im Murtal einen eigenen Tertiärsockel auf, dessen Oberfläche in diesem Bereich ca. 1-2 m über den Seitentalböden liegt (Bohrungen F405, 406, 413, 423, 426). Die Mächtigkeit des quartären Schotterkörpers erreicht nur etwa 2 m, die der Lehmauflage 3-4 m. Man muß allerdings beachten, daß die Bohrungen in Terrassenrandnähe bzw. auf den teilweise stark verschliffenen Terrassenabhängigen abgeteuft wurden.

Im Abschnitt des Kainachtals zwischen Hötschdorf und Lannach, der zum Bezirk Deutschlandsberg gehört, tritt neben höheren Terrassenresten südlich des Lahnbaches eine Terrasse auf, die von LEDITZKY 1974 der Helfbrunner Terrasse zugeordnet wird. Der Terrassenabfall ist besonders nördlich und östlich von Hötschdorf durch die landwirtschaftliche Bearbeitung stark verschliffen und erreicht eine Höhe von nur wenigen Metern. Östlich von Lannach wurden im Ziegelwerk Lannach Terrassenlehme abgebaut. Die Ober-

LAGEPLAN ZU DEN PROFILSCHNITTEN (Fig. 1 - 10)

Maßstab 1 : 50 000



fläche liegt etwa 3-4 m über der Kainachau.

Im Stainzbachtal ist die Rütterrasse besonders auf der nördlichen Talseite großflächig verbreitet. Die Flächen treten etwa ab Stainz deutlich in Erscheinung. Im Raum Ettendorf erhebt sich die Terrasse ca. 4-7 m, bei Mattersdorf ca. 8 m und südlich von Preding ca. 10 m über den Aubereich. Bei Wieselisdorf werden die Flächen bis 1 km breit, sind aber durch Seitentäler und kleinere Gräben in einzelne Teilflächen zerschnitten.

Im Laßnitztal sind die bedeutenderen Reste der Rütterrasse wie im Stainzbachtal auf der nördlichen Talseite erhalten geblieben. Sieht man von kleineren fraglichen Verebnungen NE von Deutschlandsberg ab, setzt die Hochterrasse nördlich von Zeierling - Krottendorf mit einer Aufüberhöhung von 4-5 m ein. Größere Flächen treten ab Groß St. Florian bis zur Einmündung des Stainzbaches auf, sie liegen ungefähr 10 m über dem Auengelände. Die Terrasse erreicht bei Gussendorf eine maximale Breite von 1 km.

Eine genaue Begehung der Terrassenränder zwischen Zeierling und Groß St. Florian ergab ein gutes Bild vom Aufbau der Hochterrasse. Auf dem Sporn von Vochera ist die quartäre Auflage sehr geringmächtig, auf der Westseite wird sogar der gesamte Abfall von leicht verfestigten Tertiärsanden mit Feinschotterschichten eingenommen. In östliche Richtung sinkt die Tertiäroberkante rasch ab und liegt zwischen Vochera und Groß St. Florian ca. 1-4 m über dem Auengelände. Die Grenze zum hängenden, 2-3 m mächtigen Schotterkörper ist durch viele kleine Quellaustritte gekennzeichnet. Die Gerinne versiegen am Terrassenfuß und führen zu vernässten Zonen im Randbereich der Au. Der Schotterkörper selbst setzt sich aus Sanden und Schottern zusammen, die teilweise durch Fe-Mn-Verbindungen verbacken sind. Die kantengerundeten Gerölle erreichen Durchmesser von 10 cm; der Durchschnitt liegt bei 3-5 cm. Die Terrasse ist teilweise bereits stark durch Dellen aufgelöst, so daß die Mächtigkeit der Lehmmaube, die den Schotterkörper überlagert, schwankt. Sie kann für die ebenen Terrassenflächen mit 3 m angegeben werden (Abb.2).

Auch im Gleinzbachtal lässt sich die Hochterrasse, hier allerdings in flächenmäßig geringerer Ausdehnung (ca. 300 m breit bei Michlgleinz), auf der nördlichen Talseite talaufwärts bis Großöden-Mönichgleinz verfolgen.

Großflächig tritt die Terrasse im Tal der Schwarzen Sulm in Erscheinung, zunächst NE von Schwanberg als langgestreckter Sporn zwischen Sulm und Stullnegg Bach. Der Abfall zur Au beträgt in diesem Bereich nur 2-3 m, ist aber durch eine deutliche Terrassenkante gekennzeichnet. Der Stullnegg Bach durchfließt zwischen Trag und Aigen den Bereich der Hochterrasse, was EISENHUT 1973 auf eine künstliche Flussverlegung zurückführt.

Südlich von Aigneregg lässt die vom Leibenbach unterschnittene Terrasse folgenden Aufbau erkennen. Ca. 1,5 m über der Au liegt die Oberkante der tertiären, verfestigten Sande. Sie wirken wasserstauend, sodaß es entlang des Terrassenabfalles zum Anstritt vieler, allerdings sehr kleiner Quellen kommt. Hangend folgt ein mindestens 2 m mächtiger Schotterkörper aus stark kantengerundeten Kristalllingeröllien. Eine bedeutendere Lehmmüberdeckung konnte nicht festgestellt werden. Die Gesamthöhe des Terrassenabfalles beträgt ca. 4 m.

Zwischen St. Martin im Sulmtal und Gleinstätten steigt sie von 5-6 m auf 10-12 m an, wobei wohl nur die niedrigsten Bereiche des Hartwaldes bei Gleinstätten der Hochterrasse zugezählt werden dürfen. Es bestehen hier insofern Schwierigkeiten in der Abgrenzung zu den höheren Terrassen, daß der Hartwald von Graschach bzw. Gleinstätten gleichmäßig und ohne Stufung von ca. 310 m bis auf 340 m Sh. ansteigt.

Auch im Tal der Schwarzen Sulm kann dieselbe asymmetrische Verteilung der Hochterrasse wie im Stainzbach- bzw. Laßnitztal festgestellt werden. Größere Terrassenflächen treten nur auf der nördlichen Talseite auf. Im Bereich des Zusammenflusses von Schwarzer und Weißer Sulm blieb bei Gasseldorf in geschützter Lage ein größerer Terrassensporn von der Erosion verschont.

Die Weisse Sulm durchschneidet zwischen Wernersdorf und Wies zweimal das Grundgebirge, das spornartig von N her das Tal quert. In den oberhalb der Durchbrüche gelegenen beckenartigen Talweitungen von Wernersdorf bzw. Vordersdorf-Altenmarkt treten vor allem am südlichen Talrand Terrassenbildungen auf, deren genetische Zuordnung zur Helfbrunner Terrasse, der sie höhenmäßig in etwa entsprechen, sehr fraglich erscheint. Wahrscheinlich handelt es sich um verschiedenalte Bildungen, die auf Grund der komplizierten Situation am Gebirgsrand entstehen konnten.

SE von Wernersdorf beträgt die Höhe des Terrassenabfalles insgesamt 8-10 m, wobei die Quartärsedimente im Liegenden aus einem 2-3 m mächtigen, stark verwitterten Schotterkörper mit Fe-Mn-Konkretionen bestehen, die von 0,5-1,0 m Mittelsanden überlagert werden. Im Hangenden liegt ein Staublehmepaket von 2,5-3,0 m Mächtigkeit.

Im Bereich des ebenen Terrassenspornes SE von Vordersdorf beträgt die Höhe des steilen Abfallas dagegen nur ca. 5 m. Der Tertiärsockel (blaue bis gelbbraune Schluffe) übertragt die Au um ca. 2 m. Über der scharfen Grenze zum Quartär folgt ein 2-3 m mächtiger Schotterkörper von frischem, relativ unverwittertem Aussehen. Gesteinsstückchen konnten nicht gefunden werden. Die Gerölle von durchschnittlich 6-8 cm Durchmesser werden maximal bis 15 cm groß. Es könnte sich hier um eine jüngere als rißzeitliche Aufschüttung handeln, zumal auch keine Lehmbedeckung feststellbar ist.

Unterhalb des Wieser Durchbruches ist die Terrasse nur auf der nördlichen Talseite erhalten geblieben. Der Terrassenabfall erreicht 6-8 m Höhe und ist stellenweise stärker verschliffen. Auf der Terrasse liegen die Ortschaften Jagernigg, Brunn und Pölfing. Hier kehrt sich die Talasymmetrie im Bereich des Wieser Durchbruches um.

Im Saggautal ist die Helfbrunner Terrasse im Bereich des Bezirkes Deutschlandsberg nur auf der südlichen Talseite, ab Hörmendorf in kleinen Resten, um Haselbach in ausgedehnteren Flächen (bis 500 m Breite) anzutreffen. Ihre Oberfläche liegt zwischen 2 und 5 m über dem Augelände.

Nordwestlich von Haselbach liegt die Oberfläche des Tertiärsockels



Abb.2: Stark verschliffener und durch Dellen aufgelöster Terrassenrand der Hochterrasse im Lannitztal westlich von Groß St. Florian, Blickrichtung E.



Abb.3: Hochterrassenabfall im Seegauvalley nordwestlich von Hasselbach, Blickrichtung E.

ca. 1 m über der Au. Der oberflächlich stärker verlehnte Schotterkörper der Terrasse ist etwa 2 m mächtig, die Decklehme dürften 1 m nicht wesentlich überschreiten (Abb. 3).

2.4.2.3 Die "Niederterrasse" (Wurm?)

In Gebirgsrandnähe treten in allen Tälern Flächen mehr oder weniger verbreitet in Erscheinung, die morphologisch nur teilweise deutlich von der Auzone abgesetzt sind. Sie tragen keine Auhöden, sondern durchwegs Braunerden über Schottern bzw. sandigen Ablagerungen. Im Stainzbach- und Laßnitztal liegen viele Ortschaften auf diesen Flächen, die nicht Überschwemmungsgefährdet sind. Talabwärts taucht diese als "Niederterrasse" bezeichnete Einheit unter die Aulehme ein. Es dürfte sich um würmzeitliche flache Schwemmfächer handeln, die beim Austritt der Flüsse vom Gebirge in das Vorland abgelagert und in der Folge wieder zerschnitten wurden.

Gleich nach dem Austritt des Stainzbaches aus dem Gebirge setzt bei Marhof-Taufenbach sowohl auf der linken als auch auf der rechten Talseite eine schmale Terrassenleiste mit meist steilem und deutlichem Abfall von 4-5 m Höhe an. Südlich von Taufenbach ist der Abfall der Terrasse auf der Südseite des Tales aufgeschlossen. Der ca. 4 m hohe Aufschluß zeigt in den unteren 1 m stark aufgewitterte kristalline Gesteine, die mit scharfer Grenze von groben Schottern überlagert werden. Die Durchmesser der durchwegs stark kantengerundeten Gerölle betragen durchschnittlich 6-8 cm, es treten aber nicht selten Blöcke bis 50 cm Durchmesser auf (Abb. 4 o. 5). Obwohl der hangende Bereich des Schotterkörpers stark verlehmt ist, kann man nicht von einer Lehmmaube sprechen. Das Fehlen einer Lehmauflage sowie die Tatsache, daß die Schotter ein frisches, wenig verwittertes Aussehen haben, spricht dafür, daß es sich bei dieser Terrasse um einen jungen (wahrscheinlich würmzeitlichen?) Schwemmfächer des Stainzbaches handelt, der durch die starke Gefülsverminderung beim Austritt aus dem kristallinen Grundgebirge in das Vorland zur Ablagerung gelangen konnte.



Abb. 5: "Niedertemperatur"-Gebüttel bei Marchof im Stainzbachetal.



Abb. 4: Auflösung der "Niedertemperatur"-Käsesteine auf stark verwittertem Kristallin bei Marchof im Stainzbachetal.

In größerer Verbreitung und morphologisch noch erkennbar tritt die "Niederterrasse" bei Wald i. Weststeiermk. und im Bereich von Neurath bis südöstlich von Stainz auf, während sich Restflächen bei Grafendorf und südöstlich von Neudorf bei Stainz nur noch in bodenkundlicher Hinsicht von der Auzone unterscheiden.

Große Flächen nimmt die "Niederterrasse" im Laßnitztal ein. So liegen die Ortschaften Deutschlandsberg, Hörbing, Frauental, Krottendorf und Lebing auf dieser Flur, die im Bereich westlich von Groß St. Florian auskeilt.

Der Talquerschnitt bei Hörbing weist einen 6-7 m mächtigen, teils sandig-schluffigen Schotterkörper aus, der von einer geringmächtigen Feinsedimentdecke (Sande ca. 0,5 m) überzogen ist (Fig. 2). Der Querschnitt bei Freidorf-Frauental (Fig. 3) zeigt einen teilweise sandigen Schotterkörper, der im südlichen Talabschnitt 4-5 m, im N bei Frauental 6-8 m mächtig wird. Aulehme größerer Mächtigkeit treten südlich von Freidorf im Bereich der Zubringergräben (bis 5,5 m) und an der Niederen Laßnitz (1-2 m) auf. Im Abschnitt Laßnitz-Lebing (Fig. 4) sind die Laßnitzschotter 3-6 m mächtig und durchwegs von 1,0-1,5 m sandig bis schluffigen Feinsedimenten überlagert.

Ahnlich ist die Situation im Tal der Schwarzen Sulm, wobei die "Terrasse" im morphologischen Sinne nur noch an wenigen Stellen feststellbar ist. Talabwärts sind diese Flächen etwa bis zur Einmündung der Weißen Sulm verbreitet, wobei auf ihnen die Ortschaften Dietmannsdorf und Grasbach liegen.

Im Tal der Weißen Sulm sowie im Saggaatal konnten auf Grund der Bodenverhältnisse nur kleine Restflächen ausgeschieden werden.

2.4.2.4 Die Auflandschaften

Im Nordostteil des Bezirkes Deutschlandsberg wird der Aubereich des Kainachtals nach NOVAK und ZOGER 1979 aus einem ca. 6 m mächtigen, teilweise stark verlehmten Schotterkörper aufgebaut,

LAGEPLAN ZU DEN PROFILSCHNITTEN

(Fig. 1 - 10)

Maßstab 1 : 50 000

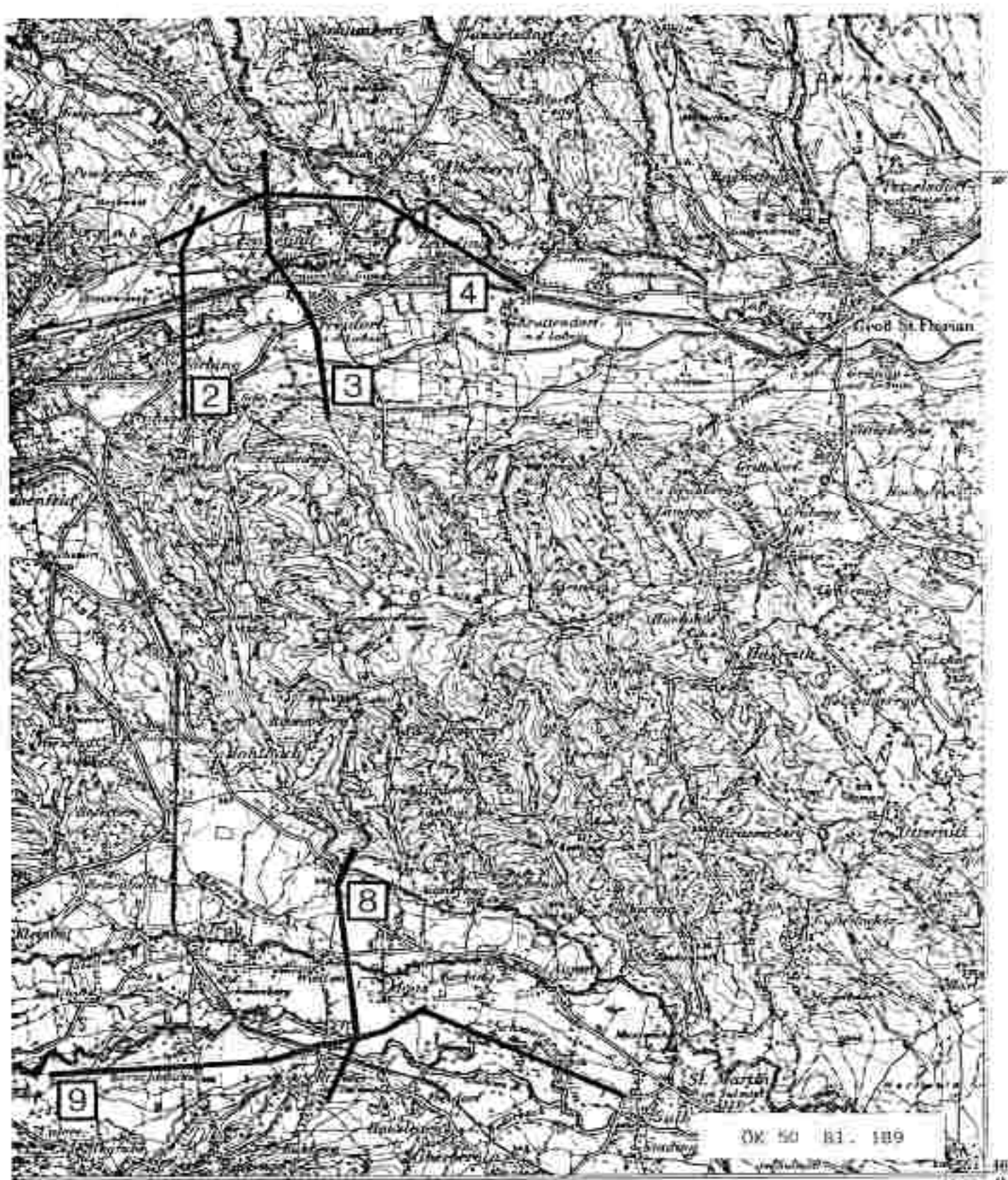


Fig. 2: TALQUERSCHNITT LASSITZ (HÖRBRING)

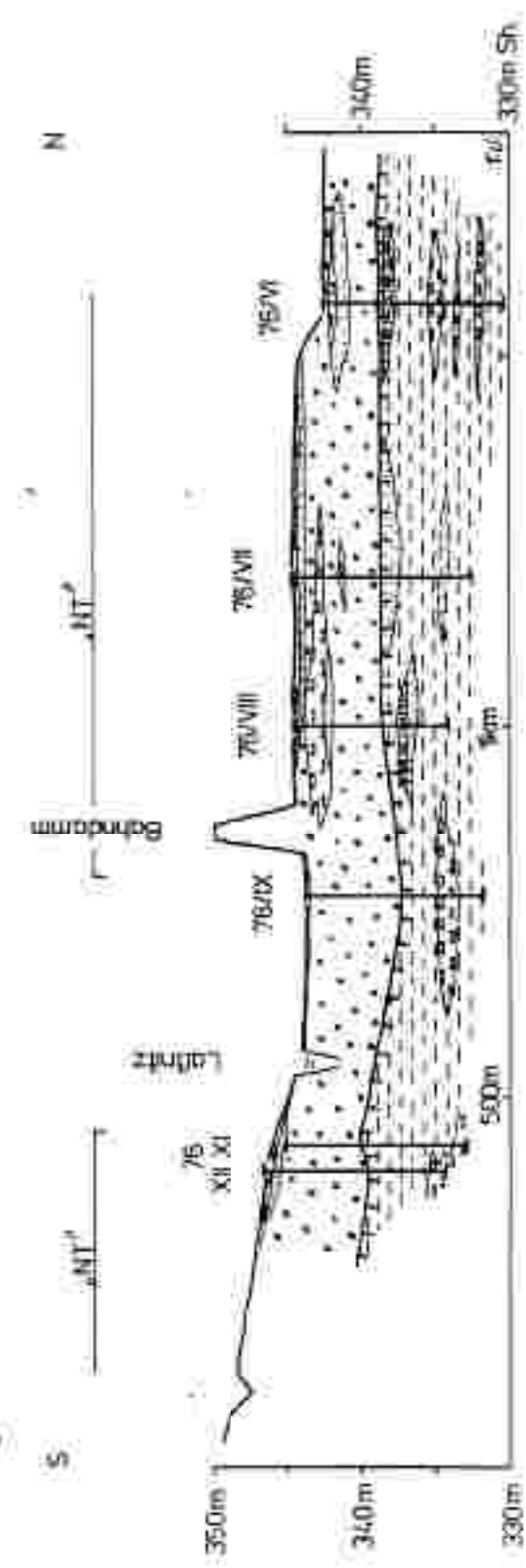
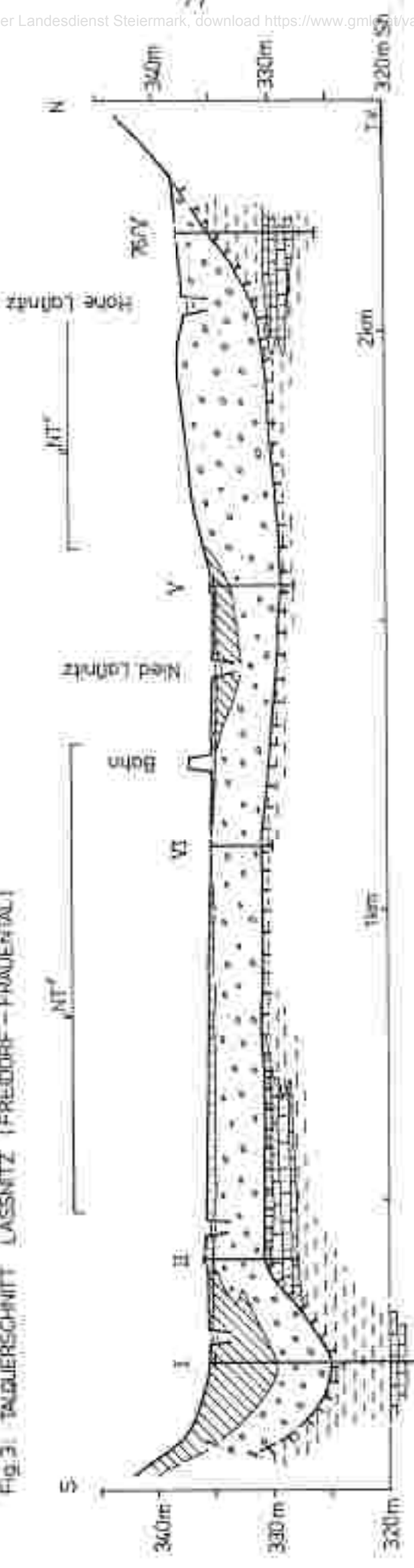
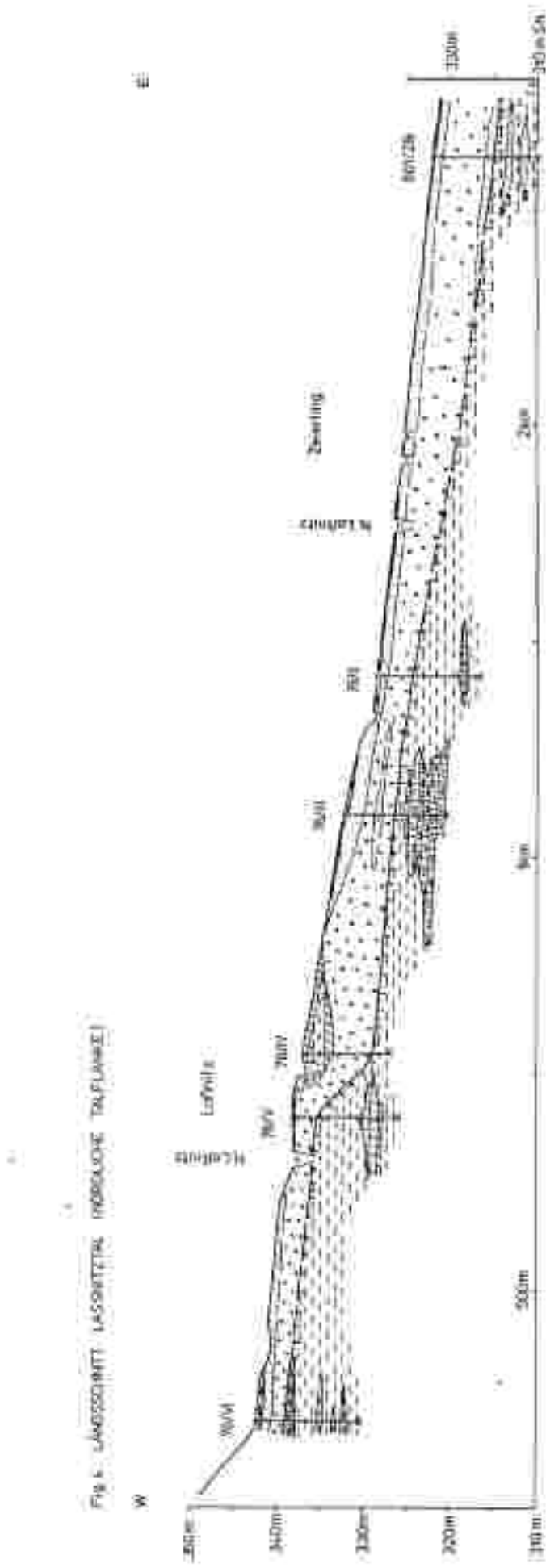


Fig. 3: Tiefquerschnitt LASSITZ / FREUDORF - FRAUENFELD





der von Feinsedimenten (2-4 m mächtiger Lehm bzw. Feinsand und Schluff) überlagert wird. Die Gesamtmächtigkeit der würmzeitlich bis holozänen Talfüllung beläuft sich also auf 8-10 m.

In diesem Abschnitt des Kainachtals besteht das unterlagernde Tertiär in erster Linie aus Tonen und Schluffen mit teilweise sandigen Einschaltungen.

Im oberen Stainzbachtal bis in den Raum Stainz erreicht die Mächtigkeit der jungen Talfüllung kaum mehr als 3 m. Am Aufbau sind neben Schottern auch Sande in größerem Ausmaß beteiligt. Bei Stainz tritt eine geringmächtige (bis 1 m) Lehmbedeckung auf. Im Bereich der Vereinigung von Stainzbach- und Lemsitzbachtal scheint eine Tiefenrinne im tertiären Untergrund vorhanden zu sein; die Mächtigkeit der quartären Lockersedimente steigt hier auf 5-8 m an, wie die Straßenbohrungen für die Umfahrung Stainz zeigen (Fig. 5). Am Aufbau haben vor allem Schotter, aber auch Sand- und Schlufflinsen anteil. Eine mächtigere Lehmbedeckung von 2-3 m tritt nur im unmittelbaren Bereich des Lemsitz Baches auf.

Auf der Höhe von Wohlsdorf, vor der Einmündung in das Laßnitztal, wird die Talfüllung 6-7 m mächtig, wobei Sande vorherrschen (Fig. 6), die durchgehend von bis zu 2,5 m mächtigen Lehmen bedeckt sind.

Der tertiäre Untergrund des Stainzbachtals setzt sich vor allem aus feinkörnigen Sedimenten - Tonen und Schluffen - zusammen, nördlich von Neurath und bei Stainz wurden vor allem Sande und Sandsteine erbahrt.

Im Laßnitztal erreicht die Auzone erst ab Groß St. Florian größere Breite, wogegen sie oberhalb nur als schmale Zone ausgebildet ist. Bei Wettmannstätten sind die Sedimente der Talfüllung gegenüber dem oberen Talabschnitt bereits merklich feinkörniger - Sande herrschen vor; sie werden bis 4,5 m mächtig. Darüber wurden ca. 2 m Aulahme abgesetzt, sodass die Mächtigkeit der gesamten Talfüllung 6-7 m beträgt (Fig. 7).

Der präquartäre Untergrund wird im Bereich des Laßnitztales vorwiegend aus Tonen, Schluffen bzw. Schluffsteinen und Sandstein-

LAGEPLAN ZU DEN PROFILSCHNITTEN
(Fig. 1 - 10)

Maßstab 1 : 50 000

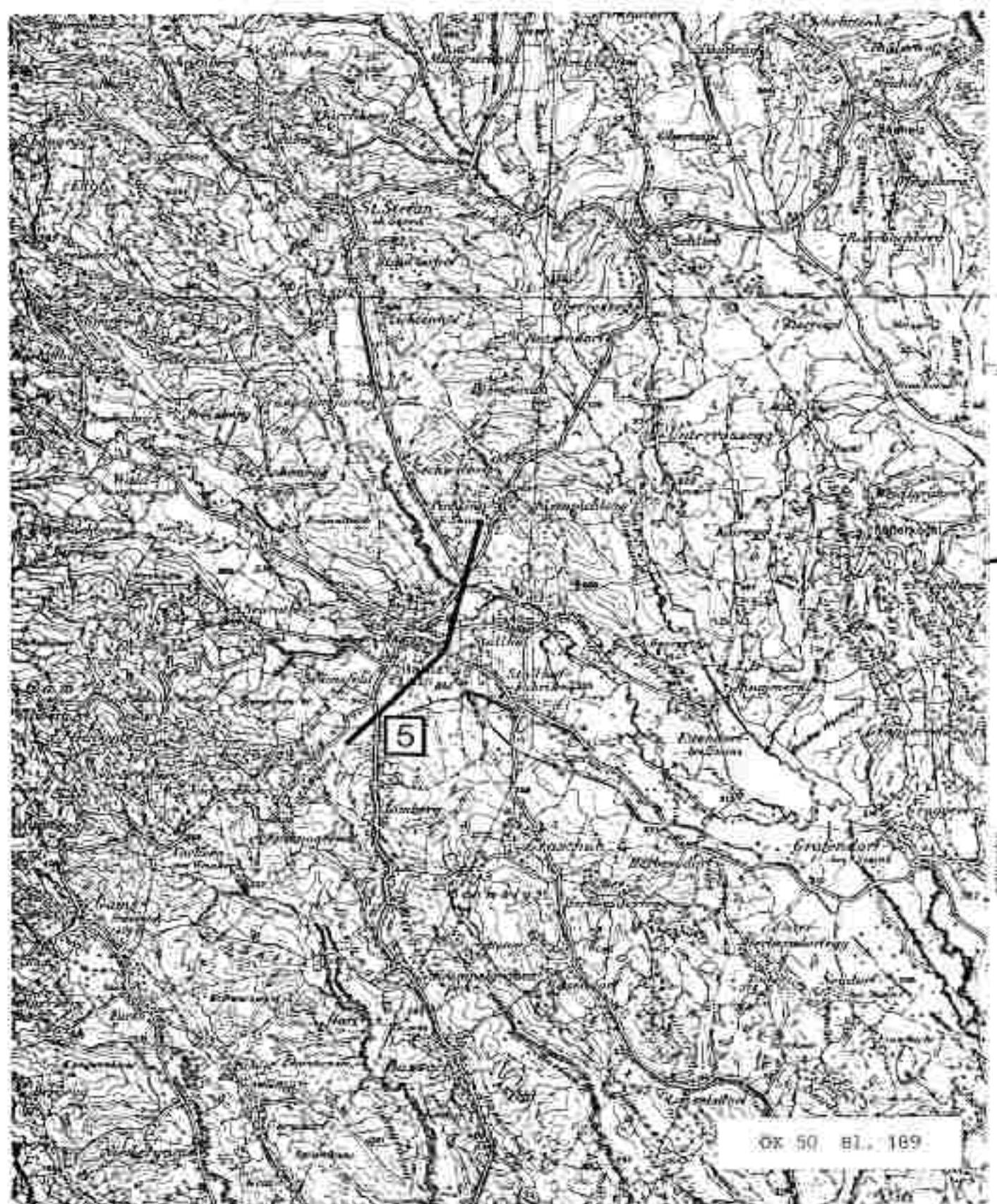


Fig. 5: TAUQUERSCHNITT STANZBACH - LEMSITZBACH

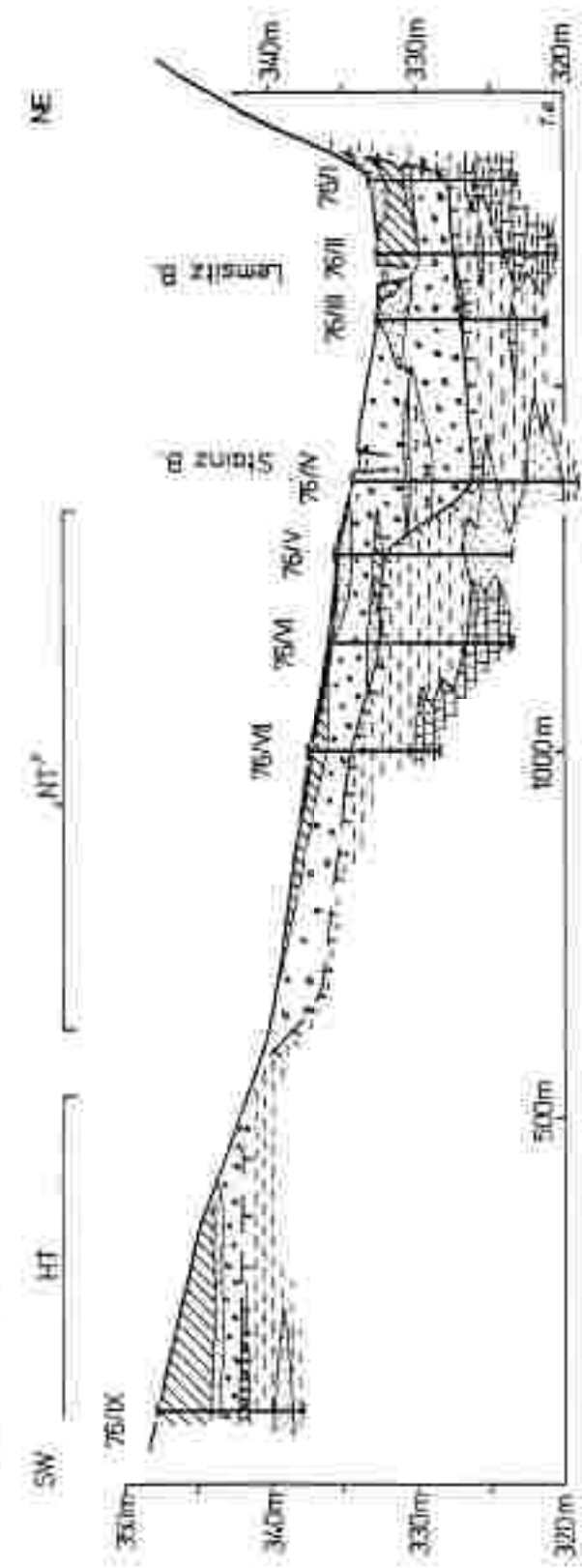


Fig. 5: TALQUERSCHNITT STAINZBÄCH

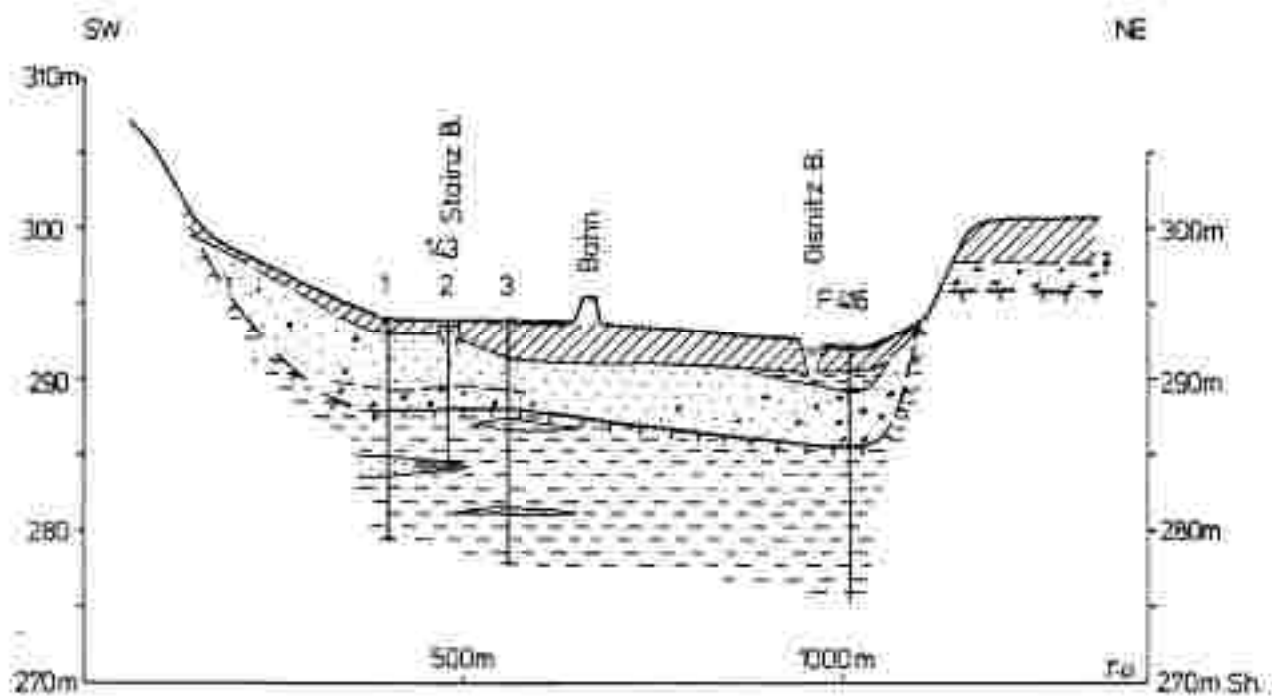
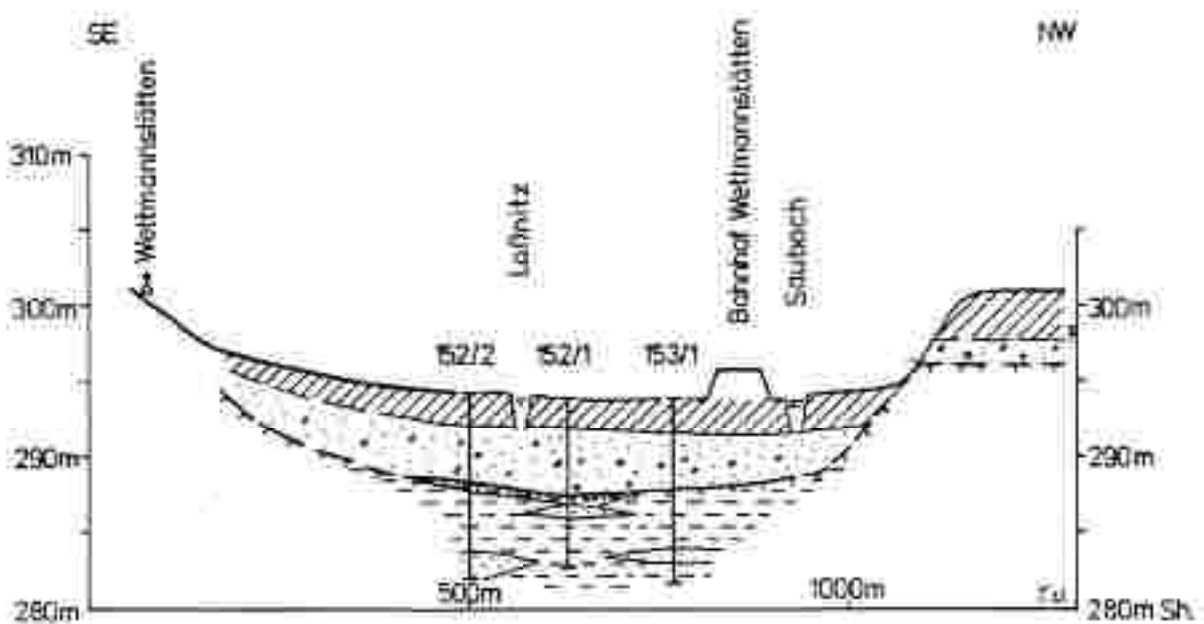


Fig. 7: TALQUERSCHNITT LASSNITZ



bänken aufgebaut.

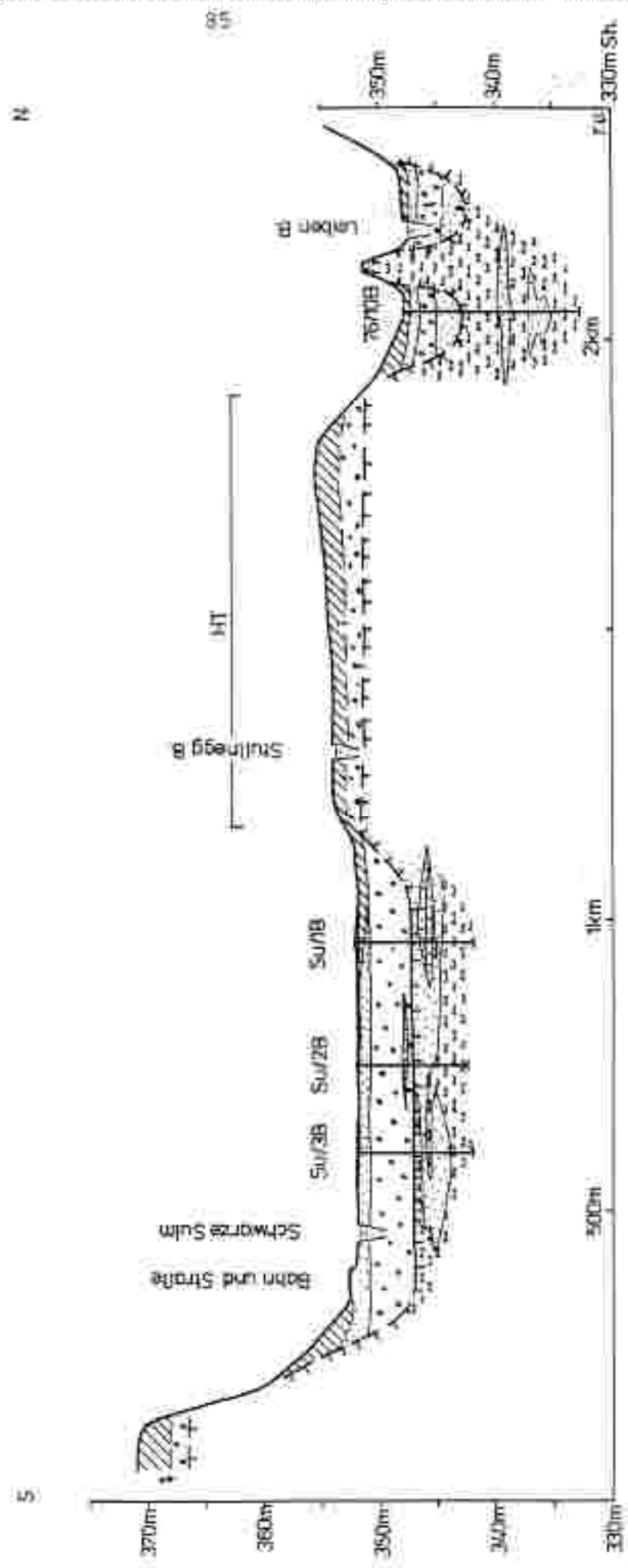
Die Talfüllung der Schwarzen Sulm ist ebenfalls durch einen Schotterkörper gekennzeichnet, der in der Höhe von St.Peter/Sulmtal etwa 3,5-4,0 m mächtig wird (Fig. 8 und 9). Teilweise sind an der Basis Sande eingeschaltet, vor allem aber überlagert den Schotterkörper eine sandige und teilweise lehmige Deckschicht von durchschnittlich 1 m Mächtigkeit.

Der präquartäre Untergrund besteht aus Tonen, Schluffen und Sanden, die stellenweise sandsteinartig verfestigt sind.

Im Talgebiet der Weissen Sulm ergeben sich durch den unruhigen Verlauf des Kristallinrandes interessante Verhältnisse. Zwischen den beckenartigen Talweitungen von Wernersdorf und Vordersdorf-Altenmarkt durchquert die Weiße Sulm in einem epigenetischen Durchbruch den Kristallinsporn von Kogl-Wolfgruben. Ähnliche Verhältnisse sind in Wies gegeben (Wieser Durchbruch). Die Breite der Auzone schwankt zwischen 100-150 m in den Durchbruchsstrecken und 400-500 m in den Weitungen. Ab Wies ist die Au ziemlich konstant um 500 m breit. Die Talfüllung wird von Schottern und teilweise vorherrschenden Sanden aufgebaut, die von durchwegs nicht über 1 m mächtigen Aulehmern bedeckt sind. Die quartären Sedimente erreichen Mächtigkeiten zwischen 3,5 und 4,5 m (Fig. 10). Der präquartäre Untergrund besteht, abgesehen von den das Tal querenden Kristallinschwellen von Kogl-Wolfgruben und Wies, aus tonigen Gesteinen mit sandigen und schluffigen Einschaltungen.

Im Saggaatal wird die Auzone nur an einigen Stellen 500 m breit. Die Mächtigkeit der Talfüllung dürfte 3-5 m betragen. Einige Bohrungen im Talabschnitt oberhalb von Zibiswald (siehe Bohrprofilkarte, Beilage 2) durchteuften meist verschieden mächtige Aulehme (1,0-2,5 m) und einen teilweise schluffigen Sand-Schotterkörper. Im Liegenden folgen sandige, schluffige und tonige Sedimente des Jungtertiärs.

Fig. 8: TALQUERSCHNITT SCHWARZE SULM — LEIBENBACH



LAGEPLAN ZU DEN PROFILSCHNITTEN
(Fig. 1 - 10)

Maßstab 1 : 50 000

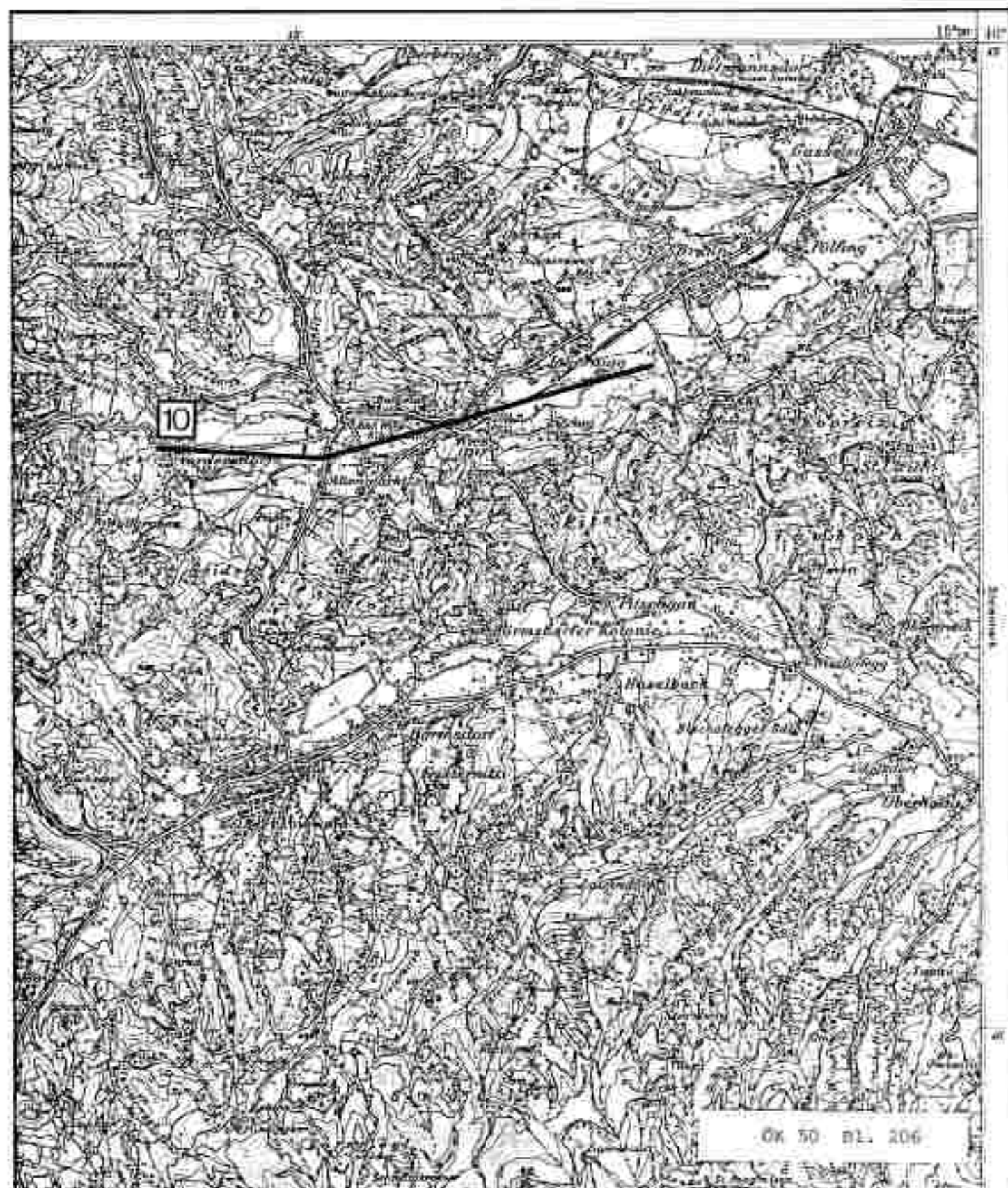


TABELLE 2:
VERZEICHNIS DER BOHRUNGEN

Verzeichnis der Bohrungen

| Bohrung | Ge. LK m. NH. | Geod. Neu- LK | Geod. Neu- Höhe | Quarz- gehalt | Kalifl. gehalt | Grundwasser- stand unter Welt. N.P. | Durchlässig- keit | Gesamt- dichte | Untergrund |
|-----------------------|------------------|------------------|--------------------|------------------|-------------------|--|----------------------|-------------------|---|
| RAG-LINIE F XI | | | | | | | | | |
| F 403 | 305.7 | 291.7 | 1.0 | 200.7 | 5.0 | | | 18.0 | schwarze, Tonmergel; |
| F 408 | 303.1 | 292.1 | 2.0 | 300.1 | 5.0 | | | 18.0 | sand. Tonmergel; |
| F 407 | 298.3 | 294.3 | 3.5 ¹⁾ | 293.3 | 3.0 | | | 18.0 | Ton, sand. Tonmergel; |
| F 406 | 297.1 | 294.1 | 3.5 ¹⁾ | 293.1 | 6.0 | | | 18.0 | Ton, sand. Tonmergel; |
| F 409 | 295.8 | 292.8 | 3.0 ¹⁾ | 289.8 | 8.0 | | | 18.0 | sand. Tonmergel; |
| F 410 | 295.8 | 292.8 | 4.0 ¹⁾ | 288.8 | 7.0 | | | 18.0 | Ton, sand. Tonmergel; |
| F 411 | 294.5 | 292.0 | 4.5 ¹⁾ | 287.5 | 7.0 | | | 18.0 | sand. Tonmergel; |
| F 412 | 294.3 | | | 290.8 | 3.5 | | | 18.0 | sand. Tonmergel (Foss.) |
| F 413 | 298.2 | 297.2 | 1.0 | 296.2 | 2.0 | | | 18.0 | sand. Tonmergel (Foss.) |
| F 414 | 294.1 | 291.9 | 1.0 | 290.8 | 3.0 | | | 18.0 | sand. Tonmergel (Foss.) |
| F 415 | 293.0 | 290.8 | 4.0 | 286.0 | 1.0 | | | 18.0 | ton, Gestein, sand. Tonmergel (Foss.) |
| F 416 | 292.4 | 289.9 | 3.5 | 286.4 | 6.5 | | | 18.0 | Ton, Tonmergel |
| F 417 | 290.1 | 280.6 | 2.5 | 287.1 | 5.0 | | | 18.0 | ton, Tonmergel, Felsgestein, Eis |
| F 418 | 290.1 | 289.1 | 1.0 | 287.6 | 3.0 | | | 18.0 | sand. Tonmergel |
| F 419 | 290.4 | 288.4 | 1.0 | 287.4 | 3.0 | | | 18.0 | sand. Tonmergel |
| F 420 | 290.7 | 288.7 | 6.0 | 283.7 | 1.0 | | | 18.0 | sand. Tonmergel |
| F 421 | 288.6 | 286.6 | 2.5 | 283.1 | 6.0 | | | 18.0 | sand. Tonmergel (Foss.) |
| F 422 | 288.0 | 287.0 | 2.5 | 284.0 | 6.0 | | | 18.0 | sand. Tonmergel |
| F 423 | 288.7 | 282.9 | 2.0 | 280.9 | 6.0 | | | 22.0 | sand. Ton |
| F 424 | 288.1 | 285.1 | 2.0 | 284.1 | 3.0 | | | 18.0 | sand. Tonmergel (Foss.) |
| F 425 | 286.2 | 280.2 | 1.0 | 283.7 | 4.0 | | | 18.0 | sand. Mergel, Tonmergel |
| F 426 | 286.0 | 281.0 | 1.0 | 289.0 | 4.0 | | | 22.0 | Tonmergel, Ton, Eis (TUW-0-174.0) |
| BUNDESSTPASSEN | | | | | | | | | |
| B-95 | | | | | | | | | |
| 138/1 | 4375.0 | 234.0 | 5.2 | 371.0 | 3.0 | 1.0 (4.5.1981) | 40.0 | 8.5 | Schluff |
| 138/2 | 4375.0 | 379.0 | 1.0 | 372.0 | 2.1 | 1.0 (18.8.1981) | 40.0 | 8.55 | Schluff, Sand |
| B-75 | | | | | | | | | |
| 74/128 | 367.2 | 348.8 | 1.81 | 342.2 | 4.8 | 0.7 (4.5.1980) | 1.85 | 15.0 | Schluff, Feinsand |
| 74/119 | 374.3 | 333.0 | 1.12 | 369.3 | 3.2 | 0.7 (8.5.1980) | 0.9 | 15.0 | Feinsand, Schluff |
| 74/1234 | 380.1 | 379.0 | 0.4 | 375.1 | 4.7 | | | 14.0 | Schluff, Sand |
| 74/1235 | 380.4 | 379.0 | 2.1 ¹⁾ | 372.0 | 4.0 | | | 15.0 | Schluff, Sand |
| B-76 | | | | | | | | | |
| 232/2 | 422.0 | 420.0 | 2.0 | 422.0 | 3.0 | | | 10.0 | Sand, Sandstein |
| 76/78a | 385.0 | | | † | † | | | 10.0 | Erosion: Lehm, Sand, Schluffstein |
| 76/78b | 293.1 | | | † | † | | | | Erosion: Lehm, Sand, Schluff, Sandstein, Schluffstein |
| 76/78c | 388.4 | | | † | † | | | 10.0 | Erosion: Lehm, Schluff, Sand |
| 76/12 | 398.3 | 398.1 | 1.0 | 396.3 | 2.0 | | | 15.0 | Sandstein |
| 80/14 | 572.1 | 672.1 | 6.2 | 666.5 | 3.5 | | | 8.0 | Konglomerat u. Sandstein |
| 80/15 | 648.4 | 668.4 | 6.2 | 652.2 | 4.7 | | | 10.0 | Sandstein, Schluffkonserven |
| 80/16 | 672.0 | 671.0 | 5.0 | 666.2 | 5.0 | | | 10.0 | Konglomerat, Sandstein |
| 76/20 | 400.2 | 448.1 | 3.3 | 438.6 | 1.0 | 1.0 (13.7.1978) | 0.2 | 10.0 | Sandstein, Breccie |
| 76/48 | 400.7 | 450.7 | 2.0 | 448.1 | 2.0 | 1.0 (10.7.1978) | 0.8 | 10.0 | Sandstein, Breccie |
| 76/58 | 471.5 | 471.5 | 1.0 | 453.5 | 1.0 | | | 10.0 | Breccie |
| 76/68 | 543.3 | 543.2 | 1.0 | 541.0 | 1.0 | 0.5 (30.7.1978) | 0.3 | 10.0 | Sandstein, Breccie |
| 11/84 | 541.5 | 540.0 | 1.0 | 345.0 | 4.0 | | | 10.0 | Sand, Schluff (Konglomerat) |
| 11/85 | 348.0 | 348.2 | 1.0 | 345.0 | 3.0 | | | 10.0 | Schluff (sandstein, Mergelstein) |
| 12/84 | 343.8 | 339.1 | 1.0 | 337.0 | 4.0 | 1.0 (7.11.1978) | 1.0 | 10.0 | Sand, Schluff (steink), Mergelstein, etc. |
| 12/86 | 344.5 | | | 335.0 | 6.0 | | | 10.0 | Sand |
| 13/86 | 367.4 | | | — | — | | | 4.0 | nur Quarzit (II) |
| 14/82 | 369.2 | | | — | — | | | 4.0 | nur Quarzit (II) |
| 15/86 | 373.1 | | | — | — | | | 4.0 | nur Quarzit (II) |

Verzeichnis der Bohrungen

| Bohrung | Geol. Orf. m. NN | Sand, Kies, Dol. | Sand/ Kies/ Gestein | Qualität- UR | Qualität- Plattenprofil | Grundwasserstand m. höherer Gel. Orf. | Ursprungswasser- standspunkt | Grundwasser- stand m. | Wasserart |
|-------------------------|---------------------|---------------------|---------------------------|-----------------|----------------------------|--|---------------------------------|--------------------------|--|
| 76-13a | 334,5 | | | 700,0 | 3,3 | | | 11,0 | |
| 76-13b | 331,5 | | | 219,0 | 2,0 | 2,0 (10,10,1970) | 1,0 | 14,0 | Befluttet, Sand, Kiesgrusiger Befluttet, Sand, Tonartiger Gestein |
| Lumbach-Mühlbach | | | | | | | | | |
| 776/V1 | 326,8 | 318,0 | 2,0 | 323,0 | 3,0 | 1,0 (11,1,1970) | 1,0 | 12,0 | Ton, Sand |
| 776/V1a | 329,1 | 319,5 | 1,5 | 315,0 | 3,0 | 1,0 (22,6,1970) | 1,0 | 12,0 | Tegel, Sand mit Feinkies |
| 776/V1b | 318,4 | 322,1 | 1,5 | 324,0 | 3,0 | 1,0 (8,4,1970) | 2,0 | 12,0 | Ton, Sandstein, Mergel |
| 776/V1c | 317,7 | 311,0 | 1,0 | 326,0 | 3,0 | 1,0 (16,6,1970) | 2,0 | 12,0 | Ton, Schiefer, Tegel |
| 776/V1d | 330,9 | 332,3 | 4,0 | 328,0 | 0,0 | 2,0 (18,6,1970) | 1,0 | 10,0 | Tegel mit Schliff |
| 776/V1e | 326,4 | 319,0 | 2,0 | 325,0 | 0,0 | | | 12,0 | Tegel mit mehrfach Rundprofil |
| 776/V1f | 342,8 | 341,5 | 1,5 | 358,0 | 3,0 | 0,0 (25,6,1970) | 2,0 | 12,0 | Tegel ohne Schliff |
| 776/V1g | 364,8 | 364,0 | 5,2 ¹⁾ | 318,0 | 3,0 | 1,0 (26,6,1970) | 1,0 | 12,0 | Schliff, Sand, Tegel |
| 776/V1h | 366,5 | 364,2 | 5,5 ¹⁾ | 318,0 | 3,0 | 1,0 (25,6,1970) | 2,0 | 10,0 | Tegel, Befluttet mit Feinkies |
| 776/V1i | 363,9 | 363,0 | 4,0 | 337,0 | 4,0 | 0,0 (30,6,1970) | 0,0 | 12,0 | Tegel, Schliff |
| 776/V1j | 369,2 | 343,0 | 6,0 | 337,0 | 0,0 | 1,0 (30,6,1970) | 4,0 | 12,0 | Tegel mit Schliff |
| 776/V1k | 369,0 | 364,0 | 4,0 | 339,0 | 5,0 ¹⁾ | 1,0 (31,7,1970) | 4,0 | 12,0 | Tegel mit Schliff |
| 776/V1l | 364,5 | 347,0 | 4,0 | 339,0 | 1,0 | 2,0 (27,1970) | 4,0 | 12,0 | Tegel mit Feinkies, Schliff |
| 163/V1 | | | | | | | | | |
| 163/V2 | ~360,0 | | 4,1 ¹⁾ | 335,0 | 4,0 ¹⁾ | | | 12,0 | Lehm (Bekleidung), Ton |
| 163/V3 | ~360,0 | | 2,5 | 336,0 | 3,0 ¹⁾ | 1,0 ¹⁾ | | 12,0 | Sand, Ton |
| 163/V4 | ~360,0 | | 1,0 | 337,0 | 2,0 ¹⁾ | | | 11,0 | Ton, Feinkies in Wechsel-Lagerung |
| 163/V5 | ~360,0 | | 1,0 | 353,0 | 4,0 ¹⁾ | | | 11,0 | Ton, Feinkies in Wechsel-Lagerung |
| 163/V6 | ~363,0 | | 0,0 | 345,0 | 3,0 ¹⁾ | | | 12,0 | einiger Feinkies ¹⁾ |
| 163/V7 | ~370,0 | | | 347,0 | 2,0 ¹⁾ | | | 11,0 | sand, Kies, Feinkies |
| 163/V8 | ~377,0 | | 2,0 ¹⁾ | 371,0 | 3,0 ¹⁾ | | | 12,0 | Feinkies und Ton in Wechsel-Lagerung |
| 163/V9 | ~380,0 | | 2,0 ¹⁾ | 329,0 | 0,0 ¹⁾ | | | 11,0 | Sand, Ton |
| Umfahrung Steyr | | | | | | | | | |
| 776/V1 | 319,0 | 311,0 | 2,0 | 317,0 | 0,0 | 2,0 (5,6,1970) | 1,0 | 10,0 | Ton, Schieferton |
| 776/V2 | 301,7 | 329,0 | 2,0 | 307,0 | 4,0 | 2,0 (7,8,1970) | 2,0 | 12,0 | Ton, Sand, Tonerschiefer |
| 776/V3 | 302,7 | 312,0 | 5,1 ¹⁾ | 328,0 | 0,0 | 1,0 | | 11,0 | Sand, Ton |
| 776/V4 | 324,3 | 324,0 | 0,0 ¹⁾ | 326,0 | 0,0 | 2,0 (14,6,1970) | 2,0 | 15,0 | Ton, Schliff, Sand |
| 776/V5 | 325,5 | 325,0 | 2,5 ¹⁾ | 322,0 | 2,0 | | | 11,0 | Ton, Schliff, Sand |
| 776/V6 | 326,0 | 321,0 | 2,0 ¹⁾ | 302,0 | 0,0 | | | 12,0 | Ton, Schliff, Sandstein |
| 776/V7 | 326,0 | 321,0 | 2,0 ¹⁾ | 302,0 | 0,0 | | | 12,0 | Ton, Schliff, Sandstein |
| 776/V8 | 327,0 | 326,0 | 1,1 ¹⁾ | 324,0 | 0,0 | | | 12,0 | Ton, Schliff, Sandstein |
| 776/V9 | 327,0 | 327,0 | 1,1 ¹⁾ | 324,0 | 0,0 | | | 12,0 | Ton, Sand |
| 776/V10 | 347,0 | 324,0 | 1,0 | 343,0 | 0,0 | 4,0 (4,9,1970) | 1,0 | 10,0 | Kehlfuß, Ton, Sand |
| 776/V11 | 308,2 | | | 324,0 | 0,0 ¹⁾ | | | 10,0 | Ton, Sand |
| LANDESSTRASSEN | | | | | | | | | |
| <u>L 303</u> | | | | | | | | | |
| 763/V1 | 318,7 | 318,0 | 5,0 ¹⁾ | 312,0 | 3,0 | 2,0 (16,7,1970) | 2,0 | 12,0 | Tegel mit Schliff, Sandstein |
| 763/V1 | 318,0 | 318,0 | 6,0 ¹⁾ | 311,0 | 0,0 | 2,0 (21,7,1970) | 2,0 | 12,0 | Tegel mit Schliff, Sandstein |
| <u>L 301</u> | | | | | | | | | |
| 601/V10 | ~330,0 | | | 302,0 | 3,0 | 4,0 (5,4,1970) | 5,0 | 12,0 | Schliff, Feinkies (Kies.) |
| 601/V10 | ~322,0 | | | 312,0 | 0,0 | 2,0 (31,3,1970) | 1,0 | 12,0 | Feinkies, Feinsand, Schliff |
| 165/V1 | 296,0 | 292,0 | 4,0 | 287,0 | 0,0 | 1,0 (17,1,1970) | 4,0 | 12,0 | Ton, Feinkies |
| 165/V2 | 296,0 | 283,0 | 5,0 | 287,0 | 0,0 | | | 12,0 | Ton, Sandstein |
| 165/V3 | 296,0 | 291,0 | 1,0 | 288,0 | 0,0 | | | 12,0 | Ton, Sand in Wechsel-Lagerung |
| <u>L 319</u> | | | | | | | | | |
| 619/V1a | 308,0 | 307,0 | 4,0 ¹⁾ | 301,0 | 0,0 | 2,0 (13,6,1970) | 2,0 | 10,0 | Schliff, Feinkies, Schliffkies |
| 619/V1b | 308,0 | 308,0 | 4,0 ¹⁾ | 306,0 | 0,0 | 2,0 (13,6,1970) | 2,0 | 10,0 | Schliff, Feinkies |
| 619/V1c | 405,0 | 404,0 | 5,0 ¹⁾ | 396,0 | 0,0 | 2,0 (13,10,1970) | 2,0 | 12,0 | Sand |
| 619/V2b | 305,0 | 405,0 | 5,0 ¹⁾ | 309,0 | 0,0 | 2,0 (17,10,1970) | 2,0 | 8,0 | Sand |
| <u>L 323</u> | | | | | | | | | |
| 619/V2c | 309,0 | 291,0 | 4,0 | 292,0 | 0,0 | | | 11,0 | Ton |

LANDESSTRASSEN

| | | | | | | | | | |
|--------------|--------|-------|-------------------|-------|-----|------------------|-----|------|--------------------------------|
| <u>L 303</u> | | | | | | | | | |
| 763/V1 | 318,7 | 318,0 | 5,0 ¹⁾ | 312,0 | 3,0 | 2,0 (16,7,1970) | 2,0 | 12,0 | Tegel mit Schliff, Sandstein |
| 763/V1 | 318,0 | 318,0 | 6,0 ¹⁾ | 311,0 | 0,0 | 2,0 (21,7,1970) | 2,0 | 12,0 | Tegel mit Schliff, Sandstein |
| L 301 | | | | | | | | | |
| 601/V10 | ~330,0 | | | 302,0 | 3,0 | 4,0 (5,4,1970) | 5,0 | 12,0 | Schliff, Feinkies (Kies.) |
| 601/V10 | ~322,0 | | | 312,0 | 0,0 | 2,0 (31,3,1970) | 1,0 | 12,0 | Feinkies, Feinsand, Schliff |
| 165/V1 | 296,0 | 292,0 | 4,0 | 287,0 | 0,0 | 1,0 (17,1,1970) | 4,0 | 12,0 | Ton, Feinkies |
| 165/V2 | 296,0 | 283,0 | 5,0 | 287,0 | 0,0 | | | 12,0 | Ton, Sandstein |
| 165/V3 | 296,0 | 291,0 | 1,0 | 288,0 | 0,0 | | | 12,0 | Ton, Sand in Wechsel-Lagerung |
| <u>L 319</u> | | | | | | | | | |
| 619/V1a | 308,0 | 307,0 | 4,0 ¹⁾ | 301,0 | 0,0 | 2,0 (13,6,1970) | 2,0 | 10,0 | Schliff, Feinkies, Schliffkies |
| 619/V1b | 308,0 | 308,0 | 4,0 ¹⁾ | 306,0 | 0,0 | 2,0 (13,6,1970) | 2,0 | 10,0 | Schliff, Feinkies |
| 619/V1c | 405,0 | 404,0 | 5,0 ¹⁾ | 396,0 | 0,0 | 2,0 (13,10,1970) | 2,0 | 12,0 | Sand |
| 619/V2b | 305,0 | 405,0 | 5,0 ¹⁾ | 309,0 | 0,0 | 2,0 (17,10,1970) | 2,0 | 8,0 | Sand |
| <u>L 323</u> | | | | | | | | | |
| 619/V2c | 309,0 | 291,0 | 4,0 | 292,0 | 0,0 | | | 11,0 | Ton |

Verzeichnis der Bohrungen

| Deg. Ref. | Geol. SP. m. NHN | Sand-Mus- ur | Sand-Kal- keigeröl | Quarz- % | Quarz- Metamor- | Mineralbestim- mung nach SELME | Gruben- Mächtigkeit | Setzungs- höhe | Untergrund |
|-----------|---------------------|-----------------|-----------------------|-------------|--------------------|-----------------------------------|------------------------|-------------------|--|
| I-638 | | | | | | | | | |
| 638/12 | -113.0 | | | 124.3-1 | 0.7-1 | | | 14.0 | Schluff, Sand mit Feinkies |
| I-639 | | | | | | | | | |
| 122/1 | 293.0 | 292.0 | 4.1 | 287.4 | 0.5 | | | 11.2 | Schluff, Sand, Ton |
| 122/2 | 294.2 | 292.1 | 3.6 | 288.3 | 0.8 | | | 12.1 | Schluff, Ton, Sand |
| 123/1 | 293.0 | 291.5 | 3.6 | 287.3 | 0.7 | 2.4 (20.1.1976) | 3.5 | 12.1 | Ton |
| I-642 | | | | | | | | | |
| 642/10n | 314.7 | 316.7 | 2.1 ² | 314.3 | 2.1 | 1.7 (24.6.1976) | 0.5 | 10.0 | Sand, Schluiffsandstein in Wechse- lagerung |
| 642/10u | 318.2 | 318.2 | 2.0 ¹ | 318.1 | 2.0 | | | 19.0 | Sand, Schluiff(sandstein) in Wechse- lagerung |
| 642/22n | 349.0 | 348.8 | 1.6 ¹ | 347.0 | 2.0 | 1.8 (22.11.1976) | 0.2 | 10.0 | Sand(sand), Schluiff(sand) |
| 642/22u | 348.4 | 348.2 | 2.3 ¹ | 345.3 | 2.9 | 1.7 (17.11.1976) | 0.8 | 10.0 | Schluff, Sand |
| 642/38 | -350.0 | | 2.0 ² | 386.9 | 3.1 | 2.7 (22.11.1976) | 0.5 | 8.1 | Schluff, Sand, Schluff |
| 642/48 | -432.0 | | 1.1 ² | 430.7 | 1.8 | | | 10.0 | Plattengneis |
| 642/58 | -468.0 | | 2.1 ² | 453.0 | 2.0 ² | | | 7.5 | Plattengneis |
| I-651 | | | | | | | | | |
| 651/10 | -300.0 | | 2.2 ² | 328.5 | 3.5 | 1.8 (6.5.1980) | 0.8 | 10.0 | Glimmerschiefer |
| I-660 | | | | | | | | | |
| 660/12 | -305.0 | | | -29.0 | 1.7 | 3.2 (24.11.1976) | 0.4 | 10.0 | |

SÜLZSEEPROJEKT

| | | | | | | | | | |
|---------|-------|-------|------------------|-------|-----|-----------------|-----|------|----------------------------------|
| Bu1/1 | 352.3 | 351.3 | 4.9 ¹ | 347.5 | 4.7 | | | 10.0 | Schluff, Sandstein, Schluff |
| Bu2/1 | 352.1 | 351.9 | 4.5 ¹ | 347.4 | 4.7 | 1.0 (13.2.1975) | 1.0 | 8.5 | Kiss, Sand, Schluff |
| Bu3/1 | 352.1 | 351.9 | 4.5 ¹ | 347.4 | 4.7 | 1.1 (15.2.1975) | | 10.0 | Schluff, Sand |
| Bu4/1 | 348.7 | 348.7 | 5.6 ² | 343.1 | 5.6 | 2.2 (19.2.1975) | 4.0 | 10.0 | Sand, Schluff |
| Bu5/1 | 345.9 | 345.9 | 4.0 | 341.9 | 4.0 | 1.0 (24.2.1975) | 1.0 | 10.0 | Schluff, Feinsand |
| Bu6/1 | 348.5 | 348.2 | 6.4 ² | 339.9 | 6.4 | 1.8 (26.2.1975) | 4.8 | 12.0 | Schluff, Tone |
| Bu7/1 | 343.1 | 344.9 | 5.7 ² | 341.1 | 6.2 | 1.0 (26.2.1975) | 3.0 | 10.0 | Sand, Schluff in Wechsellagerung |
| Bu8/1 | 345.6 | 344.9 | 5.4 ² | 341.6 | 6.2 | 1.0 (3.3.1975) | 5.2 | 12.0 | Sand, Schluff |
| Bu10/11 | 347.6 | 346.5 | 2.6 ² | 342.1 | 4.5 | 1.0 (5.3.1975) | 1.8 | 10.0 | Schluff, Feinsand |
| Bu11/12 | 349.5 | 348.4 | 3.3 ² | 344.5 | 4.8 | 0.7 (10.3.1975) | 2.6 | 10.0 | Schluff, Feinsand |
| Bu12/13 | 350.0 | 349.9 | 4.6 ² | 345.1 | 4.8 | 1.0 (17.2.1975) | 3.8 | 10.0 | Sand, Schluff |
| Bu13/14 | 346.7 | 345.6 | 1.8 ² | 342.7 | 4.0 | 0.7 (13.2.1975) | 3.3 | 4.3 | Schluff |

NUR SÜLTAL

| | | | | | | | | | |
|-----|--------|--|------------------|-------|-----|-----------------|-----|------|----------------|
| II | -347.0 | | 6.6 ¹ | 346.4 | 6.8 | 1.0 (26.2.1975) | 5.0 | 8.0 | Ton, Schluff |
| III | -348.0 | | 9.1 ¹ | 370.5 | 9.3 | 2.2 (26.2.1975) | 8.2 | 10.1 | Schluff, Ton |
| IV | -237.0 | | 2.1 ² | 332.1 | 1.4 | 2.2 (26.2.1975) | 1 | 7.0 | Ton, Schluff |
| V | -235.0 | | 3.3 ² | 349.4 | 3.6 | | | 7.0 | Altes, Schluff |
| VI | -237.0 | | 1.0 ² | 331.8 | 3.2 | | | 7.2 | Schluff |
| VII | -236.0 | | 2.0 ² | 336.5 | 3.5 | | | 5.0 | Schluff |

VERSUCHSBORRUNGEN
(ABWESEN)

| | | | | | | | | | |
|----|--------|-------|-----|-------|------|--|--|------|------------------|
| X | -335.0 | 329.0 | 4.0 | 325.0 | 10.0 | | | 30.0 | Tegel, Sandstein |
| XI | -336.0 | 325.0 | 4.0 | 331.0 | 3.0 | | | 8.0 | Sandstein |
| V | -335.0 | 333.5 | 4.0 | 328.0 | 6.0 | | | 7.0 | Tegel |
| VI | -335.0 | 335.0 | 4.0 | 325.0 | 4.2 | | | 5.0 | Tegel? |

Verzeichnis der Bohrungen

| Bohr-Schl. | Ge. (m) z. S.E. | Sand-Fels- G. | Sand-Fels- Hausg. | Quarzit- lk. | Quarz- Konglomerat | Braunkohlelagen w. unter Gel. Bf. | Granulat- Mergelkalk | Grundw. n. | Urkundl. |
|--|--------------------|------------------|----------------------|-----------------|-----------------------|--------------------------------------|-------------------------|---------------|------------------------------|
| GRASCHACH | | | | | | | | | |
| Se 4: | ~330; 0 | | | | | | | | nur Quarzit, Terrassenlehm |
| GEEMINDE PÖLFTING-BRUNN | | | | | | | | | |
| W 1 | ~322; 0 | 223; 5 | 2.5 | 319; 0 | 2.2 | | 0.8 | 5.2 | Tegel, Tegelstein |
| W 2 | ~322; 0 | 223; 0 | 2.0 | 318; 5 | 1.5 | | 2.1 | 5.1 | Tegel, Tegelstein |
| BERGBAU PÖLFTING-BRUNN | | | | | | | | | |
| 3-4A | ~355; 0 | | 1.2 | 349; 77 | 8.3; 7 | | | | Tegel |
| STADTgemeinde DEUTSCHLANDSBERG | | | | | | | | | |
| E-W | ~375; 0 | | 10.0 | 319; 0 | 10.0 | 1.8 | 9.0 | 1 | Tegel |
| E-E | ~373; 0 | | 4.1 | | + | 1.4 | | 3.4 | nur Quarzit, Lava, Basal |
| GRATIUSBOHRUNGEN | | | | | | | | | |
| -1 | 346; 0 | | | 316; 0 | 2.0 | | | | Tegel |
| -7 | 346; 0 | | 2.5 | 340; 0 | 0.3 | | | | Tegel, Sand |
| 10/12 | 320; 0 | | 4.0 | 318; 0 | 4.0 | | | | Tegel |
| 20 | 303; 0 | | 0.8 | 380; 0 | 1.3 | | | | Tegel |
| 21 | 349; 0 | | 1.3 | 343; 0 | 3.9 | | | | Tegel |
| BUCKHALTEBEDEN HAFERWITZBACH-ESSIGDACH | | | | | | | | | |
| III/10/10 | 437; 0 | 337; 0 | 0.4 ²³ | 336; 0 | 0.5 | 5.5 (22.I.1982) | | 12.0 | Blockwerk, Granit, Blockwerk |
| III/10/10 | 433; 05 | | | 422; 05 | 0.9 | 2.5 (11.I.1982) | | 8.0 | Blockwerk, Schiefer, Marmo |
| III/10/10/1 | | | | | | | | 14.3 | Schiefer |
| III/10/10/2 | 438; 0 | 337; 0 | 3.6 ²³ | | | 1.4 (03.I.1982) | 2.6 | 8.0 | Marmo, Grobsand, Kiesel |
| III/10/11 | | | | | | | | 4.5 | schluff./Kiesalm |
| III/10/12 | | | | | | | | 4.2 | schluff./Feinsand |
| III/10/13 | | | | | | | | 4.3 | schluff./Feinsand |
| WASSERVERSORGUNG DEUTSCHLANDSBERG | | | | | | | | | |
| 30 | ~358; 0 | 338; 0 | 5.2 | 352; 0 | 7.2 | | | 11.0 | Tegel |
| WASSETERSCHLIESUNG ST. PETER 1^{er} SULNTAL | | | | | | | | | |
| H (Erosion- berg- Klamm) | ~361; 0 | 364; 0 | 3.0 | 359; 0 | 5.2 | | | ~1.2 | Tegel |
| ARTESISCHER BRUNNEN (NACH ZETTERIGE 1973) | | | | | | | | | |
| 45 | ~310; 0 | 310; 0 | 1.2 ²³ | 303; 0 | 7.4 | | | 137.4 | Tegel, Sandstein, Rill. |
| 75 | ~292; 0 | 285; 0 | 1.0 | 286; 0 | 6.0 | | | 105.0 | Tegel, Stein, etc. |
| 78 | ~290; 0 | 284; 0 | 1.0 | 283; 0 | 6.0 | | | 67.0 | Tegel, Stein |

Verzeichnis der Bohrungen

Verzeichnis der Bohrungen

| Ort/Bohr. | L = q = | Gel.OW. in m | Gesamtlfte m | Ort/Bohr. | L = q = | Gel.OW. in m | Gesamtlfte m |
|---|------------------------|-----------------|-----------------|-----------|---------------|-----------------|-----------------|
| KOHLEBERGBAU WIES-EIBISWALD (MESSLEITNER 1926) | | | | | | | |
| EGBI - CRATIUSBOHRUNGEN IM WIESER REITER (1921-1925) | | | | | | | |
| 1 | Unterbergla | 300,4 | 281 | 8 | Eibiswald | 313 | 229 |
| 2+21 | Bergwerk Bergla | 359,0 | 160 | 9 | Straßhof | 332 | 157 |
| 4 | Wetterberg | 372,9 | 228 | 10 | Eibiswald E | 357 | 73 |
| 5 | St. Michael | 341,5 | 171 | 11 | Hausbach | 348 | 46 |
| 6 | Mitterberg | 325,4 | 283 | 12 | Grachgut | 344 | 126 |
| 7 | W. Oberbergla | 346,7 | 281 | 13 | W. Mitterberg | 348 | 125 |
| 8 | W. Oberhöglia | 356,0 | 223 | 14 | Mitterdorf | 351 | 82 |
| 9 | Laxx | 333,7 | 221 | 15 | Eibiswald E | 337 | 44 |
| 10 | W. Unterbergla | 360,8 | 179 | 16 | Eibiswald E | 352 | 46 |
| 11 | Laxx | 333,9 | 180 | 17 | Eibiswald E | 338 | 418 |
| 12 | W. Oberhöglia | 365,9 | 110 | 18 | Altmühre | -400 | 31 |
| 13 | W. Laxx | 354,7 | 250 | 19 | Altmühre | -403 | 32 |
| 14 | W. Renn | 355,8 | 222 | 20 | W. Mitterdorf | 354 | 58 |
| 15 | W. Renn | 324,2 | 180 | 21 | W. Mitterdorf | 354 | 136 |
| 17+21 | Überwasserhof/Bühlbach | 300,6 | 226 | 22 | W. Eibiswald | 388 | 42 |
| 18 | W. Schloß Weißburg | 357,3 | 269 | 23 | W. Weißburg | 324 | 124 |
| 19 | W. Laxx | 358,3 | 282 | 24 | W. Altmühre | 353 | 119 |
| 20 | W. St. Peter/Bühlbach | 362,7 | 218 | 25 | W. Altmühre | 350 | 119 |
| 21 | W. Laxx | 349,2 | 204 | 26 | W. Weißburg | 350 | 80 |
| 22 | W. St. Peter/Bühlbach | 376,7 | 202 | 27 | W. Weißburg | 350 | 122 |
| ALTERE BOHRUNGEN IM WIESER REITER | | | | | | | |
| 1 | Unterbergla | 125 | 151 | 28 | W. Bühlbach | 347 | 90 |
| 2 | W. Bühlbach | 202 | 141 | 29 | W. Bühlbach | 367 | 241 |
| 3 | | 81 | 171 | 30 | W. Bühlbach | 379 | 333 |
| 4 | W. Bühlbach | 106 | 172 | 31 | W. Bühlbach | 379 | 333 |
| 5 | Laxx | 133 | | 32 | W. Bühlbach | 379 | 333 |
| 6 | W. St. Peter/Bühlbach | 105 | | 33 | W. Bühlbach | 379 | 333 |
| 7 | W. Bühlbach | 75 | | 34 | W. Bühlbach | 379 | 333 |
| 8 | Krausberg | 111 | 82 | 35 | W. Bühlbach | 1000,0 | 60 |
| 9 | W. Renn | 228 | 82 | 36 | W. Bühlbach | 1000,2 | 60,5 |
| 10 | St. Peter/Bühlbach | 228 | 82 | 37 | W. Bühlbach | 1000,5 | 61,1 |
| 11 | W. Kremmene | 165 | 82 | 38 | | | |
| 12 | Untere W. Bühlbach | 126 | | 39 | | | |
| 13 | Obere W. Bühlbach | 100 | | 40 | | | |
| 14 | | 68 | | 41 | | | |
| 15 | | 56 | | 42 | | | |
| 16+17 | W. Bühlbach | 100 | 100 | 43 | | | |
| 17+18 | W. Bühlbach | 95 | | 44 | | | |
| 18+19 | W. Bühlbach | 95 | | 45 | | | |
| 19+20 | W. Bühlbach | 101 | | 46 | | | |
| 21 | | | | 47 | | | |
| KRUMBACH (LITSCHER 1978) | | | | | | | |
| 1 | | | | 48 | | | |
| 2 | | | | 49 | | | |
| 3 | | | | 50 | | | |
| 4 | | | | 51 | | | |
| 5 | | | | 52 | | | |
| 6 | | | | 53 | | | |
| 7 | | | | 54 | | | |
| 8 | | | | 55 | | | |
| 9 | | | | 56 | | | |
| 10 | | | | 57 | | | |
| 11 | | | | 58 | | | |
| 12 | | | | 59 | | | |
| 13 | | | | 60 | | | |
| 14 | | | | 61 | | | |
| 15 | | | | 62 | | | |
| 16 | | | | 63 | | | |
| 17 | | | | 64 | | | |
| 18 | | | | 65 | | | |
| 19 | | | | 66 | | | |
| 20 | | | | 67 | | | |
| 21 | | | | 68 | | | |
| 22 | | | | 69 | | | |
| 23 | | | | 70 | | | |
| 24 | | | | 71 | | | |
| 25 | | | | 72 | | | |
| 26 | | | | 73 | | | |
| 27 | | | | 74 | | | |
| 28 | | | | 75 | | | |
| 29 | | | | 76 | | | |
| 30 | | | | 77 | | | |
| 31 | | | | 78 | | | |
| 32 | | | | 79 | | | |
| 33 | | | | 80 | | | |
| 34 | | | | 81 | | | |
| 35 | | | | 82 | | | |
| 36 | | | | 83 | | | |
| 37 | | | | 84 | | | |
| 38 | | | | 85 | | | |
| 39 | | | | 86 | | | |
| 40 | | | | 87 | | | |
| 41 | | | | 88 | | | |
| 42 | | | | 89 | | | |
| 43 | | | | 90 | | | |
| 44 | | | | 91 | | | |
| 45 | | | | 92 | | | |
| 46 | | | | 93 | | | |
| 47 | | | | 94 | | | |
| 48 | | | | 95 | | | |
| 49 | | | | 96 | | | |
| 50 | | | | 97 | | | |
| 51 | | | | 98 | | | |
| 52 | | | | 99 | | | |
| 53 | | | | 100 | | | |
| 54 | | | | 101 | | | |
| 55 | | | | 102 | | | |
| 56 | | | | 103 | | | |
| 57 | | | | 104 | | | |
| 58 | | | | 105 | | | |
| 59 | | | | 106 | | | |
| 60 | | | | 107 | | | |
| 61 | | | | 108 | | | |
| 62 | | | | 109 | | | |
| 63 | | | | 110 | | | |
| 64 | | | | 111 | | | |
| 65 | | | | 112 | | | |
| 66 | | | | 113 | | | |
| 67 | | | | 114 | | | |
| 68 | | | | 115 | | | |
| 69 | | | | 116 | | | |
| 70 | | | | 117 | | | |
| 71 | | | | 118 | | | |
| 72 | | | | 119 | | | |
| 73 | | | | 120 | | | |
| 74 | | | | 121 | | | |
| 75 | | | | 122 | | | |
| 76 | | | | 123 | | | |
| 77 | | | | 124 | | | |
| 78 | | | | 125 | | | |
| 79 | | | | 126 | | | |
| 80 | | | | 127 | | | |
| 81 | | | | 128 | | | |
| 82 | | | | 129 | | | |
| 83 | | | | 130 | | | |
| 84 | | | | 131 | | | |
| 85 | | | | 132 | | | |
| 86 | | | | 133 | | | |
| 87 | | | | 134 | | | |
| 88 | | | | 135 | | | |
| 89 | | | | 136 | | | |
| 90 | | | | 137 | | | |
| 91 | | | | 138 | | | |
| 92 | | | | 139 | | | |
| 93 | | | | 140 | | | |
| 94 | | | | 141 | | | |
| 95 | | | | 142 | | | |
| 96 | | | | 143 | | | |
| 97 | | | | 144 | | | |
| 98 | | | | 145 | | | |
| 99 | | | | 146 | | | |
| 100 | | | | 147 | | | |
| 101 | | | | 148 | | | |
| 102 | | | | 149 | | | |
| 103 | | | | 150 | | | |
| 104 | | | | 151 | | | |
| 105 | | | | 152 | | | |
| 106 | | | | 153 | | | |
| 107 | | | | 154 | | | |
| 108 | | | | 155 | | | |
| 109 | | | | 156 | | | |
| 110 | | | | 157 | | | |
| 111 | | | | 158 | | | |
| 112 | | | | 159 | | | |
| 113 | | | | 160 | | | |
| 114 | | | | 161 | | | |
| 115 | | | | 162 | | | |
| 116 | | | | 163 | | | |
| 117 | | | | 164 | | | |
| 118 | | | | 165 | | | |
| 119 | | | | 166 | | | |
| 120 | | | | 167 | | | |
| 121 | | | | 168 | | | |
| 122 | | | | 169 | | | |
| 123 | | | | 170 | | | |
| 124 | | | | 171 | | | |
| 125 | | | | 172 | | | |
| 126 | | | | 173 | | | |
| 127 | | | | 174 | | | |
| 128 | | | | 175 | | | |
| 129 | | | | 176 | | | |
| 130 | | | | 177 | | | |
| 131 | | | | 178 | | | |
| 132 | | | | 179 | | | |
| 133 | | | | 180 | | | |
| 134 | | | | 181 | | | |
| 135 | | | | 182 | | | |
| 136 | | | | 183 | | | |
| 137 | | | | 184 | | | |
| 138 | | | | 185 | | | |
| 139 | | | | 186 | | | |
| 140 | | | | 187 | | | |
| 141 | | | | 188 | | | |
| 142 | | | | 189 | | | |
| 143 | | | | 190 | | | |
| 144 | | | | 191 | | | |
| 145 | | | | 192 | | | |
| 146 | | | | 193 | | | |
| 147 | | | | 194 | | | |
| 148 | | | | 195 | | | |
| 149 | | | | 196 | | | |
| 150 | | | | 197 | | | |
| 151 | | | | 198 | | | |
| 152 | | | | 199 | | | |
| 153 | | | | 200 | | | |
| 154 | | | | 201 | | | |
| 155 | | | | 202 | | | |
| 156 | | | | 203 | | | |
| 157 | | | | 204 | | | |
| 158 | | | | 205 | | | |
| 159 | | | | 206 | | | |
| 160 | | | | 207 | | | |
| 161 | | | | 208 | | | |
| 162 | | | | 209 | | | |
| 163 | | | | 210 | | | |
| 164 | | | | 211 | | | |
| 165 | | | | 212 | | | |
| 166 | | | | 213 | | | |
| 167 | | | | 214 | | | |
| 168 | | | | 215 | | | |
| 169 | | | | 216 | | | |
| 170 | | | | 217 | | | |
| 171 | | | | 218 | | | |
| 172 | | | | 219 | | | |
| 173 | | | | 220 | | | |
| 174 | | | | 221 | | | |
| 175 | | | | 222 | | | |
| 176 | | | | 223 | | | |
| 177 | | | | 224 | | | |
| 178 | | | | 225 | | | |
| 17 | | | | | | | |

Verzeichnis der Bohrungen

| Org. Ref. | Soil Ref. in m a.s.l. | Sond.-Reihe Nr. | Sond.-Reihe- Nummer | Quarz- gehalt | Quarz- gehalt | Grundwasserspiegel m unter Grund- oberfläche | Grundwasser- Höchstgehalt | Wasserstand m | Untergrund |
|---------------------------|--------------------------|--------------------|------------------------|--|------------------|--|------------------------------|------------------|--|
| SÖDAUTOBAHN BL 69: | | | | | | | | | |
| A28/8 | 391.8 | | | (2.4 ± sandig-schluffiges Verwitterungsschotter) | | | | 28.0 | Grauwackenschotter, Weiß |
| A27/8 | 413.8 | | | (11.9 ± sandig-lehmiger Verwitterungsschotter) | | | | 18.0 | Glimmerschiefer, Plattenquarz |
| A28/8 | 432.1 | | | (11.0 ± sandig-lehmiger Verwitterungsschotter) | | | | 29.0 | Glimmerschiefer |
| A29/8 | 439.6 | | | (2.0 ± sandig-schluffiges Verwitterungsschotter) | | | | 28.0 | Glimmerschiefer |
| A30/8 | 444.1 | | | (11.0 ± sandig-schluffiges Verwitterungsschotter) | | | | 19.0 | Grauglimmerschiefer, Plattenquarz |
| A31/8 | 444.0 | | | (11.3 ± sandig-lehmiger Verwitterungsschotter) | | | | 15.0 | Grauglimmerschiefer, Glimmerschiefer, Plattenquarz, Amphibolit |
| A32/8 | 456.1 | | | (2.3 ± lehmig-schluffiges Verwitterungsschotter) | | | | 20.0 | Grauglimmerschiefer, Kalkfelsit, Graut-Glimmerschiefer |
| A33/8 | 484.1 | | | (11.5 ± sandig-lehmiger Verwitterungsschotter) | | | | 19.0 | Glimmerschiefer, Grauwackenschotter |
| A32.2/8 | 484.8 | | | (10.4 ± lehmig-schluffig-sandiger Verwitterungsschotter) | | | | 18.0 | Glimmerschiefer, Grauwackenschotter |
| A33/8 | 481.3 | | | (14.0 ± sandig-lehmiger Verwitterungsschotter) | | | | 18.0 | Glimmerschiefer |
| A34/8 | 511.6 | | | (10.7 ± sandig-lehmiger Verwitterungsschotter) | | | | 7.7 | Grauglimmerschiefer |
| A35/8 | 518.0 | | | (12.0 ± sandig-lehmiger Verwitterungsschotter) | | | | 10.0 | Thermofluidschiefer, Grauwacke |
| A37/8 | 525.2 | | | (13.8 ± sandig-lehmiger Verwitterungsschotter) | | | | 20.0 | Glimmerschiefer, Grauwackenschotter |
| A38/8 | 533.3 | | | (2.1 ± sandig-lehmiger Verwitterungsschotter) | | | | 21.0 | Glimmerschiefer, Plattenquarz, Amphibolit |
| A39/8 | 533.5 | | | (11.1 ± sandig-lehmiger Verwitterungsschotter) | | | | 20.0 | Grauglimmerschiefer, Chloriteisolith, Gneis |
| A40/8 | 541.1 | | | (2.6 ± lehmig-schluffig-sandiger Verwitterungsschotter) | | | | 20.0 | Glimmerschiefer, Plattenquarz, Amphibolit |
| A41/8 | 527.4 | | | (10.6 ± sandig-lehmiger Verwitterungsschotter) | | | | 21.0 | Gneis, Amphibolit, Glimmerschiefer, etc. |
| A42/8 | 504.9 | | | (11.0 ± sandig-lehmiger Verwitterungsschotter) | | | | 18.0 | Glimmerschiefer, Amphibolit, Gneis |
| A43/8 | 472.2 | | | (11.0 ± sandig-lehmiger Verwitterungsschotter) | | | | 15.0 | Glimmerschiefer, Plattenquarz |
| A44/8 | 462.3 | | | (2.1 ± lehmig-schluffig-sandiger Verwitterungsschotter) | | | | 13.0 | Glimmerschiefer |
| A45/8 | 467.2 | | | (15.0 ± lehmig-schluffig-sandiger Verwitterungsschotter) | | | | 20.0 | Glimmerschiefer, Plattenquarz |
| A46/8 | 484.1 | | | (2.0 ± sandig-lehmiger Verwitterungsschotter) | | | | 17.0 | Grauglimmerschiefer, Plattenquarz |
| A47/8 | 516.1 | | | (11.0 ± sandig-lehmiger Verwitterungsschotter) | | | | 20.0 | Plattenquarz, Grauwackenschotter |
| A48/8 | 522.3 | | | (11.0 ± sandig-lehmiger Verwitterungsschotter) | | | | 20.0 | Glimmerschiefer, Plattenquarz |
| A49-1/8 | 528.0 | | | (2.7 ± sandig-lehmiger Verwitterungsschotter) | | | | 15.0 | Glimmerschiefer, Plattenquarz |
| A50-2/8 | 526.6 | | | (16.0 ± sandig-lehmiger Verwitterungsschotter) | | | | 15.0 | Glimmerschiefer, Plattenquarz |
| A50-3/8 | 521.1 | | | (5.5 ± sandig-lehmiger Verwitterungsschotter) | | | | 15.0 | Glimmerschiefer, Plattenquarz |
| A50-4/8 | 538.0 | | | (2.6 ± sandig-lehmiger Verwitterungsschotter) | | | | 11.0 | Glimmerschiefer, Plattenquarz |
| A51/8 | 534.0 | 523.8 | 1.26 | 531.3 | 1.3 | | | 2.0 | Grauwackenschotter |
| A52/8 | 529.4 | 528.2 | 0.4 | 522.9 | 0.5 | | | 1.0 | Grauglimmerschiefer |
| A54/8 | 568.1 | | | (10.0 ± sandig-lehmiger Verwitterungsschotter) | | | | 20.0 | Grauglimmerschiefer |
| A55/8 | 551.8 | | | (13.4 ± sandig-lehmiger Verwitterungsschotter) | | | | 18.0 | Glimmerschiefer, Plattenquarz |
| A56/8 | 533.4 | 505.5 | 1.35 | 531.3 | 1.5 | 10.5 (9.3-10.6) | -1.0 | 8.0 | Graut-Glimmerschiefer |
| A57/8 | 559.1 | | | (10.0 ± lehmiger Verwitterungsschotter) | | | | 13.0 | Plattenquarz, Grauglimmerschiefer |
| A58/8 | 524.0 | | | (14.6 ± lehmig-schluffig-sandiger Verwitterungsschotter) | | | | 20.0 | Grauglimmerschiefer, Plattenquarz |
| A59/8 | 522.5 | | | (17.3 ± schluffig-lehmiger Verwitterungsschotter) | | | | 20.0 | Grauglimmerschiefer (Plattenquarz) |
| A59/54/8 | 572.0 | | | (2.0 ± sandig-lehmiger Verwitterungsschotter) | | | | 20.0 | Glimmerschiefer, Plattenquarz |
| F17/8 | 410.2 | | | (2.0 ± sandig-lehmiger Verwitterungsschotter) | | | | 15.0 | Gneis, Glimmerschiefer |
| F18/8 | 420.2 | | | (2.2 ± sandig-lehmiger Verwitterungsschotter) | | | | 20.0 | Glimmerschiefer, Gneis |
| F19-1/8 | 432.1 | | | (11.7 ± sandig-lehmiger Verwitterungsschotter) | | | | 15.0 | Glimmerschiefer |
| F19-2/8 | 434.0 | | | (16.0 ± sandig-lehmiger Verwitterungsschotter) | | | | 15.0 | Glimmerschiefer (Plattenquarz), Gneis |
| F19-3/8 | 439.1 | | | (2.5 ± sandig-lehmiger Verwitterungsschotter) | | | | 15.0 | Glimmerschiefer, Plattenquarz, Plattenquarz |
| F19-4/8 | 427.4 | | | (16.0 ± sandig-lehmiger Verwitterungsschotter) | | | | 15.0 | Glimmerschiefer |

FOOTNOTES TO TABLE 2:

Blatt 1:

- 1) Sand
- 2) z.T. stark schluffig

Blatt 2:

- 1) stark schluffig
- 2) davon 1.0 Anschüttung
- 3) z.T. stark lehmig
- 4) lehmig
- 5) z.T. stark schluffig
- 6) schluffig
- 7) z.T. lehmig

Blatt 3:

- 1) z.T. lehmig
- 2) schluffig
- 3) davon 0.9 Anschüttung
- 4) schluffig/lehmig

Blatt 4:

- 1) Hangschutt
- 2) Tertiär?
- 3) z.T. lehmig

2.4.3 Literatur:

- BECK, H., KIESLINGER, A. et al.: Geologische Spezialkarte der Republik Österreich 1:75 000, Blatt 5354 Unterdrauburg. - Geol.B.-A., Wien 1929.
- BECK-MANNAGETTA, P.: Die eiszeitliche Vergletscherung der Koralpe (Alpen-Ostrand). - Zeitschr.f.Gletschekunde u. Glazialgeol. II, 263-277, 1953.
- Geologische Spezialkarte der Republik Österreich 1:50 000, Blatt 188 Wolfsberg. - Geol.B.-A., Wien 1980.
- EISENHUT, M.: Sedimentationsverhältnisse und Talentwicklung an der mittleren Laßnitz (Weststeiermark). - Mitt.naturw. Ver.Stmk., 95, 5-15, Graz 1965.
- Das Sulmtal zwischen Schwanberg und Graschach (Morphologie und Sedimentationsverhältnisse). - Univ.Gutachten, Graz 1973.
- FABIANI, E.: Quellaufnahme Koralpe - Bericht über das Gebiet vom Speikkar - Payerlbach - bis zur Schwarzen Sulm. - Univ. Ber., Graz 1972.
- FESSLER, H.: Grundlagen für Wasserversorgungswirtschaftliche Planungen in der Südweststeiermark. 3.Teil: Die Grundwasserführung im Tale der Laßnitz, Sulm und Saggen zwischen Grundgebirge und Leibnitzer Feld. - Ber.wasserwirtsch.Rahmenpl., 40, Graz 1978.
- FINK, J.: Leitlinien der quartärgeologischen und pedologischen Entwicklung am südöstlichen Alpenrand. - Mitt. Österr. Bodenk.Ges., 3, Wien 1959.
- Die Südostabdachung der Alpen. - Mitt.Österr.Bodenk. Ges., 6, Wien 1961.
- HIESSLEITNER, G.: Das Wieser Revier. Eine Studie über Geologie und Bergbauentwicklung der Wies-Ribiswalder Glanzkohle. - Berg-u.Hüttenmnn.Jb., 74, H.2, 65-103, Wien 1926.
- LEDITZKY, H.P.: Geologischer Bericht über das Kainachtal zwischen Mooskirchen und Zwareing. - Univ.Gutachten, Graz 1974.
- LITSCHER, H.: Ein Beitrag zur Geologie der südlichen Koralpe (Geotechnische Untersuchungen am Sperrenstandort Krumbach). - Carinthia II, 168./88.Jg., 71-74, Klagenfurt 1978.
- NOVAK, J. & ZOJER, H.: Die hydrogeologischen Verhältnisse im Kainachtal zwischen den Engen von St.Johann ob Hohenburg und Weitendorf. - Ber.wasserwirtsch.Rahmenpl., 43, Graz 1979.

ÖSTERREICHISCHE BODENKARTIERUNG: Bodenkarte 1:25 000, Kartierungsbereich Deutschlandsberg, Steiermark. - Hrsg. BMLF, Wien 1975.

- Erläuterungen zur Bodenkarte 1:25 000, Kartierungsbereich Deutschlandsberg, Steiermark. - Hrsg. BMLF, Wien 1975.
- Manuskriptkarte 1:10 000, Kartierungsbereich Sibiswald, Steiermark. - Univ.
- Manuskriptkarte 1:25 000, Kartierungsbereich Stainz, Steiermark. - Univ.

PASCHINGER, H.: Steiermark. Steirisches Randgebirge; Grazer Bergland, Steirisches Riedelland. - Samml.geogr.Führer, Berlin-Stuttgart 1974.

WINKLER-HERMADEN, A.: Aufnahmsbericht über Blatt Gleichenberg (5356), Fürstenfeld (5156) und Unterdrauburg (5354). - Verh.Geol.B.A., 35-38, Wien 1926.

- Die geologischen Verhältnisse im mittleren und unteren Laßnitztal Südweststeiermarks als Grundlage einer wasserwirtschaftlichen Planung. - Sitz.Ber.Akad.Wiss. Wien, Abt. I, 149. Bd., H. 1-10, Wien 1940.
- Ergebnisse und Probleme der quartären Entwicklungsgeschichte am östlichen Alpenraum außerhalb der Vereinsgebiete. - Denkschr.Österr.Akad.Wiss., 110, Wien 1955.

YAMAC, Y.: Hydrogeologische Studie über die quartären Ablagerungen in den Tälern der Schwarzen und Weißen Sulm. - Univ.Gutachten, Graz 1973.

Quellen nachweis für die Bohrdaten:

- Amt der Steiermärkischen Landesregierung
Fachabteilungsgruppe Landesbaudirektion
Zentrale Bodenprüfstation
Referat für Wasserwirtschaftliche Rahmenplanung
- Landesmuseum Joanneum
Mineralogisch-geologischer Landesdienst
- Forschungszentrum Graz
Institut für Geothermie und Hydrogeologie

3. DIE HYDROGEOLOGISCHEN VERHÄLTNISSE (Beilage 1 und 2)

(Th. Untersweg, mit Beiträgen von F. Czerny und H. Zetinigg)

3.1 Der Bereich der Koralpe (H. Zetinigg*)

In den Jahren 1971-1975 wurde vom Referat für wasserwirtschaftliche Rahmenplanung in Zusammenarbeit mit dem Wasserregionalverband Weststeiermark eine Kartierung der Quellen des steirischen Anteiles des Koralpangebietes einschließlich des Reinisch- und Rosenkogels durchgeführt. Diese Kartierung umfaßte ein Gebiet von ca. 500 km² zwischen der Staatsgrenze im Süden, annähernd der Tertiärgrenze im Osten sowie der Pack, dem Modriachbach und der Teigitsch im Norden. Nach orographischen Einzugsgebieten in 23 Aufnahmsgebiete unterteilt, erfolgte die Kartierung durch Angestellte des obzit. Referates und Studenten. Hierbei konnten insgesamt 6.555 Quellen erfaßt werden. Die Ergebnisse sind in einem bei diesem Referat als Unikat aufliegenden Kataster verzeichnet. Neben der Darstellung der Lage der Quellen im Maßstab 1:10'000 und 1:25'000 als Vergrößerung der Österreichischen Karte 1:50'000 ist von den aufgenommenen Quellen jeweils eine Messung ihrer Schüttung, Wassertemperatur, elektrolyt. Leitfähigkeit und des pH-Wertes in einem eigenen Katasterblatt verzeichnet. Bei mehreren eng benachbarten Quellaustreten (wenige Meter) oder Quellgruppen wurden überdies gesonderte Lageskizzen angefertigt.

Die Ergebnisse dieser Kartierung, insbesondere Vergleiche mit den Abflußverhältnissen auf Grund von 170 Abflußmessungen an Bächen des Aufnahmsgebietes in der Zeit vom 17.-29. Februar 1976 sowie Karten der spezifischen Quelldichte und Quellschüttung sind im Band Nr. 57/1981 der Berichte der wasserwirtschaftlichen Rahmenplanung enthalten.

Zu diesem Kataster der Quellen muß nun ausdrücklich festgestellt werden, daß er wohl ein gutes Bild der Lage bzw. räumlichen Verteilung der Quellen, aber bezüglich ihrer Schüttung nur eine Momentaufnahme bietet. Die Schüttung der Quellen hängt ja ganz wesentlich von den Witterungsverhältnissen und damit vom Zeitpunkt

*) Anschrift des Verfassers: ROER Dr. Hilmar ZETINIGG, Hasnerplatz 8 A-8010 Graz

der Aufnahme ab. Der Quellkataster enthebt daher durchaus nicht vor weiteren Untersuchungsarbeiten, wenn es beabsichtigt ist, weitere Quellen zu fassen bzw. zu nutzen. Da für die Eignung einer Quelle für die Trinkwasserversorgung neben der Wasserqualität vor allem die Schüttung während längerer Trockenperioden maßgebend ist, muß neben Qualitätsuntersuchungen (chemisch - bakteriologische Untersuchungen des Quellwassers) auf jeden Fall das Ausmaß der Schüttungsschwankungen durch regelmäßige Messungen während eines längeren Zeitraumes (mehrere Monate) erfaßt werden. Der Quellkataster bietet hierbei die Möglichkeit zu einer Auswahl von Quellen für eine eingehende Untersuchung.

Weiters ist hervorzuheben, daß bereits gefaßte und genutzte Quellen nur unvollständig erfaßt sind. Da die Kartierung der Quellen den Bächen bis zu ihrem Ursprung folgend vorgenommen wird, können sich Quellen ohne Abfluß bzw. Überlauf aus der Fassung leicht der Aufnahme entziehen. Im Hinblick darauf, daß vor allem ein Bild der noch ungenutzten Quellen geboten werden soll, wurde auf den zusätzlichen Arbeitsaufwand zur Erfassung der genutzten Quellen verzichtet.

Der gesamte Kristallinbereich ist in der hydrogeologischen Karte der Steiermark von MAURIN & ZÖTL 1964 als "Bereich vorwiegend oberirdischer Entwässerung" ausgeschieden, da kristalline Schiefer schlechte Grundwasserleiter darstellen. Eine Wasserwegigkeit ist nur entlang der Trennfugen von Klüften und der Schieferung vorhanden. Große Bedeutung kommt daher hier den überlagernden Lockergesteinen - wie vor allem dem Hangschutt - für die unterirdische Wasserführung zu.

Entsprechend der allgemeingültigen Aussage, daß schlecht durchlässige Gesteine mehr aber kleinere und gut durchlässige wenige aber ergiebige Quellen aufweisen, sind hier viele kleine Quellen vorhanden. Nur in Bereichen besonders wichtiger und gut Wasserwegiger Lockerschlagerungen und bei den wenigen Marmorzügen, insbesondere im Bereich Hühnerstützen-Bärenkar, treten größere Quellen auf. Doch auch für diese Marmorzüge wurden von ALKER 1975 Einschränkungen geltend gemacht. Danach handelt es sich meist um sehr kleine Marmor-Körper, die in Gneis-Glimmerschiefer eingebettet

wind. Durch die besonders starke Mineralführung von verschiedenen Silikaten ist die Neigung zur Verkarstung sehr gering. Da es sich dabei aber um verhältnismäßig starre Körper gegenüber den umgebenden Gesteinen handelt, weisen sie eine starke Klüftung auf, die wasserwegig ist.

Vor allem bei den Marmoren im Gipfelbereich der Koralpe (Hühnerstützen) und glazialen Lockermassen des Bären- und Speikkars konnte diese Annahme durch die Auffindung relativ großer Quellen (Schüttung mehrere l/s) bestätigt werden. Viele Quellen mit Schüttungen von weniger als 1 l/s stehen wenige mit Ergiebigkeiten von mehreren l/s gegenüber.

Die meist geringe Ergiebigkeit der Quellen in tieferen Hangbereichen kann durch die Beschaffenheit der Lockergesteine erklärt werden. Da bis ca. 1300 m Höhe eine tiefgreifende Verwitterung wirksam ist, die nach FLÜGEL 1963 bis in das feuchtheiße Klima des Miozän zurückgeht, ist eine starke auf der Feldspatverwitterung beruhende Verlehmung der Lockerablagerungen der unteren Hangbereiche zu bemerken. Diese wirkt sich nach ZOTL & ZOJER 1973 auf die unterirdische Wasserführung und damit auf die Quellen ungünstig aus. Geringe Schüttungen sind hier die Folge schlechter Speicherkapazitäten. Natürlich tragen auch die geringeren Niederschläge der tieferen Hanglagen das ihre hiezu bei.

Die Auswertung der Quellaufnahme nach der räumlichen Verteilung bzw. der Queldichte pro km² lässt bei dem einheitlichen Gesteinsaufbau des Untersuchungsgebietes keine weiteren Beziehungen zum geologischen Bau, abgesehen von den vorausgehenden Ausführungen, erkennen. Die Unterschiede in der Queldichte hängen daher von den morphologischen und hydrometeorologischen Verhältnissen ab. Der Geländedorm kommt, wie spätere Ausführungen zeigen, großer Einfluss auf die Lage der Quellaustritte zu.

Wenn auch eine Untergliederung der aufgenommenen Quellen nach hydrogeologischen Kriterien im Sinne von STINI 1933 oder KEILHACK 1935 im Gelände nicht möglich war, so kann doch alleine nach der Lage der Quellaustritte im Verhältnis zu den Geländeformen eine

Untergliederung nachträglich getroffen werden. Hierzu bildet die geomorphologische Bearbeitung von SCHUBERT 1981 die Grundlage. Insbesondere die Frage, ob eine Quelle Porengrundwasser aus Lockergesteinen oder Kluftwasser aus den Trennfugen der anstehenden Festgesteine spendet, ist in diesem Gebiet meist nicht eindeutig zu beantworten. Vielfach wird sich die Wasserspende von Quellen gerade in diesem Gebiet zu unterschiedlichen Verhältnissen aus Grundwasser der beiden Arten zusammensetzen. Reine Kluftquellen - also Quellen, deren Wasseraustritt direkt aus dem Festgestein erfolgt - sind hier schon auf Grund der Oberflächenformen nur selten zu finden.

Wie SAUER 1961 über den unterirdischen Abfluß in Kristallingeblättern berichtet, sind die Trennfugen (Klüftung und Schieferung) der Gesteine normalerweise bis in mehrere 100 m Tiefe wasserführend. Die einsickernde Wassermenge ist eine Funktion der Trennfugenintensität. Diese Wasserführung, die in Abhängigkeit von der Oberflächenform auf gewisse Tiefen absinkt, sodaß die darüberliegenden Trennfugen nur als Transportwege dienen, wird durch Stollenbauten nachgewiesen. Auch die Stollen der Südautobahn (Assingberg-, Herzogberg-, Mitterberg- und Kalcherkogel tunnel) weisen eine Kluftwasserführung auf, die auf Grund ähnlicher geomorphologischer Verhältnisse wohl für den gesamten Gebirgszug gilt.

Wie RICHTER & LILLICH 1975 ausführen, haben bereits viele versucht, Quellen zu typisieren und systematisch zu ordnen. Da aber eine Fülle von Möglichkeiten für das Zustandekommen von Quellen existieren, wenn man die Lagerungsverhältnisse des Grundwasserleiters und die Formen der Erdoberfläche bedenkt, so scheint es den beiden Autoren wenig lohnend, weitere derartige Versuche zu unternehmen. Trotz dieser Feststellung soll aber die von den geomorphologischen Verhältnissen abgeleitete Typisierung der Quellen dieses Gebietes dargestellt werden. Gerade bei der Auswahl von Quellen für die Trinkwasserversorgung kann sie praktische Bedeutung erlangen. Auch für die Abgrenzung von Quellschutzgebieten kann hiwdurch Hilfestellung geboten werden. Diese Typisierung ist im Quellenkataster noch nicht enthalten und muß im Zuge der näheren Untersuchung bzw. provisorischen Aufschließung der

jeweiligen Quelle erfolgen. Überdies muß festgestellt werden, daß sich nicht alle Quellen in dieses Schema einfügen, sondern die nachstehend angeführten, von FABIANI 1981 beschriebenen Typen ein häufiges Auftreten zeigen.

- 1) Schuttquellen aus dem Bereich der eiszeitlichen Schneegrenze entsprechenden Blockfeldern in 1700-1800 m. Es handelt sich um linienförmig angeordnete Quellen geringer Ergiebigkeit. Beispiele: Moschkogel, Weg Weineben-Grillitschhütte.
- 2) Schuttquellen, am Innenrand von Karren und Verebnungen. Der Austritt ist durch die Verringerung des Gefälles und der Durchlässigkeit im Übergang von häufig grobblockigem, spätglazialem und periglazialem Schutt zu feinkörnigeren Füllungen der Karböden und Mulden verursacht. Teils handelt es sich auch um Folgequellen. Die Schüttungen liegen zwischen 0,1 und 1,5 l/s. Das Wasser ist meist weich; der pH-Wert liegt unter 7; Quelltemperaturen betragen je nach Höhe und Jahreszeit zwischen 3 und 5 °C. Beispiele: Kar nördlich des Ochsensteines, Seekar, Bärentalkar, Verebnungen in allen Höhenlagen.
- 3) Sumpfquellen im Bereich von Vernässungen und Hochmooren innerhalb
 - a) der von Moränen eingeschlossenen Ebenheiten (z.B. Seekar, Kar nördlich Ochsenstein, Endmoränen an der Schwarzen Suim in 1400 m sowie am Seebach) und
 - b) auf meist alten Landoberflächen zugehörigen Verebnungen vorwiegend zwischen 800-1000 m Höhe (Trahütten, Glashütten-Niveau). Es handelt sich um Quellen von geringer Ergiebigkeit (0,1-0,3 l/s mit weichem, aggressivem Wasser und Temperaturen von 6,5-8 °C. Des öfteren sickern jedoch beträchtliche Wassermengen (3-5 l/s) unmerklich den mäandrierenden Oberflächengewässern zu.
- 4) Schuttquellen am Außenrand von Verebnungen.
 - a) Sind muldenförmige Verebnungen von mächtigeren Schuttkörpern erfüllt (z.B. Karoid südlich Hühnerstütze) oder von Moränenböden abgeschlossen, (z.B. Bärentalkar, Ochsensteinkar,

Seespitz), kann es am Außenrand infolge guter Speicherung zu ergiebigen und beständigen Quellen mit Schüttungen von 0,5-2,5 l/s kommen. Die Temperaturen liegen auf Grund der guten Überdeckung zwischen 3,5 und 4,5 °C.

- b) Geringere Schüttung und höhere Temperatur weisen Quellen am Außenrand schuttüberdecker Taleisten auf (z.B. Payerl-bach-Hochalm), besonders, wenn diese im Bereich der Ver-ebnungen unter 1000 m zunehmend verlaht und vernässt sind.
- 5) Schuttquellen im Bereich von Quellrichtern und Talschlüssen. Dichte und Ergiebigkeit dieser Quellen richten sich in hohem Maße nach der Steilheit der Hänge und der Speicherfähigkeit des Schuttens. Größere Ergiebigkeiten bis über 1 l/s werden meist nur im Bereich eiszeitlicher und periglazialer Schutt-mäntel und von Blockströmen in höheren Lagen erreicht, insbe-sondere dann, wenn Hangneigung und Schichten parallel zueinander laufen (z.B. oberer Payerlbach). Zum Teil werden Austritte auch durch Gneismäntel und Härtlinge bestimmt (BECK-MANNAGETTA 1975).
- In den von lehmigem Verwitterungsschutt durchsetzten Steilhängen unterhalb des Glashütter Niveaus sinken die Quellen in ihrer Ergiebigkeit meist zur Bedeutungslosigkeit herab.
- 6) Kluftquellen in kristallinen Gesteinen. Diese sind infolge der Schuttüberdeckung nur in den seltensten Fällen als solche erkennbar und mangels eines zusammenhängenden Kluftnetzes meist nur von sehr geringer Bedeutung. Offene, tieferreichende Klüfte finden sich vorwiegend im Bereich starrer, quarzreicher Gesteinskörper (ALKER 1975), während Brüche und Störungslinien durch die Zerreißung der Gesteine sowohl wasserführend als auch wasserstaudend sein können. Unterhalb 1000 m Seehöhe sind die Klüfte und Spalten zudem meist durch lehmige Ablagerungen verschlossen.
- 7) Kluftquellen aus Marmor. Durch die Sprödigkeit des Gesteines und eine damit zusammen-hängende Zerbrechung, wie auch durch die allerdings nur be-

schränkte Verkarstungsfähigkeit sind Marmore in weit höherem Maße wasserleitend und wasserspeichernd als die umgebenden kristallinen Gesteine. Nicht zuletzt, da durch Marmore das geologische Einzugsgebiet über das orographische hinausgreifen kann, können Schüttungen bis über 5 l/s erreicht werden. Diese Quellwässer fallen stets durch höhere Gesamtmineralisation und tiefe Quelltemperaturen (3-4 °C) auf. Die bedeutendsten Quellen dieser Art finden sich im Bärenthalkar (Quellfassung des Wasserverbandes Koralpe), östlich des Kleinen Speik.

zur Ausbildung der Quellaustritte und ihrer unmittelbaren Umgebung soll festgestellt werden, daß diese - wie bereits erwähnt - fast immer in Quellmulden oder Nischen liegen. Unter den Austrittsstellen ist - wie es bereits STINY 1936 beschreibt - ein Pflaster von plattigen, also von der Schieferung bestimmten Festgesteinsteilen entwickelt. Dieses entsteht infolge der Ausspülung und des Abtransports der Peinteile dieser Lockermassen durch die Quellschüttung. Demnach besitzen Quellen mit stark ausgeprägten und großen Bohlformen eine größere und voraussichtlich kennzeichnende Schüttung und solche mit kaum ausgeprägten oder gar fehlenden Bohlformen eher eine schwache und möglicherweise intermittierende Schüttung.

Auffallend ist weiters, daß bei hintereinandergereihten Schüttungsmessungen an Bächen oft schon im Abstand von einigen Zehnermetern in Bachabwärtiger Richtung eine Zunahme der Wasserführung festzustellen ist, ohne daß Quellaustritte auffindbar sind. Hierfür gibt es zwei Ursachen: Entweder liegen Quellaustritte (Grundquellen) im Bachbett selbst vor, oder - was wohl in den meisten Fällen zutrifft - ist ein ständiges Zusickern von Grundwasser entlang des Bachlaufes gegeben. Hierbei wird es sich vermutlich um den Bodenabfluß (subsurface-flow oder interflow) im Sinne von RICHTER & LILLICH 1975 handeln.

Häufig ist vor allem in flacheren Hangbereichen mit mächtiger Schuttdecke zu bemerken, daß die Wasserspende von Quellen bereits nach kurzem oberirdischen Lauf wieder versickert. Sind einige Zehnermeter darunter Quellaustritte vorhanden, so handelt es sich um sogenannte Folgequellen, die vom zuvor versickerten Quellwasser

gespeist werden. Hierauf ist besonders bei der Auswahl von Quellen für die Trinkwasserversorgung zu achten.

Verwendete Literatur

- ALKER, A.: Gesteinsaufbau und Wasserführung in der Koralpe. - Berichte wasserwirtschaftl. Rahmenpl., Bd. 31 (Grundlagen für wasserversorgungswirtschaftliche Planungen in der Südweststeiermark, 2. Teil), S. 42-46, Graz 1975.
- FABIANI, E.: Quellaufnahmen. - Berichte wasserwirtschaftl. Rahmenpl. Bd. 57 (Grundlagen für wasserversorgungswirtschaftliche Planungen in der Südweststeiermark, 5. Teil), S. 43-56, Graz 1981.
- FLÜGEL, H.: Das Steirische Randgebirge. - Sammlung geologischer Führer, Bd. 42, Gebr. Bornträger, Berlin-Nikolassee 1963.
- KEILHACK, K.: Grundwasser- und Quellenkunde. - 3. Aufl., Gebr. Bornträger, Berlin 1935.
- MAURIN, V. & ZÖTL, J.: Hydrogeologie und Verkarstung der Steiermark 1:300 000. - Atlas der Steiermark, Akad. Druck und Verlagsanst., Graz 1964.
- RICHTER, W. & LILLICH, W.: Abriss der Hydrogeologie. - Schweizerbart'sche Verlagsbuchhandlung. - Stuttgart 1975.
- SAUER, K.: Die Zirkulation des Wassers in Kristallingegebieten. - GWF, Wasser - Abwasser, 102. Jg., H. 28, S. 778, München 1961.
- SCHUBERT, E.: Die Lage der Quellen in Bezug auf die Oberflächenformen im steirischen Koralpengebiet (1976). - Ber. wasserwirtschaftl. Rahmenpl., Bd. 57 (Grundlagen für wasserversorgungswirtschaftliche Planungen in der Südweststeiermark, 5. Teil), S. 37-42, Graz 1981.
- STINY, J.: Die Quellen. - Springer-Verlag, Wien 1933.
- Zur Kenntnis der Formenentwicklung von Quellaustritten. - Zeitschr. Ges. Erdkunde Berlin. - Jg. 1936, Nr. 1/2, S. 26-42, Berlin 1936.
- ZÖTL, J. & ZOJER, H.: Hydrogeologische Studien über die Wasser- vorkommen der Weststeiermark. - Ber. wasserwirtschaftl. Rahmenpl., Bd. 30 (Grundlagen für wasserversorgungswirtschaftliche Planungen in der Südweststeiermark, 1. Teil), S. 18-48, 5 Fig., Graz 1975.

Weitere Literatur

- BECK-MANNAGETTA, P.: Der geologische Aufbau des steirischen Anteiles der Koralpe. - Ber. wasserwirtschaftl. Rahmenpl., Bd. 31 (Grundlagen für wasserversorgungswirtschaftliche Planungen in der Südweststeiermark, 2. Teil), S. 8-41, 1 Taf., Graz 1975.
- BERNHART, L.: Spezifische Quelldichte und Quellschüttung als Grundlage einer wasserwirtschaftlichen Betrachtung. - Ber. wasserwirtschaftl. Rahmenpl., Bd. 57 (Grundlagen für wasserversorgungswirtschaftliche Planungen in der Südweststeiermark, 5. Teil), S. 81-83, 5 Taf., Graz 1981.
- FABIANI, E.: Quellaufnahme Koralpe. Berichte über das Gebiet vom Speikkar-Payerbach bis zur Schwarzen Sulm. - Amt der Steierm. Landesreg., LBD, Referat f. wasserwirtschaftl. Rahmenpl., unv. Ber., Graz 1972.
- Eine Methode zur Auswertung von Quellaufnahmen. - Ber. wasserwirtschaftl. Rahmenpl., Bd. 57 (Grundlagen für wasserversorgungswirtschaftliche Planungen in der Südweststeiermark, 5. Teil), S. 84-86, 1 Taf., Graz 1981.
- FESSLER, H.: Hydrologie des Sulmtales. - Phil.Diss., Univ.Graz, unv., Graz 1974.
- MORAWETZ, S.: Periglaziale Erscheinungen auf der Koralpe (Steirisches Randgebirge). - Mitt. Geogr. Ges., Bd. 93, S. 252-257, Wien 1951.
- NEMECEK, E.P. & RAUCH, E.P.: Studie - Erweiterung der Wasserfassung Koralpm. - Ber. wasserwirtschaftl. Rahmenpl., Bd. 57 (Grundlagen für wasserversorgungswirtschaftliche Planungen in der Südweststeiermark, 5. Teil), S. 119-141, 6 Tab., 9 Abb., Graz 1981.
- ZETINIGG, H.: Bemerkungen zur Kartierung der Quellen des Koralpenzuges. - Ber. wasserwirtschaftl. Rahmenpl., Bd. 57 (Grundlagen für wasserversorgungswirtschaftliche Planungen in der Südweststeiermark, 5. Teil), S. 57-65, Graz 1981.
- Überlegungen zur Auswertung der Quellaufnahme im Koralpengebiet. - Ber. wasserwirtschaftl. Rahmenpl., Bd. 57 (Grundlagen für wasserversorgungswirtschaftliche Planungen in der Südweststeiermark, 5. Teil), S. 66-80, Graz 1981.
- ZOJER, H.: Abflußpendenkarthe der Koralpe (1976). - Ber. wasserwirtschaftl. Rahmenpl., Bd. 57 (Grundlagen für wasserversorgungswirtschaftliche Planungen in der Südweststeiermark, 5. Teil) S. 87-90, 1 Taf., Graz 1981.

- ZOJER, H.: Die Auswertung der Quellaufnahme im Koralpengebiet im Vergleich zu den Abflußverhältnissen (1976/77). - Ber.wasserwirtschaftl.Rahmenpl., Bd. 57 (Grundlagen für wasserversorgungswirtschaftliche Planungen in der Südweststeiermark, 5. Teil), S. 91-97, Graz 1981.
- Auswertung der Quellaufnahme im steirischen Anteil der Koralpe (1980). - Ber.wasserwirtschaftl.Rahmenpl., Bd. 57 (Grundlagen für wasserversorgungswirtschaftliche Planungen in der Südweststeiermark, 5. Teil), S. 98-118, 5 Taf., Graz 1981.

3.2 Die jungtertiären Ablagerungen des Weststeirischen Beckens

Die jungtertiäre Schichtfolge beginnt im Weststeirischen Becken mit Rotlehmbildungen, die über ein prätertiäres Grundgebirgsrelief hinweggreifen. Im südlichen Beckenbereich folgen die Radl-Wildbachschotter und die Eibiswalder Schichten (Ottman-Karpat). Letztere werden in Untere, Mittlere und Obere Eibiswalder Schichten unterteilt und stellen limnisch-fluviatile Ablagerungen dar, die sich aus Schottern, Sanden, Tonen und Konglomeraten zusammensetzen. Dabei fand eine zyklische Sedimentation mit jeweils vorwiegend klastischem Beginn statt. Die mittleren Eibiswalder Schichten sind durch Kohleflözhorizonte gekennzeichnet und gehen gegen das Hangende in immer feinere Bildungen über. Die oberen Eibiswalder Schichten sind durch mächtige Sand- und Tonlagen charakterisiert.

Zu Beginn des Baden kam es im Bereich der sogenannten Florianer Bucht zu einer marinen Ingression, deren Sedimente in Form eines tieferen sandigen und eines höheren tonigen Komplexes vorliegen. Fluviatile Sande, die gegen N und S größer werden, kennzeichnen eine Rückzugsphase des Meeres. Darauf folgt eine 2. Ingression mit sandig-mergeligen Ablagerungen, nach der im mittleren Baden der endgültige Rückzug des Meeres aus der Florianer Bucht stattfand.

Am Gebirgsrand selbst wurde während des Baden in tiefen Rinnen, die in das kristalline Grundgebirge eingreifen, Wildbachschutt abgelagert. Dieser sogenannte Schwanberger Blockschutt setzt sich aus bis mehrere Kubikmeter großen Blöcken aus Koralpenkristallin mit Lagen von mitunter gerundetem Blockschutt und Sanden zusammen.

Während sich Radischutt und Eibiswalder Schichten im Bezirk Deutschlandsberg im wesentlichen auf den Bereich südlich der Schwarzen Sulm beschränken, wird das jungtertiäre Hügelland nördlich davon aus den badenischen Sedimenten der Florianer Bucht aufgebaut.

Die Oberfläche dieser neogenen Beckenfüllung ist durch die Flusssysteme von Laßnitz, Sulm und Saggau zum Teil engständig zerschnitten und in eine kleinräumige Hügel- und Riedellandschaft

aufgelöst. Die wasserführenden, sandig-schotterigen Sedimentlagen weisen daher nur sehr selten größere Einzugsgebiete auf, die für den Austritt bedeutenderer Quellen notwendig wären. Außerdem behindern vielfach mächtige Lehmdächer (pleistozäne Staublehm bzw. Verwitterungslehm) infolge ihrer wasserstauenden Eigenschaft die Infiltration des Niederschlagswassers. Sie fördern sogar den oberirdischen Abfluss, besonders bei sommerlichen Starkregen, die einen wesentlichen Teil der ohnehin geringen jährlichen Niederschläge ausmachen (MAURIN & ZÖTL 1973). Als Folge dieser Gegebenheiten ist die Anzahl der Quellen im Tertiärgebiet zwar meist groß, allerdings handelt es sich vor allem um kleine Austritte und Naßgallen, deren Schüttung nur gering und unbeständig ist. Dies zeigt eine Quellenaufnahme im Einzugsgebiet des Feisternitzbaches bei Eibiswald (SUETTE & YAMAC 1983), die im Bereich des Radischuttes sowie der Unteren und Mittleren Eibiswalder Schichten durchgeführt wurde. An einigen Quellen konnten Schüttungswerte von 0,25 l/sec gemessen werden, die meisten blieben jedoch unter 0,1 l/sec. Da die pH- und Leitfähigkeitswerte keine Rückschlüsse auf die geologischen Gegebenheiten erlauben und die Temperaturen der Quellwässer durchwegs sehr hoch sind (9-13 °C), kann man annehmen, daß der Großteil der Quellen dem teilweise mächtigen Verwitterungsschutt bzw. Hanglehm entspringt. Allerdings liegt die Abflußmenge des Feisternitzbaches deutlich über der Summe der Quellschüttungen, was auf stärkere Zuflüsse im Bachbett selbst hinweist. Für die kommunale Wassergewinnung spielen die Quellen und oft recht tiefen Brunnen im Tertiärgebiet keine Rolle, sie dienen der Versorgung von Einzelgehöften. Bessere Ergebnisse erzielte man z.T. durch die Erschließung artesischen Tiefengrundwassers vor allem im Bereich der Florianer Bucht, obwohl die gewonnenen Wassermengen im Vergleich zu jenen im Oststeirischen Becken nur gering sind (siehe Punkt 3.3.1).

3.2.1 Die artesischen Brunnen

Die Vorkommen von artesischen Brunnen beschränken sich in der Südweststeiermark ausschließlich auf das Verbreitungsgebiet der Florianer Schichten (Florianer Bucht).

Obwohl auch die mittleren und oberen Eibiswalder Schichten auf Grund der Wechsellagerung von wasserleitenden und -stauenden Schichten gespannte Grundwasserhorizonte führen, wurden aus diesem Gebiet keine artesischen Brunnen bekannt.

Dass gespannte Grundwässer tatsächlich vorhanden sind, bezeugen die zufließenden Wassermengen in den mittlerweile aufgelassenen Bergbauen im Wieser Flöz. HIESSELEITNER 1926 gibt folgenden Überblick:

| | |
|-------------------------------|------------|
| Kalkgrub ungefähr | 500 l/min |
| Steyerberg gesamt | 1800 l/min |
| Bergla | 900 l/min |
| Rölfing (1897) | 2500 l/min |
| St.Peter-Schacht (R. 1875) | 720 l/min |
| Wetterschacht | |
| Ostfeld | 300 l/min |

Wie ZETINIGG 1973 ausführt, war in diesem Bereich der mittleren Eibiswalder Schichten vor allem der Bergbau, der Wasserführende Schichten trockenlegte, einer Gewinnung artesischen Wassers hinderlich. Auch in den Bereichen der oberen Eibiswalder Schichten konnten bisher keine artesischen Brunnen festgestellt werden.

In der Florianer Bucht eignet sich vor allem der höhere Anteil der Schichtfolge auf Grund der Wechsellagerung von Tonen und Sanden für die Erschöpfung von gespanntem Grundwasser.

Wie aus der Darstellung (Tafel 1) ersichtlich ist, wurde vor allem in den Talbereichen des Steinzbaches, der Laßnitz und des Gleinzbaches erfolgreich nach artesischem Wasser gebohrt (die Brunnen der Gemeinden Unterbergla, Gleinstätten und Pistorf sind auf Tafel 1 nicht enthalten). Es muß aber betont werden, daß die derzeit geförderten Wassermengen gering sind. Für den gesamten Bezirk Deutschlandsberg ergibt sich eine Schüttung von 186 l/min oder 3,1 l/s (Tab. 1). Zum Vergleich seien einige oststeirische Bezirke angeführt (ZETINIGG 1982):

| | | | |
|---------------------|------------|---|----------|
| Bezirk Feldbach: | 1871 l/min | = | 31,2 l/s |
| Bezirk Fürstenfeld: | 2189 l/min | = | 36,5 l/s |
| Bezirk Hartberg: | 794 l/min | = | 13,2 l/s |
| Bezirk Radkersburg: | 495 l/min | = | 8,8 l/s |
| Bezirk Weiz: | 1431 l/min | = | 23,9 l/s |

Tab. 1 (ZETINIGG 1982, ergänzt):

ÜBERSICHT DER ARTESISCHEN HAUSBRUNNEN IM BEZIRK DEUTSCHLANDSBERG

| Gemeinde Katastralgemeinde | Anzahl der Brunnen: | | | | | Tiefe der Brunnen min. - max. | gesamte Schüttung l/min |
|---------------------------------|-------------------------------|---------------------|-----------------|--------------------------------------|-----------|-------------------------------------|-------------------------------|
| | wasser- rechtl. genutzt | ohne Genehmigung | gesamt- zahl | versiegelt oder ver- schlossen | in Bau | | |
| Deutschlandsberg | 1 | - | 1 | - | - | 36 m | 6 |
| Frauental | 3 | - | 3 | - | - | 112 m - 135 m | 8 |
| Groß St. Florin: | 10 | - | 10 | 2 | - | 63 m - 127 m | 16 |
| Grillmüh | 1 | - | 1 | - | - | 31 m | 3 |
| Gusendorf | 8 | - | 8 | 3 | - | 35 m - 150 m | 9 |
| Hitzbath | - | - | - | 1 | - | 92 m | - |
| Pradling | 1 | - | 1 | - | - | 88 m | 8 |
| Wieselendorf | 8 | 1 | 9 | - | - | 100 m - 148 m | 14 |
| Steindorf | | | | | | | |
| Mitterndorf | 1 | - | 1 | 1 | - | 30 m | 1 |
| Grafendorf | 4 | 1 | 5 | 1 | - | 117 m - 138 m | 8 |
| Neudorf | 1 | - | 1 | 0 | - | 34 m | 1 |
| Wetzelsdorf | 3 | - | 3 | - | - | 60 m - 85 m | 7 |
| Bassach | | | | | | | |
| Ixxenleitdorf | - | - | - | 5 | - | 30 m - 132 m | - |
| Wettmannsdörf | 4 | 1 | 5 | 2 | - | 76 m - 105 m | 23 |
| Zehndorf | 2 | 2 | 4 | - | - | 42 m - 68 m | 11 |
| Unterbergla | 4 | 1 | 5 | - | - | 17 m - 71 m | 10 |
| Hawreith | 1 | - | 1 | - | - | 35 m | 3 |
| Micheldorf | 2 | 3 | 5 | - | - | 18 m - 58 m | 13 |
| Massan | 2 | - | 2 | - | - | 40 m - 50 m | 8 |
| Grub | 1 | - | 1 | - | - | 187 m | 3 |
| Wenigglainz | 2 | - | 2 | - | - | 32 m - 60 m | 17 |
| Zistorf | 1 | - | 1 | - | - | 67 m | 1 |
| Siebenbrünn | 8 | - | 8 | - | 2 | 21 m - 140 m | 23 |
| Bezirk Deutschlandsberg: gesamt | 66 | 9 | 75 | 79 | 2 | | 196 |

Tab. 1

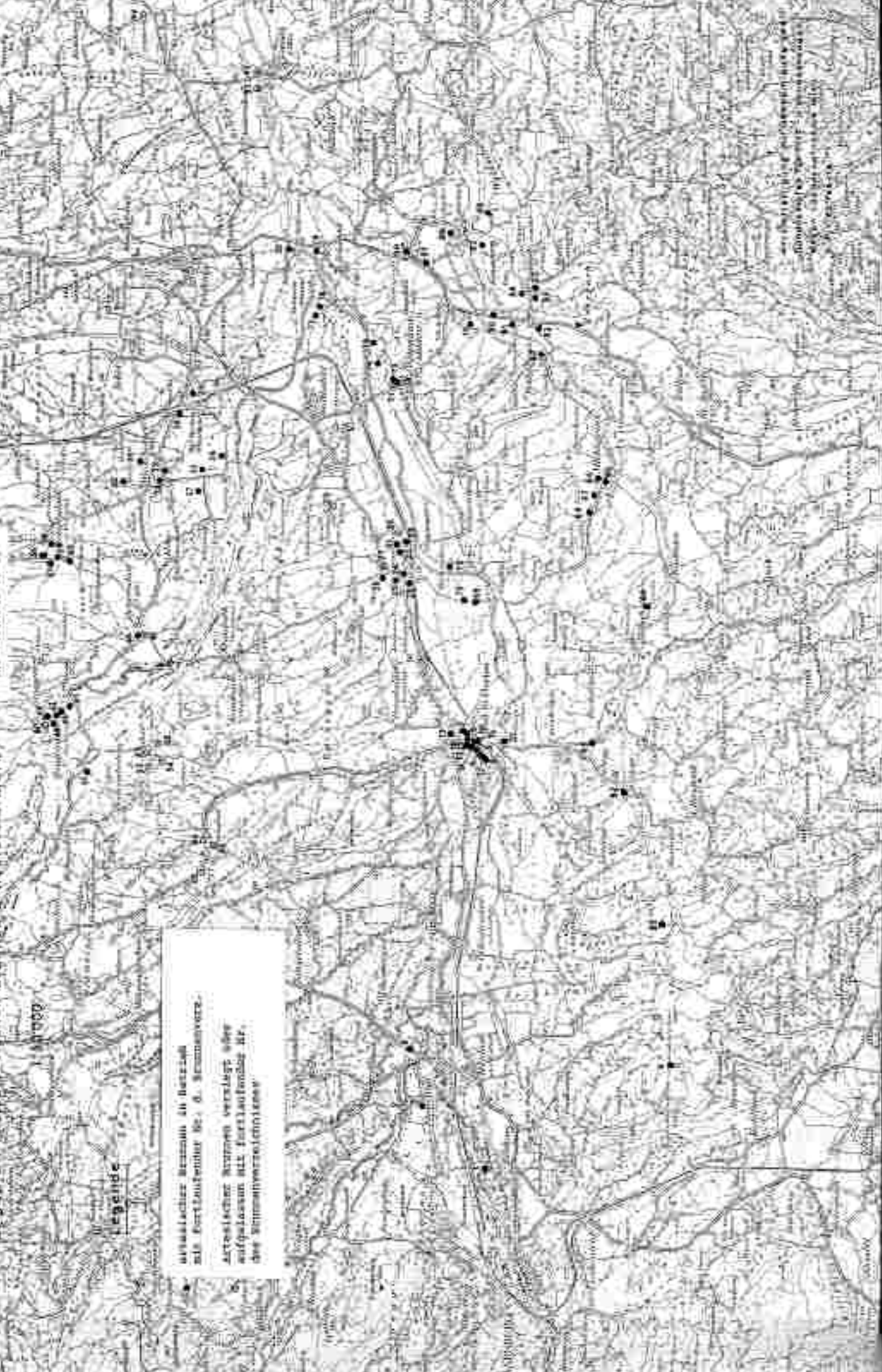
Lageplan der artesischen Brunnen in Westsachsen

1:100000

Legende

- artesisches Wasser in Naturzustand mit Fortpflanzung Nr. 0, Schmelzwasser.
- artesisches Wasser verhindert eine artesisches Wasser mit Fortpflanzung Nr. 0, ohne Schmelzwasser.

U. 1:100000 1973



3.3 Die quartären Talfüllungen (siehe Fig. 1-10 und Tab. 1 und 2 im Abschnitt 2.4: Die quartären Sedimente)

Höhere Terrassenreste

Die höchsten pleistozänen Terrassenreste, die im Arbeitsgebiet etwa zwischen 370 und 400 m Sh. auftreten, spielen bezüglich der Wasserführung nur eine geringe Rolle. Die durchwegs kleinflächig erhaltenen Sedimente bestehen aus einem ganz geringmächtigen, wenn überhaupt vorhandenen, stark verlehmteten Schotterkörper, der meist durch Fe-Mn-Konkretionen verbacken ist. Die Decklehme (ebenfalls meist von geringer Mächtigkeit) wirken als Stauer und begünstigen in leicht hängigen Lagen den oberflächlichen Abfluß des Niederschlagswassers. Auf ebenen Flächen tritt Staunässe auf. Flächenmäßig größere Ausdehnung besitzen die Terrassenfluren, die im Durchschnitt 30-35 m über den Talböden liegen. Sie dürften genetisch der Rosenberg- bzw. Schweinsbachwaldterrasse des Murtales entsprechen.

Auch sie werden von einem basalen Schotterkörper geringer Mächtigkeit (bis 2-3 m), der eisenschüssig und zum Teil sandig bzw. verlehmt ist, aufgebaut. Eine bedeutendere Wasserführung ist nicht zu erwarten, zumal die Schotter von einer bis zu 5 m mächtigen, dichten Staublehmdecke überlagert werden (Hartwald bei Gleinstätten, Schloß Welsberg).

Die Hochterrasse (Reifbrunner Terrasse) liegt im Schnitt 5-10 m über den Talböden der Vorfluter. Sie weist ebenso wie die höheren Terrassen eine Lehmbedeckung auf, deren Mächtigkeit schwankt. Sie kann im Durchschnitt mit 2-3 m angegeben werden. Diese Schlufflehndecke kann, was ihre Zusammensetzung und Wasserwegigkeit betrifft, mit der der höheren Terrassen gleichgesetzt werden. Bei den durchwegs durch Tagwasserstau geprägten Böden handelt es sich um Pseudogleye. EISENHUT 1973 gibt für die Pseudogleye im Sulmtal eine Korngrößenzusammensetzung, wobei die Fraktionen 2000-60 my mit 7-20 %, 60-2 my mit 51-57 % und <1 my mit 19-35 % vertreten sind. Es ist also ein eindeutiges Überwiegen der Schlufffraktion (60-2 my) gegeben, weshalb man von Schlufflehmen spricht, die - wenn überhaupt - nur eine äußerst geringe Wasserdurchlässigkeit aufweisen.

Der Terrassenkörper der Hochterrasse liegt einem Tertiärsockel auf, der als Wasserstauhorizont fungiert. An dieser Schichtgrenze, die im Laßnitztal zwischen Vochera und Groß St. Florian 3-4 m, im Tal der Schwarzen Sulm südlich von Aigneregg ca. 1,5 m, in jenem der Weissen Sulm bei Vordersdorf ca. 2 m und im Saggautal bei Haselbach ca. 1 m über dem Augelände liegt, kommt es zum Ausstritt von kleinen Quellen aus den Terrassenschottern. Die Schüttungen sind jedoch unbedeutend; im Frühjahr 1983 betragen sie in allen genannten Gebieten weit unter 0,1 l/s. Dies zeigt, daß man in den Schottern der Helfbrunner Terrasse nur eine sehr geringe Wasserführung erwarten kann. Die Quellaustritte versiegen häufig im Randbereich der Au und führen zu Verwässerungszonen.

YAMAC 1973 gibt für den Hochterrassenbereich des Sulmtales (Schwarze Sulm) von Aichegg bis Trag Flurabstände von ca. 2-3 m, zwischen Korbini und St. Martin im Sulmtal solche zwischen 3 und 4 m an (April 1973).

Im Tal der Weißen Sulm wurden vom gleichen Autor zwischen Vordersdorf und Altenmarkt 4 m und bei Gasselsdorf im Zwickel zwischen Schwarzer und Weißer Sulm 5-6 m Flurabstand beobachtet.

Eine stärkere Wasserführung ist nur in den jüngeren Talbodenbereichen zu erwarten. Es sind dies jene Flächen, die von der "Niederterrasse" und vom eigentlichen Aubereich eingenommen werden (siehe Geologische Grundkarte, Beilage 1). Besonders im Bereich der "Niederterrasse", deren Schotter nicht von Lehmen, sondern von meist sandigen Feinsedimenten geringer Mächtigkeit (0,5-1,5 m) bedeckt sind, kann eine bedeutendere Grundwasserführung festgestellt werden.

Im Stainzbachtal erreicht die Mächtigkeit der Talfüllung oberhalb von Stainz nicht mehr als 3 m. Der Grundwasserspiegel liegt zwischen 1,7 und 2,7 m unter Gelände (November 1976), und die Grundwassermächtigkeit liegt in den Bohrungen bei nur 0,2-0,8 m (Tab.2). Im Bereich der Einmündung des Lemitzbaches (Fig.5) wird die Talfüllung 5-8 m mächtig. Der Schotterkörper ist jedoch sehr inhomogen aufgebaut, mit teilweise verlehmten und stark schluffigen Partien. Die Flurabstände des Grundwassers betragen im August 1969 zwischen 2,3 und 5,3 m, wobei eine Grundwassermächtigkeit von 2-3 m festgestellt werden konnte (Tab.2). Vor der Ein-

mündung in das Laßnitztal haben Sande neben einer Lehmbedeckung von 2,5 m den größten Anteil an der Zusammensetzung der 6,7 m mächtigen Talfüllung (Fig.6). Über die Wasserverhältnisse liegt nur eine einzige Angabe (Bohrung 143/1 - März 1960) vor; die einen 4,6 m mächtigen Grundwasserkörper in 1,6 m Tiefe ausweist (Tab.2).

Im Laßnitztal wird die gesamte Talfüllung zwischen 6 und 8 m mächtig, wobei der Schotterkörper unterhalb von Groß St. Florian von bis 2 m mächtigen Aulehmern bedeckt wird. In die teilweise stark schluffigen Schotter sind Sande eingeschaltet, die flussabwärts die Schotter immer mehr vertreten. Die Flurabstände des Grundwasserspiegels betragen im Bereich von Hörbing (Fig.2) 1-3 m (Juni 1970) und sinken im unmittelbaren Aubereich der Laßnitz auf weniger als 1 m ab. Die Mächtigkeit des Grundwasserkörpers liegt zwischen 2,6 und maximal 6 m.

Im nördlichen Talbereich im Abschnitt Laßnitz-Lebing werden nach den Angaben in den Bohrprofilen (Fig.4) geringere Mächtigkeiten des Grundwasserkörpers erreicht (1,3 - 2,6 m), wobei die Flurabstände zwischen 0,9 und 3,6 m schwanken (Tab.2).

Auf der Höhe von Wettmannstätten (Fig.7) dürfte der Grundwasserkörper 3-4 m mächtig sein. Die Überdeckung besteht aus ca. 2 m Aulehmern.

Im Tal der Schwarzen Sulm wird die Talfüllung von 3-5 m lehmig-schluffigen Schottern aufgebaut, die von einer durchwegs etwa 1 m mächtigen Sandschicht bedeckt sind. Nur in der Gegend von Kerschbaum durchteufte eine Bohrung (Fig.9) 9,5 m Sande und verlehmte Schotter.

Nach den Bohrungen zum Sulmseeprojekt und Untersuchungsbohrungen der wasserwirtschaftlichen Rahmenplanung (Tab.2) liegt der 1,4 m bis über 4 m mächtige Grundwasserkörper (bei Kerschbaum 8,3 m) zwischen 0,7 und 2,3 m unter Gelände (Februar und März 1975 bzw. Dezember 1973).

Nach YAMAC 1973 liegt der Grundwasserspiegel bei Kalkgrube in 3-4 m und bei Dietmannsdorf in 3 m Tiefe. Er gibt jahreszeitliche Spiegelschwankungen von 1-2 m an.

Stark verlehmte, sandige Schotter mit 1 m Lehmbedeckung charakterisieren die 3,5 - 4,5 m mächtigen jungen Quartärsedimente im Tal der Weissen Sulm (Fig. 10). Die spärlichen Angaben über die Wasser-Verhältnisse lassen einen nur geringmächtigen Grundwasserkörper (1-2 m) in 2-3 m Tiefe erwarten.

Wie FESSLER 1978 ausführt, ist das Speichervermögen der Talfüllungen von Schwarzer und Weißer Sulm bis in den Raum Gleinstätten sehr gering.

Ahnliches gilt für das Saggautal, wo ebenfalls ein stark schluffiger, inhomogener Schotterkörper vorliegt, dessen Mächtigkeit mit 3-5 m geschätzt wird. Die Grundwassermächtigkeiten dürfen auch hier bei einer Überdeckung von ca. 2 m 1-2 m nicht übersteigen.

3.3.1 Grundwasserbeobachtung im Laßnitztal und Sulmtal (I. Czerny*)

Laßnitztal

Im Zuge einer Grundwassererkundung für die Trinkwasserversorgung von Deutschlandsberg wurden im Jahre 1963 im Laßnitztal im Bereich von Frauental - Freidorf, entlang eines Talquerprofils 6 Bohrungen niedergebracht. Die Bohrung I wurde, wie die Darstellung der Bohrprofile zeigt (Abb. 2), 9,90 m in die Grundwasserschicht (Tertiär) geführt. Die Bohrungen II, V und VI trafen bei 5,90 m, 5,50 m und 4,50 m Tiefe auf die Grundwasserschicht. Alle hier genannten Bohrungen wurden mit Filterrohren von 200 mm Nennweite ausgebaut und 1965 als Grundwassermessstellen eingerichtet. 1967 wurde mit der systematischen Grundwasserbeobachtung begonnen. Die topographische Lage der Meßstellen - nunmehr als Meßstellen Frauental 1 (Bohrung V), 2 (Bohrung III), 3 (Bohrung VII) und 4 (Bohrung V) bezeichnet - ist auf der Abb. 1 (ÖK 1:50 000) ersichtlich. Alle Meßstellen liegen im Bereich des holozänen Flur.

Von 1967 bis 1969 wurde der Grundwasserstand nur 2 x im Monat gemessen. 1970 konnten für die Meßstellen 1,2 und 4 örtliche Beobachter gefunden und somit ab diesem Zeitpunkt der Grundwasserstand 2 x wöchentlich gemessen werden. Die Meßstelle 3 folgte 1971 nach. Die Bildung von Monats- und Jahresmitteln war daher erst ab 1970 bzw. 1971 möglich, sodass das mittlere Jahresmittel aus 13 bzw. 12 Jahren gebildet werden konnte.

Vergleicht man die Meßergebnisse der 4 Meßstellen (Tab. 1 und 2), so zeigt sich, daß die mittleren Jahresmittel (1971-1982) der Meßstellen 1, 2 und 3 nur 1,94 m, 1,63 m und 1,52 m unter Gelände liegen, das der Meßstelle 4 aber 2,97 m, das heißt, daß der Grundwasserspiegel im Bereich der Meßstelle 4 im langjährigen Mittel um 1,00 bis 1,50 m tiefer liegt als bei den anderen Meßstellen. Die graphische Darstellung der Jahresmittel (Abb. 3) zeigt für die Meßstellen 1 und 2 eine gleichsinnige und etwa in einem Bereich von 0,40 m verlaufende Ganglinie, für die Meßstellen 3 und 4 hingegen zeigt sie eine stark fallende Tendenz, die, auf

*Anschrift des Verfassers: BOBR Dr. Ingeborg Czerny, Hochfeldweg 15a, 8071 Haunmannstätten

Abb. 1
Ostereichische Landesamt für Erdbeobachtung und Katastrodienst, Steiermark, doi: <https://www.oeg.at/oek/katastrophenkarte.html>

GRUNDWASSERMESSTELLEN

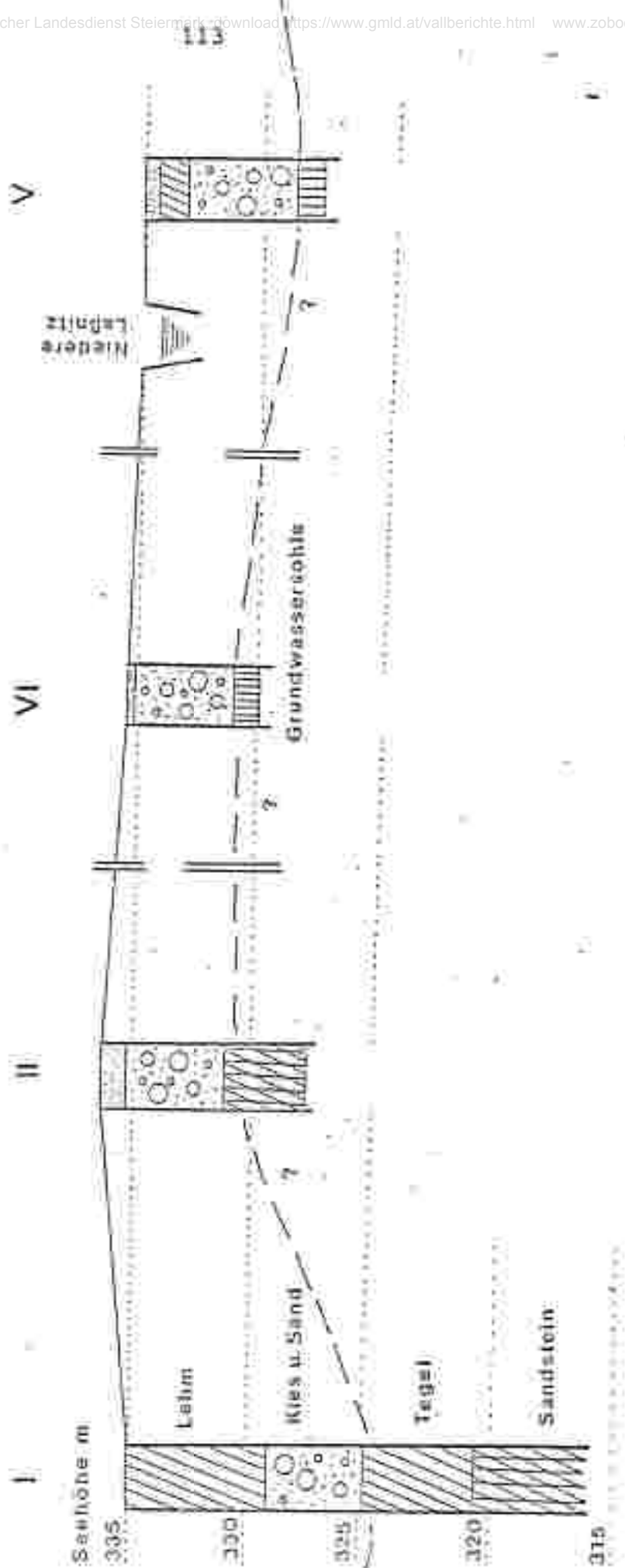
Laßnitztal - Sulmtal

(ÖK 1:50 000 Blatt 189 Deutschlandsberg)



Abb. 24
Querprofil Laßnitztal
(Freidorf-Frauental)

Borlungen bearbeitet v.C. Abweser 1963

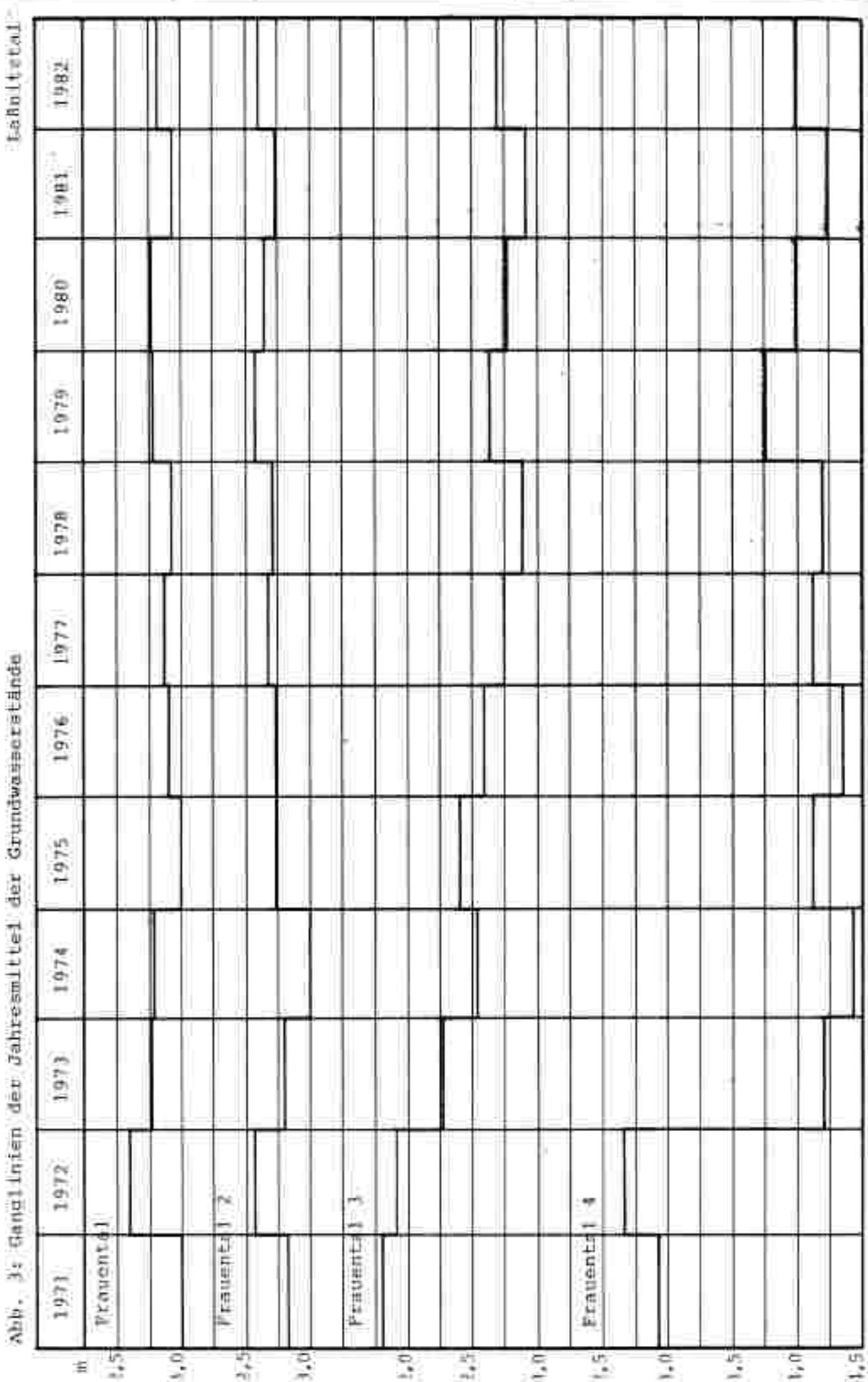


Tab. 1:
Extremwerte und Jahresmittel der Grundwasserstände
(Abbildungswerte von Maßnahmt 16 cm)

| Jahr | Niederster Beckenstand, | | Höchster Beckenstand, | | Mittelwertes Grundwasserstand | | |
|------------------------|-------------------------|---------------------|------------------------|---------------------|-------------------------------|------------------------|--|
| | Grundwasserniveau | Grundwasseraufstand | Grundwasserniveau | Grundwasseraufstand | Grundwasserniveau | Grundwasseraufstand | |
| 1970 | 297,6 | 19,10, | 223 | 26,3, | 262 | 15,6, | |
| 1971 | 346 | 23,8, | 230 | 18,2, | 296 | 8, | |
| 1972 | 307,5 | 11,1, | 202 | 4,12, | 258 | 31,1, | |
| 1973 | 332 | 27,9, | 221 | 5,7, | 276 | 2,7, | |
| 1974 | 331 | 22,9, | 229 | 7,3, | 278 | 29,6 | |
| 1975 | 304 | 13,5, | 235 | 20,10, | 300 | 25,6, | |
| 1976 | 350 | 2,9, | 245 | 12,7, | 289 | 30,8, | |
| 1977 | 327 | 7,7, | 240 | 14,2, | 287 | 7,7, | |
| 1978 | 320,6 | 4,12, | 251 | 2,1, | 291 | 11,12, | |
| 1979 | 335 | 14,6, | 212 | 20,9, | 278 | 14,6, | |
| 1980 | 322 | 23,6, | 192 | 20,40, | 277 | 3,7, | |
| 1981 | 332 | 20,8, | 259 | 29,10, | 291 | 24,8, | |
| 1982 | 315 | 4,2, | 250 | 4,10, | 268 | 1,3, | |
| Mittleres Jahresmittel | | 282 | Mittleres Jahresmittel | | 293 | Mittleres Jahresmittel | |

Tab. 2:
Exponenten und Mittelwerte der Grundwellenintensität
(Abstand vom Nullpunkt in cm)

Abb. 3: Ganglinien der Jahresmittel der Grundwasserrstände

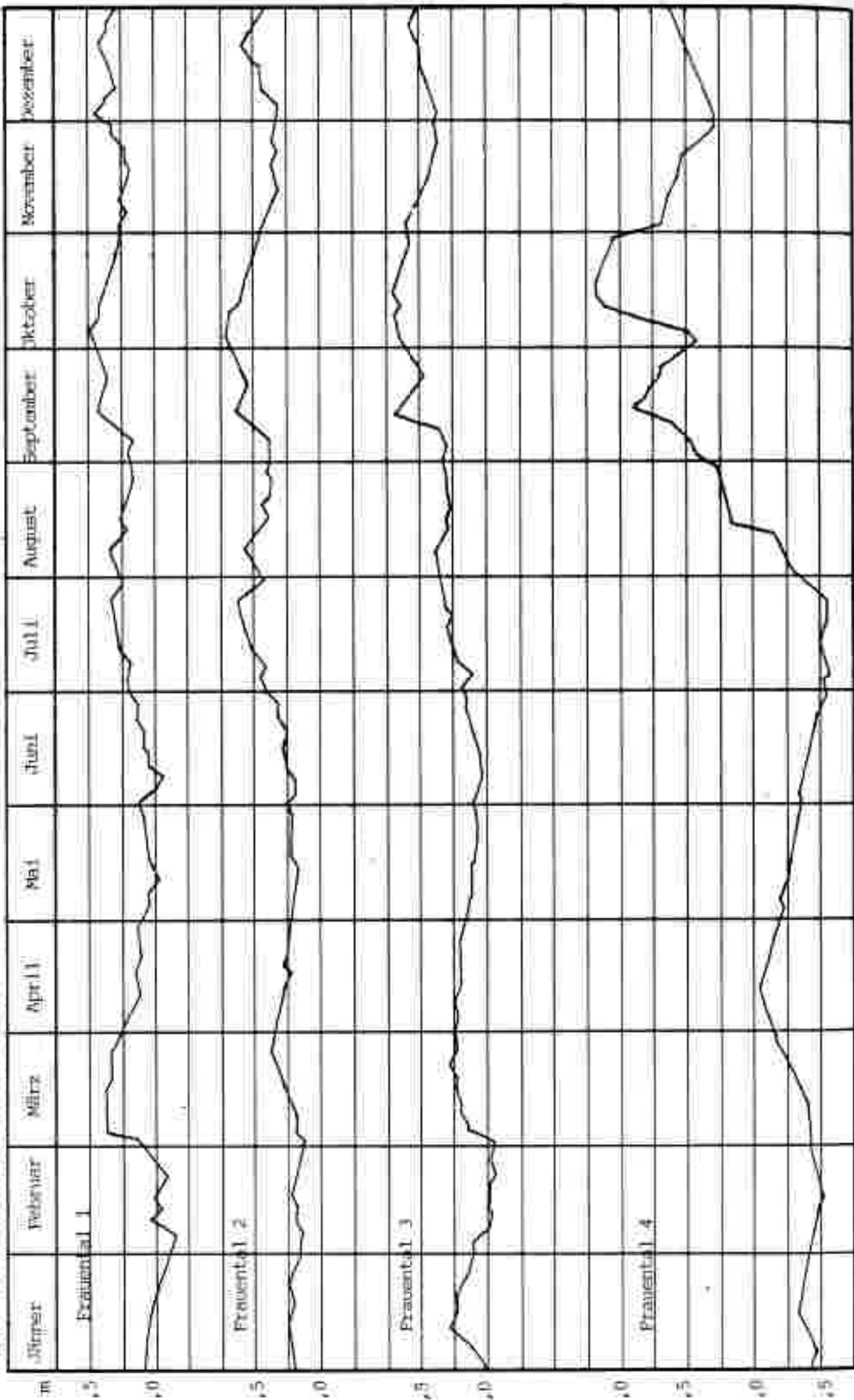


die Zeit von 1971 bis 1982 bezogen, bei der Meßstelle 3 1,69 m, bei der Meßstelle 4 sogar 1,68 m beträgt, wobei die Ganglinie der Meßstelle 4 vor allem von 1972 auf 1973 einen starken Abfall aufweist, danach aber wieder langsam ansteigt.

Die Gesamtschwankung des Grundwasserspiegels beträgt bei der Meßstelle 1 1,58 m, bei der Meßstelle 2 1,33 m, bei der Meßstelle 3 1,73 m und bei der Meßstelle 4 3,21 m. Der bisher höchste Grundwasserstand wurde bei der Meßstelle 1 mit 1,92 m unter Meßpunkt, d.s. 1,02 m unter Gelände, bei der Meßstelle 2 mit 1,92 m, d.s. 0,82 m u.G., bei der Meßstelle 3 mit 1,37 m, d.s. 0,37 m u.G. und bei der Meßstelle 4 mit 1,79 m, d.s. 0,84 m u.G. gemessen. Dieses aus langjähriger Beobachtung gewonnene Bild bestätigt sich auch in der graphischen Darstellung des Grundwasserganges des Jahres 1982 (Abb.4). Die Jahresganglinie 1982 der Meßstelle 4 hebt sich deutlich von denen der 3 anderen Meßstellen ab und zeigt einen sehr starken Herbstanstieg, obwohl das Jahr 1982 eher einem trockenen Jahr entspricht. Bezogen auf die Meßstelle 4 liegt das Jahr 1982 mit einem Jahresmittel von 3,99 m rund 1,00 m unter dem mittleren Jahresmittel. Die Jahresmittel 1982 der Meßstellen 1, 2 und 3 entsprechen etwa ihrem mittleren Jahresmittel.

Die Jahresganglinien von 1982 zeigen den üblichen Grundwasserhochstand im März, bei der Meßstelle 4 etwas verzögert im April, einen leichten Sommeranstieg im Juli und einen Hochstand im September-Oktober. Nur die Meßstelle 4 fällt aus diesem für die Meßstellen 1,2 und 3 mehr oder weniger charakteristischen Jahresgang insofern heraus, als der Grundwasserspiegel im Juli auf das Jahreamimum absinkt. Das Beispiel 1982 gilt, abgesehen von zeitlichen Verschiebungen, im großen und ganzen auch für die übrigen Jahre des Beobachtungszeitraumes. Der vom Zeitpunkt der Schneeschmelze abhängige Frühjahrsanstieg des Grundwassers fällt in der Regel in die Monate Februar, März, April. Ein weiterer Grundwasseranstieg erfolgt im Sommer, und zwar meist im Juli, manchmal auch im August, oder kann, wie z.B. im Jahr 1974, auch ausbleiben. Ein dritter Hochstand erfolgt mit Eintreten der Herbstregen meist im September, oft auch erst im

Tab. 4: Grundwasserstandsganglinien



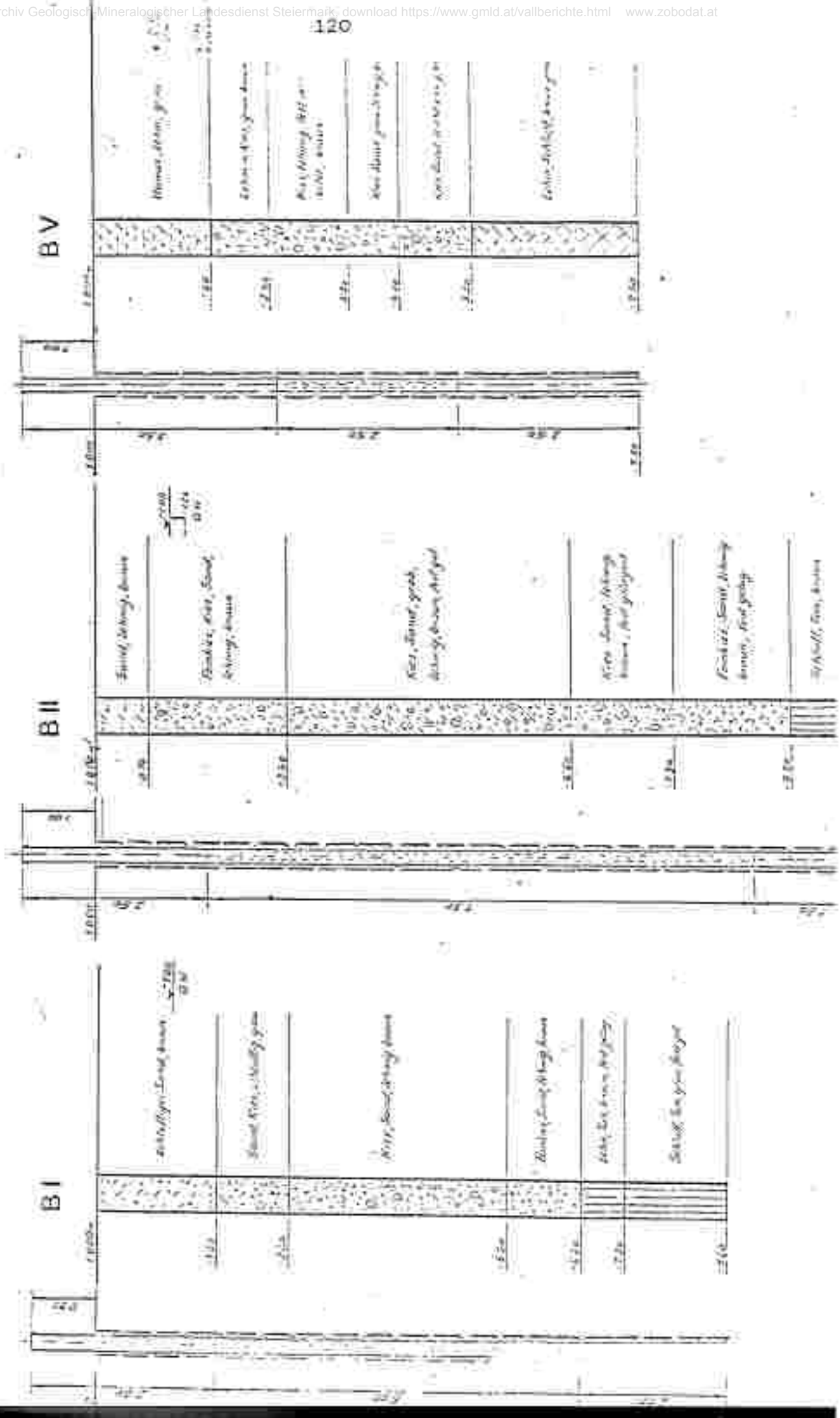
Oktober oder November, in Ausnahmefällen sogar auch erst im Dezember, oder kann auch ganz ausbleiben wie in den Jahren 1977 und 1978.

1972 und 1980 waren besonders schwankungsintensive Jahre. 1973, 1974, 1975 und 1979 lagen etwas über dem langjährigen mittleren Grundwassergang, 1971, 1976, 1977, 1978, 1981 und 1982 waren hingegen trockene Jahre. Dabei aber unterscheidet sich, wie schon aufgezeigt, die Meßstelle 4 mit ihrem Jahresgang immer wieder von den anderen Meßstellen, wie es überhaupt schwierig ist, für diese 4 Meßstellen einen gemeinsamen und für alle charakteristischen Jahresgang des Grundwassers zu finden. Siehe auch H. ZETTINGER, "Grundlagen für Wasserversorgungswirtschaftliche Planungen in der Südweststeiermark, 4. Teil. Grundwassererschließungen im Tal der Laßnitz, Sulm und Saggau zwischen Grundgebirge und Leibnitzerfeld" in Berichte der wasserwirtschaftlichen Rahmenplanung, Band 41, Graz 1978.

Sulmtal

Im Rahmen der Untersuchungen über Grundwasser vorkommen in der Weststeiermark wurden vom Referat für wasserwirtschaftliche Rahmenplanung in den Jahren 1973 und 1974 in einem Talabschnitt der Schwarzen Sulm, und zwar zwischen Schwanberg und St. Martin im Sulmtal 6 Versuchsbohrungen mit einem Bohrdurchmesser von 318 mm als Schlagbohrungen abgeteuft und drei davon, nämlich die in der Aus gelegenen Bohrungen I, II und IV mit Filter- und Vollrohren von 200 mm Nennweite ausgehaut. Alle Bohrungen wurden, wie aus den Bohrprofilen ersichtlich (Abb. 5) bis zur Grundwasserohle geführt, das ist bei der Bohrung I bis auf 6,60 m unter Gelände, bei der Bohrung II bis auf 9,50 m, bei der Bohrung V bis auf 5,20 m. 1974 wurden die genannten Bohrungen als Grundwassermeßstellen eingerichtet, und zwar die Bohrung II als Meßstelle 3, die Bohrung V als Meßstelle 4 und die Bohrung I als Meßstelle 5 und mit der systematischen Grundwasserbeobachtung begonnen. Die topographische Lage dieser Bohrungen und der Bohrungen Schwanberg SW 1 und Schwanberg B-G 2, die schon seit 1967 als Grundwassermeßstellen laufen, ist auf der Abb. 1 (ÖK 1:50 000) ersichtlich.

Abb. 5: Bohrprofile und Ausbau der Versuchshöhlungen im Tal der Schwarzen Sulm (1973)



An den zuerst genannten Meßstellen 1 und 2 wurde der Grundwasserstand bis 1969 2 x monatlich gemessen, ab Juni 1970 an der Meßstelle 1 2 x wöchentlich, an der Meßstelle 2 1 x monatlich wie auch an der seit 1974 laufenden Meßstelle 4. An der Meßstelle 3 wurde seit der Eröffnung im Jahre 1974 2 x wöchentlich gemessen. An der Meßstelle 3 wurde 1974 ein Schreibpegel installiert, der aber infolge technischer Schwierigkeiten erst ab 1976 als solcher ausgewertet werden konnte. Für die Meßstelle 1 gibt es daher ein 12-jähriges Mittel, für die Meßstelle 2 ein 3-jähriges und für die Meßstelle 3 ein 6-jähriges Mittel (Tab. 3 und 4). Für die Meßstellen 2 und 4 ist eine Mittelbildung nicht möglich, und es können lediglich die extremen Wasserstände gewertet werden.

Im langjährigen Mittel (1976 - 1982) liegt der Grundwasserspiegel der Meßstellen 1 und 3 etwa um 0,60 m höher als der der Meßstelle 5, deren Grundwasserspiegel im mittleren Jahresmittel 0,84 m unter Gelände liegt, der der beiden anderen Meßstellen etwa 1,40 m. Die graphische Darstellung der Jahresmittel (Abb. 6) zeigt für die Ganglinie der Meßstelle 1 eine wesentlich stärkere Bewegung als für die Ganglinien der Meßstellen 2 und 5. Auffallend ist bei der Meßstelle 1 vor allem der extreme Anstieg des Jahresmittels von 3,44 m im Jahr 1971 auf 2,00 m im Jahr 1972, das nur 0,82 m unter dem Maximum für 1972 und 0,59 m über dem langjährigen Mittel liegt. 1971 wurde bei der Meßstelle 1 mit 4,41 m unter Meßpunkt, d.h. 3,21 m unter Gelände, der bisher beobachtete niedrigste Grundwasserstand gemessen. Ein Weiteres Minimum findet sich im Jahr 1974 mit 4,31 m. Die Meßstellen 3 und 5 haben ihren bisher beobachteten niedrigsten Grundwasserstand 1974 und 1976. Die höchsten bisher beobachteten Grundwasserstände wurden bei der Meßstelle 1 und 3 1975, bei der Meßstelle 5 1980 gemessen. Wie schon im Laßnitztal gibt es auch hier im Sulmtal für die sehr unterschiedlich ausgewählten Grundwassermeßstellen keinen einheitlichen und für alle Meßstellen charakteristischen Grundwassergang. Im besonderen gilt dies für die Meßstelle 1, die sich mit ihrer schwankungsintensiven und nicht einzuordnenden Wasserstandsganglinie von den Ganglinien der Meßstellen 2 und 5 ganz wesentlich unterscheidet.

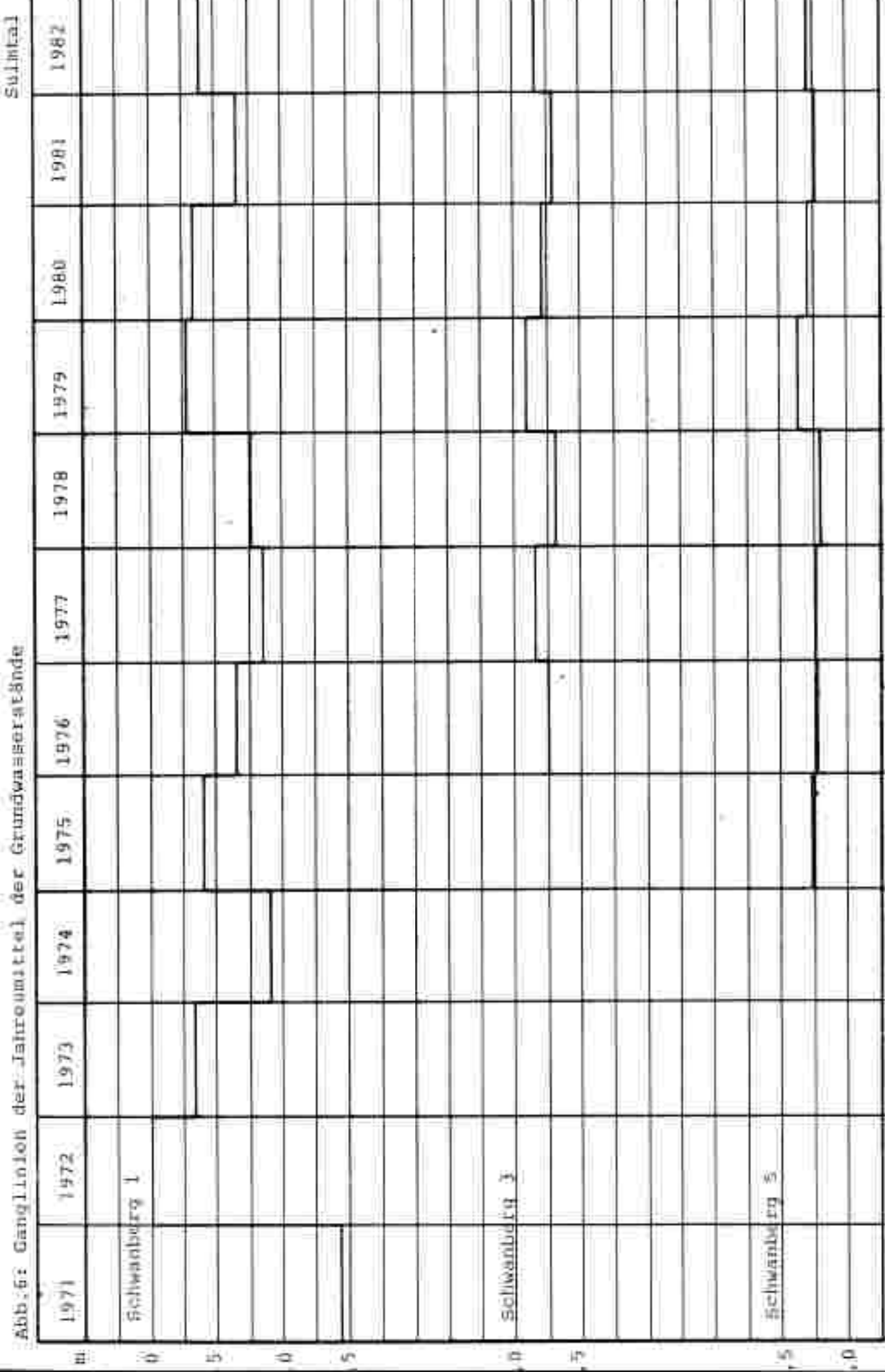
Tab. 3:
Extremwerte und Jahresmittel der Grundwassermarke
(Abstand von Meßpunkt 1 in cm)

| Jahr | Westerlicher Schlossberg 1, Bohrloch 4001 | | | Westlicher Lech, Grundwassersstand | | | Westlicher Lech, Grundwassersstand | | | Jahresmittel |
|------|---|--------------------------------------|--------------|--------------------------------------|--------------------------------------|--------------|--------------------------------------|--------------------------------------|--------------|------------------------|
| | Westerlicher Lech, Grundwassersstand | Westerlicher Lech, Grundwassersstand | Jahresmittel | Westerlicher Lech, Grundwassersstand | Westerlicher Lech, Grundwassersstand | Jahresmittel | Westerlicher Lech, Grundwassersstand | Westerlicher Lech, Grundwassersstand | Jahresmittel | |
| 971 | 341 21,10, | 153 10, 2, | 344 | 344 | 206 | 25, 4, | 104 | 29, 6, | 172 | |
| 972 | 320 7, 2, | 110 1, 6, | 200 | | 200 | 5 | 101 | 30, 6, | 173 | |
| 973 | 354 4, 5, | 119 24, 9, | 233 | | 239 | 9, 10, | | | 177 | |
| 974 | 431 26, 8, | 120 7, 3, | 291 | | 266 | 19, 7, | 129 | 18, 10, | 176 | |
| 975 | 393 11, 3, | 111 30, 6, | 239 | | 275 | 9, 7, | 135 | 2, 1, | 179 | |
| 976 | 403 2, 8, | 156 9, 12, | 266 | | 276 | 9, | 132 | 22, 2, | 166 | |
| 977 | 397 14, 11, | 153 27, 1, | 265 | | 276 | 9, | 132 | 2, 7, | 172 | |
| 978 | 403 11, 12, | 119 12, 6, | 276 | | 276 | 7, 6, | 96 | 2, 7, | 176 | |
| 979 | 387 4, 6, | 120 5 | 228 | | 233 | 16, 6, | 90 | 13, 10, | 172 | |
| 980 | 398 26, 8, | 119 9, 10, | 233 | | 244 | 17, 8, | 131 | 29, 10, | 171 | |
| 981 | 385 29, 1, | 165 16, 11, | 259 | | 265 | 10, 6, | 120 | 5, 8, | 172 | |
| 982 | 385 25, 12, | 132 6, 12, | 219 | | | | | | 174 | Mittleres Jahresmittel |
| | | | | | | | 259 | | | Mittleres Jahresmittel |

Tab. 41:
Extremwerte und Jahresmittel der Grundwasserstände
(Abstand vom Weinpunkt in cm)

| Jahr | Messstelle Schwinberg 3, Block 4004, Sichtdecke 1 | | |
|------|---|--|------------------------|
| | Wiederstan. best. Grundwassersstand | Wiederstan. best. Grundwassersstand | Jahresmittel |
| 1974 | 319 | -29, 6, | |
| 1975 | 284 | 19, 3, | |
| 1976 | 296 | 21, 7, | |
| 1977 | 251 | 13, 11, | |
| 1978 | 263 | 27, 9, | |
| 1979 | 248 | 16, 6, | |
| 1980 | 250 | 9, 8, | |
| 1991 | 255 | 5, 2, | |
| 1992 | 260 | 18, 7, | |
| | | | Mittleres Jahresmittel |
| | | | 220 |

Abb. 6: Gehaltslöhö der Jahre 1971-1982 der Grundwasserarbeiter

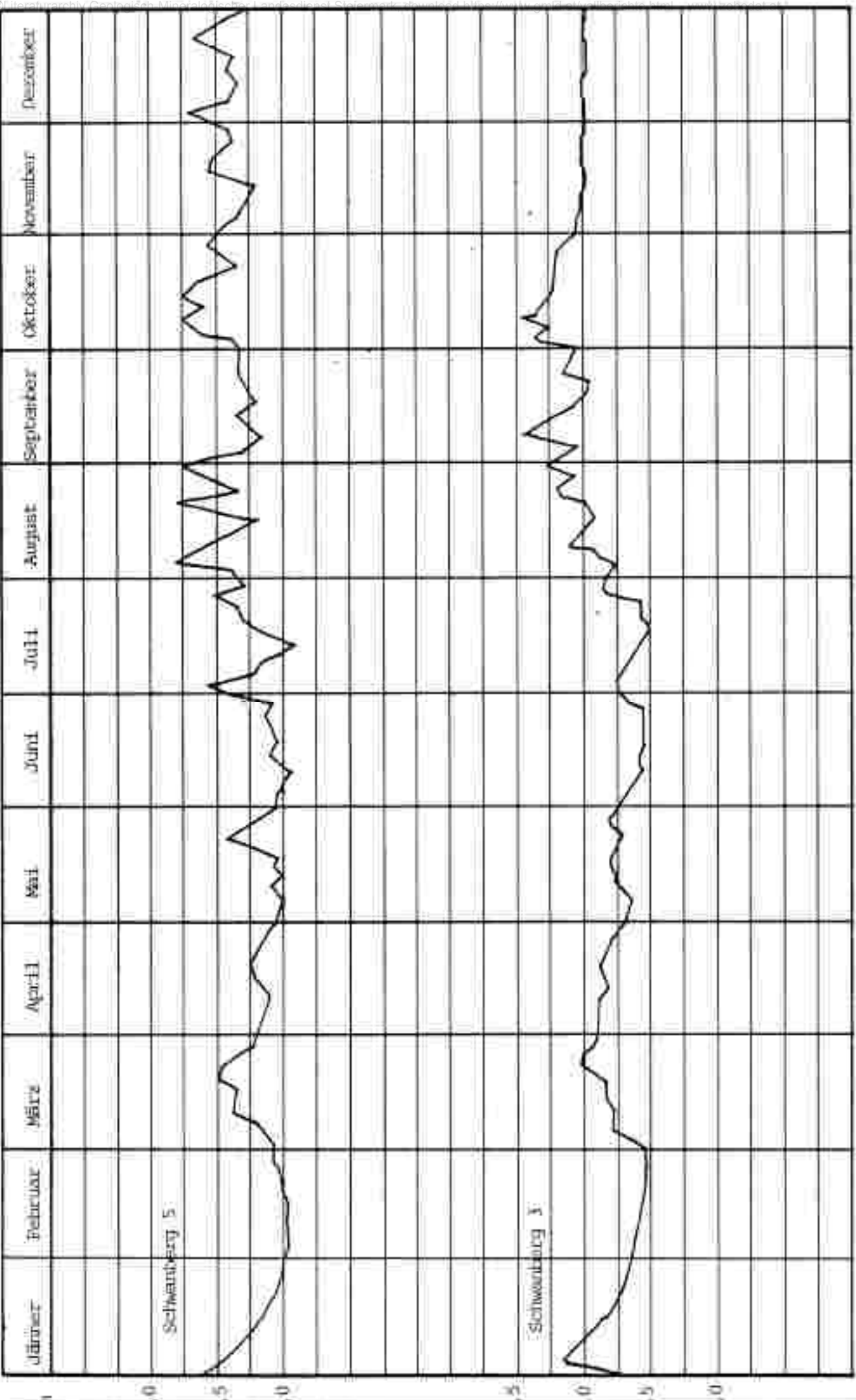


Die graphische Darstellung des Grundwasserganges von 1982 (Abb. 7) zeigt die charakteristische Ganglinie eines mittleren Grundwasserganges. Da die Ganglinie der Meßstelle 4 für eine vergleichende Betrachtung ausscheidet, sollen im folgenden nur die Ganglinien der Meßstellen 3 und 5 besprochen werden. Beiden Meßstellen gemeinsam ist im Jahr 1982 der Frühjahrshochstand im März, des Weiteren ein leichter Anstieg des Grundwassers im Juli sowie ein weiterer Anstieg im August, was schließlich zu einem Herbsthochstand führt, der bei der Meßstelle 5 bis in die Wintermonate hinein anhält. Ein ähnliches Bild des Grundwasserganges ergibt sich für das Jahr 1981 mit allerdings zwei Anstiegen im Sommer, und zwar im Juni und Juli, und einem markanten Grundwasserhochstand im Oktober.

Die Jahre 1980 und 1979 sind sehr schwankungsintensiv, die Jahresschwankung beträgt über 1,00 m. Ähnliches gilt auch für die Jahre 1975 und 1974. Die übrigen Jahre zeigen wohl ein sehr variables Bild des Grundwasserganges, bleiben aber mit ihrer Jahresschwankung unter 1,00 m. Die Grundwasserstandsganglinien des Sulmtales unterscheiden sich von denen des Leibnitztales vor allem durch ihre Unregelmäßigkeit im Jahresgang, was eine Abklärung der Grundwasserverhältnisse sehr erschwert. Es sei diesbezüglich auf die von H. ZETINIGG und H. FESSLER in den Berichten der wasserwirtschaftlichen Rahmenplanung veröffentlichten Arbeiten über die Grundwasserverhältnisse in der Weststeiermark verwiesen.

Abb. 7: Grundwasserstandsquellenlinien

September 1982



Tab. 5:
Jahrrichtlinie und Monatssumme 1982

Monats- und Jahresmittel der Grundwasserstände mit Extremwerten und Evidenzdaten
(Abstichmaße vom Meßpunkt)

| Nr. | Meßstellen | Gebiet | Beobachtungsbeginn | Meßpunkt m ü.G. | Mittel in cm | | | | | | | | | | | | Höchster und niedriger Standort des Grundwasserspiegels im Beobachtungszeitraum | Niedrigste und höchste Durchflusshöhe Grundwasserspiegel im Beobachtungszeitraum | |
|----------------|------------|-------------|--------------------|--------------------|--------------|------|------|-----|-----|-----|-----|------|-----|-------------|--------------|--------------|--|---|--------------|
| | | | | | I | II | III | IV | V | VI | VII | VIII | IX | X | XI | XII | Jahr | cm | cm |
| Flussental 1 | | Leibnitztal | 1967 | 1967 | 0,90 | 269 | 264 | 295 | 294 | 315 | 315 | 304 | 274 | 250 | 250 | 250 | 2, 9, 1976 | 2, 9, 1980 | 20, 10, 1980 |
| Böhl Loch 4050 | | | | | 1,10 | 274 | 275 | 266 | 262 | 275 | 264 | 280 | 264 | 264 | 264 | 264 | 4, 10, 1974 | 4, 10, 1974 | 20, 10, 1980 |
| Flussental 2 | | Leibnitz | 1967 | 1967 | 1,10 | 277 | 283 | 275 | 274 | 278 | 274 | 288 | 274 | 264 | 264 | 264 | 30, 10, 1968 | 30, 10, 1968 | 30, 10, 1980 |
| Wölfelech 4052 | | | | | 1,10 | 248 | 256 | 246 | 242 | 242 | 256 | 254 | 254 | 254 | 254 | 254 | 4, 10, 1974 | 4, 10, 1974 | 9, 10, 1980 |
| Flussental 3 | | Leibnitz | 1967 | 1967 | 1,00 | 202 | 299 | 283 | 270 | 291 | 292 | 304 | 291 | 271 | 271 | 271 | 31, 12, 1976 | 31, 12, 1976 | 31, 12, 1980 |
| Böhl Loch 4054 | | | | | 1,00 | 276 | 268 | 250 | 237 | 253 | 253 | 271 | 231 | 231 | 231 | 231 | 13, 9, 1972 | 13, 9, 1972 | 20, 10, 1980 |
| Flussental 4 | | | | | 1,00 | 438 | 447 | 434 | 411 | 420 | 443 | 457 | 457 | 457 | 457 | 457 | 23, 7, 1974 | 23, 7, 1974 | 29, 7, 1974 |
| Kornloch 4061 | | | | | 1,00 | 1967 | 0,95 | 451 | 192 | 335 | 305 | 353 | 399 | 282 | 18, 10, 1970 | 18, 10, 1970 | 26, 3, 1970 | 26, 3, 1970 | |
| Schlossberg 1 | | | | | 1,00 | 1967 | 1,20 | 198 | 292 | 248 | 200 | 243 | 385 | 25 | 25 | 40, 1971 | 40, 1971 | 21, 10, 1971 | |
| Böhl Loch 4001 | | | | | 1,00 | 277 | 220 | 173 | 254 | 262 | 199 | 239 | 137 | 6, 12, 1975 | 6, 12, 1975 | 30, 6, 1975 | 30, 6, 1975 | | |
| Schlossberg 2 | * | | | | 1,00 | | | | | | | | | | | | | | |
| Böhl Loch 4002 | | | | | 1,00 | | | | | | | | | | | | | | |
| Schlossberg 3 | * | | | | 1,00 | | | | | | | | | | | | | | |
| Böhl Loch 4004 | SP | | | | 1,00 | | | | | | | | | | | | | | |
| Schlossberg 4 | * | | | | 1,00 | | | | | | | | | | | | | | |
| Böhl Loch 4011 | | | | | 1,00 | | | | | | | | | | | | | | |
| Schlossberg 5 | * | | | | 1,00 | | | | | | | | | | | | | | |
| Böhl Loch 4013 | | | | | 1,00 | | | | | | | | | | | | | | |

*1 Beobachtung 1 s. ansetztlich

3.4 Heil- und Mineralquellen (H. Zettinigg*)

Im folgenden wird eine Zusammenfassung über die Heil- und Mineralquellen des Bezirkes Deutschlandsberg gegeben. Wesentliche Bestandteile der Beschreibungen sind folgende Angaben:

- Wasserbuch
- Lage
- Anerkennungsbescheide
- Charakteristik des Wassers
- Wasserrechtliche Bewilligungsbescheide
- Fassung
- Geologie
- Schutzgebiete
- Erwähnungen in der Literatur

*) Anschrift des Verfassers: ROSE Dr. Hilmar ZETTINIGG, Hasnerplatz 8
A-8010 Graz

GAMSER ST. HUBERTUSQUELLE

Wasserbuch: BH Deutschlandsberg, PZ 1062

Lage: GSt.Nr. 574/1, KG Gams, Gemeinde Gams ob Frauental.

Anerkennung als Heilquelle: Bescheid des Amtes der Steiermärkischen Landesregierung, GZ.: 12 - 188 Sa 2/16 - 1961 vom 25.4.1961, kundgemacht LGBl.Nr. 51/1961.

Charakteristik des Wassers: Calcium - Hydrogenkarbonat - Eisenquelle akritischer Konzentration, für Trink- und Badekuren.

Wasserrechtliche Bewilligung: Bescheid des Amtes der Steiermärkischen Landesregierung, GZ.: 3 - 348 Ga 133/2 - 1961 vom 30.1.1962, Bewilligung zur Benützung der Gamser St.Hubertusquelle.

Fassung: Die Quellfassung der Gamser St.Hubertusquelle, die im Jahre 1959 von der Firma Rumpel AG (Wien) ausgeführt wurde, besteht aus einem 12.70 m langen Drainagegraben, in dem in einem Schotterbett halbgelochte Plastikrohre von 50 mm Durchmesser verlegt sind. Diese Leitung ist mit einem Lehmschlag gegen das Eindringen von Oberflächenwasser abgesichert. Weiters zweigen von dem ungefähr in SW-NB Richtung quer über das Tal verlaufenden Drainagegraben zwei Y-förmig angeordnete Drainageäste einerseits in talabwärtige und andererseits in talaufwärtige Richtung ab. Diese beiden Arme haben Längen von 3.50 m und 4.40 m und sind generell gleich ausgebildet wie die Hauptdrainage. Der Hauptstrang der Drainage mündet in 2.40 m Tiefe in einen Sammelbehälter, der in einem Schachtbrunnen liegt. Der Schachtbrunnen selbst dient nicht als Wasserfassung. Die größte Überdeckungsmöglichkeit bzw. Tiefenlage erreicht die Drainage im Bereich der Y-förmigen Arme mit 4.10 m. Weiters befinden sich in unmittelbarer Umgebung des Brunnens in ca. 2.40 m Tiefe Drainagetrohre, die den Brunnen in östlicher Richtung umgeben. Laut Mitteilung der Eigentümer soll dieser Teil der Drainage jedoch kaum wirksam sein.

Geologie: Die Quellfassung liegt in der ansteigenden linken Talflanke des Mittereggbaches. Dieser aus nordwestlicher Richtung kommende Bach verlässt ungefähr im Bereich der Steinbrüche das kristalline Grundgebirge (Stainzer Plattengneis) und tritt in das

tertiäre Hügelland aus. In diesem Bereich befindet sich auch die Quellfassung. Das Tal des Mittereggbaches selbst ist von holozänen Ablagerungen sandig-kiesig-lehmiger Natur aufgefüllt. Die Tiefe und Verteilung dieser Lockergesteine ist jedoch nicht bekannt, da Bohrungen im Talboden bisher nicht oder in nur unzureichendem Maße vorgenommen wurden. Es kann jedoch insgesamt aus Vergleichen mit ähnlichen Tallandschaften angenommen werden, daß diese Lockergesteine nur wenige Meter Mächtigkeit besitzen (4-6 m) und ein ständiger Wechsel zwischen lehmig-sandigen und kiesigen Anteilen herrscht. Der präquartäre Untergrund dieses Tales wird hier bereits von tertiären Schichten gebildet, die als weitgehend wasserundurchlässig anzusehen sind, da sie vorwiegend aus Tonen und Tegain, also schwer wasserdurchlässigen Gesteinen, bestehen. Im Bereich der Talflanken werden diese Schichten von mächtigen Verwitterungslehmen, die zwar Wasser aufnehmen, aber nur langsam weiterleiten, bedeckt.

Die unteren Teile der Südwestabfälle zum Mittereggbach bestehen aus verrutschten Lehmen, die teilweise das Alluvium des Talbodens überdecken, da sie sich hier angeschoppt haben. An der Straße selbst ist unmittelbar talabwärts der Trinkhalle deutlich eine größere Rutschung zu erkennen. Auf Grund der Oberflächenformen im gegenständlichen Raum kommen die beiden beschriebenen, verschiedenen aufgebauten Landschaftsteile als Einzugsgebiete für die Gamser St. Hubertusquelle in Frage. Einerseits ist in den fluviatilen Ablagerungen, also Sanden, Kiesen und Lehmen des Mittereggbachtales eine Grundwasserführung anzunehmen. Die Mächtigkeit dieser Schichten beträgt vermutlich nur einige Meter. Anzeichen für eine schlechte Wasserwegigkeit der Lehmüberdeckung des Grundwasserleiters sind in der Versumpfung des Talbodens gegeben. Andererseits ist eine Wasserführung im Bereich der Talflanken nicht auszuschließen. Diese werden von tertiären, tonig-talgeligen Schichten aufgebaut, die von mächtigen Verwitterungslehmen, die durch Rutsch- und Kriechbewegungen talwärts zu noch größeren Mächtigkeiten angeschoppt sind, überdeckt werden. Wenn auch diese Verwitterungsschwarze keine schnelle Wasserbewegung erlaubt, sondern eher schwammartig Wasser aufnimmt und zurückhält, so muß

doch auf Grund der Rutschungen mit dem Vorhandensein von Wasserbahnen (Gleitflächen) im Boden gerechnet werden.

Weiters ist auch eine unterirdische Wasserführung im Grenzbereich zwischen den anstehenden tertiären Schichten und den Verwitterungslehmen vorhanden. Die Ausbildung des Fassungsbauwerkes ist jedenfalls auch auf eine Alimentation aus dem Bereich der Talflanke abgestimmt.

Zusammenfassend ist nach den örtlichen geologischen Verhältnissen und der Ausbildung des Fassungsbauwerkes zu vermuten, daß im wesentlichen oberflächennahes Grundwasser aus den Lockergesteinen des Tales des Mittereggbaches und aus der Verwitterungsschwarze der linken Talflanke erschrotet wird.

Schutzgebiete: festgelegt mit GZ.: 3 - 348 Ga 133/2 - 1961 vom 30.1.1962.

- a) Einigeres Schutzgebiet: festgelegt.
- b) Das weitere Schutzgebiet ist durch Kreis mit Radius von 200 m mit dem Mittelpunkt im Brunnenhaus abgegrenzt.

Bewähnungen in der Literatur:

KUPPER, B. & WIESBÖCK, J.: Erläuterungen und Index zur Übersichtskarte der Mineral- und Heilquellen Österreichs 1:500.000. - Geologische Bundesanstalt, 101 S., Wien 1966.

THURNER, A.: Hydrogeologisches Gutachten des Schutzgebietes der St. Hubertus-Heilquelle in Gams ob Frauental. - Unveröff., 22 S., mehrere Abb., Graz 1972.

ZETINIGG, H.: Hydrogeologisches Gutachten zur Abänderung des weiteren Schutzgebietes der Gamser St. Hubertusquelle. - Unveröff., 10 S., Graz 1972.

MICHELQUELLE - GAMS OB FRAUENTAL

Wasserbuch: BG Deutschlandsberg WBPI 949

Lage: GST.Nr. 238, KG Gams, (Kipperquelle II) Michelquelle

Anerkennung als Heilquelle: Bescheid Amt der Steiermärkischen Landesregierung, GZ.: 12 - 188 Ki 1/48 - 1957 vom 8.3.1957, kundgemacht im LGBl.Nr. 29/1957.

Charakteristik des Wassers: Einfaches Eisenwasser, mit stark schwankendem Eisengehalt, z.B. Gutachten HÖLZEL, F. vom 23.5.1953 30.96 mg Fe"/kg, Befund des Inst.f.Organ.pharmazeut.Chemie, Univ. Graz, vom 24.11.1956 22.5 mg Fe"/kg.

Wasserrechtliche Genehmigung der Fassung: Bescheid des Amtes der Steiermärkischen Landesregierung, GZ.: 3 - 348 Ki 1/4 - 1956 vom 14.2.1956, Genehmigung der Erschließung und Benützung der Michelquelle (Kipperquelle II) für Trinkkuren und für die Abfüllung in Flaschen.

GZ.: 3 - 348 Ki 1/12 - 1957 vom 8.1.1957, Feststellung der Übereinstimmung der Anlage mit der erteilten Bewilligung und Festlegung eines engeren und weiteren Schutzgebietes. Nach der Erklärung der Quelle zur Heilquelle wurde dieses Schutzgebiet mit "Verordnung des Landeshauptmannes der Steiermark vom 7.6.1957, womit ein Schutzgebiet für die auf der Grundparzelle Nr. 238 der KG Gams ob Frauental, Ortsgemeinde Gams ob Frauental, gelegene Michelquelle im Sinne des § 33, Abs. 1 des Wasserrechtsgesetzes vom 19.10.1934, BGBl.II, Nr. 316, in der Fassung der Wasserrechtsnovelle 1947, BGBl.Nr. 144/1947, festgelegt wird", im LGBl.Nr. 36/1957 kundgemacht.

Fassung: Im Jahre 1952 wurde ein betonierter Schachtbrunnen linksufig ca. 26 m vom Grünbach entfernt errichtet. Dieser Brunnen besitzt eine Tiefe von 6.5 m und einen Durchmesser von 1.0 m. Im Brunnen befindet sich 1.50 m über Schle ein Podest. Der Brunnenmantel ist an insgesamt 6 Stellen, die als Ausläufe bezeichnet sind, perforiert. Diese sogenannten Ausläufe befinden sich in Tiefen von ca. 3.15 - 3.40 m u.T.. Das einfließende Wasser sammelt sich im Brunnen unter dem Podest und wird von dort abgepumpt. Die Michelquelle stammt aus einem 5.5 m langen, als Drainage wirkenden

perforierten und in einem Kiesmantel verlegten Eternitrohr von 5 mm Durchmesser, das durch einen der Ausläufe in den Schacht eintritt, aber nicht in diesen ausmündet, sondern über einen Verteiler den verschiedenen Verwendungen zugeführt wird.

Geologie: (nach THURNER, A. 1957 als von der Behörde bestallten geologischen Sachverständigen, aus Bescheid GÜ.: 3 - 348 Ki. 1/12-1956 vom 8.1.1957).

Fassung von Grundwasser aus dem geringmächtigen (wenige Meter) quartären Lockerablagerungen im Tale des Greimbaches, deren Liegendes tertiäre Tone und Sande bilden. Erst weiter im W hebt das kristalline Grundgebirge heraus, aus dem auch die zuvor erwähnten Lockergesteine stammen. Der hohe Kohlensäuregehalt, insbesondere aber der Eisengehalt, ist typisch für Wasser aus einem von kristallinen Gesteinen aufgebauten Einzugsgebiet.

Erwähnung in der Literatur:

KÜPPER, H. & WIESBÖCK, J.: Erläuterungen und Index zur Übersichtskarte der Mineral- und Heilquellen in Österreich. - 101 S., 1 Karte. Geologische Bundesanstalt, Wien 1956.

Österreichisches Heilbäder- und Kurortebuch. - Hrsg. Bundesmin. f. Gesundheit und Umweltschutz, Bohmann Verl. KG, Wien 1975.

3.5 Das Gütebild der Fließgewässer

Die folgende Abbildung (Abb. 1) zeigt einen Ausschnitt aus der Karte "Gütebild der Fließgewässer der Steiermark", Stand 1980/81. Diese stellt im Maßstab 1:200 000 neben anderen Informationen (siehe Legende) die Gewässergüte in acht Güteklassen sowie die Wasserführung (MQ = Mittelwasser) dar. Die Aufnahmen erfolgten vom Amt der Steiermärkischen Landesregierung, Fachabteilungsgruppe Landesbaudirektion, Fachabteilung Ia, Referat für Gewässeraufsicht und Gewässerschutz.

Abb. 1:

GÜTEBILD DER FLIESSGEWÄSSER DER STEIERMARK

STAND 1980/81

Aufgenommen vom Am. der Steiermärkischen Landesregierung, Fachabteilungsgruppe Landesbaudirektion, Fachabteilung für
Föderal für Gewässeraufsicht und Gewässerschutz

Herausgegeben vom Bundesministerium für Land und Forstwirtschaft / Wasserwirtschaftskataster

GÜTERKLASSEN

| | | | |
|--|---|--|--|
| | I: sauer verunreinigtes Gewässer | | II: sauer verunreinigtes Gewässer |
| | I-II: sauer bis mäßig verunreinigtes Gewässer | | III-IV: stark bis extrem stark verunreinigtes Gewässer |
| | II: mäßig verunreinigtes Gewässer | | III: überwiegend stark verunreinigtes Gewässer |
| | III-IV: mäßig bis stark verunreinigtes Gewässer | | Verdünnung/Verminderung |

WASSERFÜHRUNG

| | |
|--|--------------------------------|
| | Bandbreite: Mittelwasser (MQ): |
| | < 0,3 m³/s |
| | 0,3 - 8 m³/s |
| | > 8 m³/s |
| | malgebliche Wehranlage |

ABWASSERREINIGUNGSANLAGEN

| | | | | | |
|--|-------------------------|--|----------------------|--|--|
| | mechanisch | | biologisch | | chemisch |
| | Kommunale Kläranlage | | Betriebsabwasser | | Industrieabwasser |
| | Durchflussabwasser | | Schleicher | | Industrie- und Metallabwasser |
| | Brauereiabwasser | | Industrieabwasser | | Chemische Industrie |
| | Brotfabrikabwasser | | Bergbauabwasser | | Textilabwasser |
| | Kaliwirtschaftsabwasser | | Öl- und Fettabwasser | | Papier-, Farbe- und Zellstoffindustrie |

maßgebliche Wehranlage

Kanalhaus

Zulauf

Abfluss

Zufluss

Zufluss mit mehreren Einleitungen im Siedlungsraum

Schwarze Symbole: Einleitung über ARA in Verflüsse

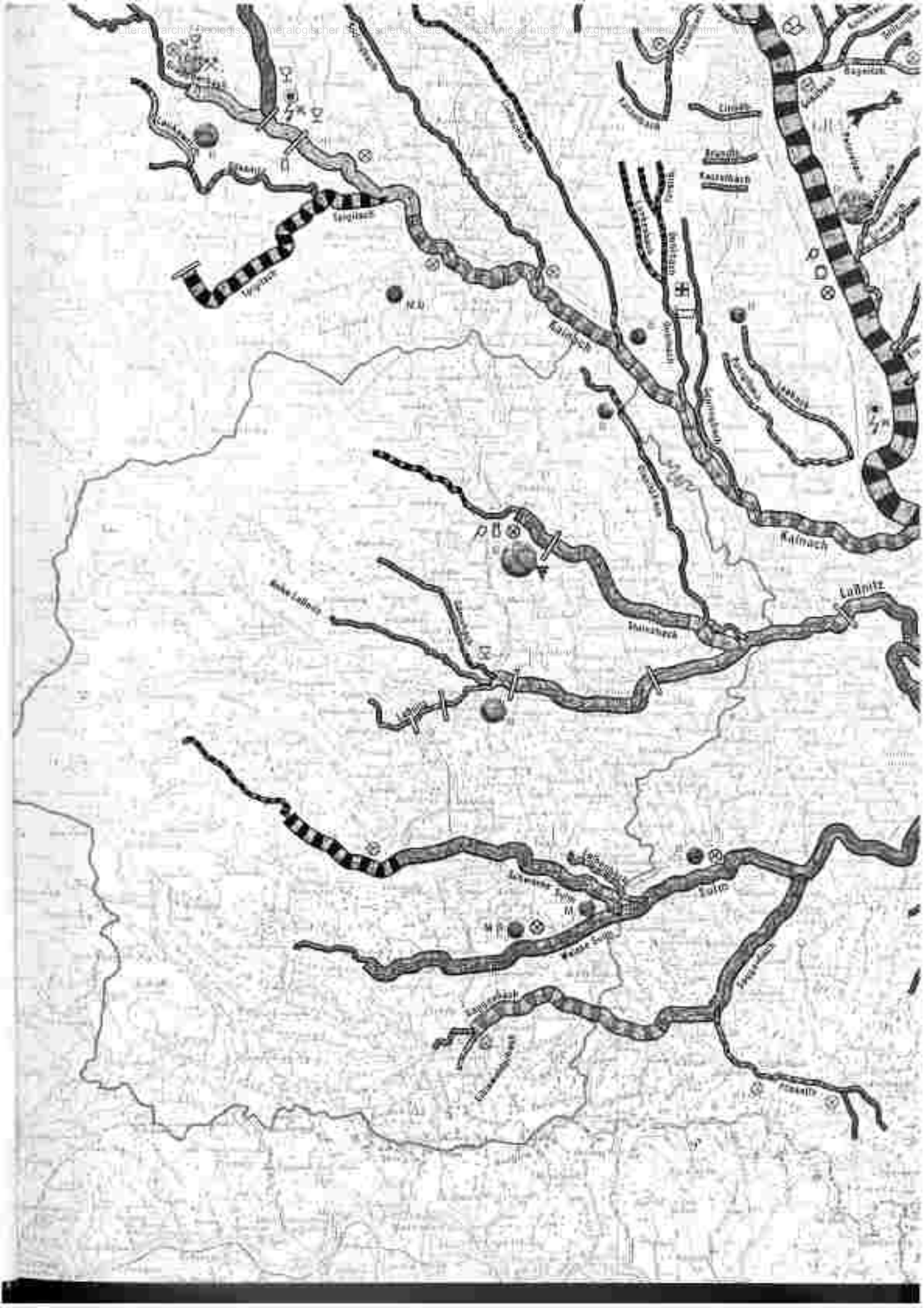
Weiß Symbole: Einleitung ohne ARA in Verflüsse

Maßstab: 1 : 200 000

1 2 3 4 5 6 7 8 9 10 11 12 13 14 15 16 17 18 19 20 21 22 23 24 25 26 27 28 29 30 31 32 33 34 35 36 37 38 39 40 41 42 43 44 45 46 47 48 49 50 51 52 53 54 55 56 57 58 59 60 61 62 63 64 65 66 67 68 69 70 71 72 73 74 75 76 77 78 79 80 81 82 83 84 85 86 87 88 89 90 91 92 93 94 95 96 97 98 99 100

Bundesamt für Eich- und Vermessungswesen in Wien

(Auf die Erläuterungen im zugründigen Textteil wird verwiesen.)



3.6 Literatur

- EISENHUT, M.: Sedimentationsverhältnisse und Talentwicklung an der mittleren Laßnitz (Weststeiermark). - Mitt. naturw. Ver. Stmk., 95, S-15, Graz 1965.
- FESSLER, H.: Grundlagen für Wasserversorgungswirtschaftliche Planungen in der Südweststeiermark. 3. Teil: Die Grundwasserführung im Tale der Laßnitz, Sulm und Säggau zwischen Grundgebirge und Leibnitzaer Feld. - Ber. wasserwirtsch. Rahmenpl., 40, Graz 1978.
- HIESSEITNER, G.: Das Wieser Revier. Eine Studie über Geologie und Bergbauentwicklung der Wies-Sibiswalder Glanzkohle. - Berg- u. Hüttenmänn. Jb., 74, H.2, 65-103, Wien 1926.
- MAURIN, V. & ZÖTL, J.: Hydrogeologie und Verkarstung der Steiermark. In: Erläuterungen zum Atlas der Steiermark, hrag. v. Amt d. Steiermärkischen Landesregierung, Graz 1973.
- SUETTE, G. & YAMAC, Y.: Quellkartierung. In: Erläuterungen zu den Naturraumpotentialkarten der Steiermark, Bezirk Leibnitz. Teilprojekte Quellkartierung und Bodenkartierung. - Univ. Projektsbericht St. C 8e, FGJ, Graz 1983.
- WINKLER-HERMADEN, A.: Die geologischen Verhältnisse im mittleren und unteren Laßnitztal Südweststeiermarks als Grundlage einer wasserwirtschaftlichen Planung. - Sitz. Ber. Akad. Wiss. Wien, Abt. I, 149. Bd., H. 1-10, Wien 1940.
- YAMAC, Y.: Hydrogeologische Studie über die quartären Ablagerungen in den Tälern der Schwarzen und Weißen Sulm. - Univ. Gutachten, Graz 1973.
- ZETINIGG, H.: Die artesischen Brunnen der Südweststeiermark. - Ber. wasserwirtsch. Rahmenpl., 26, 1973.
- Die artesischen Brunnen im steirischen Becken. - Mitt. Abt. Geol. Paläont. Bergb. Landesmus. Joanneum, 43, Graz 1982.

4. RISIKOFAKTOREN (Beilage 3) (G. Suetze, Th. Untersweg)

In der Karte der Risikofaktoren werden zwei Komplexe ausgewiesen:

- Baugrundverhältnisse
- Risikofaktoren

4.1 Die Baugrundverhältnisse

Die Darstellung der Baugrundverhältnisse ist eine Kombination der Geologischen Grundkarte (s. Abschnitt 2. zum lit.) und der bodenkundlichen Karte. Die Untergliederung erfolgt nach folgenden Kriterien:

- Bindige Sedimente mit schlechter Tragfähigkeit.
Dies sind vor allem Schluffe, Tone und schluffige bis tonige Sande, wie sie in den Augebieten auftreten.
- Bindige Sedimente mit mittlerer Tragfähigkeit.
In diese Kategorie werden die Terrassendecklehme und Gehängedecklehme gestellt.
- Nichtbindige Sedimente mit guter Tragfähigkeit.
Dies sind Sande und Schotter ohne Ton- bzw. Schluffbeimengungen größerer Ausmaßes (Niederterrasse bzw. Tertiär).
- Festgesteine mit wechselhafter Tragfähigkeit.
Phyllite, Schiefer, etc.
- Festgesteine mit guter Tragfähigkeit.
- Hangschutt, Blockwerk, Bergsturzmassen.
Diese Bereiche werden auf Grund ihrer wechselhaften Ausbildung im Hinblick auf ihre Standfestigkeit als eigene Kategorie ausgeschieden.
- Für eine Reihe lithologischer Einheiten kann keine Zuordnung zu einer der oben angeführten Klassen getroffen werden, da ihr Sedimentationsbild wechselhaft ist und keine bodenmechanischen Untersuchungen vorliegen.

Die Einteilung in die oben angeführten Einheiten erfolgt ausschließlich auf Grund geologischer und lithologischer Kriterien und dient nur als Überblick. Um detaillierte Aussagen machen zu können, sind im Einzelfall gezielte sedimentologische und bodenmechanische Untersuchungen durchzuführen.

4.2 Risikofaktoren

Zusätzlich zur Bewertung der einzelnen Gesteine hinsichtlich ihrer baugeo logischen Eignung werden folgende Risikofaktoren ausgeschieden:

- Vernässungen, Versumpfungen
- Schwemmkägel
- Bergwerkshalden
- verkarstungsfähige Gesteine
- Altarme in den Tälern (teilweise verschüttet)
- Müllablagerungen
- Rutschungen (aktiv und vernarbt)
- rutschgefährdet Gebiete
- Störungen (gesichert und vermutet)

Rutschungen sowie Altarme wurden mit Hilfe der Luftbildauswertung kartiert, während die rutschgefährdeten Gebiete in erster Linie aus den teilweise veröffentlichten Blättern der Österreichischen Bodenkarte 1:25 000 entnommen werden konnten. Die Müllablagerungen wurden ausschließlich vor Ort aufgenommen.

4.3 Literatur

ÖSTERREICHISCHE BODENKARTIERUNG: Bodenkarte 1:25 000, Kartierungsbereich Deutschlandsberg, Steiermark. Hrsg. BMLF, Wien 1975.

ÖSTERREICHISCHE BODENKARTIERUNG: Erläuterungen zur Bodenkarte 1:25 000, Kartierungsbereich Deutschlandsberg, Steiermark. Hrsg. BMLF, Wien 1975.

ÖSTERREICHISCHE BODENKARTIERUNG: Manuskriptkarte 1:10 000,
Kartierungsbereich Eibiswald, Steiermark. Univ.

ÖSTERREICHISCHE BODENKARTIERUNG: Manuskriptkarte 1:25 000,
Kartierungsbereich Stainz, Steiermark. Univ.

5. ROHSTOFFE (Beilage 4)

(G. Suette, mit einem Beitrag von F. Ebner)

Im folgenden Abschnitt wird ein Überblick über die im Bezirk Deutschlandsberg auftretenden und abgebauten Rohstoffe gegeben. Eine Gliederung erfolgt nach Energierohstoffen (Kohle, Uran), Industriemineralien, Steinen und Erden (Glimmer, Feldspat, Disthen, Quarzsand, Kaolin), Massenrohstoffen und Erzen (Scheelit).

Tab. 1 bringt eine Aufstellung der Lagerstätten, Abbaustellen und Vorkommen, nach Gemeinden und Rohstoffen geordnet. Weiters erfolgt eine tabellarische Darstellung für jede Gemeinde in Tab. 27.

Insgesamt gibt es im Bezirk Deutschlandsberg 362 Abbaustellen und Fundpunkte (ohne Uran). Daneben werden in der Kartenbeilage 4 noch die Plattengneise, Pegmatite, Marmore und Disthen führenden Gesteine in ihrem flächigen Auftreten dargestellt.

In der Karte wird das abgebaut Material durch das Umrahmungs- symbol der laufenden Nummer sowie der Status (Nutzung) durch eine Fußnote gekennzeichnet. Weitere Informationen werden durch Buchstaben (M = Müll, r = rekultiviert, R = Reserve oder Abbau geplant) gegeben.

Zusätzlich zu dieser Kartendarstellung ist jeder einzelne Punkt im Teil "Lagerstättenkartei" erläutert (erstellt nach Unterlagen der GBA, HEINRICH 1982, Literaturrecherchen und eigenen Aufnahmen).

Auf Konfliktsituationen bzw. die rechtliche Problematik, die im Zuge eines Abbaues von oberflächennahen Rohstoffen auftreten, wurde bereits von SUETTE & UNTERSWEIG 1981 hingewiesen.

Tab. 1: Abbaustellen und Fundpunkte, nach Gemeinden und abgebautem Material geordnet.

| Gemeinde | Granit | Amphibolit | Bentonit/Tuff | Braunkohle | Dolomit | Flinthen | Gabbro | Clinopyroxen | Clinopatrit | Granat | Graphit | Kalk | Kaliflin | Konglomerat | Lutus | Marmor | Natriel | Pegmatit | Plattengneis | Quarz | Quarzit | Sand | Schiefer | Schiefer-Schlacke | Schlacke | Schotter | Schutt | Ton | Tonf | | |
|------------------|--------|------------|---------------|------------|---------|----------|--------|--------------|-------------|--------|---------|------|----------|-------------|-------|--------|---------|----------|--------------|-------|---------|------|----------|-------------------|----------|----------|--------|-----|------|---|-----|
| Audi | 16 | | | | | | | | | | | | | | | | | | | | | | | | | | | | | | |
| Deutschlandsberg | 9 | 1 | | | | | | | | | | | | | | | | | | | | | | | | | | | | | |
| Eibiswald | 3 | | 1 | | | | | | | | | | | | | | | | | | | | | | | | | | | | |
| Frauenstein | 12 | | | | | | | | | | | | | | | | | | | | | | | | | | | | | | |
| Freiland | 9 | 2 | | | | | | | | | | | | | | | | | | | | | | | | | | | | | |
| Gams | 29 | | | | | | | | | | | | | | | | | | | | | | | | | | | | | | |
| Garsau | 15 | 1 | | | | | | | | | | | | | | | | | | | | | | | | | | | | | |
| Georgsberg | 11 | | 8 | | | | | | | | | | | | | | | | | | | | | | | | | | | | |
| Grossenweg | 19 | 1 | | | | | | | | | | | | | | | | | | | | | | | | | | | | | |
| Greisdorf | 9 | | | | | | | | | | | | | | | | | | | | | | | | | | | | | | |
| Grottkau | 12 | | | 15 | | | | | | | | | | | | | | | | | | | | | | | | | | | |
| Groß St. Florian | 7 | | | | | | | | | | | | | | | | | | | | | | | | | | | | | | |
| Gundersdorf | 7 | 3 | | | | | | | | | | | | | | | | | | | | | | | | | | | | | |
| Hallenberg | 6 | 1 | | | | | | | | | | | | | | | | | | | | | | | | | | | | | |
| Kloster | 8 | 2 | | | | | | | | | | | | | | | | | | | | | | | | | | | | | |
| Lamach | 12 | 1 | 2 | | | | | | | | | | | | | | | | | | | | | | | | | | | | |
| Limberg | 4 | 1 | 2 | | | | | | | | | | | | | | | | | | | | | | | | | | | | |
| Machitsch | 15 | | | | | | | | | | | | | | | | | | | | | | | | | | | | | | |
| Oeterwitz | 6 | | | | | | 1 | 1 | | | | | | | | | | | | | | | | | | | | | | | |
| Pitschgau | 7 | | 12 | | | | | | | | | | | | | | | | | | | | | | | | | | | | |
| Pölling-Brunn | 3 | | 4 | | | | | | | | | | | | | | | | | | | | | | | | | | | | |
| Preding | 12 | 2 | | | | | | | | | | | | | | | | | | | | | | | | | | | | | |
| Rausbach | 10 | 1 | | | | | | | | | | | | | | | | | | | | | | | | | | | | | |
| St. Jörnd | 9 | | | | | | | | | | | | | | | | | | | | | | | | | | | | | | |
| St. Martin | 14 | 6 | 6 | | | | | | | | | | | | | | | | | | | | | | | | | | | | |
| St. Oswald | 5 | 6 | | | | | | | | | | | | | | | | | | | | | | | | | | | | | |
| St. Peter | 5 | | | | | | | | | | | | | | | | | | | | | | | | | | | | | | |
| St. Stefan | 4 | 1 | 12 | | | | | | | | | | | | | | | | | | | | | | | | | | | | |
| Schwanberg | 6 | | | | | | | 2 | 2 | | | 1 | 12 | | | | | | | | | | | | | | | | | | |
| Söding | 11 | 1 | | | | | | 17 | 42 | | | | | | | | | 3 | 24 | 42 | | | | | | | | | | | |
| Steinegg | 8 | 4 | 3 | 12 | | | | | | | | | | | | | | 18 | | | | | | | | | | | | | |
| Steindorf | 10 | | | | | | | | | | | | | | | | | | | | | | | | | | | | | | |
| Stollhof | 1 | | | | | | | | | | | | | | | | | | | | | | | | | | | | | | |
| Sulmeck-Greith | 8 | | 1 | | | | | | | | | | | | | | | | | | | | | | | | | | | | |
| Trahütten | 15 | 18 | | | | | | 1 | 1 | 3 | | | | | | | | 20 | 21 | 67 | | | | | | | | | | | |
| Unterbergla | 19 | 3 | | | | | | | | | | | | | | | | | 1 | 1 | | | | | | | | | | | |
| Wernersdorf | 8 | 2 | 2 | | | | | | | | | | | | | | | | 2 | | | | | | | | | | | | |
| Wettmannstätten | 4 | | | | | | | | | | | | | | | | | | | | | | | | | | | | | | |
| Wimpassing | 11 | 1 | | | | | | 2 | 1 | | | | | | | | | 1 | 2 | 1 | | | | | | | | | | | |
| Wies | 6 | | 2 | | | | | | | | | | | | | | | | | | | | | | | | | | | | |
| | 162 | 25 | 22 | 21 | 2 | 2 | 2 | 2 | 2 | 2 | 7 | 43 | 1 | 3 | 2 | 1 | 30 | 29 | 2 | 12 | 59 | 1 | 121 | 2 | 1 | 2 | 14 | 17 | 20 | 1 | 438 |

Die Differenz der Summen ergibt sich aus der Mehrfachnutzung einzelner Abbaustellen.

() In der Literatur erwähnte Abbaustellen bzw. Fundpunkte, die nicht näher lokalisiert werden können.

5.1 ENERGIEROHSTOFFE

5.1.1 Kohle

Im Bereich von Wies-Eibiswald führen die Karpatischen Eibiswalder Schichten ehemals bergbaulich erschlossene Kohleflöze. Auf Grund des nördlichen Absinkens dieser Randzone des Karpat unter die marinen, badenischen Florianer Schichten wird diese Zone in den nördlicheren Bereichen des Bezirkes Deutschlandsberg bis heute jeder direkten Kohlensuche entzogen. Durch zwei alte Bohrungen (Sigmund und Geipersdorf N Deutschlandsberg) dürfte das Karpat unter den badenischen Schichten angefahren worden sein. Dabei wurden auch Kohleschmitzen von 0,4 m bzw. 0,25 m angetroffen. PÖHL 1981 schließt aus dem Verhalten des Flözes von Wies, daß Talfäden für eine Moorentwicklung in diesem Bereich eher ungünstig waren und daß eher begrabene Rücken untersucht werden sollten.

Auf Grund der Überlegung, daß für eine Moorbildung ein ruhiges Milieu notwendig sei, nimmt PÖHL 1981 südlich des NNE gerichteten Kristallinsporns von Zirknitzberg ein ruhiges Rückstabbecken an, da dieser Sporn den Bereich gegen die Entwässerungsrichtung des Stallhofener Beckens abschirmt und so eine Kohleführung möglich sei.

Folgende Tabellen geben einen Überblick über alte und vorgeschlagene neue Bohrungen zur Auffindung von Kohle im Bereich des Westrandes des Tertiärbeckens (nach PÖHL 1981).

Tab. 2: Wichtige ältere Bohrungen im Tertiär des mittleren Koralpenabschnittes (POHL 1981).

| B o h r u n g | Tiefe (m) | G e o l o g i s c h e s | Kohle |
|--------------------------------------|-----------|---|-------------------------------|
| a) Schwanberg | 245,4 | "Schieferton, Sandstein, Conglomerat, Mergelschiefer" | Schmitzen |
| b) Reitersberg (1975) | 379 | Hangendeschichten des Flözes von Wies-Bergla | - |
| c) Leibenfeld/ Mollensee E | 112,3 | Grundgebirge bei 97 m | 3 Schmitzen maximal 0,47 m |
| d) Kreßbach/ Leibenfeld S | 63 | | 33 m : 0,1 m 52 m : 0,63 m |
| e) Schneider, Krasberg (1920) | 55 | Grundgebirge angetroffen | 6 Kohlen- schieferbänke |
| f) Geipersdorf/ N. Deutschlandsg. | 300 | Grundgebirge erreicht | 128 m : 0,4 m |
| g) Blumau/ N. Deutschlandsg. | 300 | Grundgebirge erreicht | 138 m : 0,25 m |
| h) Wald/NW Stainz (vor 1978) | 105,31 | sandige, meist gelbliche, z.T. blaue Mergel | - |

Tab. 3: Zur Erkundung der Kohleförderung des mittleren Abschnittes der Koralpen-
ostabteilung vorgeschlagene Bohrungen (POHL 1981).

| B o h r u n g | Voraussichtliche Tiefe zum Grundgebirge (m) |
|--|--|
| 1 Schönwiesengraben | ~ 200 |
| 2 Zirknitztal | 200 |
| 3 Unterzirknitz 1 km NNE St. Stefan | 200 |
| 4 Lämsteine 2,5 km NW Stainz | 200-300 |
| 5 Domberg NE 1,5 km SE Stainz | 250-300 |
| 6 Poönitz 3 km SSE Stainz | 400 |
| 7 Niedergamm 5 Km SSE Stainz | 250-350 |



Abb. 1: Alte und vorgeschlagene Bohrungen (POHL 1981), siehe auch Tab. 2 und Tab. 3.

Die heute stillgelegten Bergbaue des Eibiswalder-, Vordersdorfer- und des Wieser Reviers werden unter der Bezeichnung "Weststeirisches Glanzkohlenrevier" zusammengefasst.

Das Weststeirische Glanzkohlenrevier liegt im Südabschnitt des Weststeirischen Beckens, in der "Sucht von Eibiswald".

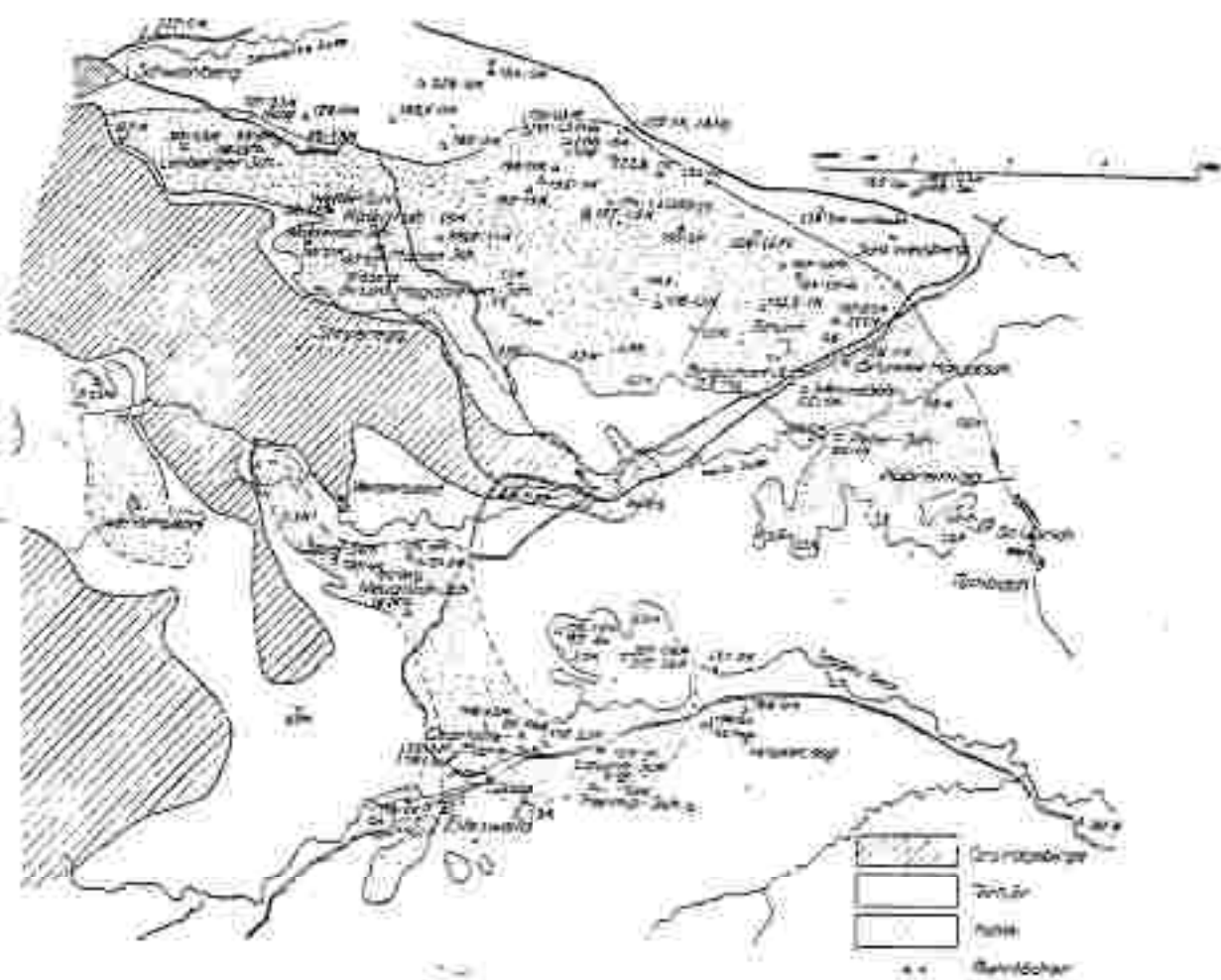


Abb. 2: Übersichtskarte des Wies-Eibiswalder Reviers. Unter Benützung der vom k.k. Revierbergamt in Graz herausgegebenen Revierkarten ergänzt. (PETRASCHECK 1924).

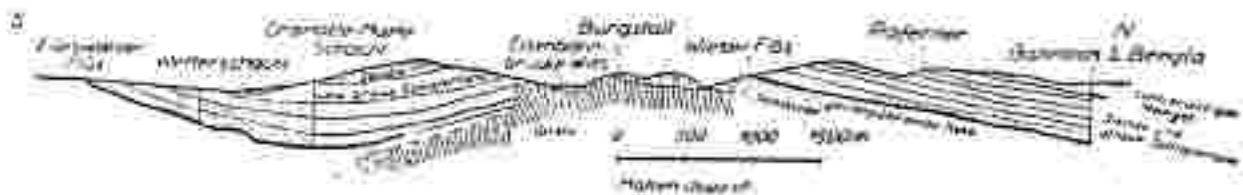


Abb. 3: Profil über das Eibiswald-Wieser Revier (PETRASCHECK 1924).

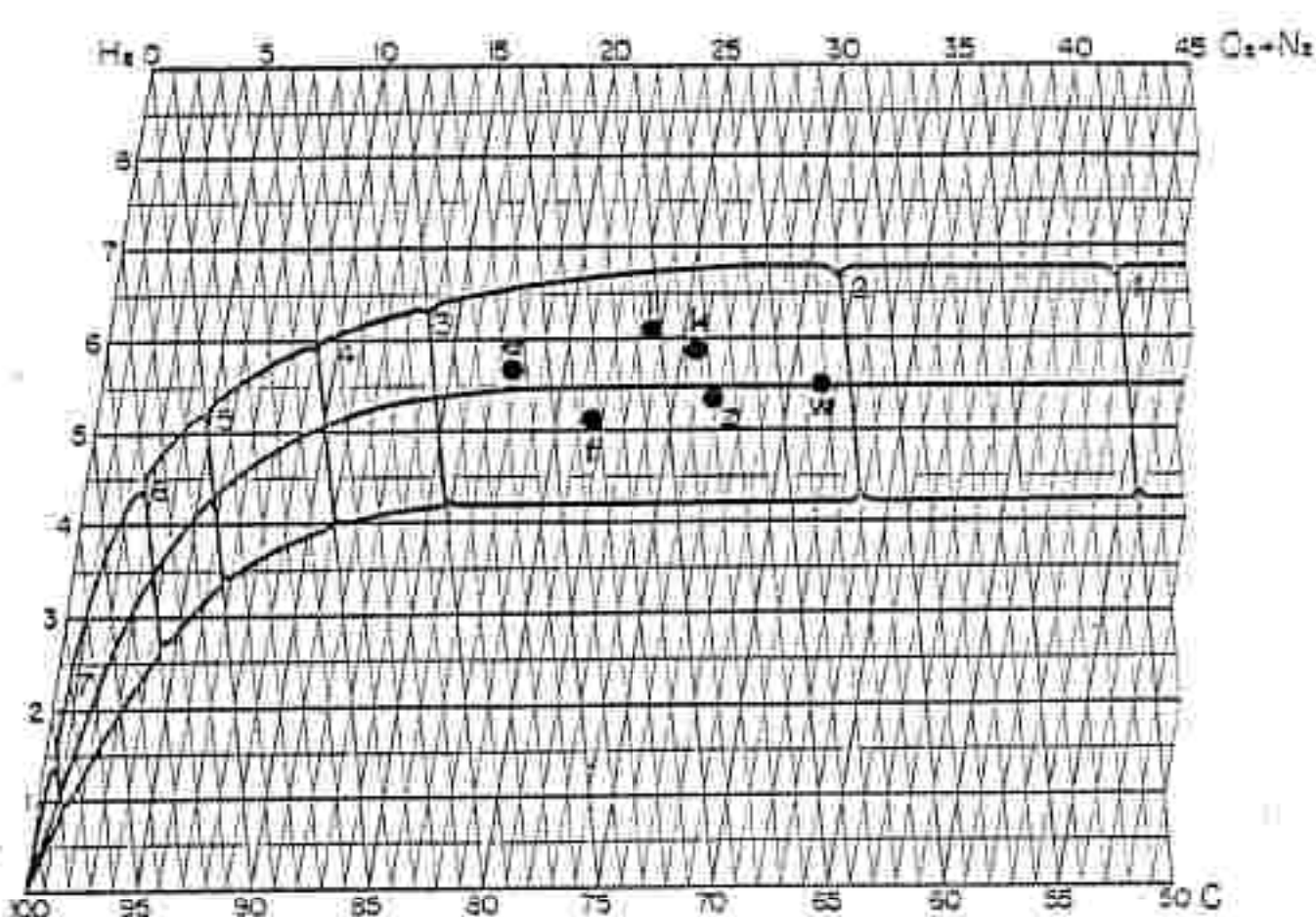


Abb. 4: Elementaranalyse einiger österreichischer Lignite.

e = Eibiswald

f = Pohnsdorf

l = Lavanttal

w = Weiz

z = Zangtal

Inkohlungstand:

1 = Holz

2 = Torf

3 = Lignit

4 = Flammkohle

5 = Fettkohle

6 = Magerkohle

7 = Anthrazit

(GEUTEBRUCK & NEBURG 1979)

| | WENIGER BECKEN UND RANDBECKEN | OBERSCHIEBEBECKEN UND RANDBECKEN |
|---------|---|---|
| Pöllt | P. Dingendorf-Hirschfeld-Bärenbrunn, Schäffern, Rattendorf 1954 234 3871 | F. Hirs-Dingendorf-Schäffern-Sillen, Rechberg, Bockstein G. Hirschendorf C. Eis-Kloppendorf-Mitterdorf 1964-224 1231 |
| Salinen | | A. Ober-Kuhmühndorf-Salinen von Weiz, Pölltau Untere Röckenhofende-Salinen von Weiz, Lichtenwörth, Oberwörth, Klein-Johannsdorf 1952 1956 1958 36381 424781 10.0191 |
| Kloster | | |
| Baden | Neuendorf-Gütersberg-Pöllau, Rüsting-Niedendorf 1959 1960 234 2811 14.0801-4271 | B. Gleinstätten-Zinnkamm, Mönichsche, Thal, Sankt Stefan, Stainz, Raabach-Lammelndorf 1967 Kressl, Passail |
| Graz | | C. Eibiswalder-Ramberg -im EBM MHT Mittere Eisenharter-Schäffern: |
| Ottens. | Haut, Röten, Eisenberg, Sieggraben 1949 2.5481 | D. Pölling-Berglk. Vomitsch, Pöllendorf, Gregor's 1957 1958 1961 4.000 4731 404.6731 104.9011 72.7001 |

Abb. 5: Braunkohlen im Tertiär: Lagerstätten, die nach 1945 ausgebeutet wurden, sind durch die Jahreszahl der Stilllegung bzw. durch Fettdruck, falls die 1977 noch in Betrieb standen, und durch die Fördermenge seit dem Jahr 1947 beschrieben. Schrägdruck bezeichnet Vorkommen von Glanzkohle (HEINRICH in OBERHAUSER (Ed.) 1980).

Im Eibiswalder Revier wurde ein in einer annähernd N-S verlaufenden flachen Mulde liegendes Flöz abgebaut. Dieses aus 3 deutlich unterscheidbaren Bänken zusammengesetzte Flöz erreichte im Raum Feisternitz eine maximale Mächtigkeit von 2,3 m.

Im Vordersdorfer-Wernersdorfer Revier kam ein bis ca. 5 m mächtiges, in einer NW-SE streichenden Mulde liegendes Flöz zum Abbau.

Im Wieser Revier, das vom Eibiswalder und Vordersdorfer Revier durch einen WNW-ESE streichenden Grundgebirgsrücken getrennt ist, liegt ein wechselhaft ausgebildetes Flöz, das örtlich Grundflözcharakter zeigte, i.a. aber wellig verformt im Nebengestein eingeschlagen war, vor (WEBER, L. & WEISS 1982).

Die Tektonik der Reviere ist einfach. Das Becken wird durch die Antiklinale des Burgstallrückens bei Wies in zwei Teile gegliedert. An der Südseite der Antiklinale liegt eine flache synklinale Lagerung von 6-9° im Felde der Charlotte-Marie-Grube vor, das bis 35° am Muldenrand bei Vordersdorf ansteigt.

Im Süden, am Beckenrand gegen das Radgebirge, liegt das Einfallen bei 15-30° und steigt in den Konglomeraten auf etwa 40° an. Außerdem ist an der Südseite des Burgstallkogels eine Verwerfung vorhanden, die die liegendsten Eibiswalder Schichten abschneidet; im Übrigen sind kaum Brüche entwickelt.

Im Bereich von Kalkgrub bis Brunn zeigt sich ein Konstantes Einfallen von 10° gegen N, das in den nördlichsten Bereichen in ein S-Fallen übergeht und so den Muldenbau deutlich macht (PETRASCHECK 1924). Die verschiedenen, aus diesem Bereich bekannten Flöze liegen in den Eibiswalder Schichten, die der Zeitspanne vom Ottmaning bis zum Karpat zugeordnet werden. NEBERT 1980 stellt in den Eibiswalder Schichten, zumindest im Bereich zwischen Sulm und Saggau, 4 verschiedene Sedimentationszyklen fest. Jeder dieser Zyklen besteht aus einer fluviatilen, einer limnisch-telmatischen sowie einer limnischen Phase. Bezeichnend sind die Korngrößenabnahme in vertikaler Richtung und die Stellung der Kohle in der limnisch-telmatischen Phase als integriertes Faziesglied. NEBERT 1980 bezeichnet die Zyklen als

- Wiener Sedimentationszyklus (jüngster Z.)
- Eibiswalder Sedimentationszyklus
- Habischägger Sedimentationszyklus
- Wuggäuer Sedimentationszyklus (ältester Z.)

Er charakterisiert die Faziesabfolge jedes einzelnen Zyklus wie folgt:

Jeder Zyklus beginnt mit einer länger anhaltenden terrestrisch-fluviatilen bzw. fluviatilen Phase, während welcher Blockschutt, Schotter und grob- bis mittalkörnige Sande zur Ablagerung gelangen. Es folgen sodann feinkörnige Sande und Tone, womit eine kurze fluviatil-limnische Phase typisiert werden kann, die in fazieller Hinsicht den Übergang zwischen fluviatiler und limnischer Phase herstellt. Während der nächstfolgenden limnisch-terrestrischen Phase wird organische Substanz als Ausgangsmaterial

für die Bildung von Kohle angehäuft. Eine mehr oder weniger abrupt einsetzende feinklastische Sedimentation, während welcher in der Regel Mergel oder Tegel abgelagert werden, unterbricht die Anhäufung von organischer Substanz und damit auch die Bildung von Kohle. In einem typischen Sedimentationszyklus wird die feinklastische Sedimentation schließlich von einer Kalkauscheidung abgelöst. Die feinklastischen Sedimente und die Präzipitationssedimente kennzeichnen eine rein limnische Phase."

Charakteristisch innerhalb dieser einzelnen Phasen ist das jeweils auftretende Schwermineralspektrum.

Ehemalige Abbaustellen im weststeirischen Glanzkohlenrevier:

| | |
|-------------------|-----------------------|
| Aibl 18 | Pölfing-Brunn 1,2,3,4 |
| Eibiswald 1 | St. Martin i.S. 19 |
| Großradl 2,3,9,12 | Sulmeck-Greith 8 |
| Limberg 2,4 | Wernersdorf 7,8 |
| Pitschgau 3,5 | Wies 3 |

3.1.1.1 Das Eibiswalder Revier

Unter diesem Begriff sind die stillgelegten Bergbaue Feisternitz, die Abbaue im Bereich des Eibiswalder Schlosses, die Schürfe und Stollen entlang der Ausbildungslinie Eibiswald-Feisternitz und die Kohlenausbisse von Feisternitz bis Unterheag zusammengefaßt.

Im Eibiswalder Revier liegt das Flöz in einer annähernd N-S-streichenden Mulde im Gebiet von Feisternitz. Das Flöz besteht aus drei Kohlenbänken und erreichte im Bergbau Feisternitz eine maximale Mächtigkeit von etwa 2,3 m; im Gebiet des Schlosses Eibiswald lokal von etwa 4 m. Nach Angaben von GEUTERBRÜCK 1980 ist das Gebiet des Bergbaues Feisternitz sowie der Bereich der südlichen Ausbisse ausgekohlt.

1953 wurde westlich des stillgelegten Bergbaues Feisternitz bauwürdige Kohle nachgewiesen, wurde aber nicht ausgebaut.

5.1.1.1.1 Die Schürfe der Zibiswalder Umgebung

Zu erwähnen sind der Bergbau Sternglegg, der Michael-Stollen, der Franz-Stollen, das Rudolf-Gesenk, der Gertrud-Stollen, der Edith-Bermann-Stollen, Feisternitz (Pichler), Aibl, Hörmendorf und der Josefi-Stollen.

Tab. 4: Bergbaustatistik Sternglegg. Tab. 5: Bergbaustatistik Aibl.
(GEUTEBRÜCK 1980)

| Jahr | Förderung (t) |
|------|---------------|
| 1927 | 151 |
| 1928 | 558 |
| 1929 | 420 |
| 1930 | 254 |
| 1931 | 245 |
| 1932 | 230 |
| 1947 | 165 |
| 1948 | 310 |
| 1949 | 340 |
| 1952 | 332 |
| 1954 | 141 |

| Jahr | Förderung (t) |
|------|---------------|
| 1926 | 38 |
| 1928 | 1 |
| 1929 | 100 |
| 1930 | 110 |
| 1931 | 283 |
| 1936 | 51 |
| 1937 | 67 |
| 1938 | 10 |
| 1939 | 31 |
| 1950 | 125 |
| 1955 | 1.502 |
| 1960 | 808 |
| 1981 | 5 |

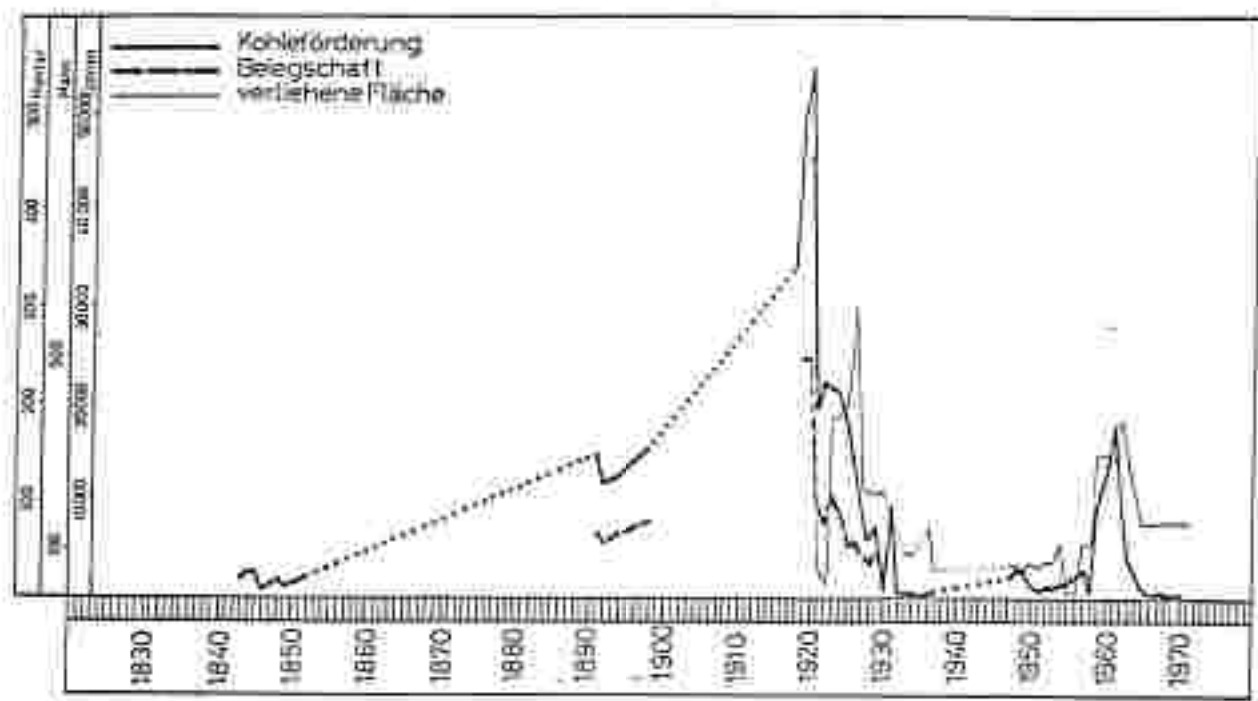
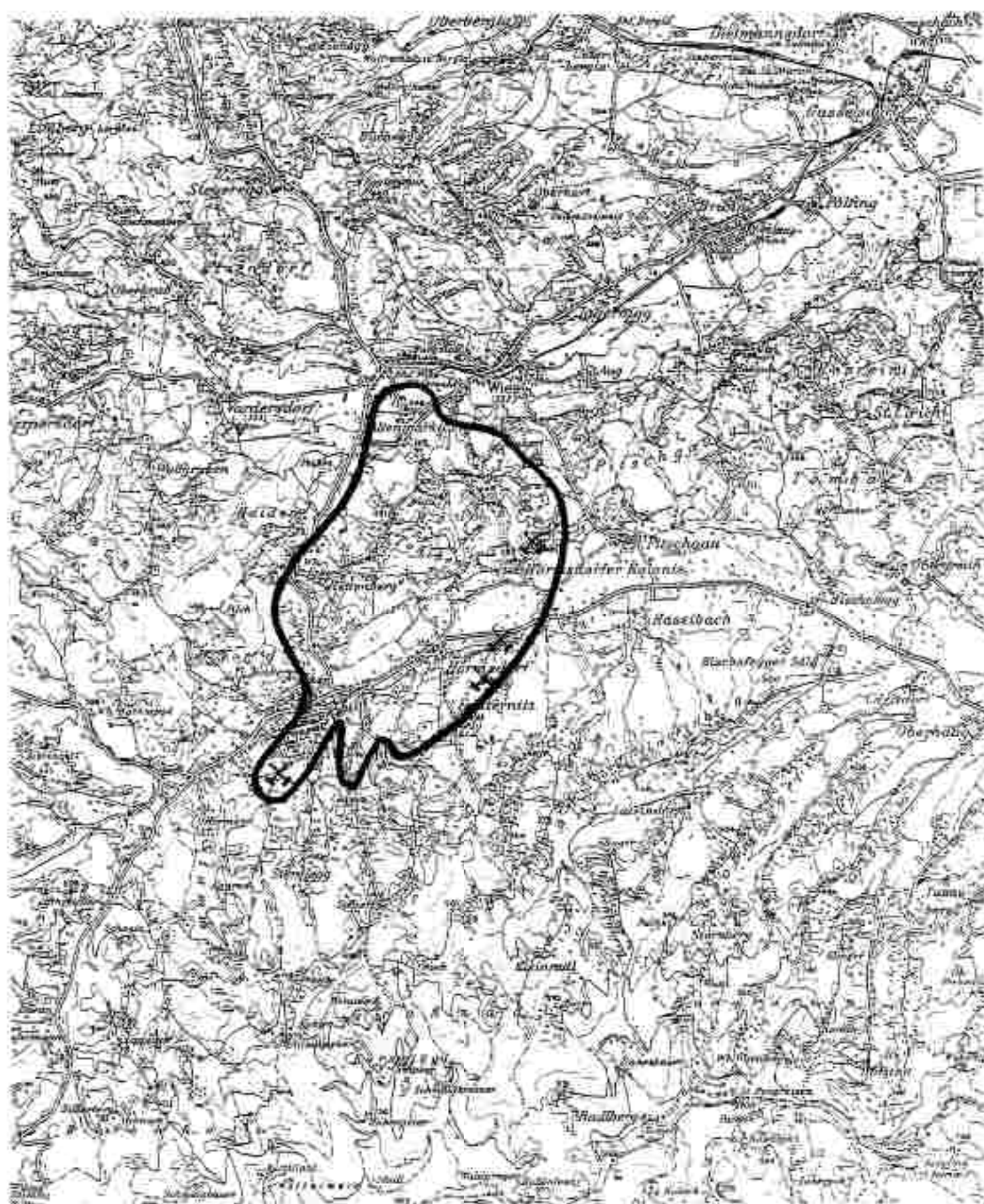


Abb. 6: Bergbaustatistik Eibiswald und Umgebung (GEUTERBRÜCK 1980).

Tab. 6: Bergbaustatistik Eibiswald und Umgebung (GEUTERBRÜCK 1980).

| Periodenende | Fläche in km² | Periodenende | Fläche in km² |
|--------------|---------------|--------------|---------------|
| 1830 | 100 | 1840 | 100 |
| 1850 | 100 | 1860 | 100 |
| 1870 | 100 | 1880 | 100 |
| 1890 | 100 | 1900 | 100 |
| 1910 | 100 | 1920 | 100 |
| 1930 | 100 | 1940 | 100 |
| 1950 | 100 | 1960 | 100 |
| 1970 | 100 | 1980 | 100 |



5.1.1.1.2 Eibiswald-Felsternitz

Hier wurde ursprünglich nur im südflügel der Mulde Abbau betrieben. Die Kohle wurde damals durch den Herma-Schacht (30 m) und den Laura-Schacht (123 m) erschlossen. Aus dem Einfallen des Flözes und Bohrungen wurde erkannt, daß das Muldentiefste etwa 850 m nördlich des Laura-Schachtes lag, wo auch 1903-1905 der Charlotte-Maria-Schacht (216 m) abgeteuft wurde. Im Jahre 1895 wurden 12.764 t und 1920 54.565 t Kohle gefördert. Das Flöz war im Bereich des Laura-Schachtes 1 m und im Charlotte-Maria-Schacht bis 2,2 m mächtig und wurde im Pfeilerbruchbau bzw. ab 1910 im Strebau abgebaut.

Tab. 7 : Bergbaustatistik Felsternitz (Laura-Herma-Charlotte Maria-Schacht und Hermabau), GEUTERBRUCK 1980.

| Jahr | Förderung (t) | Geschaft | Fläche (ha) |
|------|---------------|----------|-------------|
| 1887 | ~ 700 | *** | - |
| 1888 | 41.*** | *** | - |
| 1889 | 11.*** | *** | - |
| 1890 | 12.*** | *** | - |
| 1891 | 10.*** | *** | - |
| 1892 | 11.*** | *** | - |
| 1893 | 12.*** | *** | - |
| 1894 | 13.*** | *** | - |
| 1895 | 14.*** | *** | - |
| 1896 | 15.*** | *** | - |
| 1897 | 16.*** | *** | - |
| 1898 | 17.*** | *** | - |
| 1899 | 18.*** | *** | - |
| 1900 | 19.*** | *** | - |
| 1901 | 20.*** | *** | 4.*** |
| 1902 | 21.*** | *** | 4.*** |

Die Eibiswalder Kohle war eine harte Glanzkohle mit geringem Aschegehalt (~ 4 %), geringem Schwefel- (~ 1 %) und Wassergehalt (~ 15 %) und hohem Heizwert (5500-6000 kcal/kg) (siehe auch Tab. 5). Im allgemeinen können die Gebiete der alten Bergbaue im Raum Eibiswald als ausgekohlt angesehen werden, im Raum Börnsdorf laufen zur Zeit Untersuchungen (GEUTERBRUCK 1980).

Tab. 9: Immediatenanalysen der Kohle des Weststeirischen Glanzkohlereviers (GEUTEBRÜCK 1980).

| Probe | Wasser % | Asche % | C-fix % | fl. Best. % | S % | Gesamt % | Heizw.(U) kcal/kg |
|--------------------|-------------|------------|------------|----------------|--------|-------------|----------------------|
| <u>Eibiswald-</u> | | | | | | | |
| <u>Feisternith</u> | 13,07 | 7,87 | 53,40 | 24,86 | 0,8 | 100 | 5511 |
| | 10,70 | 3,50 | 54,59 | 20,36 | 0,75 | 100 | - |
| | 17,04 | 4,39 | 44,98 | zus. 33,0 | - | 100 | 5480 |
| | 17,64 | 3,88 | - | - | - | - | 5566 |

5.1.1.1.3 Stammeregg

Dieser kleine, aufgelassene Bergbau liegt etwa 4 km SSW von Eibiswald.

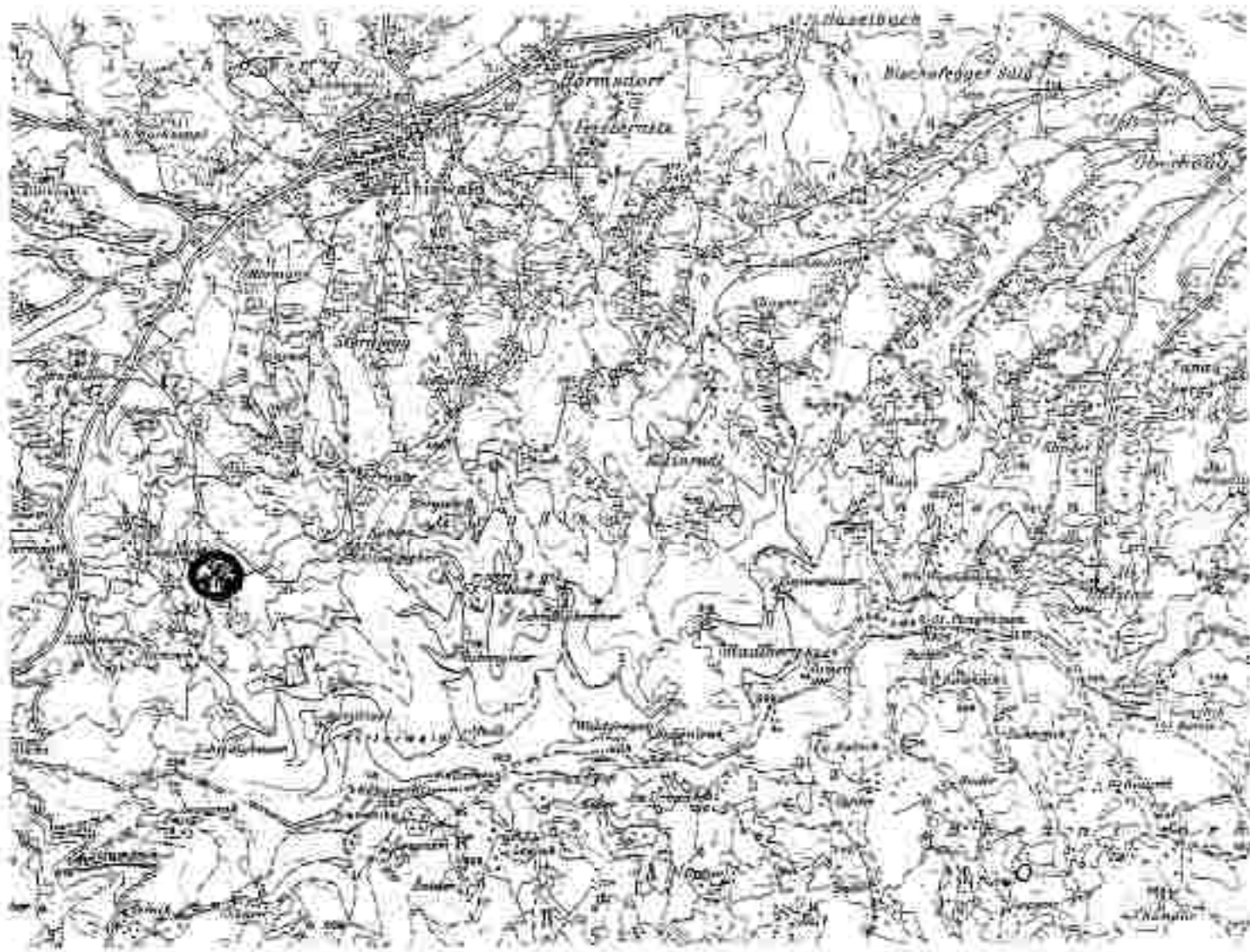


Abb. 8: Lage des Bergbaus Stammeregg (Ausschnitt aus der ÖK 50 206 Eibiswald).

Schurfarbeiten wurden vor allem zu Beginn dieses Jahrhunderts durchgeführt. Das Kohlevorkommen liegt in den Untereren Eibiswalder Schichten. Das Flöz streicht annähernd WSW-ENE und fällt mit 40-60° ein. Teilweise ist es durch taube Mittel in bis zu 14 Kohlenbänke gegliedert. Altersmäßig wird das Flöz in das Ottnang gestellt.

Es handelt sich um ein eingelagertes Flöz, die stärkste Kohlenbank hatte eine Mächtigkeit von 90 cm. Die Kohle war eine wasser- und aschearme Glanzkohle mit einem Heizwert von 6000 kcal/kg. Die sicheren, wahrscheinlichen und möglichen Vorräte werden mit 1.2 Mio. t Glanzkohle angegeben (DOUGLAS 1940).

Tab. 9 : Bergbaustatistik Sachholz-Stammeregg (GEUTEBRÜCK 1990).

| Jahr | Förderung (t) | Teileigenschaft | Fläche (ha) |
|------|---------------|-----------------|-------------|
| 1941 | *** | ** | |
| 1942 | *** | ** | |
| 1943 | *** | ** | **** |
| 1944 | *** | ** | ** |
| 1945 | | | **** |
| 1946 | ** | | 13:11 |
| 1947 | ** | | 13:11 |
| 1948 | ** | | 13:11 |

5.1.1.2 Das Vordersdorfer Revier

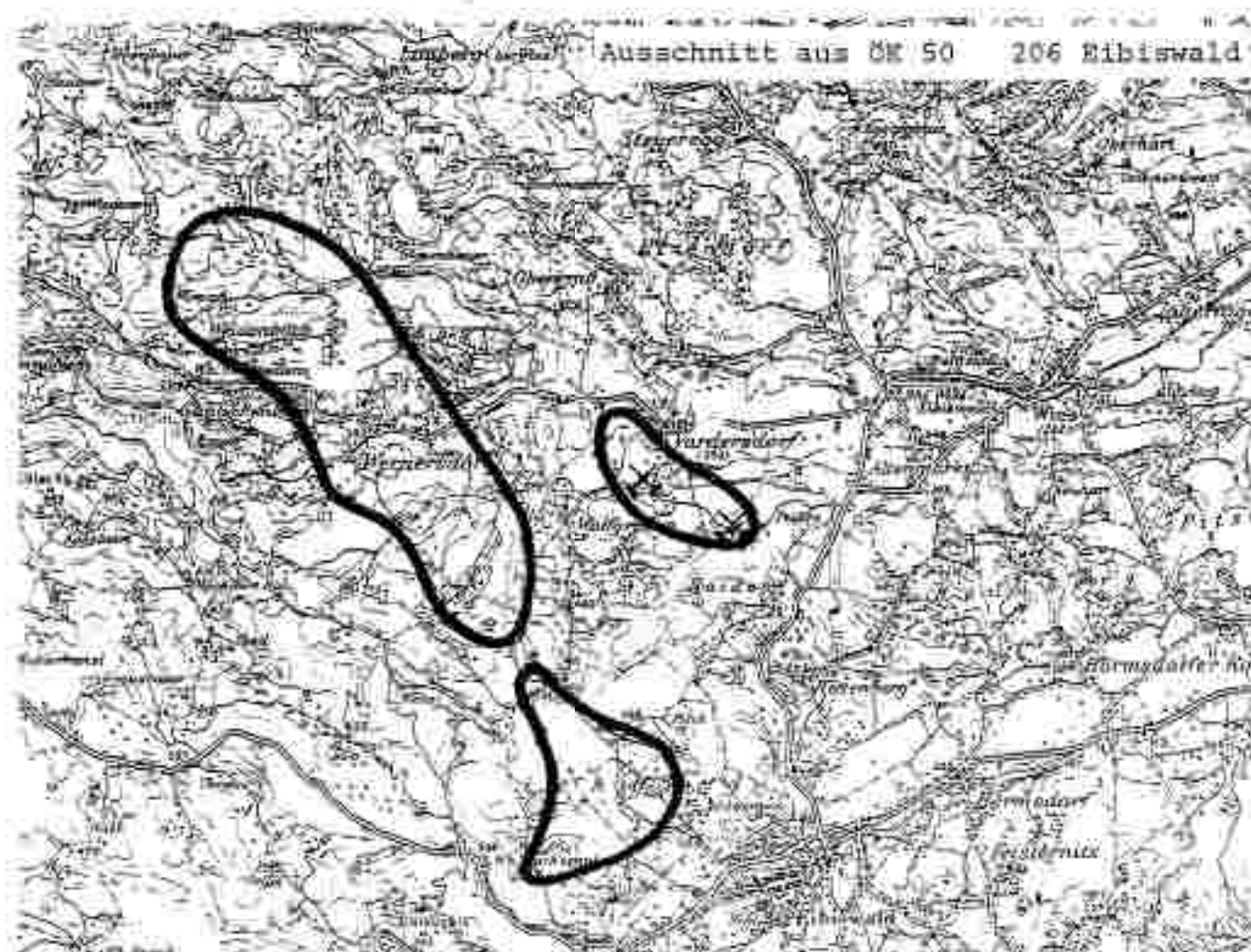


Abb. 9: Lage der Reviere von Vordersdorf, Aibl und Wernersdorf.

Unter der Bezeichnung Vordersdorfer Revier wird der ehemalige Bergbau Vordersdorf und die Schürfbäume Unterfresen-Weidenbach (Wernersdorf) zusammengefasst (GEUTERBRÜCK 1980).

5.1.1.2.1 Vordersdorf

Der Bergbau Vordersdorf liegt etwa 3 km westlich von Wies. Er geht auf die Mitte des vorigen Jahrhunderts zurück. Produktionsdaten liegen ab dem Jahr 1891 vor.

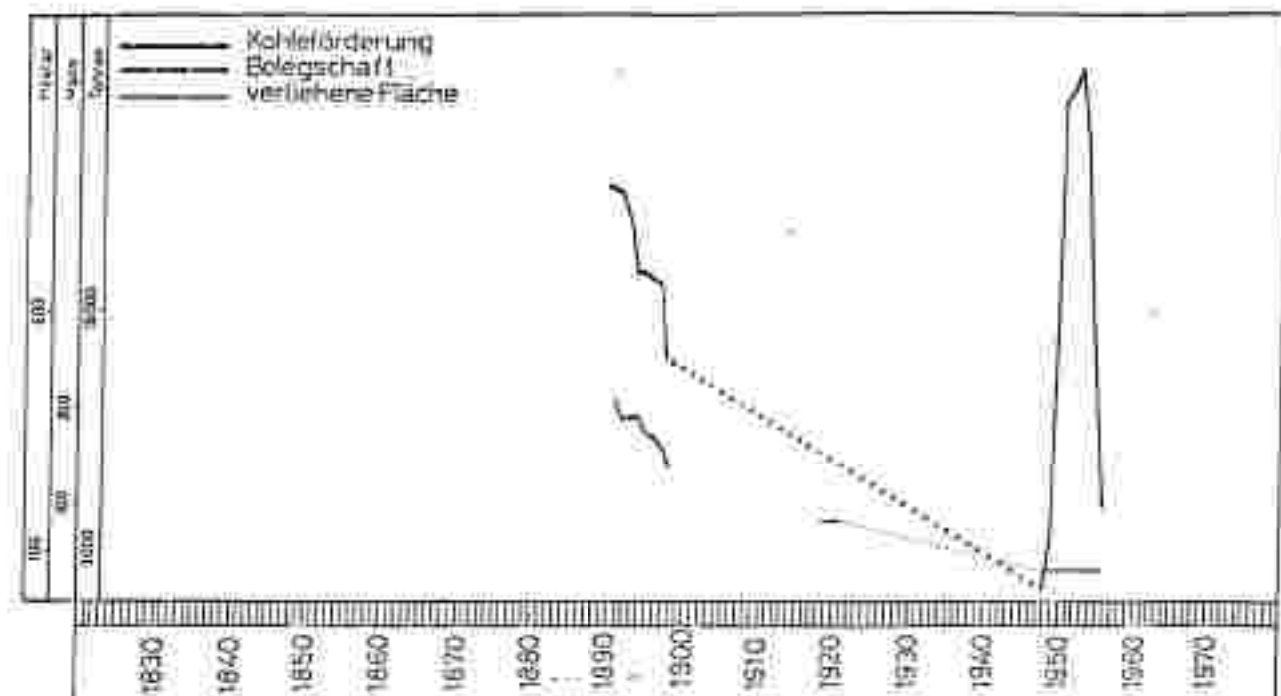
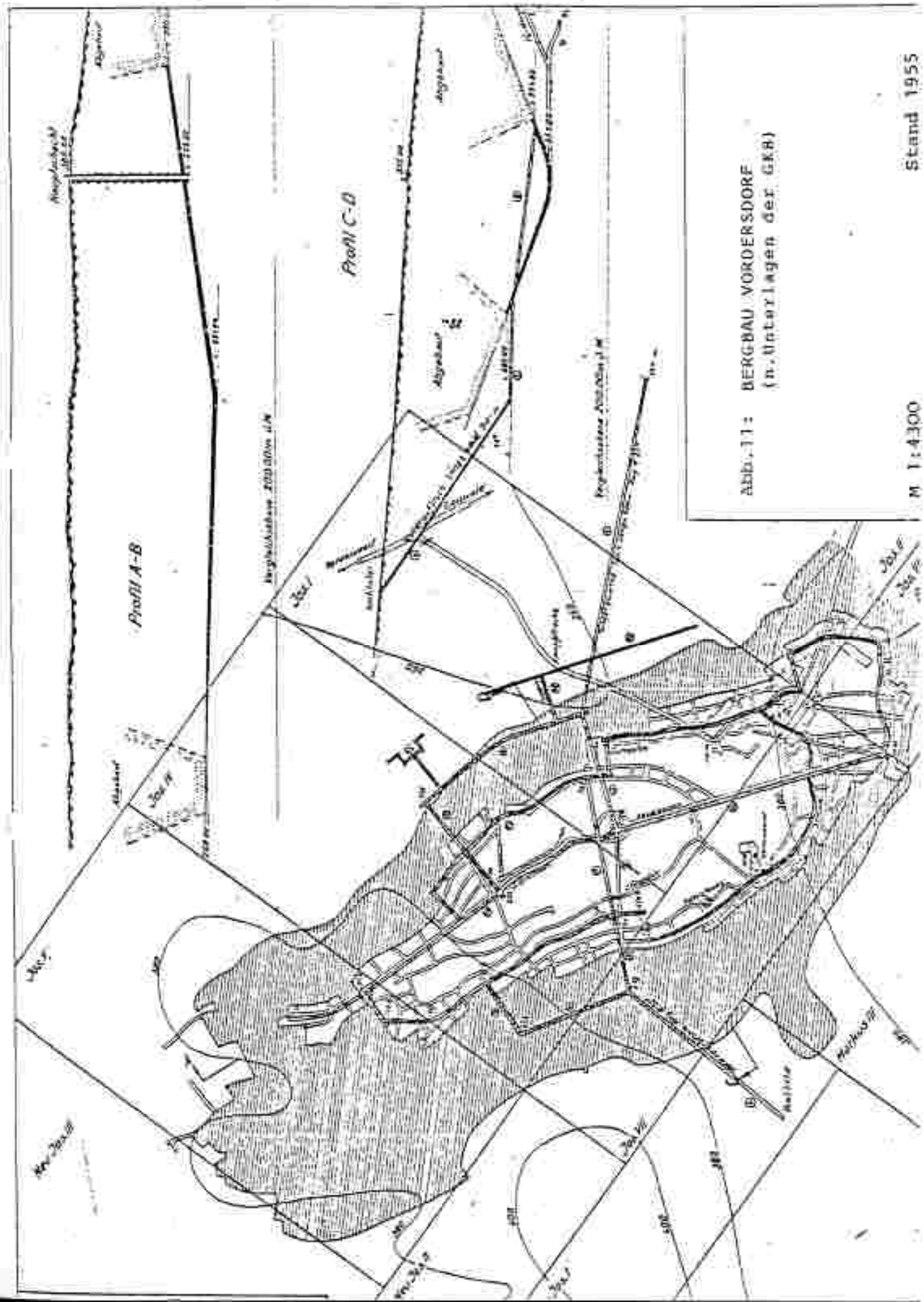


Abb. 10 : Bergbaustatistik Vordersdorf (GEUTERBRÜCK 1980).

Tab. 10 : Bergbaustatistik Vordersdorf (GEUTERBRÜCK 1980).

| Jahr | Förderung (t) | Belegschaft | Fläche (ha) |
|------|---------------|-------------|-------------|
| 1891 | 22.000 | 220 | |
| 1892 | 22.000 | 220 | |
| 1893 | 22.000 | 220 | |
| 1894 | 22.000 | 220 | |
| 1895 | 22.000 | 220 | |
| 1896 | 22.000 | 220 | |
| 1897 | 22.000 | 220 | |
| 1898 | 22.000 | 220 | |
| 1899 | 22.000 | 220 | |
| 1900 | 22.000 | 220 | |
| 1901 | 22.000 | 220 | |
| 1902 | 22.000 | 220 | |
| 1903 | 22.000 | 220 | |
| 1904 | 22.000 | 220 | |
| 1905 | 22.000 | 220 | |
| 1906 | 22.000 | 220 | |
| 1907 | 22.000 | 220 | |
| 1908 | 22.000 | 220 | |
| 1909 | 22.000 | 220 | |
| 1910 | 22.000 | 220 | |
| 1911 | 22.000 | 220 | |
| 1912 | 22.000 | 220 | |
| 1913 | 22.000 | 220 | |
| 1914 | 22.000 | 220 | |
| 1915 | 22.000 | 220 | |
| 1916 | 22.000 | 220 | |
| 1917 | 22.000 | 220 | |
| 1918 | 22.000 | 220 | |
| 1919 | 22.000 | 220 | |
| 1920 | 22.000 | 220 | |
| 1921 | 22.000 | 220 | |
| 1922 | 22.000 | 220 | |
| 1923 | 22.000 | 220 | |
| 1924 | 22.000 | 220 | |
| 1925 | 22.000 | 220 | |
| 1926 | 22.000 | 220 | |
| 1927 | 22.000 | 220 | |
| 1928 | 22.000 | 220 | |
| 1929 | 22.000 | 220 | |
| 1930 | 22.000 | 220 | |
| 1931 | 22.000 | 220 | |
| 1932 | 22.000 | 220 | |
| 1933 | 22.000 | 220 | |
| 1934 | 22.000 | 220 | |
| 1935 | 22.000 | 220 | |
| 1936 | 22.000 | 220 | |
| 1937 | 22.000 | 220 | |
| 1938 | 22.000 | 220 | |
| 1939 | 22.000 | 220 | |
| 1940 | 22.000 | 220 | |
| 1941 | 22.000 | 220 | |
| 1942 | 22.000 | 220 | |
| 1943 | 22.000 | 220 | |
| 1944 | 22.000 | 220 | |
| 1945 | 22.000 | 220 | |
| 1946 | 22.000 | 220 | |
| 1947 | 22.000 | 220 | |
| 1948 | 22.000 | 220 | |
| 1949 | 22.000 | 220 | |
| 1950 | 22.000 | 220 | |
| 1951 | 22.000 | 220 | |
| 1952 | 22.000 | 220 | |
| 1953 | 22.000 | 220 | |
| 1954 | 22.000 | 220 | |
| 1955 | 22.000 | 220 | |
| 1956 | 22.000 | 220 | |
| 1957 | 22.000 | 220 | |
| 1958 | 22.000 | 220 | |
| 1959 | 22.000 | 220 | |
| 1960 | 22.000 | 220 | |
| 1961 | 22.000 | 220 | |
| 1962 | 22.000 | 220 | |
| 1963 | 22.000 | 220 | |
| 1964 | 22.000 | 220 | |
| 1965 | 22.000 | 220 | |
| 1966 | 22.000 | 220 | |
| 1967 | 22.000 | 220 | |
| 1968 | 22.000 | 220 | |
| 1969 | 22.000 | 220 | |
| 1970 | 22.000 | 220 | |



1898 erfolgte eine vorübergehende Stilllegung des Bergbaus, bedingt vor allem durch Grubenbrände. Dabei wurden zwei Restpfäler zurückgelassen, von denen der eine (Neu-Glück-Pfeiler) in den Jahren 1947-1956 größtenteils ausgebaut wurde.

Eine Beschränkung hinsichtlich eines eventuell geplanten Abbaus des sogenannten "Glashütten-Pfeilers" dürfte durch den Verlauf der Trans-Austria-Gasleitung am Rande des alten Abbau-Gebietes (Josef-Grubenmaß) erfolgen.

Im Raum Vordersdorf bildet das kohleführende Tertiär eine NW-SE-streichende Mulde, wobei das Flöz im NW mit 8-10°, im NE mit 10-20°, im SE und SW mit 10-35° einfallit.

Die Kohle erreichte eine maximale Mächtigkeit von ca. 5 m und war durch taube Mittel in zwei bis drei Bänke unterteilt. Die Überlagerung betrug kaum mehr als 100 m.

Stellenweise liegt das Flöz nahe am Grundgebirge. Auf Grund zahlreicher Funde von Säugetiarresten wird die Kohle dem Karpat zugeschrieben. Die Kohle von Vordersdorf ist eine harte Glanzkohle mit geringem Wasser-, Asche- und Schwefelgehalt und einem unteren Heizwert von 5521 kcal/kg (siehe Tab. 10).

Tab. 11: Immediatanalysen der Kohle des Weststeirischen Glanzkohlereviers (GEUTEBRÜCK 1980).

| Probe | Wasser % | Asche % | C-fix % | fl. Best. % | S % | Gesamt % | Heizw.(U) kcal/kg |
|-------------|-------------|------------|------------|----------------|--------|-------------|----------------------|
| Vordersdorf | 11,90 | 5,7 | - | - | 0,65 | - | 5640 |
| | 13,55 | 2,85 | 62,13 | 20,5 | 0,87 | 100 | 5521 |

5.1.1.2.2 Unterfresen-Wernersdorf

Die Vorkommen liegen im Raum von Pörbach und Wernersdorf NW von Eibiswald in einer weit in das Grundgebirge reichenden Bucht (siehe Abb. 9).

Es wurden vor allem in der zweiten Hälfte des vorigen Jahrhunderts, nach dem Ersten und dem Zweiten Weltkrieg abgebaut. 1961 wurde die letzte Abbautätigkeit eingestellt.

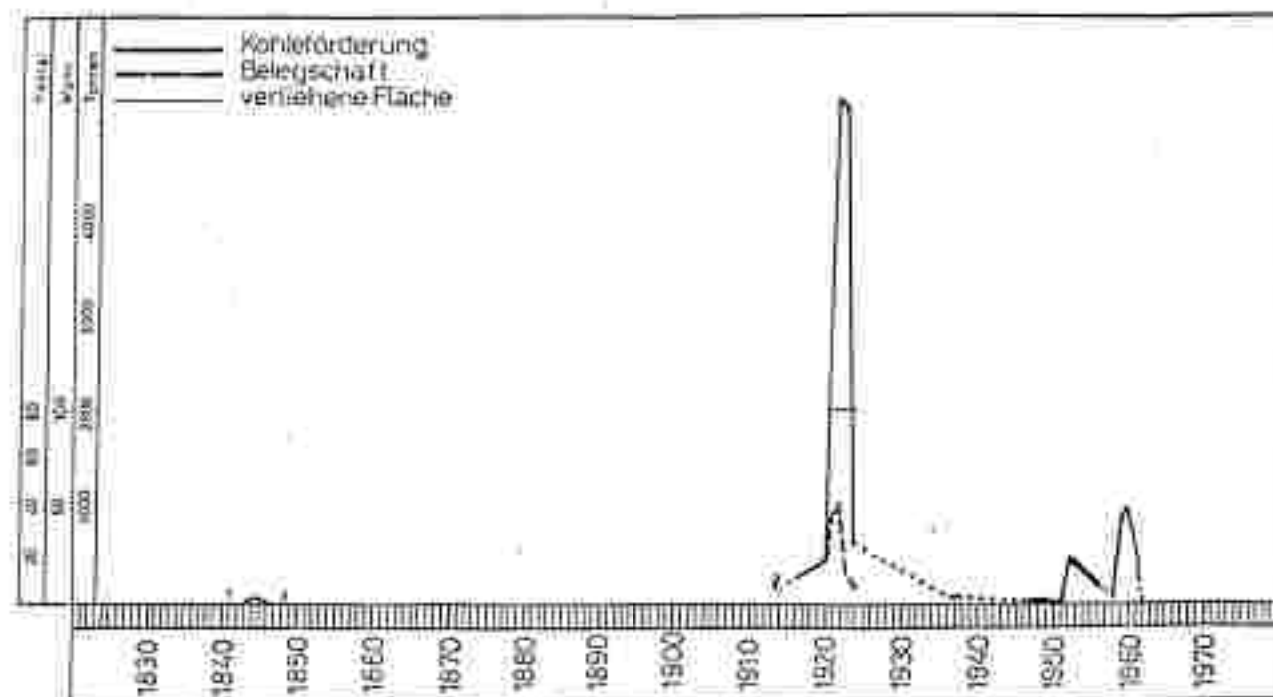


Abb. 12: Bergbaustatistik Unterfresen-Wernersdorf (GEVTEBRÜCK 1980).

Das Unterfresener Flöz liegt in einer schmalen flachen Mulde in der Nähe des Grundgebirges nördlich des Meaniitzbaches in der Wernersdorfer Bucht. Das Streichen der Mulde verläuft annähernd N-S. Das Flöz erreichte Mächtigkeiten bis 1,5 m und war durch taube Zwischenmittel in drei Bänke gegliedert.

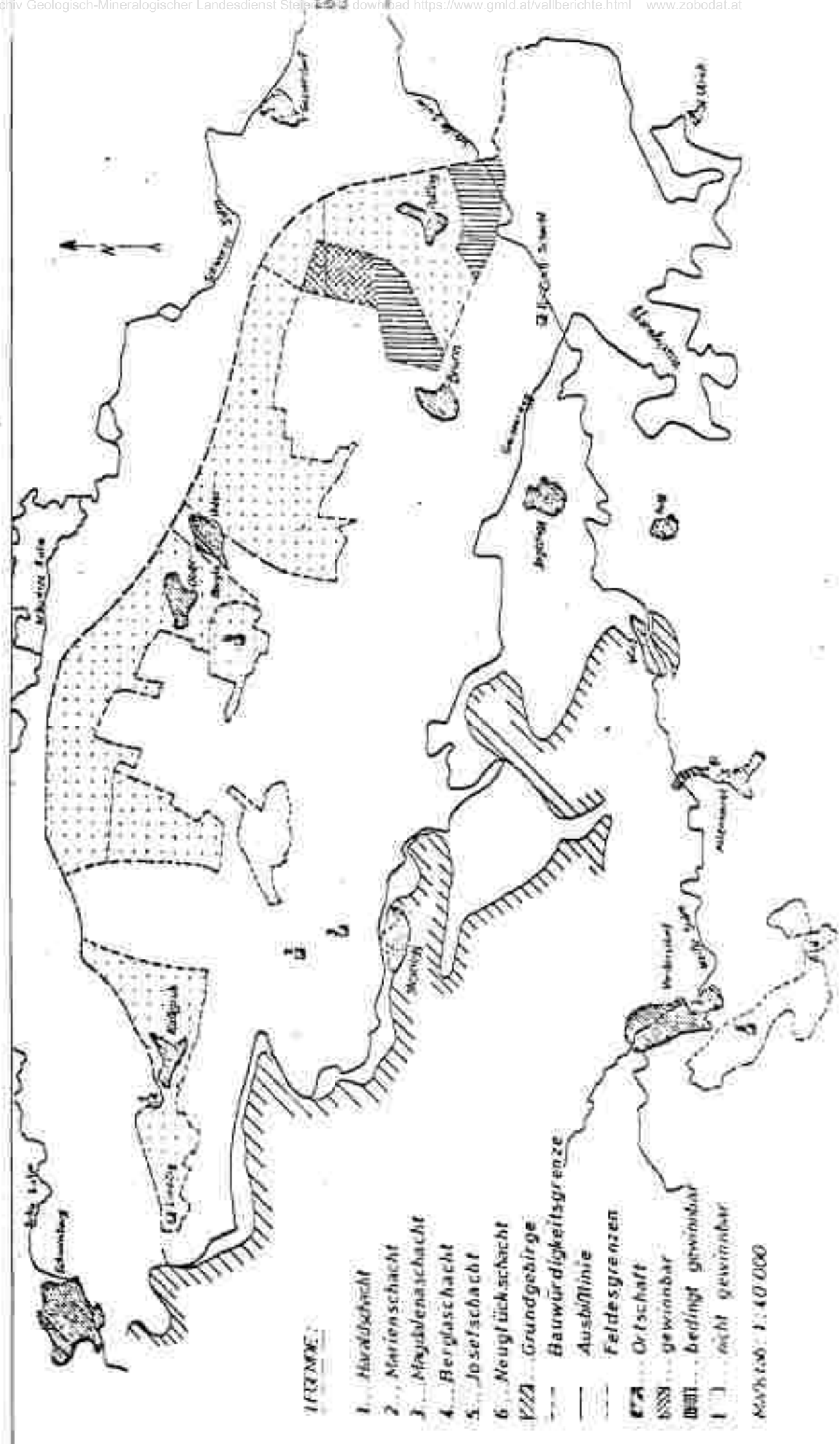
Tab.12: Bergbaustatistik Unterfrasen-Wernersdorf (GEUTEBRÜCK 1980).

| Jahr | Förderung (t) | Ergebnis | Förderung (t) |
|------|---------------|----------|---------------|
| 1920 | + | | |
| 1921 | - | | |
| 1922 | ++ | | |
| 1923 | +++ | ++ | +++ |
| 1924 | ++ | ++ | ++ |
| 1925 | +++ | ++ | +++ |
| 1926 | ++ | ++ | ++ |
| 1927 | ++ | | |
| 1928 | ++ | | |
| 1929 | ++ | | |
| 1930 | ++ | | |
| 1931 | ++ | | |
| 1932 | ++ | | |
| 1933 | ++ | | |
| 1934 | ++ | | |
| 1935 | ++ | | |
| 1936 | ++ | | |
| 1937 | ++ | | |
| 1938 | ++ | | |
| 1939 | ++ | | |
| 1940 | ++ | | |
| 1941 | ++ | | |
| 1942 | ++ | | |
| 1943 | ++ | | |
| 1944 | ++ | | |
| 1945 | ++ | | |
| 1946 | ++ | | |
| 1947 | ++ | | |
| 1948 | ++ | | |
| 1949 | ++ | | |
| 1950 | ++ | | |
| 1951 | ++ | | |
| 1952 | ++ | | |
| 1953 | ++ | | |
| 1954 | ++ | | |
| 1955 | ++ | | |
| 1956 | ++ | | |
| 1957 | ++ | | |
| 1958 | ++ | | |
| 1959 | ++ | | |
| 1960 | ++ | | |
| 1961 | ++ | | |
| 1962 | ++ | | |
| 1963 | ++ | | |
| 1964 | ++ | | |
| 1965 | ++ | | |
| 1966 | ++ | | |
| 1967 | ++ | | |
| 1968 | ++ | | |
| 1969 | ++ | | |
| 1970 | ++ | | |
| 1971 | ++ | | |
| 1972 | ++ | | |
| 1973 | ++ | | |
| 1974 | ++ | | |
| 1975 | ++ | | |
| 1976 | ++ | | |
| 1977 | ++ | | |
| 1978 | ++ | | |
| 1979 | ++ | | |
| 1980 | ++ | | |

5.1.1.3 Das Wieser Revier

Unter der Bezeichnung Wieser Revier wurden die Bergbau auf das Wieser Flöz, und zwar Pölfling-Bergle, Steyregg, Kalkgrub, Limberg, Schwanberg, Schöneck, St.Ulrich, Tombach und eine Reihe anderer kleiner Schurfbetriebe zusammengefaßt. Die Lage der Abbaue ist aus Abb. 13 ersichtlich.

Abb. 13 : Die Bergbau des Rieser-Reviers (n. Unterlagen der GKB, Stand 1975).



5.1.1.3.1 Pölfling-Bergla



Abb. 14: Lage des Bergbaus Pölfling-Bergla (Ausschnitt aus der ÖK 50 , 206 Eibiswald).

Das Wieser Flözniveau wird als Hangendgrenze der Mittleren Eibiswalder Schichten angenommen und in das Karpat gestellt (FLÜGEL & HERITSCH 1968).

Die Sedimente fallen im Bereich des Bergbaus Bergla mit 3-6° gegen NE ein, die Überlagerung beträgt etwa 160 m.

Im Bergbau Pölfling-Bergla wurde ein etwa 1,3 m mächtiges Flöz wasser-, asche- und schwefelarmer Glanzbraunkohle mit einem Heizwert von 4000-5000 kcal/kg abgebaut.

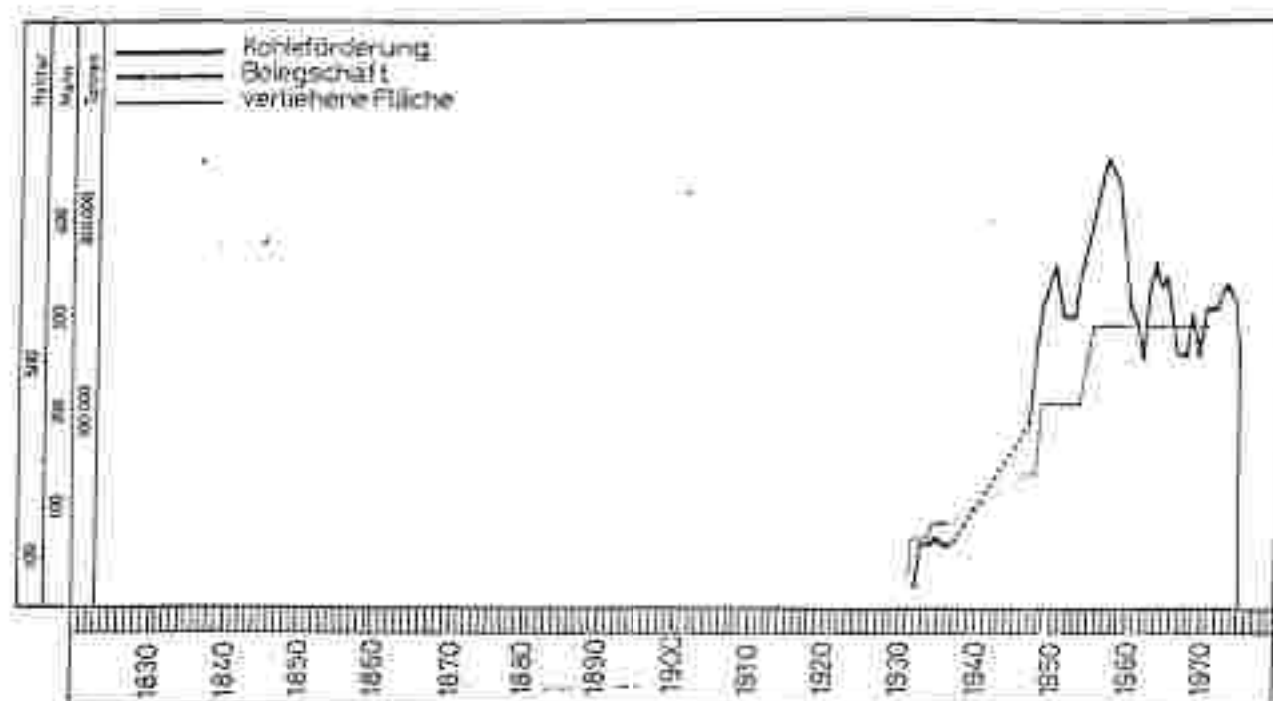


Abb. 15 : Bergbaustatistik Pölfling-Bergla (GEUTEBRÜCK 1980).

Tab. 13: Bergbaustatistik Pölfling-Bergla (GEUTEBRÜCK 1980).

| Jahr | Röhrförderung (t) | Bergbaugeschäft | Fläche (ha) |
|------|-------------------|-----------------|-------------|
| 1930 | 0 | 0 | 0 |
| 1935 | 0 | 0 | 0 |
| 1940 | 0 | 0 | 0 |
| 1945 | 0 | 0 | 0 |
| 1950 | 0 | 0 | 0 |
| 1955 | 0 | 0 | 0 |
| 1960 | 0 | 0 | 0 |
| 1965 | 0 | 0 | 0 |
| 1970 | 0 | 0 | 0 |
| 1975 | 0 | 0 | 0 |
| 1980 | 0 | 0 | 0 |
| 1985 | 0 | 0 | 0 |
| 1990 | 0 | 0 | 0 |
| 1995 | 0 | 0 | 0 |
| 2000 | 0 | 0 | 0 |
| 2005 | 0 | 0 | 0 |
| 2010 | 0 | 0 | 0 |
| 2015 | 0 | 0 | 0 |
| 2020 | 0 | 0 | 0 |
| 2025 | 0 | 0 | 0 |
| 2030 | 0 | 0 | 0 |
| 2035 | 0 | 0 | 0 |
| 2040 | 0 | 0 | 0 |
| 2045 | 0 | 0 | 0 |
| 2050 | 0 | 0 | 0 |
| 2055 | 0 | 0 | 0 |
| 2060 | 0 | 0 | 0 |
| 2065 | 0 | 0 | 0 |
| 2070 | 0 | 0 | 0 |
| 2075 | 0 | 0 | 0 |
| 2080 | 0 | 0 | 0 |
| 2085 | 0 | 0 | 0 |
| 2090 | 0 | 0 | 0 |
| 2095 | 0 | 0 | 0 |
| 2100 | 0 | 0 | 0 |

Nach Angaben der GKB (Stand 1975) sind in diesem Bereich 164.000 t gewinnbare und 646.000 t bedingt gewinnbare Kohlesubstanz enthalten, deren Gewinnbarkeit jedoch durch den Verlauf der Trans-Austria-Gasleitung stark beeinträchtigt werden könnte.

www.scholarship.org

Der ehemalige Bergbau Steveregg liegt NW von Wies;



Abb. 16: Lage des Bergbaues Steyerlegg (Ausschnitt aus der MR 50, 206 Bibiswald).

In diesem Bereich lag das Wieser Flöz als Grundflöz vor, das etwa 1-2 m mächtig war, aber viele taube Einlagerungen enthielt und dadurch vor allem im Steyregger Ostfeld unbauwürdig war. Die größte Mächtigkeit erreichte das Flöz im Bereich des Josef I-Schachtes mit 5,7 m (mit taubem Mitteln, rein = 3,6 m). Nach Angaben von GEUTERBRUCK 1980 ist das Wieser Flöz im Bereich von Steyregg völlig ausgebaut.

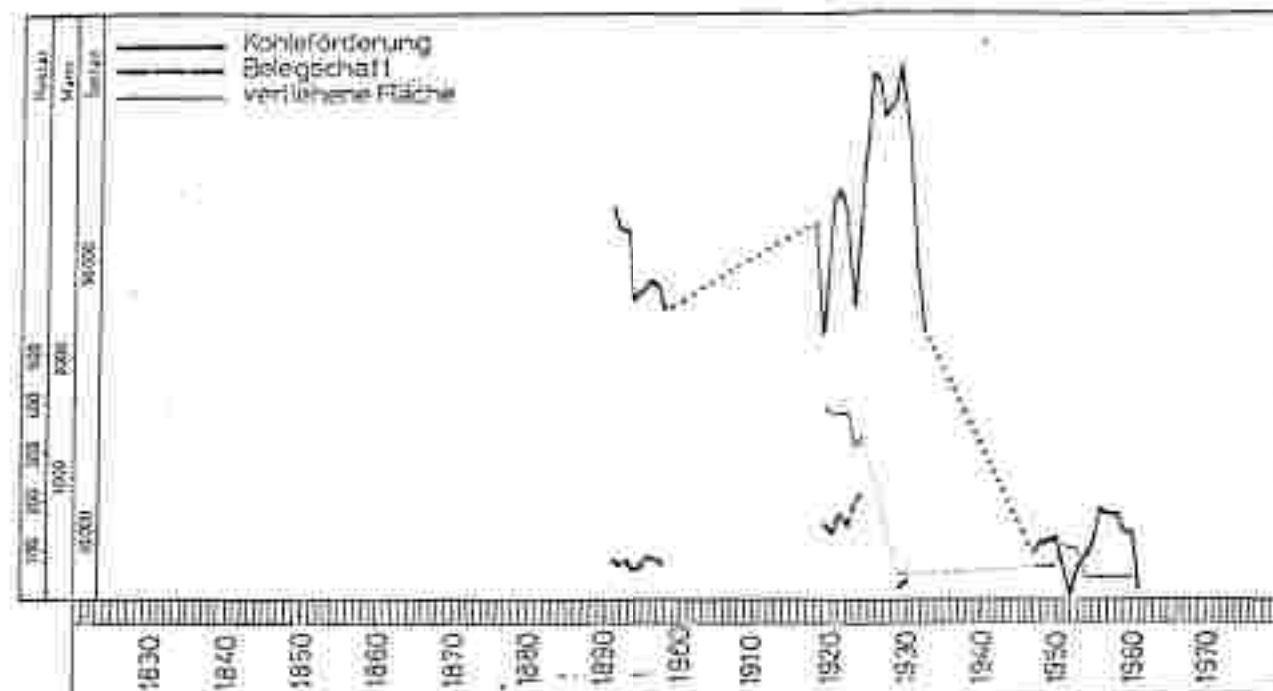


Abb. 17 : Bergbaustatistik Steyregg (Gregoristollen) (GEUTERBRÜCK 1980).

Tab. 14 : Bergbaustatistik Steyregg (GEUTERBRÜCK 1980).

| Jahr | Förderung (t) | Belegschaft | Fläche (ha) |
|------|---------------|-------------|-------------|
| 1831 | 50 000 | 200 | |
| 1832 | 51 000 | 200 | |
| 1833 | 52 000 | 200 | |
| 1834 | 53 000 | 200 | |
| 1835 | 54 000 | 200 | |
| 1836 | 55 000 | 200 | |
| 1837 | 56 000 | 200 | |
| 1838 | 57 000 | 200 | |
| 1839 | 58 000 | 200 | |
| 1840 | 59 000 | 200 | |
| 1841 | 60 000 | 200 | |
| 1842 | 61 000 | 200 | |
| 1843 | 62 000 | 200 | |
| 1844 | 63 000 | 200 | |
| 1845 | 64 000 | 200 | |
| 1846 | 65 000 | 200 | |
| 1847 | 66 000 | 200 | |
| 1848 | 67 000 | 200 | |
| 1849 | 68 000 | 200 | |
| 1850 | 69 000 | 200 | |
| 1851 | 70 000 | 200 | |
| 1852 | 71 000 | 200 | |
| 1853 | 72 000 | 200 | |
| 1854 | 73 000 | 200 | |
| 1855 | 74 000 | 200 | |
| 1856 | 75 000 | 200 | |
| 1857 | 76 000 | 200 | |
| 1858 | 77 000 | 200 | |
| 1859 | 78 000 | 200 | |
| 1860 | 79 000 | 200 | |
| 1861 | 80 000 | 200 | |
| 1862 | 81 000 | 200 | |
| 1863 | 82 000 | 200 | |
| 1864 | 83 000 | 200 | |
| 1865 | 84 000 | 200 | |
| 1866 | 85 000 | 200 | |
| 1867 | 86 000 | 200 | |
| 1868 | 87 000 | 200 | |
| 1869 | 88 000 | 200 | |
| 1870 | 89 000 | 200 | |
| 1871 | 90 000 | 200 | |
| 1872 | 91 000 | 200 | |
| 1873 | 92 000 | 200 | |
| 1874 | 93 000 | 200 | |
| 1875 | 94 000 | 200 | |
| 1876 | 95 000 | 200 | |
| 1877 | 96 000 | 200 | |
| 1878 | 97 000 | 200 | |
| 1879 | 98 000 | 200 | |
| 1880 | 99 000 | 200 | |
| 1881 | 100 000 | 200 | |
| 1882 | 101 000 | 200 | |
| 1883 | 102 000 | 200 | |
| 1884 | 103 000 | 200 | |
| 1885 | 104 000 | 200 | |
| 1886 | 105 000 | 200 | |
| 1887 | 106 000 | 200 | |
| 1888 | 107 000 | 200 | |
| 1889 | 108 000 | 200 | |
| 1890 | 109 000 | 200 | |
| 1891 | 110 000 | 200 | |
| 1892 | 111 000 | 200 | |
| 1893 | 112 000 | 200 | |
| 1894 | 113 000 | 200 | |
| 1895 | 114 000 | 200 | |
| 1896 | 115 000 | 200 | |
| 1897 | 116 000 | 200 | |
| 1898 | 117 000 | 200 | |
| 1899 | 118 000 | 200 | |
| 1900 | 119 000 | 200 | |
| 1901 | 120 000 | 200 | |
| 1902 | 121 000 | 200 | |
| 1903 | 122 000 | 200 | |
| 1904 | 123 000 | 200 | |
| 1905 | 124 000 | 200 | |
| 1906 | 125 000 | 200 | |
| 1907 | 126 000 | 200 | |
| 1908 | 127 000 | 200 | |
| 1909 | 128 000 | 200 | |
| 1910 | 129 000 | 200 | |
| 1911 | 130 000 | 200 | |
| 1912 | 131 000 | 200 | |
| 1913 | 132 000 | 200 | |
| 1914 | 133 000 | 200 | |
| 1915 | 134 000 | 200 | |
| 1916 | 135 000 | 200 | |
| 1917 | 136 000 | 200 | |
| 1918 | 137 000 | 200 | |
| 1919 | 138 000 | 200 | |
| 1920 | 139 000 | 200 | |
| 1921 | 140 000 | 200 | |
| 1922 | 141 000 | 200 | |
| 1923 | 142 000 | 200 | |
| 1924 | 143 000 | 200 | |
| 1925 | 144 000 | 200 | |
| 1926 | 145 000 | 200 | |
| 1927 | 146 000 | 200 | |
| 1928 | 147 000 | 200 | |
| 1929 | 148 000 | 200 | |
| 1930 | 149 000 | 200 | |
| 1931 | 150 000 | 200 | |
| 1932 | 151 000 | 200 | |
| 1933 | 152 000 | 200 | |
| 1934 | 153 000 | 200 | |
| 1935 | 154 000 | 200 | |
| 1936 | 155 000 | 200 | |
| 1937 | 156 000 | 200 | |
| 1938 | 157 000 | 200 | |
| 1939 | 158 000 | 200 | |
| 1940 | 159 000 | 200 | |
| 1941 | 160 000 | 200 | |
| 1942 | 161 000 | 200 | |
| 1943 | 162 000 | 200 | |
| 1944 | 163 000 | 200 | |
| 1945 | 164 000 | 200 | |
| 1946 | 165 000 | 200 | |
| 1947 | 166 000 | 200 | |
| 1948 | 167 000 | 200 | |
| 1949 | 168 000 | 200 | |
| 1950 | 169 000 | 200 | |
| 1951 | 170 000 | 200 | |
| 1952 | 171 000 | 200 | |
| 1953 | 172 000 | 200 | |
| 1954 | 173 000 | 200 | |
| 1955 | 174 000 | 200 | |
| 1956 | 175 000 | 200 | |
| 1957 | 176 000 | 200 | |
| 1958 | 177 000 | 200 | |
| 1959 | 178 000 | 200 | |
| 1960 | 179 000 | 200 | |
| 1961 | 180 000 | 200 | |
| 1962 | 181 000 | 200 | |
| 1963 | 182 000 | 200 | |
| 1964 | 183 000 | 200 | |
| 1965 | 184 000 | 200 | |
| 1966 | 185 000 | 200 | |
| 1967 | 186 000 | 200 | |
| 1968 | 187 000 | 200 | |
| 1969 | 188 000 | 200 | |
| 1970 | 189 000 | 200 | |

5.1.1.3.3 Kalkgrub-Limberg

Die ehemaligen Bergbaue liegen S-SE von Schwanberg.



Abb. 18: Lage der Bergbau von Kalkgrub-Limberg (Ausschnitt aus der CK 50 285 Eibiswald).

Die kohleführenden Sedimente streichen im Bereich von Kalkgrub annähernd E-W und fallen in Grundgebirgsnähe mit etwa 40° nach N ein (GEUTERBRUCK 1980).

Das Flöz hat eine Mächtigkeit von 0,9 - 3,2 m erreicht, ist aber durch sandig-tonige Zwischenmittel in mehrere Kohlenbanke gegliedert.

Tab. 15: Immediatanalysen der Kohle des Weststeirischen Glanzkohlersviers (GEUTERBRUCK 1980).

| Probe | Wasser % | Asche % | C-fix % | fl. Best. % | S % | Gesamt % | Heizw.(U) kcal/kg |
|----------|-------------|------------|------------|----------------|--------|-------------|----------------------|
| Kalkgrub | | | | | | | |
| Stück | 21,46 | 5,89 | 53,79 | 17,25 | 1,61 | 100 | 4911 |
| Muß | 10,74 | 13,76 | 43,35 | 15,53 | 3,32 | 100 | 4242 |
| | 16,0 | 4,7 | - | - | 0,93 | - | 4830 |
| Limberg | -18,0 | -15,0 | - | - | -2,1 | - | 5200 |

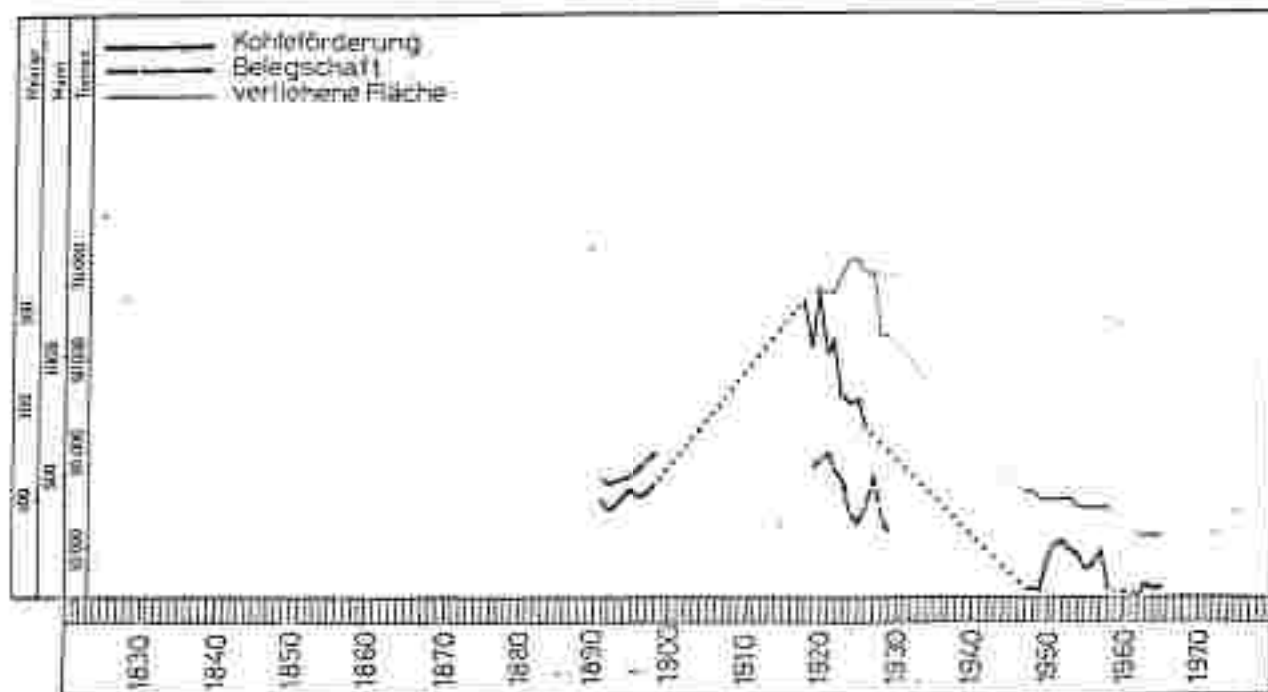


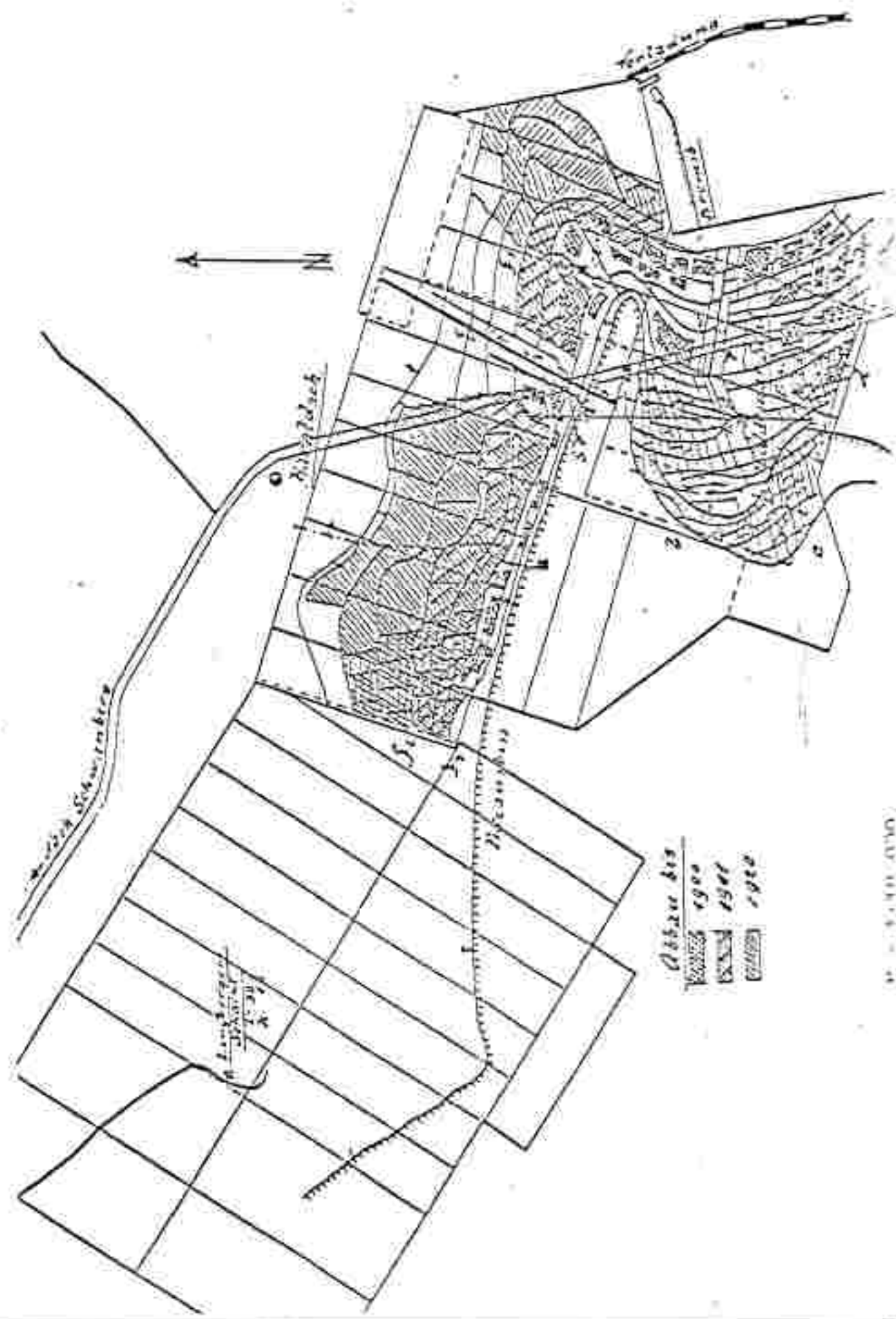
Abb. 19: Bergbaustatistik Kalkgrub-Limberg (GEUTEBRÜCK 1980).

Tab. 16: Bergbaustatistik Kalkgrub-Limberg (GEUTEBRÜCK 1980).

| Jahr | Förderung (t) | Belegschaft | Fläche (ha) |
|------|---------------|-------------|-------------|
| 1930 | 10.000 | 100 | 0.0 |
| 1931 | 17.000 | 150 | 0.0 |
| 1932 | 17.000 | 150 | 0.0 |
| 1933 | 18.000 | 150 | 0.0 |
| 1934 | 18.000 | 150 | 0.0 |
| 1935 | 17.000 | 150 | 0.0 |
| 1936 | 18.000 | 150 | 0.0 |
| 1937 | 22.000 | 150 | 0.0 |
| 1938 | 22.000 | 150 | 0.0 |
| 1939 | 23.000 | 150 | 0.0 |
| 1940 | 23.000 | 150 | 0.0 |
| 1941 | 23.000 | 150 | 0.0 |
| 1942 | 23.000 | 150 | 0.0 |
| 1943 | 23.000 | 150 | 0.0 |
| 1944 | 23.000 | 150 | 0.0 |
| 1945 | 23.000 | 150 | 0.0 |
| 1946 | 23.000 | 150 | 0.0 |
| 1947 | 23.000 | 150 | 0.0 |
| 1948 | 23.000 | 150 | 0.0 |
| 1949 | 23.000 | 150 | 0.0 |
| 1950 | 23.000 | 150 | 0.0 |
| 1951 | 23.000 | 150 | 0.0 |
| 1952 | 23.000 | 150 | 0.0 |
| 1953 | 23.000 | 150 | 0.0 |
| 1954 | 23.000 | 150 | 0.0 |
| 1955 | 23.000 | 150 | 0.0 |
| 1956 | 23.000 | 150 | 0.0 |
| 1957 | 23.000 | 150 | 0.0 |
| 1958 | 23.000 | 150 | 0.0 |
| 1959 | 23.000 | 150 | 0.0 |
| 1960 | 23.000 | 150 | 0.0 |
| 1961 | 23.000 | 150 | 0.0 |
| 1962 | 23.000 | 150 | 0.0 |
| 1963 | 23.000 | 150 | 0.0 |
| 1964 | 23.000 | 150 | 0.0 |
| 1965 | 23.000 | 150 | 0.0 |

Das Restkohlevermögen im Bergbaubereich von Kalkgrub-Limberg wird von der GKB mit etwa 940.000 t, jedoch als nicht gewinnbar angegeben.

Abb. 26 : Übersichtskarte des Bergbaus Kalkgrub (n. HAVELKA 1923)



5.1.1.3.4 Schwanberg

Der Bergbau Schwanberg war der westlichste Betrieb im Nieder Revier.



Abb. 21: Lage des Bergbaues Schwanberg
(Ausschnitt aus ÖK 50,
169 Deutschlandsberg)
(nach PÖHL 1981)

Die geologischen und montangeologischen Verhältnisse dürften ähnlich denen im Bergbau Kalkgrub-Limberg gewesen sein. Die Flözdicke dürfte 0,5 m nicht überschritten haben (GEUTERBRÜCK 1980).

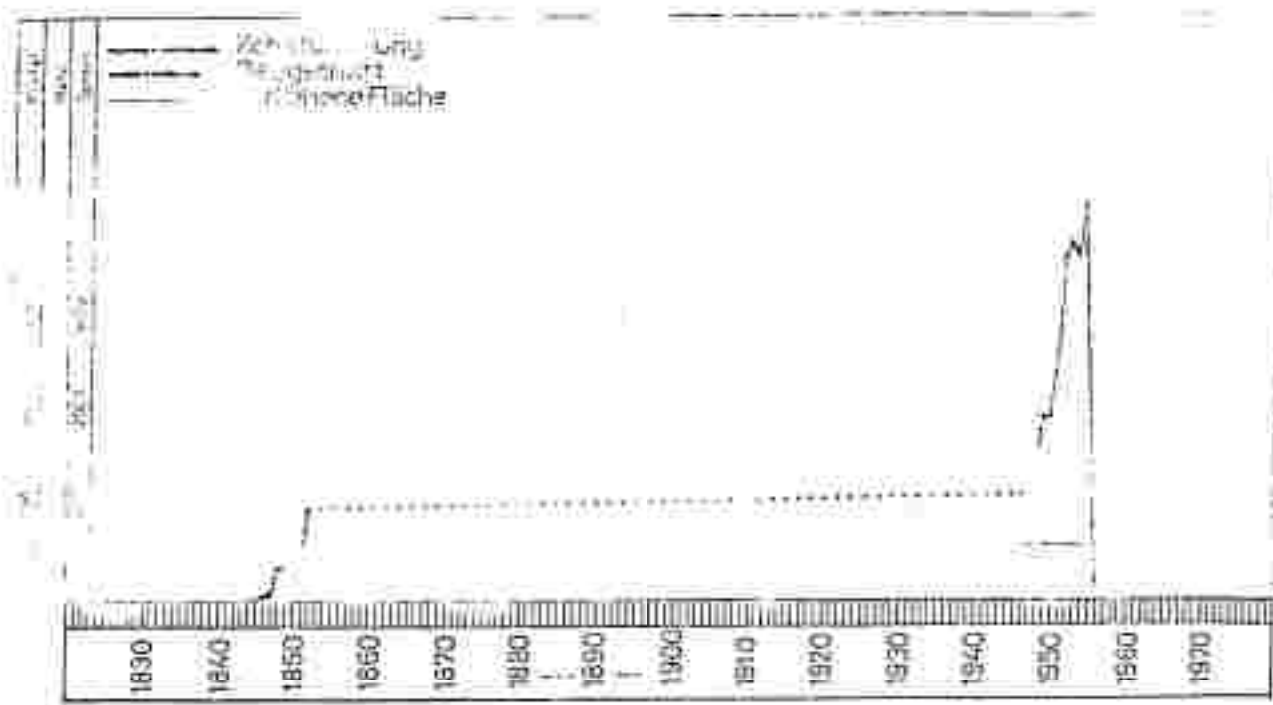


Abb. 22 : Bergbaustatistik Schwanberg (GEUTERBRÜCK 1980).

5.1.1.3.5 Aug-Schönegg

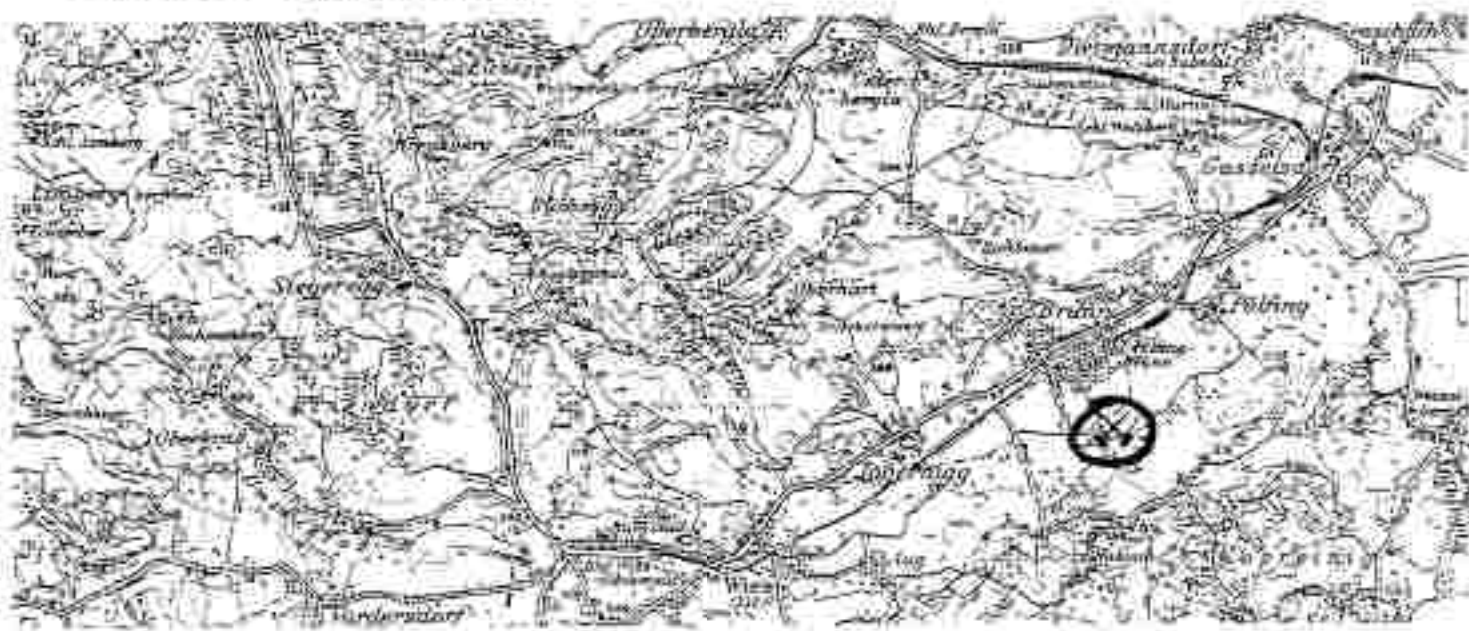


Abb. 23: Lage des Bergbaus Aug-Schönegg (Ausschnitt aus ÖK 50, 206 Sibiswald).

Der ehemalige Bergbau Aug-Schönegg lag südlich von Pölking (siehe Lageplan, Abb. 23).

Die kohleführenden Schichten fallen im Gebiet von Schönegg-Pitschgausgg-Tombach flach nach N ein. Das Flöz erreichte eine Mächtigkeit von etwa 0,7 m.



Abb. 24: Flözprofil Johannstollen
(Schönegg).
(HIESSELTNER 1926)



Abb. 25: Flöz Ludwigstollen
(Schönegg).
(HIESSELTNER 1926)

Tab. 17: Immediatanalysen der Kohle des Weststeirischen Glanzkohlerviere (GEUTEBRÜCK 1980).

| Probe | Wasser % | Asche % | C-fix % | fl. Best. % | S % | Gesamt % | Heizw.(U) kcal/kg |
|-----------------|-------------|------------|------------|----------------|--------|-------------|----------------------|
| <u>Schönegg</u> | 18,53 | 5,17 | - | - | 2,27 | - | 5461 |

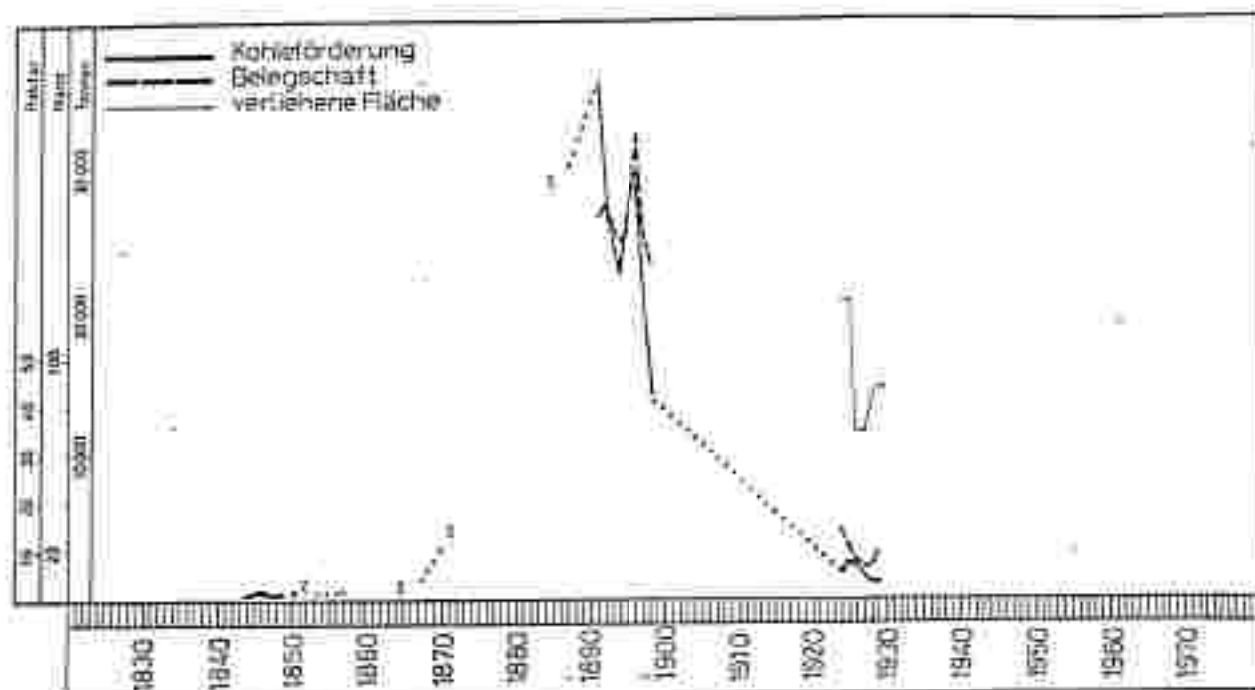


Abb. 26: Bergbaustatistik Aug-Schönegg, Schönegg (GEUTERBRÜCK 1980).

Tab. 18: Bergbaustatistik Aug-Schönegg (GEUTERBRÜCK 1980).

| Jahr | Förderung (t) | Belegschaft | Fläche (ha) |
|------|---------------|-------------|-------------|
| 1830 | 0 | 0 | 0 |
| 1840 | 0 | 0 | 0 |
| 1850 | 0 | 0 | 0 |
| 1860 | 0 | 0 | 0 |
| 1870 | 0 | 0 | 0 |
| 1880 | 20 000 | 1000 | 1000 |
| 1890 | 20 000 | 1000 | 1000 |
| 1900 | 10 000 | 500 | 500 |
| 1910 | 5 000 | 200 | 200 |
| 1920 | 2 000 | 100 | 100 |
| 1930 | 1 000 | 50 | 50 |
| 1940 | 500 | 20 | 20 |
| 1950 | 200 | 10 | 10 |
| 1960 | 100 | 5 | 5 |
| 1970 | 50 | 2 | 2 |

Das Flöz dürfte im Bereich des Bergbaues Aug-Schönegg weitgehend ausgebaut sein.

5.1.1.3.6 St.Ulrich

Der ehemalige Bergbau St.Ulrich liegt im südöstlichsten Abschnitt des Wieser Reviers bei St.Ulrich.



Abb. 27: Lage des Bergbaues St.Ulrich (Ausschnitt aus ÖK 50, 206 Zibiswald).

Das Flöz erreichte eine Mächtigkeit von etwa 0,6 m, war jedoch durch ein 0,4 m starkes, taubes Zwischenmittel in eine 0,15 m mächtige Unterbank und eine 0,35-0,40 m mächtige Oberbank gegliedert.

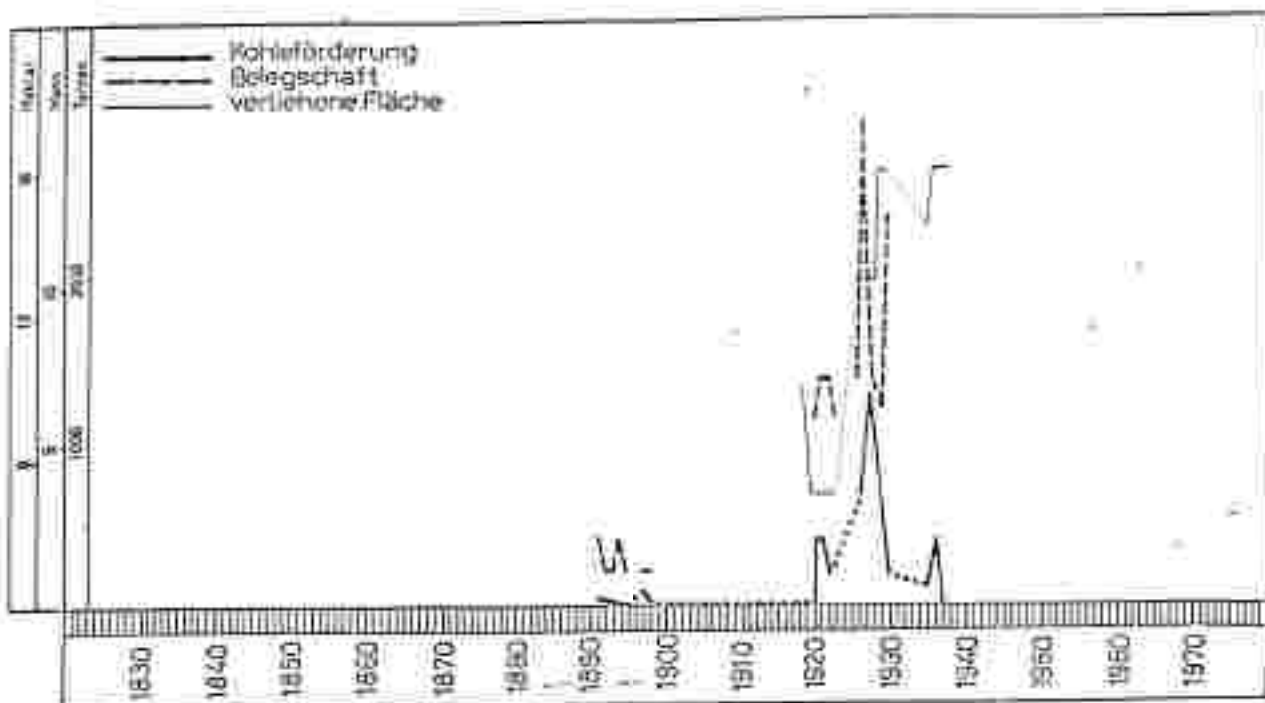


Abb. 28 : Bergbaustatistik St.Ulrich (GEUTERBRÜCK 1980).

Tab. 19 : Bergbaustatistik St.Ulrich (GEUTERBRÜCK 1980).

| Jahr | förderung (t) | Beteiligung | Fläche (ha) |
|------|---------------|-------------|-------------|
| 1830 | 57 | | |
| 1840 | 55 | | |
| 1850 | 57 | | |
| 1860 | 42 | | |
| 1870 | 17 | | |
| 1880 | 72 | | |
| 1890 | 48 | | |
| 1900 | 118 | | |
| 1910 | 1800 | | |
| 1920 | 1800 | 1500 | 1200 |
| 1930 | 1100 | | |
| 1940 | 1100 | | |
| 1950 | 1100 | | |
| 1960 | 1100 | | |
| 1970 | 1100 | | |
| 1980 | 1100 | | |
| 1990 | 1100 | | |
| 2000 | 1100 | | |
| 2010 | 1100 | | |
| 2020 | 1100 | | |
| 2030 | 1100 | | |
| 2040 | 1100 | | |
| 2050 | 1100 | | |
| 2060 | 1100 | | |
| 2070 | 1100 | | |
| 2080 | 1100 | | |
| 2090 | 1100 | | |
| 2100 | 1100 | | |
| 2110 | 1100 | | |
| 2120 | 1100 | | |
| 2130 | 1100 | | |
| 2140 | 1100 | | |
| 2150 | 1100 | | |
| 2160 | 1100 | | |
| 2170 | 1100 | | |
| 2180 | 1100 | | |
| 2190 | 1100 | | |
| 2200 | 1100 | | |
| 2210 | 1100 | | |
| 2220 | 1100 | | |
| 2230 | 1100 | | |
| 2240 | 1100 | | |
| 2250 | 1100 | | |
| 2260 | 1100 | | |
| 2270 | 1100 | | |
| 2280 | 1100 | | |
| 2290 | 1100 | | |
| 2300 | 1100 | | |
| 2310 | 1100 | | |
| 2320 | 1100 | | |
| 2330 | 1100 | | |
| 2340 | 1100 | | |
| 2350 | 1100 | | |
| 2360 | 1100 | | |
| 2370 | 1100 | | |
| 2380 | 1100 | | |
| 2390 | 1100 | | |
| 2400 | 1100 | | |
| 2410 | 1100 | | |
| 2420 | 1100 | | |
| 2430 | 1100 | | |
| 2440 | 1100 | | |
| 2450 | 1100 | | |
| 2460 | 1100 | | |
| 2470 | 1100 | | |
| 2480 | 1100 | | |
| 2490 | 1100 | | |
| 2500 | 1100 | | |
| 2510 | 1100 | | |
| 2520 | 1100 | | |
| 2530 | 1100 | | |
| 2540 | 1100 | | |
| 2550 | 1100 | | |
| 2560 | 1100 | | |
| 2570 | 1100 | | |
| 2580 | 1100 | | |
| 2590 | 1100 | | |
| 2600 | 1100 | | |
| 2610 | 1100 | | |
| 2620 | 1100 | | |
| 2630 | 1100 | | |
| 2640 | 1100 | | |
| 2650 | 1100 | | |
| 2660 | 1100 | | |
| 2670 | 1100 | | |
| 2680 | 1100 | | |
| 2690 | 1100 | | |
| 2700 | 1100 | | |
| 2710 | 1100 | | |
| 2720 | 1100 | | |
| 2730 | 1100 | | |
| 2740 | 1100 | | |
| 2750 | 1100 | | |
| 2760 | 1100 | | |
| 2770 | 1100 | | |
| 2780 | 1100 | | |
| 2790 | 1100 | | |
| 2800 | 1100 | | |
| 2810 | 1100 | | |
| 2820 | 1100 | | |
| 2830 | 1100 | | |
| 2840 | 1100 | | |
| 2850 | 1100 | | |
| 2860 | 1100 | | |
| 2870 | 1100 | | |
| 2880 | 1100 | | |
| 2890 | 1100 | | |
| 2900 | 1100 | | |
| 2910 | 1100 | | |
| 2920 | 1100 | | |
| 2930 | 1100 | | |
| 2940 | 1100 | | |
| 2950 | 1100 | | |
| 2960 | 1100 | | |
| 2970 | 1100 | | |
| 2980 | 1100 | | |
| 2990 | 1100 | | |
| 3000 | 1100 | | |
| 3010 | 1100 | | |
| 3020 | 1100 | | |
| 3030 | 1100 | | |
| 3040 | 1100 | | |
| 3050 | 1100 | | |
| 3060 | 1100 | | |
| 3070 | 1100 | | |
| 3080 | 1100 | | |
| 3090 | 1100 | | |
| 3100 | 1100 | | |
| 3110 | 1100 | | |
| 3120 | 1100 | | |
| 3130 | 1100 | | |
| 3140 | 1100 | | |
| 3150 | 1100 | | |
| 3160 | 1100 | | |
| 3170 | 1100 | | |
| 3180 | 1100 | | |
| 3190 | 1100 | | |
| 3200 | 1100 | | |
| 3210 | 1100 | | |
| 3220 | 1100 | | |
| 3230 | 1100 | | |
| 3240 | 1100 | | |
| 3250 | 1100 | | |
| 3260 | 1100 | | |
| 3270 | 1100 | | |
| 3280 | 1100 | | |
| 3290 | 1100 | | |
| 3300 | 1100 | | |
| 3310 | 1100 | | |
| 3320 | 1100 | | |
| 3330 | 1100 | | |
| 3340 | 1100 | | |
| 3350 | 1100 | | |
| 3360 | 1100 | | |
| 3370 | 1100 | | |
| 3380 | 1100 | | |
| 3390 | 1100 | | |
| 3400 | 1100 | | |
| 3410 | 1100 | | |
| 3420 | 1100 | | |
| 3430 | 1100 | | |
| 3440 | 1100 | | |
| 3450 | 1100 | | |
| 3460 | 1100 | | |
| 3470 | 1100 | | |
| 3480 | 1100 | | |
| 3490 | 1100 | | |
| 3500 | 1100 | | |
| 3510 | 1100 | | |
| 3520 | 1100 | | |
| 3530 | 1100 | | |
| 3540 | 1100 | | |
| 3550 | 1100 | | |
| 3560 | 1100 | | |
| 3570 | 1100 | | |
| 3580 | 1100 | | |
| 3590 | 1100 | | |
| 3600 | 1100 | | |
| 3610 | 1100 | | |
| 3620 | 1100 | | |
| 3630 | 1100 | | |
| 3640 | 1100 | | |
| 3650 | 1100 | | |
| 3660 | 1100 | | |
| 3670 | 1100 | | |
| 3680 | 1100 | | |
| 3690 | 1100 | | |
| 3700 | 1100 | | |
| 3710 | 1100 | | |
| 3720 | 1100 | | |
| 3730 | 1100 | | |
| 3740 | 1100 | | |
| 3750 | 1100 | | |
| 3760 | 1100 | | |
| 3770 | 1100 | | |
| 3780 | 1100 | | |
| 3790 | 1100 | | |
| 3800 | 1100 | | |
| 3810 | 1100 | | |
| 3820 | 1100 | | |
| 3830 | 1100 | | |
| 3840 | 1100 | | |
| 3850 | 1100 | | |
| 3860 | 1100 | | |
| 3870 | 1100 | | |
| 3880 | 1100 | | |
| 3890 | 1100 | | |
| 3900 | 1100 | | |
| 3910 | 1100 | | |
| 3920 | 1100 | | |
| 3930 | 1100 | | |
| 3940 | 1100 | | |
| 3950 | 1100 | | |
| 3960 | 1100 | | |
| 3970 | 1100 | | |
| 3980 | 1100 | | |
| 3990 | 1100 | | |
| 4000 | 1100 | | |
| 4010 | 1100 | | |
| 4020 | 1100 | | |
| 4030 | 1100 | | |
| 4040 | 1100 | | |
| 4050 | 1100 | | |
| 4060 | 1100 | | |
| 4070 | 1100 | | |
| 4080 | 1100 | | |
| 4090 | 1100 | | |
| 4100 | 1100 | | |
| 4110 | 1100 | | |
| 4120 | 1100 | | |
| 4130 | 1100 | | |
| 4140 | 1100 | | |
| 4150 | 1100 | | |
| 4160 | 1100 | | |
| 4170 | 1100 | | |
| 4180 | 1100 | | |
| 4190 | 1100 | | |
| 4200 | 1100 | | |
| 4210 | 1100 | | |
| 4220 | 1100 | | |
| 4230 | 1100 | | |
| 4240 | 1100 | | |
| 4250 | 1100 | | |
| 4260 | 1100 | | |
| 4270 | 1100 | | |
| 4280 | 1100 | | |
| 4290 | 1100 | | |
| 4300 | 1100 | | |
| 4310 | 1100 | | |
| 4320 | 1100 | | |
| 4330 | 1100 | | |
| 4340 | 1100 | | |
| 4350 | 1100 | | |
| 4360 | 1100 | | |
| 4370 | 1100 | | |
| 4380 | 1100 | | |
| 4390 | 1100 | | |
| 4400 | 1100 | | |
| 4410 | 1100 | | |
| 4420 | 1100 | | |
| 4430 | 1100 | | |
| 4440 | 1100 | | |
| 4450 | 1100 | | |
| 4460 | 1100 | | |
| 4470 | 1100 | | |
| 4480 | 1100 | | |
| 4490 | 1100 | | |
| 4500 | 1100 | | |
| 4510 | 1100 | | |
| 4520 | 1100 | | |
| 4530 | 1100 | | |
| 4540 | 1100 | | |
| 4550 | 1100 | | |
| 4560 | 1100 | | |
| 4570 | 1100 | | |
| 4580 | 1100 | | |
| 4590 | 1100 | | |
| 4600 | 1100 | | |
| 4610 | 1100 | | |
| 4620 | 1100 | | |
| 4630 | 1100 | | |
| 4640 | 1100 | | |
| 4650 | 1100 | | |
| 4660 | 1100 | | |
| 4670 | 1100 | | |
| 4680 | 1100 | | |
| 4690 | 1100 | | |
| 4700 | 1100 | | |
| 4710 | 1100 | | |
| 4720 | 1100 | | |
| 4730 | 1100 | | |
| 4740 | 1100 | | |
| 4750 | 1100 | | |
| 4760 | 1100 | | |
| 4770 | 1100 | | |
| 4780 | 1100 | | |
| 4790 | 1100 | | |
| 4800 | 1100 | | |
| 4810 | 1100 | | |
| 4820 | 1100 | | |
| 4830 | 1100 | | |
| 4840 | 1100 | | |
| 4850 | 1100 | | |
| 4860 | 1100 | | |
| 4870 | 1100 | | |
| 4880 | 1100 | | |
| 4890 | 1100 | | |
| 4900 | 1100 | | |
| 4910 | 1100 | | |
| 4920 | 1100 | | |
| 4930 | 1100 | | |
| 4940 | 1100 | | |
| 4950 | 1100 | | |
| 4960 | 1100 | | |
| 4970 | 1100 | | |
| 4980 | 1100 | | |
| 4990 | 1100 | | |
| 5000 | 1100 | | |
| 5010 | 1100 | | |
| 5020 | 1100 | | |
| 5030 | 1100 | | |
| 5040 | 1100 | | |
| 5050 | 1100 | | |
| 5060 | 1100 | | |
| 5070 | 1100 | | |
| 5080 | 1100 | | |
| 5090 | 1100 | | |
| 5100 | 1100 | | |
| 5110 | 1100 | | |
| 5120 | 1100 | | |
| 5130 | 1100 | | |
| 5140 | 1100 | | |
| 5150 | 1100 | | |
| 5160 | 1100 | | |
| 5170 | 1100 | | |
| 5180 | 1100 | | |
| 5190 | 1100 | | |
| 5200 | 1100 | | |
| 5210 | 1100 | | |
| 5220 | 1100 | | |
| 5230 | 1100 | | |
| 5240 | 1100 | | |
| 5250 | 1100 | | |
| 5260 | 1100 | | |
| 5270 | 1100 | | |
| 5280 | 1100 | | |

5.1.1.3.7 Tombach-Pitschgauegg

Der Tombacher Schacht lag südwestlich von Pölking nahe der Weissen Sulm.

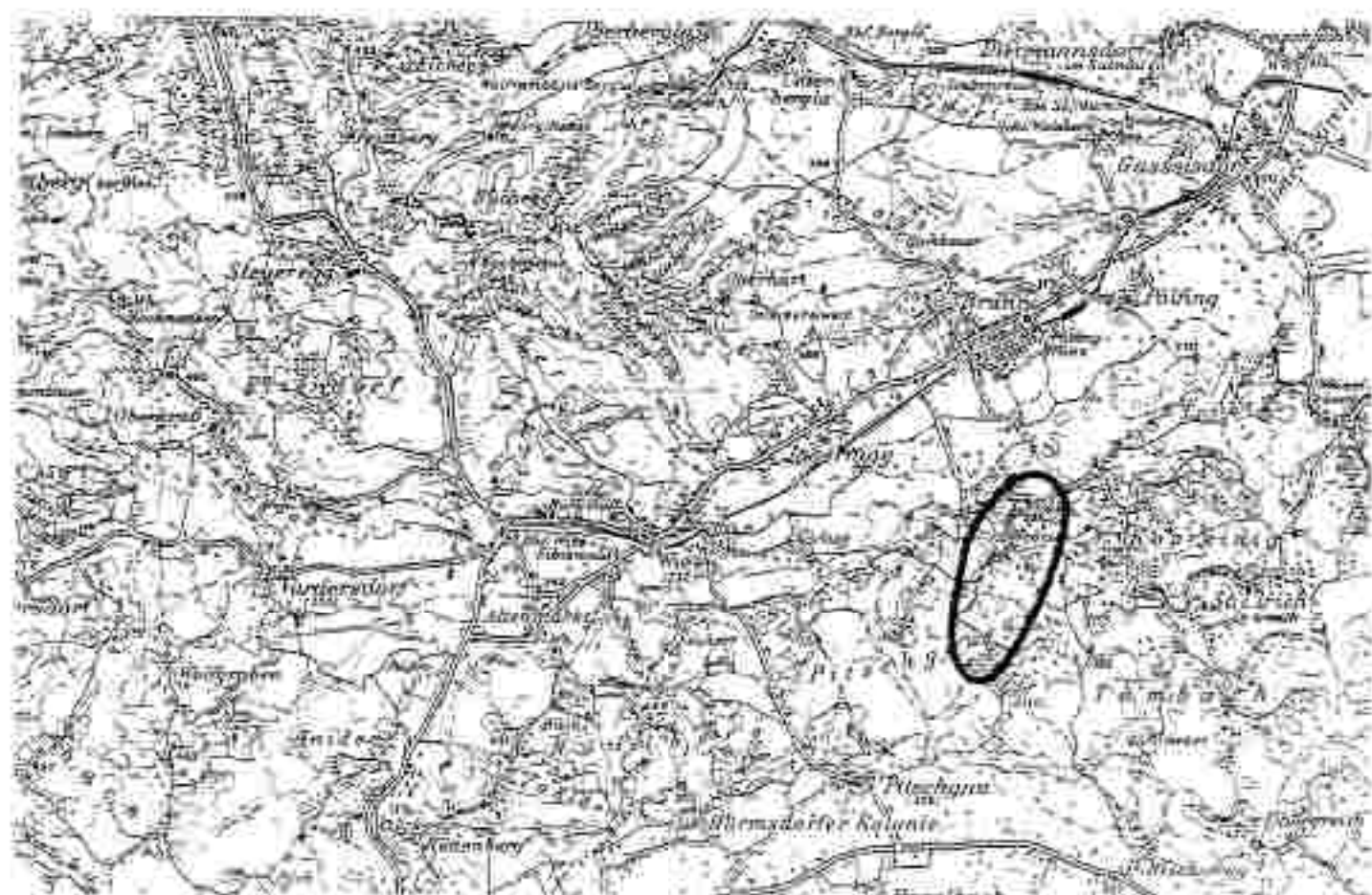


Abb. 29: Lage des Bergbaus Tombach-Pitschgauegg (Ausschnitt aus ÖK 50 1:250 000 Eibiswald).

In diesem Bereich herrschten konstante Lagerstättenverhältnisse. Das Flöz erreichte eine Mächtigkeit von etwa 0,7 m. Nach dem heutigen Kenntnisstand kann das Gebiet als ausgekohlt angesehen werden.

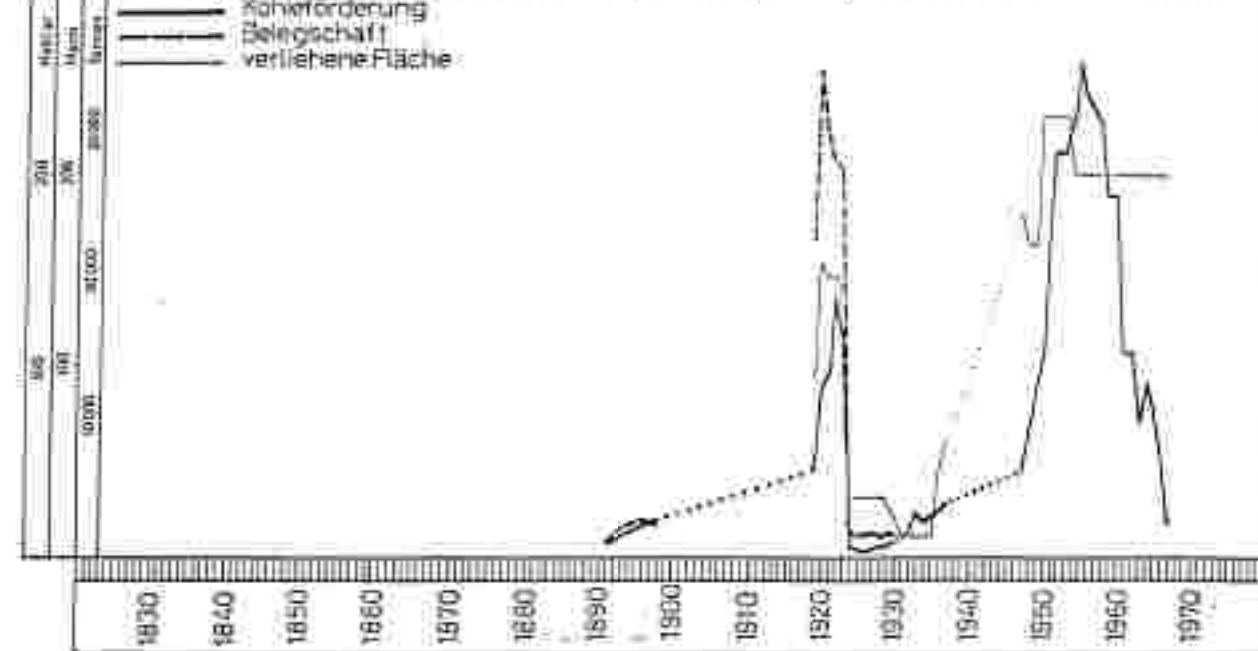


Abb. 10: Bergbaustatistik Pitschgauegg (GEUTEBRÜCK 1980).

Tab. 20: Bergbaustatistik Pitschgauegg (GEUTEBRÜCK 1980).

| Jahr | Förderung (t) | Betriebsfläche | Fläche (ha) |
|------|---------------|----------------|-------------|
| 1830 | *** | - | |
| 1831 | *** | - | |
| 1832 | *** | - | |
| 1833 | *** | - | |
| 1834 | *** | - | |
| 1835 | *** | - | |
| 1836 | *** | - | |
| 1837 | *** | - | |
| 1838 | *** | - | |
| 1839 | *** | - | |
| 1840 | *** | - | |
| 1841 | *** | - | |
| 1842 | *** | - | |
| 1843 | *** | - | |
| 1844 | *** | - | |
| 1845 | *** | - | |
| 1846 | *** | - | |
| 1847 | *** | - | |
| 1848 | *** | - | |
| 1849 | *** | - | |
| 1850 | *** | - | |
| 1851 | *** | - | |
| 1852 | *** | - | |
| 1853 | *** | - | |
| 1854 | *** | - | |
| 1855 | *** | - | |
| 1856 | *** | - | |
| 1857 | *** | - | |
| 1858 | *** | - | |
| 1859 | *** | - | |
| 1860 | *** | - | |
| 1861 | *** | - | |
| 1862 | *** | - | |
| 1863 | *** | - | |
| 1864 | *** | - | |
| 1865 | *** | - | |
| 1866 | *** | - | |
| 1867 | *** | - | |
| 1868 | *** | - | |
| 1869 | *** | - | |
| 1870 | *** | - | |
| 1871 | *** | - | |
| 1872 | *** | - | |
| 1873 | *** | - | |
| 1874 | *** | - | |
| 1875 | *** | - | |
| 1876 | *** | - | |
| 1877 | *** | - | |
| 1878 | *** | - | |
| 1879 | *** | - | |
| 1880 | *** | - | |
| 1881 | *** | - | |
| 1882 | *** | - | |
| 1883 | *** | - | |
| 1884 | *** | - | |
| 1885 | *** | - | |
| 1886 | *** | - | |
| 1887 | *** | - | |
| 1888 | *** | - | |
| 1889 | *** | - | |
| 1890 | *** | - | |
| 1891 | *** | - | |
| 1892 | *** | - | |
| 1893 | *** | - | |
| 1894 | *** | - | |
| 1895 | *** | - | |
| 1896 | *** | - | |
| 1897 | *** | - | |
| 1898 | *** | - | |
| 1899 | *** | - | |
| 1900 | *** | - | |
| 1901 | *** | - | |
| 1902 | *** | - | |
| 1903 | *** | - | |
| 1904 | *** | - | |
| 1905 | *** | - | |
| 1906 | *** | - | |
| 1907 | *** | - | |
| 1908 | *** | - | |
| 1909 | *** | - | |
| 1910 | *** | - | |
| 1911 | *** | - | |
| 1912 | *** | - | |
| 1913 | *** | - | |
| 1914 | *** | - | |
| 1915 | *** | - | |
| 1916 | *** | - | |
| 1917 | *** | - | |
| 1918 | *** | - | |
| 1919 | *** | - | |
| 1920 | *** | - | |
| 1921 | *** | - | |
| 1922 | *** | - | |
| 1923 | *** | - | |
| 1924 | *** | - | |
| 1925 | *** | - | |
| 1926 | *** | - | |
| 1927 | *** | - | |
| 1928 | *** | - | |
| 1929 | *** | - | |
| 1930 | *** | - | |
| 1931 | *** | - | |
| 1932 | *** | - | |
| 1933 | *** | - | |
| 1934 | *** | - | |
| 1935 | *** | - | |
| 1936 | *** | - | |
| 1937 | *** | - | |
| 1938 | *** | - | |
| 1939 | *** | - | |
| 1940 | *** | - | |
| 1941 | *** | - | |
| 1942 | *** | - | |
| 1943 | *** | - | |
| 1944 | *** | - | |
| 1945 | *** | - | |
| 1946 | *** | - | |
| 1947 | *** | - | |
| 1948 | *** | - | |
| 1949 | *** | - | |
| 1950 | *** | - | |
| 1951 | *** | - | |
| 1952 | *** | - | |
| 1953 | *** | - | |
| 1954 | *** | - | |
| 1955 | *** | - | |
| 1956 | *** | - | |
| 1957 | *** | - | |
| 1958 | *** | - | |
| 1959 | *** | - | |
| 1960 | *** | - | |
| 1961 | *** | - | |
| 1962 | *** | - | |
| 1963 | *** | - | |
| 1964 | *** | - | |
| 1965 | *** | - | |
| 1966 | *** | - | |
| 1967 | *** | - | |
| 1968 | *** | - | |
| 1969 | *** | - | |
| 1970 | *** | - | |
| 1971 | *** | - | |
| 1972 | *** | - | |
| 1973 | *** | - | |
| 1974 | *** | - | |
| 1975 | *** | - | |
| 1976 | *** | - | |
| 1977 | *** | - | |
| 1978 | *** | - | |
| 1979 | *** | - | |
| 1980 | *** | - | |
| 1981 | *** | - | |
| 1982 | *** | - | |
| 1983 | *** | - | |
| 1984 | *** | - | |
| 1985 | *** | - | |
| 1986 | *** | - | |
| 1987 | *** | - | |
| 1988 | *** | - | |
| 1989 | *** | - | |
| 1990 | *** | - | |
| 1991 | *** | - | |
| 1992 | *** | - | |
| 1993 | *** | - | |
| 1994 | *** | - | |
| 1995 | *** | - | |
| 1996 | *** | - | |
| 1997 | *** | - | |
| 1998 | *** | - | |
| 1999 | *** | - | |
| 2000 | *** | - | |
| 2001 | *** | - | |
| 2002 | *** | - | |
| 2003 | *** | - | |
| 2004 | *** | - | |
| 2005 | *** | - | |
| 2006 | *** | - | |
| 2007 | *** | - | |
| 2008 | *** | - | |
| 2009 | *** | - | |
| 2010 | *** | - | |
| 2011 | *** | - | |
| 2012 | *** | - | |
| 2013 | *** | - | |
| 2014 | *** | - | |
| 2015 | *** | - | |
| 2016 | *** | - | |
| 2017 | *** | - | |
| 2018 | *** | - | |
| 2019 | *** | - | |
| 2020 | *** | - | |
| 2021 | *** | - | |
| 2022 | *** | - | |
| 2023 | *** | - | |
| 2024 | *** | - | |
| 2025 | *** | - | |
| 2026 | *** | - | |
| 2027 | *** | - | |
| 2028 | *** | - | |
| 2029 | *** | - | |
| 2030 | *** | - | |
| 2031 | *** | - | |
| 2032 | *** | - | |
| 2033 | *** | - | |
| 2034 | *** | - | |
| 2035 | *** | - | |
| 2036 | *** | - | |
| 2037 | *** | - | |
| 2038 | *** | - | |
| 2039 | *** | - | |
| 2040 | *** | - | |
| 2041 | *** | - | |
| 2042 | *** | - | |
| 2043 | *** | - | |
| 2044 | *** | - | |
| 2045 | *** | - | |
| 2046 | *** | - | |
| 2047 | *** | - | |
| 2048 | *** | - | |
| 2049 | *** | - | |
| 2050 | *** | - | |
| 2051 | *** | - | |
| 2052 | *** | - | |
| 2053 | *** | - | |
| 2054 | *** | - | |
| 2055 | *** | - | |
| 2056 | *** | - | |
| 2057 | *** | - | |
| 2058 | *** | - | |
| 2059 | *** | - | |
| 2060 | *** | - | |
| 2061 | *** | - | |
| 2062 | *** | - | |
| 2063 | *** | - | |
| 2064 | *** | - | |
| 2065 | *** | - | |
| 2066 | *** | - | |
| 2067 | *** | - | |
| 2068 | *** | - | |
| 2069 | *** | - | |
| 2070 | *** | - | |
| 2071 | *** | - | |
| 2072 | *** | - | |
| 2073 | *** | - | |
| 2074 | *** | - | |
| 2075 | *** | - | |
| 2076 | *** | - | |
| 2077 | *** | - | |
| 2078 | *** | - | |
| 2079 | *** | - | |
| 2080 | *** | - | |
| 2081 | *** | - | |
| 2082 | *** | - | |
| 2083 | *** | - | |
| 2084 | *** | - | |
| 2085 | *** | - | |
| 2086 | *** | - | |
| 2087 | *** | - | |
| 2088 | *** | - | |
| 2089 | *** | - | |
| 2090 | *** | - | |
| 2091 | *** | - | |
| 2092 | *** | - | |
| 2093 | *** | - | |
| 2094 | *** | - | |
| 2095 | *** | - | |
| 2096 | *** | - | |
| 2097 | *** | - | |
| 2098 | *** | - | |
| 2099 | *** | - | |
| 2000 | *** | - | |
| 2001 | *** | - | |
| 2002 | *** | - | |
| 2003 | *** | - | |
| 2004 | *** | - | |
| 2005 | *** | - | |
| 2006 | *** | - | |
| 2007 | *** | - | |
| 2008 | *** | - | |
| 2009 | *** | - | |
| 2010 | *** | - | |
| 2011 | *** | - | |
| 2012 | *** | - | |
| 2013 | *** | - | |
| 2014 | *** | - | |
| 2015 | *** | - | |
| 2016 | *** | - | |
| 2017 | *** | - | |
| 2018 | *** | - | |
| 2019 | *** | - | |
| 2020 | *** | - | |
| 2021 | *** | - | |
| 2022 | *** | - | |
| 2023 | *** | - | |
| 2024 | *** | - | |
| 2025 | *** | - | |
| 2026 | *** | - | |
| 2027 | *** | - | |
| 2028 | *** | - | |
| 2029 | *** | - | |
| 2030 | *** | - | |
| 2031 | *** | - | |
| 2032 | *** | - | |
| 2033 | *** | - | |
| 2034 | *** | - | |
| 2035 | *** | - | |
| 2036 | *** | - | |
| 2037 | *** | - | |
| 2038 | *** | - | |
| 2039 | *** | - | |
| 2040 | *** | - | |
| 2041 | *** | - | |
| 2042 | *** | - | |
| 2043 | *** | - | |
| 2044 | *** | - | |
| 2045 | *** | - | |
| 2046 | *** | - | |
| 2047 | *** | - | |
| 2048 | *** | - | |
| 2049 | *** | - | |
| 2050 | *** | - | |
| 2051 | *** | - | |
| 2052 | *** | - | |
| 2053 | *** | - | |
| 2054 | *** | - | |
| 2055 | *** | - | |
| 2056 | *** | - | |
| 2057 | *** | - | |
| 2058 | *** | - | |
| 2059 | *** | - | |
| 2060 | *** | - | |
| 2061 | *** | - | |
| 2062 | *** | - | |
| 2063 | *** | - | |
| 2064 | *** | - | |
| 2065 | *** | - | |
| 2066 | *** | - | |
| 2067 | *** | - | |
| 2068 | *** | - | |
| 2069 | *** | - | |
| 2070 | *** | - | |
| 2071 | *** | - | |
| 2072 | *** | - | |
| 2073 | *** | - | |
| 2074 | *** | - | |
| 2075 | *** | - | |
| 2076 | *** | - | |
| 2077 | *** | - | |
| 2078 | *** | - | |
| 2079 | *** | - | |
| 2080 | *** | - | |
| 2081 | *** | - | |
| 2082 | *** | - | |
| 2083 | *** | - | |
| 2084 | *** | - | |
| 2085 | *** | - | |
| 2086 | *** | - | |
| 2087 | *** | - | |
| 2088 | *** | - | |
| 2089 | *** | - | |
| 2090 | *** | - | |
| 2091 | *** | - | |
| 2092 | *** | - | |
| 2093 | *** | - | |
| 2094 | *** | - | |
| 2095 | *** | - | |
| 2096 | *** | - | |
| 2097 | *** | | |

5.1.1.3.8 Gaisseregg

Der ehemalige Bergbau Gaisseregg lag westlich von Brunn.

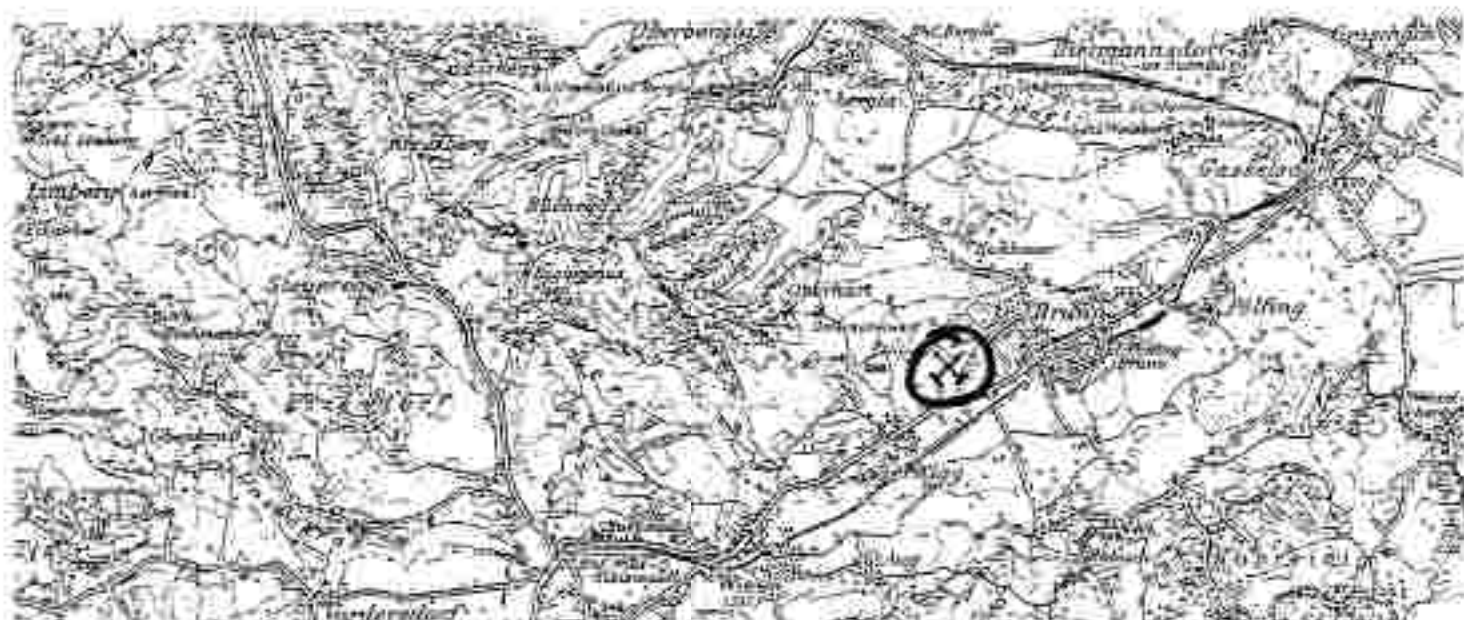


Abb. 31: Lage des Bergbaus Gaisseregg (Ausschnitt aus UK 50, 206 Eibiswald).

In diesem Bereich erreichte das Flöz eine Stärke von 0,6-1,0 m, war jedoch durch taube Mittel in mehrere Bänke gegliedert. Nach GEUTEBRUCK 1980 ist das Bergbaugebiet ausgekohlt.

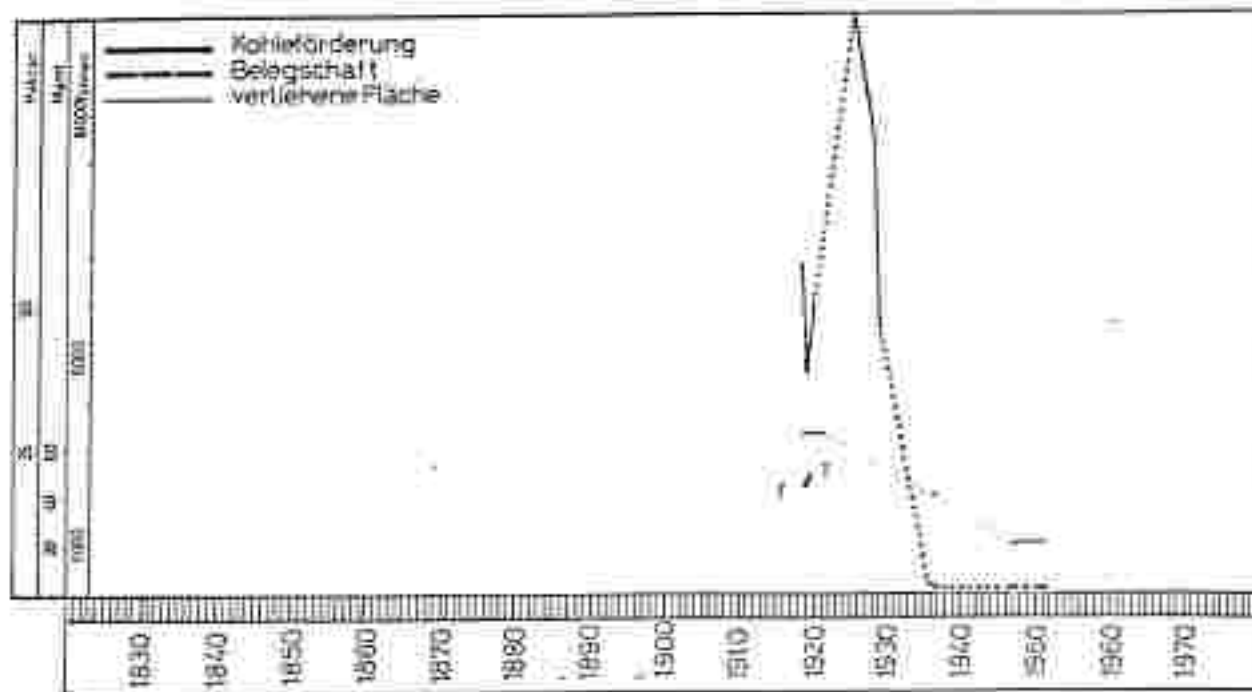


Abb. 32: Bergbaustatistik Gaisseregg (GEUTEBRUCK 1980).

Tab. 21 : Bergbaustatistik Gaisseregg (GETTBURG 1980).

| Jahr | Förderung t/t | Gesellschaft | Fischer (t/t) |
|------|---------------|--------------|---------------|
| 1914 | 4.777 | | |
| 1915 | 5.111 | | |
| 1916 | 6.778 | | |
| | | ** | *** |
| | | ** | **** |
| 1922 | 11.444 | | |
| 1923 | 10.444 | | |
| 1924 | 9.222 | | |
| 1925 | 2.778 | | |
| | | | |
| 1926 | 1.111 | | |
| 1927 | 1.111 | | |
| 1928 | 1.111 | | |
| | | | |
| 1929 | 1.111 | | |
| 1930 | 1.111 | | |
| 1931 | 1.111 | | |
| 1932 | 1.111 | | |
| 1933 | 1.111 | | |
| | | | |
| 1934 | 1.111 | | |
| 1935 | 1.111 | | |
| 1936 | 1.111 | | |
| 1937 | 1.111 | | |
| 1938 | 1.111 | | |
| 1939 | 1.111 | | |
| 1940 | 1.111 | | |
| 1941 | 1.111 | | |
| 1942 | 1.111 | | |
| 1943 | 1.111 | | |
| 1944 | 1.111 | | |
| 1945 | 1.111 | | |
| 1946 | 1.111 | | |
| 1947 | 1.111 | | |
| 1948 | 1.111 | | |
| 1949 | 1.111 | | |
| 1950 | 1.111 | | |
| 1951 | 1.111 | | |
| 1952 | 1.111 | | |
| 1953 | 1.111 | | |
| 1954 | 1.111 | | |
| 1955 | 1.111 | | |
| 1956 | 1.111 | | |
| 1957 | 1.111 | | |
| 1958 | 1.111 | | |
| 1959 | 1.111 | | |
| 1960 | 1.111 | | |
| 1961 | 1.111 | | |
| 1962 | 1.111 | | |
| 1963 | 1.111 | | |
| 1964 | 1.111 | | |
| 1965 | 1.111 | | |
| 1966 | 1.111 | | |
| 1967 | 1.111 | | |
| 1968 | 1.111 | | |
| 1969 | 1.111 | | |
| 1970 | 1.111 | | |
| 1971 | 1.111 | | |
| 1972 | 1.111 | | |
| 1973 | 1.111 | | |
| 1974 | 1.111 | | |
| 1975 | 1.111 | | |
| 1976 | 1.111 | | |
| 1977 | 1.111 | | |
| 1978 | 1.111 | | |
| 1979 | 1.111 | | |
| 1980 | 1.111 | | |

5.2.1 Uran

In den vergangenen eineinhalb Jahrzehnten wurde aus der Koralpe eine Reihe sekundärer Uran-Mineralfunde gemeldet. Die hauptsächlichsten Fundpunkte liegen im Gebiet der mittleren Koralpe westlich von Deutschlandsberg. Die Funde beschränken sich im wesentlichen auf Autunit, U-Glasopal, etc..

Eine Überprüfung durch HÖNIG & TIEDTKE 1981 zeigte, daß die Anordnung der Fundpunkte der allgemeinen Streichrichtung entspricht. Durch Nachprospektion konnte eine flächenhafte Verbreitung nachgewiesen werden (siehe Abb. 33). In einer kombinierten UV-Prospektion bei Nacht und Begehung der Fundpunkte bei Tag mit einem Stiitillometer wurde der Versuch unternommen, sekundäre Uranmineralisationen direkt radiometrisch zu erfassen und mit dem bei einer großräumigen Begehung ermittelten Background zu korrieren.

Das Ergebnis muß als negativ angesehen werden, da die durchschnittlichen Meßwerte zwischen ein- und zweifachem Background schwanken (siehe Abb. 33), was durchaus dem allgemeinen Urangehalt derartiger hochmetamorpher Parageesteine entspricht. Wirtschaftlich interessante U-Anreicherungen können deshalb im untersuchten Bereich nicht erwartet werden.

TIEDTKE 1982 konnte 5 Bereiche herausarbeiten, in denen sich eine Haufung von U-Anomalien nachweisen ließ. Diese Bereiche sind folgende:

- Wildbachgraben
- Laßnitzgraben
- südlich Osterwitz
- Glashütten-Gressenberg
- Weinebene-Gr. Speikkogel

ANOMALIEN
SEKUNDÄRER URAN -
MINERALISATIONEN IM
MITTELTEIL DER KORALPE

FUNDPUNKT - ANOMALIEN - KARTE

LEGENDE:

Fundpunkte  mit Anzahl der Probenan-

- EINFACHER HINTERGRUND
- ZWEIFACHER HINTERGRUND
- △ DREIFACHER HINTERGRUND
- VIERFACHER HINTERGRUND

80 - 120 CPS = Erzfärbige Bachgrund

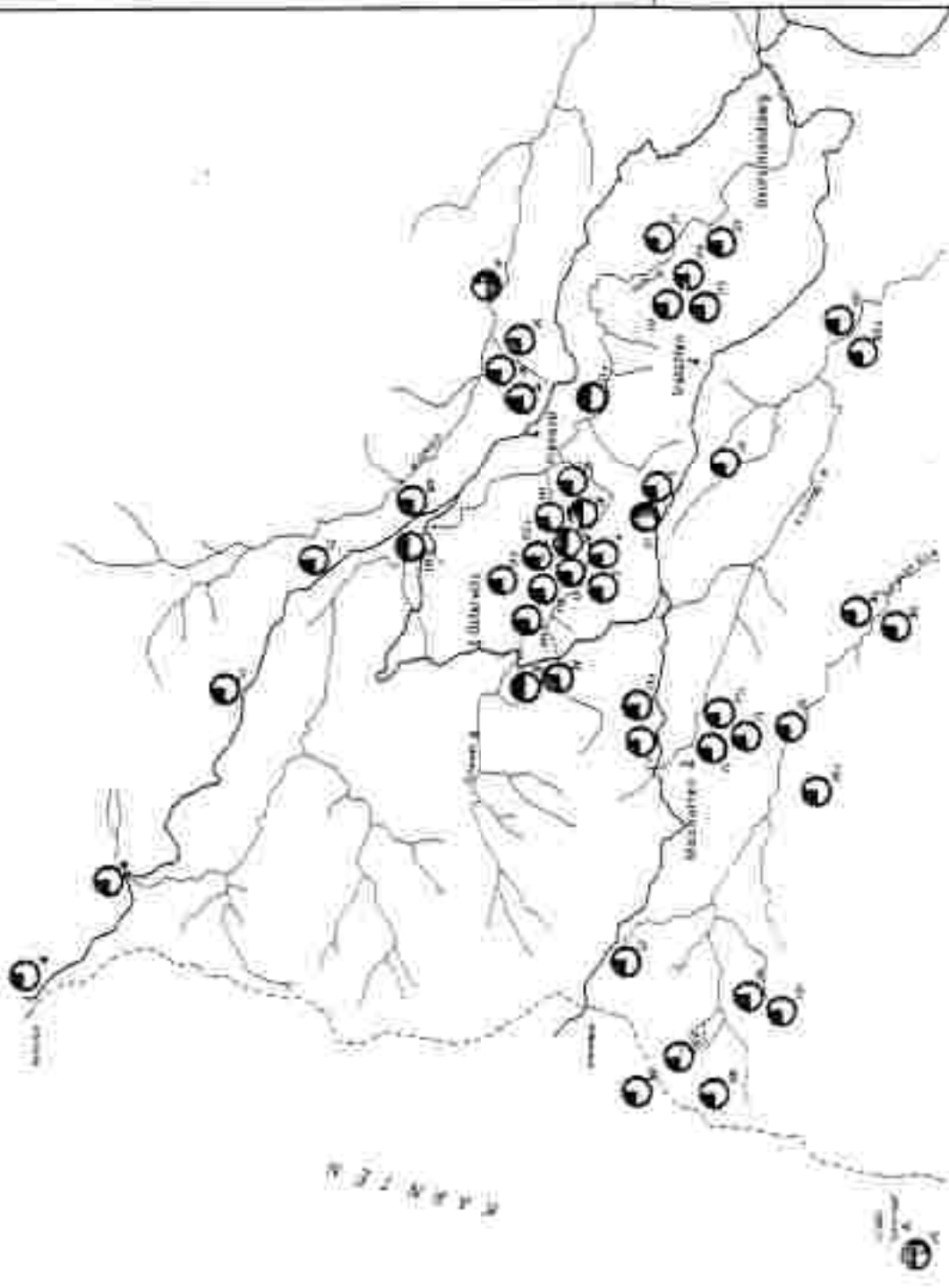
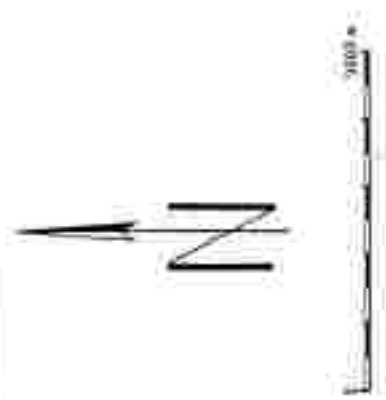


Abb. 33: Anomalien sekundärer Uran-Mineralisationen im Mittelteil der Koralpe (HÖHLIG & THIEDTKE 1981).

5.2 Industriemineralien, Steine und Erden

5.2.1 Disthen

Im Grenzgebiet zwischen Kärnten und Steiermark, d.h. das Gipfelgebiet der Koralpe, liegt ein Hoffnungsgebiet zur Aufsuchung von Disthen. Bereits ANGEL 1938 bearbeitete dieses Gebiet im Hinblick auf Disthenvorkommen und richtet sein Hauptaugenmerk vor allem auf das Gebiet um Glashütten, wo es Anzeichen für Disthenvorkommen sowohl in Pegmatiten als auch in kristallinen Schiefern gibt. Für die Pegmatite gibt er etwa 40 Vol%. für die Konzentrationsbereiche in kristallinen Schiefern < 10 Volt an, wobei die absoluten Disthenmengen aber nur einige 100 t betragen. Zu einem ähnlichen Ergebnis kommt KRAWICEK 1940. BECK-MANNAGETTA 1949 gibt für den Bereich Krakaberg-Krentikogel 10-15 % Disthengehalt an, schränkt aber 1952 ein, daß nur 1 % der Gesamtfläche zur Beurteilung des Disthengehaltes herangezogen werden können. Höhere Werte (bis 40 Vol% Disthen) ergaben sich aus der Untersuchung des Feinschuttes. Nach HADITSCH 1979 scheinen nur die Disthen-Flasergneise erfolgversprechend zu sein. Diese enthalten meist 10-20 Vol% Disthen. Nach DAURER 1979 und STEINER 1979 sind jedoch die Disthenvorkommen weder aus geologischer noch aufbereitungstechnischer Hinsicht wirtschaftlich nutzbar. Diese Aussage trifft auf die Fundpunkte mit höherer Konzentration an Disthen zu, wobei berücksichtigt werden muß, daß die Untersuchungen auf steirischem Gebiet keine Konzentration über 1 % Disthen gebracht haben (siehe Beilage 4).

Im folgenden wird ein kurzer Überblick über die Petrographie der disthenführenden Gesteine der Koralpe gegeben.

- Kataklastischer Gneisquarzit der zentralen Serie.
Dies sind Biotit-Plagioklas-Gneise mit stark wechselnden Quarzgehalten, in denen häufig eine durch Biotitlagen betonte Feinänderung auftritt.
- Paramorphoseschleifer
Dieser ist eine Sonderausbildung des "zentralen Gneisquarzites" und nimmt weite Bereiche im Liegenden der Plattengneissserie ein.
In diesem treten stark wechselnde Disthengehalte auf, die i.a. s-gabunden sind, lateral jedoch plötzlich anschwellen oder absetzen können (DAURER 1979).
- Pegmatoide und Quarzmobilisate
In diesen treten die reichsten und auch schönsten, unverührten Paramorphosen auf, die konkordant und meist in sehr kleinräumigen Linsen in das regionale Flächengefüge der "zentralen Gneisquarzite" eingeschaltet sind (DAURER 1979). Vom Disthengehalt her sind nach Ansicht DAURER's 1979 die Pegmatoide und Quarzmobilisate die wirtschaftlich interessantesten Typen der disthenführenden Gesteine. In ihnen wurden an einzelnen Handstücken bis zu 50 Vol.% Disthen geschätzt (DAURER 1979).

Aus nachstehender Tabelle ist die Schwierigkeit ersichtlich, objektive Angaben über den Disthengehalt zu machen.

Tab. 22 : Disthengehalt in Vol.-% zusammengestellt von DAUBER 1979.

| | Paranmorphosen-schiefer | Pegmatoide | Lockermassen |
|--|--|------------|--------------|
| ANGEL (1939) | 10-15 | 20-40 | |
| Koppers-Silemaniuss-Ges., Laborbericht | max. 15 | | |
| KRAJICEK (1940) | ca. 10 | | |
| KRAUSE (1940) | | 10-60 | |
| CZERNAK (1949) | 25 12 für Anste-hendes + Block werk | | 18 |
| BECK-MANNAGETTA (1949) | 10-15 | | |
| BECK-MANNAGETTA (1952) | 5-8 | | 35 |

5.2.2 Feldspat

Nach HADITSCH 1979 ist das Gebiet Pack/Hebalpenstraße, Sauerbrunngraben/Stainz, Sallegg/Feldbaum bei Stainz, Deutschlandsberg untersuchungswürdig (siehe Abb. 34, HÖNIG & TIEDTKE 1981).

5.2.3 Glimmer

Größere Korngrößen (als Muskowit) treten nur im Kristallin der Koralpe auf. Die Vorkommen konzentrieren sich auf das Köflach-Ligaster- und Rainischkogelgebiet sowie auf den Südost- und Südtell der Koralpe. Zur Zeit sind keine Lagerstätten mit größeren Glimmerqualitäten bekannt (HADITSCH 1979).

Abbaustellen und Fundpunkte: Greisdorf 2 Osterwitz 1
Gundersdorf 3 Traßhütten 7

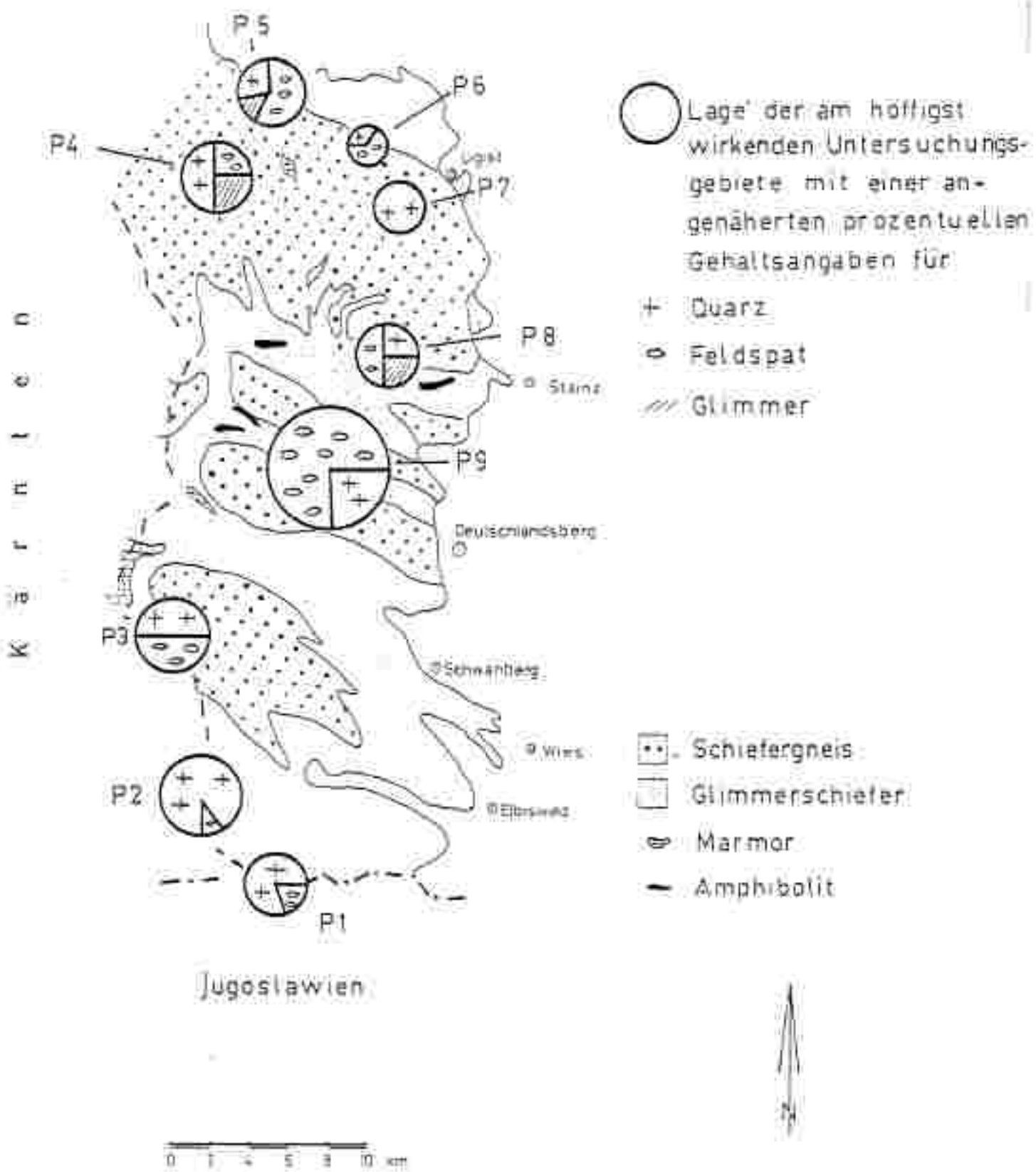


Abb. 34: Industriemineralvorkommen im steirischen Anteil der Koralpe (HÖNIG & TIEDTKE 1981).

5.2.4 Kaolin

Das von LOTZE 1941 bearbeitete Kaolinvorkommen liegt innerhalb des Verbreitungsgebietes der "Schwanberger Gneise". Im wesentlichen schienen zwei Haupthorizonte mit Mächtigkeiten von 0,2-0,3 m und 4-6 m von Bedeutung zu sein.



Abb. 35: Lage der Kaolinvorkommen im Tal der Schwarzen Sulm bei Schwanberg, 1:25 000 (LOTZE 1941)

Nach SCHOKLITSCH 1941 handelt es sich bei den als Kaolin bezeichneten Bildungen jedoch nicht um echte Kaoline, sondern um durch starke kataklastische Einwirkungen und geringfügige Kaolinisierungsvorgänge veränderte Pegmatitlinsen. Eine wirtschaftliche Gewinnung von Kaolin war schon damals nicht zu erwarten.

Seinerzeitige Abbaustellen: Garanas 12
Schwanberg 6

5.2.5 Pegmatit, Pegmatoid, Pegmatitgneis

Die Begriffe Pegmatit bzw. Pegmatoid werden für die petrographisch-genetische Begriffsbestimmung grobkörniger Quarz-Feldspatgesteine verwendet.

HÖNIG & TIEDTKE 1981 treffen folgende Unterscheidung:

Pegmatit: Grob- bis riesenkörniges Gestein, bei dem in der Regel damit die genetische Vorstellung einer "magmatischen Entstehung" verbunden ist.

Pegmatoid: Grobkörniges Quarz-Feldspatgestein, das als integrierender Bestandteil des Nebengesteins ansprechbar ist, wobei eine rein magmatische Genese jedoch nicht nachweisbar ist.

Im Bereich der Koralpe traten häufig stärker pegmatoid durchtränkte Zonen in den Plattengneisen auf. Dagegen finden sich echte Pegmatite nur in kleiner Zahl und in geringer Mächtigkeit. Der mächtigste Pegmatit der Koralpe wurde zwischen der Niederen Laßnitz und Trahütten im Zentrum eines fensterartigen Aufbruchs im Rahmen einer Uranprospektion gefunden (TIEDTKE 1982). Der Pegmatitkörper hat eine Ausdehnung von S nach N von etwa 500 m und eine Längserstreckung von etwa 1500 m.

Zur wirtschaftlichen Nutzung wurden bisher nur einige kleine Steinbrüche angelegt. Die Bedeutung liegt weniger in einer bautechnischen Nutzung, sondern eher als Rohstoffträger für Industriemineralen für die Glas- und Porzellanindustrie und die Elektrotechnik.

Ein wirtschaftlich möglicherweise interessantes Vorkommen ist ein Pegmatitkörper in der Nähe von Deutschlandsberg ("Trahütterner Aufbruch", "Trahütterner Fenster"), der im S entlang der Landesstraße nach Trahütten und im N durch das Laßnitztal aufgeschlossen ist (SCHÜSSLER 1982). Nach TIEDTKE 1982 ist mit Vorräten von etwa 50 Mio. Tonnen zu rechnen, die qualitativen Merkmale werden zur Zeit überprüft.

SCHÜSSLER 1982 beschreibt eine intensive Durchsetzung mit kleinen Turmalinen und einem hohen Quarzanteil, sodass der geforderte Gehalt an Gesamtfeldspat von ca. 56 % möglicherweise nicht erreicht werden kann.

Das durchschnittliche Quarz:Feldspat-Verhältnis beträgt etwa 1:1, der durchschnittliche Turmalinanteil 8-10 %. Glimmer ist nur akzessorisch vertreten.

Ein weiteres Vorkommen liegt etwa 4 km westlich Eibiswald an der Siboth-Bundesstraße. Nach SCHÜSSLER 1982 sind ein hoher Feldspatgehalt und eine nur geringe Kontamination an Turmalin erwähnenswert. Weiters erscheint die gute Infrastruktur und die nur geringfügige Überdeckung günstig.

Abbaue und Aufschlüsse:

| | |
|------------|----------------|
| Aibl 11 | Gressenberg 12 |
| Freiland 7 | Kloster 6 |
| Bad Gams 1 | Osterwitz 4 |

5.2.6 Quarz

Quarz wurde im Bereich der Koralpe vor allem zur Glaserzeugung gewonnen. Dabei wurden ausschließlich quergreifende Gangquarzvorkommen, die als "nachpegmatitisch bis hydrothermal und jünger" (HERITSCH 1963) interpretiert werden, abgebaut. Diese quergreifenden Quarzgänge, die bis zu 2 m mächtig werden, treten in NNE-SSW-streichenden Scharen mit seligem Fällen auf. Vor allem in den südlichen Anteilen der Koralpe sind sie gut aufgeschlossen.

Abbaue und Aufschlüsse:

| | |
|--------------------|--------------|
| Deutschlandsberg 9 | Soboth 1,5,6 |
| St.Oswald o.E. 1 | Wielfresen 7 |

5.2.7 Quarzsand

Im Bereich des Bezirkes Deutschlandsberg tritt eine Reihe von Quarzsandvorkommen auf, die für eine Nutzung von Seiten der Glasindustrie geeignet oder bedingt geeignet sind (HOLZER & EHN 1979 und SCHARFZ 1981).

Abbaue und Aufschlüsse (siehe Abb. 36 "Quarzsandvorkommen")

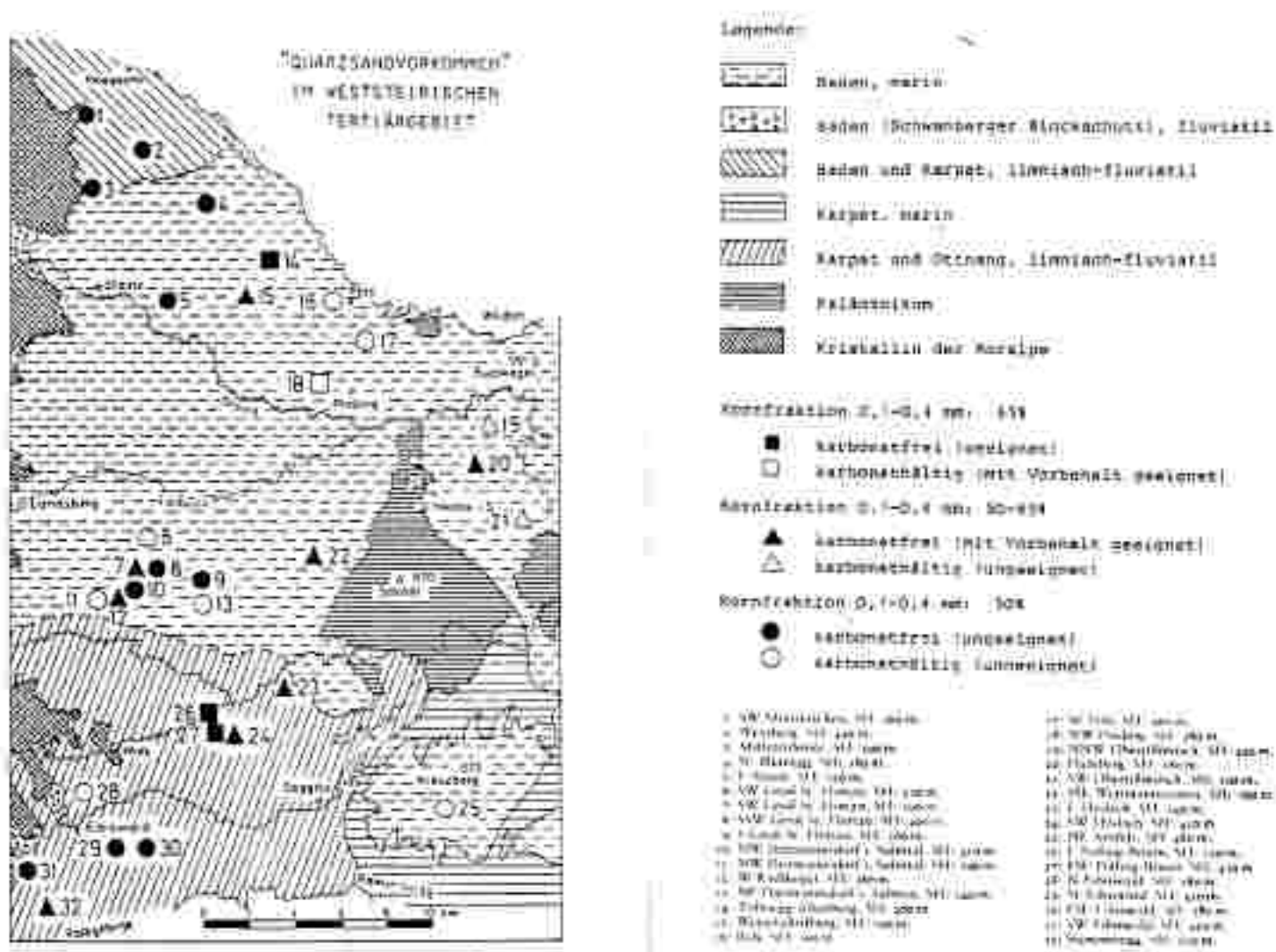


Abb. 36: Quarzsandvorkommen im weststeirischen Tertiärgebiet (SCHARF 1981).

5.2.8 Vulkanische Tuffe, Bentonit (F. Ebner)

Genetisch mit dem miozänen Vulkanismus im Zusammenhang stehende Tuffe (Bentonite, Glastuffe, Halloysittonne, Tuffite) treten im Bezirk Deutschlandsberg in zahlreichen Vorkommen in den limnischen mittleren Eibiswalder Schichten (Karpat) und den marinen Florianer Schichten (Unteres Badenien) bzw. deren brackischen Äquivalenten auf.

Alle Vorkommen sind bei EBNER 1981, EBNER & GRÄF 1979, 1980, 1982 ausführlich dokumentiert. An zwei Vorkommen (Rutzendorf, Holzbauerzigg) wurden geoelektrische Kartierungen durchgeführt. (AIGNER et.al. 1983). Von wirtschaftlichem Interesse ist bestenfalls das Vorkommen Rutzendorf.

Weitere Fundpunkte, über die in der Literatur nur unszureichende Hinweise vorliegen und die im Zuge des Bentonit-Projektes (EBNER & GRÄF 1979, 1980, 1982) nicht verifiziert werden konnten, wurden in die Tabelle nicht aufgenommen (Pichling, Schönegg, Ettendorf, Tomberg, Rassach, SW Tanzelsdorf, Raum Hohlbach, Groß St. Florian, Lichtenegg, Otternitz).

Ehemalige Abbau-, Vorkommen und Aufschlüsse:

| | |
|-------------------------------|----------------------|
| Zibiswald 2 | Preding 2,3 |
| Georgsberg 1,2,3,4,5,6,8,9,10 | Rassach ? |
| Mollenegg 3 | St. Martin i.S. 7,18 |
| Lannach 10 | Stainz 5,6,8 |
| Limberg 3 | Unterbergla 6,13,14 |

Tab. 21: Ammonite und Glaucophane im Bereich Deutschlandsberg.

| LAGESTELL | STRAT.- POSITION | SIMULATIONS- IN PHILIPS- POLARISATION | RECHTSWINKEL | MINERALOGISCHE ANALYSE | CHARAKTERISTIK |
|---|---------------------|--|-----------------------|---------------------------|--|
| OK 106 Sibivaleid Steierberg, an der Straße zum Gasthaus Ruchmann | Carpen | nichts zw. Sibis- validen Schichten | rechteckige Linsen | Bentonit | direkt über den Class- tionslinienfilm, durch Grenzschicht teilweise gefährdet |
| OK 107 Sibivaleid Steierwald, Enggaufweg gegenüber Feuerwach- hause | Carpen | nichts zw. Sibis- validen Schichten | 10 Lagen je 1-2 cm | Bentonit | unmittelbar über dem Glaucophanienfilm 10 Bentonitlagen in 4 a mächtigen Schichter- tagen überlagernd etw. verzerrt |
| OK 108 Deutschlands- berg Kastendorf im Bereich des Gabus (ca. 10 m höher als Sibivaleid) | unteres Badenian | brackische Schichten der unteren Badenian | wenige ca. 30 cm | Bentonit | Faziesmäßig größere Vorkommen unter geringer Überdeckung abgeschie- dene Provenienzmerk- male: Boreyrgesteine durch DANE im Kring, Karri- ung (EARTH & OCEAN 1980), gewaltige Karrie- zung (ALIGER, ZEMER, SOMMER & VEBER 1983) |
| OK 109 Deutschlands- berg Strasse/Schildberg, ca. 155 m | unteres Badenian | brackische Schichten der unteren Badenian | 80-150 cm | Glaucophane, Glaucophane | große Ausbildung direkt unter dem Schiefer |
| OK 109 Deutschlands- berg Deutschach, ca. 300 m, S. Ekt. Ma | unteres Badenian | brackische Schichten der unteren Badenian | 150 cm | Glaucophane | Ausbildungen in Gemein- degebiet in zwei Seiten- gruben ca. 100 m |
| OK 109 Deutschlands- berg Stralhof/Talverbindung | unteres Badenian | brackische Schichten der unteren Badenian | 200 cm | Glaucophane, Tuffit | Ausbildung ca. 900 m stellenweise stark verun- trügt |
| OK 109 Deutschlands- berg Zirksalzkarsttal, 1300 m ENE Deutschach | unteres Badenian | brackische Schichten der unteren Badenian | 120 cm | Glaucophane | |
| OK 109 Deutschlands- berg Kronenbachkarst der Oberkrems, Rennschitz | unteres Badenian | brackische Schichten der unteren Badenian | 8 cm | Bentonit | in Wasserfolge brackisch-fluviatile Schichten |
| OK 109 Deutschlands- berg Höhe Deutschlands- berg ~ Erzwandlung bei Rapella Pkt. 308 | unteres Badenian | brackische Schichten der unteren Badenian | 30 cm | Bentonit | Aufschluß in Granit- breccierung der voll- kommen verdeckten |
| OK 109 Deutschlands- berg Roxmauerberg | unteres Badenian | Fluviatile Schichten | 80-100 cm | Bentonit | Ausbildungen ca. 400 m in den 10 m Jura. Ab- bau durch Feuerwehr gewaltige Karrie- zung (ALIGER, ZEMER, SOMMER & VEBER 1983) |

5.3 Erze

5.3.1 Scheelit

Im weiteren Bereich der Weinebenstraße wurde Scheelit gefunden. Nach Angaben von ALKER & POSTL 1980 sind die Scheelitimpregnationen an quarzreiche Gesteine gebunden. Diese sind eng mit Grossaulasgesteinen und Marmoren verknüpft.

Fundpunkt Fuchskogel

(ÖK 50, 188, 15°40'00" / 46°48'22")

Dieser Fundpunkt ist an einer Straßenböschung aufgeschlossen. Dabei handelt es sich um eine Kiesvererzung, an die die Scheelitanreicherung gebunden ist.

Fundpunkte Gehöft Tuchs

(ÖK 50, 188, 15°04'38" / zw. 46°48'44" und 46°48'24")

Es handelt sich hier um eine Reihe von N-S angeordneten Fundpunkten von Rollstücken. In unmittelbarer Nähe sind pegmatoide Gesteine anstehend. Die Scheelitkonzentration ist äußerst gering.

Fundpunkt W Gehöft Urberl

(ÖK 50, 188, 15°04'19" / 46°48'55")

Fundpunkt Spießenbach

(ÖK 50, 188, 15°01'29" / 46°49'00")

Fundpunkt Suchabach, SW Gföllalm
(ÖK SO. 188, 15°02'57" / 46°48'48")

Fundpunkt E Simmerlhütte
(ÖK SO. 188, 15°04'38" / 46°48'23")

Scheelit wurde an oben genannten Fundpunkten im Blockwerk und Hangschutt gefunden.

Nach den Dünnschliffbefunden sind die scheelitführenden Gesteine in allgemeinen querreiche Kalksilikatschiefer.

Nach Meinung von ALKER & POSTL 1980 erscheint das Vorkommen Fuchskogel als günstigster Fundpunkt.

Fundpunkte:

Garanas 16,17,18,19
Gressenberg 10,11

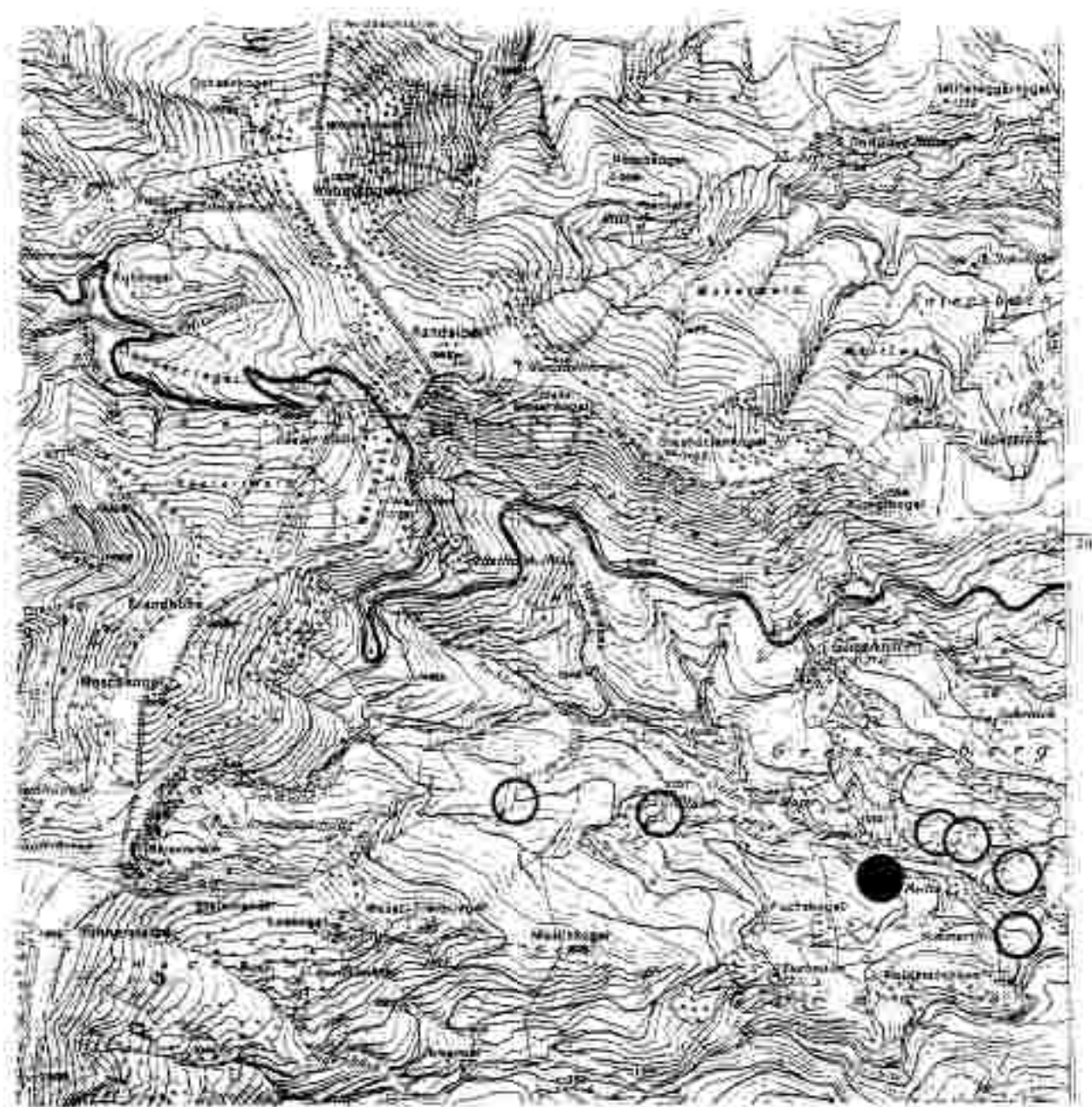


Abb. 37: Lage der Scheelitfundpunkte (ALEKER & POSTL 1980).

○ nicht anstehend

● anstehend

5.4 Massenrohstoffe

5.4.1 Amphibolit, Eklogitamphibolit, Gabbro, Metagabbro

Die Eklogite und die ihnen verwandten Gesteine bilden plattige Lagen, Linsen und Stücke (Rosenkogel, NW Eibiswald, Gradiachkogel). Die gesteintechnische Eignung hängt vor allem von der Gefügeentwicklung (fein-gröbkörnig, massig, geschiefert, lagig) ab, die jedoch auch im Aufschlussbereich wechseln kann. MAUSER & URNEGG 1952 geben als gesteintechnisch günstigste Ausbildung die massigen und feldspatarmen Amphibolite an, die sich durch ihre Zähigkeit auszeichnen.

Verwendung finden die abgebauten Gesteine als Schotter und Splitt für den Straßenbau und als Bruchstein für den Wasserbau.

Abbaue und Aufschlüsse:

| Amphibolit und Eklogitamphibolit | Gabbro und Metagabbro |
|----------------------------------|-----------------------|
| Deutschlandsberg 1 | St.Oswald o.E. 2,3 |
| Freiland 8,9 | St.Stefan o.S. 3 |
| Garanas 15 | Soboth 4 |
| Gressenberg 1,3 | Stainz 1,2,3,4 |
| Gundersdorf 1,2*,6 | Trahütten 12* |
| Kloster 1,1 | Wernersdorf 1*,4,5 |
| Osterwitz 2,3 | Wielfresen 6 |

5.4.2 Diabas

Zur Zeit werden im Bezirk Deutschlandsberg Diabase nur in einem Steinbruch (Aibl 13) abgebaut. Sie gehören jedoch im südlichen Bereich des Gebietes zu den technisch interessanten Hartgesteinen. Verwendung finden die Diabase als Schotter und Splitt für den regionalen Straßenbau und für einfaches Mauerwerk.

Abbaue: Aibl 12, 13*

* in Betrieb

Tab. 24: Technische Analyse (HAUSER & UHREGG 1952).

| | Rohzement / Kalkzement nach DIN 511200 | 1 Wien Wies | 2 Deutschlandsberg Bodenbach | 3 Stainz Kamptal |
|---|--|-------------------------|------------------------------------|------------------------|
| Raumgewicht in kg/cm³ | 2.7 3.1 | 2.62 | 2.05 | 2.09 |
| Pressaufschwund nach DIN 511200 | 0.4-0.6 Raum% | 0.48 0.49 | 0.49 0.59 | 0.52 0.59 |
| Druckfestigkeit in kg/cm² | lufttrocken massengesättigt ausgetrocknet | 1700- 2600 - - | 2600- 2130 - - | 2130 - - |
| Anzahl der Schläge bis zur Zerstörung | 10 10 | 45 44 | 55 56 | - |
| Abrasion durch Schleifen Verlust in cm³ auf 50 cm² | 5- 12 | 4.8 2.7 | 2.7 - | - |
| Raumgewicht des Schotlers 1/m³ | 1.8 1.5 | - - | - - | 1.40 |
| Widerstandsfähigkeit von Schotter gegen Bruch, Stoß | Bruch Straßen- bau Durchgang durch das Eisen Lachmair | - - | 20% 10 | 22% 16% |
| | Stoß Straßen- bau Durchgang durch das Eisen Lachmair | 5 15 | - 10 | 10% 16% |
| | Stoß Straßen- bau Durchgang durch Eisen Lachmair groß | 0.5 0.8 | - 0.52 | 0.7 0.7 |
| haftfestig- keit | Bitumen | - - | 5 - | 3 - |
| | Tee | - - | - - | 7 - |

5.4.1.3 Gneise und Glimmerschiefer:

Meist findet man nur kleine Abbaustellen in dem durch stark wechselnde Festigkeit und Verwitterungsanfälligkeit eher minderwertigen Material.

Verwendung fand das Material im Zuge lokaler Straßen- und Wegebauten.

Abbaue und Aufschlüsse:

| Gneis | Glimmerschiefer | |
|----------------------|---------------------|-------------------|
| Aibl 1,2,3,5,9,17 | Aibl 15 | St. Stefan o.S. 4 |
| Bad Gams 4,7 | Freiland 1 | Schwanberg 4 |
| Garanas 3,4,10,11 | Bad Gams 8,10 | Soboth 2 |
| Gressenberg 6,7,9,13 | Garanas 2,9,14 | Trahütten 15 |
| St. Oswald o.E. 5 | Gressenberg 2,14,15 | |
| St. Stefan o.S. 1 | Gundersdorf 7 | |
| Schwanberg 3,5 | Hollanegg 1,4 | |
| Soboth 7,8,9 | Kloster 4,5,7 | |
| Trahütten 4,9,10,11 | Marhof 3,31 | |
| Wernersdorf 6 | Osterwitz 5 | |
| Wies 1 | St. Oswald o.E. 4 | |

5.4.4 Kalk(marmor)

Es wurden zwei stillgelegte Steinbrüche auf Kalk aufgenommen. Beide nutzten vorwiegend Kalk(marmor), das in Riesenblöcken in den Unteren Eibiswalder Schichten vorkommt. Verwendung fanden sie für den lokalen bis regionalen Straßen- und Wegebau.

Ehemalige Abbaue:

GroßBradl 6,7

5.4.5 Marmore und Kalksilikatgesteine

Im wesentlichen handelt es sich um Kalkmarmore, die reichlich nichtkarbonatische Minerale führen (KIESLINGER 1925, 1926a und 1938). Die meisten Vorkommen sind kleine Linsen. Größere Vorkommen stellen die Marmorlinsen im Sauerbrunnengraben (Höllgraben) und der Marmorlinsenstieg im Wildbachgraben dar. Verwendung findet das abgebauten Material als Schotter und Split für den Straßenbau.

Abbaue und Aufschlüsse:

Aibl 4,6,7,8,10,14
 Preiland 2,4,5,6
 Bad Gams 3
 Garanas 13
 Gressenberg 1
 Marhof 4,5,6,7,8

Soboth 3,10,11
 Traßlütten 3,12
 Wernersdorf 2,3
 Wies 2
 Wielfresen 3,8,9

Tab. 25: Technische Analyse (HAUSER & UHRZOG 1951).

| | | Rundzahlen nach DIN DIN 2800 für dicke / feste Käthe u. Dachziegelsteinen, Hartmetall | | |
|---|--|---|-----------------------|--------------------------|
| | | 1 | 2 | 3 |
| | | Wernersdorf a. Wies | Eiterndorf a. Wies | Gronau a. Reichenberg |
| Raumgewicht im kg/cm³ | 2.05 2.85 | 2.75 | 2.83 | 2.83 |
| Wasserabsorbition DIN DYM 2103 | Gew % Raum 1 / sechst. durch Porenwerte | 02-08 04-18 | 0.49 0.99 | - - |
| Druckfestigkeit im kg/cm² | Lufttrocken wassergesättigt ausgetrocknet | 800- 1800 | 1200- 1550 | 1400 |
| Anzahl der Schläge bis zur Zerstörung | 8-10 | - | - | - |
| Abnutzung durch Schleifen Verlust in cm³ auf 50 cm² | 15-40 | 173 20 | - | - |
| Raumgewicht des Schotter t/m³ | 12-14 | - | - | - |
| Widerstandsfähigkeit von Schotter gegen Druck in Steinigung | Druck, Straßen- bau Durchgang durch den 10 mm Lochsieb | 17 35 | - | - |
| | Schlag, Straßen- bau Durchgang durch den 10 mm Lochsieb | 11 25 | - | - |
| | Schlag, Gleise- bettung, Zentriermöglich- keit | 42 (3) | - | - |
| Hoffestig- keit | Bitumen | - | - | - |
| | Teer | - | - | - |

1: Wernersdorf 1,2
 2: Wies 2
 3: Garanas 13

5.3.6 Plättengneis

Der Plättengneis ist das wichtigste nutzbare Gestein des Koralpenkristallins. Seine größte Bedeutung liegt in der Verwendung als Dekorgestein.

Der Plättengneis zeichnet sich durch einen deutlichen Lagenbau, bestehend aus einem Wechsel von dunklen, schiefen und hellen pegmatoiden Lagen aus. Diese Textur bedingt seine gute Spaltbarkeit. (Weitere Erläuterungen siehe HEINRICH 1982.)

Verwendung:

Dekorgestein, Bruchstein

Tab. 26: Technische Analyse (HAUSER & UHRIG 1952).

| | Rohgewicht in kg/cm³ | 2,33 3 | 2,92 |
|--|---|------------------------|--------------------------|
| | Rohgewicht in kg/cm³ nach DIN 2403 | 0,424 Raumv. | 0,77 2,08 |
| | Druckfestigkeit in kg/cm² nassegedrückt ausgefräsen | 1000 1200 - - | 1000 1100 650 - |
| Anzahl der Schläge bis zur Zerstörung | 6 72 | - - | - |
| Abrüttung durch Schleifen Verlust in cm³ auf 50 cm² | 4 10 | 16 72 | - |
| Rohgewicht des Schotterz | 0- 11 | - | - |
| | | | |
| Widerstandsfähigkeit von Schotter gegen Druckbeanspruchung | Druck-Schotter- durch Durchgang durch das kleine Lochloch | - | kg/cm² |
| | Schlag-Schotter- durch Durchgang durch das kleine Lochloch | 3 - 20 | kg/cm² |
| | Schlag-Schotter- durch Durchgang durch das kleine Lochloch | 0,7 - | kg/cm² |
| | Zellkammerungen groß | 12 | kg/cm² |
| | | | |
| Abreibfähig- keit | Bilumen Tee | - - | - |

Abbaustellen und Fundpunkte:

Freiland 3
Bad Gams 3,5,6,9,11,12,13,14,15*,
16*,17,18,20*,21*,22,23,24*,
25,26
Maranas 1,7,8
Greisdorf 1,3,4,5,6,7
Gressenberg 8*

Kloster 6
Marhof 1,2,3,4,8,10,11,12,13,
14,15*,16,17,18*,19,20,
21,22,23,24*,25,26,27,
28,29
Osterwitz 6
Trahütten 1,2,5,6,13,14
Wielfresen 1,2,4

5.4.7 Quarzit

Quarzite sind nur untergeordnet am Aufbau des Koralpenkristallins beteiligt; so vor allem im südlichen Bereich bei St.Lorenzen und Schöbath.

Ehemaliger Abbau:

Marhof 3

5.4.8 Schutt

An einigen Stellen wurden kristalline Gesteine in Schuttmassen und Moränenresten abgebaut. Verwendet wurde das Material im lokalen Wege- und Straßenbau.

Ehemalige Abbäue und Aufschlüsse:

Gressenberg 4,6
Kloster 3
Trahütten 8

5.4.9 Torf

Das Hochmoor von Garanas (Abbau Nr. 6 Garanas) wird von der Kuranstalt Schwanberg für Heilzwecke abgebaut.

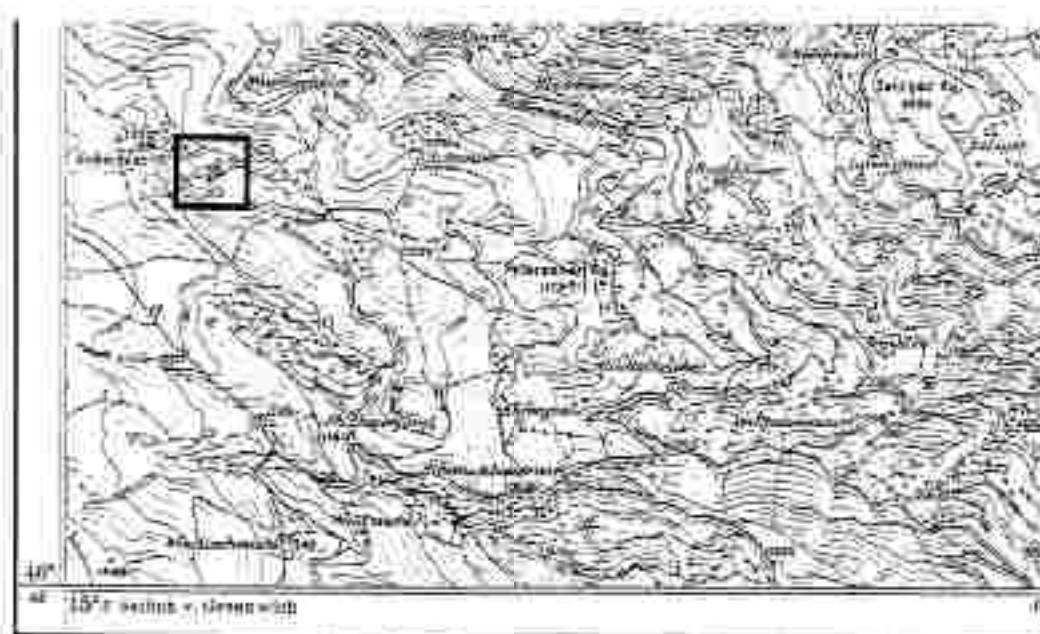


Abb. 38: Lage des Hochmoors von Garanas (Ausschnitt aus ÖK 50 189 Deutschlandsberg).

Abbau:

Garanas 6*

5.4.10 Konglomerate, Schotter (Kiese), Sandsteine, Sande

5.4.10.1 Eibiswalder Schichten

Es handelt sich um eine limnisch-fluviatile Sedimentabfolge mit mehrmaligem Wechsel von Schottern, Kiesen, glimmerreichen Sanden und sandigen Tonen mit Kohle und Tuffhorizonten.

Das Geröllmaterial der Schotter und Konglomerate, und zwar Gneise, Pegmatite, Glimmerschiefer, Amphipolite und Marmore, stammt aus der Koralpe. Eine Ausnahme bilden die kalkgeröllreichen Schotter der Pitschgauskonglomerate, die ein anderes Liefergebiet anzeigen.

Infolge des häufigen Sedimentwechsels, der starken Glimmerführung, des meist hohen Ton-Schluffgehaltes und der wechselnden Verfestigung handelt es sich um bautechnisch minderwertiges Material.

Oberes Eibiswalder Schichten (Sand, Ton, Lehm)

Abbaustandorte und Aufschlüsse:

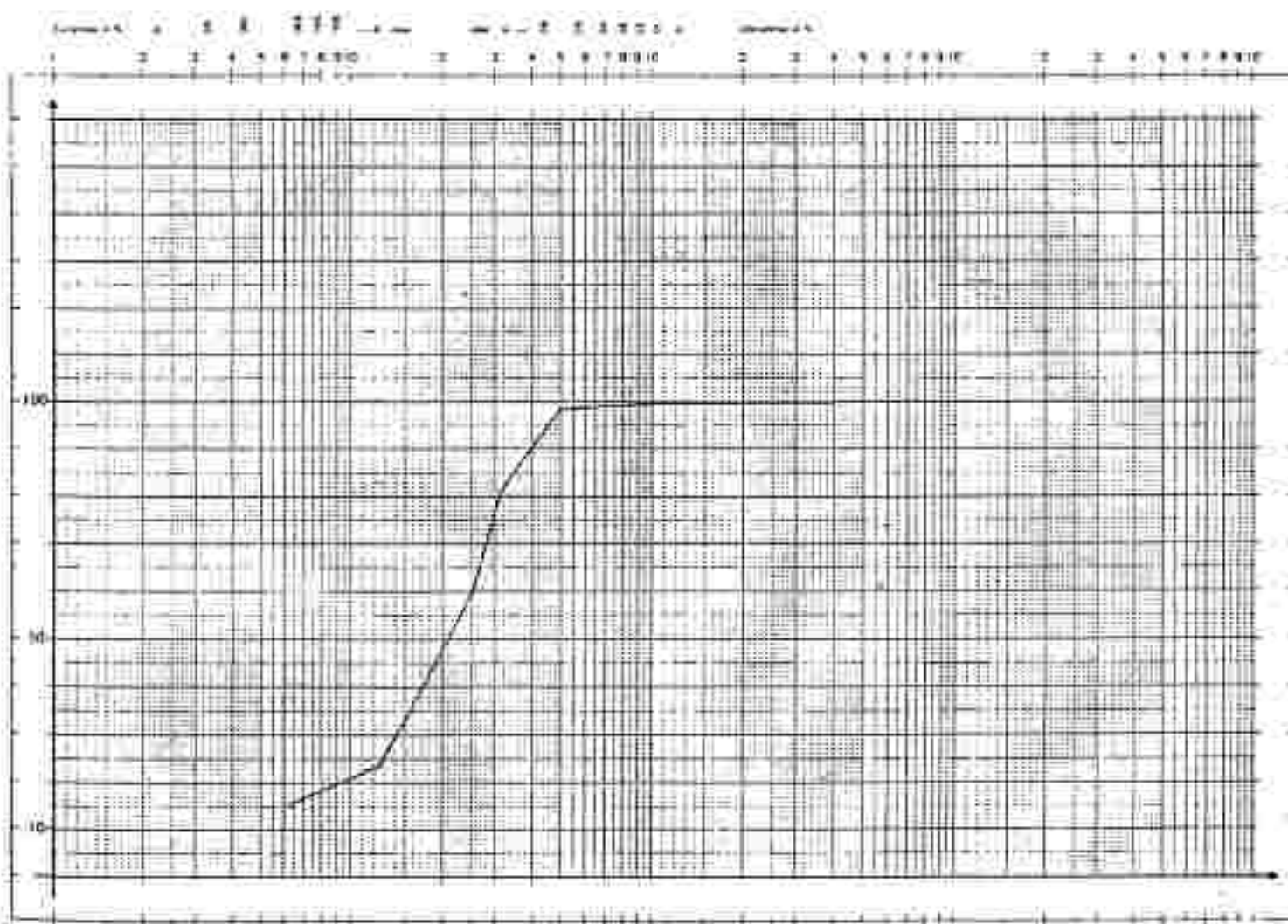
Limberg 1
Sulmeck-Greith 4, 5, 6, 7
Wies 4, 6

Limberg 1 (Heinrich 1982)

Korngrößenanalyse:

mm Ø Gew.-%

| $\leq 0,01$ | $> 0,01$ | $> 0,125$ | $> 0,25$ | $> 0,315$ | $> 0,5$ | $> 1,0$ | $> 1,5$ | $> 2,0$ | $> 4,0$ |
|-------------|----------|-----------|----------|-----------|---------|---------|---------|---------|---------|
| 15,7 | 1,9 | 36,2 | 21,4 | 17,4 | 1,2 | 0,0 | 0,1 | — | — |



Sulmeck-Greith 4 (Holzer & Ehn 1979)

Korngröße 0,1 - 0,4mm: > 65%, ohne Karbonat

| < 0,063 | > 0,063 | > 0,1 | > 0,16 | > 0,25 | > 0,4 | > 0,63 | > 1,0 | > 2,0 |
|---------|---------|-------|--------|--------|-------|--------|-------|-------|
| 11,52 | 6,47 | 6,88 | 26,18 | 32,92 | 14,03 | - | - | - |

Mineralogie: Quarz oft mit Exomineralien verwachsen
 daneben Muskowit, Feldspat, Biotit, Turmalin

Röntgendiffraktometrie: Quarz, Plagioklas, Mikroklin, Muskowit,
 Chlorit

Gliihverlust: 2,02 %

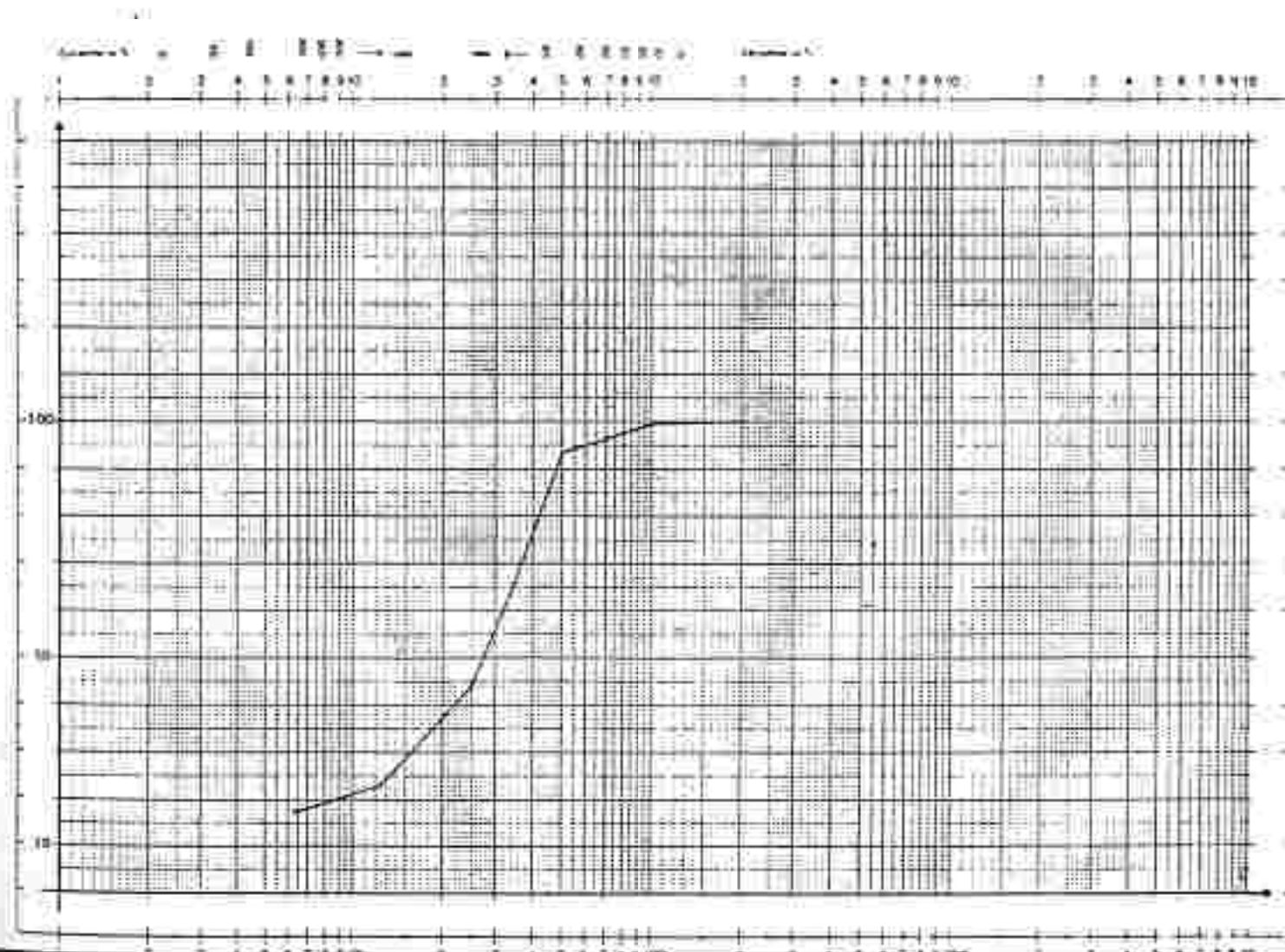
Saimeck-Greith 4

Probe 206/2 (Heinrich 1982)

Korngrößenanalyse:

mm Ø Gew.-%

| < 0,063 | > 0,063 | > 0,125 | > 0,25 | > 0,50 | > 0,75 | > 1,0 | > 1,5 | > 2,0 | > 4,0 | > 6,0 |
|---------|---------|---------|--------|--------|--------|-------|-------|-------|-------|-------|
| 17,3 | 5,9 | 20,6 | 15,8 | 33,7 | 6,5 | 0,1 | - | - | - | - |



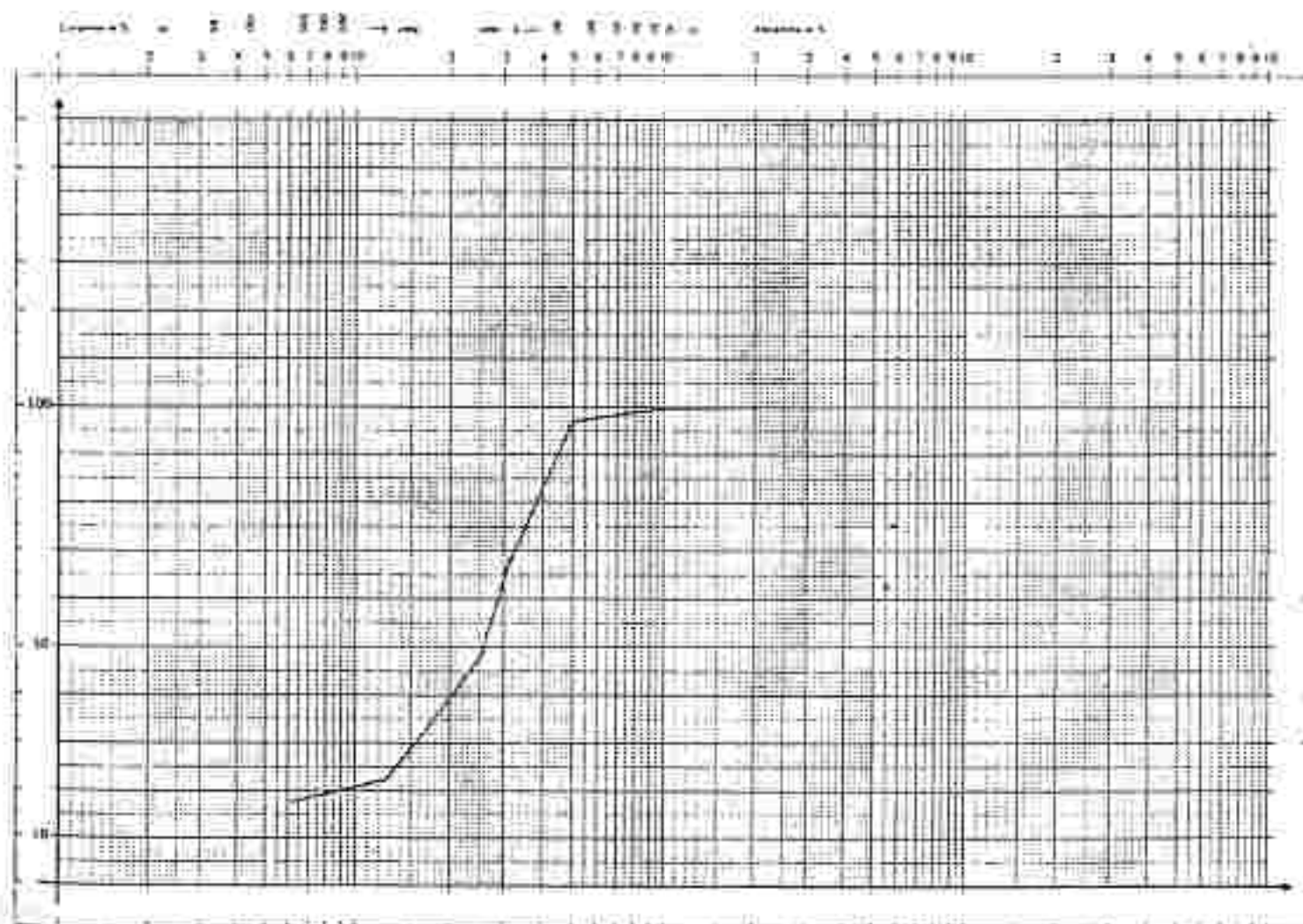
Sulmeck-Greith 4

Probe 206/Z a (Heinrich 1982)

Korngrößenanalyse:

mm Ø Gew.-%

| <0,063 | >0,063 | >0,125 | >0,25 | >0,50 | >0,75 | >1,0 | >2,0 | >4,0 | >8,0 |
|--------|--------|--------|-------|-------|-------|------|------|------|------|
| 17,7 | 4,6 | 25,4 | 20,5 | 25,8 | 7,9 | 0,0 | - | - | - |

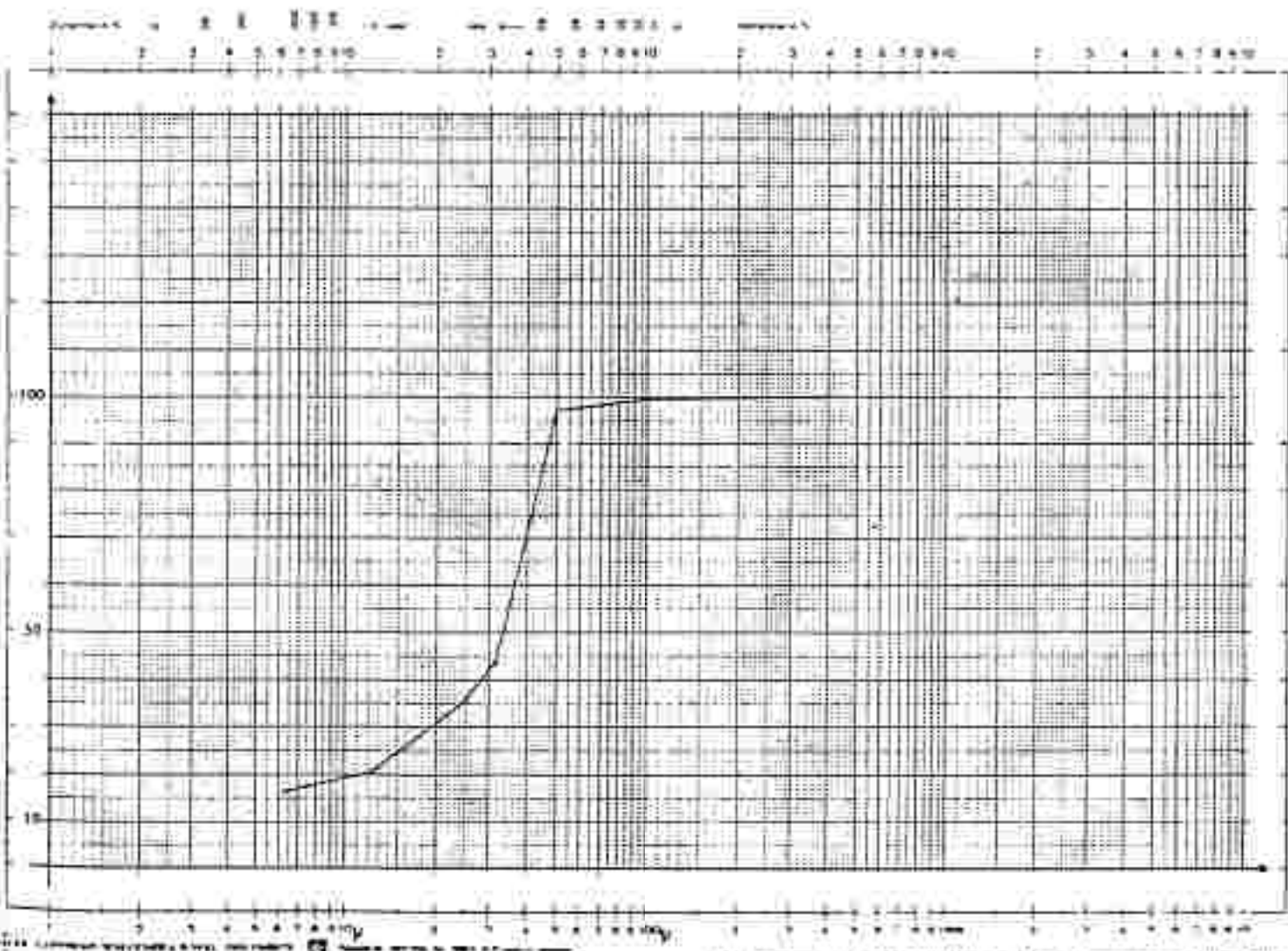


Sulmeck-Greith 5 (Heinrich 1982)

Korngrößenanalyse:

mm Ø Gew.-%

| $<0,063$ | $>0,063$ | $>0,125$ | $>0,25$ | $>0,50$ | $>0,75$ | $>1,0$ | $>2,0$ | $>4,0$ | $>8,0$ |
|----------|----------|----------|---------|---------|---------|--------|--------|--------|--------|
| 26,1 | 4,2 | 14,9 | 8,2 | 53,5 | 7,7 | 0,1 | 0,0 | - | - |

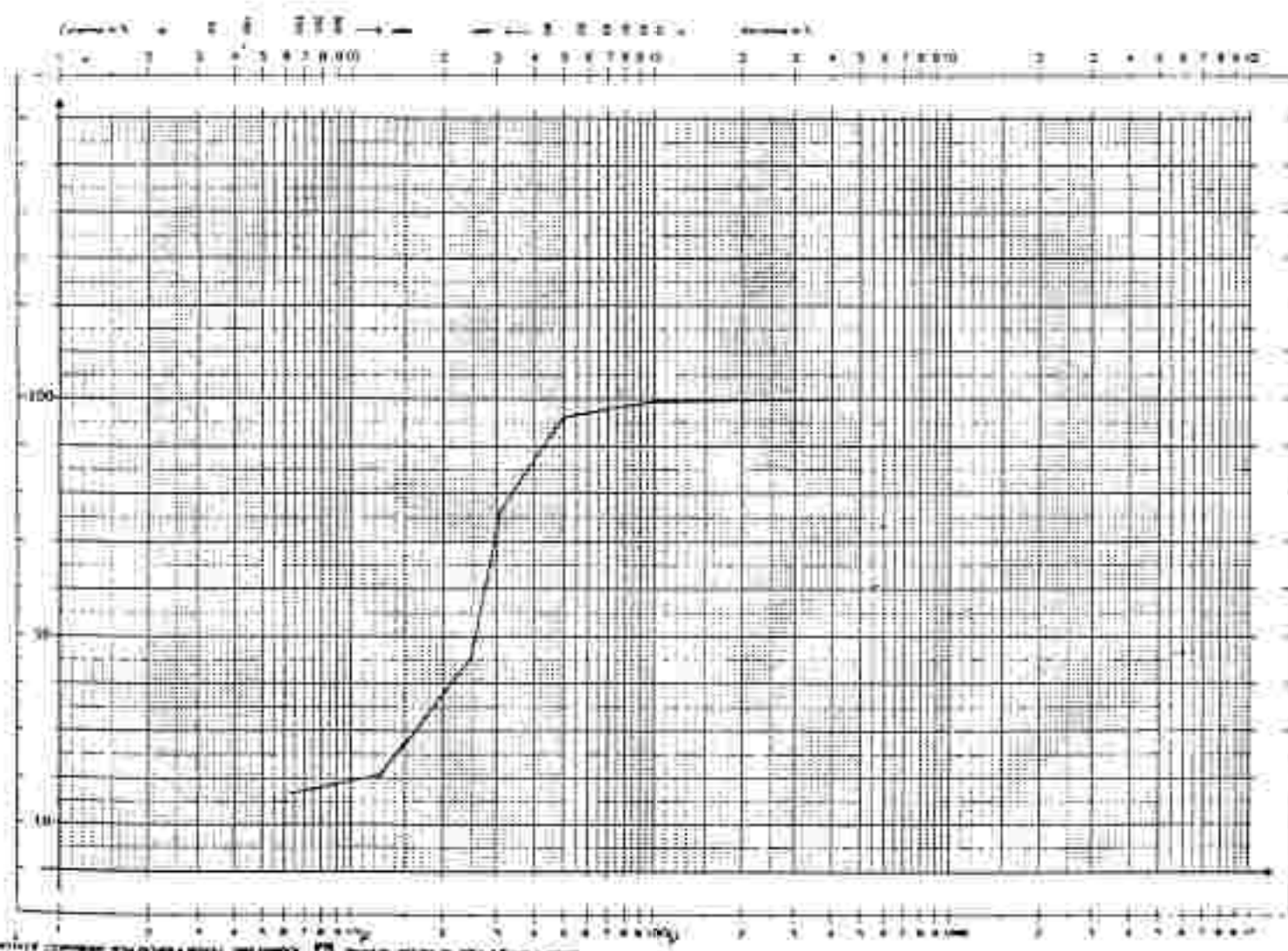


Sulmeck-Greith 7 (Heinrich 1982)

Korngrößenanalyse:

mm Ø Gew.-%

| $< 1,063$ | $> 1,063$ | $> 0,175$ | $> 0,25$ | $> 0,315$ | $> 0,5$ | $> 1,0$ | $> 2,0$ | $> 4,0$ | $> 8,0$ |
|-----------|-----------|-----------|----------|-----------|---------|---------|---------|---------|---------|
| 16,3 | 3,9 | 24,6 | 31,3 | 19,7 | 3,5 | 0,2 | 0,1 | - | - |



Mittlere Eibiswalder Schichten - Pitschgaukonglomerat

Aufschluß:

Pitschgau 7

Mittlere Eibiswalder Schichten - Sand

Aufschlüsse:

Pitschgau 1,4

Wies 4

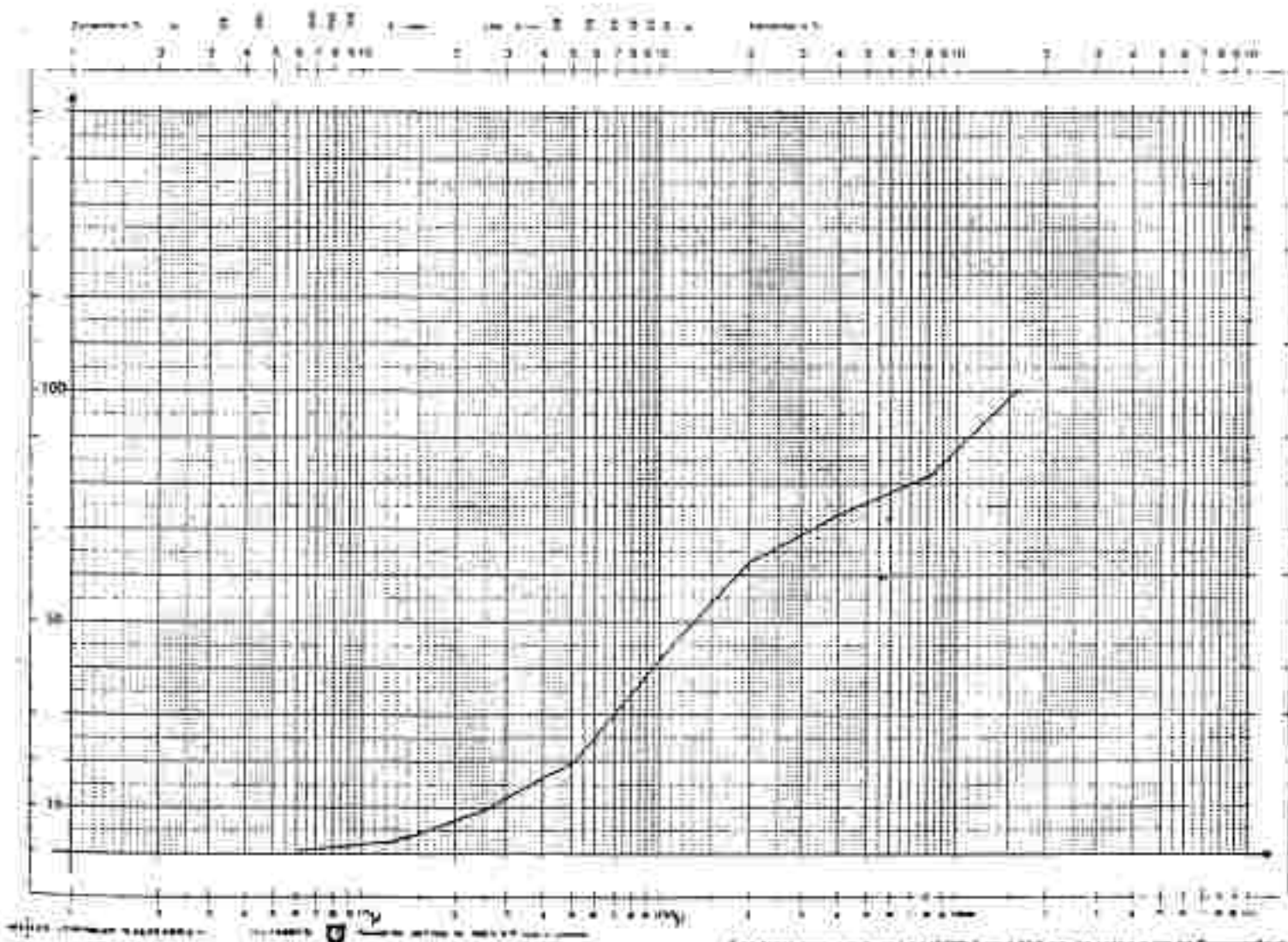
Wies 4 (Heinrich 1982)

Korngröße 0,1 - 0,4 mm < 50%, mit Karbonat
 (Nach H.HOLZEN & R.EHN 1979)

Korngrößenanalyse:

mm Ø Gew.-%

| $< 0,063$ | $> 0,063$ | $> 0,125$ | $> 0,25$ | $> 0,5$ | $> 1,0$ | $> 2,0$ | $> 4,0$ | $> 8,0$ | |
|-----------|-----------|-----------|----------|---------|---------|---------|---------|---------|------|
| 0,5 | 2,0 | 6,6 | 3,6 | 6,2 | 23,0 | 20,4 | 11,0 | 8,3 | 18,4 |

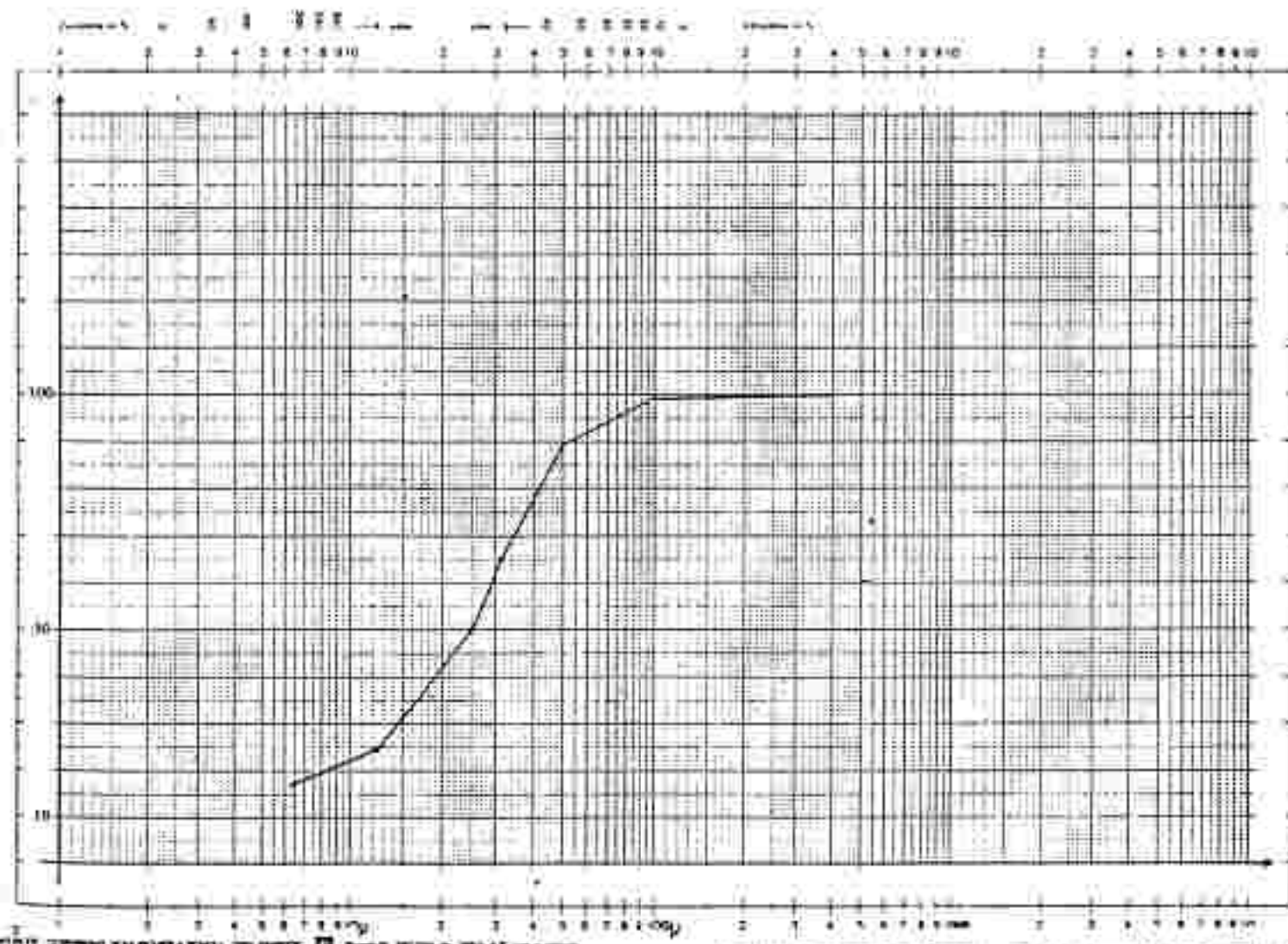


Pitschgau 1 (Heinrich 1982)

Korngrößenanalyse:

mm Ø Gew.-%

| $\leq 0,063$ | $> 0,063$ | $> 0,125$ | $> 0,25$ | $> 0,5$ | $> 1,0$ | $> 2,0$ | $> 4,0$ | $> 8,0$ |
|--------------|-----------|-----------|----------|---------|---------|---------|---------|---------|
| 17,33 | 6,77 | 25,25 | 14,65 | 28,30 | 10,01 | 0,54 | 0,34 | - |



Untere Eibiswalder Schichten - Sand

Aufschlüsse:

Großradi 1, 4, 5, 6, 10

Großradi 4 (Holzer & Uhn, 1979)

Korngröße 0,1 - 0,4mm: 50-65 %, ohne Karbonat

| <0,03 | >0,36 | >0,1 | >0,16 | >0,25 | >0,4 | >0,63 | >1,0 | >2,0 |
|-------|-------|-------|-------|-------|------|-------|------|------|
| 21,32 | 9,28 | 13,19 | 27,09 | 18,92 | 8,17 | 1,87 | 0,15 | - |

Mineralogie: Quarz: eckig mit einigen leicht gerundeten Formen;
einige Körner sind mit Magnetit verwachsen
Sehr glimmerreich

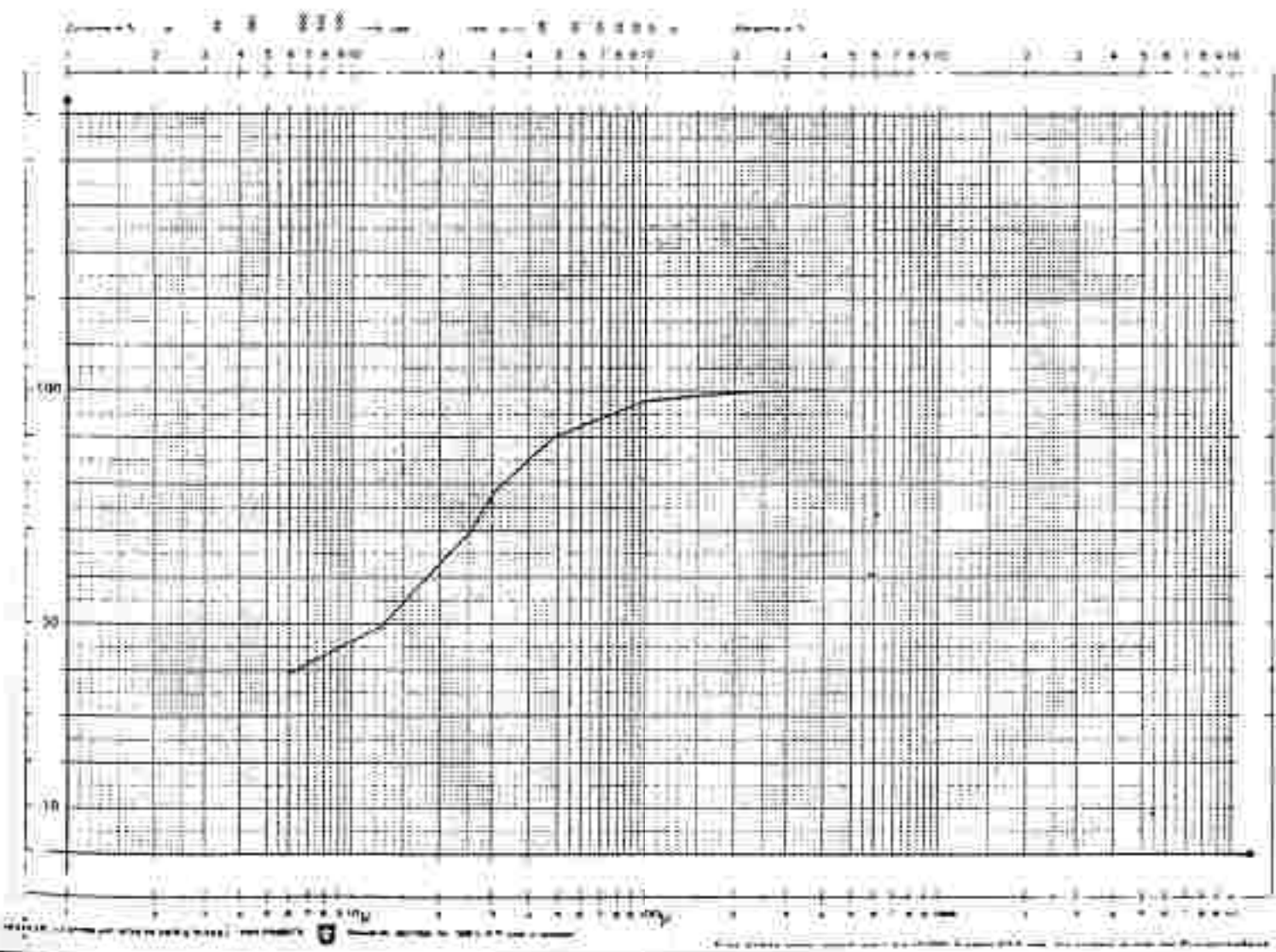
Großradi S (Heinrich 1982)

Probe 206/12

Kerngrößenanalyse:

min ① Gepl. -

| $\leq 1,06$ | $> 1,06$ | $\geq 0,125$ | $> 0,75$ | $> 0,315$ | $> 5,3$ | $> 1,0$ | $> 1,0$ | $> 4,0$ | $> 5,0$ |
|-------------|----------|--------------|----------|-----------|---------|---------|---------|---------|---------|
| 39,1 | 9,9 | 20,1 | 9,9 | 11,1 | 7,7 | 1,6 | 0,6 | - | - |



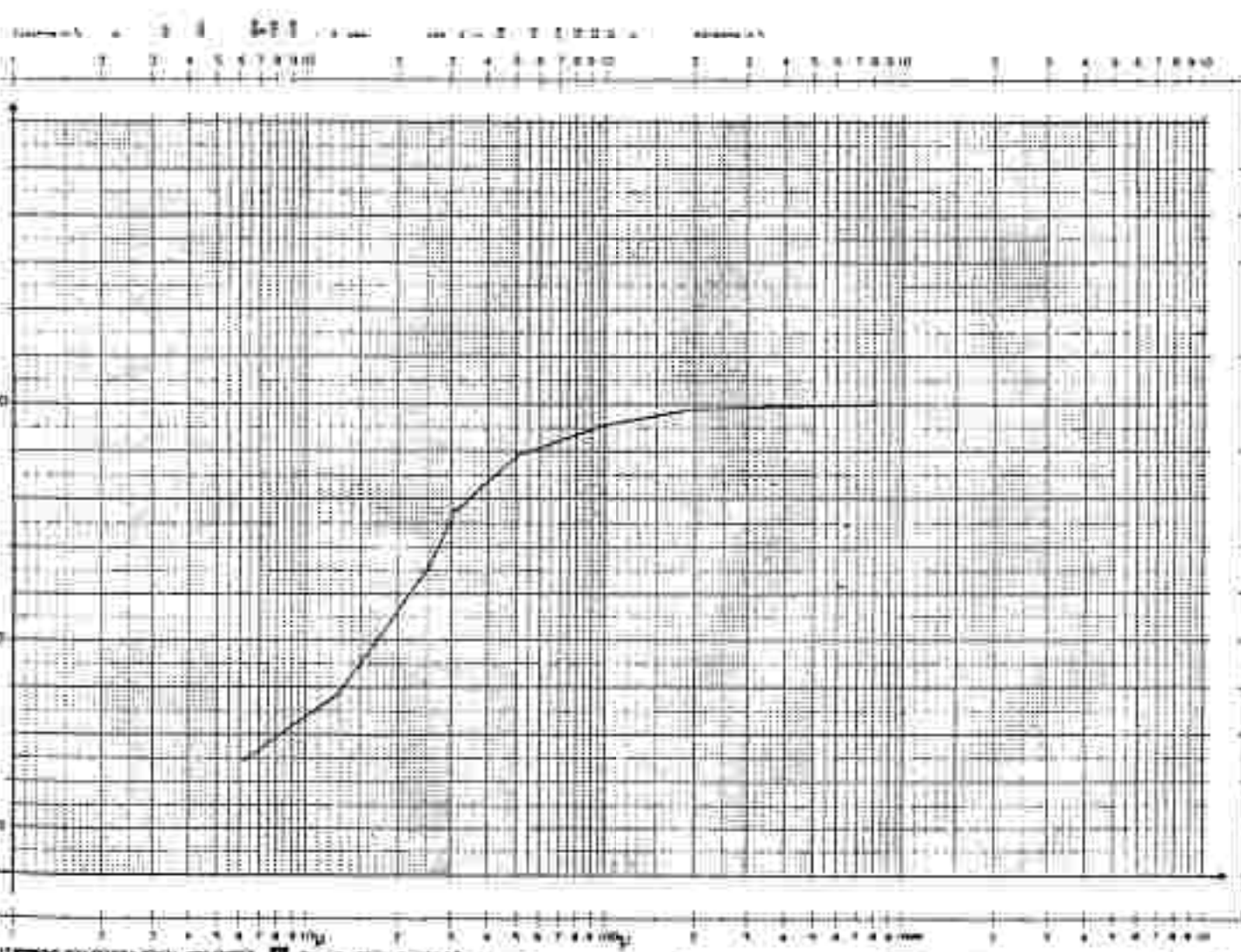
Großgradi 5

Probe 206/12 a (Hainrich 1982)

Korngrößenanalyse:

mm Ø Gew.-%

| $< 0,063$ | $> 0,063$ | $> 0,125$ | $> 0,25$ | $> 0,50$ | $> 1,0$ | $> 2,0$ | $> 4,0$ | $> 8,0$ | $> 16,0$ |
|-----------|-----------|-----------|----------|----------|---------|---------|---------|---------|----------|
| 26,6 | 11,4 | 27,5 | 12,3 | 11,3 | 6,6 | 3,5 | 0,6 | 9,2 | - |



Großradl 8

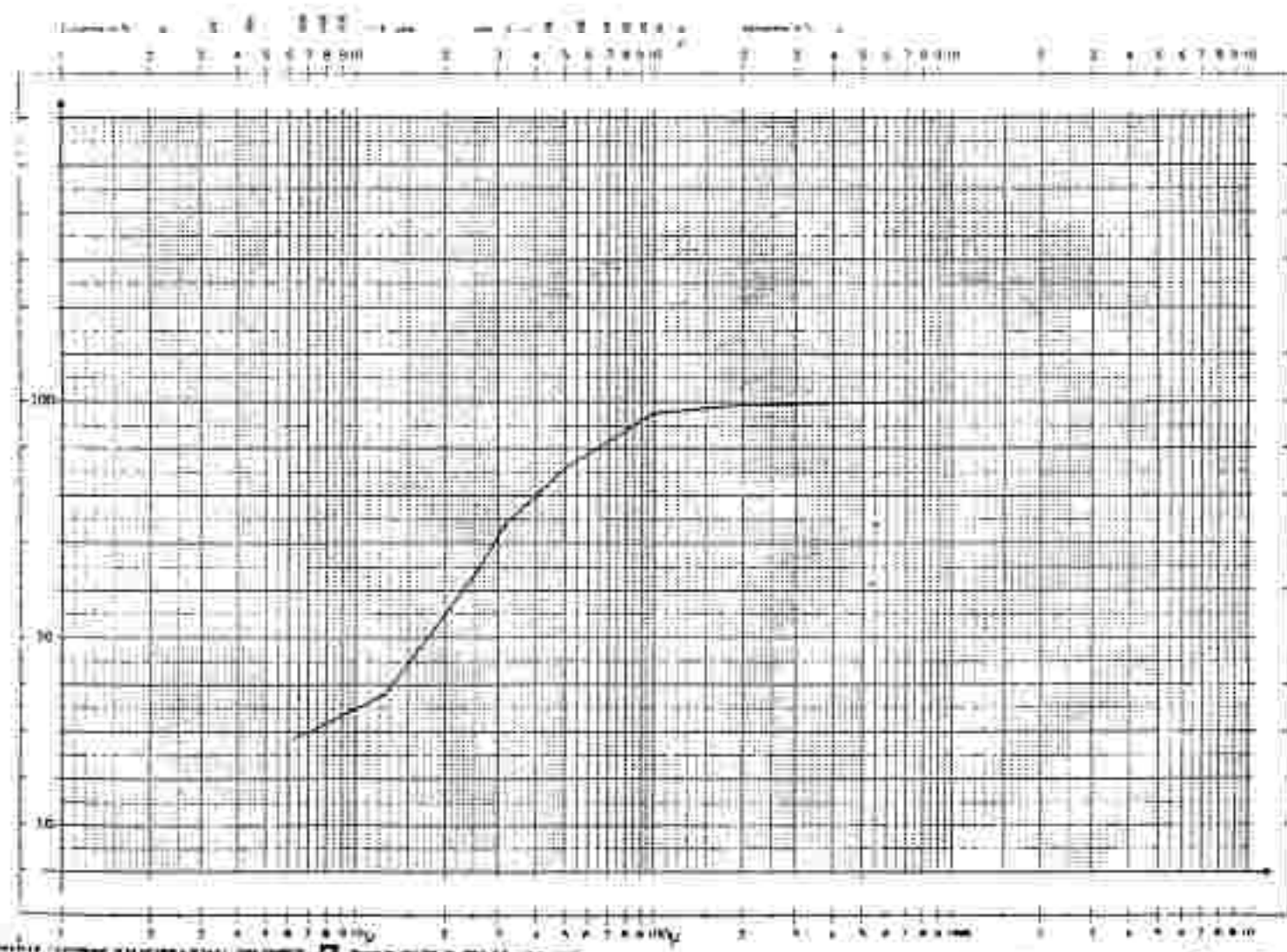
Korngröße 0,1 - 0,4 mm < 50 %, ohne Karbonat

(nach HOLZER & EHN, 1979)

Korngrößenanalyse:

mm Ø / Gew.-%

| $<0,063$ | $>0,063$ | $>0,125$ | $>0,25$ | $>0,50$ | $>0,75$ | $>1,0$ | $>1,5$ | $>2,0$ | $>3,0$ | $>6,0$ |
|----------|----------|----------|---------|---------|---------|--------|--------|--------|--------|--------|
| 28,6 | 9,1 | 25,4 | 10,5 | 17,0 | 12,1 | 1,7 | 0,4 | 0,1 | — | — |



5.4.10.2 Florianer Schichten

Die Florianer Schichten bilden eine relativ geringmächtige, marin-brackische Sedimentabfolge, die sich durch einen raschen Wechsel von glimmerigen Grob- und meist tonig-schluffigen Feinsanden mit teilweise Kies- und Gerölllagen und Peliten auszeichnet. Eingeschaltet sind Tuff-Bentonithorizonte. Die Sande der Florianer Schichten sind häufig glimmerreich, teilweise karbonatisch und meist tonig-schluffig. Häufig finden sich Ton-Schlufflagen und -linsen.

All diese Faktoren weisen auf eine mindere Sandqualität hin. Die Sande der Florianer Schichten wurden bisher nur für den lokalen Hausbau oder als Schüttmaterial für Dämme bei Fischteichen verwendet.

Hangendsand

Abbaue und Aufschlüsse:

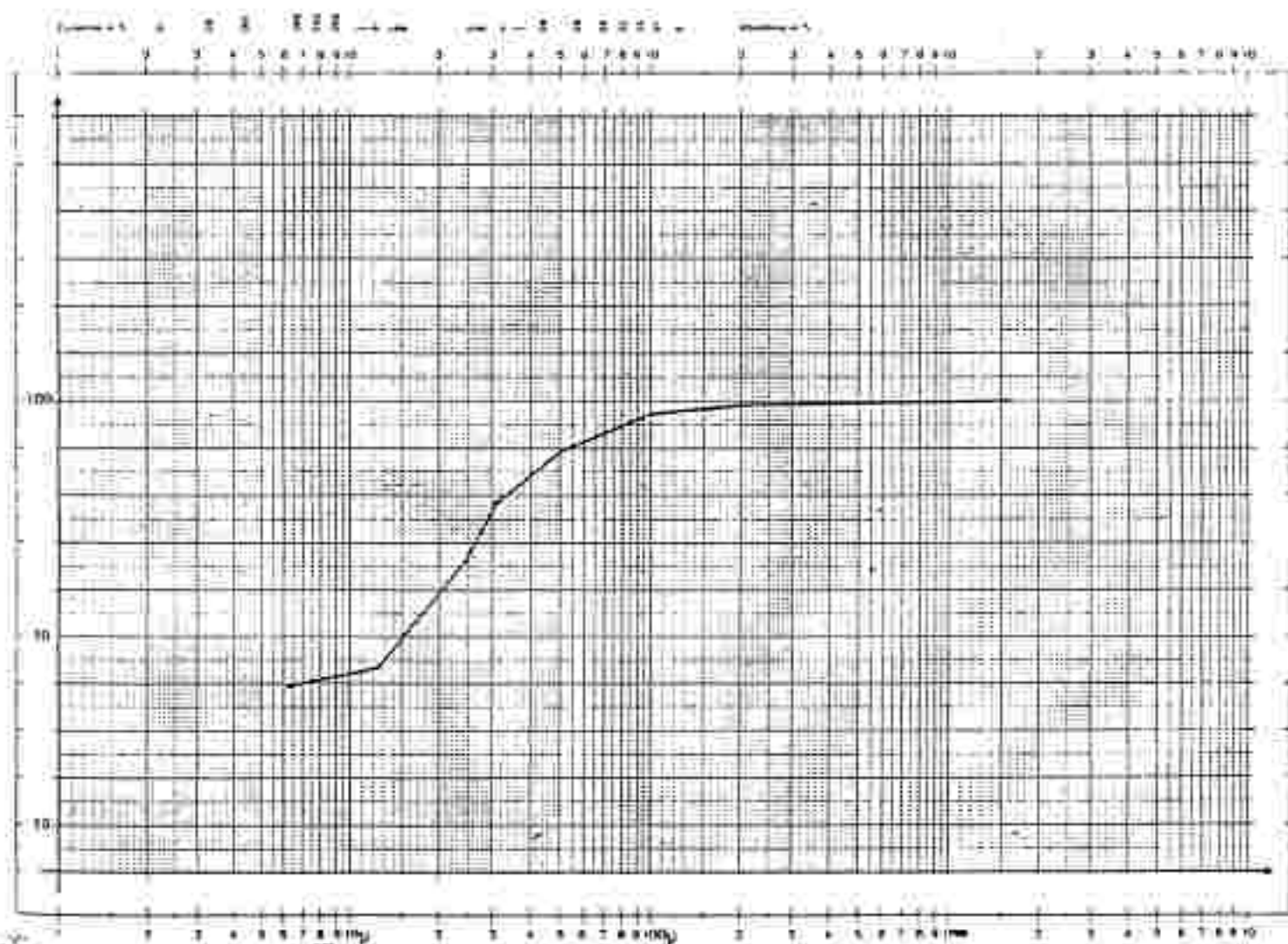
Groß St. Florian 1
Rassach 6,10
St. Martin 1
St. Peter 2,5
Unterbergla 9,12

Rossach 10 (Heinrich 1982)

Korngrößenanalyse:

mm Ø Gew.-%

| $<0,063$ | $>0,063$ | $>0,125$ | $>0,25$ | $>0,5$ | $>0,75$ | $>1,0$ | $>1,5$ | $>2,0$ | $>3,0$ | $>5,0$ |
|----------|----------|----------|---------|--------|---------|--------|--------|--------|--------|--------|
| 39,3 | 3,6 | 24,3 | 10,8 | 8,2 | 1,6 | 0,6 | 0,2 | 0,2 | - | - |



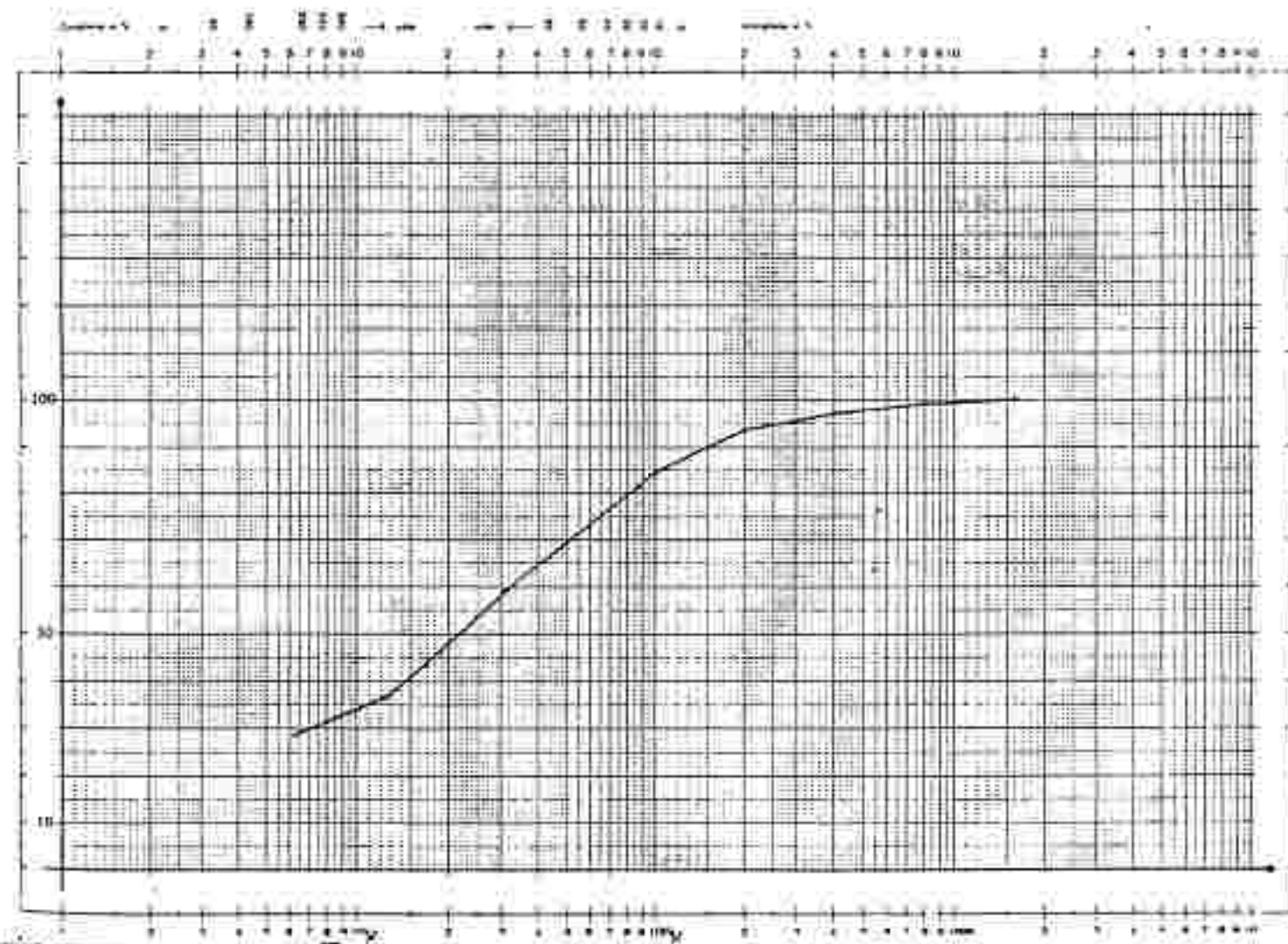
St.Martin 1

Korngröße 0,1 - 0,4mm < 50%, ohne Karbonat
 (nach HOUZER & EHN 1979)

Korngrößenanalyse: (Heinrich 1982)

mm Ø Gew.-%

| $\leq 0,063$ | $> 0,063$ | $> 0,125$ | $> 0,25$ | $> 0,5$ | $> 1,0$ | $> 2,0$ | $> 4,0$ | $> 8,0$ |
|--------------|-----------|-----------|----------|---------|---------|---------|---------|---------|
| 28,6 | 8,0 | 17,0 | 5,4 | 10,4 | 15,0 | 9,2 | 3,2 | 1,9 |

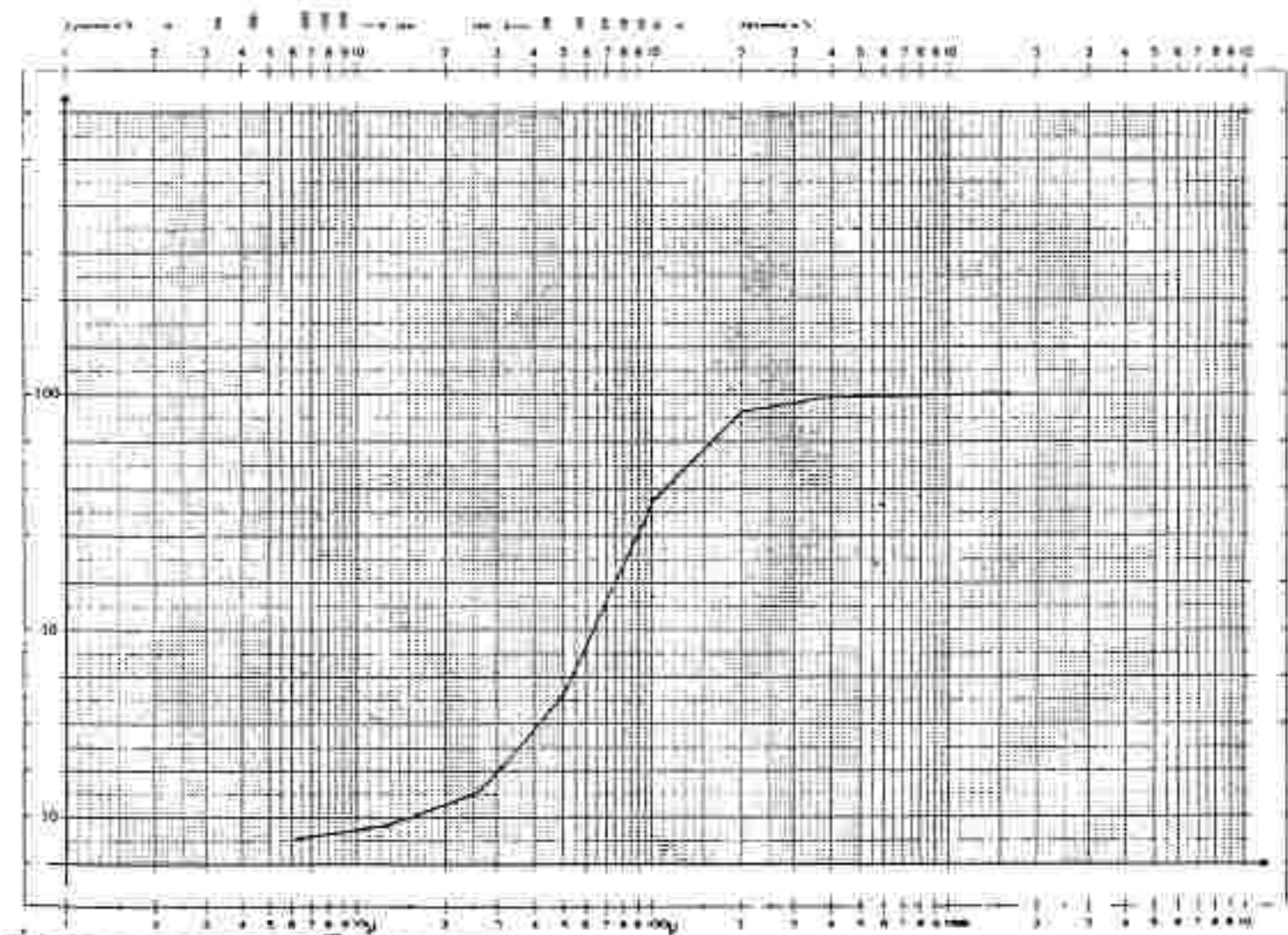


St. Peter 5 (Heinrich 1982)

Korngrößenanalyse:

mm Ø Gew.-%

| $\leq 1,25$ | $> 1,25$ | $> 2,5$ | $> 5,0$ | $> 10,0$ | $> 20,0$ | $> 40,0$ | $> 80,0$ |
|-------------|----------|---------|---------|----------|----------|----------|----------|
| 5,5 | 7,6 | 6,1 | 5,9 | 15,4 | 41,5 | 38,4 | 3,6 |



Zone der Wechsellegerung

Abbaue und Aufschlüsse:

Groß St. Florian 1
Rassach 8
St. Martin 5, 12
St. Peter 1
Stainztaal 10
Unterbergla 7, 8, 10, 15, 16

Unterbergla 8

Korngröße 0,1 - 0,4mm: 50-55%, ohne Karbonat, wenig Glimmer

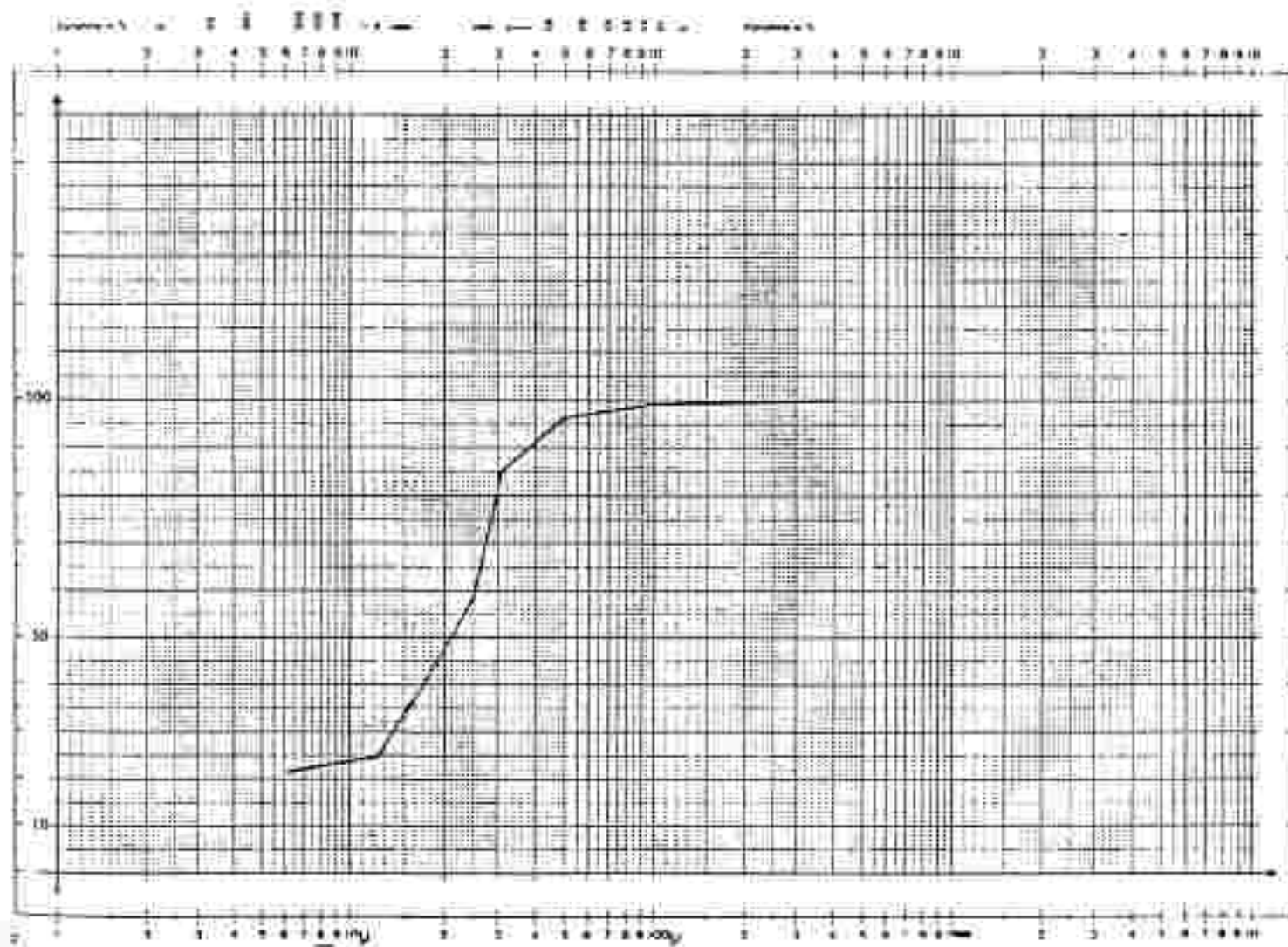
(nach HOLZER & EBEL 1979)

| $<0,063$ | $>0,063$ | $>0,1$ | $>0,16$ | $>0,25$ | $>0,4$ | $>0,63$ | $>1,0$ | $>2,0$ |
|----------|----------|--------|---------|---------|--------|---------|--------|--------|
| 6,98 | 2,82 | 4,76 | 25,43 | 28,08 | 16,16 | 8,82 | 5,65 | 0,29 |

Korngrößenanalyse: (Heinrich 1952)

mm Ø Gew.-%

| $<0,063$ | $>0,063$ | $>0,125$ | $>0,25$ | $>0,315$ | $>0,4$ | $>0,63$ | $>1,0$ | $>2,0$ | $>4,0$ | $>8,0$ |
|----------|----------|----------|---------|----------|--------|---------|--------|--------|--------|--------|
| 21,8 | 3,1 | 33,1 | 27,3 | 11,2 | 2,9 | 0,4 | 0,1 | - | - | - |



Unterbergla 11

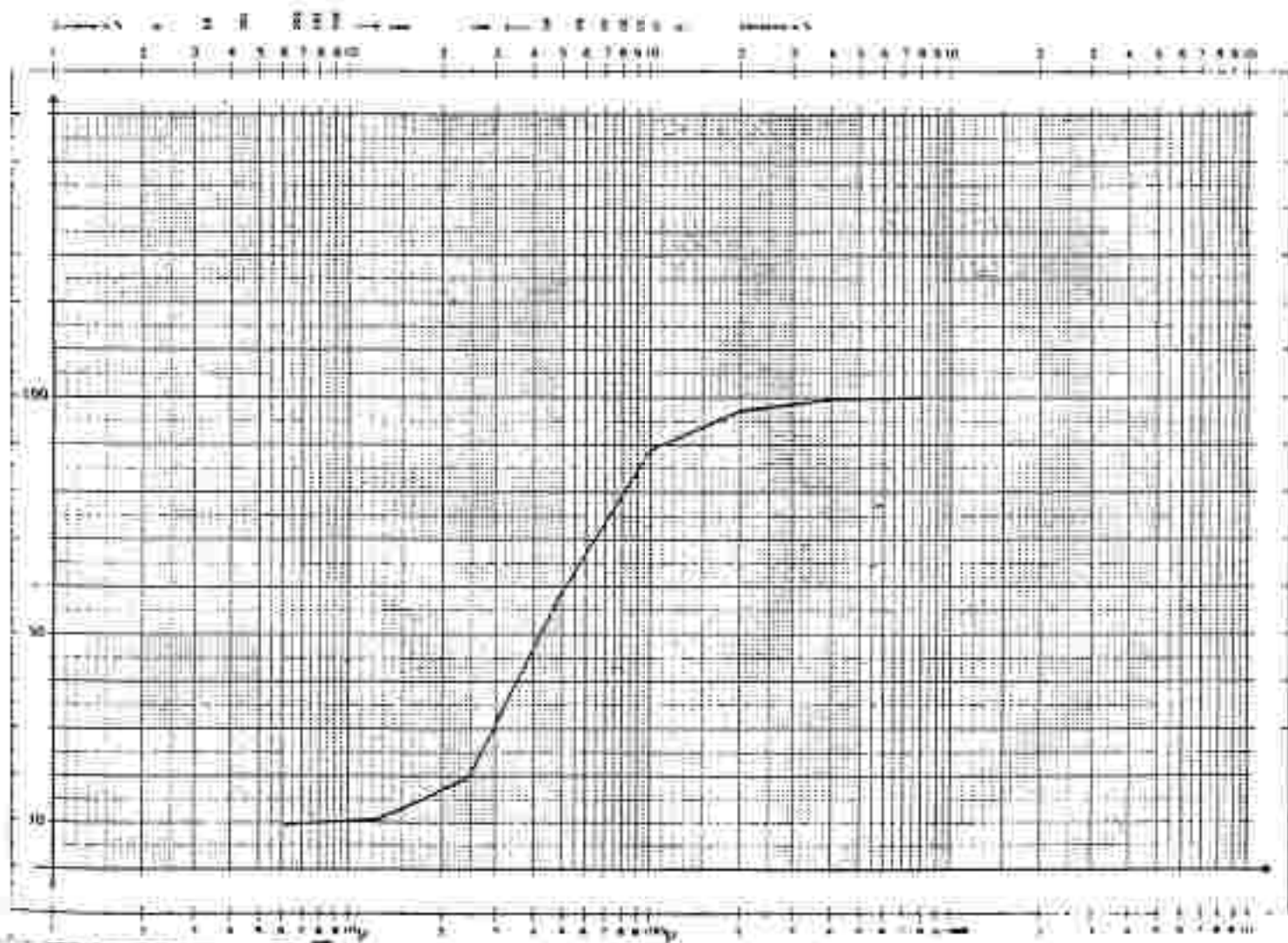
Korngröße $0,1 - 0,4 \text{ mm} < 50\%$, ohne Karbonat

(nach HOLZER & EHN 1979)

Korngrößenanalyse: (Heinrich 1982)

mm Ø Gew.-%

| $< 0,063$ | $> 0,063$ | $> 0,125$ | $> 0,25$ | $> 0,375$ | $> 0,75$ | $> 1,0$ | $> 1,5$ | $> 2,0$ | $> 3,0$ | $> 5,0$ |
|-----------|-----------|-----------|----------|-----------|----------|---------|---------|---------|---------|---------|
| 9,4 | 1,2 | 9,3 | 12,4 | 25,4 | 30,4 | 8,2 | 2,7 | 0,3 | — | — |



Zone der Wechsellagerung und 2. Grobsandhorizont
(nicht differenzierbar)

Abbae und Aufschlüsse:

Georgsberg 7,11
Lannach 3,11
Preding 1
St. Josef 3,5,6,8
St. Stefan 2
Stainztal 1,2,3

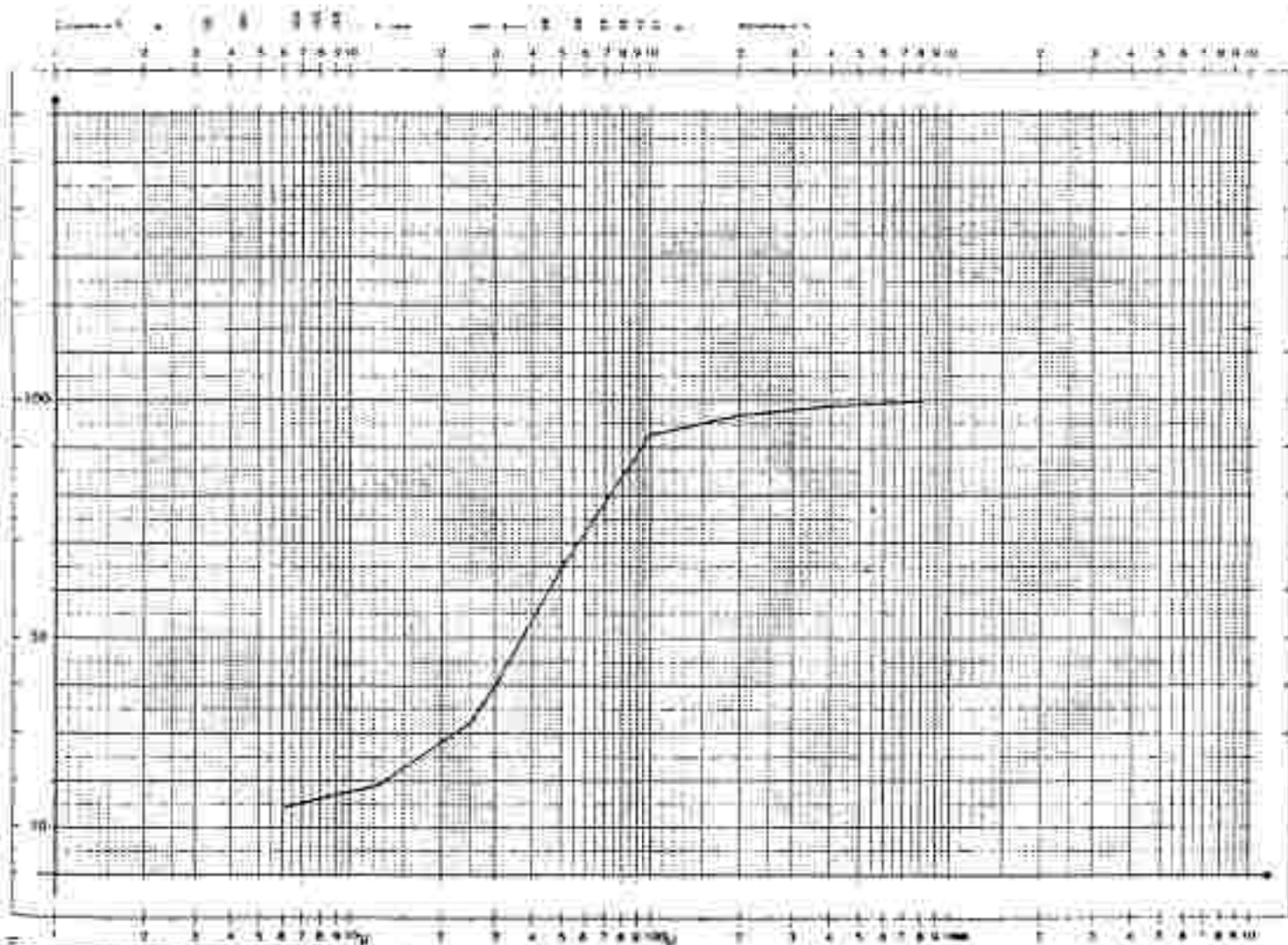
Georgsberg 11

Korngröße 0,1 – 0,4 mm < 50%, ohne Karbonat
(nach HOLZER & SHM 1979)

Korngrößenanalyse: (Heinrich 1982)

mm Ø Gew.-%

| < 0,063 | > 0,063 | > 0,125 | > 0,25 | > 0,315 | > 0,5 | > 1,0 | > 1,5 | > 2,0 | > 3,0 |
|---------|---------|---------|--------|---------|-------|-------|-------|-------|-------|
| 14,3 | 4,7 | 13,3 | 9,7 | 23,9 | 47,8 | 4,3 | 1,9 | 1,1 | - |



Tannach 11

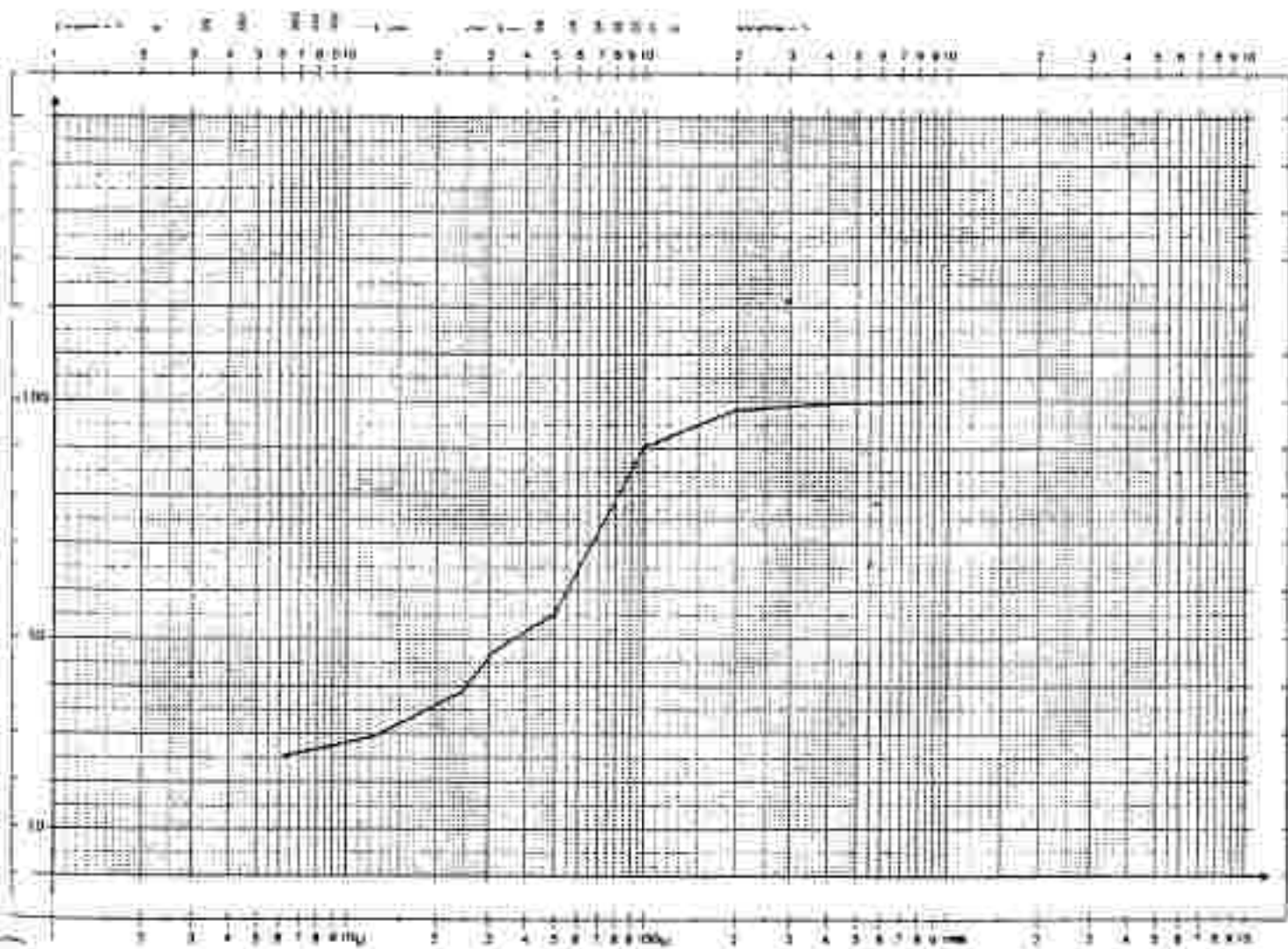
Korngröße 0,1 - 0,4 mm < 50%, ohne Karbonat

(nach HOLZER & EHN 1979)

Korngrößenanalyse: (Heinrich 1982)

mm Ø Gew.-%

| < 0,063 | > 0,063 | > 0,125 | > 0,25 | > 0,50 | > 1,0 | > 2,0 | > 4,0 | > 8,0 | > 16,0 |
|---------|---------|---------|--------|--------|-------|-------|-------|-------|--------|
| 25,1 | 1,9 | 10,2 | 1,8 | 7,0 | 22,5 | 7,8 | 1,6 | 0,2 | |

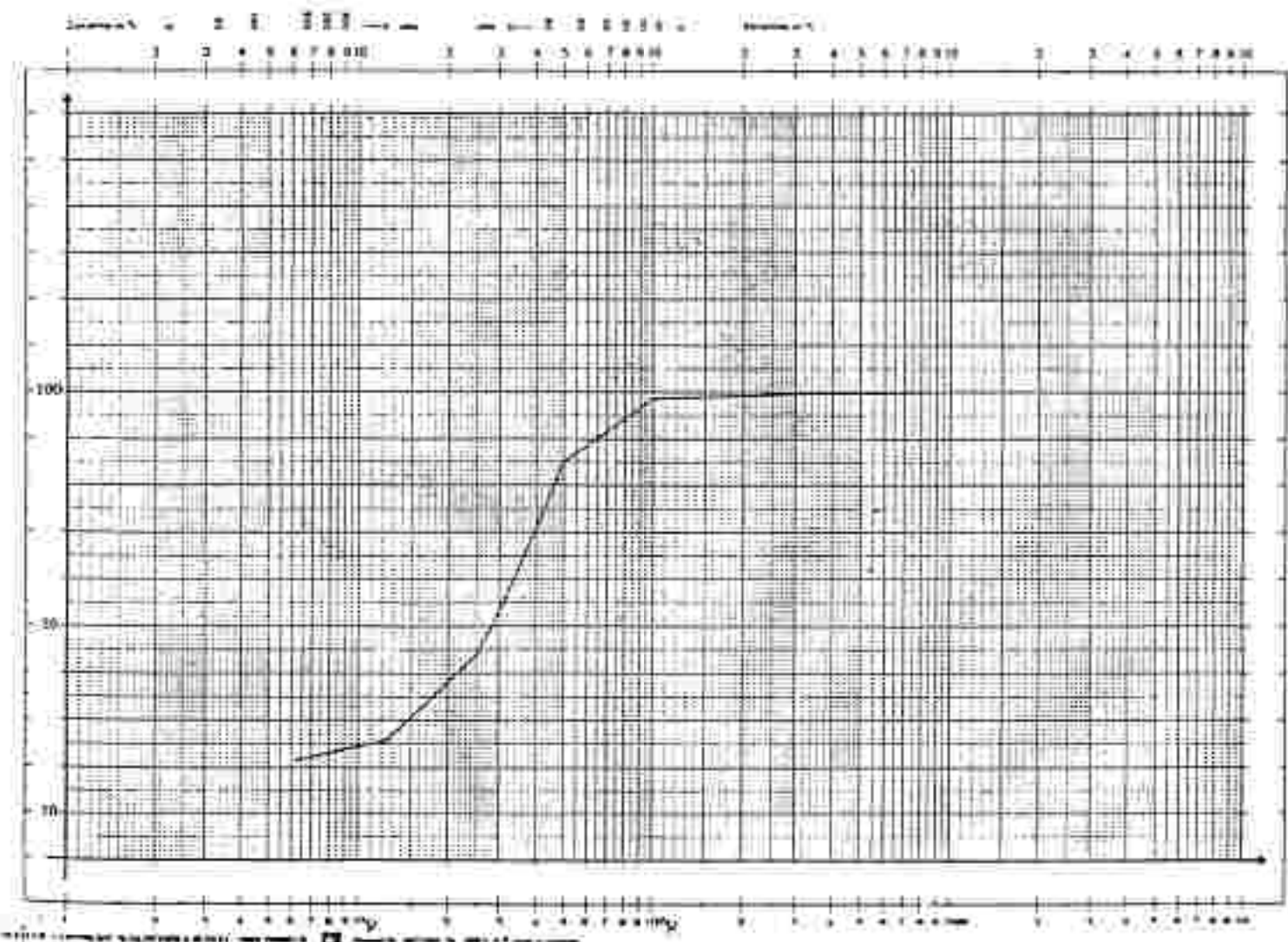


St. Josef 3 (Meinrich 1982)

Korngrößenanalyse:

mm Ø Gew.-%

| <1,50 | >1,50 | >2,125 | >2,75 | >3,33 | >4,50 | >5,0 | >7,5 | >10,0 | >15,0 |
|-------|-------|--------|-------|-------|-------|------|------|-------|-------|
| 21,4 | 4,4 | 18,0 | 12,0 | 29,4 | 10,5 | 0,9 | 0,2 | 0,2 | - |



St. Josef 6

Korngröße 0,1 - 0,4mm: > 65%, ohne Käbonat

Mineralogie: Quarz stellenweise mit Turmalin und Muskowit verwachsen, tw. Körner mit mattierter Oberfläche
viel Magnetit, Feldspate, Hornblende, Muskowit, Granat

Röntgendiffraktometrie: Quarz, Plagioklas, Mikroklin, Hornblende, Muskowit, Chlorite

Eisen-Bestimmung: 1,8 % Fe₂O₃ Glühverlust: 1,66 - 1,88

(nach H. HOLZER & R. ZH 1979)

| <0,06 | >0,06 | >0,1 | >0,16 | >0,25 | >0,4 | >0,63 | >1,0 | >2,0 |
|-------|-------|-------|-------|-------|------|-------|------|------|
| 5,15 | 9,50 | 10,69 | 46,27 | 13,73 | 2,75 | 1,08 | 0,62 | 0,14 |
| 7,39 | 11,10 | 25,10 | 41,67 | 9,22 | 2,32 | 1,37 | 1,31 | 0,53 |

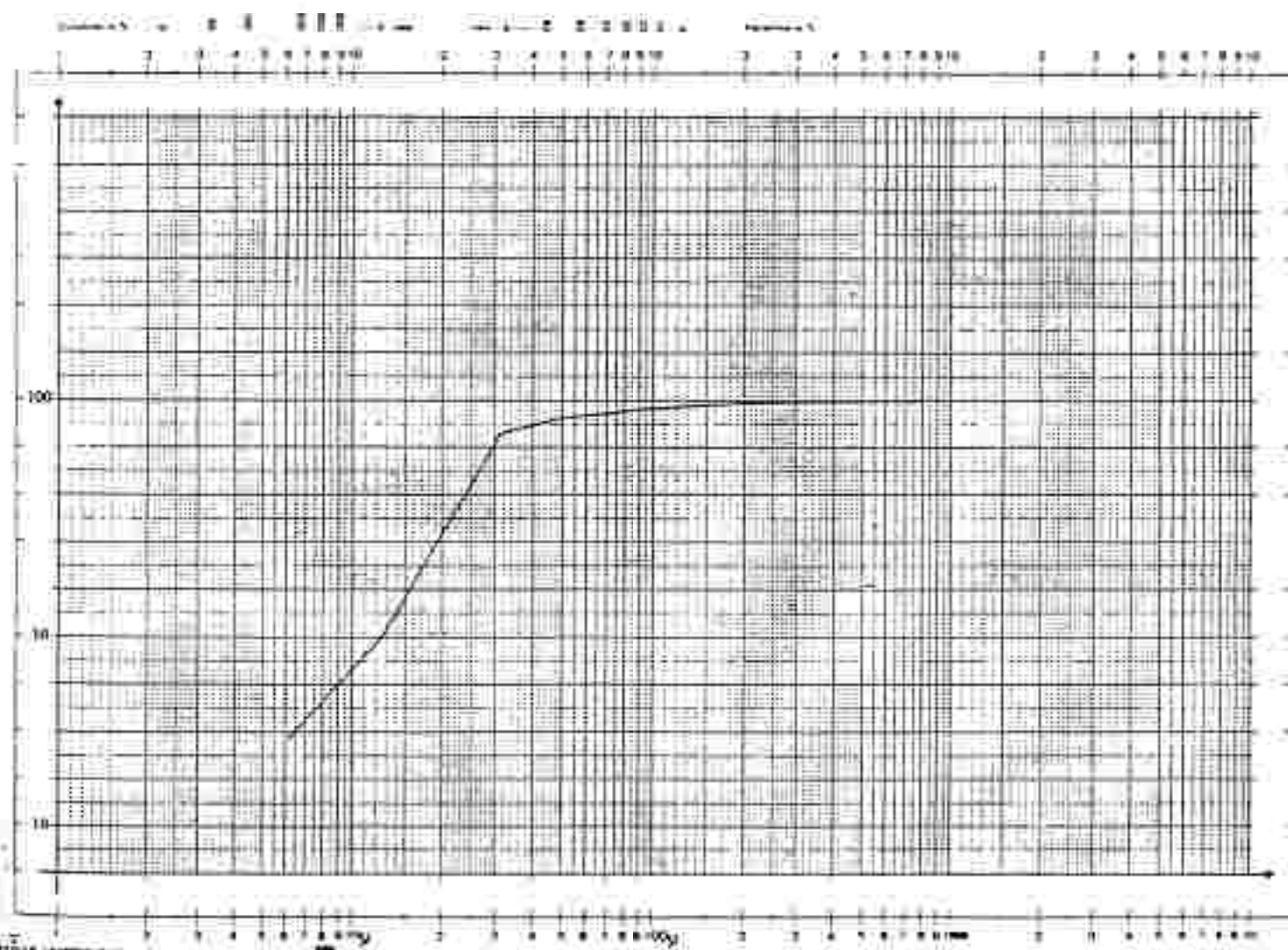
St. Josef 6

Probe 190/8 a

Korngrößenanalyse: (Reinrich 1982)

um Ø Gew.-%

| <1,63 | >1,63 | >0,125 | >0,25 | >0,315 | >0,5 | >1,0 | >1,6 | >3,2 | >6,3 |
|-------|-------|--------|-------|--------|------|------|------|------|------|
| 73,7 | 21,1 | 32,3 | 10,7 | 3,6 | 2,0 | 1,0 | 0,4 | 0,0 | - |



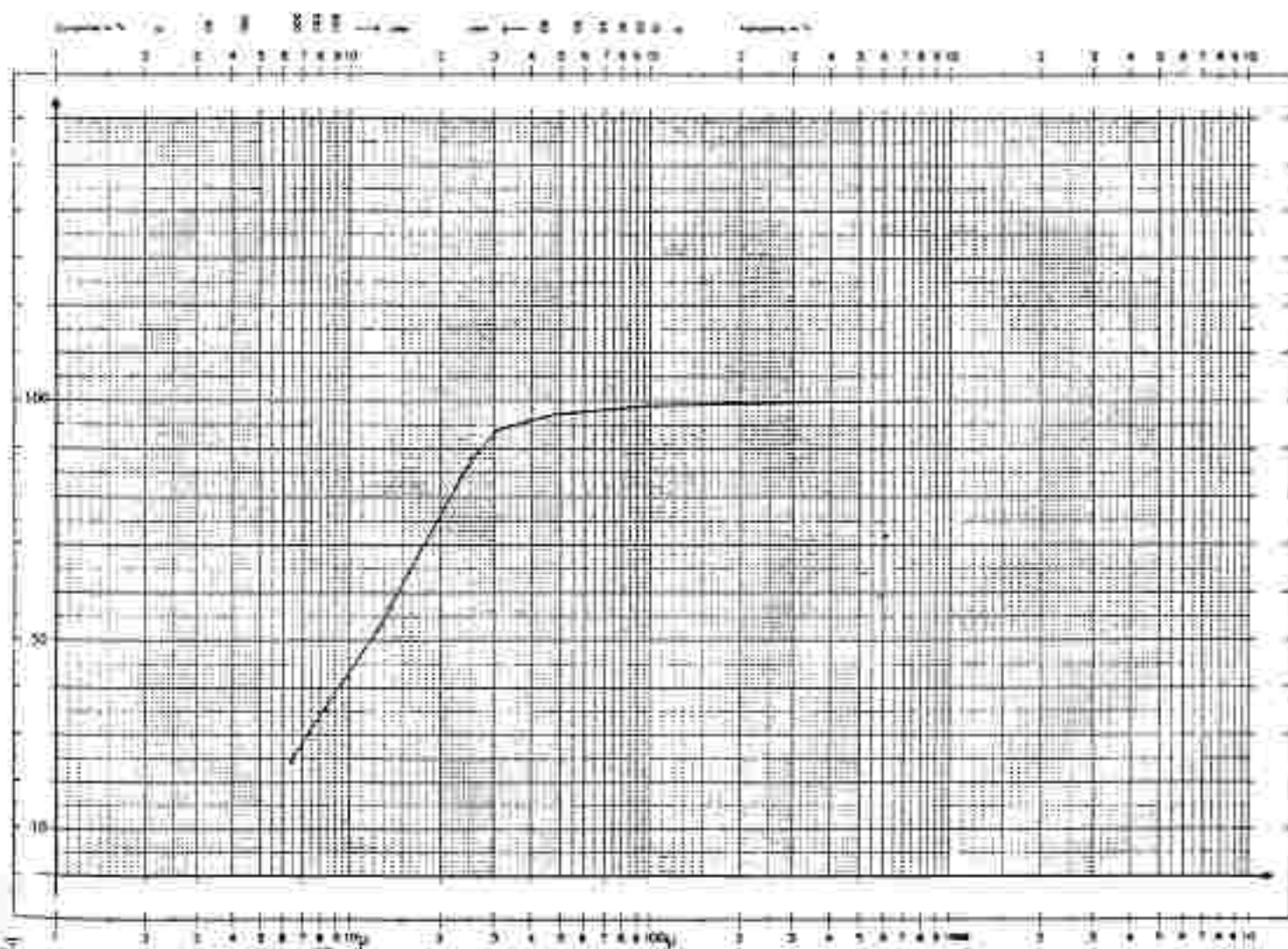
St. Josef 6

Probe 190/8 b

Körngrößenanalyse: (Heinrich 1982)

mm Ø Gew.-%

| $\leq 0,063$ | $> 0,063$ | $> 0,125$ | $> 0,25$ | $> 0,315$ | $> 0,5$ | $> 1,0$ | $> 2,0$ | $> 4,0$ | $> 8,0$ |
|--------------|-----------|-----------|----------|-----------|---------|---------|---------|---------|---------|
| 24,1 | 27,9 | 34,9 | 6,9 | 3,5 | 1,7 | 0,5 | 0,2 | 0,1 | - |

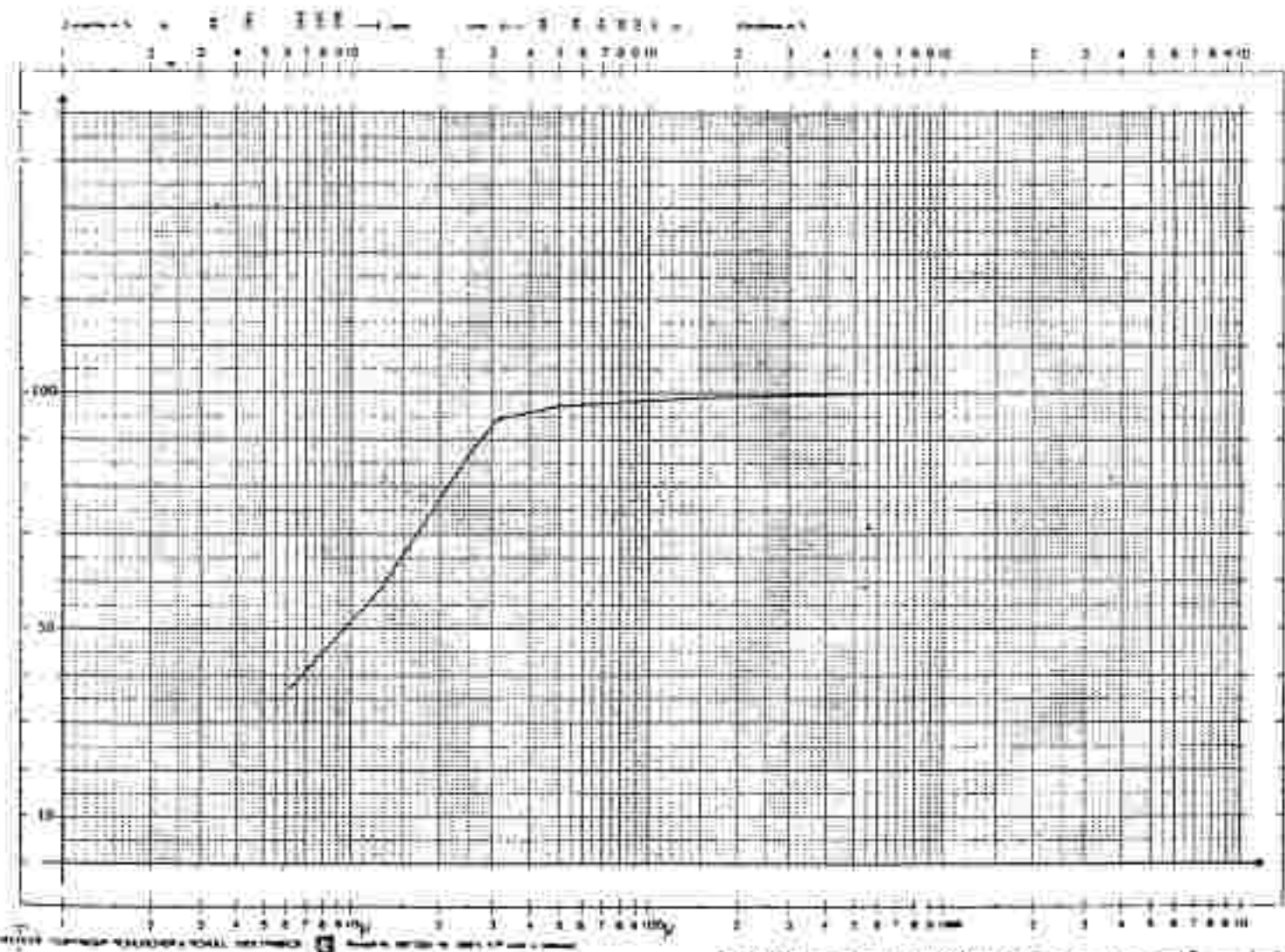


St. Josef 8 (Heinrich 1982)

Korngrößenanalyse:

mm Ø Gew.-%

| $\leq 1,01$ | $> 1,06$ | $\geq 1,125$ | $\geq 1,19$ | $\geq 0,215$ | $\geq 0,4$ | $\geq 1,0$ | $\geq 1,3$ | $\geq 1,7$ | $\geq 4,0$ |
|-------------|----------|--------------|-------------|--------------|------------|------------|------------|------------|------------|
| 37,7 | 20,5 | 28,6 | 1,3 | 3,7 | 1,2 | 5,7 | 0,5 | 0,2 | - |



Stainztal 1

Korngröße 0,1 - 0,4mm: 50-65 %, ohne Karbonat

| < 0,06 | > 0,06 | > 0,1 | > 0,16 | > 0,25 | > 0,4 | > 0,63 | > 1,0 | > 2,0 |
|--------|--------|-------|--------|--------|-------|--------|-------|-------|
| 8,99 | 5,30 | 9,19 | 22,96 | 20,00 | 18,14 | 8,69 | 3,85 | 2,05 |

(nach HOLZER & EHN 1979)

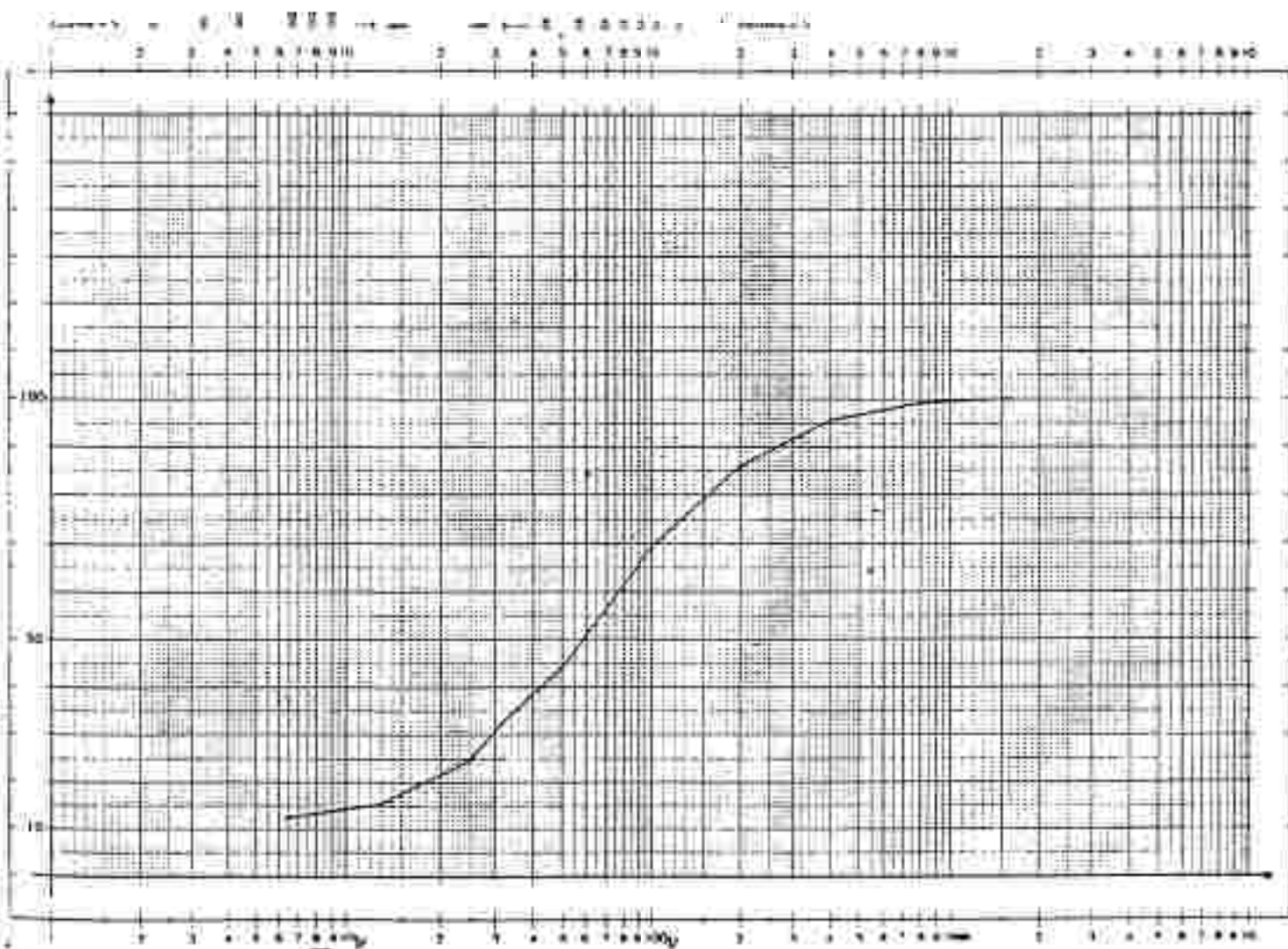
Probe 7

(Heinrich 1982)

Korngrößenanalyse:

mm Ø Gew.-%

| < 0,06 | > 0,06 | > 0,125 | > 0,25 | > 0,375 | > 0,5 | > 0,75 | > 1,0 | > 1,5 | > 2,0 | > 3,0 |
|--------|--------|---------|--------|---------|-------|--------|-------|-------|-------|-------|
| 12,6 | 1,7 | 9,7 | 7,1 | 12,2 | 25,1 | 16,7 | 9,7 | 3,6 | 0,7 | 0,7 |



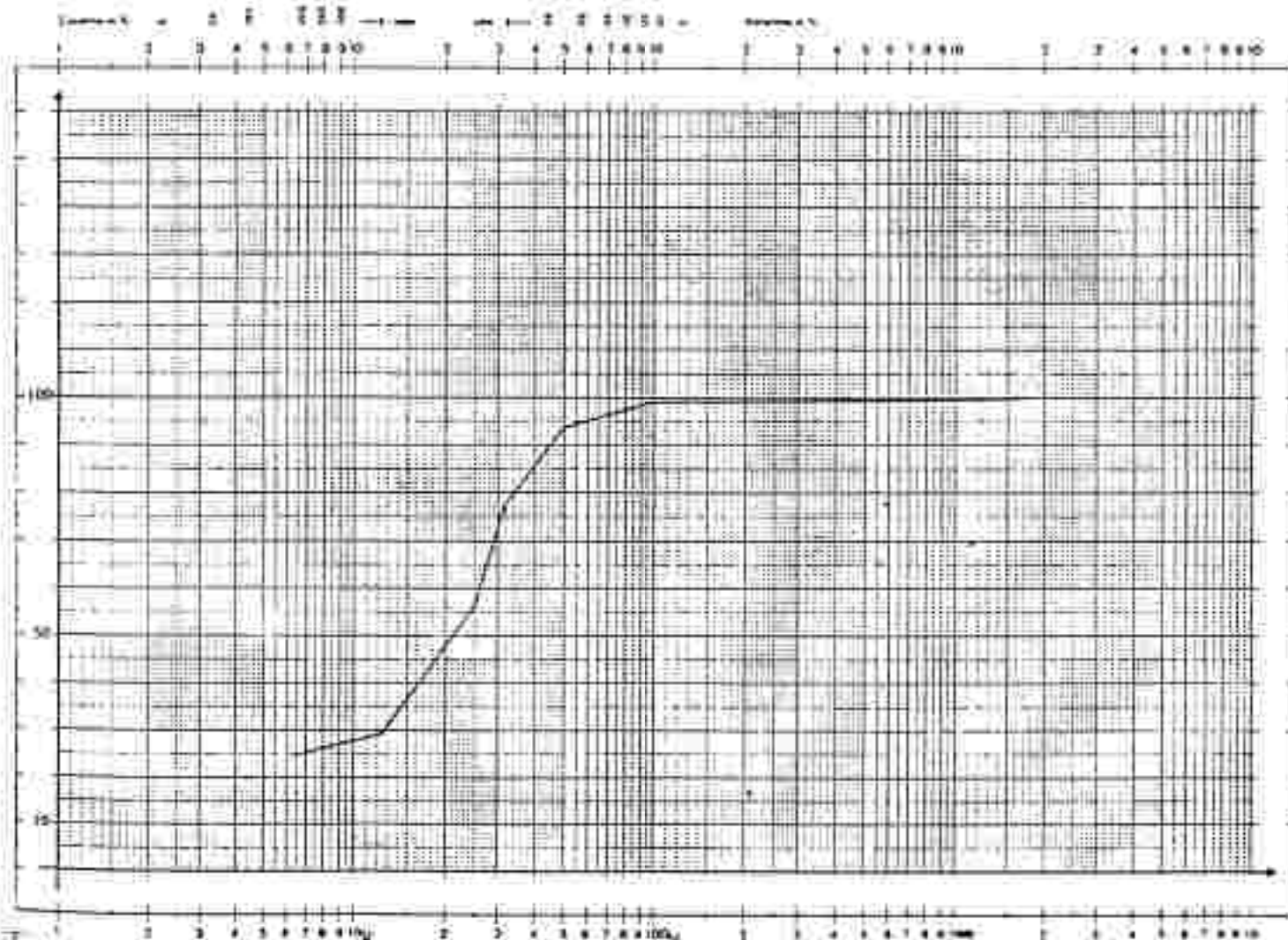
Probe 7 a (Heinrich 1982)

Korngrößenanalyse:

■ Ø Gew.-%

| < 0,063 | > 0,063 | > 0,125 | > 0,25 | > 0,50 | > 0,75 | > 1,0 | > 1,5 | > 2,0 | > 3,0 |
|---------|---------|---------|--------|--------|--------|-------|-------|-------|-------|
| 24,4 | 6,9 | 27,2 | 20,4 | 16,6 | 5,7 | 0,2 | 0,1 | 0,0 | 0,6 |

Ø mm 0,063 0,125 0,25 0,50 0,75 1,0 1,5 2,0 3,0

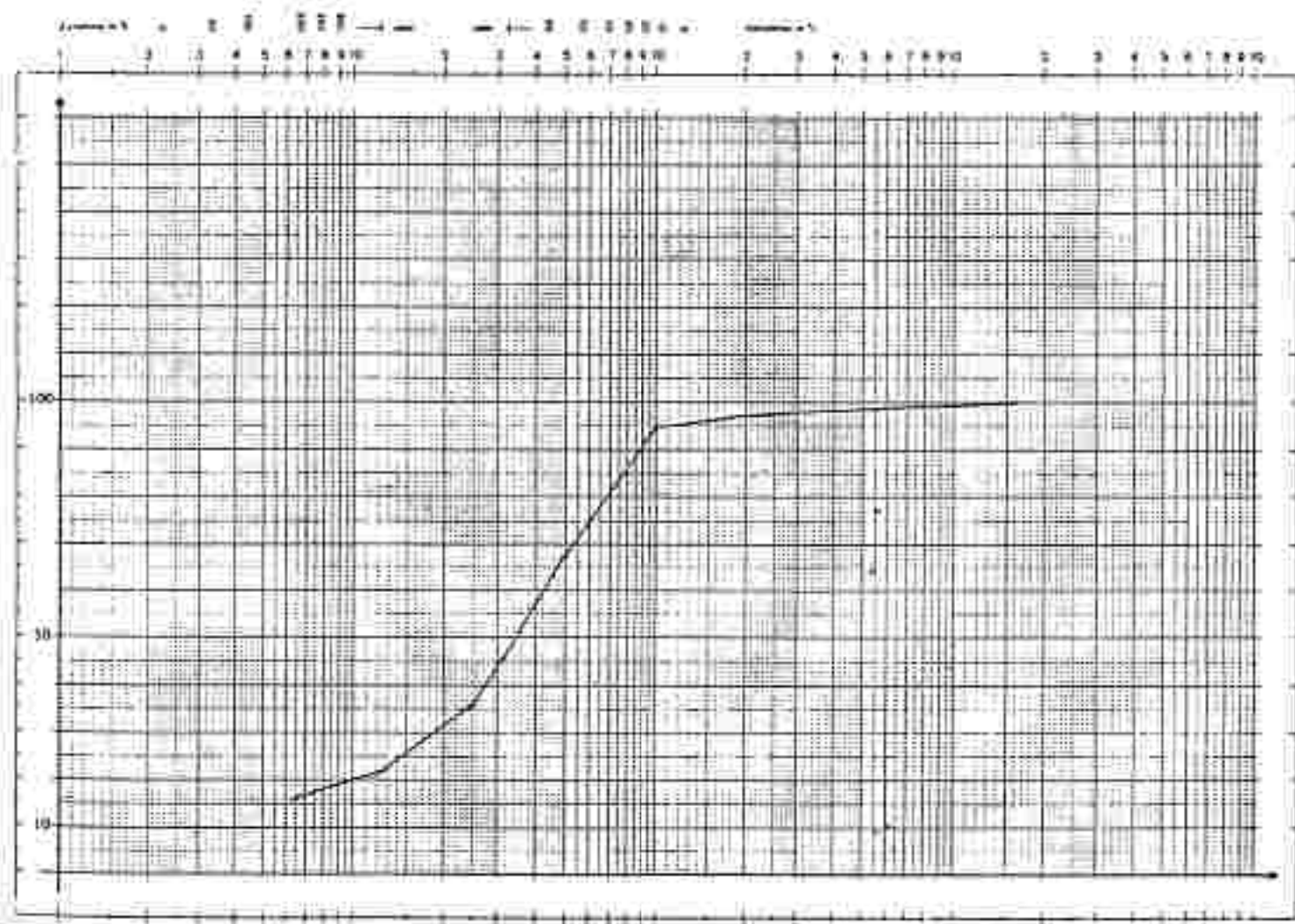


Probe 7 c (Heinrich 1982)

Konkurrenzanalyse:

Sum. 8 Gew. -

| $\leq 1,50$ | $> 1,50$ | $\geq 0,125$ | $> 0,75$ | $> 0,315$ | $> 0,1$ | $> 1,0$ | $> 2,3$ | $> 4,0$ | $> 10,0$ |
|-------------|----------|--------------|----------|-----------|---------|---------|---------|---------|----------|
| 16,0 | 5,8 | 14,2 | 9,7 | 21,6 | 27,5 | 2,5 | 1,7 | 0,9 | 0,7 |

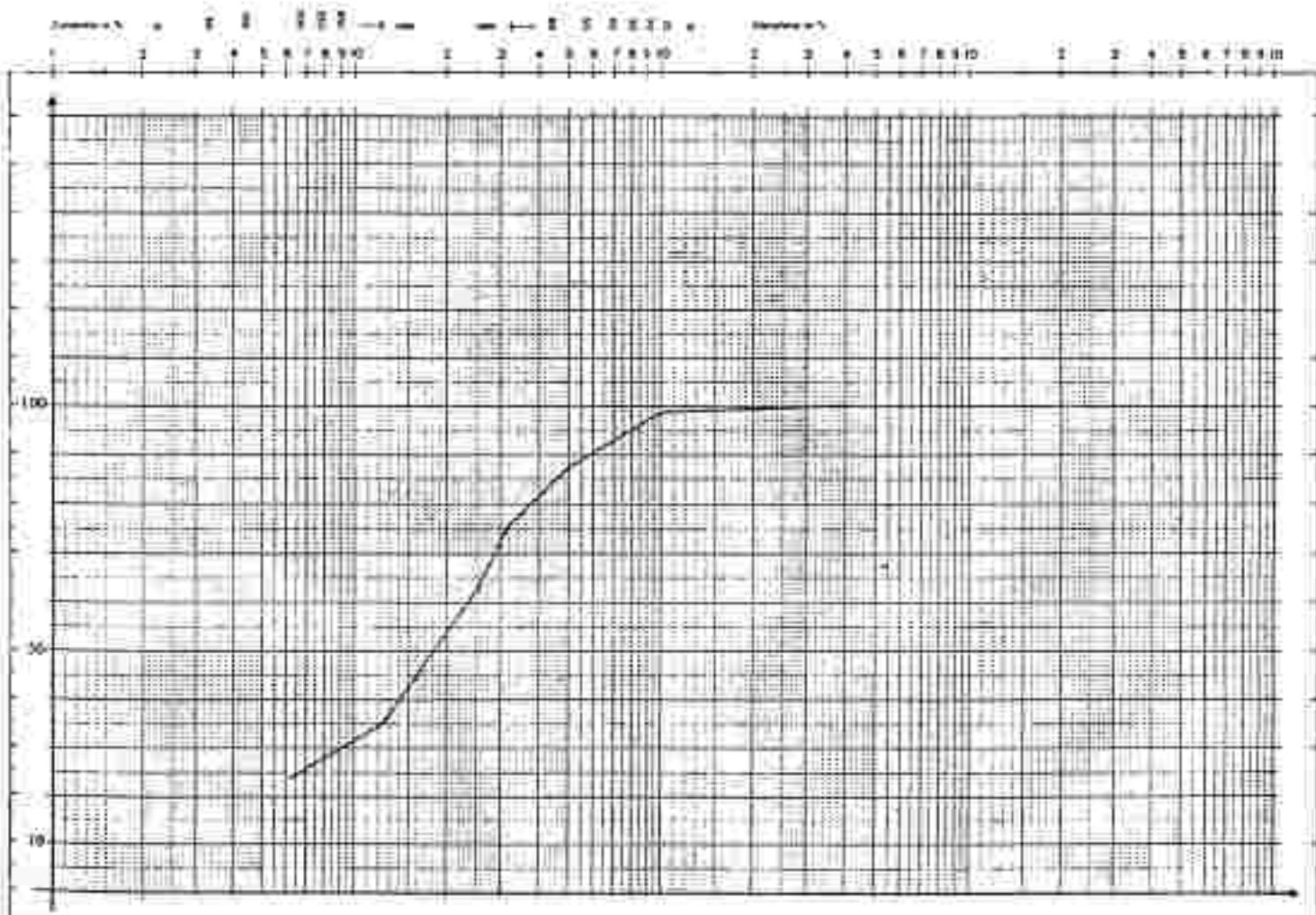


Probe 7 d (Reinhart 1982)

Korngrößenanalyse:

mm Ø Gew.-%

| < 1,00 | > 1,00 | > 0,125 | > 0,25 | > 0,315 | > 0,4 | > 0,6 | > 1,0 | > 4,0 | > 8,0 |
|--------|--------|---------|--------|---------|-------|-------|-------|-------|-------|
| 23,9 | 11,1 | 27,1 | 11,1 | 11,9 | 11,7 | 0,0 | 0,0 | - | - |

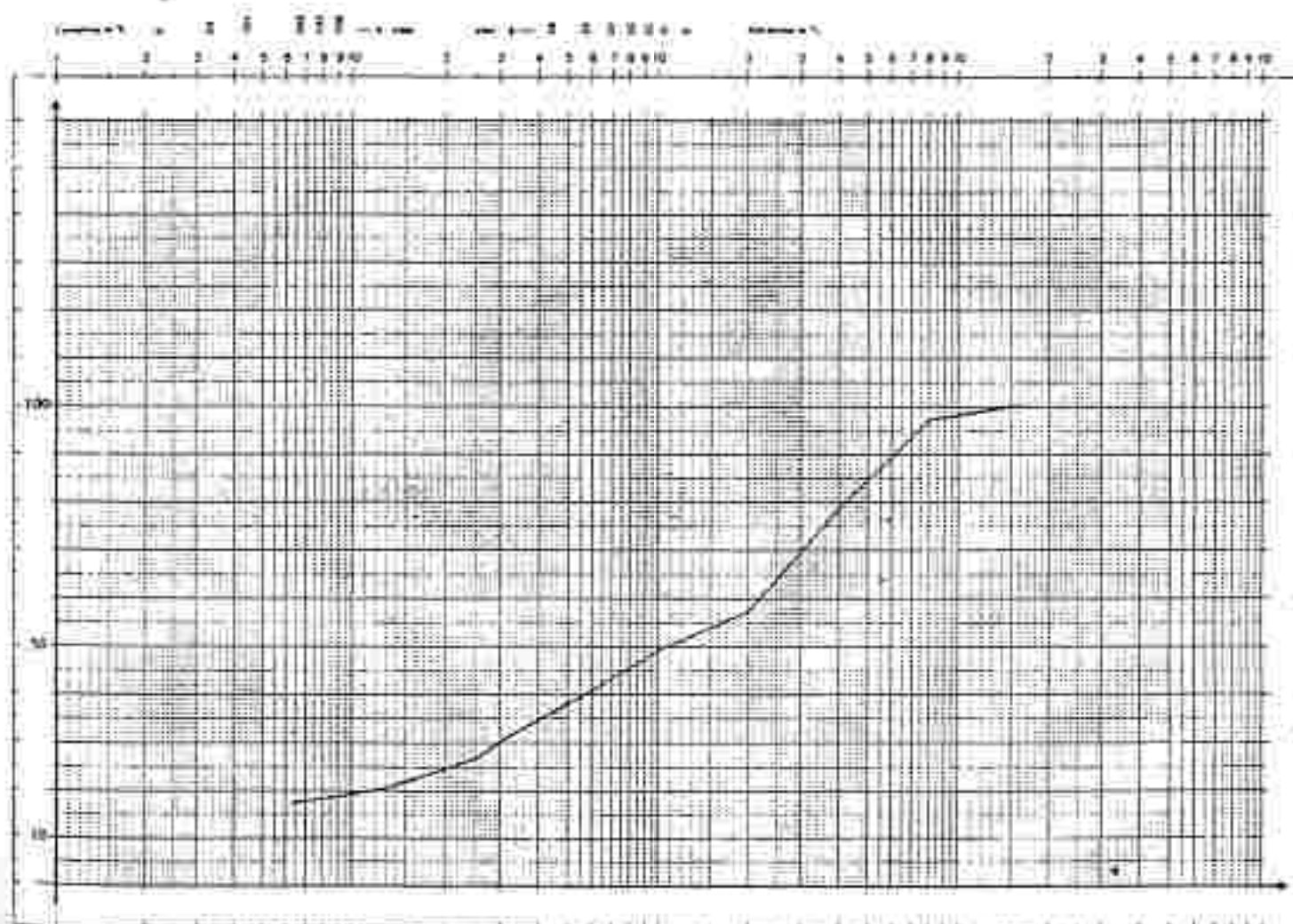


Probe 7-e (Heinrich 1982)

Korngrößenanalyse:

mm Ø Gew.-%

| < 1,61 | > 2,061 | > 0,125 | > 0,25 | > 0,315 | > 0,5 | > 1,0 | > 2,0 | > 4,0 | > 8,0 |
|--------|---------|---------|--------|---------|-------|-------|-------|-------|-------|
| 17,3 | 3,3 | 6,6 | 4,1 | 6,9 | 11,1 | 8,1 | 21,7 | 16,3 | 2,8 |



2. Grobsandhorizont

Abbaus und Aufschlüsse:

Frauental 2
St.Martin i.S. 1,3*,4,8,9,10,14,15,16
St.Peter o.S. 3,4
Stainztal 9

St. Martin 4

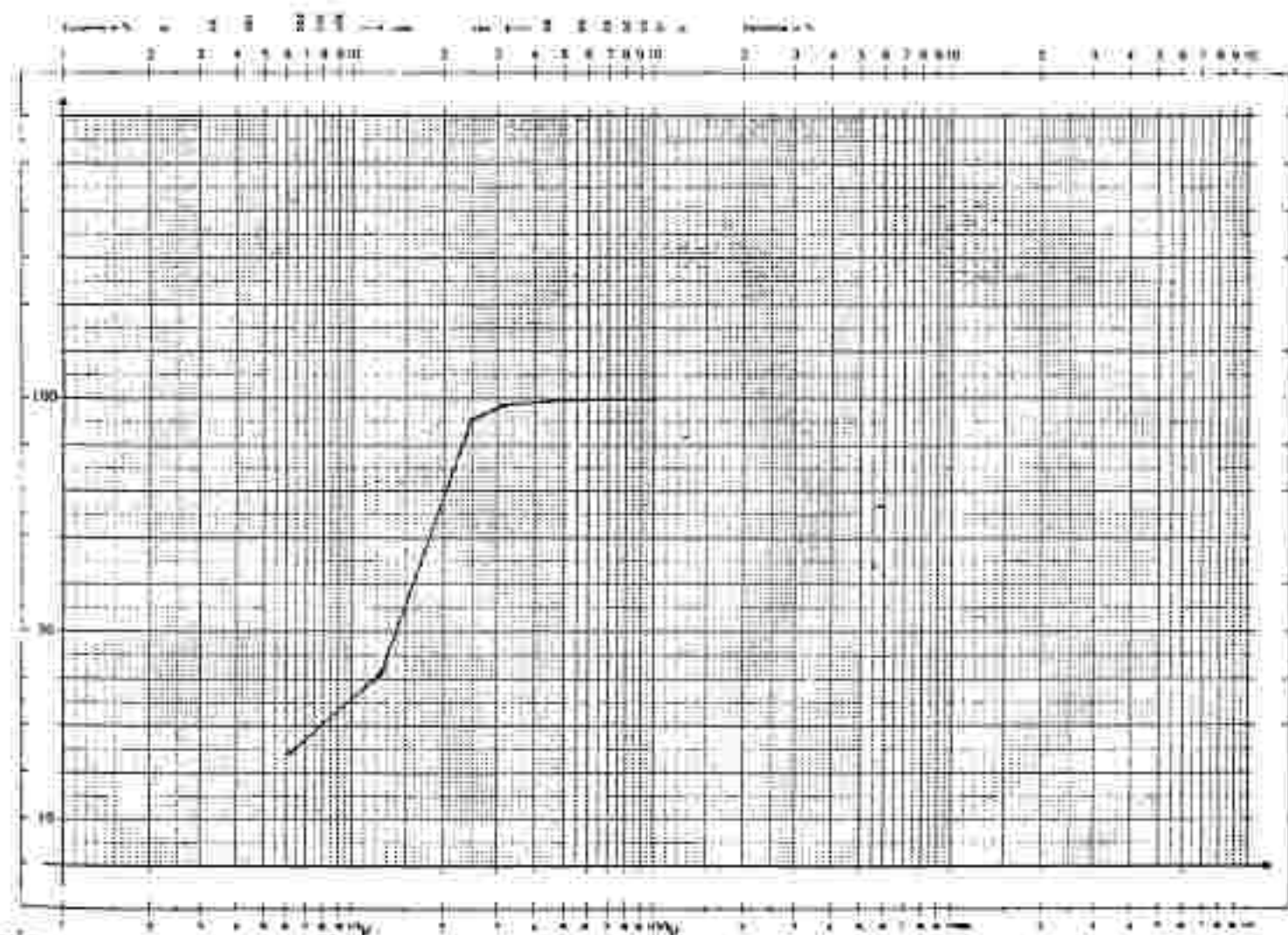
Korngröße 0,1 - 0,4mm: 50-65%, ohne Karbonat, viele Verwachslungen (Quarz, Feldspat, Muskowit), kaum Limonithäutchen
 (nach HOLZER & RUE 1979)

| $<0,063$ | $>0,063$ | $>0,1$ | $>0,16$ | $>0,25$ | $>0,4$ | $>0,63$ | $>1,0$ | $>2,0$ |
|----------|----------|--------|---------|---------|--------|---------|--------|--------|
| 22,54 | 16,91 | 27,01 | 27,50 | 3,94 | 1,15 | 0,65 | 0,19 | - |

Korngrößenanalyse: (Heinrich 1982)

mm \varnothing Gew.-%

| $<0,063$ | $>0,063$ | $>0,125$ | $>0,25$ | $>0,375$ | $>0,5$ | $>0,63$ | $>1,0$ | $>2,0$ | $>3,0$ |
|----------|----------|----------|---------|----------|--------|---------|--------|--------|--------|
| 24,2 | 16,5 | 54,6 | 2,8 | 1,5 | 0,1 | - | - | - | - |



St. Martin 8 (nach HOLZER & EHN 1979)

Korngröße 0,1 - 0,4mm < 50%, ohne Carbonat

St. Martin 9

Korngröße 0,1 - 0,4mm < 50%, mit Carbonat

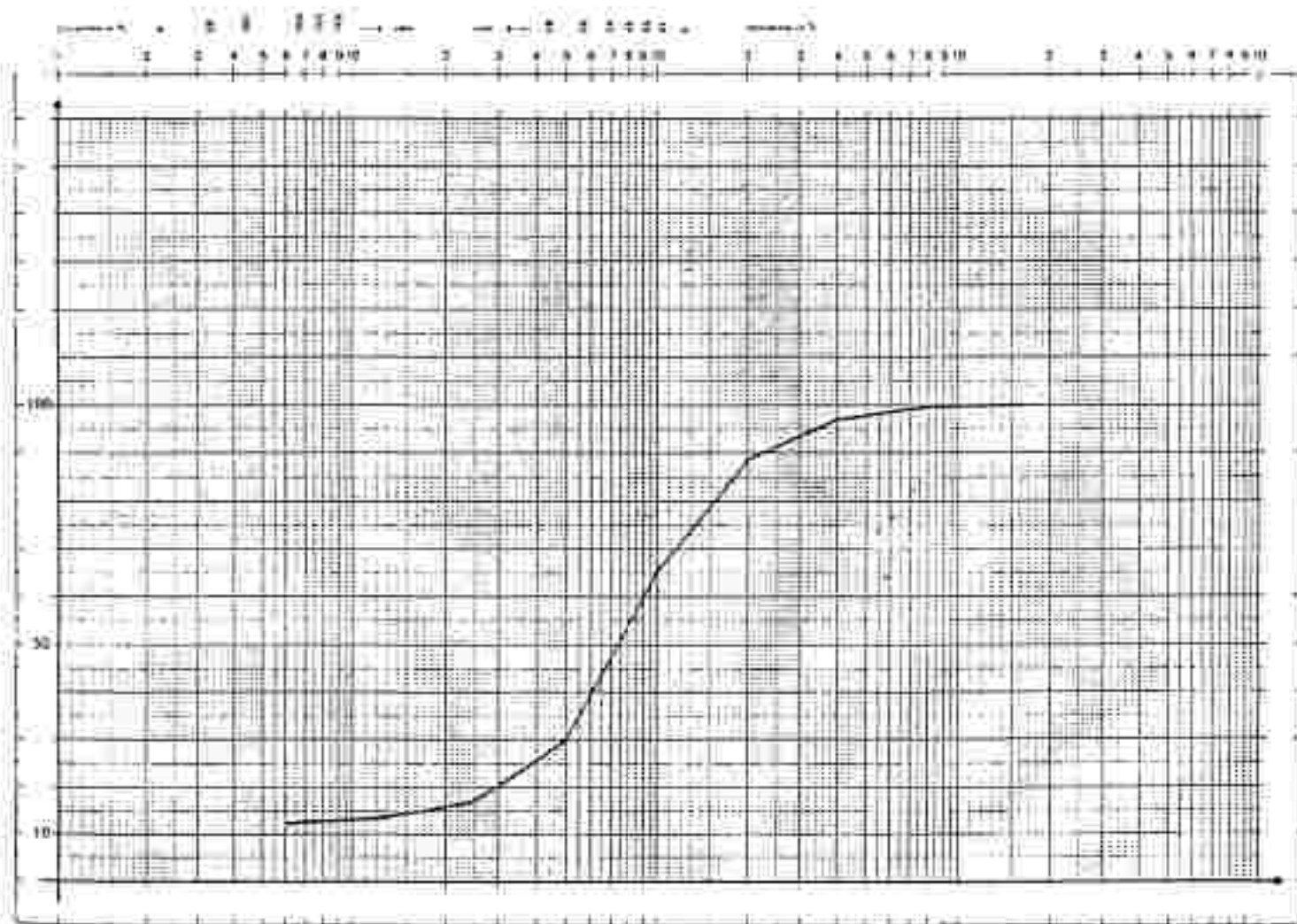
(HOLZER & EHN 1979)

Korngrößenanalyse:

(Heinrich 1982)

mm Ø Gew.-%

| < 0,063 | > 0,063 | > 0,125 | > 0,25 | > 0,50 | > 1,0 | > 1,5 | > 2,0 | > 2,5 | > 5,0 |
|---------|---------|---------|--------|--------|-------|-------|-------|-------|-------|
| 17,7 | 0,8 | 3,9 | 1,6 | 9,1 | 75,4 | 23,2 | 8,6 | 2,7 | 8,4 |



St. Peter 4

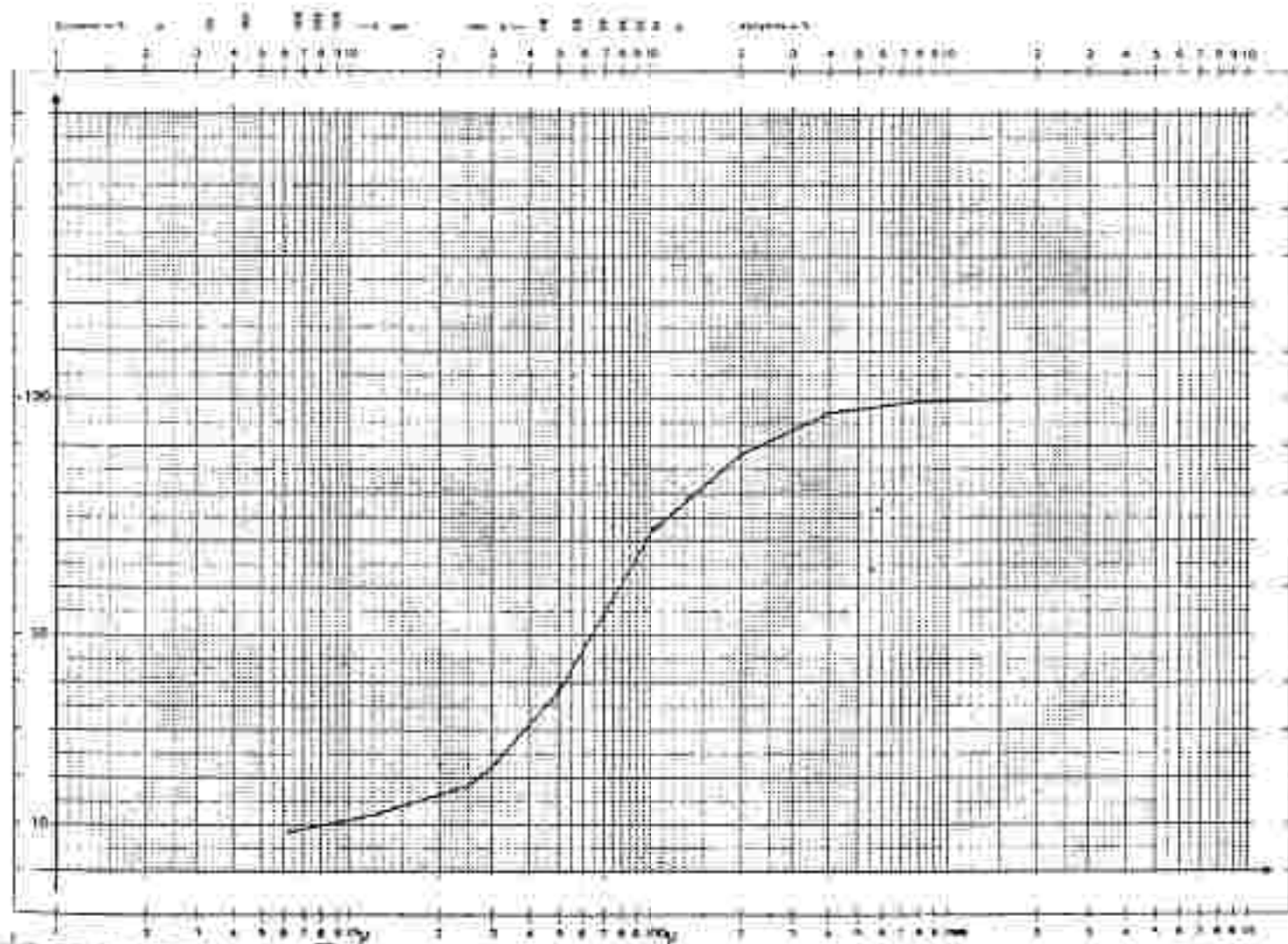
Korngröße 0,1 - 0,4 = 50%, ohne Karbonat

(nach HOLZER & EHN 1979)

Korngrößenanalyse: (Heinrich 1982)

mm Ø Gew.-%

| < 0,063 | > 0,063 | > 0,125 | > 0,25 | > 0,50 | > 0,75 | > 1,0 | > 1,5 | > 2,0 | > 3,0 | > 5,0 |
|---------|---------|---------|--------|--------|--------|-------|-------|-------|-------|-------|
| 8,7 | 1,8 | 5,7 | 5,1 | 15,7 | 31,3 | 16,8 | 9,0 | 2,7 | 0,2 | 0,2 |



Pölser Mergel

Aufschlüsse:

Deutschlandsberg 7
Groß St. Florian 6
Preding 7
Rassach 9
St. Josef 9
Unterbergla 11

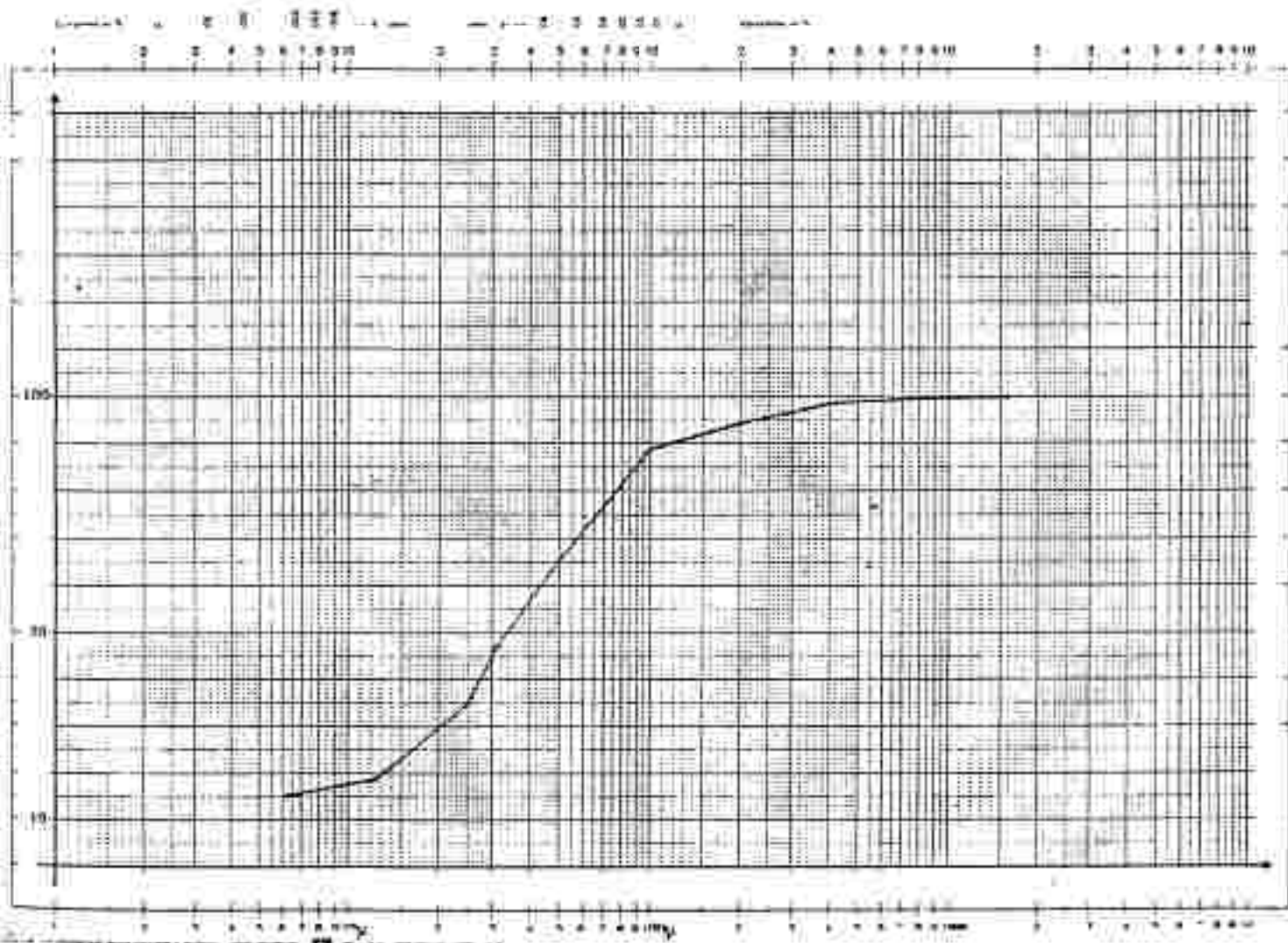
Groß St. Florian 6 (Heinrich 1982)

Probe 144 a

Korngrößenanalyse:

in Ø Gew.-%

| <1,06 | >2,06 | >0,125 | >0,25 | >0,315 | >0,5 | >1,0 | >2,0 | >4,0 | >8,0 |
|-------|-------|--------|-------|--------|------|------|------|------|------|
| 15,1 | 1,6 | 16,1 | 11,9 | 18,5 | 20,4 | 5,7 | 4,1 | 1,3 | 0,1 |

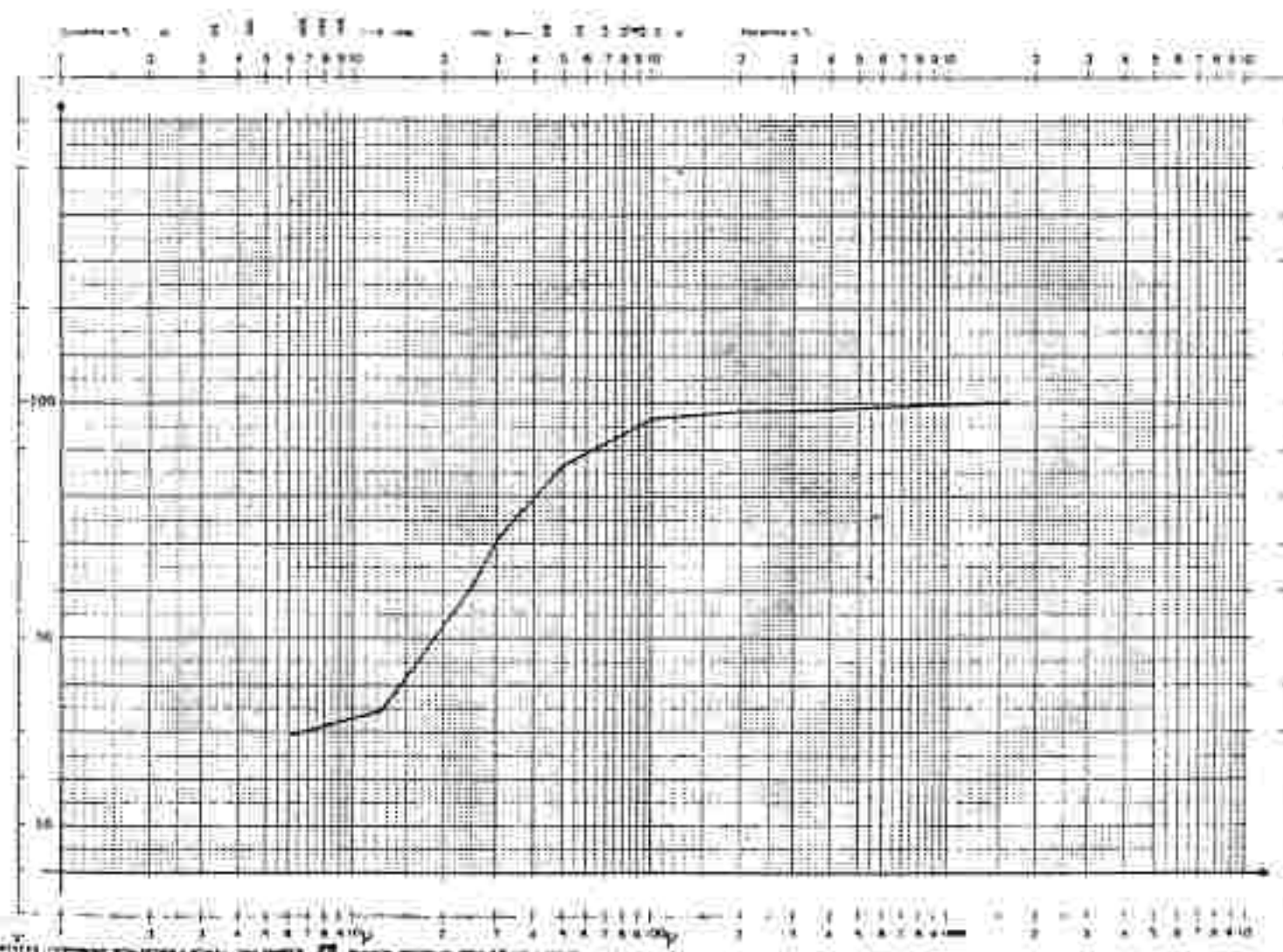


Probe 144 b

Körngrößenanalyse: (Heintrich 1982)

mm Ø Gew.-%

| $< 1,16$ | $> 1,56$ | $> 0,125$ | $> 0,25$ | $> 0,50$ | $> 0,75$ | $> 1,0$ | $> 1,5$ | $> 2,0$ | $> 2,5$ | $> 3,0$ |
|----------|----------|-----------|----------|----------|----------|---------|---------|---------|---------|---------|
| 29,6 | 4,3 | 36,2 | 11,0 | 14,3 | 10,0 | 1,3 | 0,4 | 1,4 | 0,2 | |

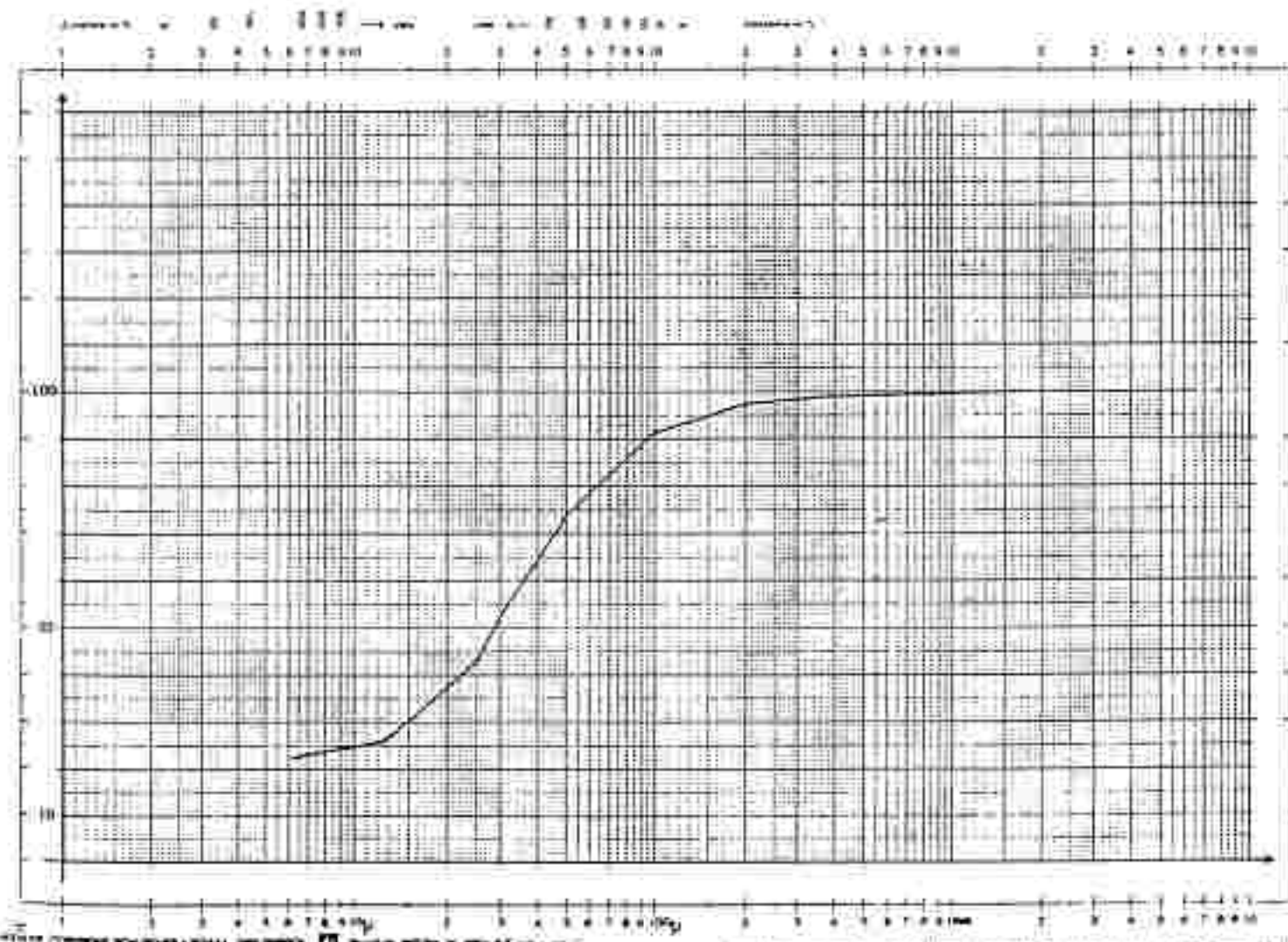


St. Josef 9 (Heinrich 1982)

Korngrößenanalyse:

mm Ø Gew.-%

| $< 0,063$ | $> 0,063$ | $> 0,125$ | $> 0,25$ | $> 0,5$ | $> 1,0$ | $> 2,0$ | $> 4,0$ | $> 8,0$ | $> 16,0$ |
|-----------|-----------|-----------|----------|---------|---------|---------|---------|---------|----------|
| 22,4 | 3,6 | 16,9 | 11,8 | 16,3 | 17,5 | 5,9 | 1,7 | 0,5 | 0,3 |



Unterbergla 1

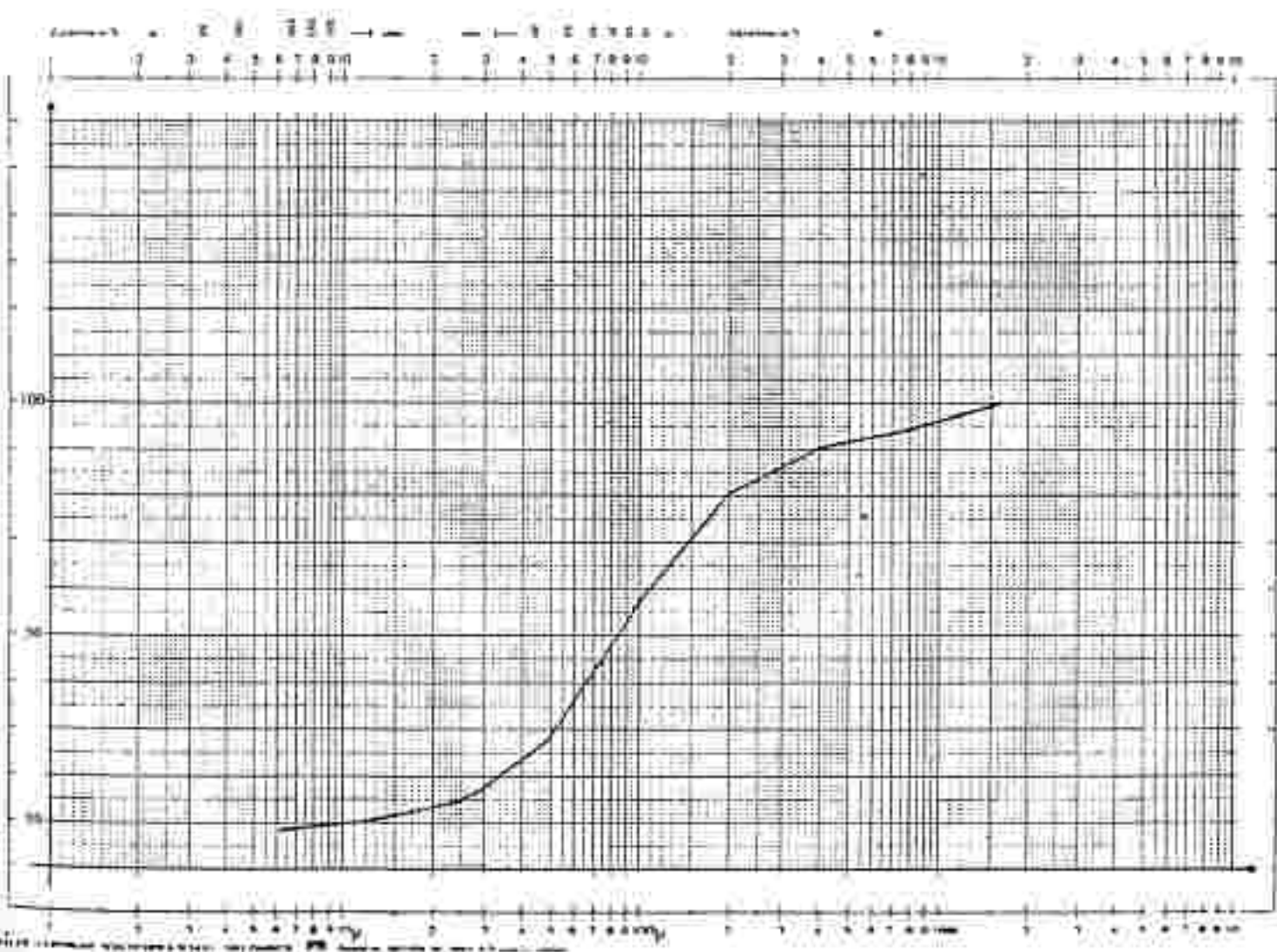
Korngröße 0,1 - 0,4mm < 50%, mit Karbonat

(nach HOLZER & HHN 1979)

Korngrößenanalyse: (Reinrich 1982)

mm Ø Gew.-%

| <0,063 | >0,063 | >0,125 | >0,25 | >0,50 | >0,75 | >1,0 | >1,5 | >2,0 | >3,0 | >5,0 |
|--------|--------|--------|-------|-------|-------|------|------|------|------|------|
| 3,4 | 2,0 | 4,3 | 3,5 | 8,9 | 30,1 | 23,0 | 10,0 | 3,8 | 5,7 | |



Basisgrob sand

Aufschlüsse:

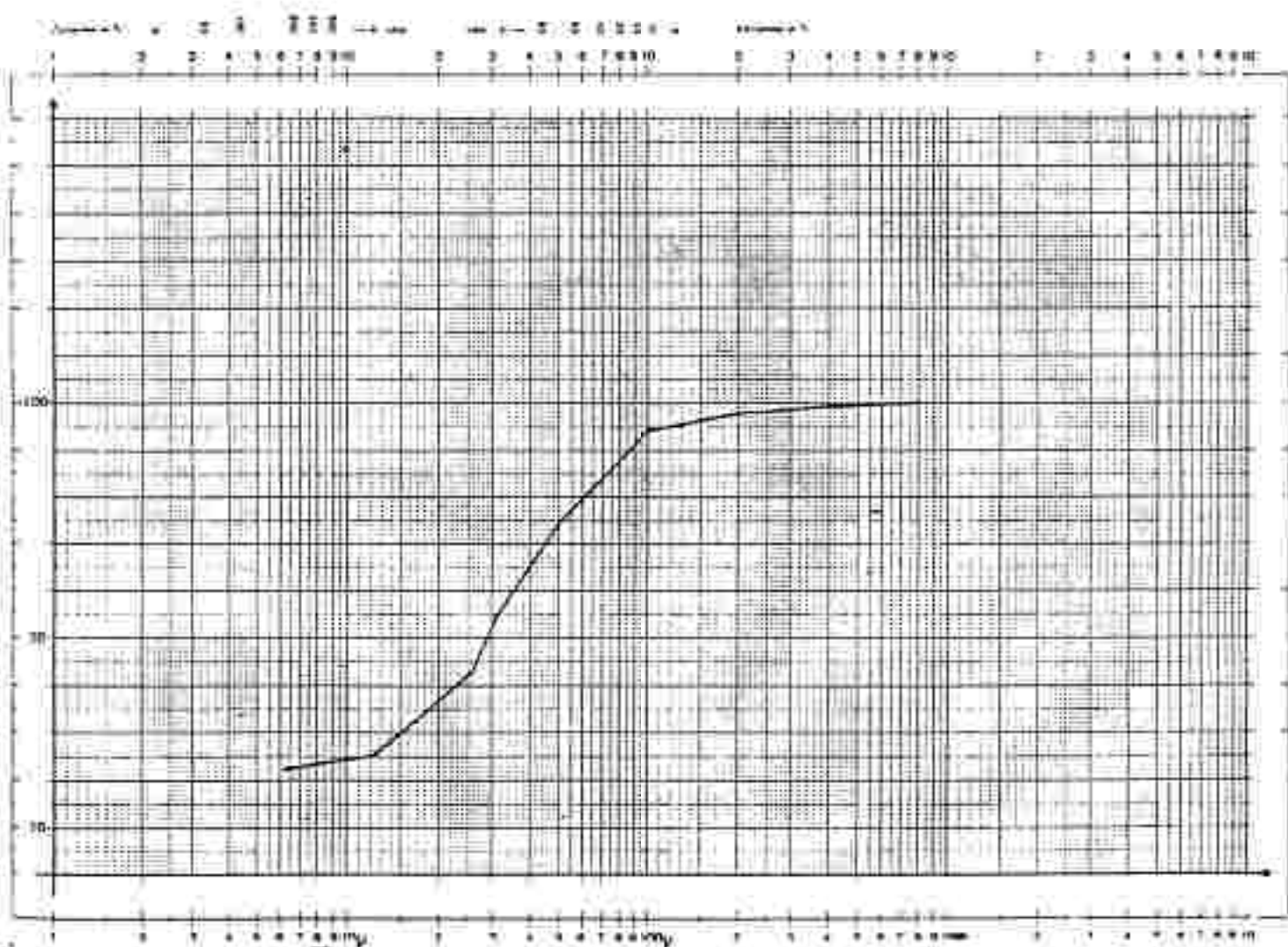
Deutschlandsberg 5
Frauental 1
Groß St. Florian 2
Preding 11, 12
Unterbergla 3, 4, 18

Groß St. Florian 2 (Heinrich 1982)

Korngrößenanalyse:

mm Ø Gew.-%

| $\leq 0,063$ | $> 0,063$ | $\geq 0,125$ | $\geq 0,25$ | $\geq 0,5$ | $\geq 1,0$ | $\geq 2,0$ | $\geq 4,0$ | $\geq 8,0$ | $\geq 16,0$ |
|--------------|-----------|--------------|-------------|------------|------------|------------|------------|------------|-------------|
| 22,2 | 3,2 | 16,8 | 12,7 | 19,2 | 19,5 | 3,8 | 1,6 | 0,5 | - |



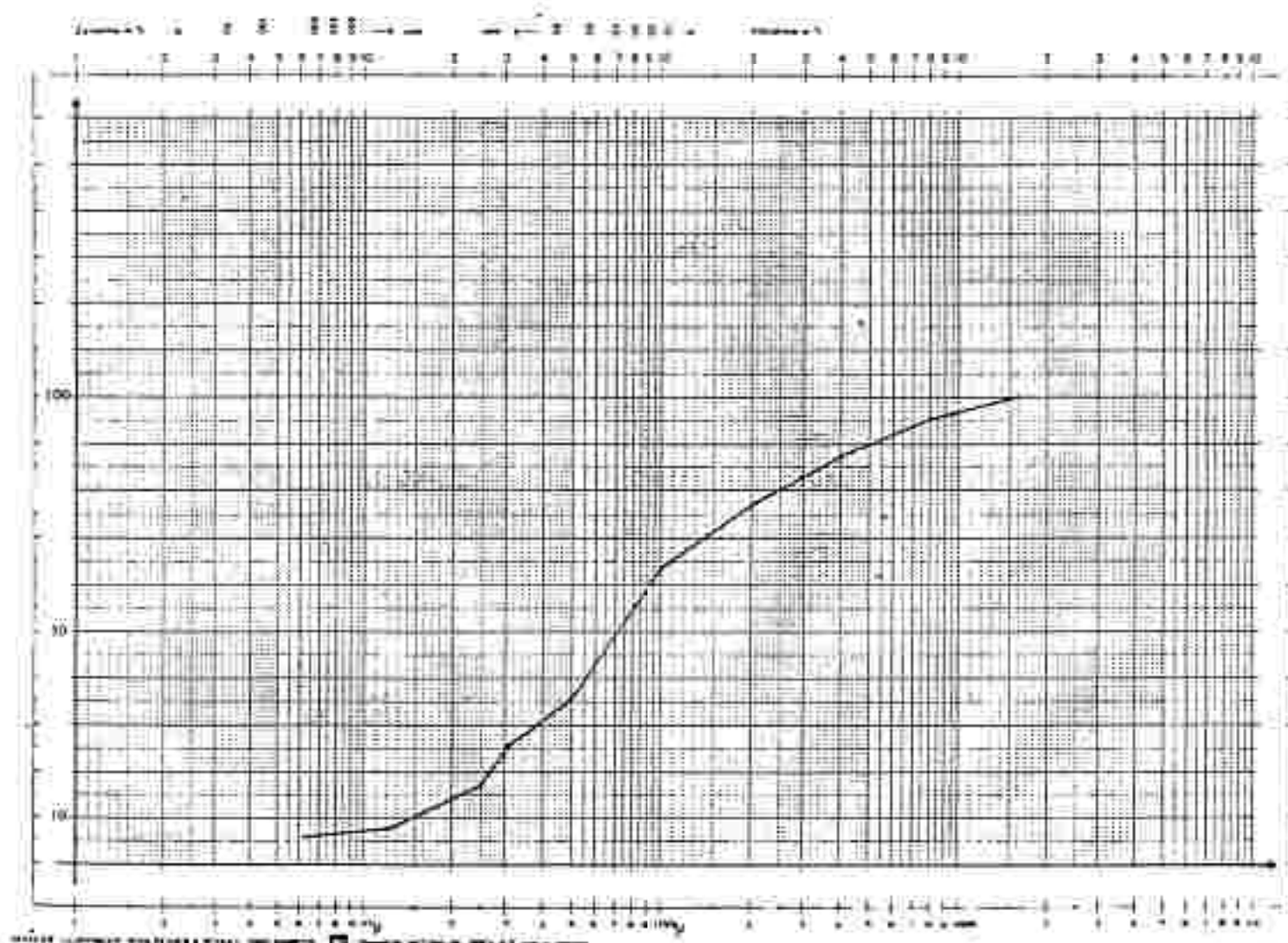
Preding 11 (Heinrich 1982)

Probe 190/72 a

Korngrößenanalyse:

mm Ø Gew.-%

| $\leq 0,06$ | $> 0,06$ | $\geq 0,125$ | $\geq 0,25$ | $\geq 0,375$ | $\geq 0,5$ | $\geq 0,75$ | $\geq 1,0$ | $\geq 1,5$ | $\geq 2,0$ |
|-------------|----------|--------------|-------------|--------------|------------|-------------|------------|------------|------------|
| 5,4 | 7,3 | 9,6 | 8,6 | 10,4 | 27,3 | 13,4 | 10,3 | 8,1 | 4,6 |

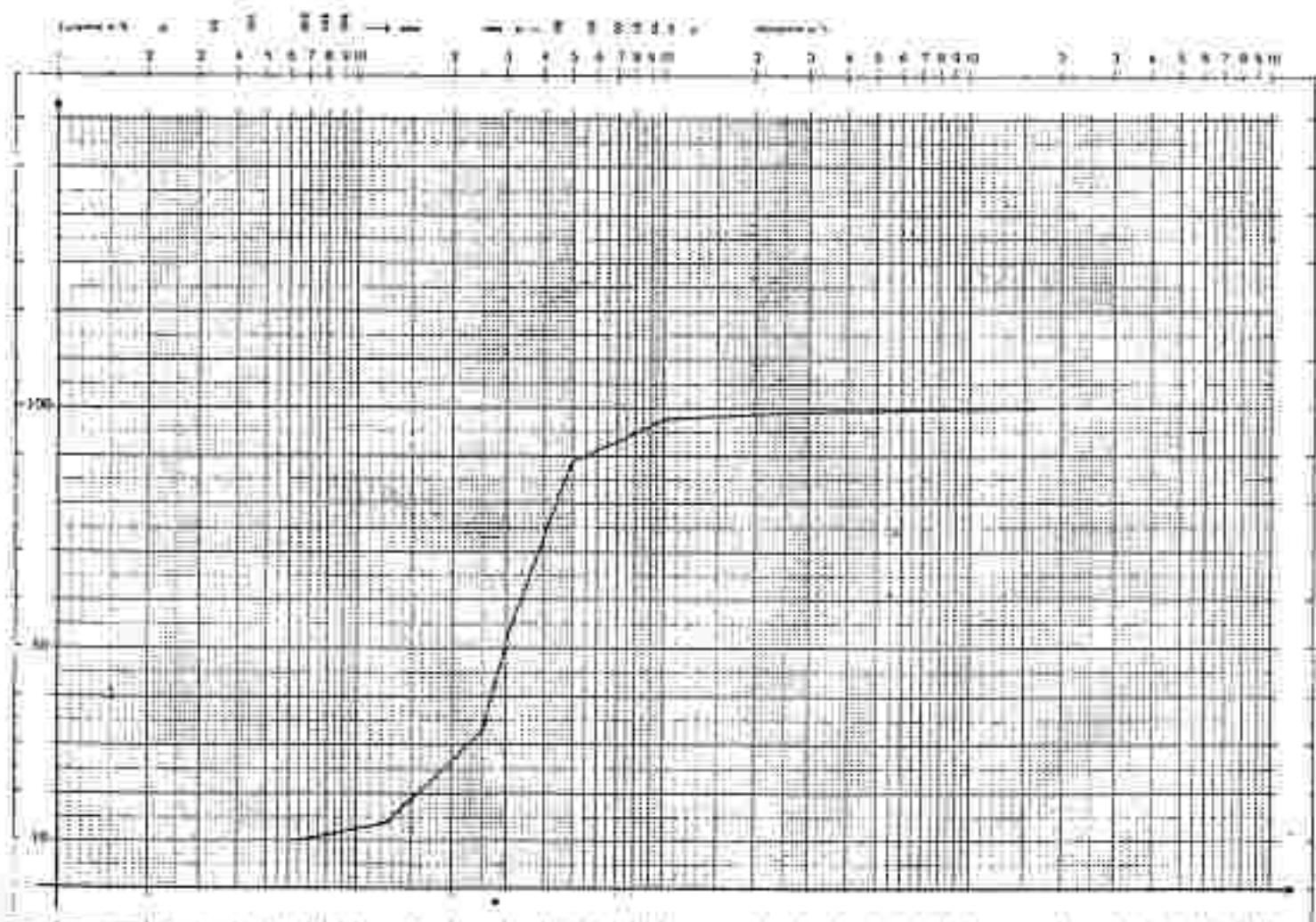


Probe 190/72 b (Reinrich 1982)

Korngrößenanalyse:

mm Ø Gew.-%

| $< 1,56$ | $> 1,56$ | $> 0,125$ | $> 0,75$ | $> 0,315$ | $> 0,5$ | $> 1,0$ | $> 1,5$ | $> 4,0$ | $> 4,0$ |
|----------|----------|-----------|----------|-----------|---------|---------|---------|---------|---------|
| 10,0 | 1,8 | 39,3 | 21,7 | 28,1 | 8,9 | 0,5 | 0,6 | 0,6 | 0,1 |



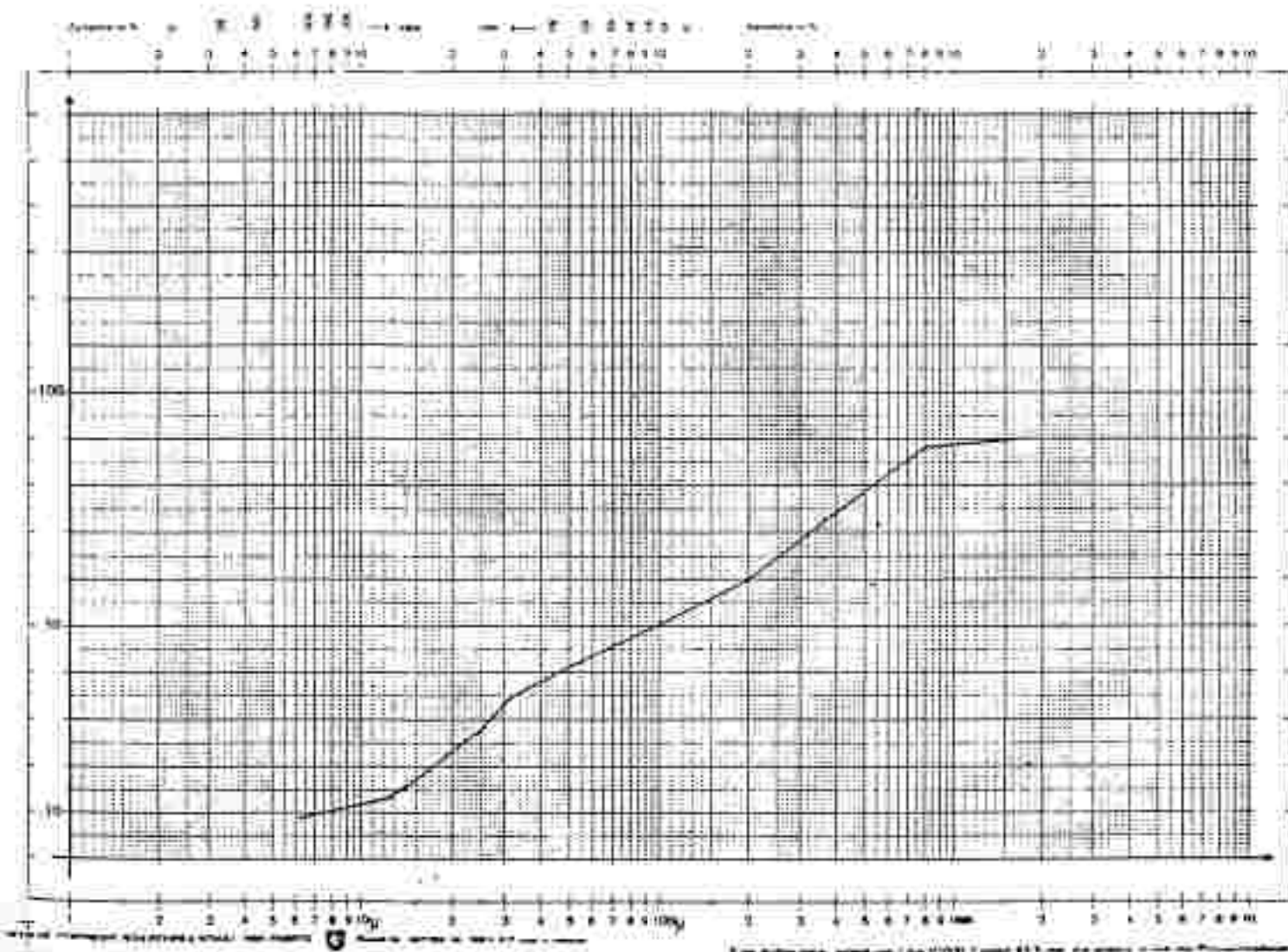
Preding 12 (Heinrich 1982)

Probe 190/73 a

Korngrößenanalyse:

mm Ø Gew.-%

| < 0,06 | > 0,06 -> 0,125 | > 0,125 -> 0,25 | > 0,25 -> 0,5 | > 0,5 -> 1,0 | > 1,0 -> 2,0 | > 2,0 -> 4,0 | > 4,0 -> 8,0 | > 8,0 | |
|--------|-----------------|-----------------|---------------|--------------|--------------|--------------|--------------|-------|------|
| 8,0 | 4,4 | 14,3 | 6,6 | 7,0 | 9,0 | 9,8 | 14,5 | 13,9 | 11,6 |

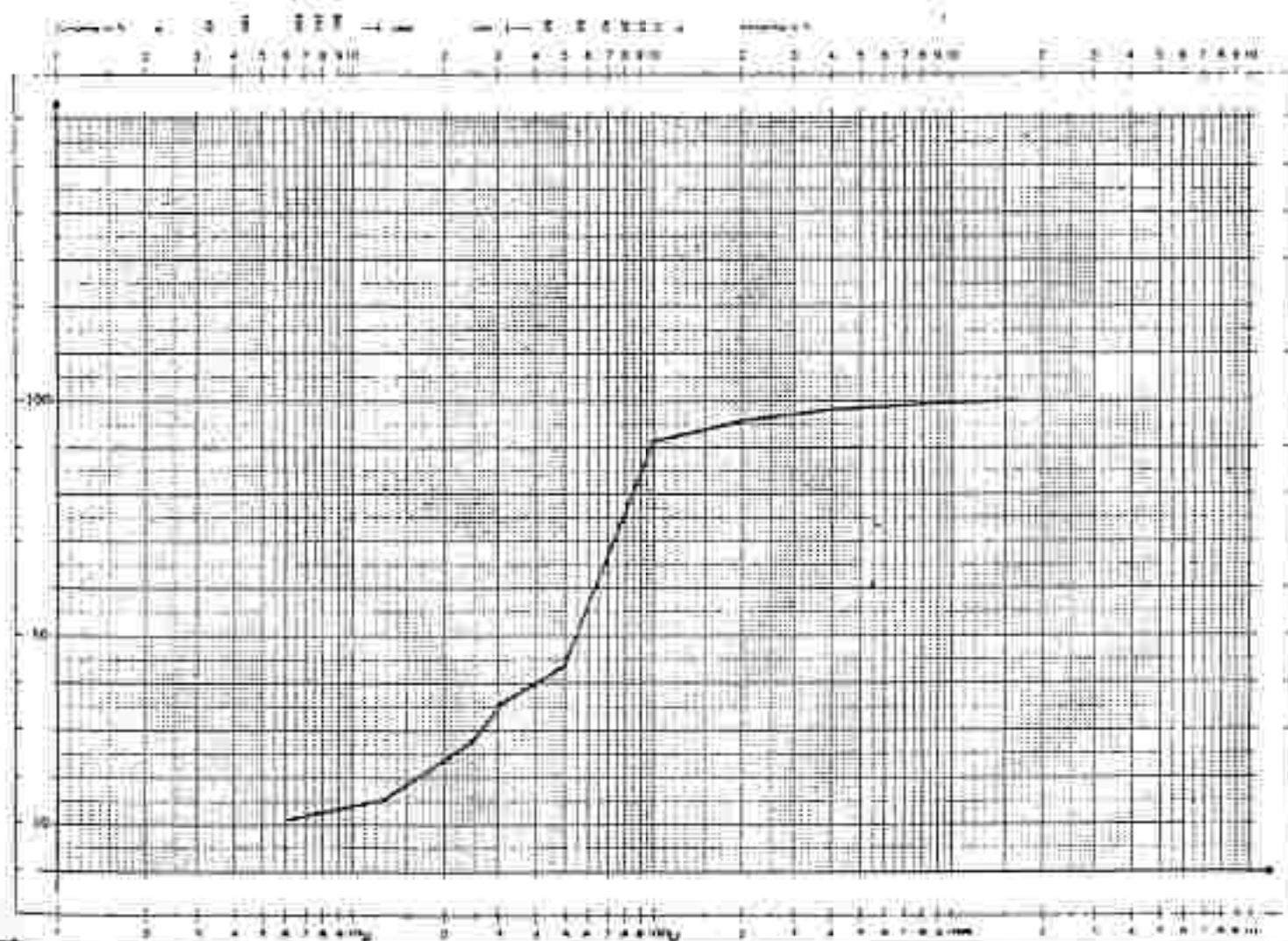


Frobe 190/73 b (Heinrich 1982)

Korngrößenanalyse:

mm Ø Gew.-%

| $\leq 0,063$ | $> 0,063$ | $> 0,125$ | $> 0,25$ | $> 0,5$ | $> 1,0$ | $> 1,5$ | $> 2,0$ | $> 4,0$ | $> 8,0$ |
|--------------|-----------|-----------|----------|---------|---------|---------|---------|---------|---------|
| 11,1 | 3,9 | 13,0 | 8,0 | 7,7 | 47,9 | 5,5 | 2,2 | 1,3 | 0,6 |



5.4.10.3 Schwanberger Blockschutt

Dieses an den westlichen Beckenrand gebundene Sediment, das als von der Koralin im Wildbächen zum Meer transportiertes, unklassiertes Material gedeutet wird, tritt als Füllung von Rinnen, die bis ca. 10 km in das Kristallin der Koralin reichen, auf. Verwendung fand der Blockschutt nur als Schüttmaterial für örtlichen Wegebau.

Abbau:

Ahl 16

5.4.10.4 Quartär

In dem eiszeitlich nicht vergletscherten Weststeirischen Becken sind Terrassen das prägende pleistozäne Element. Die Sedimente zeigen den Wechsel von warmzeitlicher Tieflanderosion bei gleichzeitiger Bodenbildung auf den höheren, älteren Niveaus und von kaltzeitlicher Schotterakkumulation bei gleichzeitiger Anwehung aeolischer Sedimente auf den älteren Niveaus.

In den Talbereichen sind die Schotterkörper überall nur geringmächtig.

Abbaue und Aufschlüsse:

Deutschlandsberg 7
Hollensgg 9,10
Preding 6,8,9,12
St.Josef 7
Stainztal 4,6,8
Unterbergla 2,17
Wettmannstätten 2,3,4

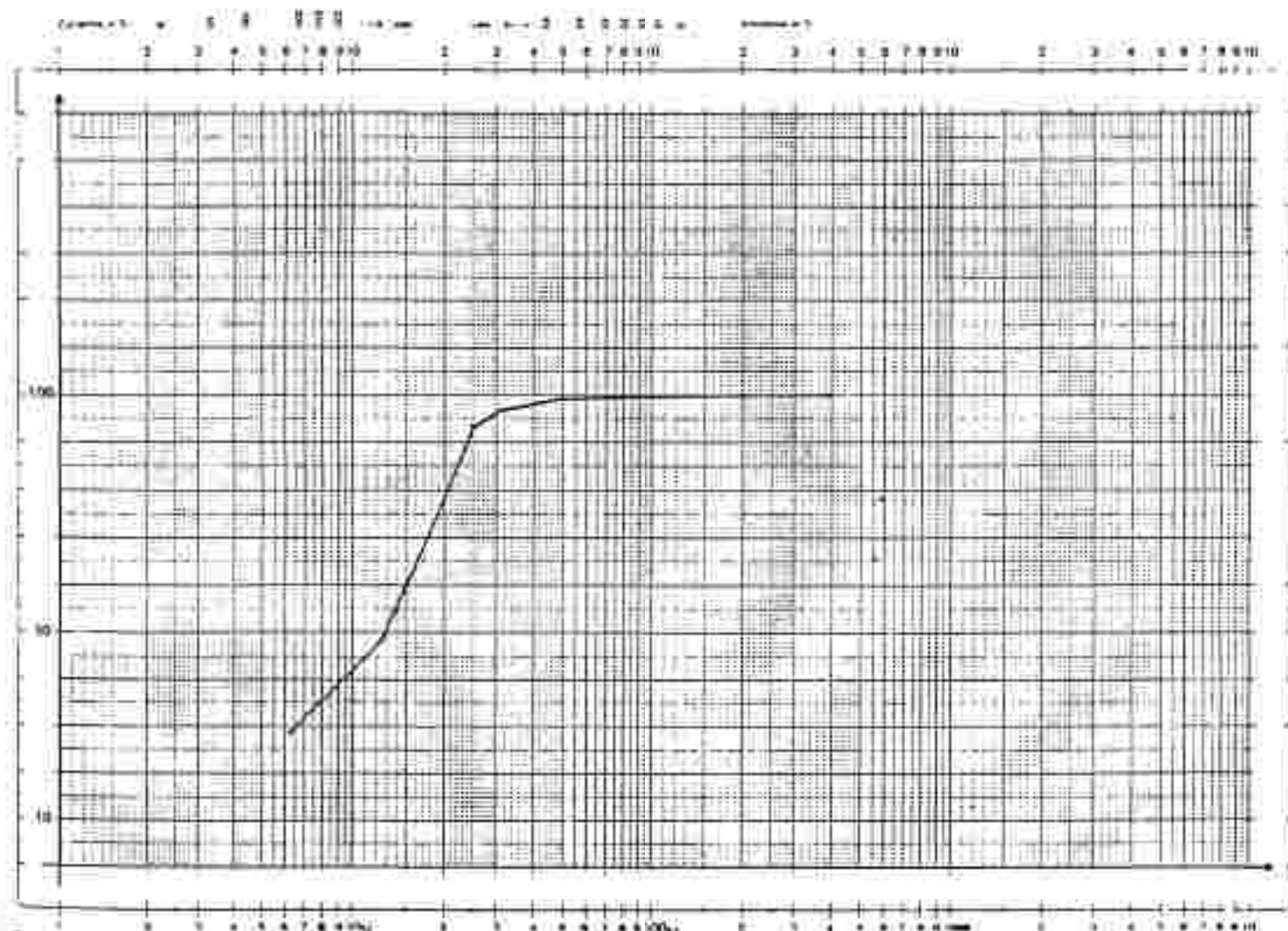
Steinatal 8 (Heinrich 1982)

Probe 142 a

Korngrößenanalyse:

mm Ø Gew.-%

| < 0,063 | > 0,063 | > 0,125 | > 0,25 | > 0,315 | > 0,5 | > 1,0 | > 2,0 | > 4,0 | > 8,0 |
|---------|---------|---------|--------|---------|-------|-------|-------|-------|-------|
| 28,5 | 19,6 | 45,2 | 3,5 | 2,6 | 0,5 | 0,4 | 0,0 | - | - |



5.4.11 Tone, Schiefertone, Tonmergel, Lehme

5.4.11.1 Eibiswalder Schichten

Die meist sandigen und glimmerigen Tone und Schiefertone der Eibiswalder Schichten haben kürzerei technisch-wirtschaftliche Bedeutung. Eine Untersuchung der Tone im Bereich der produktiven Kohleserie in bezug auf eine mögliche Veredelung wird von HEINRICH 1982 angeregt.

Abbau und Aufschlüsse:

Obere Eibiswalder Schichten

St. Martin 18

Mittlere Eibiswalder Schichten

Pitschgau 4,7

5.4.11.2 Florianer Schichten

Das auftretende Material scheidet auf Grund des Auftretens kalkiger Versteinerungen für keramische Zwecke aus. Rohstoff in größerer Menge liegt nur für die Herstellung von Mauerziegeln vor.

Abbau und Aufschlüsse:

Hangendsand

Rassach 3

Z.d. Wechsellagerung u. 2. Grobsandhorizont

Lannach 8

St. Josef 1

2. Grobsandhorizont

Unterbergla 5

pöiser Mergel

St. Martin 6

Basisgrabsand

Deutschlandsberg 4
Rassach 4

Unterbergla 19
Wettmannstätten 1

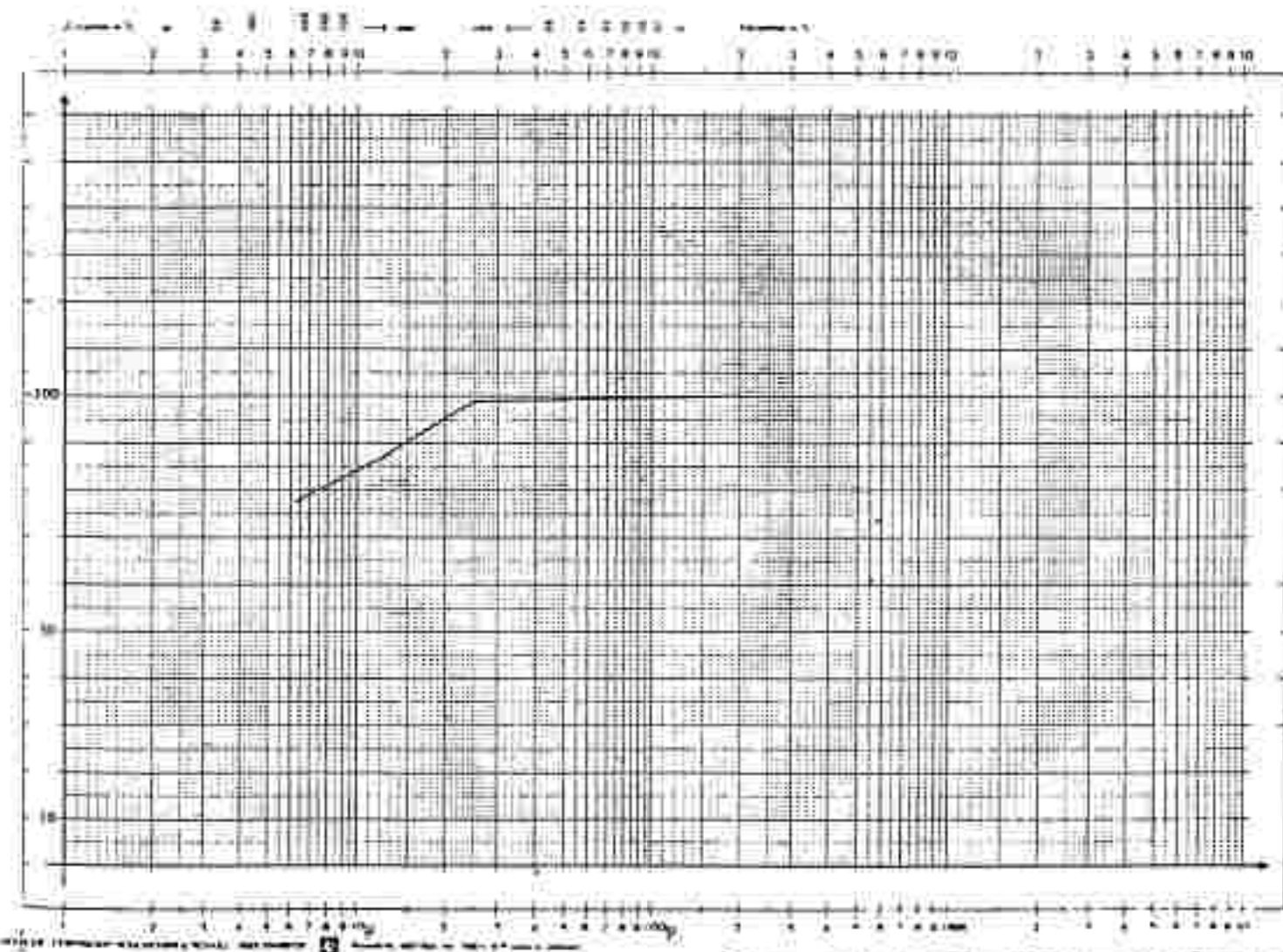
Wettmannstätten 1 (Heinrich 1982)

Probe 190/ 71 b

Korngrößenanalyse:

min Ø Gew.-%

| <0,063 | >0,063 | >0,125 | >0,25 | >0,50 | >0,75 | >1,0 | >1,5 | >2,0 | >3,0 | >6,0 |
|--------|--------|--------|-------|-------|-------|------|------|------|------|------|
| 17,5 | 9,7 | 11,5 | 0,0 | 0,5 | 0,3 | 0,2 | - | - | - | - |



5.4.11.3 Quartär

HAUSER 1952 und 1954 unterscheidet

Alluviale (holozäne) Lehme: Lehme der Verwitterungsdecke
Aulehme
Gehängelehme

Diluviale (pleistozäne) Lehme: Moränenlehme
Lehme der Verwitterungsdecke
Terrassenlehme
Seetonne

Die Terrassenlehme sind der wichtigste Rohstofflieferant für die Grobkeramik, alle anderen haben nur eine untergeordnete, lokale Bedeutung.

Modernere Untersuchungen der Rohstoffe erfolgten durch HADITSCH & LASKOVIC 1974 im Bereich der Ziegelwerke Gasseldorf (Abbau Nr. 17 Gemeinde St. Martin) und Gleinstätten (Abbau Nr. 1 und 1a Gemeinde Sulmeck-Greith).

Früher wurden die Terrassenlehme stellenweise zum Töpfen verwendet (HAUSER 1952).

Abbau und Aufschlüsse:

Holozän (Au)

| | |
|-----------|---------------------|
| Lennach 3 | St. Martin 10*, 11* |
| Raasach 1 | Stallhof 1 |

Spätglazial (Verwitterungsdecke und Gehängelehme)

| |
|--------------------|
| Groß St. Florian 5 |
| Preding 4, 10 |
| Stainstal 5 |

Präris (Höhere Terrassenreste)

| | |
|-----------------|--------------------|
| Zibiswald 3 | St. Martin 17* |
| Lennach 1 | Sulmeck-Greith 1a* |
| Preding 5, 6, 9 | Unterbergla 17 |

Lannach 1 (Hauser 1954)

Korngröße:

| | | |
|-------------|---|------|
| 0,2 | : | 5,61 |
| 0,2 - 0,05 | : | 27,2 |
| 0,05 - 0,02 | : | 20,6 |
| 0,02 - 0,01 | : | 8,5 |
| < 0,01 | : | 40,1 |

mm Ø Gew.-%

Preding 6 (Holzer & Ehn 1979)

Korngröße 0,1 - 0,4 mm > 65%, mit Karbonatanteil (32,1 - 34,9 %)
 Röntgendiffraktometrie: Dolomit, Calcit, Quarz, Plagioklas,
 Muskowit, Chlorit

Glühverlust: 16,14 %

| < 0,01 | > 0,01 | > 0,1 | > 0,16 | > 0,25 | > 0,4 | > 0,63 | > 1,0 | > 2,0 |
|--------|--------|-------|--------|--------|-------|--------|-------|-------|
| 6,72 | 4,21 | 16,6 | 48,15 | 11,60 | 6,31 | 3,01 | 1,11 | 0,73 |

Preding 9 (Holzer & Ehn 1979)

Korngröße 0,1 - 0,4 mm: 50-65 %, mit Karbonat

St. Martin 17 (Hauser 1954)

Korngröße:

| | | |
|-------------|---|------|
| > 0,2 | : | 1,3 |
| 0,2 - 0,05 | : | 15,9 |
| 0,05 - 0,02 | : | 19,3 |
| 0,02 - 0,01 | : | 8,1 |
| < 0,01 | : | 55,4 |

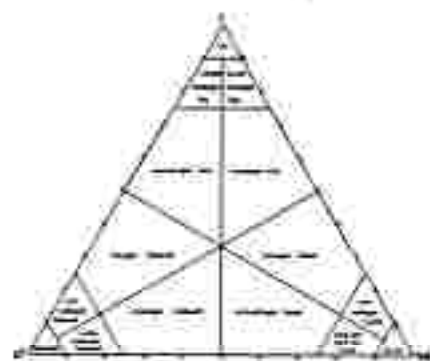
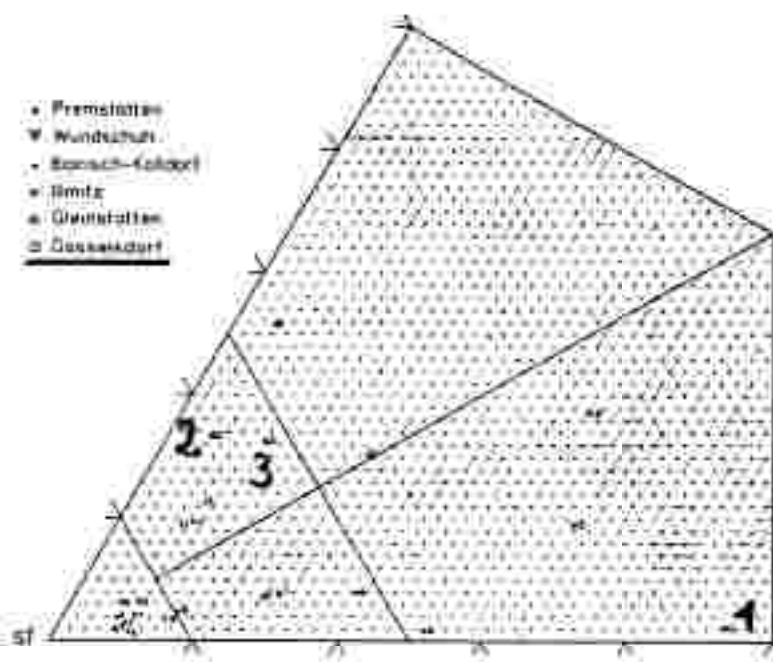
mm Ø Gew.-%

| pH-Wert | Leitfähigkeit | Raungewicht Trockenprobe | Brennprobe | |
|-----------------|---------------|-----------------------------|------------|---------|
| | | | 900° C | 1000° C |
| 5,95 | 11,36 | | | |
| 5,85 | 11,32 | | | |
| 5,5 | 11,32 | 1,78 | 1,62 | 1,87 |
| Druckerweichung | Erweichung | Schmelzen | | |
| - | 1120 | 1190° C | | |

St. Martin 17

Korngrößenanalyse:

- 1: sandiger Schluff
- 2: tonhaltiger Schluff
- 3: tonhaltiger Schluff



Chemische Analyse:

| | 1 | 2 | 3 |
|---|-------|--------|-------|
| GV (1100°, korr. L-FeO) | 8,19 | 10,00 | 10,24 |
| SiO ₂ | 62,81 | 62,36 | 59,30 |
| Al ₂ O ₃ + TiO ₂ + P ₂ O ₅ | 18,11 | 22,10 | 20,64 |
| Gesamt-Fe als FeO | 7,26 | 3,88 | 5,22 |
| CaO | 0,63 | 0,53 | 0,30 |
| MgO | 0,87 | 0,63 | 0,89 |
| K ₂ O | 1,34 | 1,48 | 1,71 |
| Na ₂ O | 0,06 | 0,24 | 0,26 |
| TiO ₂ | (+) | + | (+) |
| MnO | - | - | - |
| S | - | - | - |
| Summe | 99,47 | 100,02 | 99,45 |

Mineralogische Analyse:



(alles aus J.G.HADITSCH & F.LASKOVIC, 1974)

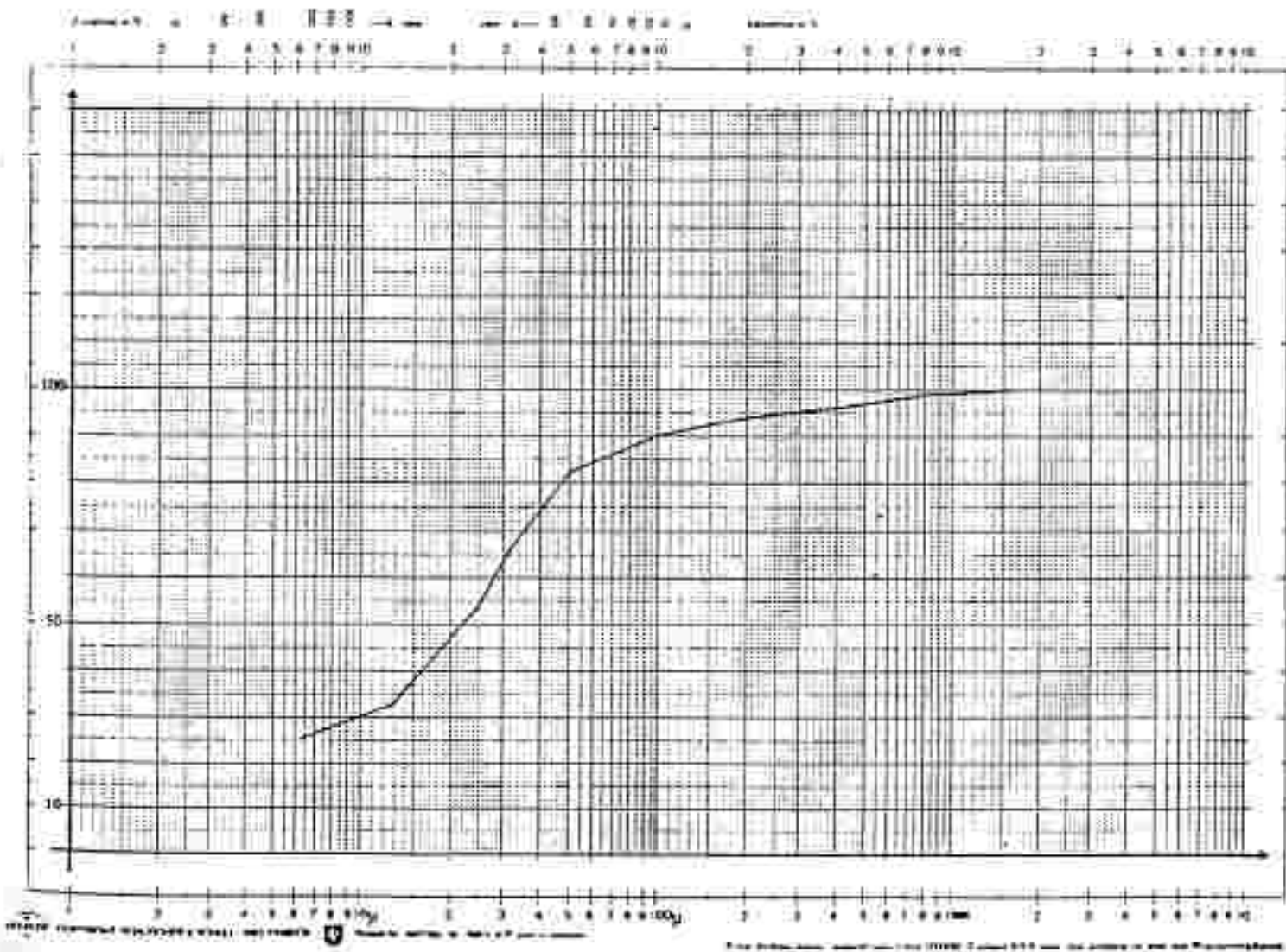
Unterbergla 17 (Heinrich 1982)

Mineralogie (Röntgendiffraktometrie) und Siebanalysen
bei Steir. Montanwerke AG, Leoben

Korngrößenanalyse:

mm Ø Gew.-%

| < 1,63 | > 1,63 - < 2,00 | > 2,00 - < 2,50 | > 2,50 - < 3,15 | > 3,15 - < 4,00 | > 4,00 - < 5,00 | > 5,00 - < 6,30 | > 6,30 - < 8,00 | > 8,00 - < 10,00 | > 10,00 |
|--------|-----------------|-----------------|-----------------|-----------------|-----------------|-----------------|-----------------|------------------|---------|
| 25,4 | 6,9 | 22,3 | 11,1 | 16,4 | 8,1 | 3,7 | 2,2 | 7,8 | 1,0 |



Riß (Niederterrasse)

Deutschlandsberg 2

Lannach 3

Pitschgau 7

Stainztal 7*

Sulmeck-Greith 1*

Deutschlandsberg 2 (Hauser 1954)

Korngröße:

| | | | |
|-------------|---|------|--------|
| 0,2 | : | 2,8 | Gew.-% |
| 0,2 - 0,05 | : | 4,6 | |
| 0,05 - 0,02 | : | 10,1 | |
| 0,02 - 0,01 | : | 20,2 | |
| 0,01 | : | 62,3 | |

mm Ø Gew.-%

| pH - Wert | Leitfähigkeit ($\times 10^{-3}$) | Raumgewicht | | Wasseraufnahme | |
|-----------|---------------------------------------|----------------------|------|----------------|--------|
| | | der gebrannten Probe | | 900° | 1000° |
| 7,4 | 11,3 | | | | |
| 5,8 | 11,29 | | | | |
| 7,8 | 11,32 | 1,6 | 2,24 | 22,- | 0,4- |
| | | | | | Gew.-% |

Lannach 3 (Hauser 1954)

Korngröße:

| | | |
|-------------|---|------|
| 0,2 | : | 9,65 |
| 0,2 - 0,05 | : | 15,3 |
| 0,05 - 0,02 | : | 13,6 |
| 0,02 - 0,01 | : | 5,85 |
| 0,01 | : | 55,6 |

mm Ø Gew.-%

Raumgewicht:

Trockenprobe: 1,78

Brennprobe :

900° : 1,67

1000° : 2,18

Pitschgau 7 (Hauser 1954)

Druckerweichung Erweichung Schmelzen
910 1200 1250° C

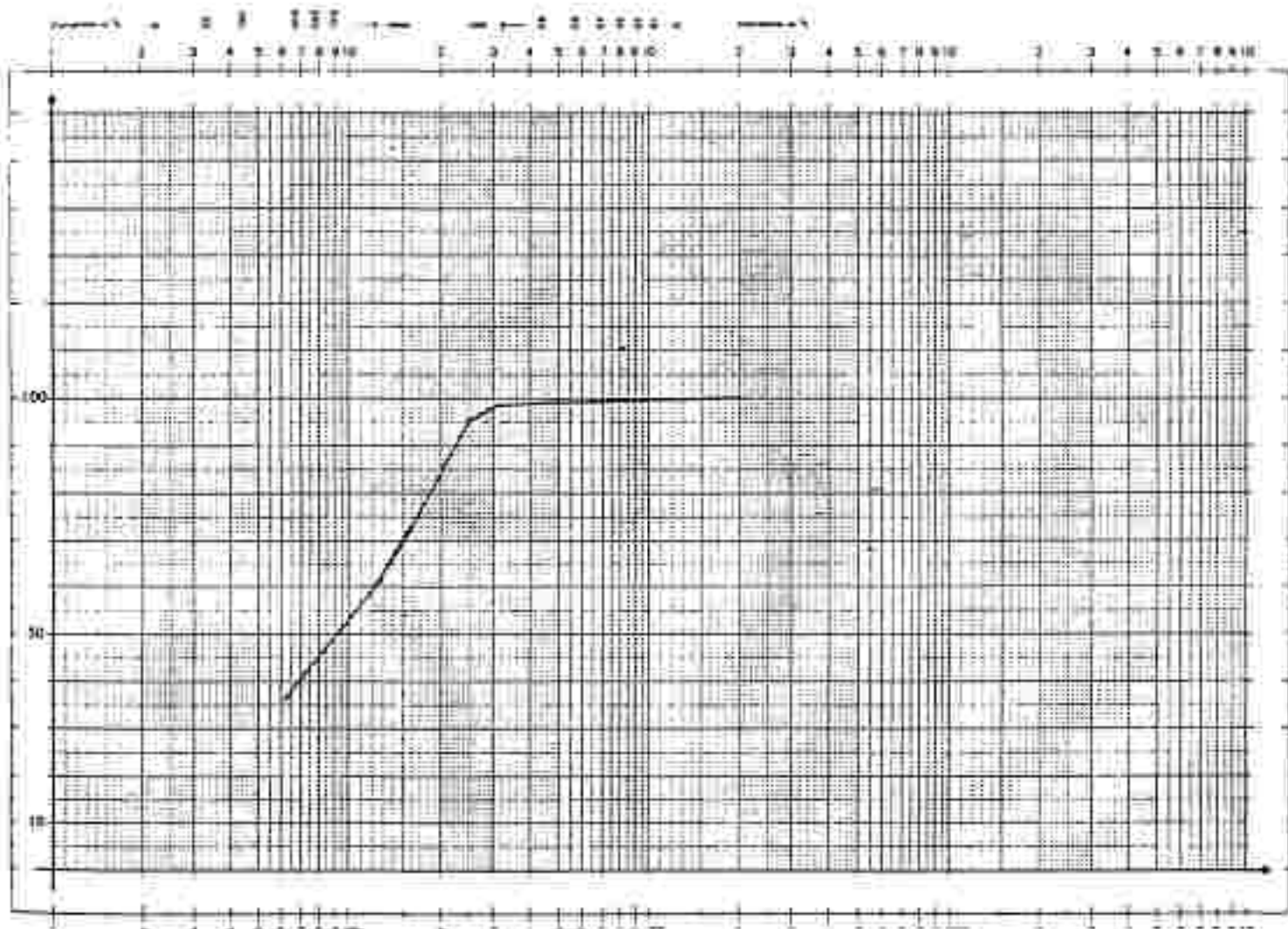
Stainztal 7 (Heinrich 1982)

Probe 142 b

Korngrößenanalyse:

mm Ø Gew.-%

| < 1,063 | > 1,063 | > 0,125 | > 0,25 | > 0,315 | > 0,5 | > 1,0 | > 1,3 | > 1,6 | > 2,0 |
|---------|---------|---------|--------|---------|-------|-------|-------|-------|-------|
| 36,2 | 24,2 | 35,3 | 2,9 | 1,0 | 0,3 | 0,1 | - | - | - |



Sulmeck-Greith 1 und 1a (Hauser 1954)

Korngröße:

| | | |
|-------------|--------|------|
| > 0,2 | : | 5,0 |
| 0,2 - 0,05 | : | 18,0 |
| 0,05 - 0,02 | : | 20,0 |
| 0,02 - 0,01 | : | 8,5 |
| < 0,01 | : | 50,5 |
| mm Ø | Gew.-% | |

| Wasseraufnahme 2 h | 24 h | Plastizität | Thixotropie | Raumgewicht | |
|-----------------------|------|-------------|-------------|-------------|------------|
| | | | | Trockenpr. | Brennpr. |
| 69 | 72 | 20 | 104 | | 900° 1000° |
| 73 | 90 | 26 | 110 | 1,2 | 1,59 1,9 |

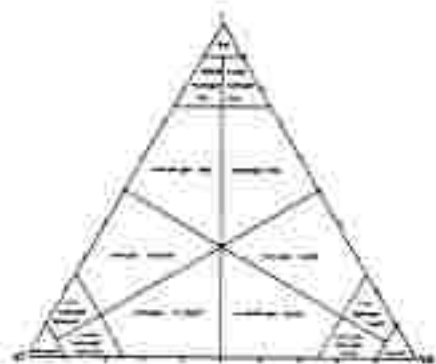
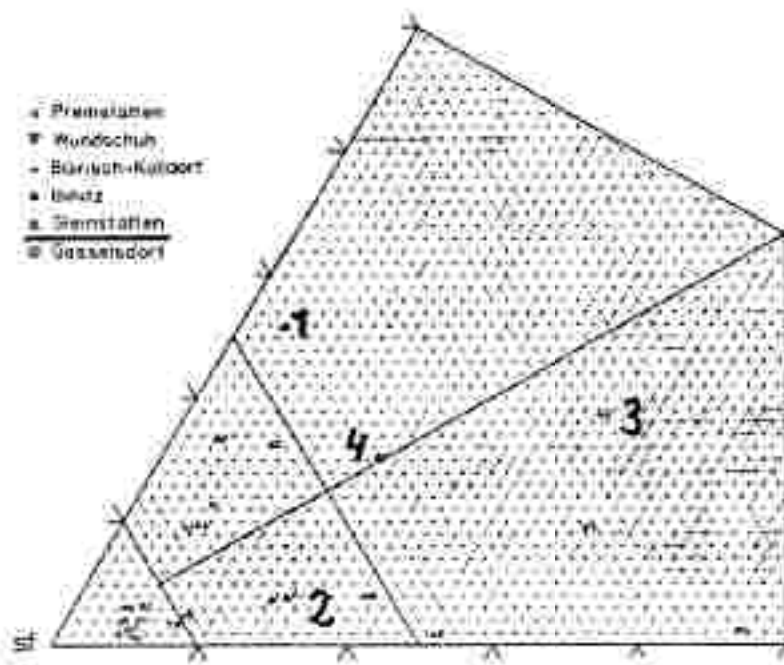
| pH-Werte | Leitfähigkeit ($\times 10^{-3}$) | |
|-----------|------------------------------------|-------|
| 6,14 5,45 | 11,28 | 11,26 |
| 4,9 5,15 | 11,32 | 11,29 |
| 5,9 5,5 | 11,29 | 11,32 |

| Raumgewicht der gebrannten Proben | Wasseraufnahme | |
|--------------------------------------|----------------|-------|
| 900° 1000° | 900° | 1000° |
| 1,76 1,79 | 16,2 | 12,8 |
| 1,77 1,95 | 16,3 | 8,9 |
| 1,7 1,92 | 16,1 | 9,1 |

| Druckerweichung 950 | Erweichung 1160 | Schmelzen 1260° C |
|------------------------|--------------------|----------------------|
| | | |

Sulmack-Greith 1 und 1a

- 1, 4: tonige Schluffe
 2 : sandhaltiger Schluff
 3 : sandiger Schluff

Chemische Analyse:

| | 1 | 2 | 3 | 4 |
|---|-------|-------|-------|-------|
| GV (11100°, korr., t: FeO) | 6,81 | 9,24 | 8,95 | 8,97 |
| SiO ₂ | 60,71 | 61,31 | 64,51 | 59,87 |
| Al ₂ O ₃ + TiO ₂ + P ₂ O ₅ | 29,20 | 17,08 | 16,00 | 21,01 |
| Gesamt-Fe als FeO | 5,89 | 7,18 | 6,40 | 6,07 |
| CaO | 0,92 | 0,73 | 0,71 | 0,70 |
| MgO | 0,09 | 1,38 | 1,11 | 0,97 |
| K ₂ O | 1,84 | 1,23 | 1,77 | 1,62 |
| Na ₂ O | 0,21 | 0,58 | 0,27 | 0,43 |
| TiO ₂ | ++ | ++ | ++ | ++ |
| MnO | - | - | - | - |
| S | - | - | - | - |
| Summe | 99,47 | 99,30 | 99,72 | 99,64 |

Mineralogische Analyse:

| Gleinstätten | Quarz | Orthoklas | Plagioklas | Pyroxene | Späne | Calciit |
|--------------|-------|-----------|------------|----------|-------|---------|
| 1 | + | + | + | + | + | + |
| 2 | + | + | + | + | + | + |
| 3 | + | + | + | + | + | + |
| 4 | + | + | + | + | + | + |

Tab. 27: Verzeichnis der Abbaustellen und Fundpunkte,
nach Gemeinden gegliedert.

- Status: Abbau:
- 1 in Betrieb
 - 2 periodisch in Betrieb
 - 3 außer Betrieb
 - 4 nicht auffindbar/nur aus Literatur bekannt/
Material nicht mehr aufgeschlossen
 - 5 Maßbaggierung
 - 6 Reserve, Abbau geplant
 - 6 Straßen-, Baugrundaufschluß
 - 7 natürlicher Aufschluß
 - 9 Bergbau außer Betrieb, alte Schürfe

TABELLE

| Nr./VK-Nr./Nr.-GSA* | Ort oder Raum (Betreiber, Eigentümer) | Material | Sturz. | Verwendung | Art- typus | Wiss. + | Bekleidung ja, nein Fußgängersitzung | Stratigraphische Einstufung |
|---------------------|--|----------------------|--------|-------------------------------|---------------|------------|--|--------------------------------------|
| 1 206/44 | Autobahn | Steine | 8 | | | | | Korallekristallin |
| 2 206/47 | St. Jak. | Gestein | 3 | Veredelung | | | nein | Korallekristallin |
| 3 206/75 | Klement | Pegmatit- gneise | 3 | | | | nein | Korallekristallin |
| 4 206/77 | Flusssteine | Kalk | 1 | | | | nein | Korallekristallin |
| 5 206/79 | Mosantrag | Steine | 3 | Straßenbau | | | nein | Korallekristallin |
| 6 206/52 | St. Lorenzen (Br. Haider, Stein- zeile, Wissigstein) | Kalk (Marmor) | 3 | Wage und straßenbau | | + | nein | Korallekristallin |
| 7 206/55 | St. Lorenzen o.E. | Kalk (Marmor) | 3 | | | | nein, Gartenz. | Korallekristallin |
| 8 206/56 | Penk | Kalk (Marmor) | 3 | Brummkalz | | | nein | Korallekristallin |
| 9 206/111 | St. Radl, W. | Steine | 3 | Straßenbau | | | nein | Korallekristallin |
| 10 206/45 | Grabenküste | Kalk (Marmor) | 4 | | | | | Korallekristallin |
| 11 206/43 | Ochh. | Pegmatit | 4 | | | | | Korallekristallin |
| 12 206/44 | Maritions | Diabas-, Schiefer | 6 | | | | | Korallekristallin |
| 13 206/99 | Radlgrub (Br. Haider) | Diabas- Schiefer | 1 | Straßenbau | | | | Gneis-Hänge-Kal. |
| 14 206/51 | Südmark (Prassnig) | Kalk (Marmor) | 3 | Steinschotter, Mauersteine | | | nein | Korallekristallin |
| 15 206/78 | Strigl | Glimmer- Schiefer | 3 | Straßenbau | | | nein | Korallekristallin |
| 16 206/42 | Hinterhöfe | Sand/ Schiefer | 7 | | | | | Zonen, Einwander- ger Blockschutt |
| 17 206/10 | Diesel | Steine | 3 | Straßenbau | | | nein | Korallekristallin |
| 18 | Aibl | Brummkalz | 9 | | | | | Korall |

* HERRICH, E. 1982: Bodenrichter 1980 (Ur- und Projekt der GSA, Salzburg). Bestandsaufnahme von Natursteinbrüchen in der Steier-
mark, Österreich, überwacht.

Deutschlandsberg

| Nummer A1/100 (GSA*) | Ort oder Name (Beschreibung) | Material | Skal. | Versandform | Auftrag typ | Mit | Bearbeitungszeit ja, nein Zugehörigkeit | Geographische Einstufung |
|----------------------|--|-----------------|-------|---------------------------|----------------|-------------------------|---|-----------------------------|
| 1 189/11 | Klosterneuburg (Untersteiermark) | Amphibolit | 5 | Schotter f. Straßenbau | X | nein, Baustoff | Noralpin- Kristallin | |
| 2 189/23 | Unterlaufenegg (Pflaum.) | Ton, Lehm | 4 | Ziegel | X | ja, Wohnanlage | mit. Hochme- rische | |
| 3 189/29 | Stampfer | Ton | 8 | | | | Murm | |
| 4 189/181 | Hörbing | Schluff- Ton | 7 | | | | U-Baden Basisproband | |
| 5 189/204 | Giritschberg (2 Gruben) | Sand | 6 | Sauerd. | | ja, Rohstoff | U-Baden Basisproband | |
| 6 189/205 | alte Osmarindepand- grube Deutschalpe | Sand | 4 | Sauerd. | + | Milldeponie | Baden, Dunkel- grüne Sande | |
| 7 189/203 | Postdorf | Sand | 3 | Sauerd. | + | nein | U-Baden Völker Marjai | |
| 8 189/206 | Kogeldeuer | Sand | 3 | Sauerd. | | ja, Landwirt- schaft | Baden, Dunkel- grüne Sande | |
| 9 189/21 | Wernitzk. (Wickerholz) | Quarz | 7,3 | | X | | Noralpin- Kristallin | |

*) WEIRICH, W. 1982: Bericht 1980 für das Projekt BMF Nr. 80, Bestandsaufnahme von Wasserrohren in der östlichen Steiermark. GfA Wien, unveröff.

Eitzenwald

| RECHNUNGS-NR.* | ORT AUF KARTE (nachvoller, Eigentum) | MATERIAL | ART | VERWENDUNG | ANZ. LAGE | BEKLEIDUNG je, mein Talgutung | STRATIGRAPHISCHE EINSTUFUNG |
|----------------|---|------------|-----|------------|--------------|-------------------------------------|--------------------------------|
| 1 | Eitzenwald, GKB | Glanzkohle | # | | X | 10 | |
| 2 | Eitzenwald | Tuff | # | | X | - | |
| 3 | Eitzenwald | Lehm | # | | - | ca. 10 | |

* RECHNER, R. 1982: Einfluss der THERMO für das Projekt SIA 30/90, Systematisierung von Kassettenkatalogen in der Südmontafon, GSA Wien, universität.

Freudental a. d. L.

| Br./(KD)/Nr./GAT* | Ort oder Name (Bezeichnung/Signatur) | Material | Stat. | Verwendung | Aus- treue | Mittl. | Kalkulierung ja, nein Folgenrechnung | stratigraphische Unterteilung |
|-------------------|---|----------|-------|------------|---------------|--------|--|---|
| 1 185/194 | Freidorfer Gestein | Sand | 4 | Bauzahn | | ja | | 1-Basis Kernsandstein 2-Basis 2. Grobsand- horizont |
| 2 188/197 | Weingöttinger Gestein | Sand | 6 | | | | | |

* Antonacci, S. (1982). Bodenregister 1980 für das Projekt des Br./KD. Nachdrucksautorisation und Nutzungsvereinbarung in der 300-Km-Autobahn Steiermark. UBA Wien, Universell.

Freiland

| Nr./VK-Nr./Nr.-DBN* | Ort oder Name (Bereich/Region) | Material | Grat. | Verarbeitung | Auf- typ | MUZ | Kalkitierung ja, nein Folgenutzung | Stratigraphische Illustration |
|---------------------|-----------------------------------|-----------------------|-------|-------------------------|-------------|-----|--|----------------------------------|
| 1 189/118 | Wartberg | Glimmer- schlierer | 3 | Magnetit | | | | Eozinkristallin |
| 2 189/159 | Gurhartsdorf | Marmor | 2 | | | | | Forainkristallin |
| 3 189/121 | Wildschönau (Zonggratz) | Platten- gneis | 1 | | | | | Koralenkristallin |
| 4 189/120 | Wildschönau (Hnidec, Krammer) | Marmor | 4 | Bruch- und Nurkatast | | | | Koralenkristallin |
| 5 189/17 | Großsöbauer (Gipper) | Marmor | 2 | Straßen- schorter | | | | Koralenkristallin |
| 6 189/256 | Klaiberg | Marmor | 4 | | | | z. Forst- wirtschaft | Koralenkristallin |
| 7 189/160 | Büchelberg | Pegmatit | 2 | | | | | Koralenkristallin |
| 8 189/158 | Södit. W | Amphibolit | 3 | Streichen | | | nein | Koralenkristallin |
| 9 189/157 | Södit. E | Amphibolit | 1 | Stratenbau | | | nein | Koralenkristallin |

*1 HEINRICH, H. 1982: Bodenbericht 1980 für das Projekt EVA Schloss. Beurteilung der Bodenschichten und Haushaltsabfälle in der Süd-
steiermark. URW Wien, Universitäts-

Daten

| Nr./Nr.BL/Nr.GRA* | Betriebs Name (Hersteller, Eigentümer) | Material | Stet. | Verarbeitung | Art- zweck | Mittl. | Reaktivierung ja, nein, Folgenutzung | Geologische Einstufung |
|-------------------|---|--|-------|---------------------------------|---------------|-----------------------------|--|---------------------------|
| 1 189/61 | Salleg-Dorffstadt (Porzellanfabrik Frauenthal, Klapach) | Pegmatit | 3 | Porzellans- erzeugung | × | + | | Koralmkristallin |
| 2 189/248 | Klug | Narmer | 4 | | | | | Koralmkristallin |
| 3 189/258 | Wildbachgraben | Platten- gneis | 3 | Reaktion | | | nein | Koralmkristallin |
| 4 189/265 | Waldbau | Gneis | 3 | | | | nein | Koralmkristallin |
| 5 189/227 | Strickbauer | Platten- gneis | 3, 4 | Straßenbau | | | ja | Koralmkristallin |
| 6 189/255 | Hacker | Platten- gneis | 3 | Straßenbau | | | | Koralmkristallin |
| 7 189/254 | Oegeghausl | Gneis | 3 | Straßenbau | + | | nein | Koralmkristallin |
| 8 189/253 | Oberfl. | Ogneiglimm- schichtfaz. | 3 | Straßenbau | | ja, Garten | | Koralmkristallin |
| 9 189/43 | Schmetterlingsberg | Platten- gneis | 3 | | | | | Koralmkristallin |
| 10 189/45a | Neusenberg | Ogneiglimm- schichtfaz. | 3 | Steinbruch- schorter | | | nein | Koralmkristallin |
| 11 189/45 | Starmarkbruch (Pöhl) | Platten- gneis, Glimm- schichtfaz. | 3 | Bruchstein | | ja, Terrassen- Wandstein | | Koralmkristallin |
| 12 189/47 | Enzianbergh | Platten- gneis, Glimm- schichtfaz. | 3 | Bruchstein, wenig Platten | | ja, Garten | | Koralmkristallin |
| 13 189/44 | alter Schuster- josibruch | Platten- gneis | 3 | | | | | Koralmkristallin |
| 14 189/125 | Rainbergbruch (Pyramide, Deutsch) | Platten- gneis | 3 | Wflaster- steine | | | nein | Koralmkristallin |
| 15 189/124 | Meckleckerholze I und II | Platten- gneis | 3 | Dekorstein | | | | Koralmkristallin |
| 16 189/19 | St. Leopold | Platten- gneis | 3 | Dekorstein (Export) | | | | Koralmkristallin |
| 17 189/10 | Stoffelbruch | Platten- gneis | 3 | Dekorstein | | | ja? | Koralmkristallin |
| 18 189/11a | Gambachthal, Kapelle R | Platten- gneis | 3 | | | | nein | Koralmkristallin |
| 19 189/510 | Gambachthal, Kapelle S | Platten- gneis | 3 | | | | nein, Bienenhaus | Koralmkristallin |
| 20 189/509 | St. Pölten, Preßnitz (A. Preßner, Gigerl) | Platten- gneis | 3 | Dekorstein | | | | Koralmkristallin |
| 21 189/508 | St. Pölten, Schäfferl (W. Schäfferl) | Platten- gneis | 3 | Dekorstein | | | | Koralmkristallin |
| 22 189/50 | O. Leithbruch (Schäfferl) | Platten- gneis | 3 | Dekorstein | | | | Koralmkristallin |
| 23 189/48 | Sigmundbruch (Kohlhanner) | Platten- gneis | 3 | Dekorstein | | | nein | Koralmkristallin |
| 24 189/47 | U. Leithbruch (Preßner) | Platten- gneis | 3 | Dekorstein | | | | Koralmkristallin |
| 25 189/48 | Sigmundsterbruch | Platten- gneis | 3 | Dekorstein | | | nein | Koralmkristallin |
| 26 189/229 | Rassendorfer | Platten- gneis | 3 | Dekorstein | | ja, Garten | | Koralmkristallin |

*) IMHOFER, H. 1982: Bericht 1980 für das Projekt: 3.4.9/85, Erstellungskosten von Naturstoffen im östlichen Steiermark - OÖ. Wien, unveröff.

Übersicht

| Br./DK-St/Br.-DRA* | Bei oder Nähe (Naturräumliche Einheiten) | Material | Stufe | Minerallage | Anal- yse | Hull | Mineralien- ja, nein Polymetamorph | Geographische Einteilung |
|--------------------|---|---------------------------|-------|---------------------------|--------------|------|--|-----------------------------|
| 1 188/27 | Söllitzbach Br. 1222 (Liechtenstein) | Platten- gneis | 3 | Paragne- sische Bau | | | ja | Koralinistalitik |
| 2 188/33 | Salbenwald (Liechtenstein) | Quarzglim- mermischief | 3 | Paragne- sische Bau | | | ja | Koralinistalitik |
| 1 188/36 | Kalbenwald, N (Liechtenstein) | Gneis | 3,7 | Paragne- sische Bau | | | | Koralinistalitik |
| 4 189/1723 | Söllitzbach, N | Gneis | 3 | Paragne- sische Bau | | | nein | Koralinistalitik |
| 5 189/248 | Baroden | Gabbro, Metagabbro | 7 | | | | | Koralinistalitik |
| 6 189/178 | Hochmoor v. Sora- nach | Tuff | 1 | Beilsteinische | | | | Balkan 1 |
| 7 189/179 | Oberfrassan, N (Liechtenstein) | Platten- gneis | 3 | Paragne- sische Bau | | | ja | Koralinistalitik |
| 8 189/113 | Oberfrassan (Liechtenstein) | Platten- gneis | 3 | | | | ja | Koralinistalitik |
| 9 189/174 | Fischreppi | Quarzglim- mermischief | 3 | Paragne- sische Bau | | | nein | Koralinistalitik |
| 10 189/171 | Ueransas | Gneis | 3 | Paragne- sische Bau | | | nein | Koralinistalitik |
| 11 189/154 | Trischler | Gneis | 3 | Stratenbau | | | | Koralinistalitik |
| 12 189/103 | Schwarzberg (Klimindistrik) | Kalifit | 7 | Paragonit- entstehung | X | | nein | Koralinistalitik |
| 13 189/12 | Hartmannsbach (Bodensiliteich, früher Riepitzen) | Warmit | 3 | Stratenbau | X | + | nein | Koralinistalitik |
| 14 189/165 | Jübeli | Quarzglim- mermischief | 3 | | | | | Koralinistalitik |
| 15 200/49 | HOITZL, N | Ampibolit | 3 | Stratenbau | | | nein | Koralinistalitik |
| 16 | | Scheelit | 7 | | | | | Koralinistalitik |
| 17 | | Schemlitz | 7 | | | | | Koralinistalitik |
| 18 | | Scheelit | 7 | | | | | Koralinistalitik |
| 19 | | Scheelit | 7 | | | | | Koralinistalitik |

*) HEINRICH, H. 1992: Berichterstattung INHO für das Projekt „A 18/98, Bestandsaufnahme von Massenmineralen in den 3007 weststeiermärk. und wiener Bezirken“.

Gasseberg

| Nr./Ort/Alt./Nr./BKA* | Ort oder Name (Beschreibung, Eigentümer) | Material | Stand | Verwendung | Aus- text | Wasser halt | Sekundärver- wendung ja, nein Folgenutzung | Stratigraphische Einzelfindung |
|-----------------------|---|---------------------|-------|------------|--------------|----------------|---|-----------------------------------|
| 1. | Hettendorf-Höglau | Bentonit | ? | | X | | | |
| 2. | 189/1540 Höslein 1986 | Tuff | ? | Fachwerke | X | | | |
| 3. | 189/154 Rottendorf | Tuff | ? | | X | | | |
| 4. | 189/1504 Pöhlberg | Tuff | 6,4 | | X | | | |
| 5. | Stallhof - Halvariansburg | Glastuff, Tuffit | ? | | X | | | |
| 6. | 189/150 Stallhof - Halvariansburg | Tuff | 8: | | X | | | |
| 7. | 189/119 Unterpreßegg | Sand | 6 | | | | | |
| 8. | 189/289 Ziehnitzhögl | Tuff | ? | | X | | | |
| 9. | 189/151 Ettendorf - Georgskapelle | Tuffit | 7,4 | | | | | |
| 10. | Ettendorf | Tuff | 7 | | | | | |
| 11. | 189/13 Hämmerdorf | Sand | 8 | | X | | | |

*) amrich, h. 1982: Bodenreichtum 1980 für das Projekt des Bf/Mo. Bestandsaufnahme von Haushaltsabfällen im Bez. Bruck-Mürzzuschlag, BKA Wien, untersucht.

Greisdorf

| Br/Dk/B1/Br. 334*) | Ort oder Name (Beschreiber, Eigentum) | Material | Art | Verwendung | Alter Jahr | Aussl. | Resultierend 14. min Folgenutzung | Strukturelle Hinwendung |
|--------------------|--|--------------------|-----|------------|---------------|--------|---|----------------------------|
| 1 | 189/240 Bahnhof | Platten- gneiss | 3 | Dekorstein | | | nein | Kristallin |
| 2 | 189/1016 Oberpetter | Glimmer | 9 | | | - | nein Autobahn | Kristallin |
| 3 | 120/63 Wiltitsbauer | Platten- gneiss | 2 | Dekorstein | | - | nein | Kristallin |
| 4 | 189/212 Langenegg-Halz | Platten- gneiss | 3 | Dekorstein | | - | nein | Kristallin |
| 5 | 189/53 Neumann- u. Stempl- teichbrück (Schienk und Klinge) | Platten- gneiss | 3 | Dekorstein | | - | nein | Kristallin |
| 6 | 189/55 Mortlinsbachtalbrück | Platten- gneiss | 1 | Dekorstein | | - | nein | Kristallin |
| 7 | 189/54 Spazierweg (Schienk) | Platten- gneiss | 1 | Dekorstein | | - | nein | Kristallin |

*) minima, n. 1980; Dokumentation 1988 für das Projekt der StB/BO, Bestandsaufnahme von Natursteinabbaustellen in den BfL-
gebietssteiermark, GSA Wien, Universitäts-

Gneissketten:

| nr./loc. / St.-Nr.* | Ort oder Name (Betreiber/Eigentümer) | Rezessiv | stat. | Verwendung | Absatz- typ | Mill. | Reaktivierung (d. sein Folgezeitung) | geo-graphische Einzelfestigung |
|---------------------|---|------------------------------------|-------|------------------|----------------|-------|--|-----------------------------------|
| 1 180/41 | Bandalm - Weinbergen | magm.- Amphibolit | 3,3 | Strassenbau | | je | Korsakristallin | |
| 2 182/47 | Bandalm, N | Glimmer- schistfer | 3 | | | je | Korsakristallin | |
| 3 186/45 | Weinbergen-Straße, Weinberg 1 | Amphibolit | 8 (1) | Strassenbau | | je | Korsakristallin | |
| 4 188/46 | Weinbergen-Straße Weinberg 1 | Schist | 3 | Strassenbau | | je | Korsakristallin | |
| 5 188/44 | Weinbergen-Straße Weinberg 2 | Schistfer, Feldspat- Gneis | 8 (1) | Strassenbau | | je | Korsakristallin | |
| 6 188/43 | Hüttenwald, SE | Schist | 3 | Forstweg- bau | | nein | Korsakristallin | |
| 7 189/42 | Fr. Glashütten | Gneis | 3 | | | | Korsakristallin | |
| 8 188/54 | Fr. Glashütten- Jöbel | Platten- gneis | 1 | Strassenbau | | | Korsakristallin | |
| 9 188/55 | Höfli | Quartzquar- zit, Schist- fer | 3 | Forstweg- bau | | nein | Korsakristallin | |
| 10 | Überl. | Schist | 3 | | | | Korsakristallin | |
| 11 | Pechla | Schist | 3 | | | | Korsakristallin | |
| 12 189/40 | Tuchs. | Feldspatit | 4 | | | | Korsakristallin | |
| 13 189/34 | Lorenshaus | Ortho | 3 | | | | Korsakristallin | |
| 14 189/33 | Mausert | Schiefer | 3 | Wegbau | | nein | Korsakristallin | |
| 15 188/48 | Bandalm, S | Schistfer | 3 | | | je | Korsakristallin | |

* HESSECK, H. 1980: Erweiterung 1980 für das Projekt IIA Se/80: Bestandteile/Bauarten von Massenklastofthen in der Steiermarksteinkarte. IIA dient. unveröff.

Grodraul.

| Br./OK-Nr./Nr./GMA* | Ort oder Name (Beschreibung/Eigentum) | Material | Artz. | Anwendung | Art- typ | Kuli | Resultativierung ja/nach Folgeanwendung | Stratigraphische Einzelformation |
|---------------------|--|------------------------------|-------|----------------------|-------------|------|---|-------------------------------------|
| 1 206/74 | Schautasche: Schurftafelien Rehl. | Sand Glanz- kohle | 8 | | | | | Ottomang, III |
| 2 | | | 9 | | | | | Ottomang, III |
| 3 | | | 9 | | | | | Ottomang, III |
| 4 206/8 | Steinmühle: | Sand | 6 | | X | | | Ottomang, III |
| 5 206/72 | Stelzer, Lichten- egg | Sand | 6 | | X | | | Ottomang, III |
| 6 206/73b | Keramiziegel | Kalk | 3 | straßen- schotter | | sein | | Bad-Wildbach- schotter |
| 7 206/734 | Formziegel (Aldrian, Mally) | Kalk | 3 | straßen- schotter | | sein | | Bad-Wildbach- schotter |
| 8 206/10 | Feistmantelberg | Sand | 2 | | X | | | Winnung, III |
| 9 | Feistmantel Harma-Schicht | Glanz- kohle | 9 | | | | | Karpal |
| 10 206/70 | Oberstein | Sand, Schotter Graphit | 6 | | | | | Ottomang, III |
| 11 | | | 6 | | | | | |
| 12 | Sintergleich | Glanz- kohle | 3 | | | | | Karpal |

*Lampert, H. 1982: Bodenbericht 1980 für das Projekt: Bau 127/80; Bestandsaufnahme von Basaltdeckschichten im östl. Süd-
steiermark. GMA Wien, unveröff.

Grent Sc. Finnian

| Nr./SL/Br., GIA* | Art oder Name (Untergruppe, Eigentum) | Material | Stat. | Verwendung | Alt- Typ | Mill. | Senkrechtierung z. min. Fragestellung | Stratigraphische Einstufung |
|------------------|--|----------|-------|------------|-------------|------------|---|--------------------------------|
| 1 189/265 | Tonneladerf (z. kleine Gruben) | Sand | 3, 4 | Bauabau | - | - | - | K-Baden Baugrubenfeld |
| 2 189/145 | Vochere s.s. L. | Sand | 3 | Bauabau | X | ja, Garzen | - | U-Baden Soilgrabenfeld |
| 3 189/198 | Lobinger Glainz | Sand | 3 | Bauabau | - | - | - | U-Baden, z.d. Vermessung |
| 4 189/267 | Kupfer | Lehm | 4 | Ziegel | - | ja | - | EIS, Hochterrassen |
| 5 189/263 | Hochacker | Lehm | 4 | Ziegel | - | Muldeponie | - | Spätglazial |
| 6 189/144 | Brunnenschaugruben | Sand | 3 | Bauabau | X | nein | - | U-Baden Küller Bergal. |
| 7 190/27 | Quassendorf (Kupfer, Holz) | Lehm | 4 | - | - | - | ja | EIS, Hochterrassen |

*: MIRKOVIC, H. 1982: Einbericht 2980 für das Projekt SL/Br/00; Beurteilungsfähigkeit von Bauanbaustoffen in der Steiermark; GIA-Nr.: unveröffentlicht

Übersichtstabelle

| Nr./Nr. Bl./Nr. GSA* | Vgl. oder Name (Beschreibung, Eigentümer) | Material | Stat. | Verwendung | Unter- typen | Mittl. | Konsolidierung ja, nein Folgenutzung | Geotigraphische Einschätzung |
|----------------------|--|---|------------------------|------------|---------------------------|--------|--|---|
| 1 | 189/134 | Prallhang | Amphibolit | 3 | Strassenbau | | nein | Koraldkristallin |
| 2 | 189/120 | Gundendorf (Gemeinde) | Amphibolit | 2 | Bruchstein, Bruchstein | | | Koraldkristallin |
| 3 | 189/104 | Groß-Mieser | Quarzit | 9 | Elektroso- tore | | ja, Land- wirtschaft | Koraldkristallin |
| 4 | 189/278 | Überwinklitz | Kalium | 4 | Siegel | | ja, Land- wirtschaft | L.I. Verwitterungs- n.I. Hochschwamm |
| 5 | 189/279 | Arch | Sand | 4 | Hausbau | | ja, Forst- wirtschaft | L.I. Verwitterung n.I. Hochschwamm |
| 6 | 189/52 | Haggenbrücke (Landesabteilung und nachb.) | Amphibolit | 3 | | | nein | Koraldkristallin |
| 7 | 189/217 | Zochngraben; II | Quartzit/ Kalkstein | 3 | Strassenbau | | nein | Koraldkristallin |

* HEDBACH, H. 1982: Ein Beitrag zur das Projekt "Die Salz/Silicium-Konsolidierung von Spezialobjekten in der Steiermark". Diss. Univ., Graz.

Mollanegg

| Nummer/Bl.-Nr.* | Ort über Name (Autoreller, Eigentümer) | Material | Stz. | Verwendung | Anw. typ | Welt | Beschreibung z. d. d. in Verwendung | Stratigraphische Einzelfindung |
|-----------------|---|----------------------------|------|------------|-------------|-------------------------|---|-----------------------------------|
| 1 | 189/161 Pötsch | Geisiglin- verwitterter | 4 | | | | | Koralkektatitik |
| 2 | 189/163 Stein Steuerplatz | Sandit | 4 | Steinbruch | | Jg. Land- wirtschaft | Bauen, Flurhüt- tengroße Lands- | |
| 3 | Mollanegg, Fkt. 386 | Septonit | 7 | | | | | Fluss, Bach |
| 4 | 189/163 im. Steuerplatz | Geisiglin- verwitterter | 3 | | * | nein | Koralkektatitik | |
| 5 | thE. Schwanberg W. | Lehm, Schotter | 3 | | * | nein | Steinholz | |
| 6 | thE. Schwanberg E. | Lehm, Schotter | 3 | | | | | Wasser |

*) HEINRICH, R. 1982: Einheitsrichtlinie 1980 zur den Projekt SIA 5/80, Bestandsaufnahme von Kämmersatzstoffen in der Steiermark. GMA Wien, umgesetzt.

Kloster

| Brückl-Nr./Nr. GSA* | Ort oder Name (Bereich, Eigentum) | Material | Rar. | Verwendung | Abg. typ | Mitt | Konservierung je, keine Folgenutzung | Stratigraphische Einzufügung |
|---------------------|--------------------------------------|-------------------------|------|------------|-------------|------|--|---------------------------------|
| 1. 188/638 | Schwarzkogel-Sattel | Ektolith- amphibolit | ? | | | | | Korallekristallin |
| 2. 188/43 | Schwarzkogel Gipfel | Ektolith- amphibolit | ? | | | | | Korallekristallin |
| 3. 188/51 | Hochringel | Schistus | 3 | | | | ja | Korallekristallin |
| 4. 188/31 | Gasthof Rosenthal | Gneissglimmertschiefen | 1 | | | | ja, Gefüge | Korallekristallin |
| 5. 189/118 | Burgruine | Gneissglimmertschiefen | 2 | Wageteil | | | nein | Korallekristallin |
| 6. 189/256 | Reinischwirt - W. | Pegmatit | 4 | | | | | Korallekristallin |
| 7. 189/257 | Kanzel | Gneissglimmertschiefen | 3 | Wagenteil | | | nein | Felskristallin |
| 8. 189/318 | St. Oswald | Plattenquarzit | 4 | Steckstein | | | | Korallekristallin |

* J. WEINER, W. 1962: Einheitliche 1:500 für das Projekt von 1960, Bestandsaufnahme von Natursteinbrüchen in der Steiermark. GSA-Verein, Graz 1962

Lannach

| Mr./BGBl./Nr./GSA* | Ort oder Name (Bergbaurevier, Eigentum) | Material | Stat. | Verwendung | Miner. Typ | Mittl. | Reaktivierung ja, nein Folgenutzung | Stratigraphische Einzelfnung |
|--------------------|--|----------|-------|------------|---------------|--------|---|--|
| 1. 189/27 | Bitschendorf | Lehm | 4 | Ziegel | | X | ja; Eisenstein- bahn | Friesach |
| 2. 189/277 | Lannach | Lehm | 8 | Ziegel | | | ja; Timpel | an |
| 3. 190/21 | Tiegelweich Lannach (Lannacher Dach- ziegel) | Lehm | 3 | Ziegel | | X | ja; Fisch- teiche | alle |
| 4. | Lannach | Lehm | 3 | Ziegel | | | ja; Flachteich | nix |
| 5. | Lannach | Lehm | 3 | Ziegel | | | ja; Fischteich | nix |
| 6. | Lannach | Lehm | 3 | Timpel | | | ja; Fischteich | nix |
| 7. | Lannach | Lehm | 3 | Ziegel | | | ja; Flachteich | nix |
| 8. | Lannach | Lehm | 3 | Ziegel | | | ja; Flachteich | z. z. Geb. allg. Lager; |
| 9. 190/79 | Gubelberg | Stein | 6 | | | | ja; Forst | w. L. Gubelberg; |
| 10. | Lannach | Bentonit | 5 | | | | | " " |
| 11. 186/5 | Lannachberg | Sand | 3 | Bausand | | X | ja; Gruben | unter Baden; z. d. Geb. allg. Lager; w. L. Gubelberg |

*1 HEINRICH, S. 1980: Entfernung 1980 für das Projekt Haib-Süd, Bestandsaufnahme von Rohstoffressourcen in der Steiermark, GSA Wien, unveröff.

Limmersberg b. Siersbach

| Inv./OB:BL/VN:GSA* | Erl. oder Name (Bauwerke, Biegestühle?) | Material | Stat. | Verwendung | Aus- trei- tung | Hilf | Analysierung ja, nein Fotografie | Stratigraphische Einteilung |
|--------------------|--|-----------------------|-------|--------------------------|-----------------------|------|--|---|
| 1 106/101 | untere Kalkdrüse | Sand | 1 | blauerlich- Eisengrau | X | - | NEIN | Karpfen, GES |
| 2 106/38 | Limmersberg-Kalkgrub Steineregg Steineregg | Glanzschiefer Tuff | 6 | | | | | Karpfen, MGS Karpfen Karpfen, MGS |
| 3 | | | | | | | | |
| 4 | | | | | | | | |

* GRABHORN, H. (1982): Endbericht 1982 für das Projekt 310.10/80 - Bestandsaufnahme von Natursteinbrüchen in der Steiermark. GSA Wien, unveröff.

Marmor

| Nr./Dm Nr./Nr. MA* | Ort oder Name (Bezeichner, Eigentum) | Material | Stet. | Verarbeitung | Alte- typ | Mittl. | Verarbeitung z. sein Folgenutzung | Stratigraphische Bedeutung |
|--------------------|--|--|-------|------------------------|--------------|--------|---|---------------------------------------|
| 1 | 189/63 Hollgraben, * (Marsl, Sonnanger) | Platten- gneis | 3 | Dekorstein | | - | nein | |
| 2 | 189/56 Kluganwirbruch (Gößnitz) | Platten- gneis | 3 | Dekorstein | | - | nein | |
| 3 | 189/41 Totzbruch (Lichten) | Platten- gneis, olige- marmoreif | 3 | Dekorstein | - | - | nein | |
| 4 | 189/55 Hollgraben, Kapelle | Platten- gneis, Marmor | 3,5 | Strassenbau | | - | nein | |
| 5 | 189/387 Kropfgestein (Jüßit) | Marmor | 3 | | | | | |
| 6 | 189/67 Hollgraben, Kapelle | Marmor | 3,4 | Strassenbau | | - | | |
| 7 | 189/148 Hollgrabenbrücke | Marmor | 3 | Strassenbau | | - | nein | |
| 8 | 189/34 Hollgraben-Besitz- Bruch, Besitzherr, - verwaltung Mersch | Platten- gneis, Marmor | 3 | Strassenbau | | - | nein | |
| 9 | 189/68 Hollgraben, * (Mersch) | Glimmer- quarzit | 3 | Strassenbau | | - | nein | |
| 10 | 189/69 Seewurzbruch | Platten- gneis | 3 | | | - | nein | |
| 11 | 189/70 Steinbechthal-Kling- (Ocplitznack-Tutz) | Platten- gneis | 3 | | | - | nein | |
| 12 | 189/211 Totzbruch (Lichten) | Platten- gneis | 3 | Dekorstein | | - | nein | |
| 13 | 189/79 Sagnelstarkbruch | Platten- gneis | 3 | | | - | nein | |
| 14 | 189/72 Theusnabach, * | Platten- gneis | 3 | Dekorstein | | - | nein | |
| 15 | 189/71 Weißdorffbruch (Schenk) | Platten- gneis | 3 | Dekorstein (Export) | | - | | |
| 16 | 189/214 Theusnabach, Ort | Platten- gneis | 3 | Dekorstein | | - | ja | |
| 17 | 189/80 Gallobrunn (Schunk) | Platten- gneis | 3,4 | Dekorstein | | - | | |
| 18 | 189/73 Theusnabach (Rath) | Platten- gneis | 3 | Dekorstein | | - | nein | |
| 19 | 189/288 Gutschibbruch (Schoen) | Platten- gneis | 3,4 | Dekorstein | | - | | |
| 20 | 189/730 Rath-Ramsegg (Mersch) | Platten- gneis | 3 | Dekorstein | | - | | |
| 21 | 189/77a Gantterbruch | Platten- gneis | 3,4 | Dekorstein | | - | nein | |
| 22 | 189/74 Redling, * | Platten- gneis | 3 | | | - | nein | |
| 23 | 189/77 Reindenthal, * | Platten- gneis | 3 | Dekorstein | | - | nein | |
| 24 | 189/76 Reindenthal, * | Platten- gneis | 3 | Dekorstein | | - | nein | |
| 25 | 189/78 Angendorf | Platten- gneis | 3 | Dekorstein | | - | nein | |
| 26 | 189/40 Rastibauerbruch | Platten- gneis | 3 | Strassenbau | | - | nein | |
| 27 | 189/210 Rastibauer | Platten- gneis | 3 | | | - | nein | |
| 28 | 189/200 Pintersbrich (Rath) | Platten- gneis | 3 | Dekorstein | | - | nein | |
| 29 | 189/211 Pinter, * | Platten- gneis | 3 | | | - | ja, Landwirt- schaft | |
| 30 | 189/75 Rainbach | Lehm | 4 | Ziegeln | | - | ja | |
| 31 | 189/215 Trog | Gneissplim- menschief | 3,7 | | | - | | Mersch, Mitterterr. Kernsteinmühle |

* NEGRISONI, E. 1982: Einbericht 1780 für das Projekt SIA 5/2/80, Sekundäruntersuchungen von Marmortypenstellen in der Süd-
oststeiermark. GEW Wien, unveröff.

Oberschicht

| Rez. Nr./Re. GDA* | Ort oder Name (Bereichs-, Eigennamen) | Material | Strat. | Verwendung | Mat- terialtyp | Hill | Bekleidung ja, nein Folgenanzahl | Stratigraphische Einstufung |
|-------------------|--|---------------------------|--------|----------------------|-------------------|------|--|--------------------------------|
| 1. 188/188 | Stofflücke | Alumin- | 9 | | | | | Korallekristallin |
| 2. 188/190 | Wasserbauer | Anhydrit | 8 | | | | | Korallekristallin |
| 3. 188/191 | Pöttenbach-Winkel | Anhydrit | 6 | | | | | Korallekristallin |
| 4. 188/192 | Edler | Pyrofazit | 8 | | | | | Korallekristallin |
| 5. 189/158 | Schobner | Chalcedon- murchiefert | 3, 4 | Raupe- Strukturen | | 0418 | | Korallekristallin |
| 6. 199/118 | Bettsteinen | Rietbed- gneiss | 9 | | | | | Korallekristallin |

*1) HERRLICH, H. 1982: Endbericht 1980 für die Projekt Sta. 76/80, Erstanalysen von Kieserzschichten in der Südweststeiermark, USA Wien, unveröffentlicht

Fitschigau:

| Nr. VKSL./Nr. GSA* | Ort oder Name (Besitzer, Eigentum) | Material | Alt. | Verarbeitung | Aus- sehen | WHL | Reaktivierung Tp., kein Pigmentierung | Stratigraphische Einheit |
|--------------------|---|-----------------------|------|-----------------------------------|---------------|-----|---|-----------------------------|
| 1. 206/103 | Hollberg, H. | Stein | 5, 9 | | | X | Gauplatz | Karpas, 388 |
| 2. 206/69 | Hollberg (Steiger u. Partner) | Schlacke | 3 | Betonmau- schlag Ziegelwerk | | | | Tarbat, 388 |
| 3. | Stimmerdorfer Klein- bau Charlotte Maria B.m. | Glasmosaik | 3 | | | | | |
| 4. 206/104 | Hollberg, W. | Stein, Zob | 4 | | | | | Karpas, 388 |
| 5. | Wormsdoerf. Lauma-S. | Glasmosaik | 3 | | | | | Karpas, 388 |
| 6. 206/105 | Fitschigau, | Kunststein- platte | 3 | | | | | Karpas, 388 |
| 7. 206/106 | Wischhofegg | Lamm | 3 | Ziegel- | X | | Liedtwitz- schaft | 388 |

*) HEINRICH, H. 1982: Dokument 1980 für das Projekt SIA 32/60, Bestandsaufnahme von Rauhreinheiten in der Steiermark. Uni Wien, Universität.

Pöfling-Brunn:

| Nr./UNID/Nr. GBA* | Ort oder Name (Bergbaubetrieb, Eigentum) | Material | Stat. | Verarbeitung | Min.- typ | Mitt. | Substitution ja, nein Folgerung | Stratigraphische Einzelfindung |
|-------------------|---|-----------------|-------|--------------|--------------|-------|---------------------------------------|-----------------------------------|
| 1 | Gaiweckegg, Bereich- art | Glimmerschiefer | + | | | | | Karpat., HES |
| 2 | Pöfling-Brunn, Hauptabbaubeck | Glimmerschiefer | 0 | | | | | Karpat., HES |
| 3 | Pöfling-Brunn, Henzel-Schacht | Glimmerschiefer | 0 | | | | | Karpat., HES |
| 4 | Aug-Schönegg, Fotter-Schacht | Glimmerschiefer | + | | | | | Karpat., HES |
| 5 | Projektvegg | Schlacke | 0 | | | | zellweise, Pastaplasta | |

*) HEINRICH, R. 1982: Studiebericht 1980 für das Projekt der
verstaatlichten CSA Wien, severodd.

Preding

| Rez. Nr./Nr. GRAB* | Ort oder Name (Wetterauer, Eigentum) | Material | Größe | Verarbeitung | Abfall typ | Müll | Recyclierung ja, nein Folgenutzung | stratigraphische Sichtung |
|--------------------|---|-------------------|-------|--------------------------|---------------|------|---|--|
| 1 190/67 | Schleitberg | Sand, Schotter | 4 | Haushalt | | | ja, Straße, Gäuerl, Betriebs- abfallen, | 0-Baum, z.B. Weißselig- z.B. Schrammber- |
| 2 E.7 | Gautschberg N | Bentonit | ? | | | | | Unter Kader |
| 3 F.2 | Gautschberg (Dach- Weinschliff) | Bentonit | ? | | | | | Deut. Boden |
| 4 190/70 | Tobis-Kirchwald (Haller) | Sand | 4 | Pflz.- und Baumabfall | | | ja, Forst | spätglazial |
| 5 190/64 | Erding-Eliesser (Gutschi) | Lehm | 4 | Schutt- material | | | | Fazies |
| 6 190/1 | Tobis-Kirchwald | Schotter, Sand | 3 | | X | | ja, Forst- wirtschaft | Fazies |
| 7 190/46 | Kleinpreding | Sand | 4 | | | | ja, Forst | 0-Kader, Fazies B |
| 8 190/45 | Kleinpreding-Frau | Sand | 3 | | | | ja, Land- wirtschaft | Fazies |
| 9 190/3 | Erding-Almowl | Sand | 4 | Hauser und Pflzabfall | X | | ja, Landwirt- schaftl. Be- triebengelände | Fazies |
| 10 190/81 | Baumg.-Mühle | Sand | 4 | | | | ja, Land- wirtschaft | spätglazial |
| 11 190/72 | Baumg.-Wald, NE | Sand, Schotter | 3 | Baumabfall | X | | nein | Basisgrasland |
| 12 190/73 | Baumg.-Wald, S | Sand, Schotter | 3 | Baumabfall | X | | nein | Basisgrasland |

* REZENSION, M. 1962: Einbericht 1960 zur Lm. Projekt-Nr. 30/60, Messaufnahme von Basaltvorkommen in der Süd-
steiermark. GM. Wien, unveröff.

Raasach

| Nr./Nr. H1/H4/GA*) | Ort oder Name (Geologischer Kontext) | Herkunft | Größe | Verwendung | Absatz- typ | Witt | Abaltsivierung ja, nein Anwendung | Geographische Einschätzung |
|--------------------|--|-----------------|-------|----------------------|----------------|---------------------|---|-------------------------------|
| 1 | 189/274 Stallhof-Fabrik | Lehm | 4 | Ziegel | | | ja | Julia, Au |
| 2 | 189/24 Grasenhub (Graizer, Gschwend-Völkeröder) | Ton, Lehm | 4 | Ziegel | X | - | ja, Steinplatten | |
| 3 | 189/281 Tannberg | Ton- Schluff | 6 | Schnitt- material | | | ja | H-Boden, Rangendorf |
| 4 | 189/118 Russendorf | Sand, Ton | 6 | | | | | H-Boden, Fusingroßsand |
| 5 | 189/246 Grafendorf/Messner | Ton, Lehm | 4 | Ziegel | | | | bit |
| 6 | 189/248 Ressels (2 Ortebenen) | Sand | 4 | | | | | H-Boden, Rangendorf |
| 7 | Kapellw. H-Raasach | Bentonit | 6 | | | | | Hinter Raasach |
| 8 | 189/264 Tannecksdorf, RT | Sand | 3 | Wandstein | | main | | H-Boden z. i. Dachgelager |
| 9 | 189/264 Lasseldorf | Sand | 3 | Mauselkalk | + | main | | H-Boden Pilzart Bergal |
| 10 | 189/123 Grasenhub (Käfer) | Sand | 3 | Bausand | X | ja, Leitungstrassen | | H-Boden, Rangendorf |

*) STREIBER, K. 1982: Bericht 1980 für das Projekt der SC/ST, Bestandsaufnahme von Bauwerken mit Natursteinen in der Süd-
steiermark. GSA Wien, Universit.

St. Josef

| Nummer BL/Nr. GRAB* | Ort oder Name (Beschreibung, Eigentümer) | Material | Stat. | Verwendung | Anzahl Tage | MUL | Gehalt an Eisen- ox. min. Frägenutzung | Stratigraphische Zuschreibung |
|---------------------|--|-------------------|-------|------------|----------------|-----|--|---|
| 1 | 190/275 Mayer | Leder | 4 | Diegel | | | ja, Frisch | S-Baden, z.B. Weich- wasser, U-Bader |
| 2 | 190/60 St. Josef | Sand | 4 | Bausand | | | ja, Wirtschaft und Gartenz. | U-Bader, U-Zeiche |
| 3 | 190/66 Ossnitz, H. | Sand | 6 | | | X | | |
| 4 | 190/44 Ossnitz (Happel) | Sand | 3 | | | | nein | U-Bader, z.B. Weich- wasser, U-Zeiche, Frischer Sandgel |
| 5 | 190/84 Tschüssigg-Schober- berg (Radwalt) | Schotter, Sand | 4 | | | | ja, Land- wirtschaft | U-Bader, z.B. Weichwasser, + 1. Gebrauchsför. |
| 6 | 190/6 Tschüssigg-Altenberg | Sand | 6 | | X | | | U-Bader, U-Zeiche, 1. Gebrauchsför. + 1. Gebrauchsför. |
| 7 | 190/43 Zattitschmeider | Sand | 4 | Bausand | X | - | ja, Wollan- lage | Frisch |
| 8 | 190/68 St. Josef-Wasserwir | Sand | 4 | | X | | ja, Wasser- wirbelschnell- förder | U-Bader, z.B. Weich- wasser, 1. Gebrauchsför. |
| 9 | 190/53 Ossnitz-Ebgenweck | Sand | 6 | | X | | | U-Bader, Frischer Sandgel |

* HETTMICH, J.L. 1982: Endbericht: UNO für das Projekt: UN-Selbsthilfe, Sanierung und Nutzung von Wasserschätzstellen in der Süd-
oststeiermark, 1980 Wien, Universitäts-

St. Martin i. S.

| Präzis. Nr. (BA*) | Ort oder Name (Besitzer, Eigentümer) | Material | Art | Inwesenung | Abri- Typ | Mai | Bearbeitung ja, nein Folgenutzung | Stratigraphische Einzelfindung |
|-------------------|---|--|-------------------|------------|------------------|------|---|-----------------------------------|
| 1 | 187/30 | Kirzung | Sand | 4 | - | X | | U-Baden, 1. Großauflösung |
| 2 | 189/106 | Hiloi | Sand | 4 | | | | U-Baden, 2. Großauflösung |
| 3 | 189/108 | Riedloogel. NW | Sand | 2 | Dammabschleifung | | | U-Baden, 2. Großauflösung |
| 4 | 189/113 | Kedloogel. SE | Sand | 3 | Dammabschleifung | X | ja | U-Baden, 2. Großauflösung |
| 5 | 189/183 | Weiterberg | Sand | 6 | | | | U-Baden, 2. d. Verbaulagier. |
| 6 | 189/155 | Gimpel | Ton / Tuff | 4 | | | | U-Baden, Viereck-Siegel |
| 7 | 189/156 | Unterlitz | Tuff | 1 | | | | U-Baden |
| 8 | 189/172 | Rohrbauerweg | Sand | 5 | | | | U-Baden, 2. Großauflösung |
| 9 | 189/178 | Austraus | Sand | 4 | | X | | U-Baden, 2. Großauflösung |
| 10 | 189/163 | Herrengraben. N | Ton, Sand | 2 | Dammabschleifung | | | Halbton, se. |
| 11 | 189/163 | Herrengraben. S | Ton, Sand | 2 | Dammabschleifung | | | Halbton, se. |
| 12 | 189/170 | Stockaueri | Sand | 3, 4 | | | | U-Baden, 2. d. Verbaulagier. |
| 13 | 189/181 | Sickl | Schotter, Sand | 3 | Brumant | nein | | U-Baden, 2. Großauflösung |
| 14 | 189/179 | Sabernegg-Graben | Sand | 1 | Brumant | nein | | U-Baden, 2. Großauflösung |
| 15 | 189/182 | Fogelbauer. SW | Sand | 3 | Brumant | ja | | U-Baden, 2. Großauflösung |
| 16 | 189/180 | St. Martin L. S. | Sand | 3 | Brumant | nein | | U-Baden, 2. Großauflösung |
| 17 | 208/1c | Neue Zimpelk. Gus- seisdeck (Krainer) | Lehm | 2 | Ziegel | X | | frisch |
| 18 | Hermannsegg | Lehm | 3 | | | nein | | Karpaz, NE |
| 19 | Bergla | Dimensionalk. 9 | | | | | | Karpaz, NE |

*) präzision. n. 1982, aktualisiert 1988 für das Projekt IIA Sch/MI, bestandsuntersuchungen am Nassenschießen in der siebensteiermärkten, GDA-Vienna, universit.

St. Oswald o. S.

| Nr./BG 81/Br.ESA* | Ort, überl. Name (Betreiber, Eigentümer) | Minerale | St. St. | Vermischung | Ant. Lys. | HLL | Reaktivitätsgr. je nach Vergütung | Strukturelle Einschlüsse |
|-------------------|---|------------------------------|---------|--|--------------|-----|---|-----------------------------|
| 1 206/98 | Schwarzlg. | Quarz | 9,4 | | | | | Korallekristallin |
| 2 206/61 | Klementschmiede/ Croy | Amphibolit | 3 | Fazettwürge- kristalle | | + | sehr | Korallekristallin |
| 3 206/53 | Pölandsbruch, Wiesnberg | Eklogit- Amphibolit | 3 | Evo- und Reticulatsteine, Schlotter- strukturen | | | sehr | Korallekristallin |
| 4 206/40 | Walli, Wiesnberg | Gneissgneis- metaschiefer | 3 | | | | sehr | Korallekristallin |
| 5 206/89 | Klingensteinbruch | Oreals. | 3 | Schotter | | | sehr | Korallekristallin |

*1. HEINRICH, H. (1992) Endbericht (1990) der am Projekt BG 81/Br. durchgeführten geologischen Untersuchungen im Bereich des weststeirischen Karstes. BG, Klagenfurt, 1992.

St. Peterz. I. 3.

| nr./Wk-Nr./Nr. 524*) | Ort oder Name (Besitzer, Eigentümer) | Material | Strat. | Verwendung | Miner. typus | Hilf | Bewilligung ja, nein Zulässigkeit | Besonderheiten Eigentümer |
|----------------------|---|--------------------|--------|------------|-----------------|------|---|----------------------------------|
| 1. 189/190 | Riemersberg | Ton-Schluff | 6 | | | | | U-Basis, 3.4. Schwundlagerung |
| 2. 189/181 | Truppenzeug | Sand | 6,3 | | | | | N-Basis, Rangwechsel |
| 3. | | Sand, Sandstein | 3 | | | | nein | U-Basis, 3. Gesteinshorizont |
| 4. 189/12 | Altenzeug | Sand | 3 | | X | | nein | U-Basis, 2. Gesteinshorizont |
| 5. 189/14 | Altenzeug- Karpfenwirt | Sand | 6 | | X | | | N-Basis, Rangwechsel |

*) HEINRICH, H. 1982: Fundbericht 1980 des Projekts Tiefbau, Dokumentation von Fliesenfundorten in der Südweststeiermark. GSA-Vierteljahrsschrift

St. Stefan n. Stainz

| Nummer/Ne.CDA# | Ort, oder Name (Beschreibung/Eigentümer) | Material | Mar. | Verwendung | Aus- typ | Hill | Sedimentärerung je nach Eigentümer | Stratigraphische Einheitung |
|----------------|---|---------------------------|------|---|-------------|--------------|---|--------------------------------|
| 1 189/271 | Zirkelberg | Pyroxenit- gneise | 3 | | | | rein | Korallekristallit |
| 2 189/8 | Mitternitzkalk | Gneis | 4 | Mauer und Putzland | | ja, Gitter | G+Sediment; Z. d. Weiß- kalkal., Z. d. Rot- kalkal. | |
| 3 189/232 | Rostersruh (Mannian) | Amphibolit | 3 | Bruchstein, Ziegelagen, Kiesen- schocker | | rein, Gitter | Korallekristallit | |
| 4 189/218 | Zschgraben, 5 | Quarzglim- merschiefer | 3 | Steinbruch | | | rein | Korallekristallit |

*1 Heinrich, R. 1981: Geologische Karte für das Projekt 1:50.000, Seetalaufturme von Haideckroßstetten in der Süd-
steiermark, 1:50.000.

Schattberg

| Nr./OB.D1/Nr. GMA* | Det. mit Name (Beschreibung, Eigentum) | Material | Stand. | Verarbeitung | Mater. typus | Hull | Reaktivierung ja, nein Folgenutzung | Stratigraphische Einteilung |
|--------------------|---|------------------------|--------|--------------------------|-----------------|---------------------------|---|--------------------------------|
| 1. 189/29 | Schwanberg Kiesgraben | Ton, Lehm | 4 | Linsen; Schotter | % | | ja | Riz bede |
| 2. 189/251 | | Sand, Ton, Schotter | 1 | Schotter- material | | | ja | |
| 3. 189/39 | Schreitbergbruch (Bezirkshauptmannschaftsverwaltung) | Schiefer- gneis | 3 | Stratenbau | | nein, Holz- lagerplatz | | Koralenkristallin |
| 4. 189/35n | Nahe Almberg- schlief., 3.-III | Glimmer- schiefer | 2 | Vergobelt | | | nein | Koralenkristallin |
| 5. 189/42n | Nahe Almberg- schlief., 3.-III | Gneis | 4 | Vergobelt | | | nein | Koralenkristallin |
| 6. | Mineralkristalle | Molit | 9 | Paralleler- struktion | % | | | Koralenkristallin |

*1) HEPPEL, M. 1962: Geothermische Tiefbohrung für das Projekt OB.D1/00. Beobachtungen von Faziesmerkmalen in der Südtiroler Karstzone. GSA View, 1962/2.

Soboth

| Vr./Vt SL/Vr. GR* | Ort oder Name (Sammel- oder Eigentum) | Material | Art: | Verwendung | Ana- lyse | Null | Reaktivierung je. neue Zulässigung | Strukturelle Klassifizierung |
|-------------------|--|---------------------------|------|---------------------|--------------|------|--|---------------------------------|
| 1 205/31 | Eigentumskogel Waldkogel (Oros) | Quarz | 1 | | | | | Koralkristallin |
| 2 205/33 | | Ullmet- schiefer | 1 | | | | nein | Koralkristallin |
| 3 205/32 | Obere Diabölite (Troy) | Marmor | 3 | | | | nein | Tonalikristallin |
| 4 205/49 | Graadiabökogel | eklogit- amphibolit | 1 | | | | | Koralkristallin |
| 5 205/50 | St. Veitens Gra- diabökogel (Linsen) | Quarz | 2 | Glaeser- zusamm. | X | | | Koralkristallin |
| 6 205/54 | Soboth (Theisl) | Quarz | 2 | Glaeser- zusamm. | | | | Koralkristallin |
| 7 205/43 | Linsen | Quartzlin- iteschiefer | 1,2 | | | | ja | Koralkristallin |
| 8 205/45 | Sobothstraße, Hüllgraben | Quartzlin- iteschiefer | 3 | Steinheben | | | | Koralkristallin |
| 9 205/46 | Hüllgraben, Trogstraße | Quartzlin- iteschiefer | 3 | Steinheben | | | | Koralkristallin |
| 10 206/91 | Skarsan | Calcareous | 3 | | | | | Koralkristallin |
| 11 206/94 | südzel. Unterk- soboth | Marmor | 4,7 | | | | | Koralkristallin |

* VÖTHNER, S. 1982: Imprässen 7900 für das Projekt SoA 24/82, Bestimmungstabellen von Massenkristalleffekten der Oros-
vergescleiermark, OSA Wiss., 1982/83.

Steine

| Nr./Ort/Br. GEA* | Ort oder Name (Bezirk/er, Eigentum?) | Material | Stet. | Verarbeitung | Aus- trete | Mitt | Rekultivierung ja, nein Baugenutzung | Stratigrafsche Einzelfeststellung |
|------------------|--|------------------------|-------|---|---------------|------|--|--------------------------------------|
| 1 189/226 | Gurktalberg - Hochhöhe | Amphibolit | 1 | Stratenbau | | | nein | Koralkristallin |
| 2 189/160 | Baum | Amphibolit | 2 | | | | nein | Koralkristallin |
| 3 189/116 | Gomagoihügel | Amphibolit | 3 | Packlagen, Schotter u. Splitte f. Streben,, Bruchsteine | X | | nein | Koralkristallin |
| 4 189/111 | Steinmeier Warte (Landschafts- und Be- stimmungsamt) | Eklogit- amphibolit | 3 | | | | | Koralkristallin |
| 5 189/188 | Neukirch - Bärn | Tuff | 3 | | | | | O-Hallen: O-Bader. |
| 6 189/115 | Schlossegg | Tuff | 4 | | X | + | | |
| 7 189/157 | Steink (Xofen) | Bas. Lahn | 4 | Siegei | X | | J.s. Landwirt- schaft, Mühlhäusner | |
| 8 189/152 | Steink-Schloßberg | tuff + Bentonit | 5 | | X | | | O-Bader. |

* MATHIAS, H. 1982: Einbecken 1980 für das Projekt Sta. 30/80, Dokumentation von Wasserstraßen in der Süd-
oststeiermark. BDA WIEN, unveröff.

Strainital

| Bez/Ort #1./Ort. Objekt* | Geolog. Name (Bereicher, Lignitzone) | Material | Art | Verwendung | Ana- lyse | Hull. | Reaktivierung ja, nein Teilgenutzung | Stratigraphische Einschätzung |
|--------------------------|---|-------------------|-------------------------------------|------------|--------------|-------------------------------------|--|---|
| 1 190/7 | Wetzelsdorfberg (Pfeiffer) | Sand | Feid Thid Tc-d S | | X | | | U-Boden, f.d. Wechsellegerung u. L-Großsandhor. |
| 2 190/43 | Wetzelsdorfberg | Schotter, Sand | 3 Neubau f.d. große Dorf | | | ja, Bauerl. Betriebshagen | | U-Boden, f.d. Wechsellegerung u. L-Großsandhor. |
| 3 190/41 | Wetzelsdorfberg- Annahmeh | Sand | 4 Neubau | | | ja, Thur- rieder | | U-Boden, f.d. Wechsellegerung u. L-Großsandhor. |
| 4 190/806 | Wetzelsdorf, SW | Sand | 3 | | | criti | | Präz. |
| 5 190/408 | Wetzelsdorf, SW | Tonmergel | 4 Ziegel, Vichtfutter- steine | | | antike Weg-, Land- wirtschaft | | Spätglazial |
| 6 189/173 | Grauquarzit | Sand | 3 Hausbau | | X | ja | | Präz. |
| 7 189/143a | Grafenberg, neue Grube | Mergel, Ton | 2 | | | | | U-Boden |
| 8 189/142a | Grafenberg, alte Grube | Sand, Ton | 3 | | | nein | | U-Boden |
| 9 189/263 | Zillberg | Sand | 4 Hausbau | | | ja, Land- wirtschaft | | U-Boden, f.d. Kambrium |
| 10 189/285 | Sendnorfeng. | Sand | 4 Hausbau | | | ja | | U-Boden, f.d. Wechsellegerung |

*J. GRIMMEL, A. 1982: Gutbericht 1980 für das Projekt ICA 10/80, Verzeichnisliste von Bassenknoten in der 500-
Metreschichtzone. GIA Übers., unveröff.

Stallhof

| Nr./Blatt-Nr./Blatt-Nr.* | Ort oder Name (Beschreibung genauer) | Material | Zeit: | Verwendung | Abs. 1994 | GU | Beschreibung z.B. ein Fußplatz | Stratigraphische Einheitung |
|--------------------------|---|----------|-------|------------|--------------|----|--------------------------------------|--------------------------------|
| 1 | Stallhof | Lehm | ? | | | | z.B. Sport- platz | Kalzem. Ag |

* KREMER, H. 1982: Erdbeben 1980 im Raum Projekts 302/34/00. Seismische Auswirkungen von Störungsschichten in der süd-
steirischen Beckenrandzone. Oba. Wien, unveröff.

Salinen + Gewinn

| Reihenfolge-Nr. ^{a)} | Ort oder Fundort (Bezirksamt, Eigennamen) | Material | Staz. | Präparation | Art- typ | 0111 | Verarbeitungs- faz. mit Bedeutung | Stratigraphische Einschätzung |
|-------------------------------|---|----------|-------|------------------------------|-------------|------|---|----------------------------------|
| 1+10 | 190/28 Ziegelwerk, Glashütten, GmG | Ziegel | 1 | Klimm- ziegel | | | | 17. Jhd 14. Mitt. |
| 2 | Ziegelofen Gasseldorf | Ziegel | 3 | | | | Jb. Misch. | 818 |
| 3 | 206/1 Ziegelofen Gasseldorf (1., u. 3., Kreiner) | Ziegel | 4 | Ziegel | X | | Ziegelwerk | 818 |
| 4 | 206/2 Tuppach | Sand | 6 | | X | | | Karpas, 263 |
| 5 | 206/25 Tannbach-Weixenberg | Sand | 3 | Kieselstein, Ziegelsteine | X | | | Karpas, 262 |
| 6 | 206/47 Koprmühle | Sand | 2 | | | | | Karpas, 268 |
| 7 | 206/41 Rehbach | Sand | 6 | | X | | | Karpas, 262 |

^{a)} REINHOLD, H. 1982: Endbericht 1980 für das Projekt EIA 54/80, Bestimmungsaufgabe von Bauresteobjekten in der Südweststeiermark, GSA Klagenfurt, Universitäts-

Trabitten

| Nr./TB-BL/BG-CBA* | Ort oder Name (Bauvolumen, Eigentümer) | Material | Bras. | Verarbeitung | An- type heit | Abbruch/Nutzung ja/nein Folgenreduzierung | Geologische Einstufung |
|-------------------|--|----------------------|-------|-------------------------|---------------------|---|---------------------------|
| 1 189/53 | alter Steinbr. Glanzhütten (Liechtenstein) | Platten- gneis | 3 | Streichenbau | | nein | |
| 2 189/49 | Glanzhütten, NE | Platten- gneis | 3 | Streichenbau | | ja | |
| 3 189/58 | Glanzhütten, E Kainz | Namroc | 3 | | | ja | |
| 4 189/41 | Schauach | Gneis | 4 | Wegebau | | ja | |
| 5 189/149 | Wurfwirt | Platten- gneis | 3 | | | ja | |
| 6 189/148 | Trabitten (Aigner) | Platten- gneis | 3 | Streichenbau | | nein | |
| 7 189/100 | Trabitten-Ober- brückau | Glimmer | 3 | | | | |
| 8 189/161 | Fr. Stocml | Schluff | 3 | Streichenbau | | nein | |
| 9 189/40 | Ladenitztal (Sägauer) | Peridotit- gneis | 3 | Schotter z. Haldebau | | nein | |
| 10 189/154 | Wafel | Gneis | 3+4 | | | | |
| 11 189/122 | Leibnitztal (Liechtenstein) | Gneis | 3 | Frostwagn- bau | | | |
| 12 189/117 | Schwendmoosbrück (Aldrian, Wallner) | Namroc Amphibolit | 3 | Streichenbau | | | |
| 13 189/229 | Bubanic | Platten- gneis | 4 | Stahlbeton- halting | | | |
| 14 189/85 | Reich Ost | Platten- gneis | 4 | | | | |
| 15 189/51 | Nahe Altherr- schins S | Glimmer- schiefer | 3 | Wegebau | | nein | |

*) KREINICH, H. 1982: Endbericht 1980 für das Projekt 10A-Fe/Bl, Beschreibung von Bauverbrauchsstoffen in der Steiermark. CBA Wien, Universum.

Unterbergeis

| Nr./OB-Nr./Br.-Num. | Ort oder Name (Beschreibung/Eigentümlichkeit) | Material | tier | Verwendung | Ver- wertungs- typ | MUH | Sensitivierung ja, nein Folgenutzung | Stratigraphische Einzellage |
|---------------------|--|--------------------------|------|------------|--------------------------|------|--|----------------------------------|
| 1. 188/20 | Längenegg | Sand | 6 | | X | | | O-Baden, Föhrenberg |
| 2. 189/202 | Leibnitzer Gisina (Spülplatz) | Sand | 3 | Bauwesen | | ja | | Fazit |
| 3. 189/201 | Hölzgraben | Sand | 3 | Bauwesen | | nein | | O-Baden, Raxlgröden |
| 4. 189/199 | Harschith, N | Sand | 3 | Bauwesen | | ja | | O-Baden, Raxlgr. |
| 5. 189/200 | Harschith | Sand-Ton | 4 | Gemüsebau, | | ja | | O-Baden, 2. Lagenstätte |
| 6. 189/204 | Lichtenegg | Tuff | 3 | | | - | | Unter Baden |
| 7. 189/184 | Lichtenegg | Schotter, Sand (Tuff) | 6 | | X | | | O-Baden, 2. L. Mechselagerung |
| 8. 189/9 | Stanz, EH | Sand | 6 | | X | | | O-Baden, Mechselagerung |
| 9. 189/94 | Zehnau | Sand | 6 | | | | | O-Baden, Hengstsdam |
| 10. 189/96 | Stenz | Sand | 6 | | X | | | O-Baden, 2. L. Mechselagerung |
| 11. 189/98 | Harschith, W | Sand | 4 | Bauwesen | | | ja, Land- wirtschaft | O-Baden, 2. L. Mechselagerung |
| 12. 189/8 | Harschith, S | Sand | 6 | | X | | | O-Baden, Hengstsdam |
| 13. 189/7 | Holzmauerzeug | Schotter/Tuff | 1 | | | | | Unter Baden |
| 14. 189/7 | Holzmauerzeug (Fa. Grandner) | Tuff | 7,8 | | X | | ja | Unter Baden |
| 15. 189/7a | Holzmauerzeug, S | Ton, Lehm | 4 | Ziegel | | ja | | O-Baden, 2. L. Mechselagerung |
| 16. 189/7a | Holzmauerzeug, H | Sand | 3 | | | | ja, teilw. | O-Baden, 2. L. Mechselagerung |
| 17. 190/79 | Nadlau | Sand | 3 | | X | - | Mülldeponie | Fazit |
| 18. 190/77 | Sandgrube Salto | Sand | 3 | | | - | | O-Baden, Fazit- grasland |
| 19. 190/78 | Salto | Mergel | 8 | | | | | O-Baden, Karst- grasland |

*) Harschith, N. 1982: Zeichnung 1980 für das Projekt StA 1a/50, Bestandsaufnahme von Nasssteinanlagen in der Süd-
weststeiermark. GIA Klm, unveröff.

Wernerdorf

| Erjekt-Nr./Nr. GR* | Ort oder Name (betreiber, Eigentümer) | Material | Art | Verwendung | Aus- type | Mili | Konsolidierung ja, nein folgenutzung | Stratigraphische Einzellituation |
|--------------------|--|---------------------|-----|----------------------------------|--------------|------|--|-------------------------------------|
| 1 204/56a | Riedenthal, H | Amphibolit | 1 | Bruchstein z. Wandera- bau | X | | | Koralinmetallin |
| 2 204/56a | Riedenthal, H | Marmer | 2 | Streifenbautz | X | | | Koralinmetallin |
| 3 204/53 | Schmidlans | Marmer | 1 | Streifen- mörtel | | nein | | Koralinmetallin |
| 4 204/83 | Simmbauer | Amphibolit | 1 | Streifenbautz | | nein | | Koralinmetallin |
| 5 204/57 | Windischbauerbrun | Amphibolit | 3 | Bruchstein | | nein | | Koralinmetallin |
| 6 204/58 | Pauinenbruch (Silly) | Schiefer- gneise | 1 | Bruchstein | | nein | | Koralinmetallin |
| 7 | Wernerdorf/ Kugl | Diamakohle | 9 | | | | | Kerat., KCS |
| 8 | | Glanzkohle | 9 | | | | | Kerat., KCS |

*: MEINHOLD, M. (1982): Redaktion 1982 für das Projekt des Ifu/BG, Bestandsaufnahme von Wasserkontraten in der Südsenke Steiermark - GMA Wies, Steiermark.

Wettsmannstätten

| Nummer (Lfd.-Nr.)* | Ort oder Name (Bauzweck, Eigentum) | Material | Stet. | Faziesstellung | Max. 1988 | Mittl. | Bewertung ja, nein folgenutzung | Strategische Einschätzung |
|--------------------|---------------------------------------|-------------------|-------|-----------------------|--------------|--------|---------------------------------------|------------------------------|
| 1 190/71 | Nohlsdorf-Libl (Gärtnerei) | sand, Ton | 5 | Geusand | 26 | * | nein | Erhalten, Auslegungsfeld |
| 2 190/78 | Lassenjochl | Schotter, Sand | 4 | Ried- und Putzland | | | ja, Land- wirtschaft | aus |
| 3 190/78 | Glast | Schotter, Sand | 6 | | | | | aus |
| 4 190/98 | Steinigkofen | Schotter, Sand | 4 | | | * | Sturzgletsch. | Erhalt |

* NEUMANN, H. 1982: Erdbebenrisiko 1980 für das Projekt St. Veit/80, Beurteilungsaufnahme von Passantenstellen in der Steiermark. GMS-Vierteljahrsschrift 1982, 10, 19-24.

Wiedereins:

| nr./UK-Nr./Nr.-BlaK* | Ort oder Name (Besitzer, Eigentümer) | Material | Qual. | Verwendung | Aus- bau zeit | Witt. | Kohäsivität ja, nein, vergleichung | Steatizität/ Flockigkeit |
|----------------------|---|---------------------------------------|-------|----------------------|---------------------|-------|--|-----------------------------|
| 1 205/44 | Wieltersen | Platten- gneis | 3 | | | | ja/nein | Koralkristallin |
| 2 189/177 | Windischenbach | Platten- gneis | 3 | Fundlage- bau | | | | Koralkristallin |
| 3 206/90 | Grabenhain | Warmer | 4 | | | | | Koralkristallin |
| 4 206/81 | Wielersma | Platten- gneis | 2 | strahlbaul. | | | ja/nein | Koralkristallin |
| 5 206/100 | Böhl | Metabiotit- Eklogit- amphibolit | ? | | | | | Koralkristallin |
| 6 206/83 | Fürberg | Eklogit- amphibolit | 3 | Straten- Schotter | | | ja/nein | Koralkristallin |
| 7 206/60 | St. Anna | Quarz | 3-4 | Gitterstein | | | | Koralkristallin |
| 8 206/92 | Strutz | Marmoc | 4 | Steinkalk | | | ja | Koralkristallin |
| 9 206/81 | Wiesenthal | Warmer | 3 | | | | | Koralkristallin |

*J. HIRZLER, B. 1982: Erdbeben im Jahr 1980 für das Projekt GEA-SZ/BQ, Beobachtungen von Massenverschieben in den Hütt-
werktälern, ill. Wien, unveröff.

Viertel

| nr./lk.SJ/yr.mn* | Ort/Orte Name (Bereich/Region/Umr.) | Material | stat. | Bezeichnung | Anal- lyse zeit | Anal- yse zeit | Reaktivierung ja, nein Zulässigung | Stratigraphische Einzellage |
|------------------|--|--|-------|--------------------------|-----------------------|----------------------|--|--------------------------------|
| 1 206/34 | Kraasen/Steindorf | Gneis | 3 | Strassenbad | | | ja | Spaltkristallin |
| 2 206/54 | Steindorf (S. Podgestal) | Dolomit- marble- Kalk- mergat | 3 | Bruchstein Granithalb | X | * | nein, ehemalige Mühleposition | Kornkristallin |
| 3 | Verdenzendorf | Glimmerschie | 9 | | | | | |
| 4 206/75 | Tonberg | Schotter- Sand | 9 | | X | | | Karpal., BEI |
| 5 206/64 | Buchberg | Rand | 6 | | | | | Karpal., BEI |
| 6 206/63 | Bergla | Rand | 6 | | | | nein | Karpal., BEI |

*) SEINWICH, W. 1982: Endbericht 1980 für das Projekt SIA 5c/80, Kennzeichnungen von Mauersteineffekten in den Südwandsteinerzeugnissen, GIA Wien, unveröffentl.

5.5 Literatur

- AIGNER, H., EBNER, F., SCHMID, Ch. & WEBER, F.: Methoden zur Substanzzuschätzung am Beispiel ausgewählter Bentonit- und Glastuffvorkommen in der Steiermark. - Univ.Ber., Leoben 1983.
- ALKER, A. & POSTL, W.: Bericht über das Projekt "Scheelithaltige Gesteine im Kar- und Stubalpengebiet". - Proj.Nr. 1980-010, unv., Graz 1980.
- ANGEL, F.: Bericht über die Arbeiten betreffend das Disthenvorkommen auf der Koralpe. - Univ.Ber., Graz 1938.
- Disthen und die zu ihm gehörenden heteromorphen Minerale Andalusit und Sillimanit in Österreich. - Radex-Rdsch., 1972. Radenthein 1972.
- BECK-MANNAGETTA, P.: Die Tertiärgrenze von Stainz bis Wildbach in Weststeiermark. - Verh.Geol.B.-A., 1945, 4-6, Wien 1945.
- Gutachten über die Disthen-Lagerstätte Krakenberg-Krannkogel im Bereich der Weidagemeinschaft und des Gutsbesitzes Dr. Gudmund Schütte, St.Andrä im Lavanttal. - Univ.Ber., Wien 1949.
 - Vorbericht über das Disthenvorkommen Krakenberg bis Krannkogel (Koralpe, Kärnten). - Univ.Ber., Wien 1952.
 - Der geologische Aufbau des steirischen Anteils der Koralpe. - Ber. WWR, 31, Graz 1975.
- BISTRITSCHAN, K.: Gutachten über das Kaolin-Vorkommen von Schwanberg, Kreis Deutschlandsberg. - Univ.Gutachten, Wien 1941.
- DAURER, A.: Endbericht 1978/79 für das Projekt "Erkundung und Bewertung von Disthenvorkommen in der Koralpe". - Proj.Nr. 1979-027, unv., Wien 1979.
- DOUGLAS, V.: Der Glanzkohlenbergbau Bachholz-Stammeregg. - Univ. Gutachten, Geol. B.-A., Wien 1940.
- EBNER, F.: Vulkanische Tuffe im Miozän der Steiermark. - Mitt. naturw.Ver.Smk., 111, Graz 1981.
- EBNER, F. & GRUPP, W.: Kartierung von Bentoniten im Tertiär der Ost-, West- und Obersteiermark und Untersuchung der anfallenden Proben (II). - Univ.Ber., 92 S., Graz 1979.
- Kartierung von Bentoniten im Tertiär der Ost-, West- und Obersteiermark und Untersuchung der anfallenden Proben (III). - Univ.Ber., 141 S., Graz 1980.
 - Bentonite und Glastuffe der Steiermark. - Archiv f. Lagerstättforschung, Geol.B.-A., 2, Wien 1982.

- EBNER, F. & GRÄF, W.: Neue Aspekte hinsichtlich der geologischen Beurteilung steirischer Bentonitvorkommen. - Berg-hüttenm. 128, 6, Wien 1983.
- FLÜGEL, H.W. & HERITSCH, H.: Geologischer Führer durch das steirische Tertiärbecken. - Berlin 1968.
- FLÜGEL, H.W. & MAURIN, V.: Ein Vorkommen vulkanischer Tuffe bei Eibiswald (Südweststeiermark). - Sitz.-Ber. Österr. Akad.Wiss., math.-naturw.Kl., 168, Wien 1959.
- GEUTEBRÜCK, E.: Übersicht über die kohleführenden und kohle-höffigen Tertiärgebiete der Steiermark. - Ber.Forsch. Proj. 2975 des Fonds zur Förderung der wissenschaftl. Forschung des BMWF, Leoben 1980.
- GEUTEBRÜCK, E. & WEBERT, K.: Bericht über die Ergebnisse der kohlengeologischen Untersuchungen im Eibiswalder und Vordersdorfer Glanzkohlengebiet. - Proj.Nr. 1979-G31, unv., Graz 1979.
- GKB: Univ.Unterlagen, o.J.
- HADITSCH, J.G.: Erze, feste Energierohstoffe, Industriemineralien, Steine und Erdöl. - Grundlagen der Rohstoffversorgung, H.2, Lagerstätten fester mineralischer Rohstoffe in Österreich und ihre Bedeutung. - BMHDI, Wien 1979.
- HADITSCH, J.G. & LASKOVIC, P.: Ein Beitrag zur Kenntnis steirischer Ziegelerohstoffe. - Archiv f. Lagerst.Forsch. Ostalpen, Festschrift O.M. Friedrich, Sb.2, Leoben 1974.
- HAUSER, A.: Die Lehme und Töne Steiermarks. I.Teil: Allgemeines und Überblick über die steirischen Vorkommen. - Die bautechnisch nutzbaren Gesteine Steiermarks, 11, Graz 1952.
- Die Lehme und Töne Steiermarks. II.Teil: Das Ergebnis der Untersuchung. - Die bautechnisch nutzbaren Gesteine Steiermarks, 12, Graz 1954.
- HAUSER, A. & URREGG, H.: Die Kalke, Marmore und Dolomite Steiermarks. 4.Teil: Die Marmore und Dolomite. Im Anhang: Sandsteine und Konglomerate. - Die bautechnisch nutzbaren Gesteine Steiermarks, 6, Graz 1951.
- HAUSER, A. & URREGG, H.: Die kristallinen Schiefer. - Die bautechnisch nutzbaren Gesteine Steiermarks, 8, Graz 1952.
- HAVELKA, T.: Zur Geschichte des Kohlenbergwerks Kalkgrub bei Schwanberg in Steiermark. - Mont.Rdsch. 20-21, Wien 1923.
- HAVELKA, T.: Kaolin Schwanberg. - Univ.Ber., Wien 1940.

- HEINRICH, M.: Endbericht 1980 für das Projekt St A 5c/80, Bestandsaufnahme von Massenrohstoffen in der Südweststeiermark. - Univ., Geol.B.-A., Wien 1982.
- HERITSCH, H.: Exkursion in das Kristallingebiet der Gleinalpe, Fensteralpen-Humpfgraben, Kleintal. Exkursion zum Basaltbruch von Weitendorf. Exkursion in das Kristallin der Koralpe. Exkursion in das oststeirische Vulkangebiet. - Mitt.naturwiss.Ver.Stmk., 93, Graz 1963.
- HIESSLEITNER, G.: Das Wieser Revier. - Berg- u. Hüttenm.Jb. 74, 2, Wien 1926.
- HOLZER, H. & EHN, R.: Quarzsandvorkommen im Weststeirischen Tertiärgebiet. - Univ.Ber., Leoben 1979.
- HÖNLIG, J. & TIEDTKE, H.: Pegmatitische Rohstoffe im steirischen Anteil der Koralpe. - Mitt.Abt.GeoL.Palont.Bergb., Landesmus.Joanneum, Graz 1981.
- KIESLINGER, A.: Geologie und Petrographie der Koralpe I. -Sitz.-Ber. Akad.Wiss., math.-naturwiss.Kl., Abt. I, 135, Wien 1926.
- Geologie und Petrographie der Koralpe II. Marmore. -Sitz.-Ber. Akad.Wiss., math.-naturwiss.Kl., Abt. I, 135, Wien 1926.
 - Geologie und Petrographie der Koralpe V. Marmorvorkommen im Bereich des Kartenblattes Deutschlandsberg-Wolfsberg. -Sitz.Ber.Akad.Wiss.,math.-naturw.Kl., Abt.I, 137, Wien 1928.
 - Geologie und Petrographie der Koralpe VI. Pegmatite der Koralpe. - Sitz.Ber.Akad.Wiss.,math.-naturw.Kl., Abt. I, 137, Wien 1928.
- KRAJICEK, E.: Bericht über die Begehung des Diabas-Vorkommens auf der Koralpe. - Univ.Ber., Graz 1940.
- LECHNER, .: Bericht über die Befahrung des Glimmersvorkommens bei Trahütten. - Univ.Ber., Wien 1942.
- LOTZE, F.: Gutachten über das Kaolin-Vorkommen von Schwanberg, Kreis Deutschlandsberg. - Univ.Gutachten, Reichsstelle f. Bodenforsch., Wien 1941.
- NEBERT, K.: Die Ergebnisse der kohlengeologischen Untersuchungen in dem zwischen Saggenau und Sulm gelegenen Tertiärgebiet Südweststeiermarks. - Univ.Ber., Graz 1980.
- Projekt Bibiswald, Teilprojekt Wuggau, Firma Stahl- und Walzwerk Marienhütte, Abschlußbericht über die Bohrungen Wuggau 1 und Wuggau 3. - Univ.Ber., Graz 1981.
 - Projekt Bibiswald, Teilprojekt Hörmisdorf, Firma Stahl- und Walzwerk Marienhütte. Abschlußbericht über die Bohrungen Hörmisdorf H7, H8, H9. - Univ.Ber., Graz 1982.

- ÖBERHAUSER, R. (Ed.): Der Geologische Aufbau Österreichs. - 699 S., Springer Wien, 1980.
- PETRASCHECK, W.: Die miozäne Schichtfolge am Ostfuße der Alpen. - Verh. geol. R.-A., Wien 1915.
- Kohlengeologie der Österreichischen Teilstaaten.
I.Teil, VII. Die tertiären Senkungsbecken am Fuße der Alpen. - Berg- u. Hüttenm. Handbuch, Wien 1924.
- POHL, W.: Rahmenprojekt Kohleprospektion 1981. Tertiär an der Koralpen-Ostabdachung / Abschnitt Mooskirchen-Stainz-Deutschlandsberg. Mit Ergänzungaber. - Univ.Ber., Leoben 1981.
- PÖSCHL, M., SUETTE, G. & UNTERSWEGL, Th.: Erläuterungen zu den geogenen Naturraumpotentialkarten des Bezirkes Leibnitz. Mit Beiträgen von I. Arbeiter-Cerny, F. Ebner, J. Flack. - Univ.Ber., Graz 1982.
- PURKERT, R.: Bericht über Begehungen im Gebiet des Laßnitzgrabens bei Deutschlandsberg. - Univ.Ber., Graz 1946.
- RADIMSKY, V.: Das Wiener Bergrevier. - Ztschr. berg- u. hüttenm. Ver.f.Kärnten, Klagenfurt 1875.
- SCHARFE, G.: Quarzsandvorkommen im weststeirischen Tertiärgebiet. - Mitt.Abt.Geol.Paläont.Bergb., Landesmus. Joanneum, Graz 1981.
- SCHOMLITSCH, K.: Bericht über das Kaolin-Vorkommen von Schwanberg, Kreis Deutschlandsberg. - Univ.Gutachten, Graz 1941.
- STEINER, H.J.: Aufbereitungstechnische Untersuchungen von kohleführenden Gesteinsproben aus dem Koralpengebiet. - Univ.Ber., Leoben 1979.
- SUETTE, G. & UNTERSWEGL, Th.: Erläuterungen zu den geogenen Naturraumpotentialkarten des Bezirkes Radkersburg. - Mit Beiträgen von I. Arbeiter, M. Eisenhut, J. Flack, W. Gräf, F. Grünig. - Univ.Ber., Graz 1981.
- TIEDTKE, H.: Montangeologische Untersuchungen der Pegmatite und Pegmatoide im steirischen Mittelteil der Koralpe. - Univ.Diplomarbeit, MUL, Leoben 1982.
- WEBER, L. & WEISS, A.: Bergbaugeschichte und Geologie der österreichischen Braunkohlevorkommen. - Univ.Ber., BMWF, Wien 1962.
- WINKLER, A.: Das kohleführende Miozänbecken in SW-Steiermark. - Mont.Rdsch.5, Wien 1926.

6. SCHUTZ- UND SCHONGEBIETE

(J. Flack)

Vorliegende Zusammenstellung soll eine Gesamtübersicht über die durch Bundes-, Landesgesetze oder Verordnungen der Bezirkshauptmannschaft in irgendeiner Form geschützten Gebiete im politischen Bezirk Deutschlandsberg geben, die bei regionalen Planungen oder einer Nutzung des Geopotentials zu berücksichtigen sind.

Folgende im Bezirk Deutschlandsberg ausgewiesene Schutz- und Schongebiete wurden hierbei berücksichtigt:

6.1 Schutz- und Schongebiete für Natur und Landschaft

- 6.1.1 Naturschutzgebiete
- 6.1.2 Landschaftsschutzgebiete
- 6.1.3 Naturdenkmale
- 6.1.4 Geschützte Landschaftsteile

6.2 Schutz- und Schongebiete für kommunale Wasserversorgungsanlagen und Heilquellen nach dem Wasserrechtsge setz

Die im Detail beschriebenen Schutz- und Schongebiete sind auf den beiliegenden Kartenblättern im Maßstab 1:25 000 festgehalten. Die Blattschnitte entsprechen der Österreichischen Karte 1:25 V.

Die Gliederung des Textes wurde nach folgenden Gesichtspunkten ausgeführt:

- Allgemeine Gesetzesgrundlagen
- Beschreibung des Schutz- und Schongebietes
 - gesetzliche Grundlagen
 - Umgrenzung des Gebietes
 - wichtigste Auflagen oder Verbote

6.1 Schutz- und Schongebiete für Natur und Landschaft

Alle Angelegenheiten des Natur- und Landschaftsschutzes werden derzeit durch das Steiermärkische Naturschutzgesetz 1976 geregelt, das mit 1.1.1977 in Kraft getreten ist. Im folgenden sei auszugsweise auf die wichtigsten Teile dieses Gesetzes hingewiesen.

Landesgesetzblatt Nr. 65

Gesetz vom 30. Juni 1976 über den Schutz der Natur und die Pflege der Landschaft (Steiermärkisches Naturschutzgesetz 1976 - NschG 1976)

1. Gegenstand

§ 1

Sachlicher Geltungsbereich

(1) Dieses Gesetz regelt den Schutz der Natur, den Schutz und die Pflege der Landschaft sowie die Erhaltung und Gestaltung der Umwelt als Lebensgrundlage und Lebensraum für Menschen, Pflanzen und Tiere.

(2) Insbesondere fallen unter die Bestimmungen dieses Gesetzes der Schutz und die Pflege von:

- a) Gebieten, die wegen ihrer weitgehenden Ursprünglichkeit, der besonderen Vielfalt ihrer Tier- und Pflanzenwelt, insbesondere aus naturwissenschaftlichen Gründen (Naturschutzgebiete);
- b) Gebieten, die wegen ihrer besonderen landschaftlichen Schönheiten oder Eigenart, ihrer seltenen Charakteristik oder ihres Erholungswertes (Landschaftsschutzgebiete);
- c) Teilbereichen der Landschaft, die wegen ihrer kleinklimatischen, ökologischen oder kulturgeschichtlichen Bedeutung (geschützte Landschaftsteile) erhaltenswürdig sind sowie
- d) allen natürlich stehenden Gewässern und deren Uferbereichen (Gewässer- und Uferschutzgebiete);

e) hervorragenden Einzelschöpfungen der Natur (Naturdenkmale).

- (3) Durch dieses Gesetz werden Zuständigkeiten des Bundes nicht berührt; insbesondere darf die Benutzbarkeit von Flächen und bestehenden Anlagen, die ausschließlich oder vorwiegend Zwecken des Bundesheeres, des Bergbaues oder des Eisenbahn- und Straßenverkehrs dienen, nicht eingeschränkt werden.

II. Allgemeine Schutzmaßnahmen

§ 2

Schutz der Natur und Landschaft

(1) Bei allen Vorhaben, durch die nachhaltige Auswirkungen auf Natur und Landschaft zu erwarten sind, ist zur Vermeidung von die Natur schädigenden, das Landschaftsbild verunstaltenden oder den Naturgenuss störenden Änderungen

- a) auf die Erhaltung des ökologischen Gleichgewichtes der Natur,
- b) auf die Erhaltung und Gestaltung der Landschaft in ihrer Eigenart (Landschaftscharakter) sowie in ihrer Erholungswirkung (Wohlfahrtsfunktion) Bedacht zu nehmen und
- c) für die Beseitigung von entstehenden Schäden Vorsorge zu treffen.

(2) Wissenschaftlich bedeutsame Zeugnisse menschlichen, tierischen, pflanzlichen oder mineralischen Daseins dürfen weder beschädigt noch vernichtet werden.

(3) Die Landesregierung hat durch Verordnung Landschaftsrahmenpläne zu erlassen. Diese gelten als Entwicklungsprogramme für Sachbereiche im Sinne des § 9 Abs. 4 des Steiermärkischen Raumordnungsgesetzes 1974, LGBl. Nr. 127. Landschaftsrahmenpläne können für das gesamte Landesgebiet oder für Teile desselben erlassen werden. Die für Entwicklungsprogramme im Steiermärkischen Raumordnungsgesetz 1974 vorgesehenen Bestimmungen gelten sinngemäß. Aus dem Landschaftsrahmenplan hat insbesondere hervorzugehen, welche Schutz- oder Pflegemaßnahmen für einzelne Gebiete getroffen werden sollen.

Anzeigepflichtige Vorhaben

- (1) Vorhaben gemäß Abs. 2 außerhalb von Schutzgebieten sind der Landesregierung anzuziegen, die zur Vermeidung von nachhaltigen Auswirkungen nach § 2 Abs. 1 innerhalb von drei Monaten mit Bescheid Auflagen vorschreiben kann.
- (2) Anzeigepflichtig im Sinne des Abs. 1 ist die Errichtung von
- a) Bauwerken, bei denen der Fußboden von Aufenthaltsräumen mehr als 22 m über dem tiefsten Geländepunkt liegt oder, falls Aufenthaltsräume nicht vorgesehen sind, mit einer Gesamthöhe von mehr als 20 m;
 - b) Tankstellen;
 - c) Seilseilbahnen, Schrägaufzügen sowie Schlitften;
 - d) Skipisten;
 - e) Hochspannungsleitungen;
 - f) Staudämmen und Staumauern;
 - g) Anlagen für die Gewinnung oder Aufbereitung von Gesteinen, Schotter, Kies, Sand, Lehm, Ton, Torf sowie von Mischgut und Bitumen;
 - h) Anlagen mit einer zusammenhängend bebauten Fläche von mehr als 2500 m²;
 - i) oberirdische Rohrleitungen mit einem Querschnitt von mehr als 25 cm sowie Rohrleitungen für den Transport von Mineralölen oder gasförmigen Stoffen; ausgenommen sind Rohrleitungen innerhalb von geschlossenen Werks- und Betriebsanlagen;
 - j) Motocross- und Autocrossanlagen;
 - k) befestigten Parkplätze mit einer Gesamtfläche von mehr als 2000 m².
- (3) Die Anzeigepflicht gilt nicht für ein Vorhaben gemäß lit. a, b, h und k, das in einem als Bauland (§ 2) des Steiermärkischen Raumordnungsgesetzes 1974 festgelegten Gebiet ausgeführt werden soll.
- (4) Bei der Erlassung von Bescheiden nach Abs. 1 ist auf die Erfordernisse volkswirtschaftlich oder regionalwirtschaftlich bedeutsamer Betriebe Rücksicht zu nehmen.

Ankündigungen

(1) Ankündigungen (Werbeeinrichtungen, Beschriftungen, Hinweise und nichtamtliche Bekanntmachungen) dürfen außerhalb geschlossener Ortschaften nur mit Bewilligung der Bezirksverwaltungsbehörde vorgenommen werden. Die Zustimmung des Grundbesitzers (Verfügungsberechtigten) ist nachzuweisen.

- (2) Eine Bewilligung ist nicht erforderlich für
1. Ankündigungen, die
 - a) in ihrer Ausführungsart durch Gesetz oder Verordnung festgelegt oder
 - b) zur Beschilderung von Geschäfts- oder Betriebsstätten gesetzlich vorgeschrieben sind sowie
 2. Hinweise oder Werbesatzze, die zur Auffindung nahegelegener Geschäfts- oder Betriebsstätten oder von Naturschönheiten und Kulturstätten dienen.

(3) Ankündigungen nach den Bestimmungen des Abs. 2 z. 1 lit. a und z. 2 sind in Größe, Form und Farbe so auszuführen, daß sie zu keiner Verunstaltung des Landschaftsbildes führen.

III. Besondere Schutzmaßnahmen

Naturschutzgebiete

(1) Gebiete, die wegen ihrer weitgehenden Ursprünglichkeit, der besonderen Vielfalt ihrer Tier- und Pflanzenwelt, wegen seltener oder gefährdeter Tier- und Pflanzenarten einschließlich ihrer Lebensgrundlagen, insbesondere aus naturwissenschaftlichen Gründen erhaltungswürdig sind, können durch Verordnung zu Naturschutzgebieten erklärt werden;

- (2) Erhaltungswürdig im Sinne des Abs. 1 können sein:
- a) alpine Landschaften, Berg-, See- und Flußlandschaften;
 - b) Urwaldreste, Moore, amöorige Flächen oder Sumpfe;
 - c) Standorte und abgegrenzte Lebensräume von schutzwürdigen oder gefährdeten Pflanzen- oder Tierarten (Pflanzen- oder Tierschutzgebiete).

(3) Zur Erlassung von Verordnungen nach Abs. 1 und von Bescheiden nach Abs. 6 sind zuständig:

- a) die Landesregierung für Gebiete nach Abs. 2 lit. a und b,
- b) die Bezirksverwaltungsbehörde für Gebiete nach Abs. 2 lit. c.

(4) In der Verordnung sind Gegenstand und Zweck des Schutzes, die Abgrenzung des Gebietes und die Handlungen festzulegen, die ...ch den örtlichen Gegebenheiten als schädigende Eingriffe (§ 2 Abs. 1) verboten sind; ferner ist festzulegen, ob und in welchen Gebietsteilen Ausnahmen nach Abs. 6 zulässig sind.

(5) In einem Naturschutzgebiet dürfen keine die Natur schädigende, das Landschaftsbild verunstaltende oder den Naturgenuss beeinträchtigende Eingriffe vorgenommen werden; ausgenommen sind solche Eingriffe, die für den Schutzzweck erforderlich sind oder die ohne Verzug zur Beseitigung von das Leben und die Gesundheit von Menschen gefährdeten Minständen oder zur Abwehr schwerer volkswirtschaftlicher schädigender Notwendig sind. Solche Eingriffe sind von dem, der sie vornimmt, der Bezirksverwaltungsbehörde binnen drei Tagen anzugeben.

§ 6

Landschaftsschutzgebiete

(1) Gebiete, die:

- a) besondere landschaftliche Schönheiten oder Eigenarten (z.B. als Au- oder Berglandschaft) aufweisen,
- b) im Zusammenwirken von Nutzungsart und Bauwerken als Kulturlandschaft von seltener Charakteristik sind oder
- c) durch ihren Erholungswert besondere Bedeutung haben oder erhalten sollen,

können durch Verordnung der Landesregierung zum Landschaftsschutzgebiet erklärt werden.

(2) In der Verordnung sind der Zweck des Schutzes und die Abgrenzung des Gebietes sowie die allenfalls im Landschaftsschutzgebiet oder einem gesondert abzugrenzenden Teil desselben im Interesse des Aufflugs- oder Fremdenverkehrs, der Erholungs- oder Heilungssuchenden erforderlichen Beschränkungen festzulegen.

- (3) In Landschaftsschutzgebieten sind alle Handlungen zu unterlassen, die den Bestimmungen des § 2 Abs. 1 widersprechen; außerdem ist für nachstehende Vorbaben die Bewilligung der nach Abs. 4 zuständigen Behörde einzuholen:
- Bodenentnahmen (Steinbrüche, Lehm-, Sand-, Schotter- und Torfgewinnungsanlagen, Abbau von Lagerstätten u. dgl.) oder Ausweitung bestehender Gewinnungsstätten;
 - Errichtung (Widmung und Aufführung) von Apartmenthäusern, Feriendorfern und Wochenendiedlungen (§ 23 Abs. 7 des steiermärkischen Raumordnungsgesetzes 1974) sowie von Bauten mit über 18 m Gesamthöhe;
 - Errichtung (Widmung und Aufführung) von Bauten und Anlagen, die nicht unter lit. b fallen und außerhalb eines geschützten, bebauten Gebietes liegen oder über die Ortssilhouette hinausragen, davon ausgenommen sind solche, die für die land- und forstwirtschaftliche Bewirtschaftung unerlässlich sind;
 - Verwendung von Flächen als Sport- und Übungsgelände oder Schießplatz;
 - Erdbewegungen, sofern sie Auswirkungen im Sinne des § 2 Abs. 1 zur Folge haben;
 - Errichten von Zeltlagern oder das Aufstellen von Wohnwagen für mehr als eine Nachtiging außerhalb von Gehöften, Ortschaften oder hierfür genehmigten Plätzen, ausgenommen für betriebliche Zwecke zur Durchführung genehmigter Vorhaben (z.B. Bauarbeiten).
- (4) Für Bewilligungen nach Abs. 3 sind zuständig:
- die Landesregierung nach Abs. 3 lit. a und b sowie für Vorhaben, die einer Bewilligung auch nach anderen Rechtsvorschriften durch die Bundesregierung, einen Bundesminister, den Landeshauptmann oder die Landesregierung bedürfen;
 - die Bezirksverwaltungsbehörde nach Abs. 3 lit. c bis e;
 - die Gemeinde nach Abs. 3 lit. f.

§ 8

Naturparke

Ein allgemein zugänglicher Landschaftsräum.

- a) der durch das Zusammenwirken natürlicher Faktoren besonders günstige Voraussetzungen für die Vermittlung von Wissen über die Natur und für die Erholung bietet;
- b) der zu einem Schutzgebiet (§ 5 Abs. 2 lit. a, §§ 6 und 7) erklärt wurde oder einen Teil eines solchen bildet und
- c) dessen Erlebnis- sowie Bildungs- und Erholungswert für die Menschen durch Pflege- und Gestaltungmaßnahmen, wie z.B. durch Anlage von Wanderwegen, Naturlehrpfaden, Tiergehegen, botanischen Gärten, Rastplätzen, Ruhezonen, Aussichtspunkten und Spielwiesen auf Grund eines Landschaftspflegeplanes (§ 31) gesteigert wird,

kann durch Verordnung der Landesregierung die Bezeichnung "Naturpark" erhalten. In diese Verordnung können nähere Vorschriften über die weitere Gestaltung und Betreuung des Naturparkes aufgenommen werden.

§ 9

Nationalparke

(1) Schutzgebiete (§§ 5 Abs. 1, 6 Abs. 1, 7 Abs. 1 bis 3 und 11 Abs. 1) können durch Verordnung der Landesregierung die Bezeichnung "Nationalpark" erhalten, wenn sie

- a) durch charakteristische Geländeformen sowie Tier- und Pflanzarten für den Gesamtstaat repräsentative Bedeutung haben,
- b) der Wissenschaft und Erholung dienen,
- c) allgemein zugänglich sind,
- d) in mindestens eine Kernzone (Naturschutzgebiet) und eine Randzone (Landschaftsschutzgebiet) gegliedert sind und wenn
- e) eine ständige Verwaltung und wissenschaftliche Betreuung gesichert ist.

§ 10

Naturdenkmale

- (1) Eine hervorragende Einzelbeschöpfung der Natur, die wegen
- a) ihrer wissenschaftlichen oder kulturellen Bedeutung
 - b) ihrer Eigenart, Schönheit oder Seltenheit oder
 - c) ihres besonderen Gepräges für das Landschafts- oder Ortsbild erhaltungswürdig ist, kann mit der für ihre Erhaltung und ihr Erscheinungsbild maßgebenden Umgebung mit Bescheid der Bezirkaverwaltungsbehörde zum Naturdenkmal erklärt werden.
- (2) zu Naturdenkmälern können insbesondere erklärt werden: einzelne Bäume, Quellen (sofern sie nicht Heilquellen sind oder der Wasserversorgung dienen), Wasserfälle, Feuerbildungen, Gletscherspuren, Klümmen und Schluchten mit ihrer Wasserführung, Naturhöhlen (soweit sie nicht unter die Bestimmungen des Naturhöhlengesetzes fallen), ergeschichtliche Aufschlüsse oder Erscheinungsformen (z.B. Wanderblöcke, eiszeitliche Böden), Vorkommen einzigartiger Gesteine und Minerale (soweit sich diese außerhalb eines Bergbaus befinden) sowie fossile Tier- und Pflanzenvorkommen.

§ 11

Geschützte Landschaftsteile

- (1) Ein Teilbereich der Landschaft, der
- a) das Landschafts- und Ortsbild belebt,
 - b) natur- oder kulturdenkmalwürdige Landschaftsbestandteile aufweist,
 - c) mit einem Bauwerk oder einer Anlage eine Einheit bildet oder
 - d) als Grünfläche in einem verbaute Gebiet der Erholung dient und wegen der kleinklimatischen, ökologischen oder kulturgeschichtlichen Bedeutung erhaltungswürdig ist, kann mit der für seine Erhaltung und Erscheinungsform maßgebenden Umgebung mit Bescheid der Bezirkaverwaltungsbehörde zum geschützten Landschaftsteil erklärt werden.

(2) Zu geschützten Landschaftsteilen können insbesondere erklärt werden: Teiche, Wasserläufe, Auen, Hecken, Flurgehölze, Alleen, Park- und Gartenanlagen; Freizeitflächen; charakteristische Anpflanzungen oder Geländeformen.

§ 12

Schutz und Erhaltung von Naturdenkmälern und geschützten Landschaftsteilen:

(1) Naturdenkmale und geschützte Landschaftsteile dürfen durch menschliche Einwirkungen nicht zerstört, verändert oder in ihrem Bestand gefährdet werden; im Übrigen gilt § 5 Abs. 5 sinngemäß.

(2) Aus unabwendbaren Erfordernissen kann eine Veränderung, durch die ein Naturdenkmal oder ein geschützter Landschaftsteil nur eine geringfügige Einbuße erleidet, von der Bezirksverwaltungsbeförde bewilligt werden. In einem Bescheid, mit dem die Entfernung (Schlägerung) eines Naturdenkmals oder eines Gehölzes aus einem geschützten Landschaftsteil bewilligt wird, ist nach den örtlichen Gegebenheiten eine Ersatzpflanzung vorschriften, wenn der frühere Zustand weitgehend wiederhergestellt werden kann.

(3) Der Grundeigentümer (Verfügungsberechtigte) hat für die Erhaltung eines Naturdenkmals oder geschützten Landschaftsteiles durch Pflegemaßnahmen, bei Ausfällen durch natürliche Einwirkungen in geschützten Landschaftsteilen auch durch Ersatzpflanzungen, zu sorgen. Kann er dieser Verpflichtung nicht nachkommen, hat er die von Amts wegen vorzunehmenden Maßnahmen zu dulden, die zur Erhaltung von Naturdenkmälern und geschützten Landschaftsteilen erforderlichen Aufwendungen sind aus Mitteln des Landschaftspflegefonds (§ 30 Abs. 1 lit. e) zu ersetzen.

(4) In Bescheiden nach § 10 Abs. 1 und § 11 Abs. 1 können dem Grundeigentümer (Verfügungsberechtigten) Auflagen zur Erhaltung des Naturdenkmals oder des geschützten Landschaftsteiles erteilt werden.

(5) Durch Tafeln (§ 24) gekennzeichnete Naturdenkmale oder geschützte Landschaftsteile dürfen weder beschädigt noch zerstört werden.

Schutz der Pflanzen- und Tierwelt

- (1) Wildwachsende Pflanzen und von Natur aus freilebende und nicht der Jagdausübung unterliegende Tiere, für die eine Gefährdung oder Vernichtung ihres Vorkommens zu befürchten ist und für die ein Schutzbedürfnis besteht. Können durch Verordnung der Landesregierung vollkommen oder, wenn es für die Erhaltung der Art ausreicht, teil- oder zeitweise geschützt werden.
- (2) Der vollkommene Schutz von Pflanzen bezieht sich auf ihre ober- und unterirdischen Teile. Sie dürfen nicht beschädigt, vernichtet oder entnommen, im frischen oder getrocknetem Zustand anderen überlassen, erworben, verwahrt, befördert, gehandelt oder verarbeitet werden; ferner darf nichts unternommen werden, was ihre Lebensbedingungen gefährden, verändern oder zerstören könnte.
- (3) Der teilweise Schutz von Pflanzen erstreckt sich auf
- die an Boden aufliegenden Blattrosetten und die unterirdischen Teile, wofür dieselben Schutzbestimmungen wie im Abs. 2 gelten;
 - das Verbot des Handels mit bestimmten Pflanzen oder Pflanzenteilen.
- (4) Geschützte Tiere dürfen nicht mitwillig beunruhigt, nicht verfolgt, gefangen, gehalten, getötet, lebend oder tot anderen überlassen, erworben, verwahrt, befördert, gehandelt oder verarbeitet werden. Der Schutz erstreckt sich sinngemäß auch auf die Entwicklungsform, auf Tierteile und auf Brutstätten.
- (5) Ausnahmen von den Schutzbestimmungen nach Abs. 2 bis 4 kann die Landesregierung auf Antrag im Einzelfall mit Zustimmung des Grund-eigentümers (Verfügungsberechtigten) und bei Tieren nach Anhörung der Steiermärkischen Landesjägeraufsicht für bestimmte Flächen bei reichlichem Vorkommen und gesichertem Weiterbestand

- a) aus wissenschaftlichen oder Zuchtgründen;
- b) zur Haltung von Schäden;
- c) aus gerechtfertigten wirtschaftlichen Gründen bewilligen.

(6) Wer gezüchtete Pflanzen oder Tiere geschützter Arten (deren Teile oder Entwicklungsformen) mit sich führt, verarbeitet, zu Handelszwecken anbietet oder verwahrt, hat deren Herkunft über Aufforderungen in den §§ 26 und 28 angeführten Organen nachzuweisen.

(7) Die mutwillige Beschädigung, die übermäßige, über einen Handstraub hinausgehende Ent- oder Mithnahme von nicht durch Verordnung nach Abs. 1 geschützten wildwachsenden Pflanzen oder Pflanzenteilen ist untersagt.

(8) Ausnahmen vom Verbot der übermäßigen Ent- oder Mithnahme nach Abs. 7 kann die für den Standort zuständige Gemeinde mit Zustimmung des Grundgeigentümers (Verfügungsberechtigten) bewilligen, wenn der Pflanzenbestand nicht gefährdet ist.

(9) Das Aussetzen geziets- oder landfremder Pflanzen und Tiere in die freie Natur ist nur mit Bewilligung der Landesregierung gestattet. Die Bewilligung ist zu erteilen, wenn eine Gefährdung der vorhandenen Pflanzen- oder Tierwelt oder eine Störung des ökologischen Gleichgewichtes nicht zu erwarten ist.

IV. Gemeinsame Bestimmungen

§ 23

Naturschutzbuch

(1) Die Landesregierung hat ein Naturschutzbuch zu führen, in das Verordnungen nach den §§ 5 bis 9, Bescheide nach den §§ 10 Abs. 1 und 11 Abs. 1 sowie Veränderungen nach § 12 Abs. 2 und 3 einzutragen sind. Die Eintragungen und Löschungen sind den Bezirksoverwaltungsbehörden und Gemeinden bekanntzugeben, in deren örtlichem Wirkungsbereich das geschützte Gebiet bzw. das Naturdenkmal liegt. Sie haben diese Unterlagen in Verwahrung zu nehmen und am letzten Stand zu halten.

(2) Das Naturschutzbuch gliedert sich in die Abschnitte

- A. Landschaftsrahmenpläne
- B. Naturschutzgebiete
- C. Landschaftsschutzgebiete
- D. Gewässer- und Uferschutzgebiete
- E. Naturparke
- F. Nationalparks
- G. Naturdenkmale
- H. Geschützte Landschaftsteile
- I. Landschaftspflegspläne

(3) Es steht jedermann frei, in das Naturschutzbuch und in die bei den Bezirksverwaltungsbehörden und Gemeinden verwahrten Unterlagen während der Amtsstunden Einsicht zu nehmen und Abschriften herzustellen.

§ 24

Kennzeichnung in der Natur

(1) Geschützte Gebiete und Naturdenkmale sind mit den von der Landesregierung bereitzustellenden Tafeln durch die Gemeinde in einer die Nutzung des Grundstückes nicht behindernden Weise zu kennzeichnen. Die Tafeln haben das Landeswappen und die jeweils zutreffende Bezeichnung im Sinne der §§ 5 bis 11 zu enthalten. Sie dürfen weder beschädigt noch entfernt werden.

(2) Die Grund Eigentümer (Verfügungsberechtigten) sind von der Anbringung der Tafeln zu verständigen und haben sie zu dulden.

(3) Die Bezeichnung Naturschutzgebiet, landschaftsschutzgebiet, Gewässer- und Uferschutzgebiet, Geschützter Landschaftsteil, Naturdenkmal, Naturpark und Nationalpark darf nur für ein Gebiet oder Naturgebilde verwendet werden, das durch dieses Gesetz unter Schutz gestellt worden ist.

6.1.1. Naturschutzgebiete

Naturschutzgebiete nach § 5 Abs.2 a NaschG 1976

NS X: Naturschutzgebiet Nr. X: Seekar und Bärental auf der Koralpe

Die gesetzlichen Grundlage ist die "Verordnung der Steiermärkischen Landesregierung vom 4. Mai 1981 über die Erklärung des Seekars und des Bärentales im Gebiet der Koralpe zum Naturschutzgebiet"; Landesgesetzblatt Nr. 30 vom 4. Juni 1981.

Die Abgrenzung des Gebietes ist der Beilage 5 zu entnehmen.

Im geschützten Gebiet sind als schädigende Eingriffe verboten:

- a) die Errichtung von Anlagen aller Art sowie die Veränderung der Außen-
Grenze bestehender Anlagen;
- b) der Abbau von Bodenbestandteilen, die Vornahme von Grabungen und Spren-
gungen sowie die Ablagerung von Schutt und Bodenbestandteilen; ebenso
die Verunreinigung der Landschaft und die Vornahme von schädigenden
Eingriffen in die Bodenbeschaffenheit;
- c) die Schädigung von Quellen, Wasserläufen und Wasserflächen hinsichtlich
ihrer natürlichen Wasserführung und ihrer Wassergüte sowie die Schädi-
gung des Grundwassers;
- d) Kulturumwandlungen oder Schädigungen der Pflanzenwelt;

Naturschutzgebiete nach § 5 Abs. 2 c NaschG 1976 (Bestands-
schutzgebiete für Tiere und Pflanzen)

NS 1: Totarmbereich des Gleinzbaches in Wettmannstätten

Die gesetzliche Grundlage ist die "Verordnung der Steiermärkischen Landesregierung vom 25. März 1974 über die Erklärung eines Totarmbereiches des Gleinzbaches in der Marktgemeinde und KG. Wettmannstätten, politischer Bezirk Deutschlandsberg, zum Naturschutzgebiet (Bestandschutzgebiet für Pflanzen)"; Landes-
gesetzblatt Nr. 31 vom 26. April 1974.

Die Umgrenzung des Gebietes ist Abb. 1 zu entnehmen.

Im Naturschutzgebiet sind alle Handlungen zu unterlassen, die geeignet sind, den Pflanzenbestand zu schädigen oder zu gefährden; insbesondere ist es verboten, Pflanzen oder Pflanzenteile zu entnehmen, Übergehölz zu entfernen, die Gestaltung oder die Beschaffenheit des Bodens einschließlich des Wasservorkommens zu ändern sowie Ablagerungen aller Art vorzunehmen.



Abb. 1: Umgrenzung des Naturschutzgebiets "Totarmbereich des Gleintbaches bei Wettmannstätten".

NS 2: Deutschlandsberger Klause

Die gesetzliche Grundlage ist die "Verordnung über die Erklärung der Deutschlandsberger Klause zum geschützten Landschaftsteil; GZ.: 701/14-1968 vom 12. November 1968, veröffentlicht in der Grazer Zeitung, Stück 13 vom 14. August 1969, wiederverlautbart mit "Verordnung der Bezirkshauptmannschaft Deutschlandsberg vom 22. Februar 1982"; GZ.: 6.0-D 2/82, veröffentlicht in der Grazer Zeitung, Stück 9 vom 5. März 1982.

Die Umgrenzung des Gebietes ist in Abb. 2 ersichtlich.

Im engeren Schutzgebiet ist der Charakter der Klamm zu erhalten. Es sind alle Handlungen und Maßnahmen zu unterlassen, die geeignet sind, die Wasserführung sowie die Standorts- und Umweltverhältnisse in der Klamm einschließlich ihrer Pflanzen- und Tierwelt zu verändern. Insbesondere ist es verboten, Wasser abzuleiten, Bodenbestandteile abzubauen, Pflanzen einschließlich Bäume und Sträucher zu entnehen oder zu beschädigen sowie

Anlage zur Verordnung der Bezirkshauptmannschaft Deutschlandsberg vom 12. November 1963, GZ: F-D/14-1963

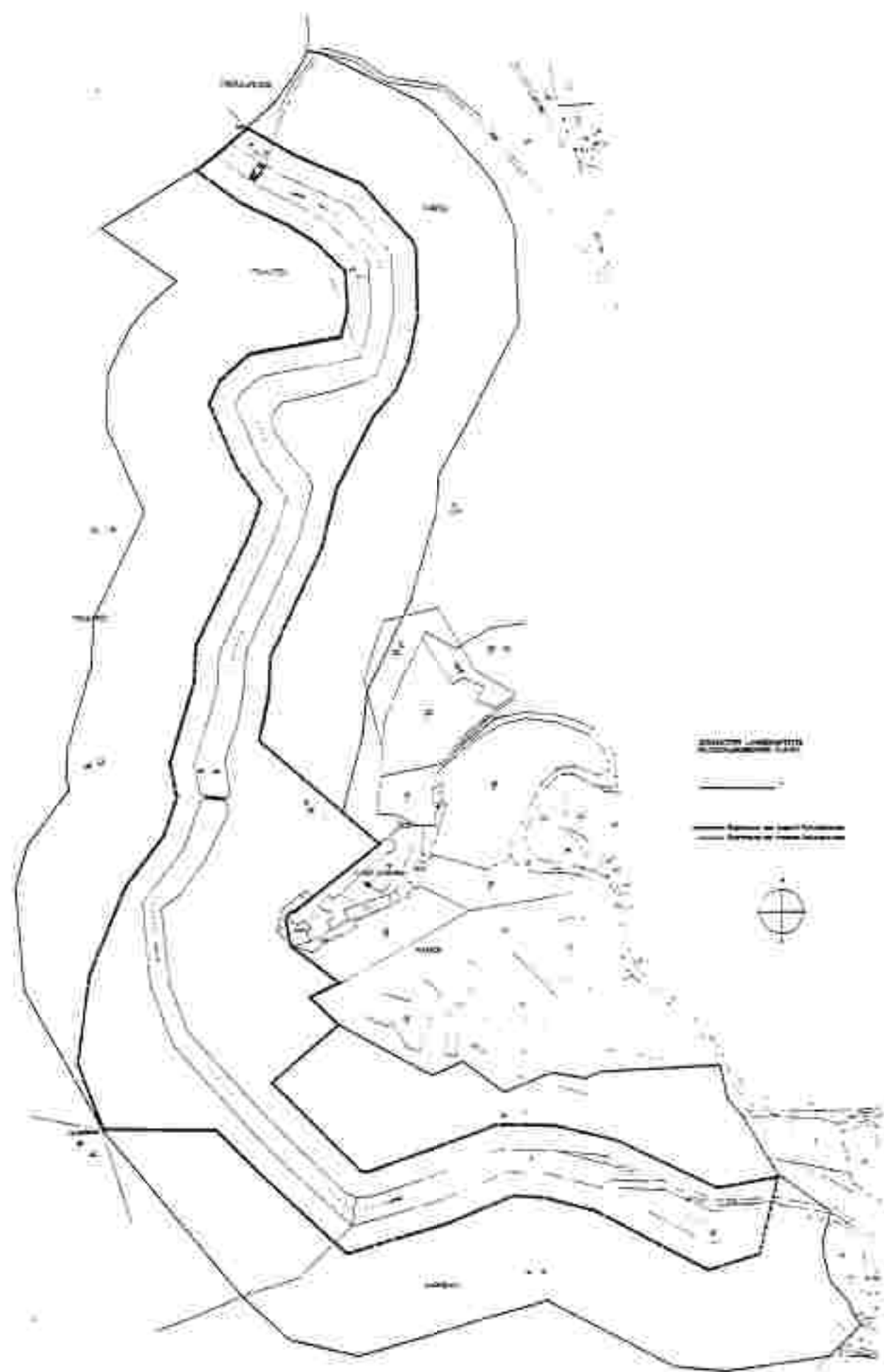


Abb. 2: Umgrenzung des Naturschutzgebietes Deutschlandsberger Klause.

fremde; in der Klause nicht heimische Pflanzen bzw. Holzarten einzubringen. Ausgenommen von diesen Bestimmungen sind Zufallsnützungen wie Auarbeiten von Wind- und Schneebrechern, Wind- und Schneewurfen, Dürrlingen, Blitzeblumen, Käferbäumen; durch Steinachlag oder Fauer verletzten, nicht mehr lebensfähigen Bäumen.

Im weiteren Schutzgebiet ist die Bewirtschaftung nach forstlichen Gesichtspunkten gestattet, jedoch ist die Kulturgartung "Wald" zu erhalten; außerdem sind alle Handlungen und Maßnahmen zu unterlassen, die geeignet sind, die ökologischen Verhältnisse wie Temperatur, Luftfeuchtigkeit und Windwirkung im angrenzen Schutzgebiet zu verändern. Jede Holzbringung hat unter möglichster Schonung des angrenzen Schutzgebistes zu erfolgen.

NS 3: Auwaldrest in der KG Herbersdorf

Die gesetzliche Grundlage ist die "Verordnung der Bezirkshauptmannschaft Deutschlandsberg vom 21. Oktober 1982 über die Erklärung eines Auwaldrestes in der KG Herbersdorf zum Naturschutzgebiet (Pflanzenschutzgebiet)", GZ.: 6R1/81 vom 21. Oktober 1982, veröffentlicht in der Grazer Zeitung, Stück 44 vom 5. Nov. 1982.

Das Gebiet des Auwaldrestes mit mehreren Waldtümppeln auf den Grundstücken Nr. 104/2 und 104/5, KG Herbersdorf, Gemeinde Rassach, wird zwecks Erhaltung als Feuchtbiotop und als Standort und Lebensraum schutzwürdiger und gefährdeter Pflanzenarten sowie als ökologisches Refugium für viele Tierarten zum Naturschutzgebiet (Pflanzenschutzgebiet) erklärt.

Im Naturschutzgebiet sind nachstehende Handlungen verboten:

- a) das Errichten oder Aufstellen von Anlagen aller Art;
- b) die Veränderung der Beschaffenheit oder Gestalt des Bodens;
- c) die Vornahme von Aufschüttungen oder Lagerungen aller Art;
- d) die Veränderung des natürlichen Wasserhaushaltes, insbesondere jede Gewässerableitung;
- e) das Ablegen oder Zurücklassen von Abfällen aller Art;
- f) die Entnahme oder Schädigung des Ökotopgebiets, ausgenommen das Beschränen im bisherigen Ausmaß;

- g) die Vornahme von Kulturmwandlungen oder schädigender Eingriffe in die Pflanzenwelt, ausgenommen die landwirtschaftliche Nutzung und Pflegemaßnahmen zur Freihaltung der Wasserfläche.

6.1.2 Landschaftsschutzgebiete nach § 6 NaschG 1976

Die Umgrenzung der Gebiete ist der Beilage 5 zu entnehmen.

Die Auflagen aller Landschaftsschutzgebiete sind in § 2 Abs. 1 und § 6 Abs. 3 NaschG 1976 enthalten.

LS 1: Landschaftsschutzgebiet Nr. 1 (Koralpe)

Gesetzliche Grundlage ist die "Verordnung der Steiermärkischen Landesregierung vom 25. Mai 1981 über die Erklärung von Gebieten der Koralpe zum Landschaftsschutzgebiet"; Landesgesetzblatt Nr. 36 vom 22. Juni 1981.

LS 2: Landschaftsschutzgebiet Nr. 2 (Fack-Steinischkogel-Rosenkogel)

Gesetzliche Grundlage ist die "Verordnung der Steiermärkischen Landesregierung vom 25. Mai 1981 über die Erklärung von Gebieten der Koralpe zum Landschaftsschutzgebiet"; Landesgesetzblatt Nr. 37 vom 22. Juni 1981.

LS 3: Landschaftsschutzgebiet Nr. 3 (Soboth-Radlpäßl)

Gesetzliche Grundlage ist die "Verordnung der Steiermärkischen Landesregierung vom 25. Mai 1981 über die Erklärung von Gebieten der Koralpe zum Landschaftsschutzgebiet"; Landesgesetzblatt Nr. 38 vom 22. Juni 1981.

6.1.3 Naturdenkmale nach § 10 NaschG 1976

N 1-106: Naturdenkmale Nr. 1 - 106

In den nun folgenden Seiten sind sämtliche (auch gefälschte) Naturdenkmale des Bezirkes Deutschlandsberg verzeichnet. Die laufende Nummer ist identisch mit den Ziffern auf Beilage 5, wobei in der Karte noch Bäume, Felsbildungen und Wasserfälle mit getrennten Symbolen dargestellt sind.

| Nr. | Bemerkung | Geographische Angabe | Beschreibung | Beschreibung | |
|-----|---------------|---|---|---|--|
| | | | | Bestandsnr. | Bestandsart |
| 1 | Eine | Grauneck, Österreich Kärntner Landes- hauptstadt Klagenfurt | Lehmboden auf rotem lehmiger Baugrubenboden, Unterlager K. grü. | 10 m im Osten | new registrante Nutzung |
| 2 | Eine | Orograt Bau (h) 10 0.42 | 30 m nordöstlich der Klamm- burgo an weiß-grünen Baugruben- boden, trocken, steigend, mit roten u. unter den zappigen Gräsern | Beschrieb am 25.1.1970 Sl. A. 4/77 | |
| 3 | Eine | Klausenwald Klausenwald 0.23 | Weg zum Radweg und entlang Vinschitzbach | die Lachanase 150 m ² | beschrieb d. BH 0189, vom 22.5.1978, Sl. E. 4/72 |
| 4 | Eine | Klausenwald Fusarzten 0.207 | 10 m westlich der Vinschitzbach in SE, sonstgrün der, 33° von der aktiver Provinz auf gleichen Einstieg | | VO-BH 0109, vom 29.8.1978, d. 1/22-1563, Gebiet Sl. F. 1.10.1969, 7.11.41 |
| 5 | Eine | Klausenwald Schnellweg | Radweg, Stichunterquerung | | Beschrieb d. BH 0189, 2.3.1.1979, Sl. E. 4/77 |
| 6 | Eine | Klausenwald Aichberg 0.09 | halbpol-Eudenzeralle, bei der Unterführung Klammwald, 50 m süd- lich des Höhenhauses Jögerföhre Einstieg in einen kleinen Park | | Beschrieb d. BH 0189, 2.3.1.1979, Sl. E. 4/77 |
| 7 | Eine | Orograt Klausenwald 10 | 10 m nordöstlich des Wohnhauses des Vigo Gemüsebauern, auch Zirnitz, Schneise oder Zitzenauer, Klausenwald-Nr. 12 | 10 m östlich der Klausen- wald, 31.1.1978, Sl. E. 20/77 | Beschrieb d. BH 0189, vom 25.1.1978, Sl. E. 5/77 |
| 8 | Winterlinde | Orograt Staudenzug 10 | 60 m südöstlich des Wohn- hauses vulgo Staudenzug, auch Gesamtweg Nr. 16 | Im Bereich der Klausen- wald, 31.1.1978 | Beschrieb über BH 0189, vom 25.1.1978, Sl. E. 5/77 |
| 9 | Klosterkirche | Kloster Klosterkirche 164.165 | Freskinder Altar | | Geschützter Landschafts- bestand, d. zur Anwendung auf Landschaftsschutz- verordnung 1956, 1961, Hr. 35.9.62, Abg. 15.4.00 |
| 10 | Linde | Feldlack Schallweg 11/1 | 10 m nordwestlich des Wohn- hauses vulgo Schallweg, Nahling Nr. 31 | | VO (H) DLSB - vom 26.2.1971, Sl. E. 10/73 10.1.1970, d. 11.4.00 20. April 1971, Abg. 15.4.00 |
| 11 | Waldstück | Waldstück Surfstraße 102/2 | 5 m südlich des Jagdhäuschens Exner Anwesen vulgo Rothal | | Beschrieb d. BH 0189, 2.3.1.1978, Sl. E. 4/72 |

| Nummer | Besteigung | Gemäßigte Oberfläche Untergründliche Fazies Nr. | Lagebestimmung nach Peter Gessner Fluhsystematik, Käferliste u. dg.) | Abgrenzung (gegenüber dem angrenzenden Naturraum) | Bestimmung |
|--------|----------------------------|---|---|---|---|
| 11 | Waldsteine | desertif. Pellberg Gesteinslage 1971 | 4 m nördlich des neuen hauses vulgo spodoclast der Pischbachquelle | VO BR Oberg. vom 3.5.-1968, NL-7 F 3/2-58, Grazer W. 24-5-1960, NL-24 | |
| 12 | Wände | durchaus | an der Kalkwaldkruste bzw. Kalkofen-Lagablüde des Abens Practes | VO BR Oberg. vom 27.1.-1971, NL-7 H 2/10-1970; Grazer W. 26-7-1971, NL-3 | |
| 13 | Schuttfläche | Trichter- trichter 282/1 | an Kalkofenplatz, 70 m östlich der Freilichtstätte | Im Bereich der Kalk- steinablage | |
| 13a | Schuttfläche | Trichter- trichter 287/1 | an Kalkofenplatz, 10 m östlich der Freilichtstätte | Im Bereich der Kalk- steinablage | |
| 14 | Ebbe | Steinbruch Bachholz 769 | Radillium | Bestimmt vom 27.2.-1970 NL-6 H 3/71 | |
| 15 | Felsbildung Schrottloch | Felsbrum- grasstand 611weg 90 | Felsbrum- grasstand vulgo Radillium | VO BR Ober. vom 29.3.-1969, NL-7 H 1/22-1969, NL-319 W. 17-10-1968, NL-4 | |
| 16 | Sommeralbe | schotterbret- terrasse 545/3 El 67 | an der Hochwurfe der Radillie bei 1. Ostige Radillia (nach Koinat, zu m. südlich des Wühlmannes während) | Im Bereich der Radillie- brücke | Bestimmt vom 21.6.1977 |
| 16a | Winteralbe | schotterbret- terrasse 555/3 El 67 | an den Rückwänden der Radillie bei 1. Ostige Radillia, Radillenbrücke zu m. südlich des Wühlmannes | Im Bereich der Radillie- brücke | Bestimmt vom 22.6.1977 |
| 17 | Wände | Kalksteinfeld | nördlich der Wiese zum Bauw- H. 37.10. Leibnitz | | |
| 18 | Winteralbe | Pieschener Wieschendorf 267/1 | 12-16 östlich dem Radillen- brücke an den Flussteil | | Bestimmt von 15-19.11.1976, NL-3 5/77 |

| Nummer | Fundort | Geographische Angabe | | Geologische Angabe | | Beschreibung |
|--------|----------------------------|----------------------|---|---|---|--|
| | | Landesamt | Katastralgemeinde, Parzelle Nr. | Geographische Angabe | Geologische Angabe | |
| 19 | Doppel-Tanne | Ernstfeld | s. d. L., ca. 600 m 400/2 | 4 m vom Hause des Karl Körber in beiden s. an der Straße nach Wildbach | Unterlinsing nach oben Schichtpunkt Flammenstein, Endemming II | Beschreibung BH D100, vom 27.8.1978, §1, 21, 3, 9 7/77 129, 13, 1977 |
| 20 | Wintleite | St. Oswald | O, E, Hochwörthg.-E., 56/11 | 15 m südlich des Gasthauses Karlstorff, 35 m südlich der Kirche | im Bereich der Krumm- trübe | Beschreibung BH obig, vom 3.3.1978 |
| 21 | Gemeinde- Bischof-Lärz* | St. Oswald | O, E, Hochwörthg.-E., 56/4 | ca. 8 m westlich der Kirche | im Bereich der Krumm- trübe | Beschreibung BH obig, vom 23.1.1978, §1, 21, 3, X 23/1977 |
| 22 | Linde | St. Oswald | O, E, Hochwörthg.-E., 46/5 | westlich der Kirche | | VG BH D100, vom 28.9.1978, §1, 21, 3, X 7/77 1969, Dr. Dörg. 9, 13-10, 1969, §1X 42 |
| 23 | Simmerlind | St. Oswald | O, E, Hochwörthg.-E., 37/6 Etz 15 | ca. 8 m westlich zum Orts- zentrum | im Bereich der Krumm- trübe | Beschreibung BH obig, vom 22.5.1978, §1, 21, 3, X 3/78 |
| 24 | Simmerlind | St. Oswald | O, E, Hochwörthg.-E., 47/6 Etz 15 | links von Kirche und Orts- zentrum | im Bereich der Krumm- trübe | Beschreibung BH D100, vom 23.5.1978, §1, 21, 3, X 1/78 |
| 25 | Doppel-Wichta | St. Oswald | O, E, Hochwörthg.-E., 46/11 | 30 m südlich der Kirche, 20,5 m westlich des Gau- hause Körber | im Bereich der Krumm- trübe | Beschreibung BH D100, vom 2.8.1978, §1, 21, 3, X 1/78 |
| 26 | Weißbach | Schwanberg | Schwanberg 104/71 | 60 m südlich des Wieder- hauers des Friedhofshofes Tuf Gletschertrümme | im Bereich der Krumm- trübe | Beschreibung vom 23.3.1978, §1, 4, Et 12/78 |
| 26 | Gegelhof | Wölfsberg | Wölfsberg 105/1 | 22 m westlich des Wieder- hauers Gletscher | im Bereich der Krumm- trübe | Beschreibung BH D100, vom 25.1.1978, §1, 21, 3, C 7/77 |
| 27 | Steinleite | Steine | Steine Stein- strasse 105 | 1 m nordöstlich des Wieder- hauers eines großen Nach- komplexes, im Westen nach S. Et 8/77 | im Bereich der Krumm- trübe | Beschreibung vom 25.1.1978 §1, 6, Et 8/77 |

| Besuchung | Gemeinde, Ortsteil, Katastralgemeinde, Festeile (s.) | Lagebeschreibung nach letzten Geologischen Hauptuntersuchungen, Einheiten & Aquä. | Mineralfazies (Untersuchung hier relevantes Prozess) | Ergebnisse (Untersuchung) | Landesgeologische Untersuchung |
|-----------|--|--|--|---|--|
| 38 | Wulkaprovinz | Am Gartten Kirchenbezirk S. An Oststeiermark | Im Bereich der Kronen- kruste | Mineralfazies am Übergang 75-1-1970, 21-6-57 17/77 | |
| 39 | Kronenkruste | Übersichtsuntersuchung Distanzstreifen 1725/3 | Ab Hinterland des Kronen- kruste | Mineralfazies am Übergang 21-6-1970, 21-7/77 | |
| 40 | Kronenkruste | Übersichtsuntersuchung Distanzstreifen 1725/3 | Im Bereich der Kronen- kruste | Mineralfazies am Übergang 19-5-1970, 21-7/77 | |
| 41 | Wulkaprovinz | Geobauamt Bundesbahnen 720 | Im Bereich der Kronen- kruste | Mineralfazies am Übergang 19-5-1970, 21-8-57 17/77 | |
| 42 | Sommerlände | Grenzwall Bundesbahnen 720 | Im Bereich der Kronen- kruste | Mineralfazies am Übergang 19-5-1970, 21-6-57 17/77 | |
| 43 | Sommerlände | Grenzwall Bundesbahnen 720 | Im Bereich der Kronen- kruste | Mineralfazies am Übergang 19-5-1970, 21-6-57 17/77 | |
| 44 | Sommerlände | St. Lorenzen o. E. 795 | Im Bereich der Kronen- kruste | Mineralfazies am Übergang 21-2-1970, 21-8-57 17/77 | |
| 45 | Wankendorf | Traktant Traktant 72 | 71 m nördlich des Wohnhauses wirkt Kalk | Mineralfazies am Übergang 19-5-1970, 21-6-57 17/77 | |
| 46 | Summerlände | Saboth Saboth 717 | 0 m östlich des Wohnhauses Sichtbar oberhalb der Straße | Mineralfazies am Übergang 22-1-1970, 21-6-57 17/77 | |
| 47 | Summerlände | Saboth Saboth 477 | 20 m westlich des Wohnhauses wirkt Porenschläge | Im Bereich der Kronen- kruste | Mineralfazies am Übergang 21-6-1970, 21-6-57 17/77 |
| 48 | Wulkaprovinz Schwarza unter Eiszeit | Krautkernberg Krautkernberg 14 | ca. 250 m westlich der Kapelle beim Parkplatz, südlich der Ladestraße, Krautkernberg am Westrand d. Grundst. Nr. 30 | Mineralfazies am Südwesten der beiden Wälder am Ostrand des Intrusions- 400 m westlichen Flügel- | Mineralfazies vom 22.2.1970. ca. 6-8.17/77 |

| Nr. | Beschreibung | Geographische Orientierung nach letzten Gesteinsmerkmalen durchgehend gleich, Richtung = dgl. | Bemerkungen über die Vegetation | | Sammelortangabe |
|-----|---------------------------------|--|--|--|---|
| | | | 1 | 2 | |
| 30 | Felswand Hausbergta- cken | Nordost Hausberg 470 | Im Sommergrasland. ca. 90 m von der alten Klippeartmühle entfernt, an altem Mühleg | Die Winterschneedecke zuerst Felsgesäumt | Bauchfeld L4 9ms 37,2. 1870 21. 6. 1977 |
| 39 | Winkelstein Wölfe | Westnord- westlich 200 | 10 m südlich des Alten Hauses, 38 m westlich des alten Mühleg | Im Bereich der Kreuzer- trasse | Beschriftet vom 27.2. 1977 21. 6. 1977 |
| 40 | Wölfe | Möster Winkelswinkel 169 | 500 m südlich der Freiländer- Almfläche, westlich des Flie- sses zum Schwarzenbach | Pflanzen und Vegetation im Unterschlaf von 30 m | Bauchfeld vom 27.2. 1976 21. 6. 1977 |
| 41 | Winkelstein | Südost Südost 351 | 10 m südlich der Kirche | Im Bereich der Kreuzer- trasse | Bauchfeld am Südburg, von 22. 5. 1976, 21. 6. 1977 |
| 42 | Summerlinde | Südost Südost 351 | 10 m südlich des südöst- lichen Kirchensturzes | Im Bereich der Kreuzer- trasse | Bauchfeld am Südburg, von 22. 5. 1976, 21. 6. 1977 |
| 43 | Summerlinde | Südost Südost 351 | 22 m südlich des südöstlichen Kirchensturzes | Im Bereich der Kreuzer- trasse | Bauchfeld am Südburg, von 22. 5. 1976, 21. 6. 1977 |
| 44 | Summerlinde | Südost Südost 351 | 20 m südlich der Kirche | Im Bereich der Kreuzer- trasse | Bauchfeld am Südburg, von 23. 5. 1976, 21. 6. 1977 |
| 45 | Summerlinde | Südost Südost 403/1 | 25 m südwestlich des Süd- hauses Hämmer, unterhalb der Baulinie | Im Bereich der Kreuzer- trasse | Bauchfeld am Südburg, von 16. 6. 1976, 21. 6. 1977 |
| 46 | Summerlinde | Südost Südost 412/1 | 8 m südlich des Südhauses Hämmer | Im Bereich der Kreuzer- trasse | Bauchfeld am Südburg, von 16. 6. 1976, 21. 6. 1977 |
| 47 | Summerlinde | Südost Südost 412/3 | 7 m südlich des Südhauses Hämmer, westlich der Kreuzer- trasse | Im Bereich der Kreuzer- trasse | Bauchfeld vom 18.6.1976, 21. 6. 1977 |

| Nummer | Beschreibung | Geometrie, Orientierung, Konsistenzmerkmale etc. | Baugrubenstandort und Baugrubentyp | | Bemerkungen |
|--------|----------------|--|---|---|--|
| | | | E | N | |
| 40 | Gasse Litschau | Streichen Südost Schrägheit 45°/1 | 16 m westlich des Kreisgerichtsgebäudes, Richtung der Straße | | Bauchholz am Ostufer - vom 33.-3.1978, N11° E1928 |
| 42 | Föhre | Sabath Saboth 450/1 | 13 m südlich des Kreisgerichtsgebäudes | | im Bereich der Kreisgerichtsgebäude vom 27.-2.1970 |
| 50 | Föhre | Sabath Saboth 450/1 | 11 m südlich des Weingartens | | Bauchholz vom 27.-2.1970 |
| 51 | Föhre | Sabath Saboth 450/1 | 12 m südlich des Weingartens | | WG III Ostufer - von 33.-2.-1968, N11° E1968 |
| 52 | Föhre | Hainke Beimre 25/2 | 10 m südlich des Weingartens | | Bauchholz am Weingarten vom 5.-4.1978, N11° E1978 |
| 53 | Föhre | Hainke Beimre 25/2 | Suppenkochstrasse am Gartenzug vom Liebhaber-Zaun, Hausnummer 124 | | WG III Ostufer - von 30.-3.-1968, N11° E1968 |
| 54 | Föhre | Hainke Beimre 25/2 | 25 m westlich vom Eingang zum Schlosshof | | Bauchholz vom 21.-6.1978, N11° E1978 |
| 55 | Föhre | Hollnegg Hollnegg 321 | 50 m westlich vom Schlosshofeingang an der Gartenzugmauer | | Bauchholz im Süden - vom 11.-3.-1978, N11° E1978 |
| 56 | Föhre | Hollnegg Hollnegg 321 | 60 m westlich vom Schlosshofeingang an der Gartenzugmauer | | Bauchholz im Süden - vom 11.-3.-1978, N11° E1978 |
| 57 | Föhre | Hollnegg Hollnegg 321 | 25 m westlich vom Schlosshofeingang an der Gartenzugmauer | | Bauchholz im Süden - vom 11.-3.-1978, N11° E1978 |

| Nr. | Beschreibung | Geographische Angabe nach fester Definition -Höhenangaben (Erläuterung s. Tafel) | | Ausdehnung der Umgebung -ca. Abstande zu benachbarten Punkten | Beschreibung der Umgebung -ca. Abstande zu benachbarten Punkten |
|-----|----------------------|---|--|--|--|
| | | 1 | 2 | | |
| 51 | Fichten Hügelzug | Hügelzug Höhenweg 331 | 50 m westlich vom Sattelgr. Vorläuferring der Höhenzug | | VO-Bit. Blatt. 600 2-10. 1974, Gl. 7 L 1/2-1974, Ge. 500, Urn. 14, 2-75, Den. |
| 52 | Fichten Hügelzug | Hügelzug Höhenweg 331 | 45 m westlich vom Sattelgr. im Vorläuferring der Höhenzug | | Beschriftet mit Blatt. van ZL 3.1979, Bl. 6 L 14/1977 |
| 53 | Fichten Hügelzug | Hügelzug Höhenweg 331 | | die Bergabwärts Richtung die Bergabwärts Richtung | |
| 54 | Fichten Hügelzug | Hügelzug Höhenweg 331 | 12 m südlich vom Sattelgr. im Sattelgr. | | die Bergabwärts Richtung die Bergabwärts Richtung |
| 55 | Fichten Hügelzug | Hügelzug Höhenweg 331 | am Sattelgr. 15 m südlich der Südwestseite des Hügelzugs | | die Bergabwärts Richtung die Bergabwärts Richtung |
| 56 | Hügelzug Hügelzug | Hügelzug Hügelzug 337/1 | | Am Hügelzug zur Hügelzug- Kette | Beschriftet mit Blatt. 20. 6. 1970, Bl. 7 L 15/ |
| 57 | Hügelzug Hügelzug | Hügelzug Hügelzug 337/1 | | | 1977 |
| 58 | Hügelzug Hügelzug | Hügelzug Hügelzug 331 | 26 m südlich vom Hügelzug am Hauptzentralkamm | | Beschriftet mit Blatt. 25. 5. 1979, Bl. 6 L 17/ |
| 59 | Erhebe | Hügelzug Hügelzug 333 | | | 1977 |
| 60 | Hügelzug | Hügelzug Hügelzug 334 | ca. 50 m Bergabwärts zwischen den Hügelzügen, ca. 40 m nordwestlich vom Hügelzug | | Beschriftet mit Blatt. 29. 6. 1970, Bl. 6 L 18/ |
| 61 | Hügelzug | Hügelzug Hügelzug 334 | | | 1977 |
| 62 | Blüteburg | Hügelzug Hügelzug 334 | am Hügelzug, ca. 25 m vom Sattelgr., nordwestlich des Hügelzugs | | Beschriftet mit Blatt. 20. 6. 1970, Bl. 6 L 19/ |
| 63 | Blüteburg | Hügelzug Hügelzug 334 | | | 1977 |
| 64 | Mörgein-Hügelzug | Hügelzug Hügelzug 332 | am Hügelzug, ca. 30 m vom Sattelgr., nordwestlich des Hügelzugs | | Beschriftet mit Blatt. 20. 6. 1970, Bl. 6 L 20/ |
| 65 | Mörgein-Hügelzug | Hügelzug Hügelzug 332 | | | 1977 |
| 66 | Mörgein-Hügelzug | Hügelzug Hügelzug 332 | 35 m nordlich von nördlichen Sattelgr. an der Bergabwärts Richtung | | Beschriftet mit Blatt. 4. 5. 1979, Bl. 6 L 21/ |
| 67 | Tranfer-Zeiche | Hügelzug Hügelzug 322 | | | 1977 |

| Nummer | Beschriftung | Geometrische Orientierung Koordinatenmessung Richtung n. Spz. | Geometrische Orientierung Koordinatenmessung Richtung n. Spz. | Geometrische Orientierung Koordinatenmessung Richtung n. Spz. |
|--------|----------------------------------|--|--|--|
| 64 | - | - | - | - |
| 65 | Hollenstein Bolinngang T22 | 10 m östlich vom südlichen Hollenstein | die umgebenden Basaltgipfen | Hollenstein 9.9.1978. T1. 4. L 5/1377 |
| 66 | Waldstücke | 10 m nordöstlich vom nordlichen Lichten Schichtstein | die umgebenden Basaltgipfen | Waldstücke 9.9.1978. T1. 4. L 21/177 |
| 67 | Waldstücke | 25 m südlich von der Kordatacke das nördliche | die umgebenden Basaltgipfen | Waldstücke 9.9.1978. T1. 4. L 25/177 |
| 68 | Waldstücke | 25 m südlich von der Kordatacke das nördliche | die umgebenden Basaltgipfen | Waldstücke 9.9.1978. T1. 4. L 25/177 |
| 69 | Waldstücke | 25 m südlich von der Kordatacke das nördliche | die umgebenden Basaltgipfen | Waldstücke 9.9.1978. T1. 4. L 25/177 |
| 70 | Waldstücke | 25 m südlich von der Kordatacke das nördliche | die umgebenden Basaltgipfen | Waldstücke 9.9.1978. T1. 4. L 25/177 |
| 71 | Waldstücke | 25 m südlich von der Kordatacke das nördliche | die umgebenden Basaltgipfen | Waldstücke 9.9.1978. T1. 4. L 25/177 |
| 72 | Waldstücke | 25 m südlich von der Kordatacke das nördliche | die umgebenden Basaltgipfen | Waldstücke 9.9.1978. T1. 4. L 25/177 |
| 73 | Lichten-Rader | Weg zur Gletschermühle | die umgebenden Basaltgipfen | Waldstücke 9.9.1978. T1. 4. L 25/177 |
| 74 | Waldstücke | 20 m südlich vom Schloss Feldberg | die umgebenden Basaltgipfen | Waldstücke 9.9.1978. T1. 4. L 25/177 |
| 75 | Waldstücke | Waldstücke T22 | die umgebenden Basaltgipfen | Waldstücke 9.9.1978. T1. 4. L 25/177 |
| 76 | Waldstücke | Waldstücke T22 | der Spurenkreis ist unverändert zu erhalten | Waldstücke 9.9.1978. T1. 4. L 25/177 |
| 77 | Waldstücke mit Wurzelchen | Waldstücke T22 | die unveränderte Waldstücke wurden erhalten | Waldstücke 9.9.1978. T1. 4. L 25/177 |

| Nummer | Beschriftung | Geographische Orientierung Koordinatenangabe, Raumcode Nr. | Landesbezeichnung nach letzten Geländeplänen Bodenrichtung, Richtung, Entfernung u. Zahl | Geographische Orientierung Koordinatenangabe Raumcode Nr. | Landesbezeichnung | Geographische Orientierung Koordinatenangabe Raumcode Nr. |
|--------|---------------------------------|--|---|---|---|---|
| 1 | - | - | - | - | - | - |
| 78 | Stieflesche | Hollenberg Raumcode 334 | im Wald, ca. 170 m östlich von Kaindorf | ca. 400 m südwestl. Waldrand ist unmittelbar in Ortsraum | Beschreibung mit Objekt- nr. 20-2-1979, QF R. L. 31/77 | Beschreibung mit Objekt- nr. 25-8-1979, QF R. L. 32/77 |
| 79 | Plankofen | Hollenberg Raumcode 334 | ca. 110 m nordöstlich von Kaindorf | ca. 400 m südwestl. Waldrand ist unmittelbar zu erheben | Beschreibung mit Objekt- nr. 20-3-1979, QF R. L. 33/79 | Beschreibung mit Objekt- nr. 20-3-1979, QF R. L. 34/79 |
| 80 | Steinmeier | Hollenberg Raumcode 334 | 25 m nordöstlich der Gaststätte, auf weg vom Schindl zur Bundesstraße 40 m von obem Waldrand | - | - | - |
| 81 | Gleiswiese | Hollenberg Raumcode 334 | 20 m nördlich der Gaststätte, an Heg vom Schindl zur Bundesstraße 40 m von oberem Waldrand | - | - | - |
| 82 | Gleiswiese | Hollenberg Raumcode 334 | 15 m nördlich der Gaststätte, zwischen Gaststätte und Weg, 10 m von oberem Waldrand | im Bereich der Gaststätte zu unterscheiden | Beschreibung mit Objekt- nr. 20-3-1979, QF R. L. 35/77 | Beschreibung mit Objekt- nr. 20-3-1979, QF R. L. 35/77 |
| 83 | Stielwiese | Hollenberg Raumcode 334 | 37 m östlich von der Bundes- straße nach Südosten auf einem Wiesen, 150 m südlich von der Al- tenquelle aus nahebei Bettlängg | im Bereich der Gaststätte zu unterscheiden | Beschreibung mit Objekt- nr. 20-3-1979, QF R. L. 35/77 | Beschreibung mit Objekt- nr. 20-3-1979, QF R. L. 35/77 |
| 84 | Minzlinde | Grenzübergang Raumcode 334 | 2 m südlich der direkten östel- dorflinie, 7 m südlich der Pflanzenspalte | Ungefähr im Bereich der Kernrohrschluchten an- nähernd gleichzeitig der Flug- liniakapelle | Ungefähr im Bereich der Kernrohrschluchten an- nähernd gleichzeitig der Flug- liniakapelle | Ungefähr im Bereich der Kernrohrschluchten an- nähernd gleichzeitig der Flug- liniakapelle |
| 85 | Winterrinde | Grenzübergang Raumcode 334 | ca. 30 m südlich der Straße "Grazer" der Friedhofstrasse, 100 m östlich der Pflanzenspalte | im Uftrand des Kernrohrschluch- teneinzugs | Beschreibung mit Objekt- nr. 20-3-1979, QF R. L. 35/77 | Beschreibung mit Objekt- nr. 20-4-1979, QF R. L. 35/78 |
| 86 | Grenzlinie | Auß. Raumcode Raumcode 425/1 | ca. 30 m südlich d. Straße "Grazer", Friedhofstrasse, Eisenachstrasse Regio 1, d. Wiese zwischen w. 2. Nachk. q. V. 2. - Grasbach, am Südauwall d. eis- ten Tiefgrabenprofile, westlich d. Quell- bildot. d. Höhnes d. Grubew. | geschrumpft im Gebiet, Enden und Ränder, die Flächen im Uftrand v. 15 m von den Quellschluchten, im Nordau- wall d. Höhnes d. Grubew. | Beschreibung 43-5-1970 | Beschreibung 43-5-1970 |
| 87 | Winterrinde der Eisenbach | Ried | ca. 110 m südlich der Straße (die d. Eisenbach direkt überdeckt zu sein scheint) und Höhe | die Feinspartien in beiden Gebieten des reellen und fre- länder oberir. Volumen-, das in einem Querschnitt von 15 m breit vornehmlich verloren oder vorhanden befindet | Beschreibung 43-5-1970 | Beschreibung 43-5-1970 |

| Nummer | Bemerkung | Geometrische (Längen), Winkelangaben je Fazies Nr. | Lagebeschreibung nach Fundort/Gesteinspunkten Fluhrichtung, Entfernung u. opt. Fazies | Entfernung von Fundort bis Gesteinspunkt opt., eigentlich bestimmt | Bestimmung | Bestimmungsgrund |
|--------|---|--|--|---|------------|------------------|
| 4 | | 3 | 4 | | | |
| 6.1 | Exkavationsraum | Grenzunlösbar Grenzunlösbar 953 | In N. westsüdwestlich des Ortszentrums, ca. 50 m westnordwestlich der Straße Schwanberg-Gusauhaus, etwa 100 m Südosten-Durch. | ca. 100 m westsüdwestlich des Grenzunlösbar-Wilige Kirschenholz, ca. 20 m östlich der Straße Schwanberg-Gusauhaus, auf der sog. Boden-Durch. | | |
| 6.9 | Exkavationsraum | Grenzunlösbar Grenzunlösbar 1979 | 600 m nordnordwestlich des Grenzunlösbar-Wilige Kirschenholz, ca. 20 m östlich der Straße Schwanberg-Gusauhaus, auf der sog. Boden-Durch. | ca. 600 m westsüdwestlich des Grenzunlösbar auf dem Dorfplatz im Gutswirt | | |
| 7.0 | Sauerländin | Ostwestliche Grenzunlösbar 1062 | ca. 100 m südöstlich des Grenzunlösbar-Parkplatz und südlich auf dem Dorfplatz im Gutswirt | | | |
| 7.1 | Sauerländin | Ostwestliche Grenzunlösbar 719/1 | ca. 500 m östlich des alten wohn- hauses, 125 m nördlich des Gutswirtes, Südostseite | ca. 300 m östlich des Grenzunlösbar-Parkplatz und südlich auf dem Dorfplatz im Gutswirt | | |
| 7.2 | Waldlärer | Ostwestliche Grenzunlösbar 100 | ca. 100 m östlich des Grenzunlösbar-Parkplatz und südlich auf dem Dorfplatz im Gutswirt | | | |
| 7.3 | Wasserfall et. das Hausmeier-Einh | Grenzunlösbar Felsen, Oberfrüh 246/3 Waldlärer, Amm 252/1 | beginn bei der Wulke Ober-Sie- weiß Seite th. Ost. 1000 m Süd- | | | |
| 7.4 | Fichten | Grenzunlösbar Felsen 172 | bei km 19/0 rechte von der Straße Stainz-Hainbach direkt ca. 180 m westlich von Ende des Fornungsgr. | | | |
| 7.5 | Fichten | Grenzunlösbar Felsen 16/1 | ca. 50 m nordnordwestlich der Straße Fichten-Felsen, bei km 11-12 ca. 10 m östlich von einer Kiesw. | | | |
| 7.6 | Waldlärer | Grenzunlösbar Felsen 252/4 | ca. 250 m nordwestlich des Hauses Waldlärer, südlich des Grund- stückes # 22, knapp östlich ei- genen Hofs | | | |
| 7.7 | Fichten | Grenzunlösbar Felsenradi 104 | ca. 10 m nordöstlich des Hauses Kies- w. # 3 | | | |

| Nr. | Berechnung | Geometrische Orientierung, Katalognummer, Bereich-Nr. | Lagebeschreibung nach letzten Gemarkungs- und Raumplanungen, Gefördert w.-sp? | Abweichen vom Fundort (Neuerung) | | Bemerkungen | Lagebeschreibung |
|-----|--------------------|--|---|--|---|--|------------------|
| | | | | 1 | 2 | | |
| 90 | Rechte | Abt. 1 St. Leopoldsdorf 146 | SP im nordwestlichen Teil des Weing. Baumgarten | Im Bereich der Kreisstrasse | | Beschreibung BH DIN 15-3, 1576, §1, § A-3/ 1977 | |
| 99 | Winkelrichtung | Bundesstraßenabsatz Würbeling 32 | östlich des Hauses Stadtwaldweg- straße 7, 65 m von der Schwan- bergerstraße entfernt | 16 m öst. Bundesstraßenabsatz, gegenüber vom Strand d. Bermon- | | Beschreibung BH DIN 15-3, 1576, §1, § B-3/ 1978 | |
| 100 | Extr. Extr. | Schwarzenbach Schwanden 257 | nordöstlich des Wohnhauses Klechongasse 12, 15 m von der Kirchhofallee | Im Bereich der Kreisstraße Extralit | | Beschreibung BH DIN 15-3, 1576, §1, § C-3/ 1978 | |
| 101 | Extrin | Unterschlundberg Sulz Laufensegg Sulz 145/6 | ca. 40 m oberhalb des Hauses Grosch an der südöstlichen Autoseite unter Sulz d. Bermon- | im Bereich der Kreisstraße bis auf eine kleine Fläche ist der Aufschluss zu ent- fernen | | Beschreibung BH DIN 15-3, 1576, §1, § D-3/ 1978 | |
| 102 | Extrinaria | Unterschlundberg Sulz Laufensegg Sulz 145/6 | Unterschlundberg Sulz Laufensegg Sulz 145/6 | im Bereich der Kreisstraße ausser vom der Frane-Groß-Haus- straße, 30 m von der Gedenktafel stark abweichen | | Beschreibung BH DIN 15-3, 1576, §1, § E-3/ 1978 | |
| 103 | Extrinaria | Unterschlundberg Sulz Laufensegg Oberlaufensegg 145/6 | Unterschlundberg Sulz Laufensegg Oberlaufensegg 145/6 | in der Abweichung des Winkels wegen der Frane-Groß-Haus- straße unterschiedlich | | Beschreibung BH DIN 15-3, 1576, §1, § F-3/ 1978 | |
| 104 | Winkelrichtung | Westlichsteinsdorf Marktlücke 246/1 | 230 m südöstlich des kleinen Wig. Clement Thummel war hier ein der Wig.-Gasse, unten Kapelle | im Bereich der Kreisstraße Lücke und die damals stehende Kapelle | | Beschreibung BH DIN 15-3, 1576, §1, § G-3/ 1978 | |
| 105 | Weitwinkelrichtung | St. Oswald A.-Piel. Eisenerzlinie 149/4 | 230 m nordöstlich der Hordest- straße des Ganttauses Tristauer | Winkel der Kreisstraße und Palau nutzen den Berg- abhang | | Beschreibung BH DIN 15-3, 1576, §1, § H-3/ 1978 | |
| 106 | Weitwinkelrichtung | Winkelrichtung Südosten 45 W. 44/1 | ca. 50 m südwestlich des unan- gebauten Wig. Durchgangs | im Bereich der Kreisstraße | | Beschreibung BH DIN 15-3, 1576, §1, § I-3/ 1978 | |

6.1.4 Geschützte Landschaftsteile nach § 11 NaschG 1976

LT 1: Teile des Saubaches zum Schutze der Gelben Teichrose

Gesetzliche Grundlage ist die "Verordnung der Bezirkshauptmannschaft Deutschlandsberg über die Erklärung eines Teiles des Saubaches samt Uferstreifen zum geschützten Landschaftsteil (Bestandsschutzgebiet für die Gelbe Teichrose, *Nuphar luteum*)"; GZ.: 7W3/6-1966, veröffentlicht in der Grazer Zeitung, Stück 46 vom 17. November 1967.

Die Umgrenzung ist in Abb. 3 ersichtlich.

Im geschützten Landschaftsteil sind alle Handlungen und Maßnahmen zu unterlassen, die geeignet sind, den Bestand der Gelben Teichrose zu gefährden oder zu verringern. Insbesondere ist es verboten, diese Pflanze zu entnehmen, den Bachlauf und seine Wasserführung oder die Bodengestaltung der geschützten Uferstreifen zu ändern, Tümpel zuzuschütten und Kahlschlägerungen des Uferstreifens vorzunehmen.

LT 2: Legföhrenbestand auf der Freiländer Alm

Gesetzliche Grundlage ist die "Verordnung der Bezirkshauptmannschaft Deutschlandsberg über die Abgrenzung des geschützten Landschaftsteiles 'Legföhrenbestand auf der Freiländer Alm'"; GZ.: 7W2/9-66 vom 21. November 1967, veröffentlicht in der Grazer Zeitung, Stück 17 vom 26. April 1968.

Die Umgrenzung ist in Abb. 4 ersichtlich.

Im Schutzgebiet sind alle Handlungen zu unterlassen, die geeignet sind, den Legföhrenbestand auf dem bestehenden Hochmoor zu gefährden. Solche Handlungen sind insbesondere: Jede Änderung und nachhaltige Beeinträchtigung des Wasserhaushaltes, die Änderung der Bodengestaltung, die Aufforstung sowie die Entnahme von Legföhren und Moosen.

Die Nutzung der natürlich aufgetretenen Fichten ist erlaubt. Die regelmäßige Ausübung der Jagd bleibt unberührt.

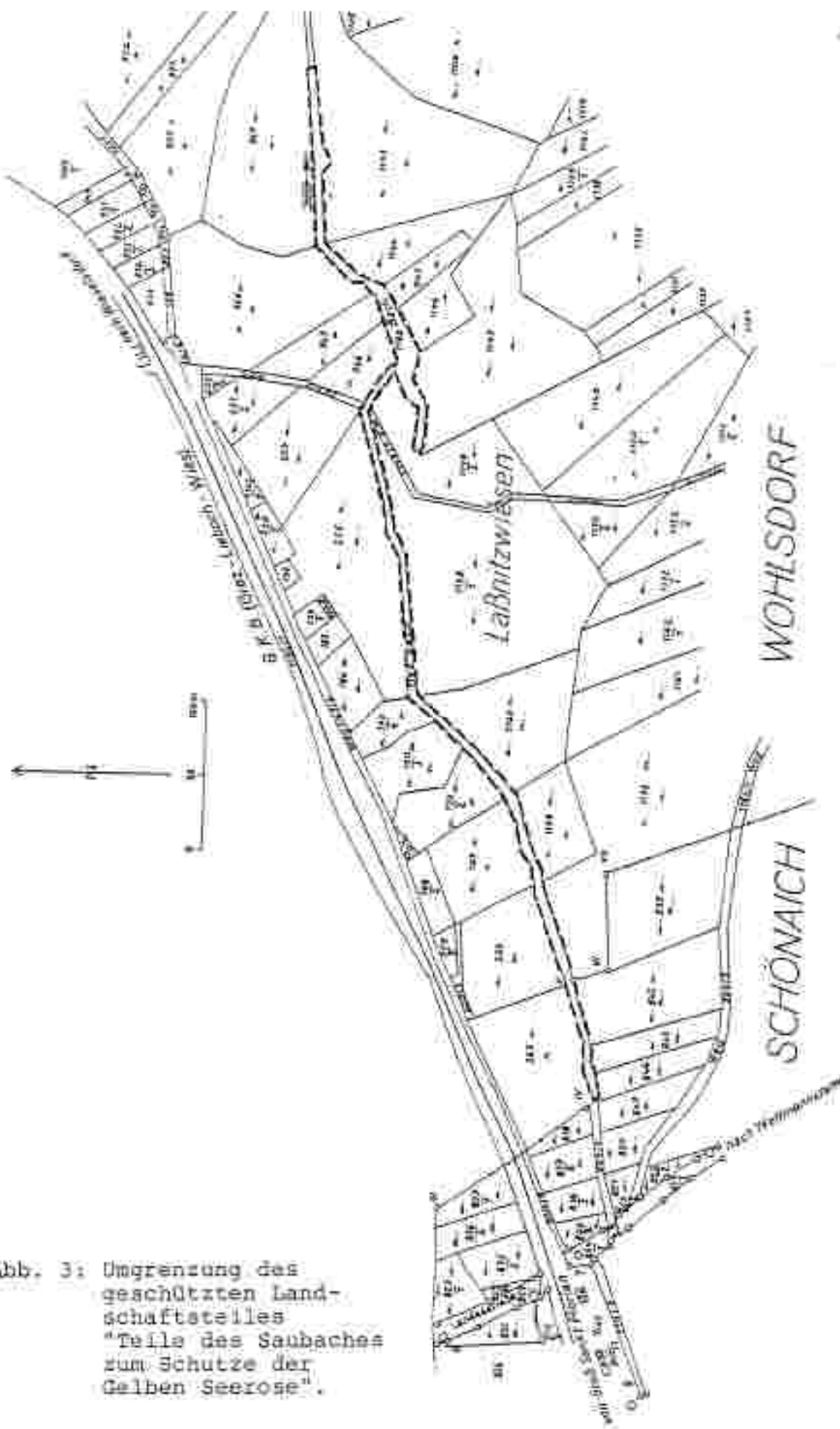


Abb. 3: Umgrenzung des geschützten Landschaftsteiles
"Teile des Saubaches zum Schutze der Gelben Seerose".

Anlage zur Verordnung der Bezirkshauptmannschaft Deutschlandsberg vom 21. November 1967.
GZ.: F.K. 2/6-60

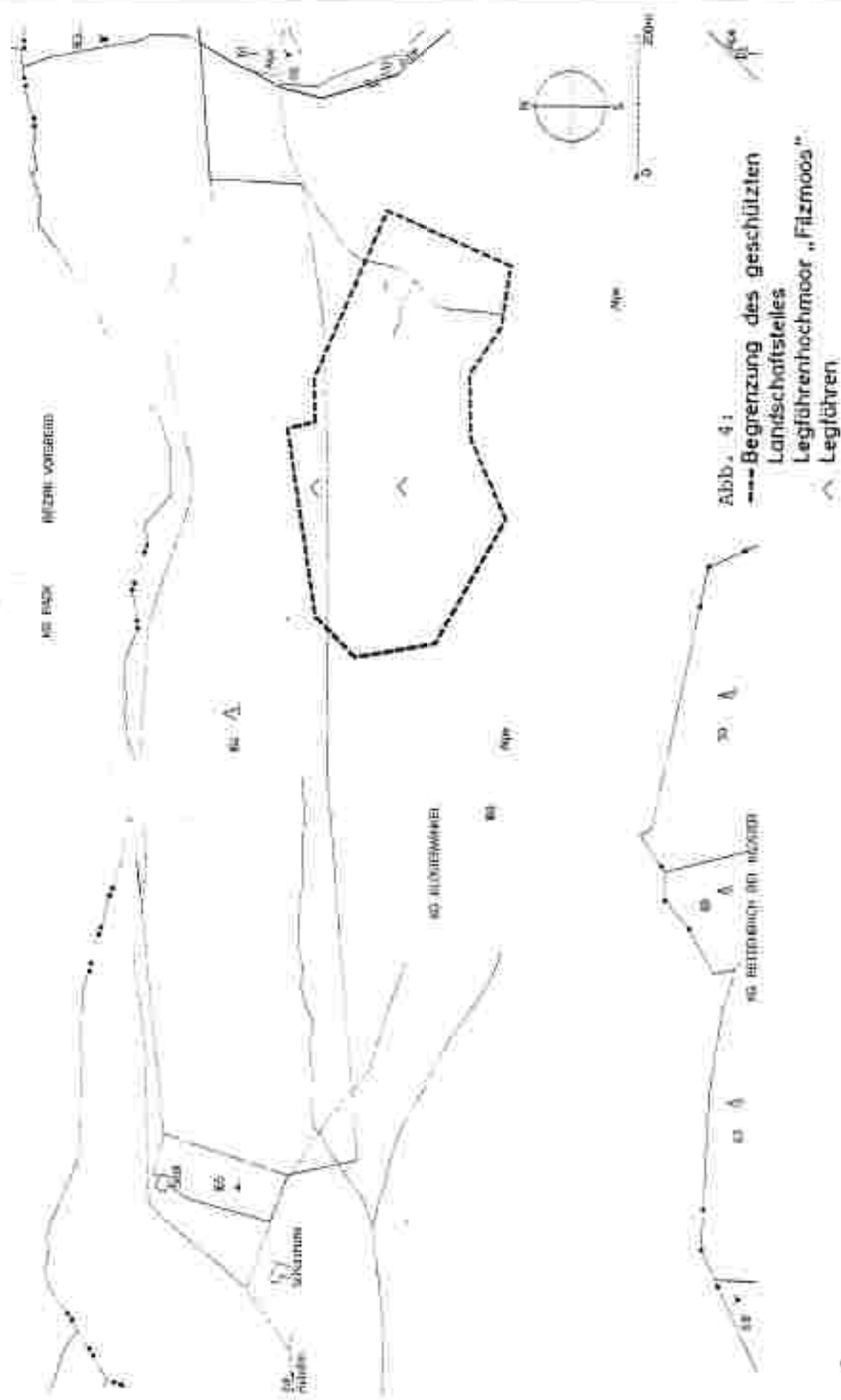
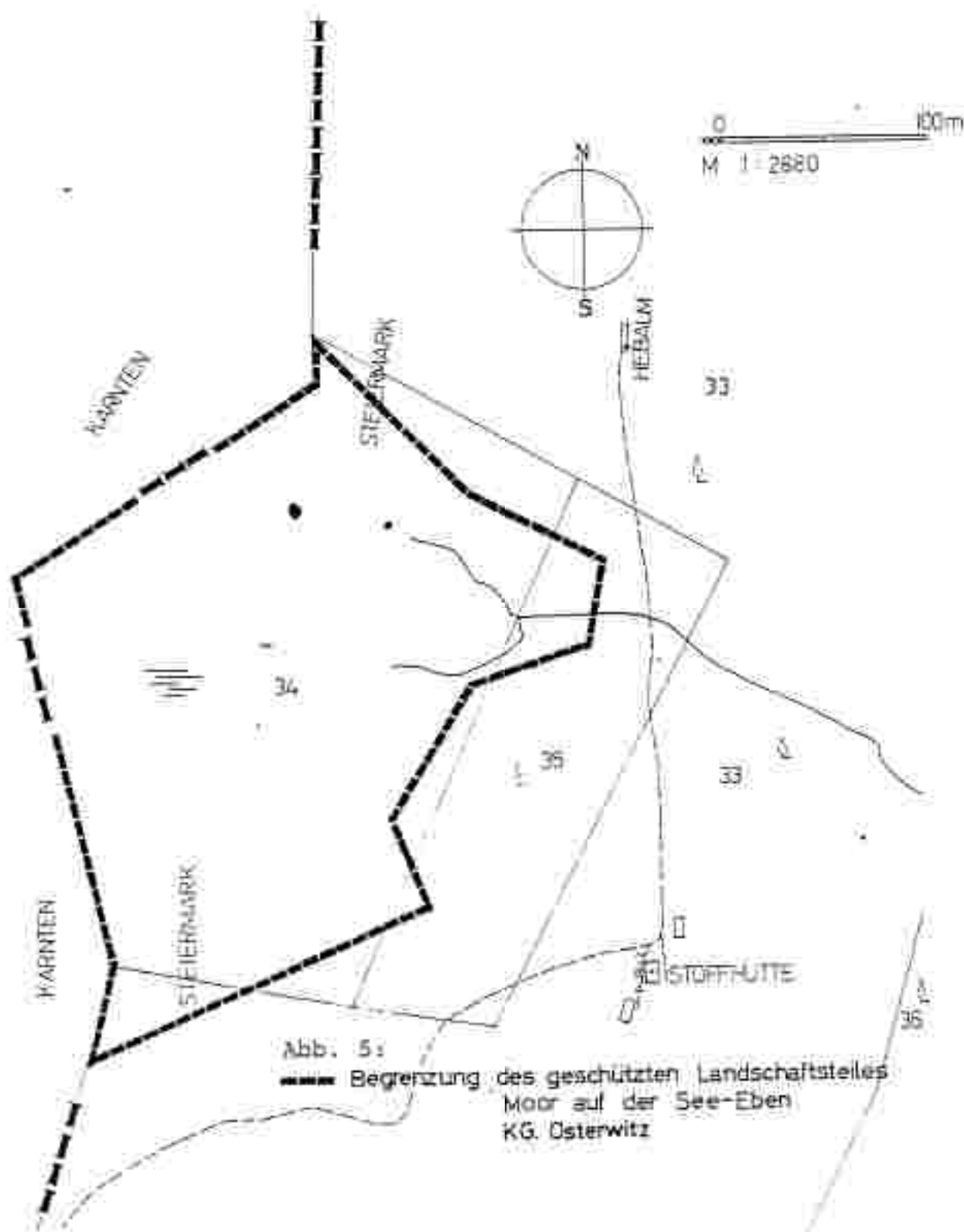


Abb. 4:
→ Begrenzung des geschützten
Landschaftsstelles
Legföhren
△

Anlage zur Verordnung der BH. Deutschlandsberg vom 23. April 1968, GZ. 7 H. 17-1968.



LT 3: Moor auf der See-Eben

Die gesetzliche Grundlage ist die "Verordnung der Bezirkshauptmannschaft Deutschlandsberg über die Erklärung des Moores auf der See-Eben zum geschützten Landschaftsteil (Pflanzenbestandschutzgebiet)"; GZ.: 7H1/7-1968 vom 23. April 1968, veröffentlicht in der Grazer Zeitung, Stück 25 vom 21. Juni 1968.

Die Umgrenzung ist in Abb. 5 ersichtlich.

In diesem Gebiet sind alle Handlungen und Maßnahmen zu unterlassen, die geeignet sind, den Pflanzenbestand des Moores zu gefährden oder zu schädigen. Insbesondere ist es verboten, Pflanzen oder Teile davon zu entnehmen, den Wasserhaushalt des Moores zu ändern, Bodenbestandteile abzubauen und Schutt oder Müll abzuladen.

LT 4: Parkanlage in Schwanberg

Die gesetzliche Grundlage ist der Bescheid der Bezirkshauptmannschaft Deutschlandsberg vom 23.7.1977 über die Erklärung einer Parkanlage in Schwanberg; GZ.: 6 Sch 3/77 vom 23. Juli 1977.

Das Schutzgebiet umfasst Teile der Parzellen 1395/1 und 1396/1 der KG Schwanberg. Die Umgrenzung ist in Abb. 6 ersichtlich.



Abb. 6: Umgrenzung des geschützten Landschaftsteiles "Parkanlage in Schwanberg".

Der geschützte Landschaftsteil ist in der derzeitigen Form zu erhalten; das Erscheinungsbild darf nicht beeinträchtigt werden. Die Entfernung oder Beschädigung der Bäume oder eine sonstige Änderung der Parkanlage ist verboten. Als Änderung gilt auch das Ausasten oder Abbrechen von Zweigen, das Verletzen des Wurzelwerkes oder jede sonstige Störung des Wachstums der Bäume, insofern es sich nicht um Pflegemaßnahmen handelt.

Gebäude dürfen auf der Fläche, auf welcher sich der Baum- und Strauchbestand befindet, nicht errichtet werden. Da jedoch das innerhalb des geschützten Landschaftsteiles stehende Wohnhaus baufällig ist und in der derzeitigen Form nicht erhalten werden kann, fällt ein Umbau oder Neubau nicht unter die einschränkenden Bestimmungen dieser Vorschriftung. Ein Neu- oder Umbau des bestehenden Hauses ist daher erlaubt, doch hat dies so zu geschehen, daß die auf dem geschützten Landschaftsteil bestehenden Bäume keinen Schaden erleiden.

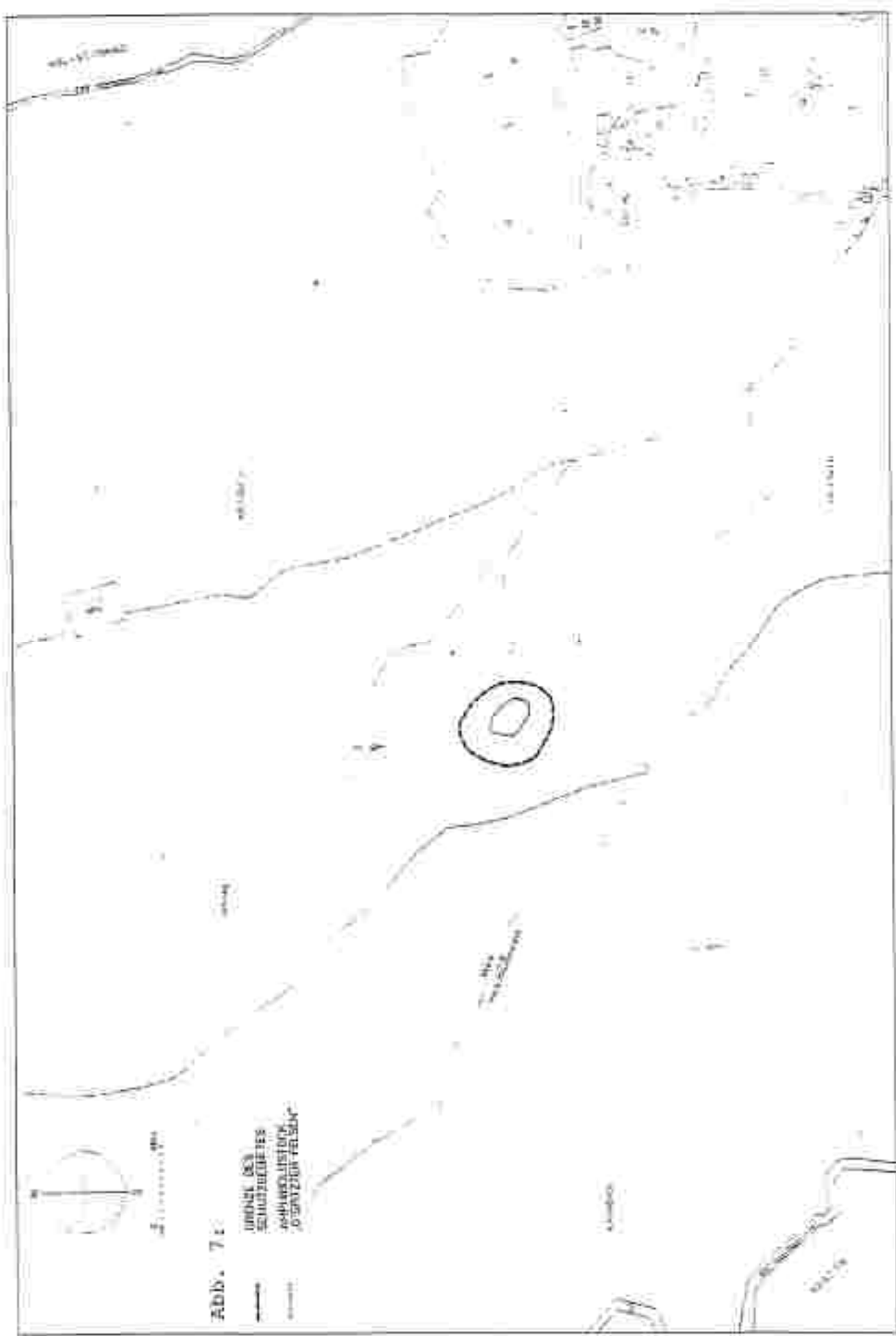
LT 5: G'spitzer Felsen

Die gesetzliche Grundlage ist die "Verordnung der Bezirkshauptmannschaft Deutschlandsberg über die Erklärung des "g'spitzten Felsens" in Krumbach zum geschützten Landschaftsteil (charakteristisches Felsgebilde und Bestandsschutzgebiet für Pflanzen)", GZ.: 7E2/3-1969 vom 6. März 1969, veröffentlicht in der Grazer Zeitung, Stück 44 vom 31. Oktober 1969, wiederverlautbart mit Bescheid der Bezirkshauptmannschaft Deutschlandsberg vom 8.2.1979, GZ.: 6 Ga 2/78.

Die Umgrenzung ist in Abb. 7 ersichtlich.

Im geschützten Landschaftsteil sind alle Handlungen und Maßnahmen zu unterlassen, die geeignet sind, den Pflanzenbestand sowie den Felsen selbst zu schädigen oder zu gefährden. Insbesondere ist es verboten, Pflanzen zu entnehmen sowie die Bodengestaltung zu ändern.

Anlage zur Verordnung der Bezirkshauptmannschaft Deutschlandsberg vom 6. März 1909, GZ. 7 K 205-1909



6.2 Schutz- und Schongebiete für kommunale Wasserversorgungsanlagen und Heilquellen nach dem Wasserrechtsgesetz

Als rechtliche Grundlage kommt das Wasserrechtsgesetz 1959, BGBl. Nr. 215 (WRG 1959) in der Fassung des BGBl. Nr. 207/1969 zur Anwendung.

WG 1: Michelquellen in Gams ob Frauenthal

Die gesetzliche Grundlage bildet die "Verordnung des Landeshauptmannes von Steiermark vom 7. Juni 1957, womit ein Schutzgebiet für die auf der Grundparzelle Nr. 238 der KG, Gams ob Frauenthal, Ortsgemeinde Gams ob Frauenthal, gelegenen Michelquellen im Sinne des § 33 Abs. 1 des Wasserrechtsgesetzes vom 19. Oktober 1934, BGBl. II, Nr. 316, in der Fassung der Wasserrechtsnovelle 1947, BGBl. Nr. 144/1947, festgelegt wird"; Landesgesetzblatt Nr. 36 vom 19. Juni 1957.

Die Umgrenzung des Schutzgebietes ist der Beilage 5 zu entnehmen.

Im Schutzgebiet ist für Grabungen unter den Grundwasserspiegel des Grünbachs, ferner für Bohrungen, Sprengungen und Bauführungen jeder Art, für die Fassung von Quellen, Erschließung und Ableitung von Grundwasser neben der nach anderen Vorschriften etwa erforderlichen Genehmigung auch die wasserrechtliche Bewilligung des Landeshauptmannes einzuholen.

WG 2: Steinzer Johannesquelle

Die gesetzliche Grundlage bildet die "Verordnung des Landeshauptmannes von Steiermark vom 10. Oktober 1959 über die Festsetzung eines Schutzgebietes für die auf Bauparzelle Nr. 37, KG. Trog, EZ. Nr. 64, Gemeinde Trog, gelegene Steinzer Johannesquelle"; Landesgesetzblatt Nr. 91 vom 9. November 1959,

Die Umgrenzung des Schutzgebietes ist der Beilage 5 zu entnehmen.

Innerhalb des Schutzgebietes ist für Bohrungen und Sprengungen, Bauausführungen aller Art, die Fassung von Quellen sowie die Erschließung, Abisitzung oder Benützung von Grundwasser, die Anlage von neuen und die Erweiterung bestehender Steinbrüche, die Errichtung von Tankstellen und Lagern für Treibstoffe und andere nicht abbaufähige Stoffe wie Phenole und Chresole sowie die Errichtung von Betriebsstätten, in welchen solche Stoffe verarbeitet werden, neben der nach anderen Vorschriften etwa erforderlichen Genehmigung auch die wasserrechtliche Bewilligung des Landeshauptmannes einzuholen.

WS 3: Ganser St. Hubertusquelle

Die gesetzliche Grundlage bildet der "Bescheid des Amtes der Steiermärkischen Landesregierung, GZ.: 3-348 Ga 133/2-1961 vom 30. Jänner 1962; Bewilligung zur Benützung der Ganser St. Hubertusquelle".

Die Umgrenzung des weiteren Schutzgebietes ist der Beilage 5 zu entnehmen.

In diesem Bereich ist die Anlage von Sand-, Schotter- und Lehngruben, die Errichtung von Tankstellen und sonstigen Mineralöllagern unzulässig. Sauführungen und Grabungen, die über das gewöhnliche in der Landwirtschaft notwendige Maß hinausgehen, bedürfen einer gesonderten Bewilligung der Wasserrechtsbehörde. Gewöhnliche Erhaltungs- und Instandsetzungsarbeiten an den öffentlichen Straßen und Wegen im Weiteren Schutzgebiet sind hiervon ausgenommen.

7. ALPHABETISCHE LISTE DER FACHAUSDRÜCKE MIT ERLÄUTERUNGEN

ACHSE (PALTEBACHSE):

Gedachte Linie, um welche die Auseinanderdrift einer Palte erfolgte.

AKKUMULATION:

Bezeichnung für Vorgang und Produkt der Anlagerung von Sedimenten. Meist gebraucht bei stärker artlicher Anhäufung.

ANSTEHENDER FELS:

Geesteinsuntergrund in weitgehend ursprünglicher Beschaffenheit unterhalb jüngerer Bedeckung.

ANTIKLINALE:

Falte mit nach unten divergierenden Schenkeln - geologischer Sattel

ARTESISCHER BRUNNEN:

In gespanntes Grundwasser geführter Brunnen, aus dem das Wasser selbstständig zu Tage läuft. Das Wasser erhält seinen Überdruck dadurch, daß der Grundwasserleiter zwischen un durchlässigen Schichten liegt und der Entnahmepunkt tiefer liegt als der freie Grundwasserspiegel im Wasserspeicherkörper.

AU:

Talbödenfläche

AUF SCHLUSS, GEOLOGISCHER:

Stelle der Erdoberfläche, an der sonst von Pflanzen oder Bodenbildung bedecktes Gestein unverhüllt sichtbar tritt.

BADEN:

Zeitstufe des Miozän in der zentralen Paratethys, s. Tertiär

BECKEN:

Meist mit Sedimentmassen gefüllte Senke mit verschieden geformten Umrissen, häufig entstanden durch tektonische Vorgänge.

BENTONIT:

Tongestein vulkanischer Herkunft, das als charakteristisches Bestandteil das Mineral Montmorillonit enthält.

BERGSTEG:

Dünne, tonige Belege auf Kluftflächen.

BODENKUNDE:

- Pedologie, Wissenschaft, die sich mit der Untersuchung des Zustandes, der Veränderung und Verbesserung der Verwitterungsdecke der Erdkruste (= Boden) befaßt.

BRACKISH:

Bezeichnung für den Grenzbereich süß-salzwasser: Gesalztheitgehalt 1,0 - 3,0 %.

BRECCIE (BREKZIE):

verfestigtes Trümmergestein, dessen Komponenten eckig-kantig ausgebildet sind.

DECKE:

Eine tektonische Decke ist ein von seiner ursprünglichen Untergesteinlage abgesetzter Gesteinskörper von größerer (regionaler) Ausdehnung, der in einem geöffneten, ein Vielfaches seiner Dicke ausmachenden Setting auf seine heutige Unterlage transportiert ("überschoben") worden ist. Dabei ist der innere Gesteinskörperzusammensetzung der Decke im wesentlichen erhalten geblieben.

DELLE:

Muldenförmiger Talanfang ohne Kerinne

DELTA:

Ablagerung der mechanischen Fracht eines Flusses beim Einmünden in ein größeres Wasserbecken (See, Meer) infolge der plötzlichen Stromungsverminderung des Wassers an dieser Stelle.

DETritus:

Verreibsel tierischer und pflanzlicher Gewebe, oft vermengt mit feinem anorganischem Material.

DEVON:

Zeiteinheit des Paläozoikums (s.d.)

DIAPHTHORESE:

Vorgang rückwärtsrichtender Metamorphose (s.d.), meist verbunden mit kräftiger tektonischer Deformation.

DIAPHTHORIT:

Durch Diaphthoresse (s.d.) entstandenes Gestein.

DISKORDANZ:

Bei Sedimentgesteinern das winkelige Absetzen der Schichten eines Gesteinskörpers gegenüber denjenigen seines Hängenden bzw. Liegenden (Winkeldiskordanz), bei Magmakörpern, Gängen, Gletscherdecken, usw. das winkelige, unregelmäßige Durchsetzen des Nebergesteins.

EINFALLEN:

Neigungswinkel einer Ebene (z.B. Schicht- oder Bruchfläche) zur Horizontalen.

EISZEIT:

Abschnitt der Erdgeschichte, in dem infolge entsprechenden Klimas (ab sinkende Temperaturen und Vermehrung der Niederschläge) größere Gebiete der Erdoberfläche von vorrückenden Gletschern und Inlandeismassen bedeckt waren.

EOZÄN:

Zeitperiode des Alttertiär

EPIGENETISCHER DURCHBRUCH:

Durchbruchsstrecke, die durch Verwitterung und Wiederausführung eines alten Reliefs entsteht.

EPIZONE

Überste der drei Tiefenstufen der Regionalmetamorphose (relativ geringe Temperaturen und gerichteter Druck), charakteristisches Gestein: Phyllit.

EROSION

Die austrocknende und einschlammende Wirkung fließenden Wassers in Abhängigkeit von der Wassermenge, dem Gefüge der Widerstandsfähigkeit der Gesteine, dem mitgeführten Gesteinsmaterial und der Turbulenz des Wassers.

FAZIES

Ablagerungsumilieu, Gesteinsassoziation, Bezeichnung für den Habitus, den ein Sediment bei seiner Bildung erhalten hat. Der Begriff fasst die aus Sediment- und Fossilinhalt erkennbaren Bildungsbedingungen des Gesteinskörpers und seines Sedimentsraums.

FENSTER

In einer tektonischen Senke oder einem Deckensystem vorhandene Lücke, in der die Unterlage der Decke sichtbar wird (Entstehung meist durch Erosion).

FLEXUM

s-förmige Schichtenverbiegung ohne Bildung größerer Bruchfugen.

FLUZ

bergm. Ausdruck, = Gesteinsschicht, die wirtschaftlich wichtige Stoffe enthält oder fast gänzlich aus ihnen besteht (Kohle-, Salz-, Erz-Fuze, u.a.m.).

FLUHABSTAND

Vertikaler Abstand des Grundwasserspiegels von der Geländeoberfläche.

FLUVIATIL

Durch einen Fluss ausgearbeitet, fortgetragen, abgelagert oder umgesetzt.

FURMINIFER

Überwiegend marine, einzellige Tiere mit ein- oder mehrkammerigem Gehäuse aus Tektin, Kieselalüre, Kalk oder agglutinierten Fremdkörpern.

FOSSILIEN

Häute von Tieren und Pflanzen der geologischen Vergangenheit, meist die versteinigungsfähigen Hartteile betreffend.

FRITTE

t.t. mit Schmelzung verbundene Menge von Sand- und Tonsteinen in Formen der Kontaktmetamorphose.

GANG

Spaltenfüllung im Gestein

GANGLINI

Diagramm, das die Schwankungen des Grundwasserspiegels an einer Stelle ausweist.

GERÜGE

Der innere Bau eines Gesteins (Struktur, Textur).

GEOLOGIE

- die Wissenschaft, die durch Untersuchung der durch natürliche oder künstliche Aufschlüsse zugänglichen Teile der Erdkruste mit ihren Gesteinen, deren Lagerungs- und Umwandlungsvorrichtungen, sowie ihrem Fossilinhalt versucht, ein Bild von der Geschichte der Erde und des Lebens zu entwerfen.

GEOLOGISCHE KARTIERUNG

Planielles, konsequente Erfassung aller geologischen Gegebenheiten eines Gebietes durch Geländeuntersuchungen und Festhalten der Ergebnisse auf einer topographischen Karte gewissen Maßstabes.

GEOPHYSIK

i.e.s. Physik der festen Erde. Sie beschäftigt sich mit der Schwerkraft, den seismischen, thermischen, magnetischen und elektrischen Erscheinungen der Erde und dem physikalischen Aufbau des Erdinneren.

GEROLL

Durch bewegtes Wasser transportiertes, mehr oder weniger gerundetes Gesteinsbruchstück.

GESTEINSLEICHE

Stark verwittertes, beim Anschlag zerbrechendes Geroll.

GLANZKOHLE

Bezeichnung für besonders innolithische, dichte, splitterig brechende Braunkohle.

GLAZIM

Eiszeitlich; durch Gletscher geschaffene Formen bzw. Sedimente.

GOSAU

Nach Gosau in Oberösterreich, Schichtengruppe und Zeitschicht der Oberkreide.

GRUBENMASS

Begriff des österreichischen Berggesetzes. Umfaßt ein ebenes Rechteck von 40.000 m², in dem der Bergwerksbetrieb zur ausschließlichen Gewinnung bestimmter Bodenschätze berechtigt ist.

GRUNDWASSER

Wasser, das infolge Versickerung von Niederschlägen aller Art und Versickerung oberirdischer Gewässer in Gesteinsräume eindringt und dort Hohlräume (Poren, Spalten, usw.) zusammenhängend ausfüllt.

GRUNDWASSERSOHLA

Die einen Grundwasserkörper nach unten abgrenzende Fläche = unter Oberfläche einer wassertrüben Gesteinsschicht.

GRUNDWASSERSPIEGEL

Obergrenze des Grundwasserkörpers.

HANGENDES

bergm. Ausdruck, - das eine Beton- schicht überliegende Gestein.

MÖLDZAN

Geol. Zeitspanne von ca. 19000 v.H. bis zur Gegenwart

HYDROGEOLOGIE

= Zweig der angewandten Geologie, der sich mit dem Wasserhaushalt der verschiedenen Gesteinsverbände und der Möglichkeit der Wassergewinnung aus diesen befasst.

HYDROLOGIE

= Lehre von Wasser, seinen Arten, Eigenschaften und seinem praktischen Verwendung.

INFILTRATION

Einfliessen oder Eindringen

INGRESSION

Langsamtes Vordringen des Meeres in festländische Räume.

INTERMITTIERENDE QUELLE

Quelle mit schwankender bzw. zeit- weise aussetzender Schüttung.

KALEDONISCH

Gebirgsbildungsphase des Altpaläo- zäums

KAR

Von einem Gletscher geformte, hirschenartige Hochform mit steilen Rück- und Seitenwänden, einem flachen Kegelboden und oft einer aus Schutt oder festem Eis aufgebauten Karschwelle nach der Talsohle.

KARBON

Zeiteinheit des Paläozäums (s.u.)

KARBONATISCH

Salze der Kohlensäure, in der Natur sehr häufig als Calciumkarbonat (CaCO_3 , - Kalkepet, Calxit) und Calciummagnesiumkarbonat ($\text{CaMg}(\text{CO}_3)_2$, Dolomit), beide guttinstabilisierend.

KARPAT

Zeitstufe des Miosän, e. Tertiär

KARST

Bereichnung für Erscheinungen, die durch Lösungsverwitterung (v.a. in Kalken) auftreten.

KATAKLASE

Tektonisch bedingte Zerbrechungsver- schiednungen an Einzelmineralen eines Gesteins.

KATAKORE

Nach Epizone und Metazone dritte Tiefeinstufe der Regionalmetamorphose (starke Temperaturerhöhung, inho- hydrostatischer Druck), charakte- ristische Gesteine: Quarz, Eklogit.

KIES

Klastisches Sedimentgestein mit Korngrößen von 2-51 mm (gerundet = Schotter)

KLUFT

Fine, nicht oder nur wenig geöffnete Gesteinsfuge, an der keine wesentliche Bewegung stattgefunden hat.

KLASTIKA, KLASTISCH

Bereichnung für Sedimente, deren Mater- ial aus der mechanischen Zerstörung anderer Gesteine stammt.

KOHLENAUSSPISS

Schnitt eines Schichtenfisses mit der Erdoberfläche.

KORLESCHMITZEN

Dünne Kohleschichten

KONGLOMERAT

Durch unterschiedl. Bindemittel verfestigter Schotter.

KONKRETION

Unregelmäßig geformter, aus Mineral- aggregaten zusammengesetzter Körper im Gestein (kugelig, knollig, linsen- formig, usw.).

KRATOGENE TEKTONIK

Tektonik in einem konsolidierten Krustenteil, Bruchtektonik.

KREIDE, KRETATISCH

Formation des Mesozoikums

KREUZSCHICHTUNG

Mehrere Folgen von Schichtungslagen mit Wechsel der Schichtungsrichtung.

KRISTALLIN

Gesteine, die überwiegend aus Kri- stallen bestehen ("Das Kristallin" = Grundgebirge).

LAGENA BZW. LAGENSÄDEN

Foraminiferenpartikel, daneben gebraucht für eine Zone des Boden.

LAGERSTÄTTE

= eine natürliche Anhäufung nutzbarer Minerale, Gesteine, Erdöl, Erdgas, usw., die nach Größe und Inhalt für eine wirtschaftliche Gewinnung in Be- tracht kommt.

LAGERUNG

Die räumliche Lage von Gesteinen.

LEHM

Gelblichbrauner bis brauner, meist kalzinerter sandiger Ton.

LEITHAKALK

Nach dem Leitha-Gebirge benannte charakteristische Reaktionseinheit des Boden (s.u.).

LIEGENDES

Bergm. Ausdruck, das eine Beton- schicht unterliegende Gestein.

LIMNISCH

Bereichnung für in stehenden Süß- wassergewässern ablaufende Vorgänge und dort sich bildende Ablagerungen.

LINÉATION

Vorgang, der zur Bildung von Linsenarten, das sind linsenförmige, tektonische Gefügeelemente, führt.

LITHOLOGIE

Sedimentpetrographie, der Begriff umfasst vielfach neben Angaben über den petrographischen Sedimentgehalt auch solche über die Art des Gefüges, der Schichtung/Bankung und besonderer Faziesmerkmale.

LITORAL

Bezeichnung für alle Vorgänge, Kräfte und Prozesse, die an einer Küste auftreten.

MÄCHTIGKEIT

Dicke eines Gesteinspaktes, und zwar der vertikale Abstand zwischen Sohle und Deckfläche.

MAGMATIT

Magma-Gestein, Eruptivgestein, Erstarrungsgestein, Massengestein

MARIN

Bezeichnung für Ablagerungen, die im Meer gebildet wurden.

MARMORIERT

Fühlbare und rostbraun gefleckte Bruchzerrungsbild eines Gesteins, bedingt durch einen Wechsel von Staunässe und Austrocknung. Charakteristisch für Pseudogley.

MERGEL

Sedimentgestein mit bestimmtem Mischungsverhältnis von Kalk und Ton (65 : 35).

MESOZOIKUM

stratigraphischer Begriff für den Zeiträum von 230 Mio. bis 65 Mio. Jahren. Unterteilung:

- Kreide
- Jura
- Trias

MESOZONE

Zweite Tiefenstufe der Regionalmetamorphose (gegenüber Epizone erhöhte Temperaturen, verstärkter hydrostatischer Druck). charakteristische Gesteine: Glimmerschiefer, Amphibolit, Rarmon.

METAMORPHES GESTEIN

Durch Druck bzw. Temperatur verändertes Gestein, das dadurch in den kristallinen Zustand geraten ist.

METAMORPHOSE

Veränderung und Umwandlung eines Gesteins durch Druck- und Temperaturbelastungen.

MINERALPARAGENESE

Natürliche Gesellschaft von Mineralien, die unter jeweils bestimmten chemisch-physikalischen Bedingungen gemeinsam entstanden ist.

MINERALWASSER

Natürliches Wasser mit mindestens 1000 mg gelösten Stoffen oder mindestens 250 mg freiem CO₂ je 1 kg Wasser.

MIOZÄN

Epoche ist Jungtertiär (= Tertiär).

MITTELSTALPIN

Großtektonische Einheit der Ostalpen.

MORÄNE

Vom Gletscher mitgeführter bzw. abgelagertes Gesteinsmischgut.

MORPHOLOGIE – GEOMORPHOLOGIE

Lehre von den auf die Erdoberfläche gestaltend wirkenden physischen Kräften und Vorgängen und den dadurch geschaffenen Formen.

MYLONIT

Bei den Bewegungsprozessen der Gesteine entstehendes feinkörniges Gesteinszerrreibsel verschiedenster Festigkeitsschichten.

WAFFENBERG

reicht bis in den Bereich des Grundwassers.

NEOGEN

Abschnitt der Erdgeschichte (= Jungtertiär).

NIVEAU

alte Landoberfläche (Kunstfläche), die heute noch aus Verhüllungsresten rekonstruierbar ist.

OBERSTALPIN

Großtektonische Einheit der Ostalpen.

ORDOVICIUM

Epoche des Paläozois, von 505 Mio. bis 435 Mio. Jahren, v. Paläozoiium.

OROGENE PHASE

Gebirgsbildungsepisode

OROGENESE

Gebirgsbildung

OTTNANG

Zeitstufe des Mittel-, d. Tertiär

PALIBODDEN

Früherer Boden, der schon infolge Sedimentüberdeckung nicht weiterentwickeln konnte, sondern fossil geworden ist (fossiler Boden).

PALÄOGEOGRAPHIE

Geographie der Erdgeschichte; Aufteilung von Land und Meer in die geologischen Vergangenheit.

PALÄOZOIKUM

Stratigraphischer Begriff für den Zeitraum von ca. 600 Mio. bis 230 Mio. Jahren. Das P. wird wie folgt untergliedert:

Perm
Karbon
Devon
Silur
Ordovizium
Kambrium

PALEOZÄN

Zeitperiode des Alttertiär, s. Tertiär

PANNON

Zeitstufe des Miozän. Unterpannon = Pannon A-C, Mittelpannon = D-E, Oberpannon = F-H, s. Tertiär.

PARAGENÈSE

s. Mineralparagenese

PARAMORPHOSE

Mineralumbildung, bei der die äußere Kristallform erhalten blieb, die ursprüngliche Substanz aber umgewandelt wurde, wobei der Chemismus der gleiche blieb.

PARATETHYS

Tertiärzeitliches Becken der Tethys in Mittel- und Osteuropa.

PERMATIT

Groß- bis riesenartiges magmatisches Gestein aus einer an flüssigen Restständen zwischen Kontaktunten plutoischer Magmen.

PELIT

Feinklastisches Sedimentgestein, Korngrößen < 0,02 mm (Schluff und Ton).

PERENNIERENDE QUELLE

ständig schüttende Quelle

PERIGLAZIAL

Bereiche außerhalb der im Pleistozän vergletscherten Areale.

PERM

Zeiteinheit des Paläozoikum (s.d.).

PHYLLIT

Stark geschiefertes und durch Remobilisierung von Siderit und Chalcocit charakterisiertes Gestein.

PLEISTOZÄN

Zeitperiode des Quartär (s.d.).

PLIOZÄN

Zeitperiode des Jungtertiär, s. Tertiär

POSTGLAZIAL

Mannheimer Zeit

PRÄZIPPITATIONSEDIMENTE

Ausfällungssedimente

PRISMATISCHES GEFÜGE

Kluftgefüge, das den Boden in einzelne prismaartige Körper zerlegt (s. Gefüge).

PRICHTL (GEOLOGISCHES)

Senkrechter Schmitt durch einen Teil der Decke, in dem die Lagerungsverhältnisse der Gesteine dargestellt werden.

PSAMMIT

Mittelskalistisches Sedimentgestein, Korngrößen 0,02-2 mm Durchmesser (Sand).

PSEPHIT

Grobskalistisches Sedimentgestein, Korngrößen > 2 mm Durchmesser (Kies und Steine).

PSIMMOLEY

Boden, der durch Wechsel von Staunisse und Ausstrichung eine charakteristische Zahnpfanne und rostfarbene Marmorierung besitzt.

QUARTÄR

Stratigraphischer Begriff für den Zeitraum von 2 Mio. Jahren bis heute. Das Quartär wird wie folgt untergliedert:

| | |
|--|------------------|
| | Holozän |
| | Würm-Kaltzeit |
| | Riß-Kaltzeit |
| | Mindel-Kaltzeit |
| | Günz-Kaltzeit |
| | Donaum-Kaltzeit |
| | Eisener-Kaltzeit |

REGIONALMETAMORPHOSE

Metamorphoserscheinungen, die weite Gebiete befassen und landwirtschaftlich bedeuten.

REGRESSION

rückzug des Meeres zum vorher von ihm beherrschten Gebieten.

REZENT

Bezeichnung für Bildungen der Gegenwart.

RIPPELMÄRKEN

Rippennartige parallele Rinnen und Furchen auf der Oberfläche sandiger Ablagerungen, hervorgerufen durch Wellenwirkung, Strömungen oder Wind.

RISS

Stufe des Pleistozän (Kaltzeit)

SAND

Klastisches Lockergestein mit Korngrößen von 0,02-2 mm.

SARMAT

Zeitstufe des Miozän, s. Tertiär

SAUERLING

Mineralwasser mit einem natürlichen Gehalt von mindestens 1000 mg freiem CO₂ in 1 kg Wasser.

SEDIMENT

Ablagernsprodukt

SEDIMENTATION

Vorgang der Abscheidung oder des Ansetzens von Sedimentgesteinen.

STILIXATE

silic-, quartz-, felsische Gesteine

SILUR

Zeitphase des Paläozoikums von 435 Mio. bis 395 Mio. Jahren, z. Paläozökum

SOLIFLUKTION

Bodenflüssigkeit, vor allem in permafrostigen Gebieten in der Auftauzone über Frostböden.

SPÄTGLAZIAL

Endphase der Würm-Kaltzeit (= des Pleistozän)

SCHIEFERUNG

Parallel gerichtetes, ungestörtiges Flächengefüge in Gesteinen; im Gegensatz zur Schichtung ist die Schieferung ein sekundäres Merkmal, das durch Tektonik bzw. Metamorphose bedingt ist.

SCHLUFF

Lockergestein mit Korngrößen von 0.002 bis 0.2 mm = Grobton

SCHOTTER

Vorwiegend aus gerundeten Komponenten der Kiesfraktion (2-81 mm) zusammengesetztes Sediment (s. Kies).

SCHRÜGSCHICHTUNG

Nicht horizontale (schräge) Schichtung, die im Bereich von Deltasiedlungen und in fließenden Gewässern sowie in bewegter Luft in den sich ablagерnden Sedimenten ausgebildet wird.

SCHWERMINERAL

Mineral mit einem spezifischen Gewicht > 3.9 (z.B. Rutile, Ilmenit, Granat, Turmalin).

STRATIGRAPHIE

= der geologische Wissenschaftsbereich, der die Gesteine unter Betrachtung aller ihrer organischen und anorganischen Merkmale und Inhalte nach ihrer zeitlichen Bildungsfolge ordnet und eine Zeitmaße zur Datierung der geologischen Vorgänge und Ereignisse aufstellt.

STREICHEN

Schnittspur einer natürlichen Ebene (Gesteinsschicht), Verwerfungsfläche, u.a.m.) mit einer gedachten Horizontalfläche.

STÖRUNG (TEKTONISCHE)

Trennfuge im Gebirge, an der eine Verstellung der beiden angrenzenden Schollen stattgefunden hat.

STRUKTUR

Die Eigenschaften des inneren Baues eines Gesteins (z. Gefüge), die von Größe und Form der einzelnen Bestandteile abhängt.

TEGEL

Synonym für Tonbergöl, (eigige Gesteine mit einem Kalksteinanteil von ca. 15-50 %).

TEKTONIK

Laios vom Bau der Erdkruste und den Bewegungen und Kräften, die diese erzeugt haben.

TELMATISCH

Phase der Rohstoffbildung in einer sumpfig regliederten Kohleführenden Formation (Telma = Moor, sumpf: griechisch).

TERASSE

Morphologische Stufe, die entweder als Schotterterrasse oder als Erosionsterrasse gebildet worden ist.

TERRESTRISCH

Bezeichnung für alle Vorgänge, Kräfte und Formen, die auf dem Festland auftreten.

TERRIGEN

Bezeichnung für alles vom Festland in das Meer kommende und dort abgesetzte Material.

TERTIÄR

Stratigraphischer Begriff für den Zeiträume von 65 Mio. bis 2 Mio. Jahren, Gliederung wie folgt:

| | | |
|-----|-----------|--|
| | Pliozän | |
| neu | Pannon | |
| neu | Sarmat | |
| neu | Baden | |
| neu | Karpät | |
| neu | Ottomang | |
| neu | Dygenburg | |
| | Oligozän | |
| neu | Eozän | |
| neu | Paleozän | |

TEXTUR

Bezeichnung für die räumliche Anordnung und Verteilung der Gesteinsteile in einem Gestein (z. Gefüge, Struktur).

TON

lockergestein mit Korn durchmessern unter 0.02 mm.

TRANSGRESSION

Überflutung, Vorrücken des Meeres in Landgebiete. Die neu gebildeten Sedimente liegen meist diskordant (z.B.) auf der ehemaligen Landoberfläche.

TOUFF

- Vulkanischer Tuff: Verfestigtes Auswurfprodukt;
- Kalktuff: Linter

TOUFFIT

Tuff mit Sedimentbewegung oder mit Sedimentlagen.

VARISZISCHE GEBIRGSBILDUNGSPHASE

Vom Devon (u.d.) bis in das Perm
(u.d.) reichende Faltungsepoche.

VERGRENZ

Bezeichnung für die Kippung und
gekreuzte Falten.

VERTEBRATEN

Wirbeltiere

VORKOMMEN

Natürliche Ansammlung von Mineralien
und Mineralgegenständen.

VULKANIT

Magmatisches Gestein, durch Erstar-
zung an der Erdoberfläche aus dem
Magma entstanden.

WORM

Stufe des Pleistozän (Kaltzeit).
ca. 70'000 bis 10'000 v.H.

ZUNGERBECKER

Meist durch eine Endmoräne begrenztes
Becken, in dem die Gletscherzunge
liegt bzw. lag.

8. VERZEICHNIS DER ABBILDUNGEN

| Seite | Abschnitt | Abb.-Nr. | Thema |
|-------|------------------------------|----------|---|
| 9 | 2.1 (Geol. Kristallin) | 1 | Verbreitung der Serien in der Koralpe |
| 16 | | 2 | Profil durch die östliche Koralpe (BECK-MANNAGETTA 1970) |
| 22 | 2.2 (Geol. Palaeozoik.) | 1 | Schematischer Schnitt durch den Reinschneige-Postruck-Zug (EBNER 1982) |
| 25 | 2.3 (Geol. Tertiär) | 1 | Profil durch das Radlgebirge (WINKLER-HERMADEN 1939) |
| 27 | | 2 | Profil über Rottenberg gegen Eck- fastl (W Hollenegg) (HIESLLETTNER 1926) |
| 28 | | 3 | Sedimentationszyklen und Phasenab- lauf in den Eibiswalder Schichten (NEBERT 1980) |
| 30 | | 4 | Die paläogeographische Entwicklung im West- und Mittelsteirischen Becken während des Torton (FLÜGEL & HERITSCH 1968) |
| 34 | | 5 | Profil im Aufschluß Hasreith (DILLER 1957) |
| 34 | | 6 | Profil im Aufschluß Sulzhof (DILLER 1957) |
| 35 | | 7 | Profil im Aufschluß Fantsch (DILLER 1957) |
| 35 | | 8 | Profil im Aufschluß Klein Neudorf (DILLER 1957) |
| 37 | | 9 | Profil im Aufschluß Stangl (DILLER 1957) |
| 37 | | 10 | Profil im Aufschluß Fantsch (DILLER 1957) |
| 38 | | 11 | Profil im Aufschluß Tragl (DILLER 1957) |
| 40 | | 12 | Profil Grafendorf (JENISCH 1955) |
| 42 | | 13 | Profil im Aufschluß Fantsch (DILLER 1957) |
| 45 | | 14 | Profil des Aufschlusses Otternitz (DILLER 1957) |
| 48 | | 15 | Sammelprofil aus dem Raum Hasreith (DILLER 1957) |
| 51 | | 16 | Profile im Bereich des westlichen Grundgebirgsrandes (DILLER 1957) |
| 53 | | 17 | Geographische Lage der Profile 5-11 und 13-16. |

| Seite | Abschnitt | Abb.Nr. | Thema |
|-------|------------------------------|---------|---|
| 62 | 2.4 (Geol. Quartär) | 1 | Durch einen fossilen Bodenhorizont gegliederte Lehmmaube auf einer höheren Terrasse NW Gleinstätten im Sulmtal |
| 71 | | 2 | Stark verschliffener und durch Bellen aufgelöster Terrassenrand der Hochterrasse im Laßnitztal westlich von Groß St. Florian, Blickrichtung E |
| 71 | | 3 | Hochterrassenabfall im Gaggautal nordwestlich von Hesselbach, Blickrichtung E |
| 73 | | 4 | Auflagerung der "Niederterrasse" auf stark verwittertem Kristallin bei Marhof im Stainzbachtal |
| 73 | | 5 | "Niederterrassen"-Schotter bei Marhof im Stainzbachtal |
| 67 | | Fig. 1 | Längsschnitt Stainzbachtal-Laßnitztal (nördliche Talflanke) |
| 76 | | Fig. 2 | Talquerschnitt Laßnitz (Hörbing) |
| 77 | | Fig. 3 | Talquerschnitt Laßnitz (Freidorf-Frauental) |
| 78 | | Fig. 4 | Längsschnitt Laßnitztal (nördliche Talflanke) |
| 81 | | Fig. 5 | Talquerschnitt Stainzbach-Lemitzbach |
| 82 | | Fig. 6 | Talquerschnitt Stainzbach |
| 83 | | Fig. 7 | Talquerschnitt Laßnitz |
| 85 | | Fig. 8 | Talquerschnitt Schwarze Sulm - Leibenbach |
| 86 | | Fig. 9 | Tallängsschnitt Schwarze Sulm (Schwanberg E - St. Martin) |
| 88 | | Fig. 10 | Tallängsschnitt Weiße Sulm |
| 106 | 3.2 (Hydrogeol., Tertiär) | Taf. 1 | Lageplan der artesischen Brunnen der Weststeiermark 1:90 000 (GETINIGG 1973) |
| 112 | 3.3 (Hydrogeol. Quartär) | 1 | Grundwassermessstellen Laßnitztal-Sulmtal |
| 113 | | 2 | Querprofil Laßnitztal (Freidorf-Frauental) |

| Seite | Abschnitt | Abb.Nr. | Thema |
|-------|---|---------|---|
| 116 | 3.3 (Hydrogeol. Quartär) - Fortsetzung | 3 | Ganglinien der Jahresmittel der Grundwasserstände - Laßnitztal |
| 118 | | 4 | Grundwasserstandsganglinien - Laßnitztal 1982 |
| 120 | | 5 | Bohrprofile und Ausbau der Ver- suchsbohrungen im Tal der Schwarzen Sulm (1973) |
| 124 | | 6 | Ganglinien der Jahresmittel der Grundwasserstände - Sulmtal |
| 126 | | 7 | Grundwasserstandsganglinien - Sulmtal 1982 |
| 135 | 3.5 (Hydrogeol. Fließgewässer) | 1 | Verteilung der Gewässergüteklassen im Bezirk Deutschlandsberg (Aus- schnitt aus "Gütebild der Fließge- wässer der Steiermark, Stand 1980/81", Stmk. Landesregierung, LBD, FA Ia, Referat für Gewässeraufsicht und Gewässerschutz) |
| 145 | 5. (Rohstoffe) | 1 | Alte und vorgeschlagene Bohrungen (POBL 1981) |
| 146 | | 2 | Übersichtskarte des Wies-Eibiswalder Reviers. Unter Benützung der vom k.k. Revierbergamt in Graz herausge- gebenen Revierkarten ergänzt (PETRASCHECK 1924) |
| 146 | | 3 | Profil über das Eibiswald-Wieser Revier (PETRASCHECK 1924) |
| 147 | | 4 | Elementaranalyse einiger österr. Lignite (GEUTEBRÜCK & NEBERT 1979) |
| 148 | | 5 | Braunkohlen im Tertiär (HEINRICH 1980 in OBERHAUSER 1980) |
| 152 | | 6 | Bergbaustatistik Eibiswald und Um- gebung (GEUTEBRÜCK 1980) |
| 153 | | 7 | Lage der Bergbaue und Schurfe im Eibiswalder Revier (1:50 000) |
| 156 | | 8 | Lage des Bergbaues Stammeregg (1:50 000) |
| 157 | | 9 | Lage der Reviere von Vordersdorf, Aibl und Wernersdorf (1:50 000) |
| 158 | | 10 | Bergbaustatistik Vordersdorf (GEUTEBRÜCK 1980) |
| 159 | | 11 | Bergbau Vordersdorf (GKB 1955) |
| 161 | | 12 | Bergbaustatistik Unterfresen - Wernersdorf (GEUTEBRÜCK 1980) |
| 163 | | 13 | Die Bergbaue des Wieser Reviers (GKB 1975) |

| Seite | Abschnitt | Abb. Nr. | Thema |
|-------|-------------------|----------|--|
| 164 | 5. (Rohstoffe) | 14 | Lage des Bergbaues Pölfling-Bergla (1:50 000) |
| 165 | Fortsetzung | 15 | Bergbaustatistik Pölfling-Bergla (GEUTEBRÜCK 1980) |
| 166 | " | 16 | Lage des Bergbaues Steyregg (1:50 000) |
| 167 | " | 17 | Bergbaustatistik Steyregg (Gregoristollen) (GEUTEBRÜCK 1980) |
| 168 | " | 18 | Lage der Bergbaue von Kalkgrub - Limberg (1:50 000) |
| 169 | " | 19 | Bergbaustatistik Kalkgrub-Limberg (GEUTEBRÜCK 1980) |
| 170 | " | 20 | Übersichtskarte des Bergbaues Kalkgrub (HAVELKA 1923) |
| 171 | " | 21 | Lage des Bergbaues Schwanberg (POHL 1981, 1:50 000) |
| 172 | " | 22 | Bergbaustatistik Schwanberg (GEUTEBRÜCK 1980) |
| 172 | " | 23 | Lage des Bergbaues Aug-Schöneck (1:50 000) |
| 173 | " | 24 | Flözprofil Johannstollen (Schöneck) (HIESSLEITNER 1926) |
| 173 | " | 25 | Flöz Ludwigstollen (Schöneck) (HIESSLEITNER 1926) |
| 174 | " | 26 | Bergbaustatistik Aug-Schöneck, Schöneck (GEUTEBRÜCK 1980) |
| 175 | " | 27 | Lage des Bergbaues St.Ulrich (1:50 000) |
| 176 | " | 28 | Bergbaustatistik St.Ulrich (GEUTEBRÜCK 1980) |
| 177 | " | 29 | Lage des Bergbaues Tombach-Pitschgäuegg (1:50 000) |
| 178 | " | 30 | Bergbaustatistik Pitschgäuegg (GEUTEBRÜCK 1980) |
| 179 | " | 31 | Lage des Bergbaues Gaisselegg (1:50 000) |
| 179 | " | 32 | Bergbaustatistik Gaisselegg (GEUTEBRÜCK 1980) |
| 182 | " | 33 | Anomalien sekundärer Uranmineralisationen im Mittelteil der Koralpe (HÖNIG & TIEDTKE 1981) |
| 186 | " | 34 | Industriemineralvorkommen im steirischen Anteil der Koralpe (HÖNIG & TIEDTKE 1981) |
| 187 | " | 35 | Lage der Kolinvorkommen im Tal der Schwarzen Sulm bei Schwanberg 1:25 000 (LOTZE 1940) |

| Seite | Abschnitt | Abb.Nr. | Thema |
|-------|-------------------------------------|---------|---|
| 191 | 5. (Rohstoffe) Fortsetzung | 36 | Quarzsandvorkommen im Weststeiri- schen Tertiärgebiet (SCHARFF 1981) |
| 196 | | 37 | Lage der Scheelitfundpunkte (ALKER & POSTL 1980) |
| 203 | | 38 | Lage des Hochmoors von Garenas (1:50 000) |
| 283 | 6. (Schutz- und Schongebiete) | 1 | Umgrenzung des Naturschutzgebietes "Totarmbereich des Gleinzbaches bei Wettmannstätten" |
| 284 | | 2 | Umgrenzung des Naturschutzgebietes Deutschlandsberger Klause |
| 300 | | 3 | Umgrenzung des geschützten Land- schaftsteiles "Teile des Saubaches zum Schutze der gelben Seerose" |
| 301 | | 4 | Begrenzung des geschützten Land- schaftsteiles Langföhrenhochmoor "Filzmoos" |
| 302 | | 5 | Begrenzung des geschützten Land- schaftsteiles Moor auf der See-Eben, KG. Osterwitz |
| 303 | | 6 | Umgrenzung des geschützten Land- schaftsteiles "Parkanlage in Schwen- berg" |
| 305 | | 7 | Grenze des Schutzgebietes Amphibolit- stock "G'spitzter Felsen" |

9. VERZEICHNIS DER TABELLEN

| Seite | Abschnitt | Tab.Nr. | Thema |
|-------|--------------------------------|---------|---|
| 10 | 2.1 (Geol. Kristallin) | 1 | Serienvergleich und Lagerungsver- hältnisse im Kristallin der öst- lichen Zentralalpen (BECK- MANNAGETTA 1980) |
| 31 | 2.3 (Geol. Tertiär) | 1 | Die Schichtfolge im Flortaner Becken |
| 64 | 2.4 (Geol. Quartär) | 1 | Absolute und relative Höhen des pleistozänen Terrassenreste im Bezirk Deutschlandsberg |
| 69 | | 2 | Verzeichnis der Bohrungen |
| 105 | 3.2 (Hydrogeol. Tertiär) | 1 | Übersicht der artesischen Hausbrun- nen im Bezirk Deutschlandsberg (ZETINIGG 1982, ergänzt) |
| 114 | 3.3 (Hydrogeol. Quartär) | 1 | Extremwerte und Jahresmittel der Grundwasserstände (Abstichmaße vom Meßpunkt in cm), 4050, 4052 |
| 115 | | 2 | Extremwerte und Jahresmittel der Grundwasserstände (Abstichmaße vom Meßpunkt in cm), 4054, 4051 |
| 122 | | 3 | Extremwerte und Jahresmittel der Grundwasserstände (Abstichmaße vom Meßpunkt in cm), 4001, 4013 |
| 123 | | 4 | Extremwerte und Jahresmittel der Grundwasserstände (Abstichmaße vom Meßpunkt in cm), 4004 |
| 127 | | 5 | Monats- und Jahresmittel der Grund- wasserstände mit Extremwerten und Evidenzdaten (Abstichmaße vom Meß- punkt), Laßnitztal und Sulmtal 1982 |
| 142 | 5. (Rohstoffe) | 1 | Abbaustellen und Fundpunkte, nach Gemeinden und abgebautem Material geordnet |
| 144 | | 2 | Wichtige ältere Bohrungen im Tertiär des mittleren Koralpensabschnittes (POHL 1981) |
| 144 | | 3 | zur Erkundung der Kohlenführung des mittleren Abschnittes der Koralpen- ostabdeckung vorgeschlagene Bohrung (POHL 1981) |

| Seite | Abschnitt | Tab.Nr. | Thema |
|-------|----------------------------------|---------|--|
| 151 | 5. (Rohstoffe) Fortsetzung | 4 | Bergbaustatistik Sterngllegg (GEUTE- BRÜCK 1980) |
| 151 | | 5 | Bergbaustatistik Aibl (GEUTEBRÜCK 1980) |
| 152 | | 6 | Bergbaustatistik Sibiswald und Um- gebung (GEUTEBRÜCK 1980) |
| 154 | | 7 | Bergbaustatistik Feisternitz (Laura- Herma-Charlotte-Maria-Schacht und Hermabau) (GEUTEBRÜCK 1980) |
| 155 | | 8 | Immediatanalysen der Kohle des Weststeirischen Glanzkohlenreviers (GEUTEBRÜCK 1980) |
| 157 | | 9 | Bergbaustatistik Bachholz-Stammeregg (GEUTEBRÜCK 1980) |
| 158 | | 10 | Bergbaustatistik Vordersdorf (GEUTE- BRÜCK 1980) |
| 160 | | 11 | Immediatanalysen der Kohle des Weststeirischen Glanzkohlenreviers (GEUTEBRÜCK 1980) |
| 162 | | 12 | Bergbaustatistik Unterfresen - Wernersdorf (GEUTEBRÜCK 1980) |
| 165 | | 13 | Bergbaustatistik Pölfling-Bergla (GEUTEBRÜCK 1980) |
| 167 | | 14 | Bergbaustatistik Steyregg (GEUTE- BRÜCK 1980) |
| 168 | | 15 | Immediatanalysen der Kohle des Weststeirischen Glanzkohlenreviers (GEUTEBRÜCK 1980) |
| 169 | | 16 | Bergbaustatistik Kalkgrub-Limberg (GEUTEBRÜCK 1980) |
| 173 | | 17 | Immediatanalysen der Kohle des Weststeirischen Glanzkohlenreviers (GEUTEBRÜCK 1980) |
| 174 | | 18 | Bergbaustatistik Aug-Schönegg (GEUTEBRÜCK 1980) |
| 176 | | 19 | Bergbaustatistik St.Ulrich (GEUTE- BRÜCK 1980) |
| 178 | | 20 | Bergbaustatistik Pitschgassegg (GEUTEBRÜCK 1980) |
| 180 | | 21 | Bergbaustatistik Gaisseregg (GEUTE- BRÜCK 1980) |
| 185 | | 22 | Dithengehalt in Vol.% zusammenge- stellt von DAUHER 1979 |
| 193 | | 23 | Bentonite und Glastuffe im Bezirk Deutschlandsberg |

| Seite | Abschnitt | Tab.Nr. | Thema |
|-------|-------------------|---------|---|
| 198 | s. (Rohstoffe) | 24 | Technische Analyse (HAUSER & URREGG 1952) |
| 200 | Fortsetzung | 25 | Technische Analyse (HAUSER & URREGG 1951) |
| 201 | | 26 | Technische Analyse (HAUSER & URREGG 1952) |
| 264 | | 27 | Verzeichnis der Abbaustellen und Fundpunkte, nach Gemeinden gegliedert |

10. VERZEICHNIS DER BEILAGEN

Beil.Nr. Thema

| | | |
|---|--------------------------------------|---|
| 1 | Geologische Grundkarte 1:25 000 | Bl. 188 189 190 205 205/207 |
| 2 | Bohrprofilkarte 1:25 000 | Bl. 189 190 206 |
| 3 | Karte der Risikofaktoren 1:25 000 | Bl. 188 189 190 205 206/207 |
| 4 | Karte der Abbaustellen 1:25 000 | Bl. 188 189 190 205 206/207 |
| 5 | Karte der Schutzgebiete 1:25 000 | Bl. 188 189 190 205 206/207 |

Beilage 1

**Naturaumpotentialkarten der Steiermark
Bezirk Deutschlandsberg**
Geologische Grundkarte

Sk. 1:25,000 - Blatt 100 WOLFSTEIN

M. Pfeifer, G. Schedl, R. Trummer - TKG



Beilage 1

Naturraumpotentialkarten der Steiermark Bezirk Deutschlandsberg

Geologische Grundkarte

OK 1:25 000 Blatt 206 ST. PAUL M. Pausch, G. Stettler, A. Th. Unterweger 1983



Naturkundepotentialkarten der Steiermark

Bezirk Deutschlandsberg

Geologische Grundkarte

Dr. V. Klemm, Univ. Klagenfurt
H. Pfeifer, G. Sauer, A. Schramm, 1992



Bild 1

Naturraumpotentialkarten der Steiermark
Bezirk Deutschlandsberg
Geographische Grundkarte



Naturraumkomplexkarte der Steiermark

Bezirk Deutschlandsberg

Geologische Grundkarte

Die Karte ist über die Internetseite abrufbar.

© Freie Universität Berlin 2002



Betrag 2:

Naturraumpotentialkarten der Steiermark

Bezirk Deutschlandsberg

Bohrprofilkarte



Beilage 2

Naturraumpotentialkarte der Steiermark
Bezirk Deutschlandsberg

Bohrprofilkarte

Die 1: 100 000 - Karte ist verdeckt

10 km Abstand - Skala



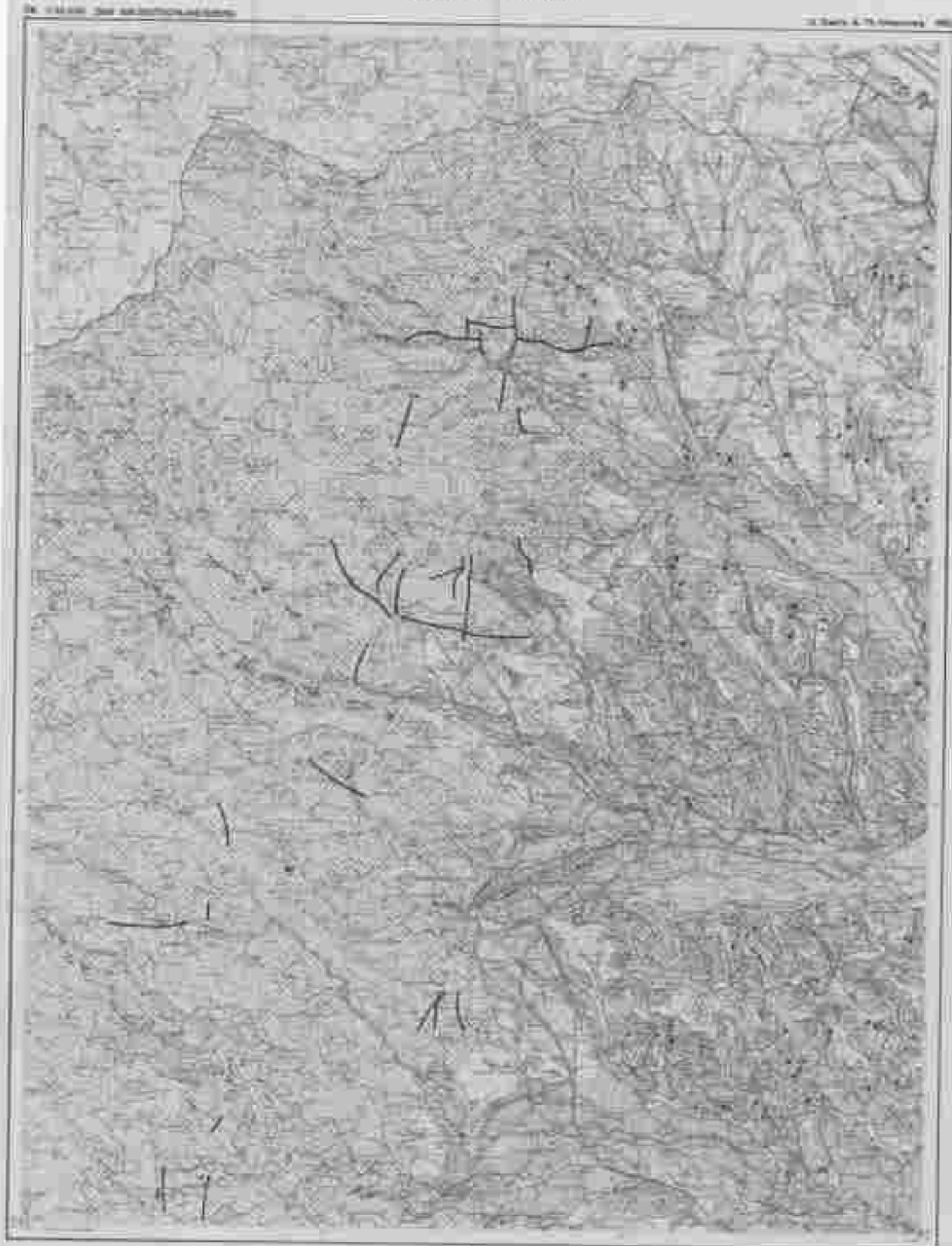
Naturraumpotentialkarten der Steiermark
Bezirk Deutschlandsberg

Karte der Risikofaktoren



Beilage 3

Naturaumpotentialkarten der Steiermark
Bezirk Deutschlandsberg
Karte der Fließfaktoren



Beilage 3

**Naturraumpotentialkarten der Steiermark
Bezirk Deutschlandsberg**
Karte der Risikofaktoren

Dr. 1:25 000 Blatt 1004 Deutschlandsberg

© Statistik & Th. Unterweg 2003



Beilage 3

**Naturraumpotentialkarten der Steiermark
Bezirk Deutschlandsberg**

Karte der Raumstrukturen



Beilage 3

Naturraumpotentialkarten der Steiermark Bezirk Deutschlandsberg

Karte der Risikofaktoren

OK 1:25 000 Blatt 205 ST. PAUL

G. Suetter & Th. Unterweg 1993



Beilage 3

Naturraumpotentialkarten der Steiermark Bezirk Deutschlandsberg

Karte der Risikofaktoren

Legende

G. Suetter & Th. Untersweg 1983

Baugrundverhältnisse



- KARSTIGE, DURCHSTRÖMTE UND AUFSTRÖMTE TIEFGRUNDLÄNGEN
- KARSTIGE TIEFLÄNGEN MIT VOLLSTÄNDIGER DURCHSTRÖMUNG
- KARSTIGE TIEFLÄNGEN MIT UNVOLLSTÄNDIGER DURCHSTRÖMUNG
- KALKSTEINE MIT WECHSELNDER DURCHSTRÖMUNG
- KALKSTEINE MIT GÜTER DURCHSTRÖMUNG
- KALIFERRENT, KALIWERK, KALIABRUMMEN
- KALI, KALIABRUMMEN ODER KALIABRÜCKE UND ALTE KALIHERZEN MIT KALIABRUMMEN UND KALIABRÜCKEN

Risikofaktoren



- WASSER, VERWANDT
- WASSERSTROM
- HÜGELSTROM
- HÜGELSTROMSTROMS
- ALTE RHE. IN ABLAUFSTROM
- ALTE RHE. MIT STAUWANDE MIT HOHEM WASSERDRUCK
- ALTE RHE. MIT STAUWANDE MIT HOHEM WASSERDRUCK
- HÜGELSTROM MIT STAUWANDE MIT HOHEM WASSERDRUCK
- HÜGELSTROM MIT STAUWANDE MIT HOHEM WASSERDRUCK

Maßstab



Beilage 4

Naturaumpotentialkarten der Steiermark Bezirk Deutschlandsberg

Karte der Abbaustellen

OK 1:25 000 Blatt 205 ST. PAUL

G. Suttner 1983



Bilag 4

Naturraumpotenzialkarten der Steiermark

Bizirk Deutschlandsberg

Karte der Abbaustellen



Beilage 4

Naturraumpotentialkarten der Steiermark
Bezirk Deutschlandsberg

Karte der Abbaustellen

Ost. 1:250000 NW-H. 1:100000 WOLFSEINER

© Stmk. 1992



Beilage 4

Naturraumpotentialkarten der Steiermark
Bezirk Deutschlandsberg

Karte der Abbaustellen:



Naturraumpotentialetaten der Steiermark
Bezirk Deutschlandsberg
Karte der Absatzstellen



Beilage 4

Naturraumpotentialkarten der Steiermark Bezirk Deutschlandsberg

Karte der Abbaustellen

Legende

G. Suetter 1983

Abbaustellen

Abgebautes Material



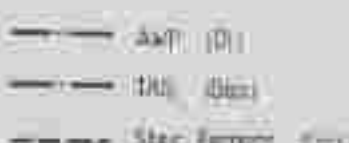
Status

| | |
|----|---|
| 1 | in Betrieb |
| 2 | versucht in Betrieb |
| 3 | außer Betrieb |
| 4 | nicht auffindbar / nur Erkundungsbohrungen / Rohstoff nicht mehr aufgeschlossen |
| 5 | Straßen- und Baugrubenaufschluss |
| 6 | X natürliches Aufschluss |
| 7 | Bergbau außer Betrieb / Riegel |
| 8 | Ressort: Abbau gestellt |
| 9 | Hinweis |
| 10 | Abbaustelle reaktiviert |

Darstellung von Rohstoffen



Leitungen:



0 1000 2000 3000m

Beilage 5

Naturraumpotentialkarten der Steiermark Bezirk Deutschlandsberg

Karte der Schutzgebiete

OK 1:25 000 Blatt 205 ST. PELA

J. Flack 1983



Beilage 5

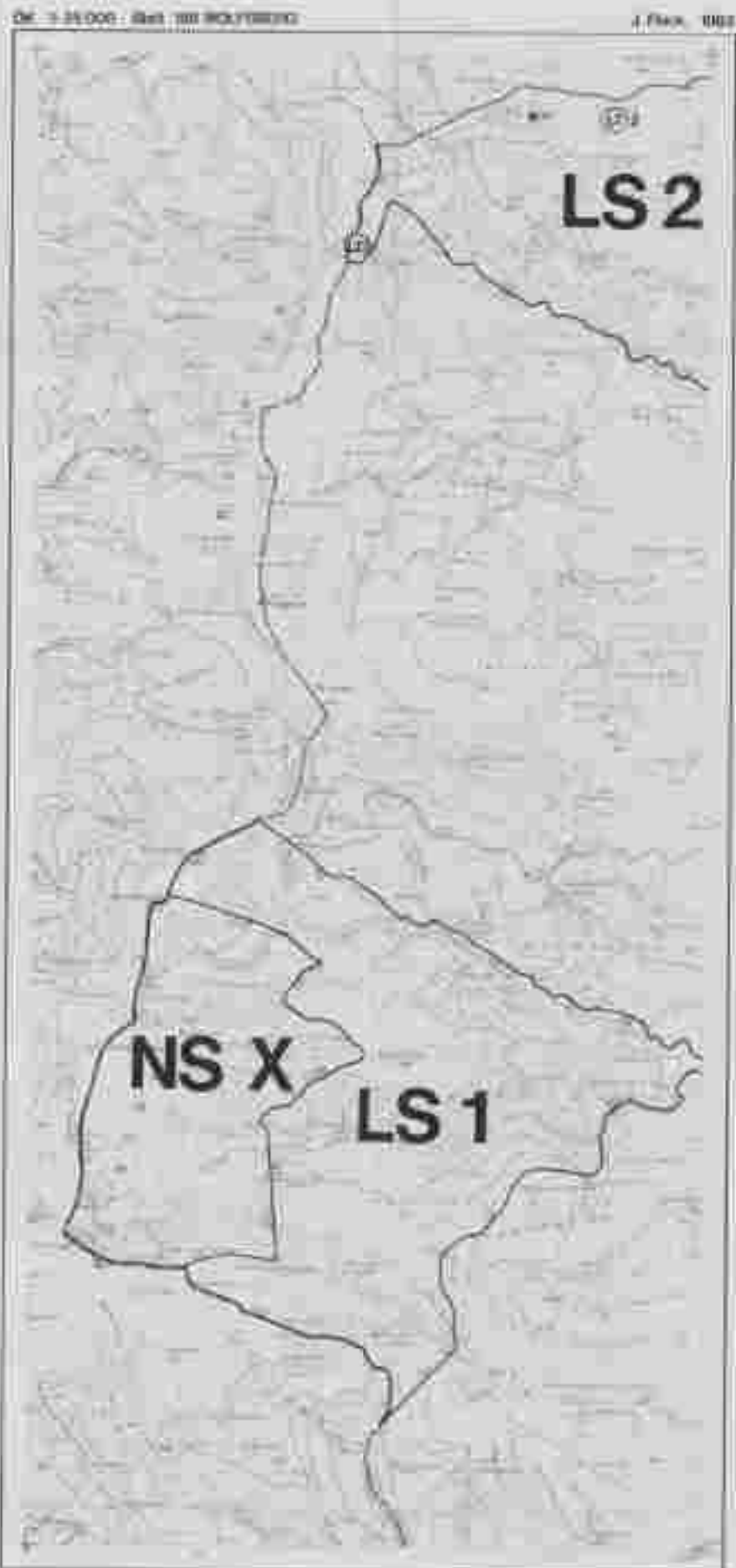
**Naturaumpotenzialkarten der Steiermark
Bezirk Deutschlandsberg**

Karte der Schutzgebiete



Beilage 5

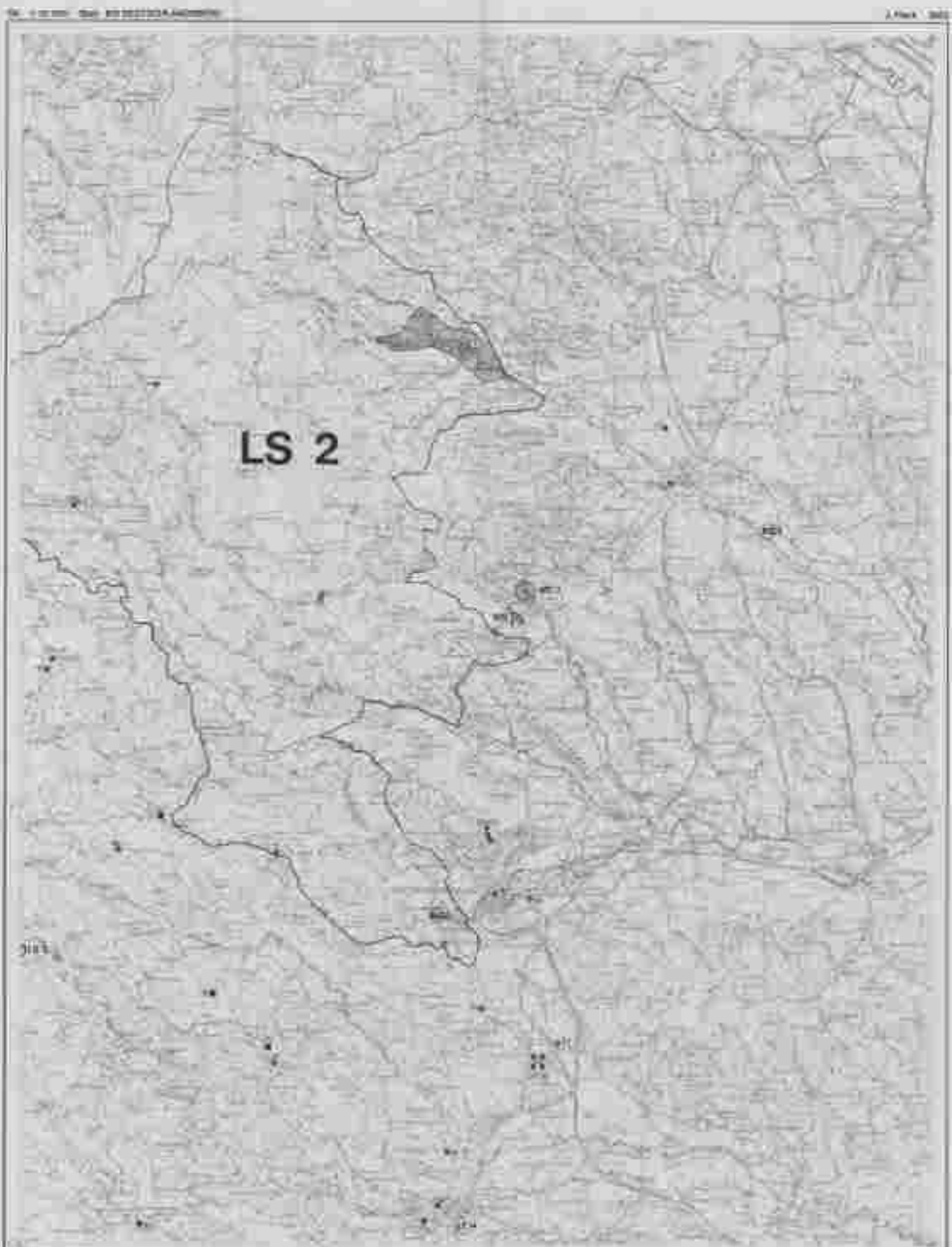
**Naturraumpotentialkarten der Steiermark
Bezirk Deutschlandsberg
Karte der Schutzgebiete**



Naturraumpotentialkarten der Steiermark

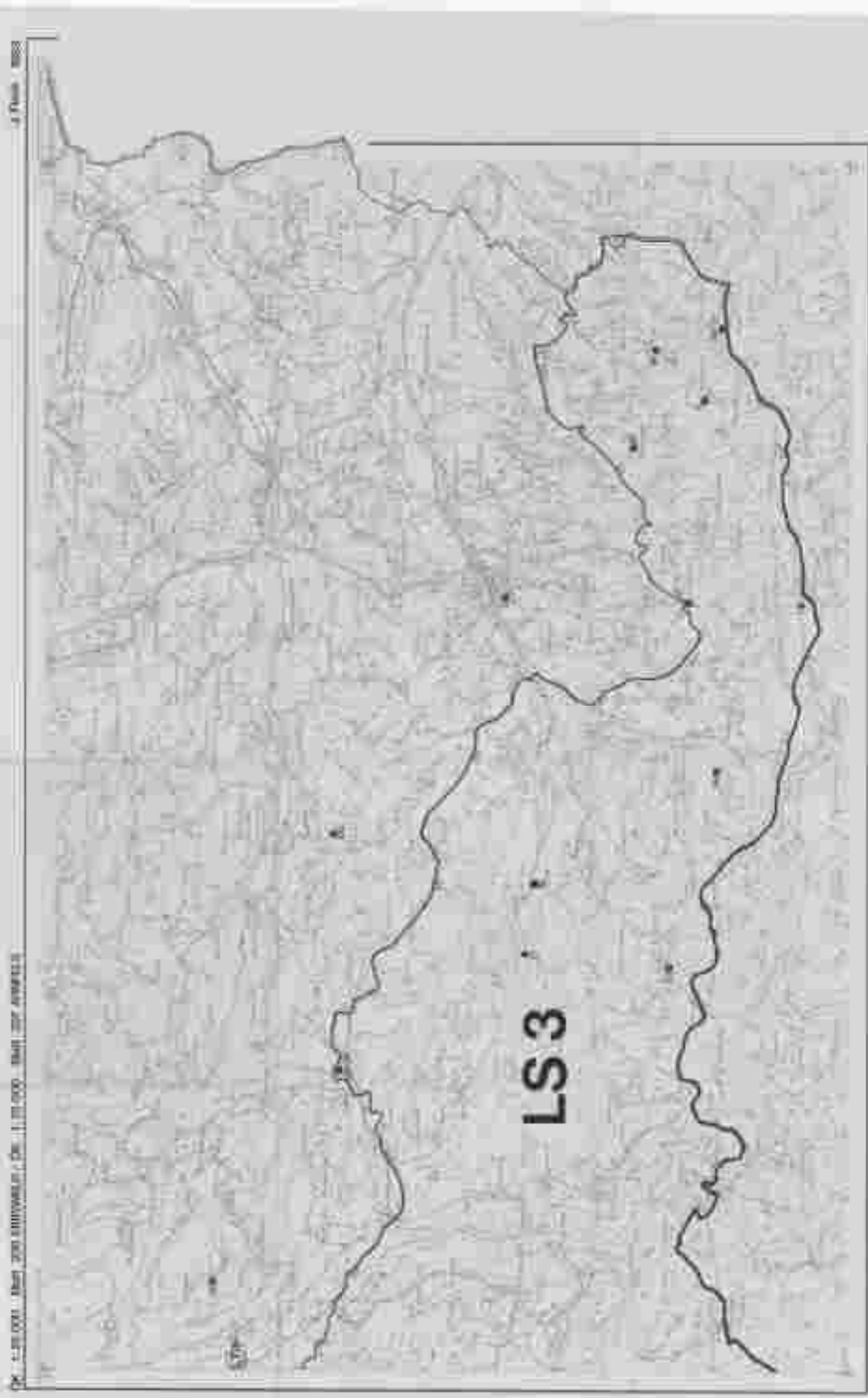
Bezirk Deutschlandsberg

Karte der Schutzgebiete



Naturraumpotentielkarten der Steiermark
Bezirk Deutschlandsberg
Karte der Schutzgebiete

1:25 000 - Blatt 200 Klimawald / 1:10 000 - Blatt 200



Beilage 5

Naturraumpotentialkarten der Steiermark

Bezirk Deutschlandsberg

Karte der Schutzgebiete

Legende

J. Flack 1983

NS

Waldschutzgebiet

(NS)
3

Waldentwicklungsfläche für Tiere und Menschen

LS

Lebensraumschutzgebiet

(LT)
1

Schutzwert Lebensraum

● 35

Reptilien, Fische

■ 3

Habitate von Vögeln

◆ 8

Schutzwert: Vogelarten

WS

Reptilien und Amphibien (Habitatbeschreibung)



Maßstab

